

Tomasz Ściężor

**Almanach Astronomiczny
na rok 2010**

**Klub Astronomiczny „Regulus”
Kraków 2009**

Skład komputerowy almanachu wykonał autor publikacji
Tomasz Ściężor

Wszelkie prawa zastrzeżone. Żadna część tej publikacji nie może być reprodukowana w żadnej formie ani żadną metodą bez pisemnej zgody wydawcy

Copyright © 2009 by Tomasz Ściężor

Spis Treści

Wstęp.....	5
-------------------	----------

Słońce i Księżyca:

Opis tabel – efemerydy Słońca.....	6
Opis tabel – efemerydy Księżyca.....	7
Opis tabel – współrzędne prostokątne równikowe Słońca.....	8
Przykłady obliczania momentów wschodu, kulminacji i zachodu.....	9
Wykresy poprawek ΔT i ΔA	11
Efemerydy Słońca i Księżyca.....	12
Prostokątne współrzędne równikowe Słońca.....	36

Planety:

Opis tabel – efemerydy planet.....	40
Efemerydy planet	
Merkury.....	41
Wenus.....	43
Mars.....	44
Jowisz.....	45
Saturn.....	46
Uran.....	47
Neptun.....	48
Widoczność Merkurego i Wenus nad horyzontem w 2010 roku.....	49
Mapki tras Marsa, Jowisza i Saturna na tle gwiazd w 2010 roku.....	50
Mapki tras Urania i Neptuna na tle gwiazd w 2010 roku.....	51
Konfiguracje planet.....	52
Opis tabel do obserwacji fizycznych.....	53
efemerydy do obserwacji fizycznych:	
Słońca.....	55
Księżyca.....	59
Marsa.....	63
Jowisza.....	67

Planety karłowate:

Opis tabel – efemerydy planet karłowatych.....	71
Efemerydy planet karłowatych	
Ceres.....	72
Pluton.....	73
Haumea.....	74
Makemake.....	75
Eris.....	76
Mapki tras planet karłowatych na tle gwiazd w 2010 roku.....	77

Małe ciała Układu Słonecznego: planetoidy i komety:

Planetoidy.....	82
Mapki tras planetoid na tle gwiazd w 2010 roku.....	92
Komety.....	122
Spis komet przechodzących przez peryhelium w 2010 roku.....	123
Efemerydy jasnych komet w 2010 r.....	124
Mapki tras jasnych komet na tle gwiazd w 2010 roku.....	126

Meteory.....	129
Zaćmienia:	
Zaćmienia Słońca i Księżyca.....	134
Księżyce planet i wybranych planet karłowatych:	
Opis tabel – księżyce Jowisza.....	138
diagramy ruchu księżyców Jowisza.....	139
zjawiska w układzie księżyców Jowisza.....	151
Opis tabel – księżyce Saturna.....	155
diagramy ruchu księżyców Saturna.....	156
Układ Marsa.....	168
Układ Urana.....	170
Układ Neptuna.....	173
Układ Plutona.....	174
Gwiazdy zmienne:	
Opis tabel – gwiazdy zmienne.....	175
Przykłady stosowania tabel gwiazd zmiennych.....	177
efemerydy:	
gwiazd zmiennych zaćmieniowych.....	178
gwiazd zmiennych typu RR Lyr.....	182
cefeid.....	187
gwiazd zmiennych długookresowych.....	191
Zjawiska zakryciowe:	
Opis tabel – zakrycia gwiazd przez Księżyca.....	193
efemerydy zakryć gwiazd przez Księżyca.....	194
Opis tabel – zakrycia gwiazd przez planetoidy.....	204
mapki okolic gwiazd zakrywanych przez planetoidy.....	206
Tabele pomocnicze:	
Wybrane gwiazdy podwójne do testu rozdzielczości.....	214
Duże ciała Układu Słonecznego – planety i planety karłowane – tabela.....	217
Księżyce planet i planet karłowatych Układu Słonecznego – tabela.....	218

Wstęp

„Almanach Astronomiczny na rok 2010” jest kontynuacją wydawanych przez Polskie Towarzystwo Miłośników Astronomii w latach 1992-2007 „Kalendarzy Astronomicznych” oraz wydawanych w latach 2008-2009 przez Klub Astronomiczny Regulus elektronicznych wersji „Almanachów Astronomicznych”.

W roku 2010 będziemy mogli obserwować m.in. dwa zaćmienia Słońca (niestety, niewidoczne w Polsce), dwa zaćmienia Księżyca, w tym jedno całkowite, widoczne w Polsce, oraz przynajmniej sześć stosunkowo jasnych komet.

Opis wymienionych zjawisk (i nie tylko) można odnaleźć w niniejszym Kalendarzu.

W „Almanachu...” uwzględniono podział ciał Układu Słonecznego, wprowadzony na Zgromadzeniu Ogólnym Miedzynarodowej Unii Astronomicznej (IAU) w Pradze 24 sierpnia 2006 r., podając efemerydy i mapki tras planet karłowatych. Uaktualniono również m.in. tabele „Gwiazdy zmienne zaćmieniowe”, „Gwiazdy zmienne długookresowe”, „Gwiazdy podwójne do testu rozdzielczości” oraz „Księżyce planet Układu Słonecznego”.

Do obliczenia momentów zakryć gwiazd przez Księżyce wykorzystano program „Win Occult v.4.2”.

Do wielu obliczeń oraz mapek w niniejszym Kalendarzu użyto programu „Guide v.8.0” firmy Project Pluto. Wykorzystano także materiały NASA.

Wszystkie momenty w „Kalendarzu...” podano w czasie Greenwich (UT). Czas Uniwersalny (UT) jest średnim czasem słonecznym na południku zerowym (Greenwich). W związku z niejednorodnością upływu czasu UT związaną nierównomiernością obrotu Ziemi w 1960 roku wprowadzono tzw. Czas Efemeryd (ET), czyli czas jednostajnie płynący. Różnica między ET i UT w danym roku jest określana na podstawie obserwacji dopiero po jego upływie, można ją jednak z określoną dokładnością przewidzieć.

W niniejszym „Almanachu...” wszystkie momenty podawane są w czasie UT („czas zegarowy”), przy założeniu, że w 2010 roku różnica ET-UT wyniesie 73^s.

Uwaga:

Do pełnego wykorzystania „Almanachu...” wskazane jest posiadanie atlasu nieba.

Tomasz Ściążor

Efemerydy Słońca (str.14-36 parzyste)

Efemerydy Słońca i Księżyca są zestawione miesiącami. Dane podawane są dla 0^hUT każdego dnia danego miesiąca. W pierwszej kolumnie efemeryd Słońca podano daty kalendarzowe, natomiast w drugiej liczby Daty Juliańskiej (JD) południa odpowiedniej daty. W kolejnych trzech kolumnach podane są momenty wschodu i zachodu górnego brzegu tarczy Słońca w czasie Greenwich (UT) przy uwzględnieniu refrakcji w horyzoncie, oraz azymuty punktów wschodu i zachodu w punkcie o długości geograficznej $\lambda=0^\circ$ i szerokości geograficznej $\varphi=50^\circ$. Azymuty liczy się od południowego punktu horyzontu (dodatnie - na zachód, ujemne - na wschód). W granicach Polski poprawkę ΔT związaną z różnicą szerokości geograficznej odczytujemy z wykresów zamieszczonych na str.13 (górny - poprawki dla momentów wschodu i zachodu, dolny - poprawki dla azymutu).

Metoda odczytania wartości poprawki ΔT :

Dla interesującej nas daty odczytujemy z Kalendarza wartość azymutu wschodu (zachodu). Następnie znalezioną wartość azymutu odnajdujemy na osi poziomej górnego wykresu ze str.13. Przykładamy pionowo linijkę do osi poziomej w miejscu odczytanego azymutu. Z pęku krzywych widocznych na wykresie (dla $49^\circ, 50^\circ, 51^\circ, 52^\circ, 53^\circ, 54^\circ$ i 55° szerokości geograficznej północnej) wybieramy krzywą odpowiadającą szerokości geograficznej zbliżonej do naszego miejsca obserwacji (można, interpolując graficznie, wykreślić między krzywymi „własną” krzywą, odpowiadającą dokładnie żądanej szerokości geograficznej). Na osi pionowej wykresu odczytujemy wartość poprawki ΔT dla punktu przecięcia się linijki z „krzywą szerokości geograficznej”.

Poprawki związane z różnicą długości geograficznej liczymy wg. wzoru:

$$\Delta T_\lambda = \frac{\lambda - \Delta T}{48^h} (T_1 - T_3)$$

gdzie:

λ – długość geograficzna miejsca obserwacji wyrażona w godzinach,
 ΔT – odczytana z wykresu poprawka związana z szerokością geograficzną (należy także wyrazić w godzinach),
 T_1 – odczytany z efemerydy moment wschodu (zachodu) dla poprzedniego dnia,
 T_3 – odczytany z efemerydy moment wschodu (zachodu) dla kolejnego dnia po dniu obserwacji.

W przypadku Słońca poprawka ΔT_λ jest jednak w granicach Polski niewielka i można jej nie uwzględniać.

W celu określenia, o której godzinie aktualnego czasu urzędowego w miejscowości o długości geograficznej λ i szerokości geograficznej φ nastąpi wschód (bądź zachód) Słońca, należy posłużyć się formułą:

$$\text{dla wschodu: } T = T_k - \Delta T + \Delta T_\lambda - \lambda + S$$
$$\text{dla zachodu: } T = T_k + \Delta T + \Delta T_\lambda - \lambda + S$$

gdzie: T – moment zjawiska w danym czasie urzędowym w miejscu obserwacji,
 T_k – moment zjawiska odczytany z Kalendarza,

- ΔT – poprawka odczytana z wykresu (związana z szerokością geograficzną miejsca obserwacji),
 λ – długość geograficzna wyrażona w mierze czasowej (dodatnia na wschód od Greenwich) miejsca obserwacji.
 $S = 1^h$ dla tzw. „czasu zimowego” (CSE),
 $S = 2^h$ dla tzw. „czasu letniego” (CWE).

W przypadku wartości azymutu wschodu lub zachodu należy do wartości odczytanej z efemerydy dodać wartość poprawki odczytaną z dolnego wykresu na str.13 (metoda odczytu analogiczna jak dla poprawki ΔT):

$$A = A_k + \Delta A$$

W kolejnych kolumnach podane są: rektascensja α , deklinacja δ (widome na epokę daty), oraz równanie czasu η rozumiane jako różnica „prawdziwy czas słoneczny minus średni czas słoneczny”. Wszystkie te wielkości podane są dla momentu 0^h UT, tzn. dla średniej północy w Greenwich.

W ostatniej kolumnie podano wartość czasu gwiazdowego θ na południku Greenwich $\lambda=0^\circ$ w średnią północ Greenwich.

Pod tabelkami zamieszczony jest wykaz ważniejszych zjawisk astronomicznych widocznych w danym miesiącu. Podane są momenty złączeń planet (prawdziwych koniunkcji, a nie tylko złączeń w rektascensji lub długości ekleptycznej¹).

Efemerydy Księżyca (str.15-37 nieparzyste)

W comiesięcznych efemerydach Księżyca znajdują się analogicznie jak w efemerydach Słońca: data kalendarzowa, godziny wschodu i zachodu (uwagi, w tym dotyczące poprawek, jak dla Słońca; dla Księżyca nie można jednak pomijać poprawki ΔT_λ , która może przyjmować znaczące wartości), azymuty punktów wschodu i zachodu, rektascensja i deklinacja (widome na epokę daty). Dodano także moment kulminacji (górowania) Księżyca. Moment kulminacji w punkcie o długości geograficznej λ wyznaczamy z wzoru:

$$T = T_k + \Delta T_\lambda - \lambda + S$$

gdzie: T – moment zjawiska w danym czasie urzędowym w miejscu obserwacji
 T_k – moment zjawiska odczytany z Kalendarza,
 ΔT_λ – poprawka związana z różnicą długości geograficznej (poprawka $\Delta T=0$),
 λ – długość geograficzna wyrażona w mierze czasowej (dodatnia na wschód od Greenwich) miejsca obserwacji.

¹ Zwykle jako koniunkcję dwóch obiektów przyjmuje się moment, gdy ich rektascensje bądź długości ekleptyczne są równe. Łatwo sobie jednak wyobrazić sytuację, gdy np. Merkury zbliża się do Wenus na odległość zaledwie kilku minut kątowych, po czym zawraca, nie osiągając rektascensji Wenus. Zgodnie z klasyczną definicją koniunkcji takiego zdarzenia w „Kalendarzu...” nie należałoby zamieścić, gdyż koniunkcja nie zaszła. Pamiętajmy jednak, że celem „Kalendarza...” jest podawanie informacji o wszystkich interesujących zjawiskach na niebie, a trzymanie się takiego „formalizmu astronomicznego” mogłoby spowodować „przegapienie” wielu ciekawych złączeń planetarnych. W związku z tym wprowadzam pojęcie prawdziwej koniunkcji definiowanej jako moment największego wzajemnego zbliżenia dwóch obiektów na niebie. Należy także pamiętać, że momenty tak zdefiniowanej prawdziwej koniunkcji różnią się nieco od momentów koniunkcji wyznaczonych w sposób klasyczny.

$$S = 1^h \text{ dla tzw. „czasu zimowego” (CSE)}$$

$$S = 2^h \text{ dla tzw. „czasu letniego” (CWE)}$$

Ponadto podana jest także obserwowana średnica Księżyca **D** (w minutach kątowych ') oraz wielkość fazy **F** (1.00 - pełnia, 0.00 - now). Wartość ujemna fazy wskazuje na fazę malejącą (po pełni), wartość dodatnia na fazę rosnącą (po nowiu). Podane współrzędne równikowe α i δ są współrzędnymi geocentrycznymi, tzn. dla obserwatora znajdującego się w geometrycznym środku Ziemi. Na skutek niewielkiego oddalenia Księżyca od Ziemi widoczne z powierzchni Ziemi współrzędne α' i δ' (topocentryczne) mogą różnić się od współrzędnych α i δ nawet o 1° .

Aby przeliczyć podane w kalendarzu współrzędne geocentryczne α i δ na współrzędne topocentryczne dla miejsca obserwacji o szerokości geograficznej φ , posługujemy się wzorami:

$$\alpha' = \alpha - p_0 \cos \varphi \sin t / \cos \delta$$

$$\delta' = \delta - p_0 (\sin \varphi \cos t - \cos \varphi \sin \delta \cos t)$$

gdzie: φ - szerokość geograficzna miejsca obserwacji,
 t - kąt godzinny Księżyca ($t=s-\alpha$, s – czas gwiazdowy),
 p_0 - paralaksa horyzontalna Księżyca, $p_0 = 1.88 D$
(D - obserwowana średnica Księżyca).

Pod tabelkami zamieszczone są:

po lewej stronie: daty pierwszej i ostatniej kwadry, pełni i nowiu, momentów przejścia Księżyca przez perygeum i apogeum w danym miesiącu,
po prawej stronie: daty geocentrycznych złączeń w rektascensji Księżyca z planetami w danym miesiącu (N – planeta na północ od Księżyca, S – planeta na południe od Księżyca).

Wszystkie momenty podano w UT.

Prostokątne równikowe współrzędne Słońca (str.38-41)

Prostokątne współrzędne równikowe Słońca są danymi niezbędnymi dla każdego, kto zajmuje się obliczaniem efemeryd lub określaniem orbit na podstawie obserwacji. W Kalendarzu podano współrzędne X,Y,Z Słońca dla 0^h każdego dnia w roku względem średniego równika i punktu równonocy epoki 2000.0. Środkiem układu współrzędnych jest środek Ziemi, osie X i Y leżą w płaszczyźnie równika średniego, oś X jest skierowana do punktu równonocy epoki 2000.0, oś Y do punktu na równiku niebieskim o rektascensji $\alpha = 6^h 0^m 0^s$, a oś Z do bieguna północnego. Jednostką miary jest Jednostka Astronomiczna (j.a.).

Przykład 1 Obliczyć momenty oraz azymuty wschodu i zachodu Słońca w Lublinie dnia 22 lipca 2010r.

Rozwiązanie:

Współrzędne geograficzne Lublina: $\varphi = 51^{\circ}15' N$, $\lambda = 22^{\circ}35' E$ = $1^h30^m E$

Z Kalendarza dla 22 lipca odczytujemy moment wschodu Słońca:

$$T_k = 4^h16^m$$

datę zachodu Słońca:

$$T_k = 19^h57^m$$

oraz azymut wschodu (zachodu):

$$A = 124^\circ$$

Dla szerokości geograficznej Lublina i dla azymutu 124° z wykresów na str.13 odczytujemy:

$$\Delta T = +5^m$$

$$\Delta A = +1^\circ$$

Liczymy ΔT_λ :

Z Kalendarza odczytujemy dla 21 lipca: $T_1 = 4^h14^m$

dla 23 lipca: $T_3 = 4^h17^m$

Po podstawieniu do wzoru otrzymujemy: $\Delta T_\lambda = -5^s$, czyli zaniedbywalnie mało.

W tym okresie roku obowiązuje w Polsce czas letni, czyli:

$$\text{wschód } T = T_k - \Delta T - \lambda + 2^h = 4^h16^m - (+0^h05^m) - 1^h30^m + 2^h = 4^h41^m$$

$$\text{zachód } T = T_k + \Delta T - \lambda + 2^h = 19^h57^m + (+0^h05^m) - 1^h30^m + 2^h = 20^h32^m$$

$$\text{azymut } A = A_k + \Delta A = 125^\circ$$

Tak więc 22 lipca 2010 r. Słońce wjeździe w Lublinie o godz. 4^h41^m CWE, a zajdzie o godz. 20^h32^m CWE, azymut wschodu będzie wynosił -125° , a azymut zachodu $+125^\circ$.

Przykład 2 Obliczyć moment kulminacji Księżyca w Zielonej Górze dnia 4 kwietnia 2010r.

Rozwiązanie:

Współrzędne geograficzne Zielonej Góry: $\varphi = 51^{\circ}56' N$, $\lambda = 15^{\circ}31' E$ = $1^h02^m E$
Z Kalendarza dla 4 kwietnia odczytujemy moment kulminacji Księżyca:

$$T_k = 4^h23^m$$

Dla długości geograficznej Zielonej Góry liczymy ΔT_λ :

z Kalendarza odczytujemy dla 3 kwietnia: $T_1 = 3^h28^m$

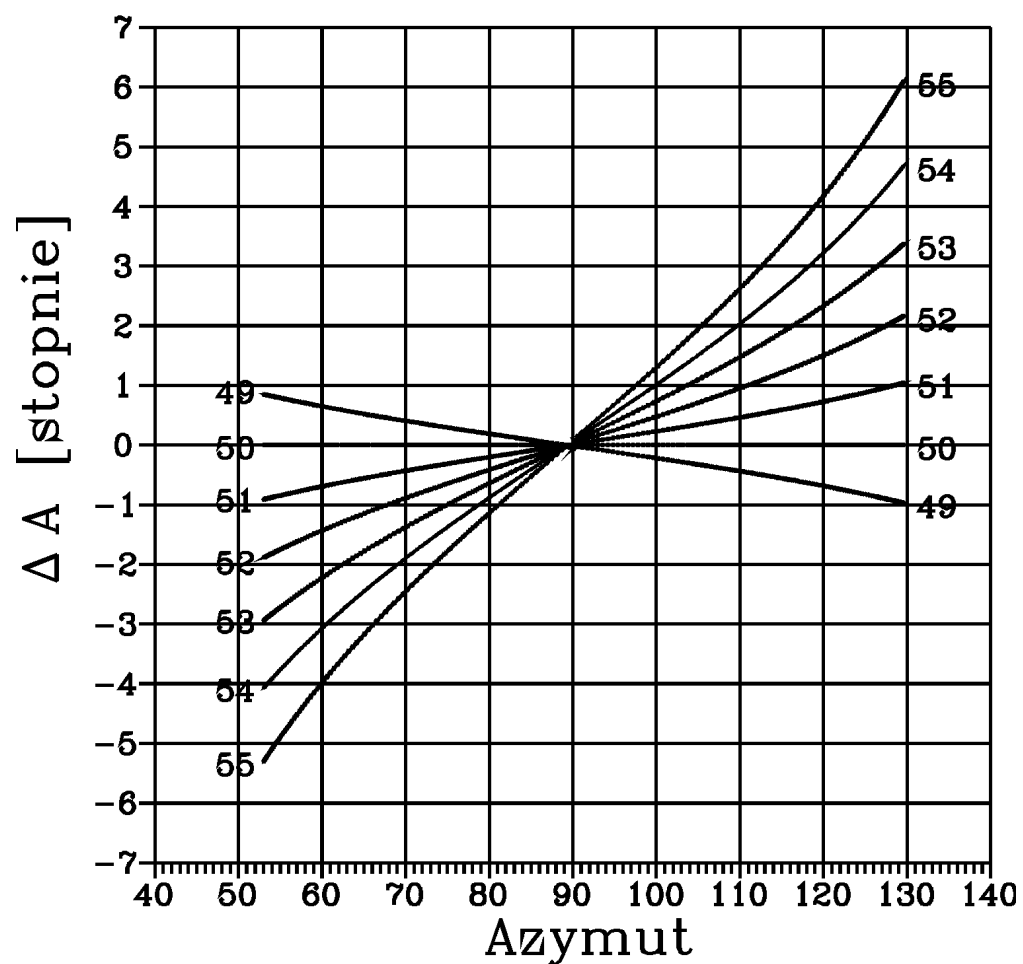
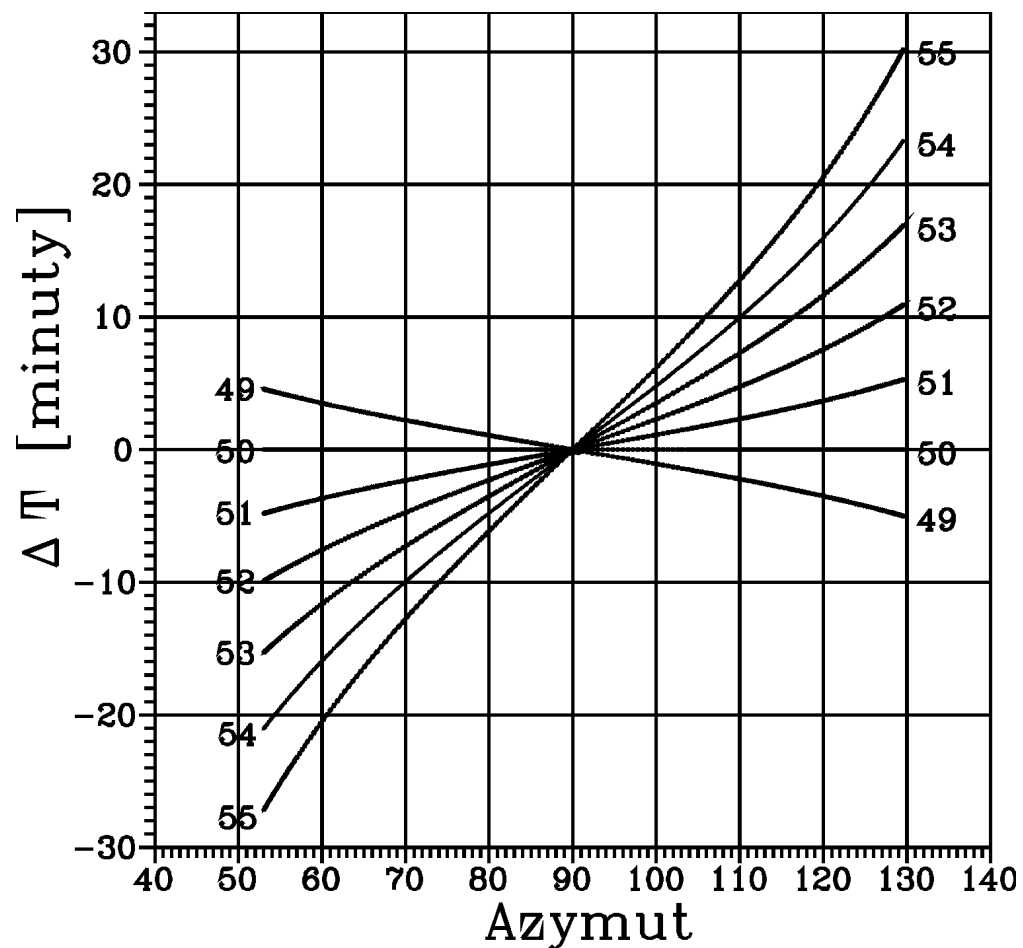
dla 5 kwietnia: $T_3 = 5^h16^m$

Po podstawieniu do wzoru otrzymujemy: $\Delta T_\lambda = -2^m20^s$.

W tym okresie roku obowiązuje w Polsce czas letni, czyli:

$$T = T_k + \Delta T_\lambda - \lambda + 2^h = 4^h23^m + (-0^h02^m) - 1^h02^m + 2^h = 5^h19^m$$

Tak więc 4 kwietnia 2010 r. kulminacja Księżyca w Zielonej Górze nastąpi o godzinie 5^h19^m CWE.



SŁOŃCE

d	JD	Wsch.	Zach.	A	α	δ	η	θ
		$\lambda=0$	$\varphi=50$		0^h UT			
STYCZEŃ 2010								
	2455	h m	h m	\pm°	h m s	$^\circ$ '	m s	h m s
1	198	7 59	16 09	54	18 45 28	-23 01.6	- 3 18	6 42 09
2	199	7 58	16 10	54	18 49 53	-22 56.6	- 3 46	6 46 06
3	200	7 58	16 11	54	18 54 17	-22 51.1	- 4 14	6 50 02
4	201	7 58	16 12	54	18 58 41	-22 45.2	- 4 41	6 53 59
5	202	7 58	16 13	55	19 03 05	-22 38.8	- 5 08	6 57 55
6	203	7 58	16 14	55	19 07 28	-22 32.0	- 5 35	7 01 52
7	204	7 57	16 16	55	19 11 51	-22 24.7	- 6 01	7 05 49
8	205	7 57	16 17	55	19 16 13	-22 17.0	- 6 27	7 09 45
9	206	7 56	16 18	55	19 20 35	-22 08.8	- 6 52	7 13 42
10	207	7 56	16 19	56	19 24 57	-22 00.2	- 7 17	7 17 38
11	208	7 55	16 21	56	19 29 17	-21 51.2	- 7 42	7 21 35
12	209	7 55	16 22	56	19 33 38	-21 41.8	- 8 05	7 25 31
13	210	7 54	16 24	57	19 37 57	-21 31.9	- 8 28	7 29 28
14	211	7 54	16 25	57	19 42 16	-21 21.6	- 8 51	7 33 24
15	212	7 53	16 26	57	19 46 35	-21 10.9	- 9 13	7 37 21
16	213	7 52	16 28	58	19 50 52	-20 59.8	- 9 34	7 41 18
17	214	7 51	16 29	58	19 55 09	-20 48.3	- 9 54	7 45 14
18	215	7 50	16 31	58	19 59 26	-20 36.4	-10 14	7 49 11
19	216	7 49	16 33	59	20 03 41	-20 24.1	-10 33	7 53 07
20	217	7 48	16 34	59	20 07 56	-20 11.4	-10 51	7 57 04
21	218	7 47	16 36	59	20 12 10	-19 58.3	-11 09	8 01 00
22	219	7 46	16 37	60	20 16 24	-19 44.9	-11 26	8 04 57
23	220	7 45	16 39	60	20 20 36	-19 31.1	-11 42	8 08 53
24	221	7 44	16 41	61	20 24 48	-19 16.9	-11 57	8 12 50
25	222	7 43	16 42	61	20 28 59	-19 02.4	-12 11	8 16 47
26	223	7 42	16 44	61	20 33 09	-18 47.6	-12 25	8 20 43
27	224	7 41	16 46	62	20 37 18	-18 32.4	-12 38	8 24 40
28	225	7 39	16 47	62	20 41 27	-18 16.8	-12 50	8 28 36
29	226	7 38	16 49	63	20 45 35	-18 01.0	-13 01	8 32 33
30	227	7 37	16 51	63	20 49 41	-17 44.8	-13 11	8 36 29
31	228	7 35	16 52	64	20 53 47	-17 28.3	-13 20	8 40 26

3 I 00^h Ziemia w peryhelium (0.98332536 j.a.)

5 I 8^h Merkury 3° N od Wenus

15 I Obrączkowe zaćmienie Słońca (widoczne w południowo-wschodniej Polsce jako częściowe o bardzo małej fazie)

KSIĘŻYC

d	Wsch.	Kulm.	Zach.	A_w	A_z	α	δ	D	F
	$\lambda=0^\circ$		$\phi=50^\circ$		0^h UT				
STYCZEŃ 2010									
	h m	h m	h m	$-^\circ$	$+^\circ$	h m s	$^\circ$ '	'	
1	17 10	0 16	8 34	124	126	6 57 51	23 30.0	33.3	-1.00
2	18 39	1 18	9 08	115	119	8 01 07	19 50.7	33.3	-0.98
3	20 07	2 16	9 33	106	110	9 00 55	14 53.0	33.2	-0.93
4	21 31	3 10	9 55	95	100	9 57 06	9 04.8	33.0	-0.86
5	22 53	4 00	10 13	85	90	10 50 20	2 53.5	32.6	-0.76
6	—	4 49	10 31	—	81	11 41 38	- 3 17.3	32.2	-0.66
7	0 12	5 37	10 50	75	72	12 32 05	- 9 08.3	31.7	-0.55
8	1 30	6 26	11 11	67	63	13 22 40	-14 24.0	31.3	-0.44
9	2 46	7 15	11 36	59	57	14 14 07	-18 51.3	30.9	-0.34
10	3 58	8 06	12 08	53	51	15 06 47	-22 18.9	30.5	-0.25
11	5 06	8 58	12 47	49	48	16 00 36	-24 38.1	30.2	-0.16
12	6 04	9 50	13 36	47	47	16 55 00	-25 43.1	30.0	-0.10
13	6 52	10 42	14 35	48	49	17 49 05	-25 32.4	29.8	-0.05
14	7 29	11 31	15 39	51	53	18 41 56	-24 09.4	29.6	-0.02
15	7 58	12 19	16 47	57	59	19 32 48	-21 41.6	29.5	-0.00
16	8 21	13 03	17 55	63	66	20 21 21	-18 19.5	29.4	0.00
17	8 40	13 46	19 02	70	73	21 07 41	-14 14.4	29.4	0.03
18	8 56	14 27	20 09	78	81	21 52 12	- 9 37.6	29.4	0.06
19	9 11	15 07	21 16	86	90	22 35 33	- 4 39.6	29.5	0.12
20	9 26	15 47	22 23	94	98	23 18 31	0 29.9	29.7	0.19
21	9 41	16 29	23 32	102	107	0 02 00	5 41.4	29.9	0.27
22	9 58	17 13	—	110	—	0 46 58	10 45.1	30.2	0.36
23	10 19	18 00	0 44	117	115	1 34 25	15 29.4	30.6	0.46
24	10 45	18 52	1 58	124	122	2 25 18	19 40.2	31.0	0.56
25	11 21	19 49	3 14	129	128	3 20 20	23 00.0	31.5	0.66
26	12 10	20 50	4 26	132	132	4 19 36	25 08.6	32.0	0.76
27	13 14	21 53	5 30	132	132	5 22 22	25 46.3	32.6	0.85
28	14 33	22 56	6 22	127	129	6 26 54	24 39.8	33.0	0.93
29	16 01	23 56	7 02	120	123	7 31 03	21 47.5	33.3	0.98
30	17 32	—	7 32	111	115	8 33 03	17 22.4	33.5	1.00
31	19 01	0 54	7 56	101	105	9 32 03	11 48.0	33.5	-0.99

ostatnia kwadra:	7 I	10 ^h 40 ^m	3 I	11.6 ^h	Mars	7°N
nów:	15 I	7 ^h 11 ^m	6 I	18.5 ^h	Saturn	8°N
pierwsza kwadra:	23 I	10 ^h 53 ^m	13 I	16.2 ^h	Merkury	5°N
pełnia:	30 I	6 ^h 18 ^m	15 I	9.7 ^h	Wenus	1.4°S
			17 I	23.0 ^h	Neptun	4°S
perygeum:	1 I	20 ^h 37 ^m	18 I	9.8 ^h	Jowisz	5°S
apogeum:	17 I	1 ^h 41 ^m	20 I	10.9 ^h	Uran	6°S
perygeum:	30 I	9 ^h 04 ^m				

SŁONCE

d	JD	Wsch.	Zach.	A	α	δ	η	θ
		$\lambda=0$	$\phi=50$			0 ^h UT		
LUTY 2010								
	2455	h m	h m	\pm°	h m s	$^\circ$ '	m s	h m s
1	229	7 34	16 54	64	20 57 53	-17 11.5	-13 29	8 44 22
2	230	7 32	16 56	65	21 01 57	-16 54.4	-13 37	8 48 19
3	231	7 31	16 57	65	21 06 01	-16 37.0	-13 44	8 52 16
4	232	7 29	16 59	66	21 10 04	-16 19.3	-13 50	8 56 12
5	233	7 28	17 01	66	21 14 06	-16 01.3	-13 56	9 00 09
6	234	7 26	17 03	67	21 18 07	-15 43.0	-14 01	9 04 05
7	235	7 25	17 04	67	21 22 07	-15 24.5	-14 04	9 08 02
8	236	7 23	17 06	68	21 26 07	-15 05.7	-14 08	9 11 58
9	237	7 21	17 08	68	21 30 06	-14 46.6	-14 10	9 15 55
10	238	7 20	17 09	69	21 34 04	-14 27.3	-14 11	9 19 51
11	239	7 18	17 11	69	21 38 01	-14 07.8	-14 12	9 23 48
12	240	7 16	17 13	70	21 41 58	-13 48.0	-14 12	9 27 45
13	241	7 14	17 15	70	21 45 54	-13 28.0	-14 12	9 31 41
14	242	7 13	17 16	71	21 49 49	-13 07.7	-14 10	9 35 38
15	243	7 11	17 18	71	21 53 43	-12 47.3	-14 08	9 39 34
16	244	7 09	17 20	72	21 57 37	-12 26.6	-14 05	9 43 31
17	245	7 07	17 22	72	22 01 30	-12 05.8	-14 01	9 47 27
18	246	7 05	17 23	73	22 05 22	-11 44.7	-13 57	9 51 24
19	247	7 03	17 25	74	22 09 14	-11 23.5	-13 52	9 55 20
20	248	7 02	17 27	74	22 13 04	-11 02.1	-13 46	9 59 17
21	249	7 00	17 28	75	22 16 54	-10 40.5	-13 40	10 03 14
22	250	6 58	17 30	75	22 20 44	-10 18.8	-13 33	10 07 10
23	251	6 56	17 32	76	22 24 33	-9 56.9	-13 25	10 11 07
24	252	6 54	17 33	76	22 28 21	-9 34.8	-13 17	10 15 03
25	253	6 52	17 35	77	22 32 09	-9 12.7	-13 08	10 19 00
26	254	6 50	17 37	78	22 35 56	-8 50.3	-12 58	10 22 56
27	255	6 48	17 39	78	22 39 42	-8 27.9	-12 48	10 26 53
28	256	6 46	17 40	79	22 43 28	-8 05.3	-12 37	10 30 49
1	229	7 34	16 54	64	20 57 53	-17 11.5	-13 29	8 44 22

8 II 6^h Wenus 1°S od Neptuna

17 II 2^h Wenus 0.5°S od Jowisza

27 II 14^h Merkury 2°S od Neptuna

KSIĘŻYC

d	Wsch.	Kulm.	Zach.	A_w	A_z	α	δ	D	F
	$\lambda=0^\circ$		$\varphi=50^\circ$		0 ^h UT				
LUTY 2010									
	h m	h m	h m	-°	+°	h m s	° '	'	
1	20 27	1 48	8 16	90	95	10 28 09	5 33.1	33.3	-0.95
2	21 51	2 39	8 35	80	85	11 22 02	- 0 53.7	32.9	-0.89
3	23 12	3 30	8 55	70	75	12 14 41	- 7 07.6	32.4	-0.81
4	—	4 20	9 15	—	66	13 06 58	-12 48.0	31.9	-0.71
5	0 31	5 10	9 40	62	59	13 59 39	-17 39.0	31.4	-0.61
6	1 47	6 02	10 09	55	53	14 53 07	-21 28.4	30.9	-0.50
7	2 57	6 54	10 47	50	49	15 47 21	-24 07.6	30.5	-0.40
8	3 59	7 46	11 33	47	47	16 41 56	-25 31.5	30.1	-0.30
9	4 50	8 38	12 28	48	48	17 36 07	-25 39.3	29.9	-0.22
10	5 31	9 28	13 30	50	52	18 29 06	-24 34.1	29.6	-0.14
11	6 02	10 16	14 37	55	57	19 20 14	-22 23.0	29.5	-0.08
12	6 27	11 01	15 45	61	63	20 09 11	-19 15.3	29.4	-0.04
13	6 47	11 45	16 53	67	71	20 56 00	-15 21.5	29.4	-0.01
14	7 04	12 26	18 00	75	79	21 41 00	-10 52.6	29.4	-0.00
15	7 19	13 07	19 07	83	87	22 24 45	- 5 59.1	29.5	0.01
16	7 34	13 47	20 14	91	95	23 07 57	- 0 51.5	29.6	0.03
17	7 49	14 28	21 22	99	104	23 51 21	4 20.2	29.7	0.08
18	8 05	15 11	22 32	107	112	0 35 50	9 25.4	30.0	0.13
19	8 25	15 57	23 44	115	119	1 22 13	14 12.7	30.2	0.21
20	8 48	16 46	—	122	—	2 11 22	18 29.2	30.5	0.30
21	9 19	17 39	0 58	127	126	3 03 54	21 59.9	30.9	0.39
22	10 01	18 36	2 09	131	130	4 00 07	24 27.9	31.4	0.50
23	10 56	19 36	3 15	132	132	4 59 37	25 36.5	31.8	0.61
24	12 06	20 36	4 10	130	131	6 01 21	25 12.0	32.3	0.71
25	13 27	21 36	4 54	124	126	7 03 41	23 08.3	32.7	0.81
26	14 55	22 34	5 28	116	119	8 05 04	19 29.9	33.1	0.89
27	16 24	23 30	5 55	106	111	9 04 28	14 31.7	33.3	0.96
28	17 52	—	6 17	96	101	10 01 38	8 36.6	33.4	0.99

ostatnia kwadra: 5 II 23^h49^m 3 II 2.3^h Saturn 8°N
 nów: 14 II 2^h51^m 12 II 6.0^h Merkury 2°S
 pierwsza kwadra: 22 II 0^h42^m 14 II 7.2^h Neptun 4°S
 pełnia: 28 II 16^h38^m 15 II 1.6^h Wenus 6°S
 15 II 5.5^h Jowisz 5°S
 apogeum: 13 II 2^h07^m 16 II 19.3^h Uran 6°S
 perygeum: 27 II 21^h41^m 26 II 5.2^h Mars 5°N

SŁÓŃCE

d	JD	Wsch.	Zach.	A	α	δ	η	θ
		$\lambda=0$	$\varphi=50$		0^h UT			
MARZEC 2010								
	2455	h m	h m	\pm°	h m s	$^\circ$ '	m s	h m s
1	257	6 44	17 42	79	22 47 13	- 7 42.6	-12 26	10 34 46
2	258	6 42	17 43	80	22 50 58	- 7 19.8	-12 14	10 38 43
3	259	6 40	17 45	81	22 54 42	- 6 56.9	-12 02	10 42 39
4	260	6 38	17 47	81	22 58 26	- 6 33.9	-11 49	10 46 36
5	261	6 35	17 48	82	23 02 09	- 6 10.8	-11 36	10 50 32
6	262	6 33	17 50	82	23 05 52	- 5 47.6	-11 23	10 54 29
7	263	6 31	17 52	83	23 09 35	- 5 24.3	-11 09	10 58 25
8	264	6 29	17 53	84	23 13 17	- 5 00.9	-10 54	11 02 22
9	265	6 27	17 55	84	23 16 59	- 4 37.5	-10 39	11 06 18
10	266	6 25	17 57	85	23 20 40	- 4 14.0	-10 24	11 10 15
11	267	6 23	17 58	85	23 24 22	- 3 50.5	-10 09	11 14 12
12	268	6 21	18 00	86	23 28 02	- 3 26.9	- 9 53	11 18 08
13	269	6 18	18 01	87	23 31 43	- 3 03.3	- 9 37	11 22 05
14	270	6 16	18 03	87	23 35 23	- 2 39.6	- 9 21	11 26 01
15	271	6 14	18 05	88	23 39 03	- 2 16.0	- 9 04	11 29 58
16	272	6 12	18 06	89	23 42 43	- 1 52.2	- 8 48	11 33 54
17	273	6 10	18 08	89	23 46 23	- 1 28.5	- 8 31	11 37 51
18	274	6 08	18 09	90	23 50 02	- 1 04.8	- 8 13	11 41 47
19	275	6 05	18 11	90	23 53 41	- 0 41.1	- 7 56	11 45 44
20	276	6 03	18 13	91	23 57 20	- 0 17.3	- 7 39	11 49 41
21	277	6 01	18 14	92	0 00 59	0 06.4	52 39	11 53 37
22	278	5 59	18 16	92	0 04 38	0 30.1	52 57	11 57 34
23	279	5 57	18 17	93	0 08 16	0 53.8	- 6 45	12 01 30
24	280	5 55	18 19	93	0 11 55	1 17.4	- 6 27	12 05 27
25	281	5 52	18 21	94	0 15 33	1 41.0	- 6 09	12 09 23
26	282	5 50	18 22	95	0 19 12	2 04.6	- 5 51	12 13 20
27	283	5 48	18 24	95	0 22 50	2 28.1	- 5 33	12 17 16
28	284	5 46	18 25	96	0 26 28	2 51.6	- 5 14	12 21 13
29	285	5 44	18 27	97	0 30 07	3 15.0	- 4 56	12 25 10
30	286	5 42	18 28	97	0 33 45	3 38.4	- 4 38	12 29 06
31	287	5 39	18 30	98	0 37 24	4 01.7	- 4 20	12 33 03

4 III 4^h Wenus 0.6° S od Urana

6 III 6^h Merkury 3° N od Jowisza

15 III 10^h Merkury 0.7° S od Urana

20 III 17^h32^m Początek astronomicznej wiosny

KSIĘŻYC

d	Wsch.	Kulm.	Zach.	A_w	A_z	α	δ	D	F
	$\lambda=0^\circ$		$\phi=50^\circ$		0^h UT				
MARZEC 2010									
	h m	h m	h m	-°	+°	h m s	° '	'	
1	19 18	0 23	6 37	85	90	10 56 58	2 11.3	33.3	-1.00
2	20 43	1 15	6 57	75	80	11 51 10	- 4 16.6	33.0	-0.97
3	22 06	2 07	7 18	66	71	12 45 03	-10 22.2	32.6	-0.92
4	23 26	2 59	7 41	58	62	13 39 19	-15 43.8	32.1	-0.85
5	—	3 52	8 10	—	55	14 34 18	-20 04.8	31.6	-0.76
6	0 42	4 46	8 45	52	50	15 29 58	-23 13.5	31.1	-0.67
7	1 48	5 40	9 29	48	48	16 25 50	-25 03.4	30.6	-0.57
8	2 44	6 33	10 22	48	48	17 21 08	-25 33.8	30.2	-0.47
9	3 29	7 24	11 22	49	50	18 15 02	-24 48.3	29.9	-0.37
10	4 04	8 13	12 27	53	55	19 06 54	-22 54.5	29.6	-0.28
11	4 31	8 59	13 35	59	61	19 56 26	-20 02.2	29.5	-0.20
12	4 52	9 43	14 42	65	68	20 43 44	-16 21.6	29.4	-0.13
13	5 11	10 25	15 50	72	76	21 29 09	-12 03.3	29.4	-0.07
14	5 27	11 06	16 57	80	84	22 13 16	- 7 17.3	29.5	-0.03
15	5 42	11 46	18 04	88	92	22 56 45	- 2 13.4	29.6	-0.01
16	5 57	12 27	19 12	96	101	23 40 23	2 58.0	29.8	0.00
17	6 13	13 10	20 22	105	109	0 24 57	8 06.1	30.0	0.01
18	6 32	13 55	21 34	112	117	1 11 15	12 59.2	30.2	0.05
19	6 54	14 43	22 47	119	124	2 00 00	17 23.6	30.4	0.10
20	7 23	15 35	23 59	125	129	2 51 45	21 04.6	30.7	0.16
21	8 01	16 30	—	130	—	3 46 42	23 46.3	31.0	0.25
22	8 51	17 27	1 05	132	131	4 44 31	25 13.5	31.4	0.34
23	9 53	18 26	2 03	131	131	5 44 15	25 14.3	31.7	0.45
24	11 08	19 24	2 49	126	128	6 44 36	23 43.1	32.1	0.56
25	12 29	20 21	3 26	120	122	7 44 13	20 42.3	32.4	0.67
26	13 54	21 15	3 54	111	115	8 42 15	16 22.3	32.7	0.78
27	15 20	22 08	4 18	101	105	9 38 26	10 59.9	32.9	0.87
28	16 45	23 00	4 39	91	96	10 33 07	4 56.5	33.0	0.94
29	18 10	23 51	4 58	80	86	11 26 58	- 1 24.2	33.0	0.98
30	19 34	—	5 19	70	76	12 20 46	- 7 37.9	32.8	1.00
31	20 57	0 44	5 41	62	67	13 15 16	-13 20.8	32.5	-0.99

ostatnia kwadra:	7 III	15 ^h 42 ^m	2 III	10.3 ^h	Saturn	8°N
nów:	15 III	21 ^h 01 ^m	13 III	15.7 ^h	Neptun	4°S
pierwsza kwadra:	23 III	11 ^h 00 ^m	15 III	1.7 ^h	Jowisz	6°S
pełnia:	30 III	2 ^h 25 ^m	16 III	4.4 ^h	Uran	6°S
			16 III	6.3 ^h	Merkury	7°S
apogeum:	12 III	10 ^h 08 ^m	17 III	11.7 ^h	Wenus	7°S
perygeum:	28 III	4 ^h 57 ^m	25 III	14.0 ^h	Mars	5°N

SŁONCE

d	JD	Wsch.	Zach.	A	α	δ	η	θ
		$\lambda=0$	$\phi=50$		0^h UT			
KWIETIEN 2010								
	2455	h m	h m	\pm°	h m s	$^\circ$ '	m s	h m s
1	288	5 37	18 32	98	0 41 02	4 24.9	- 4 02	12 36 59
2	289	5 35	18 33	99	0 44 41	4 48.0	- 3 44	12 40 56
3	290	5 33	18 35	100	0 48 20	5 11.1	- 3 26	12 44 52
4	291	5 31	18 36	100	0 51 58	5 34.0	- 3 09	12 48 49
5	292	5 29	18 38	101	0 55 38	5 56.9	- 2 51	12 52 45
6	293	5 26	18 39	101	0 59 17	6 19.7	- 2 34	12 56 42
7	294	5 24	18 41	102	1 02 56	6 42.3	- 2 17	13 00 39
8	295	5 22	18 43	103	1 06 36	7 04.9	- 2 00	13 04 35
9	296	5 20	18 44	103	1 10 16	7 27.3	- 1 44	13 08 32
10	297	5 18	18 46	104	1 13 56	7 49.6	- 1 27	13 12 28
11	298	5 16	18 47	104	1 17 37	8 11.8	- 1 11	13 16 25
12	299	5 14	18 49	105	1 21 18	8 33.8	- 0 55	13 20 21
13	300	5 12	18 50	105	1 24 59	8 55.7	- 0 40	13 24 18
14	301	5 10	18 52	106	1 28 40	9 17.4	- 0 25	13 28 14
15	302	5 08	18 54	107	1 32 22	9 39.0	- 0 10	13 32 11
16	303	5 06	18 55	107	1 36 04	10 00.5	0 04	13 36 08
17	304	5 04	18 57	108	1 39 47	10 21.7	0 18	13 40 04
18	305	5 02	18 58	108	1 43 30	10 42.8	0 32	13 44 01
19	306	5 00	19 00	109	1 47 13	11 03.7	0 45	13 47 57
20	307	4 58	19 01	109	1 50 57	11 24.4	0 58	13 51 54
21	308	4 56	19 03	110	1 54 41	11 45.0	1 11	13 55 50
22	309	4 54	19 05	111	1 58 25	12 05.3	1 23	13 59 47
23	310	4 52	19 06	111	2 02 10	12 25.5	1 34	14 03 43
24	311	4 50	19 08	112	2 05 55	12 45.4	1 46	14 07 40
25	312	4 48	19 09	112	2 09 41	13 05.1	1 56	14 11 37
26	313	4 46	19 11	113	2 13 27	13 24.6	2 07	14 15 33
27	314	4 44	19 12	113	2 17 14	13 43.9	2 17	14 19 30
28	315	4 42	19 14	114	2 21 01	14 03.0	2 26	14 23 26
29	316	4 40	19 15	114	2 24 49	14 21.8	2 35	14 27 23
30	317	4 39	19 17	115	2 28 37	14 40.4	2 43	14 31 19

3 IV 16^h Merkury 3° N od Wenus

KSIĘŻYC

d	Wsch.	Kulm.	Zach.	A_w	A_z	α	δ	D	F
	$\lambda=0^\circ$		$\phi=50^\circ$		0^{h}UT				
KWIETNI 2010									
	h m	h m	h m	$-^\circ$	$+\circ$	h m s	$^\circ$ '	'	
1	22 17	1 37	6 08	55	59	14 10 53	-18 11.9	32.1	-0.95
2	23 30	2 32	6 41	50	53	15 07 36	-21 54.4	31.6	-0.89
3	—	3 28	7 22	—	49	16 04 54	-24 17.4	31.1	-0.82
4	0 32	4 23	8 13	48	48	17 01 53	-25 16.9	30.7	-0.73
5	1 23	5 16	9 12	49	50	17 57 28	-24 55.6	30.3	-0.64
6	2 02	6 06	10 16	52	54	18 50 50	-23 21.4	29.9	-0.54
7	2 32	6 54	11 23	57	59	19 41 35	-20 45.1	29.7	-0.44
8	2 56	7 39	12 31	63	66	20 29 45	-17 18.1	29.6	-0.35
9	3 15	8 22	13 38	70	73	21 15 43	-13 11.4	29.5	-0.26
10	3 32	9 03	14 45	78	81	22 00 09	- 8 34.8	29.5	-0.19
11	3 48	9 43	15 52	85	89	22 43 46	- 3 37.8	29.6	-0.12
12	4 03	10 25	17 00	94	98	23 27 25	1 30.3	29.8	-0.06
13	4 20	11 07	18 09	102	106	0 11 56	6 39.3	30.0	-0.03
14	4 38	11 52	19 21	110	114	0 58 09	11 37.7	30.3	-0.00
15	4 59	12 40	20 35	117	121	1 46 50	16 11.8	30.5	0.00
16	5 27	13 31	21 48	123	127	2 38 32	20 06.0	30.8	0.02
17	6 02	14 25	22 57	128	130	3 33 28	23 03.4	31.1	0.07
18	6 49	15 23	23 58	131	131	4 31 14	24 48.0	31.4	0.13
19	7 48	16 21	—	131	—	5 30 50	25 07.5	31.6	0.21
20	8 58	17 19	0 47	127	129	6 30 51	23 56.4	31.8	0.31
21	10 17	18 15	1 26	122	124	7 29 54	21 17.8	32.1	0.42
22	11 38	19 08	1 56	114	117	8 27 05	17 22.0	32.3	0.53
23	13 01	20 00	2 21	105	109	9 22 12	12 24.8	32.4	0.64
24	14 23	20 50	2 42	95	99	10 15 36	6 44.5	32.5	0.75
25	15 45	21 40	3 01	85	90	11 08 01	0 41.1	32.5	0.84
26	17 07	22 31	3 21	75	80	12 00 22	- 5 24.6	32.5	0.92
27	18 29	23 23	3 42	66	71	12 53 30	-11 11.4	32.3	0.97
28	19 50	—	4 07	58	63	13 48 03	-16 18.5	32.1	0.99
29	21 07	0 18	4 37	52	56	14 44 15	-20 26.8	31.8	-1.00
30	22 15	1 13	5 14	49	51	15 41 46	-23 21.0	31.4	-0.97

ostatnia kwadra:	6 IV	9 ^h 37 ^m	10 IV	0.7 ^h	Neptun	4°S
nów:	14 IV	12 ^h 29 ^m	11 IV	22.1 ^h	Jowisz	6°S
pierwsza kwadra:	21 IV	18 ^h 20 ^m	12 IV	14.4 ^h	Uran	6°S
pełnia:	28 IV	12 ^h 18 ^m	15 IV	22.8 ^h	Merkury	1.5°S
apogeum:	9 IV	2 ^h 46 ^m	16 IV	13.0 ^h	Wenus	4°S
perygeum:	24 IV	21 ^h 00 ^m	22 IV	9.5 ^h	Mars	5°N
			25 IV	23.7 ^h	Saturn	8°N

SŁÓŃCE

d	JD	Wsch.	Zach.	A	α	δ	η	θ
		$\lambda=0$	$\phi=50$		0^h UT			
MAJ 2010								
	2455	h m	h m	\pm°	h m s	$^\circ$ '	m s	h m s
1	318	4 37	19 18	115	2 32 26	14 58.7	2 51	14 35 16
2	319	4 35	19 20	116	2 36 15	15 16.8	2 58	14 39 12
3	320	4 33	19 22	116	2 40 05	15 34.7	3 05	14 43 09
4	321	4 32	19 23	117	2 43 56	15 52.3	3 11	14 47 06
5	322	4 30	19 25	117	2 47 47	16 09.6	3 17	14 51 02
6	323	4 28	19 26	118	2 51 38	16 26.7	3 22	14 54 59
7	324	4 27	19 28	118	2 55 30	16 43.5	3 26	14 58 55
8	325	4 25	19 29	119	2 59 23	17 00.0	3 30	15 02 52
9	326	4 23	19 31	119	3 03 16	17 16.2	3 33	15 06 48
10	327	4 22	19 32	119	3 07 10	17 32.2	3 36	15 10 45
11	328	4 20	19 33	120	3 11 05	17 47.8	3 38	15 14 41
12	329	4 19	19 35	120	3 15 00	18 03.2	3 39	15 18 38
13	330	4 17	19 36	121	3 18 55	18 18.2	3 40	15 22 35
14	331	4 16	19 38	121	3 22 52	18 33.0	3 40	15 26 31
15	332	4 14	19 39	122	3 26 48	18 47.4	3 40	15 30 28
16	333	4 13	19 41	122	3 30 46	19 01.5	3 39	15 34 24
17	334	4 12	19 42	122	3 34 44	19 15.3	3 38	15 38 21
18	335	4 10	19 43	123	3 38 42	19 28.8	3 36	15 42 17
19	336	4 09	19 45	123	3 42 41	19 41.9	3 34	15 46 14
20	337	4 08	19 46	123	3 46 41	19 54.7	3 31	15 50 10
21	338	4 07	19 47	124	3 50 41	20 07.2	3 27	15 54 07
22	339	4 05	19 49	124	3 54 41	20 19.3	3 23	15 58 04
23	340	4 04	19 50	125	3 58 42	20 31.0	3 19	16 02 00
24	341	4 03	19 51	125	4 02 44	20 42.4	3 14	16 05 57
25	342	4 02	19 52	125	4 06 46	20 53.5	3 08	16 09 53
26	343	4 01	19 54	125	4 10 49	21 04.2	3 02	16 13 50
27	344	4 00	19 55	126	4 14 52	21 14.5	2 56	16 17 46
28	345	3 59	19 56	126	4 18 55	21 24.4	2 49	16 21 43
29	346	3 58	19 57	126	4 22 59	21 34.0	2 41	16 25 39
30	347	3 58	19 58	127	4 27 04	21 43.3	2 33	16 29 36
31	348	3 57	19 59	127	4 31 08	21 52.1	2 25	16 33 33

KSIĘŻYC

d	Wsch.	Kulm.	Zach.	A_w	A_z	α	δ	D	F
	$\lambda=0^\circ$		$\phi=50^\circ$			0^h UT			
MAJ 2010									
	h m	h m	h m	$-^\circ$	$+\circ$	h m s	$^\circ$ '	'	
1	23 12	2 09	6 02	49	49	16 39 40	-24 52.4	31.0	-0.93
2	23 57	3 04	6 58	51	49	17 36 45	-24 59.7	30.6	-0.86
3	—	3 57	8 02	—	52	18 31 52	-23 48.7	30.3	-0.79
4	0 31	4 46	9 09	55	57	19 24 15	-21 30.3	30.0	-0.70
5	0 57	5 33	10 17	61	63	20 13 46	-18 17.0	29.7	-0.61
6	1 19	6 17	11 24	68	70	21 00 40	-14 21.1	29.6	-0.52
7	1 37	6 58	12 31	75	78	21 45 35	- 9 53.7	29.6	-0.42
8	1 53	7 39	13 38	83	86	22 29 19	- 5 04.3	29.6	-0.33
9	2 08	8 20	14 45	91	95	23 12 44	- 0 01.8	29.8	-0.25
10	2 24	9 02	15 53	99	103	23 56 46	5 05.0	30.0	-0.17
11	2 42	9 45	17 04	107	111	0 42 20	10 05.7	30.3	-0.10
12	3 02	10 32	18 18	114	119	1 30 21	14 47.8	30.6	-0.05
13	3 27	11 23	19 32	121	125	2 21 32	18 56.2	30.9	-0.01
14	4 00	12 17	20 44	127	129	3 16 15	22 13.2	31.2	-0.00
15	4 44	13 15	21 49	130	131	4 14 18	24 20.5	31.6	0.01
16	5 40	14 14	22 44	131	130	5 14 43	25 03.0	31.8	0.05
17	6 49	15 13	23 26	128	125	6 15 53	24 12.4	32.0	0.10
18	8 06	16 11	23 59	123	119	7 16 07	21 50.5	32.2	0.18
19	9 27	17 05	—	116	—	8 14 14	18 08.5	32.3	0.28
20	10 49	17 57	0 25	107	111	9 09 46	13 23.3	32.3	0.39
21	12 10	18 46	0 47	98	102	10 03 02	7 54.5	32.3	0.50
22	13 30	19 35	1 07	88	93	10 54 46	2 01.8	32.3	0.62
23	14 50	20 24	1 26	78	83	11 45 56	- 3 55.7	32.2	0.72
24	16 10	21 15	1 46	69	74	12 37 30	- 9 39.3	32.0	0.82
25	17 30	22 07	2 08	61	66	13 30 19	-14 50.7	31.8	0.90
26	18 47	23 01	2 35	54	58	14 24 53	-19 12.2	31.6	0.95
27	19 58	23 57	3 09	50	53	15 21 11	-22 28.0	31.3	0.99
28	21 00	—	3 52	49	49	16 18 37	-24 26.2	31.0	-1.00
29	21 50	0 52	4 45	50	49	17 16 02	-25 01.5	30.7	-0.99
30	22 28	1 46	5 46	53	51	18 12 09	-24 15.8	30.4	-0.96
31	22 58	2 38	6 53	59	55	19 05 54	-22 17.8	30.1	-0.91

ostatnia kwadra:	6 V	4 ^h 15 ^m	7 V	9.8 ^h	Neptun	4°S
nów:	14 V	1 ^h 04 ^m	9 V	17.8 ^h	Jowisz	7°S
pierwsza kwadra:	20 V	23 ^h 43 ^m	10 V	1.1 ^h	Uran	6°S
pełnia:	27 V	23 ^h 07 ^m	12 V	16.7 ^h	Merkury	8°S
apogeum:	6 V	21 ^h 54 ^m	16 V	10.3 ^h	Wenus	0.1°S
perigeum:	20 V	8 ^h 40 ^m	20 V	11.9 ^h	Mars	5°N
			23 V	4.8 ^h	Saturn	8°N

SŁONCE

d	JD	Wsch.	Zach.	A	α	δ	η	θ
		$\lambda=0$	$\phi=50$		0^h UT			
CZERWIEC 2010								
	2455	h m	h m	\pm°	h m s	$^\circ$ '	m s	h m s
1	349	3 56	20 00	127	4 35 14	22 00.6	2 16	16 37 29
2	350	3 55	20 01	127	4 39 19	22 08.6	2 07	16 41 26
3	351	3 55	20 02	128	4 43 26	22 16.3	1 58	16 45 22
4	352	3 54	20 03	128	4 47 32	22 23.6	1 48	16 49 19
5	353	3 53	20 04	128	4 51 39	22 30.5	1 37	16 53 15
6	354	3 53	20 05	128	4 55 46	22 37.1	1 27	16 57 12
7	355	3 52	20 06	128	4 59 54	22 43.2	1 16	17 01 08
8	356	3 52	20 07	128	5 04 01	22 48.9	1 05	17 05 05
9	357	3 52	20 07	129	5 08 10	22 54.2	0 53	17 09 02
10	358	3 51	20 08	129	5 12 18	22 59.1	0 41	17 12 58
11	359	3 51	20 09	129	5 16 27	23 03.7	0 29	17 16 55
12	360	3 51	20 09	129	5 20 36	23 07.8	0 17	17 20 51
13	361	3 51	20 10	129	5 24 45	23 11.5	0 04	17 24 48
14	362	3 50	20 10	129	5 28 54	23 14.7	- 0 09	17 28 44
15	363	3 50	20 11	129	5 33 03	23 17.6	- 0 21	17 32 41
16	364	3 50	20 11	129	5 37 13	23 20.1	- 0 34	17 36 37
17	365	3 50	20 12	129	5 41 22	23 22.2	- 0 47	17 40 34
18	366	3 50	20 12	129	5 45 32	23 23.8	- 1 00	17 44 31
19	367	3 50	20 12	129	5 49 41	23 25.0	- 1 13	17 48 27
20	368	3 50	20 13	130	5 53 51	23 25.8	- 1 26	17 52 24
21	369	3 51	20 13	130	5 58 01	23 26.2	- 1 39	17 56 20
22	370	3 51	20 13	129	6 02 10	23 26.2	- 1 52	18 00 17
23	371	3 51	20 13	129	6 06 20	23 25.8	- 2 05	18 04 13
24	372	3 51	20 13	129	6 10 29	23 25.0	- 2 18	18 08 10
25	373	3 52	20 13	129	6 14 39	23 23.7	- 2 31	18 12 06
26	374	3 52	20 13	129	6 18 48	23 22.1	- 2 44	18 16 03
27	375	3 53	20 13	129	6 22 57	23 20.0	- 2 56	18 20 00
28	376	3 53	20 13	129	6 27 06	23 17.5	- 3 09	18 23 56
29	377	3 54	20 13	129	6 31 14	23 14.6	- 3 21	18 27 53
30	378	3 54	20 13	129	6 35 23	23 11.4	- 3 33	18 31 49

8 VI 9^h Jowisz 0.4° S od Urana

21 VI $11^{h}28^{m}$ Początek astronomicznego lata

26 VI Częściowe zaćmienie Księżyca (niewidoczne w Polsce)

KSIĘŻYC

d	Wsch.	Kulm.	Zach.	A_w	A_z	α	δ	D	F
	$\lambda=0^\circ$		$\phi=50^\circ$		0^h UT				
CZERWIEC 2010									
	h m	h m	h m	-°	+°	h m s	° '	'	
1	23 21	3 26	8 01	65	61	19 56 48	-19 19.7	29.9	-0.84
2	23 41	4 11	9 10	72	68	20 44 51	-15 34.9	29.7	-0.77
3	23 57	4 54	10 17	80	75	21 30 32	-11 15.6	29.6	-0.68
4	—	5 34	11 23	—	83	22 14 34	- 6 32.7	29.6	-0.59
5	0 13	6 15	12 29	87	91	22 57 48	- 1 35.3	29.6	-0.49
6	0 29	6 56	13 36	95	100	23 41 11	3 27.9	29.8	-0.40
7	0 45	7 38	14 46	103	108	0 25 41	8 27.9	30.1	-0.31
8	1 04	8 23	15 57	111	116	1 12 19	13 14.3	30.4	-0.22
9	1 27	9 11	17 11	118	122	2 01 58	17 33.7	30.8	-0.14
10	1 56	10 04	18 25	124	128	2 55 18	21 09.9	31.2	-0.08
11	2 35	11 01	19 34	129	131	3 52 30	23 44.0	31.6	-0.03
12	3 26	12 01	20 34	131	130	4 52 57	24 57.6	32.0	-0.00
13	4 32	13 02	21 23	130	127	5 55 13	24 37.4	32.3	0.00
14	5 48	14 02	22 00	125	121	6 57 21	22 40.1	32.5	0.03
15	7 11	14 59	22 29	119	113	7 57 42	19 14.0	32.6	0.09
16	8 36	15 53	22 52	110	105	8 55 19	14 36.6	32.6	0.16
17	9 58	16 44	23 13	100	95	9 50 10	9 09.9	32.6	0.26
18	11 20	17 33	23 32	91	86	10 42 50	3 16.5	32.4	0.37
19	12 39	18 22	23 51	81	77	11 34 16	- 2 42.8	32.2	0.48
20	13 59	19 11	—	72	—	12 25 28	- 8 29.1	32.0	0.59
21	15 17	20 02	0 13	63	68	13 17 22	-13 45.3	31.7	0.70
22	16 34	20 55	0 38	56	60	14 10 38	-18 15.3	31.4	0.79
23	17 46	21 49	1 08	51	54	15 05 32	-21 44.8	31.2	0.87
24	18 50	22 44	1 47	49	50	16 01 46	-24 02.1	30.9	0.94
25	19 44	23 38	2 36	49	49	16 58 30	-25 00.2	30.6	0.98
26	20 26	—	3 34	52	50	17 54 35	-24 38.2	30.4	1.00
27	20 59	0 30	4 39	56	53	18 48 53	-23 01.6	30.1	-1.00
28	21 25	1 19	5 47	62	58	19 40 39	-20 20.7	29.9	-0.98
29	21 45	2 06	6 55	69	65	20 29 39	-16 48.5	29.7	-0.94
30	22 03	2 49	8 03	77	72	21 16 08	-12 37.9	29.6	-0.89

ostatnia kwadra:	4 VI	22 ^h 13 ^m	3 VI	18.3 ^h	Neptun	5°S
nów:	12 VI	11 ^h 14 ^m	6 VI	11.4 ^h	Jowisz	7°S
pierwsza kwadra:	19 VI	4 ^h 30 ^m	6 VI	11.4 ^h	Uran	6°S
pełnia:	26 VI	11 ^h 31 ^m	11 VI	2.7 ^h	Merkury	5°S
apogeum:	3 VI	16 ^h 52 ^m	15 VI	7.2 ^h	Wenus	4°N
perygeum:	15 VI	14 ^h 55 ^m	17 VI	18.7 ^h	Mars	6°N
			19 VI	10.7 ^h	Saturn	8°N

SŁONCE

d	JD	Wsch.	Zach.	A	α	δ	η	θ
		$\lambda=0$	$\phi=50$		0^h UT			
LIPIEC 2010								
	2455	h m	h m	\pm°	h m s	$^\circ$ '	m s	h m s
1	379	3 55	20 13	129	6 39 31	23 07.7	- 3 44	18 35 46
2	380	3 56	20 12	129	6 43 39	23 03.6	- 3 56	18 39 42
3	381	3 56	20 12	129	6 47 47	22 59.0	- 4 07	18 43 39
4	382	3 57	20 11	128	6 51 55	22 54.1	- 4 18	18 47 35
5	383	3 58	20 11	128	6 56 02	22 48.8	- 4 29	18 51 32
6	384	3 59	20 11	128	7 00 09	22 43.1	- 4 39	18 55 29
7	385	3 59	20 10	128	7 04 16	22 37.0	- 4 49	18 59 25
8	386	4 00	20 09	128	7 08 22	22 30.5	- 4 59	19 03 22
9	387	4 01	20 09	127	7 12 28	22 23.6	- 5 08	19 07 18
10	388	4 02	20 08	127	7 16 33	22 16.4	- 5 17	19 11 15
11	389	4 03	20 07	127	7 20 38	22 08.7	- 5 26	19 15 11
12	390	4 04	20 07	127	7 24 43	22 00.7	- 5 34	19 19 08
13	391	4 05	20 06	126	7 28 47	21 52.2	- 5 42	19 23 04
14	392	4 06	20 05	126	7 32 51	21 43.5	- 5 49	19 27 01
15	393	4 07	20 04	126	7 36 54	21 34.3	- 5 55	19 30 58
16	394	4 08	20 03	126	7 40 57	21 24.8	- 6 01	19 34 54
17	395	4 10	20 02	125	7 44 59	21 14.9	- 6 07	19 38 51
18	396	4 11	20 01	125	7 49 00	21 04.6	- 6 12	19 42 47
19	397	4 12	20 00	125	7 53 01	20 54.0	- 6 17	19 46 44
20	398	4 13	19 59	124	7 57 02	20 43.1	- 6 20	19 50 40
21	399	4 14	19 58	124	8 01 02	20 31.8	- 6 24	19 54 37
22	400	4 16	19 57	124	8 05 01	20 20.1	- 6 27	19 58 33
23	401	4 17	19 55	123	8 09 00	20 08.1	- 6 29	20 02 30
24	402	4 18	19 54	123	8 12 58	19 55.8	- 6 30	20 06 27
25	403	4 20	19 53	123	8 16 56	19 43.2	- 6 31	20 10 23
26	404	4 21	19 51	122	8 20 52	19 30.2	- 6 32	20 14 20
27	405	4 22	19 50	122	8 24 49	19 16.9	- 6 32	20 18 16
28	406	4 24	19 49	121	8 28 45	19 03.3	- 6 31	20 22 13
29	407	4 25	19 47	121	8 32 40	18 49.3	- 6 29	20 26 09
30	408	4 26	19 46	121	8 36 34	18 35.1	- 6 27	20 30 06
31	409	4 28	19 44	120	8 40 28	18 20.5	- 6 25	20 34 02

6 VII 12^h Ziemia w aphelium (1.01666632 j.a.)

11 VII Całkowite zaćmienie Słońca (niewidoczne w Polsce)

31 VII 7^h Mars 2°S od Saturna

KSIĘŻYC

d	Wsch.	Kulm.	Zach.	A_w	A_z	α	δ	D	F
	$\lambda=0^\circ$		$\phi=50^\circ$			0^h UT			
LIPIEC 2010									
	h m	h m	h m	$-^\circ$	$+\circ$	h m s	$^\circ$ '	'	
1	22 19	3 31	9 10	84	80	22 00 39	- 8 00.8	29.5	-0.82
2	22 34	4 11	10 16	92	88	22 43 58	- 3 07.4	29.5	-0.74
3	22 50	4 51	11 22	100	96	23 26 57	1 53.0	29.6	-0.65
4	23 07	5 32	12 29	108	105	0 10 31	6 51.8	29.8	-0.56
5	23 28	6 15	13 38	115	112	0 55 39	11 39.6	30.1	-0.46
6	23 53	7 01	14 50	122	119	1 43 18	16 05.3	30.4	-0.36
7	—	7 51	16 03	—	125	2 34 18	19 55.4	30.8	-0.27
8	0 27	8 45	17 14	127	130	3 29 13	22 52.9	31.3	-0.18
9	1 11	9 44	18 19	130	131	4 27 56	24 39.5	31.8	-0.10
10	2 10	10 45	19 13	131	129	5 29 33	24 58.2	32.3	-0.05
11	3 23	11 46	19 56	128	124	6 32 26	23 39.0	32.6	-0.01
12	4 45	12 46	20 29	122	117	7 34 39	20 43.1	32.9	0.00
13	6 12	13 43	20 55	114	108	8 34 46	16 23.6	33.1	0.02
14	7 38	14 37	21 17	104	99	9 32 11	11 02.2	33.1	0.07
15	9 03	15 28	21 38	94	89	10 27 07	5 04.1	32.9	0.14
16	10 25	16 18	21 57	84	80	11 20 18	- 1 05.8	32.7	0.24
17	11 46	17 09	22 18	74	71	12 12 40	- 7 05.2	32.3	0.34
18	13 06	17 59	22 42	66	63	13 05 08	-12 35.0	32.0	0.45
19	14 24	18 51	23 11	58	56	13 58 25	-17 18.8	31.6	0.56
20	15 37	19 45	23 47	53	51	14 52 53	-21 02.9	31.2	0.67
21	16 44	20 39	—	49	—	15 48 28	-23 36.6	30.9	0.76
22	17 40	21 33	0 32	49	49	16 44 34	-24 53.3	30.6	0.85
23	18 26	22 25	1 26	51	49	17 40 14	-24 51.3	30.3	0.91
24	19 01	23 15	2 28	55	52	18 34 30	-23 34.6	30.1	0.96
25	19 29	—	3 35	60	56	19 26 34	-21 11.6	29.8	0.99
26	19 51	0 02	4 43	67	63	20 16 05	-17 53.9	29.7	1.00
27	20 10	0 46	5 51	74	70	21 03 09	-13 53.9	29.5	-0.99
28	20 26	1 28	6 58	82	77	21 48 10	- 9 23.7	29.5	-0.97
29	20 41	2 09	8 04	89	85	22 31 47	- 4 34.4	29.4	-0.92
30	20 57	2 49	9 10	97	93	23 14 43	0 24.0	29.5	-0.87
31	21 13	3 30	10 16	105	101	23 57 49	5 22.3	29.6	-0.79

ostatnia kwadra:	4 VII	14 ^h 35 ^m	1 VII	1.4 ^h	Neptun	5°S
nów:	11 VII	19 ^h 40 ^m	3 VII	20.1 ^h	Uran	7°S
pierwsza kwadra:	18 VII	10 ^h 11 ^m	4 VII	1.0 ^h	Jowisz	7°S
pełnia:	26 VII	1 ^h 36 ^m	13 VII	0.8 ^h	Merkury	4°N
			15 VII	1.2 ^h	Wenus	6°N
apogeum:	1 VII	10 ^h 13 ^m	16 VII	4.8 ^h	Mars	6°N
perigeum:	13 VII	11 ^h 22 ^m	16 VII	19.2 ^h	Saturn	8°N
apogeum:	28 VII	23 ^h 51 ^m	31 VII	21.4 ^h	Jowisz	10°S

SŁONCE

d	JD	Wsch.	Zach.	A	α	δ	η	θ
		$\lambda=0$	$\phi=50$			0^h UT		
SIERPIEŃ 2010								
	2455	h m	h m	\pm°	h m s	$^\circ$ '	m s	h m s
1	410	4 29	19 43	120	8 44 22	18 05.7	- 6 22	20 37 59
2	411	4 30	19 41	119	8 48 15	17 50.5	- 6 18	20 41 56
3	412	4 32	19 40	119	8 52 07	17 35.1	- 6 14	20 45 52
4	413	4 33	19 38	118	8 55 58	17 19.4	- 6 09	20 49 49
5	414	4 35	19 36	118	8 59 49	17 03.3	- 6 03	20 53 45
6	415	4 36	19 35	117	9 03 40	16 47.1	- 5 57	20 57 42
7	416	4 38	19 33	117	9 07 30	16 30.5	- 5 50	21 01 38
8	417	4 39	19 31	116	9 11 19	16 13.7	- 5 43	21 05 35
9	418	4 41	19 30	116	9 15 08	15 56.6	- 5 35	21 09 31
10	419	4 42	19 28	116	9 18 56	15 39.2	- 5 27	21 13 28
11	420	4 43	19 26	115	9 22 43	15 21.6	- 5 18	21 17 24
12	421	4 45	19 24	115	9 26 30	15 03.8	- 5 08	21 21 21
13	422	4 46	19 22	114	9 30 17	14 45.7	- 4 58	21 25 18
14	423	4 48	19 21	114	9 34 03	14 27.4	- 4 47	21 29 14
15	424	4 49	19 19	113	9 37 48	14 08.8	- 4 36	21 33 11
16	425	4 51	19 17	112	9 41 33	13 50.1	- 4 24	21 37 07
17	426	4 52	19 15	112	9 45 17	13 31.1	- 4 12	21 41 04
18	427	4 54	19 13	111	9 49 01	13 11.9	- 3 59	21 45 00
19	428	4 55	19 11	111	9 52 44	12 52.5	- 3 46	21 48 57
20	429	4 57	19 09	110	9 56 26	12 32.9	- 3 32	21 52 53
21	430	4 58	19 07	110	10 00 08	12 13.1	- 3 17	21 56 50
22	431	5 00	19 05	109	10 03 50	11 53.1	- 3 02	22 00 47
23	432	5 01	19 03	109	10 07 31	11 32.9	- 2 47	22 04 43
24	433	5 03	19 01	108	10 11 12	11 12.5	- 2 31	22 08 40
25	434	5 04	18 59	108	10 14 52	10 52.0	- 2 15	22 12 36
26	435	5 06	18 57	107	10 18 32	10 31.3	- 1 58	22 16 33
27	436	5 07	18 55	107	10 22 12	10 10.4	- 1 41	22 20 29
28	437	5 09	18 53	106	10 25 51	9 49.4	- 1 24	22 24 26
29	438	5 10	18 51	105	10 29 30	9 28.2	- 1 06	22 28 22
30	439	5 12	18 49	105	10 33 08	9 06.8	- 0 48	22 32 19
31	440	5 13	18 47	104	10 36 46	8 45.3	- 0 29	22 36 16

8 VIII 10^h Wenus 3° S od Saturna
 19 VIII 5^h Wenus 2° S od Marsa

KSIĘŻYC

d	Wsch.	Kulm.	Zach.	A_w	A_z	α	δ	D	F
	$\lambda=0^\circ$		$\phi=50^\circ$		0^{h}UT				
SIERPIEŃ 2010									
	h m	h m	h m	$-^\circ$	$+\circ$	h m s	$^\circ$ '	'	
1	21 32	4 11	11 24	112	109	0 41 58	10 11.2	29.8	-0.71
2	21 55	4 55	12 33	119	117	1 28 02	14 40.6	30.0	-0.62
3	22 24	5 42	13 44	125	123	2 16 51	18 38.9	30.4	-0.52
4	23 02	6 33	14 54	129	128	3 09 05	21 52.0	30.8	-0.42
5	23 52	7 28	16 01	131	131	4 04 58	24 04.1	31.3	-0.32
6	—	8 26	16 59	—	130	5 04 11	24 58.6	31.8	-0.22
7	0 57	9 27	17 47	130	127	6 05 36	24 22.3	32.3	-0.14
8	2 14	10 27	18 25	125	121	7 07 40	22 09.7	32.8	-0.07
9	3 39	11 26	18 55	118	113	8 08 48	18 25.8	33.1	-0.02
10	5 07	12 22	19 19	109	104	9 08 03	13 26.5	33.3	-0.00
11	6 35	13 16	19 41	99	94	10 05 09	7 34.8	33.4	0.01
12	8 01	14 09	20 02	89	84	11 00 30	1 17.6	33.3	0.05
13	9 25	15 01	20 23	78	74	11 54 49	- 4 58.9	33.0	0.12
14	10 48	15 53	20 46	69	66	12 48 55	-10 50.7	32.6	0.21
15	12 09	16 46	21 14	61	58	13 43 29	-15 57.9	32.1	0.31
16	13 26	17 40	21 48	54	53	14 38 52	-20 04.5	31.6	0.42
17	14 36	18 35	22 30	50	50	15 35 02	-22 59.3	31.2	0.53
18	15 36	19 29	23 22	49	49	16 31 29	-24 35.7	30.8	0.63
19	16 25	20 21	—	50	—	17 27 22	-24 52.7	30.4	0.73
20	17 03	21 12	0 21	53	51	18 21 49	-23 54.2	30.1	0.81
21	17 33	21 59	1 26	58	55	19 14 07	-21 48.3	29.8	0.88
22	17 57	22 44	2 34	64	60	20 03 57	-18 45.6	29.7	0.93
23	18 16	23 27	3 41	71	67	20 51 24	-14 57.8	29.5	0.97
24	18 34	—	4 49	79	75	21 36 48	-10 36.7	29.4	0.99
25	18 49	0 08	5 55	87	83	22 20 43	- 5 53.1	29.4	-1.00
26	19 05	0 49	7 00	95	91	23 03 51	- 0 57.4	29.4	-0.98
27	19 21	1 29	8 06	102	99	23 46 56	4 00.6	29.5	-0.95
28	19 39	2 10	9 13	110	107	0 30 44	8 51.2	29.6	-0.90
29	20 00	2 53	10 21	117	114	1 16 03	13 24.3	29.8	-0.84
30	20 26	3 38	11 30	123	121	2 03 36	17 28.6	30.0	-0.76
31	21 00	4 27	12 39	127	126	2 53 59	20 51.7	30.3	-0.67

ostatnia kwadra: 3 VIII 4^h59^m 12 VIII 1.6^h Merkury 2°N
 nów: 10 VIII 3^h08^m 13 VIII 7.3^h Saturn 8°N
 pierwsza kwadra: 16 VIII 18^h14^m 13 VIII 12.2^h Wenus 5°N
 pełnia: 24 VIII 17^h04^m 13 VIII 17.4^h Mars 6°N
 24 VIII 11.7^h Neptun 5°S
 perygeum: 10 VIII 17^h57^m 27 VIII 7.1^h Uran 6°S
 apogeum: 25 VIII 5^h52^m

SŁONCE

d	JD	Wsch.	Zach.	A	α	δ	η	θ
		$\lambda=0$	$\phi=50$		0^h UT			
WRZESIEN 2010								
	2455	h m	h m	\pm°	h m s	$^\circ$ '	m s	h m s
1	441	5 15	18 44	104	10 40 24	8 23.7	- 0 11	22 40 12
2	442	5 16	18 42	103	10 44 01	8 01.9	0 08	22 44 09
3	443	5 18	18 40	103	10 47 39	7 40.0	0 28	22 48 05
4	444	5 19	18 38	102	10 51 16	7 18.0	0 47	22 52 02
5	445	5 21	18 36	101	10 54 52	6 55.8	1 07	22 55 58
6	446	5 22	18 34	101	10 58 29	6 33.5	1 27	22 59 55
7	447	5 24	18 32	100	11 02 05	6 11.1	1 47	23 03 51
8	448	5 25	18 29	100	11 05 41	5 48.7	2 08	23 07 48
9	449	5 27	18 27	99	11 09 17	5 26.1	2 28	23 11 45
10	450	5 28	18 25	98	11 12 53	5 03.4	2 49	23 15 41
11	451	5 30	18 23	98	11 16 29	4 40.7	3 10	23 19 38
12	452	5 31	18 21	97	11 20 04	4 17.8	3 31	23 23 34
13	453	5 33	18 18	97	11 23 40	3 54.9	3 52	23 27 31
14	454	5 34	18 16	96	11 27 15	3 32.0	4 13	23 31 27
15	455	5 36	18 14	95	11 30 50	3 08.9	4 35	23 35 24
16	456	5 37	18 12	95	11 34 26	2 45.8	4 56	23 39 20
17	457	5 39	18 10	94	11 38 01	2 22.7	5 17	23 43 17
18	458	5 40	18 07	94	11 41 36	1 59.5	5 39	23 47 14
19	459	5 42	18 05	93	11 45 11	1 36.3	6 00	23 51 10
20	460	5 43	18 03	92	11 48 46	1 13.0	6 22	23 55 07
21	461	5 45	18 01	92	11 52 21	0 49.7	6 43	23 59 03
22	462	5 46	17 59	91	11 55 56	0 26.4	7 04	0 03 00
23	463	5 48	17 56	91	11 59 32	0 03.1	7 26	0 06 56
24	464	5 49	17 54	90	12 03 07	- 0 20.3	7 47	0 10 53
25	465	5 51	17 52	89	12 06 43	- 0 43.6	8 08	0 14 49
26	466	5 52	17 50	89	12 10 18	- 1 07.0	8 29	0 18 46
27	467	5 54	17 48	88	12 13 54	- 1 30.3	8 49	0 22 43
28	468	5 55	17 45	88	12 17 31	- 1 53.7	9 10	0 26 39
29	469	5 57	17 43	87	12 21 07	- 2 17.0	9 30	0 30 36
30	470	5 58	17 41	86	12 24 44	- 2 40.4	9 50	0 34 32

19 IX 17^h Jowisz 0.8° S od Urana

23 IX $3^h 09^m$ Początek astronomicznej jesieni

KSIĘŻYC

d	Wsch.	Kulm.	Zach.	A_w	A_z	α	δ	D	F
	$\lambda=0^\circ$		$\phi=50^\circ$		0^{h}UT				
WRZESIEŃ 2010									
	h m	h m	h m	$-^\circ$	$+^\circ$	h m s	$^\circ$ '	'	
1	21 44	5 19	13 46	130	129	3 47 31	23 19.8	30.7	-0.58
2	22 40	6 14	14 46	130	131	4 44 04	24 38.9	31.2	-0.47
3	23 49	7 12	15 37	127	129	5 42 56	24 36.5	31.7	-0.37
4	—	8 10	16 18	—	124	6 43 01	23 05.0	32.2	-0.26
5	1 08	9 08	16 51	122	117	7 43 02	20 04.2	32.6	-0.17
6	2 33	10 05	17 18	114	109	8 42 01	15 42.7	33.0	-0.09
7	4 00	11 00	17 42	104	99	9 39 34	10 17.2	33.3	-0.03
8	5 28	11 54	18 03	94	89	10 35 48	4 10.4	33.5	-0.00
9	6 54	12 47	18 25	84	79	11 31 17	- 2 11.8	33.4	0.01
10	8 20	13 41	18 48	74	70	12 26 42	- 8 22.6	33.2	0.04
11	9 45	14 35	19 15	65	62	13 22 42	-13 57.2	32.8	0.10
12	11 06	15 31	19 48	57	55	14 19 35	-18 34.6	32.3	0.18
13	12 22	16 27	20 28	52	51	15 17 17	-21 59.4	31.8	0.27
14	13 27	17 22	21 17	49	49	16 15 11	-24 02.8	31.3	0.37
15	14 21	18 17	22 15	50	50	17 12 24	-24 42.7	30.8	0.48
16	15 03	19 08	23 19	52	54	18 07 58	-24 03.6	30.4	0.58
17	15 35	19 57	—	57	—	19 01 11	-22 14.3	30.0	0.67
18	16 01	20 43	0 25	63	59	19 51 42	-19 26.0	29.8	0.76
19	16 22	21 26	1 33	69	65	20 39 39	-15 50.7	29.6	0.84
20	16 40	22 08	2 40	77	72	21 25 26	-11 39.7	29.5	0.90
21	16 57	22 48	3 46	84	80	22 09 38	- 7 03.7	29.4	0.95
22	17 13	23 28	4 51	92	88	22 52 59	- 2 12.5	29.4	0.98
23	17 29	—	5 57	100	96	23 36 11	2 44.1	29.5	1.00
24	17 47	0 09	7 04	107	104	0 20 01	7 36.3	29.6	-0.99
25	18 07	0 52	8 12	114	111	1 05 11	12 13.6	29.7	-0.97
26	18 32	1 37	9 21	121	118	1 52 22	16 24.5	29.9	-0.94
27	19 03	2 24	10 30	126	124	2 42 04	19 56.5	30.2	-0.88
28	19 43	3 15	11 36	129	128	3 34 32	22 36.4	30.4	-0.81
29	20 34	4 08	12 37	130	130	4 29 37	24 11.4	30.8	-0.72
30	21 36	5 04	13 30	128	129	5 26 43	24 30.5	31.1	-0.62

ostatnia kwadra:	1 IX	17 ^h 22 ^m	7 IX	22.2 ^h	Merkury	2°N
nów:	8 IX	10 ^h 30 ^m	9 IX	22.1 ^h	Saturn	8°N
pierwsza kwadra:	15 IX	5 ^h 50 ^m	11 IX	8.4 ^h	Mars	5°N
pełnia:	23 IX	9 ^h 17 ^m	11 IX	13.2 ^h	Wenus	0.3°N
perigeum:	8 IX	4 ^h 02 ^m	20 IX	16.3 ^h	Neptun	5°S
apogeum:	21 IX	8 ^h 04 ^m	23 IX	10.8 ^h	Jowisz	7°S
			23 IX	10.9 ^h	Uran	6°S

SŁÓŃCE

d	JD	Wsch.	Zach.	A	α	δ	η	θ
		$\lambda=0$	$\phi=50$		0^h UT			
PAŹDZIERNIK 2010								
	2455	h m	h m	\pm°	h m s	$^\circ$ '	m s	h m s
1	471	6 00	17 39	86	12 28 21	- 3 03.7	10 09	0 38 29
2	472	6 01	17 37	85	12 31 58	- 3 26.9	10 29	0 42 25
3	473	6 03	17 35	85	12 35 35	- 3 50.2	10 48	0 46 22
4	474	6 04	17 32	84	12 39 13	- 4 13.3	11 06	0 50 18
5	475	6 06	17 30	83	12 42 51	- 4 36.5	11 25	0 54 15
6	476	6 07	17 28	83	12 46 30	- 4 59.6	11 43	0 58 12
7	477	6 09	17 26	82	12 50 09	- 5 22.6	12 00	1 02 08
8	478	6 11	17 24	82	12 53 48	- 5 45.5	12 17	1 06 05
9	479	6 12	17 22	81	12 57 28	- 6 08.4	12 34	1 10 01
10	480	6 14	17 20	80	13 01 08	- 6 31.2	12 50	1 13 58
11	481	6 15	17 18	80	13 04 49	- 6 53.9	13 06	1 17 54
12	482	6 17	17 15	79	13 08 30	- 7 16.5	13 22	1 21 51
13	483	6 18	17 13	79	13 12 12	- 7 39.0	13 37	1 25 47
14	484	6 20	17 11	78	13 15 54	- 8 01.4	13 51	1 29 44
15	485	6 22	17 09	77	13 19 37	- 8 23.7	14 05	1 33 41
16	486	6 23	17 07	77	13 23 20	- 8 45.9	14 18	1 37 37
17	487	6 25	17 05	76	13 27 04	- 9 08.0	14 31	1 41 34
18	488	6 26	17 03	76	13 30 48	- 9 29.9	14 43	1 45 30
19	489	6 28	17 01	75	13 34 33	- 9 51.6	14 55	1 49 27
20	490	6 30	16 59	75	13 38 19	-10 13.3	15 06	1 53 23
21	491	6 31	16 57	74	13 42 05	-10 34.8	15 16	1 57 20
22	492	6 33	16 55	73	13 45 52	-10 56.1	15 26	2 01 16
23	493	6 35	16 53	73	13 49 39	-11 17.2	15 35	2 05 13
24	494	6 36	16 52	72	13 53 27	-11 38.2	15 43	2 09 10
25	495	6 38	16 50	72	13 57 16	-11 59.1	15 51	2 13 06
26	496	6 39	16 48	71	14 01 06	-12 19.7	15 58	2 17 03
27	497	6 41	16 46	71	14 04 56	-12 40.1	16 04	2 20 59
28	498	6 43	16 44	70	14 08 47	-13 00.4	16 10	2 24 56
29	499	6 44	16 42	70	14 12 39	-13 20.4	16 15	2 28 52
30	500	6 46	16 41	69	14 16 31	-13 40.3	16 18	2 32 49
31	501	6 48	16 39	69	14 20 25	-13 59.9	16 22	2 36 45

1 X 7^h Wenus 6° S od Marsa

8 X 16^h Merkury 0.5° S od Saturna

25 X 22^h Merkury 6° N od Wenus

KSIĘŻYC

d	Wsch.	Kulm.	Zach.	A_w	A_z	α	δ	D	F
	$\lambda=0^\circ$		$\phi=50^\circ$		0^h UT				
PAŹDZIERNIK 2010									
	h m	h m	h m	$-^\circ$	$+\circ$	h m s	$^\circ$ '	'	
1	22 49	6 00	14 14	124	126	6 24 52	23 26.9	31.5	-0.52
2	—	6 56	14 49	—	120	7 23 02	20 59.8	32.0	-0.41
3	0 09	7 51	15 17	117	112	8 20 23	17 14.9	32.4	-0.30
4	1 31	8 45	15 42	109	104	9 16 36	12 23.9	32.8	-0.20
5	2 56	9 38	16 04	99	94	10 11 50	6 43.7	33.1	-0.11
6	4 21	10 31	16 25	89	84	11 06 36	0 35.4	33.2	-0.05
7	5 47	11 24	16 48	79	75	12 01 37	- 5 37.1	33.2	-0.01
8	7 13	12 19	17 13	69	66	12 57 35	-11 28.5	33.1	0.00
9	8 37	13 15	17 44	61	58	13 54 56	-16 34.4	32.8	0.02
10	9 58	14 13	18 22	54	53	14 53 39	-20 33.8	32.4	0.07
11	11 10	15 10	19 08	51	50	15 53 09	-23 12.0	31.9	0.14
12	12 10	16 07	20 04	50	50	16 52 20	-24 22.9	31.4	0.22
13	12 58	17 01	21 08	51	53	17 49 58	-24 08.8	30.9	0.32
14	13 35	17 51	22 14	55	57	18 45 03	-22 38.6	30.4	0.41
15	14 03	18 39	23 22	61	63	19 37 07	-20 05.0	30.1	0.51
16	14 26	19 23	—	67	—	20 26 11	-16 41.3	29.8	0.61
17	14 46	20 05	0 30	74	70	21 12 42	-12 39.8	29.6	0.70
18	15 03	20 46	1 36	82	78	21 57 20	- 8 11.5	29.5	0.78
19	15 19	21 27	2 41	89	85	22 40 51	- 3 26.1	29.5	0.85
20	15 35	22 07	3 47	97	93	23 24 05	1 27.4	29.5	0.91
21	15 53	22 50	4 53	105	101	0 07 50	6 19.8	29.6	0.96
22	16 12	23 34	6 01	112	109	0 52 54	11 01.0	29.8	0.99
23	16 36	—	7 10	118	116	1 39 57	15 19.3	30.0	1.00
24	17 06	0 21	8 20	124	122	2 29 33	19 02.0	30.2	-0.99
25	17 43	1 11	9 28	128	127	3 21 55	21 55.0	30.5	-0.96
26	18 31	2 04	10 31	130	129	4 16 53	23 44.7	30.7	-0.91
27	19 30	2 59	11 26	129	129	5 13 44	24 20.0	31.0	-0.85
28	20 40	3 55	12 12	125	127	6 11 28	23 34.3	31.3	-0.76
29	21 55	4 51	12 49	119	122	7 08 55	21 27.6	31.6	-0.67
30	23 15	5 45	13 19	112	115	8 05 16	18 05.9	31.9	-0.56
31	—	6 37	13 44	—	107	9 00 11	13 40.2	32.2	-0.45

ostatnia kwadra:	1 X	3 ^h 52 ^m		7 X	11.4 ^h	Merkury	7°N
nów:	7 X	18 ^h 44 ^m		7 X	14.4 ^h	Saturn	8°N
pierwsza kwadra:	14 X	21 ^h 27 ^m		9 X	15.9 ^h	Wenus	3°S
pełnia:	23 X	1 ^h 37 ^m		10 X	1.9 ^h	Mars	4°N
ostatnia kwadra:	30 X	12 ^h 46 ^m		17 X	22.1 ^h	Neptun	5°S
				20 X	10.9 ^h	Jowisz	7°S
perygeum:	6 X	13 ^h 42 ^m		20 X	15.5 ^h	Uran	6°S
apogeum:	18 X	18 ^h 19 ^m					

SŁONCE

d	JD	Wsch.	Zach.	A	α	δ	η	θ
		$\lambda=0$	$\varphi=50$		0^h UT			
LISTOPAD 2010								
	2455	h m	h m	\pm°	h m s	$^\circ$ '	m s	h m s
1	502	6 49	16 37	68	14 24 19	-14 19.3	16 24	2 40 42
2	503	6 51	16 35	68	14 28 14	-14 38.5	16 25	2 44 39
3	504	6 53	16 34	67	14 32 10	-14 57.5	16 26	2 48 35
4	505	6 54	16 32	67	14 36 07	-15 16.2	16 26	2 52 32
5	506	6 56	16 31	66	14 40 04	-15 34.6	16 25	2 56 28
6	507	6 58	16 29	66	14 44 02	-15 52.8	16 23	3 00 25
7	508	6 59	16 27	65	14 48 02	-16 10.7	16 21	3 04 21
8	509	7 01	16 26	65	14 52 02	-16 28.4	16 17	3 08 18
9	510	7 03	16 24	64	14 56 03	-16 45.8	16 13	3 12 14
10	511	7 04	16 23	64	15 00 04	-17 02.9	16 08	3 16 11
11	512	7 06	16 22	63	15 04 07	-17 19.7	16 02	3 20 08
12	513	7 08	16 20	63	15 08 10	-17 36.2	15 55	3 24 04
13	514	7 09	16 19	62	15 12 14	-17 52.4	15 47	3 28 01
14	515	7 11	16 17	62	15 16 19	-18 08.3	15 39	3 31 57
15	516	7 13	16 16	61	15 20 25	-18 23.8	15 30	3 35 54
16	517	7 14	16 15	61	15 24 32	-18 39.1	15 20	3 39 50
17	518	7 16	16 14	61	15 28 39	-18 54.0	15 09	3 43 47
18	519	7 17	16 13	60	15 32 48	-19 08.6	14 57	3 47 43
19	520	7 19	16 11	60	15 36 57	-19 22.8	14 44	3 51 40
20	521	7 20	16 10	59	15 41 07	-19 36.7	14 31	3 55 37
21	522	7 22	16 09	59	15 45 17	-19 50.3	14 17	3 59 33
22	523	7 24	16 08	59	15 49 29	-20 03.4	14 02	4 03 30
23	524	7 25	16 07	58	15 53 41	-20 16.2	13 46	4 07 26
24	525	7 27	16 06	58	15 57 54	-20 28.7	13 29	4 11 23
25	526	7 28	16 05	58	16 02 08	-20 40.7	13 12	4 15 19
26	527	7 30	16 05	57	16 06 23	-20 52.4	12 54	4 19 16
27	528	7 31	16 04	57	16 10 39	-21 03.7	12 35	4 23 12
28	529	7 32	16 03	57	16 14 55	-21 14.6	12 15	4 27 09
29	530	7 34	16 02	56	16 19 12	-21 25.1	11 55	4 31 06
30	531	7 35	16 02	56	16 23 29	-21 35.2	11 34	4 35 02

20 XI 16^h Merkury 2°S od Marsa

KSIĘŻYC

d	Wsch.	Kulm.	Zach.	A_w	A_z	α	δ	D	F
	$\lambda=0^\circ$		$\phi=50^\circ$		0^h UT				
LISTOPAD 2010									
	h m	h m	h m	$-^\circ$	$+\circ$	h m s	$^\circ$ '	'	
1	0 35	7 29	14 06	103	98	9 53 51	8 25.4	32.4	-0.34
2	1 57	8 19	14 27	93	88	10 46 52	2 38.7	32.6	-0.23
3	3 19	9 11	14 48	83	79	11 40 01	- 3 20.7	32.8	-0.14
4	4 42	10 03	15 12	74	70	12 34 11	- 9 11.2	32.8	-0.07
5	6 06	10 58	15 39	65	62	13 30 03	-14 30.3	32.7	-0.02
6	7 29	11 55	16 14	58	56	14 27 54	-18 55.6	32.5	-0.00
7	8 46	12 53	16 57	52	51	15 27 27	-22 08.0	32.2	0.01
8	9 53	13 52	17 50	50	50	16 27 40	-23 54.9	31.8	0.04
9	10 48	14 48	18 51	51	52	17 27 09	-24 13.0	31.3	0.10
10	11 30	15 42	19 59	54	55	18 24 29	-23 08.1	30.9	0.17
11	12 03	16 31	21 08	59	61	19 18 46	-20 52.5	30.5	0.25
12	12 28	17 18	22 16	65	68	20 09 42	-17 41.0	30.1	0.34
13	12 49	18 01	23 23	72	75	20 57 36	-13 48.0	29.8	0.44
14	13 07	18 42	—	79	—	21 43 05	- 9 26.0	29.6	0.53
15	13 24	19 23	0 29	87	83	22 27 00	- 4 45.4	29.5	0.62
16	13 40	20 03	1 34	94	90	23 10 13	0 04.8	29.5	0.71
17	13 57	20 45	2 40	102	98	23 53 39	4 56.1	29.6	0.79
18	14 16	21 28	3 47	109	106	0 38 11	9 39.5	29.8	0.87
19	14 38	22 15	4 55	116	113	1 24 39	14 04.6	30.0	0.92
20	15 06	23 04	6 05	122	120	2 13 44	17 58.9	30.3	0.97
21	15 41	23 57	7 15	127	125	3 05 50	21 08.2	30.6	0.99
22	16 26	—	8 21	129	129	4 00 55	23 17.3	30.9	-1.00
23	17 23	0 53	9 21	129	129	4 58 21	24 12.8	31.2	-0.98
24	18 31	1 50	10 10	126	128	5 56 59	23 45.9	31.4	-0.94
25	19 46	2 46	10 50	121	123	6 55 26	21 55.3	31.7	-0.88
26	21 04	3 41	11 22	114	117	7 52 34	18 47.2	31.9	-0.80
27	22 24	4 34	11 48	105	109	8 47 49	14 34.0	32.0	-0.71
28	23 43	5 25	12 10	96	100	9 41 15	9 31.7	32.2	-0.60
29	—	6 15	12 31	—	91	10 33 24	3 57.5	32.3	-0.49
30	1 03	7 04	12 52	87	82	11 25 07	- 1 50.5	32.3	-0.37

nów:
 pierwsza kwadra: 13 XI 6 XI 4^h51^m 4 XI 5.6^h Saturn 8°N
 pełnia: 21 XI 16^h39^m 5 XI 8.5^h Wenus 0.2°N
 ostatnia kwadra: 28 XI 17^h27^m 7 XI 4.5^h Merkury 2°N
 perygeum: 3 XI 20^h36^m 7 XI 22.3^h Mars 2°N
 apogeum: 15 XI 17^h23^m 14 XI 5.6^h Neptun 5°N
 perygeum: 30 XI 11^h48^m 16 XI 15.7^h Jowisz 7°S
 apogeum: 15 XI 19^h10^m 16 XI 21.8^h Uran 7°S

SŁÓŃCE

d	JD	Wsch.	Zach.	A	α	δ	η	θ
		$\lambda=0$	$\varphi=50$		0^h UT			
GRUDZIEŃ 2010								
	2455	h m	h m	\pm°	h m s	$^\circ$ '	m s	h m s
1	532	7 36	16 01	56	16 27 48	-21 44.9	11 12	4 38 59
2	533	7 38	16 01	56	16 32 07	-21 54.1	10 50	4 42 55
3	534	7 39	16 00	55	16 36 26	-22 03.0	10 26	4 46 52
4	535	7 40	16 00	55	16 40 47	-22 11.4	10 03	4 50 48
5	536	7 42	15 59	55	16 45 08	-22 19.4	9 38	4 54 45
6	537	7 43	15 59	55	16 49 29	-22 26.9	9 13	4 58 41
7	538	7 44	15 59	54	16 53 51	-22 34.0	8 48	5 02 38
8	539	7 45	15 58	54	16 58 14	-22 40.7	8 22	5 06 35
9	540	7 46	15 58	54	17 02 37	-22 46.9	7 56	5 10 31
10	541	7 47	15 58	54	17 07 00	-22 52.7	7 29	5 14 28
11	542	7 48	15 58	54	17 11 24	-22 58.1	7 01	5 18 24
12	543	7 49	15 58	54	17 15 48	-23 02.9	6 34	5 22 21
13	544	7 50	15 58	54	17 20 13	-23 07.4	6 06	5 26 17
14	545	7 51	15 58	53	17 24 37	-23 11.3	5 38	5 30 14
15	546	7 52	15 58	53	17 29 03	-23 14.8	5 09	5 34 10
16	547	7 53	15 59	53	17 33 28	-23 17.9	4 40	5 38 07
17	548	7 53	15 59	53	17 37 54	-23 20.4	4 11	5 42 04
18	549	7 54	15 59	53	17 42 19	-23 22.5	3 42	5 46 00
19	550	7 55	15 59	53	17 46 45	-23 24.2	3 12	5 49 57
20	551	7 55	16 00	53	17 51 11	-23 25.3	2 43	5 53 53
21	552	7 56	16 00	53	17 55 38	-23 26.0	2 13	5 57 50
22	553	7 56	16 01	53	18 00 04	-23 26.3	1 43	6 01 46
23	554	7 57	16 01	53	18 04 30	-23 26.0	1 14	6 05 43
24	555	7 57	16 02	53	18 08 57	-23 25.3	0 44	6 09 39
25	556	7 58	16 03	53	18 13 23	-23 24.1	0 14	6 13 36
26	557	7 58	16 03	53	18 17 49	-23 22.5	- 0 15	6 17 33
27	558	7 58	16 04	53	18 22 15	-23 20.4	- 0 45	6 21 29
28	559	7 58	16 05	53	18 26 41	-23 17.8	- 1 15	6 25 26
29	560	7 58	16 06	53	18 31 07	-23 14.7	- 1 44	6 29 22
30	561	7 59	16 07	54	18 35 33	-23 11.2	- 2 13	6 33 19
31	562	7 59	16 08	54	18 39 58	-23 07.2	- 2 42	6 37 15

14 XII 0^h Merkury 1° N od Marsa

21 XII 23^h38^m Początek astronomicznej zimy

21 XII Całkowite zaćmienie Księżyca (widoczne w Polsce przy zachodzie)

KSIĘŻYC

d	Wsch.	Kulm.	Zach.	A_w	A_z	α	δ	D	F
	$\lambda=0^\circ$		$\phi=50^\circ$		0^h UT				
GRUDZIEŃ 2010									
	h m	h m	h m	-°	+°	h m s	° '	'	
1	2 23	7 55	13 13	77	73	12 17 21	- 7 34.0	32.3	-0.26
2	3 44	8 47	13 39	68	65	13 10 58	-12 53.8	32.3	-0.17
3	5 05	9 41	14 09	60	58	14 06 35	-17 30.4	32.2	-0.09
4	6 23	10 38	14 47	54	53	15 04 19	-21 04.9	32.0	-0.04
5	7 34	11 36	15 35	51	50	16 03 36	-23 22.2	31.8	-0.01
6	8 35	12 33	16 33	50	51	17 03 15	-24 13.5	31.4	0.00
7	9 23	13 29	17 39	52	53	18 01 46	-23 39.0	31.1	0.02
8	10 00	14 21	18 49	56	58	18 57 49	-21 47.4	30.7	0.06
9	10 29	15 09	19 59	62	65	19 50 42	-18 52.4	30.4	0.11
10	10 52	15 55	21 07	69	72	20 40 20	-15 09.5	30.1	0.18
11	11 11	16 37	22 14	76	80	21 27 09	-10 53.3	29.8	0.27
12	11 28	17 18	23 20	84	87	22 11 51	- 6 15.9	29.6	0.35
13	11 45	17 58	—	91	—	22 55 19	- 1 27.5	29.6	0.45
14	12 01	18 39	0 25	99	95	23 38 29	3 23.2	29.6	0.54
15	12 19	19 21	1 31	106	103	0 22 17	8 07.9	29.7	0.63
16	12 40	20 06	2 38	113	110	1 07 37	12 37.6	29.9	0.72
17	13 05	20 54	3 47	120	117	1 55 20	16 41.7	30.2	0.81
18	13 36	21 45	4 56	125	123	2 46 06	20 07.3	30.5	0.88
19	14 17	22 40	6 05	128	127	3 40 12	22 39.4	30.9	0.94
20	15 10	23 38	7 08	129	129	4 37 21	24 02.6	31.3	0.98
21	16 14	—	8 03	128	129	5 36 36	24 04.5	31.6	1.00
22	17 29	0 36	8 48	123	125	6 36 32	22 38.8	31.9	-0.99
23	18 49	1 33	9 23	116	119	7 35 39	19 48.6	32.2	-0.97
24	20 10	2 29	9 52	108	112	8 32 56	15 45.6	32.3	-0.91
25	21 32	3 22	10 16	99	103	9 28 04	10 47.1	32.4	-0.84
26	22 52	4 12	10 37	89	94	10 21 20	5 13.4	32.4	-0.74
27	—	5 02	10 58	80	85	11 13 28	- 0 35.7	32.4	-0.63
28	0 12	5 52	11 19	80	76	12 05 23	- 6 20.7	32.2	-0.52
29	1 32	6 43	11 42	71	68	12 57 59	-11 43.5	32.1	-0.41
30	2 51	7 35	12 10	63	60	13 52 02	-16 26.6	31.9	-0.30
31	4 08	8 29	12 44	56	55	14 47 52	-20 13.6	31.7	-0.20

nów:	5 XII	17 ^h 36 ^m	1 XII	18.0 ^h	Saturn	8°N
pierwsza kwadra:	13 XII	13 ^h 59 ^m	2 XII	20.6 ^h	Wenus	6°N
pełnia:	21 XII	8 ^h 13 ^m	6 XII	21.8 ^h	Mars	0.5°S
ostatnia kwadra:	28 XII	4 ^h 18 ^m	7 XII	8.9 ^h	Merkury	2°S
apogeum:	13 XII	8 ^h 36 ^m	11 XII	14.7 ^h	Neptun	5°S
perygeum:	25 XII	12 ^h 25 ^m	14 XII	2.1 ^h	Jowisz	7°S
			14 XII	5.9 ^h	Uran	7°S

SŁÓŃCE

Data 2010		0 ^h UT			0 ^h UT				
		X ₂₀₀₀	Y ₂₀₀₀	Z ₂₀₀₀					
I	1	0.17602	-0.88760	-0.38480	II	16	0.82906	-0.49289	-0.21368
	2	0.19319	-0.88458	-0.38349		17	0.83856	-0.47950	-0.20788
	3	0.21030	-0.88128	-0.38206		18	0.84781	-0.46597	-0.20201
	4	0.22735	-0.87772	-0.38051		19	0.85680	-0.45229	-0.19608
	5	0.24432	-0.87388	-0.37885		20	0.86553	-0.43847	-0.19009
	6	0.26123	-0.86976	-0.37707		21	0.87399	-0.42453	-0.18404
	7	0.27805	-0.86538	-0.37517		22	0.88218	-0.41045	-0.17794
	8	0.29479	-0.86073	-0.37315		23	0.89009	-0.39625	-0.17178
	9	0.31144	-0.85581	-0.37102		24	0.89774	-0.38193	-0.16558
	10	0.32799	-0.85062	-0.36877		25	0.90511	-0.36749	-0.15932
	11	0.34445	-0.84517	-0.36641		26	0.91221	-0.35294	-0.15301
	12	0.36079	-0.83945	-0.36393		27	0.91903	-0.33829	-0.14666
	13	0.37703	-0.83348	-0.36134		28	0.92557	-0.32354	-0.14027
	14	0.39315	-0.82724	-0.35863	III	1	0.93183	-0.30868	-0.13383
	15	0.40914	-0.82074	-0.35581		2	0.93781	-0.29374	-0.12735
	16	0.42501	-0.81398	-0.35288		3	0.94351	-0.27870	-0.12083
	17	0.44074	-0.80697	-0.34984		4	0.94892	-0.26358	-0.11427
	18	0.45634	-0.79971	-0.34670		5	0.95404	-0.24838	-0.10768
	19	0.47179	-0.79220	-0.34344		6	0.95888	-0.23310	-0.10106
	20	0.48710	-0.78445	-0.34008		7	0.96343	-0.21775	-0.09441
	21	0.50225	-0.77645	-0.33661		8	0.96768	-0.20234	-0.08772
	22	0.51724	-0.76820	-0.33303		9	0.97164	-0.18686	-0.08101
	23	0.53208	-0.75972	-0.32936		10	0.97531	-0.17132	-0.07428
	24	0.54674	-0.75101	-0.32558		11	0.97868	-0.15573	-0.06752
	25	0.56124	-0.74206	-0.32170		12	0.98176	-0.14009	-0.06074
	26	0.57556	-0.73289	-0.31772		13	0.98454	-0.12441	-0.05394
	27	0.58970	-0.72349	-0.31365		14	0.98702	-0.10869	-0.04712
	28	0.60366	-0.71386	-0.30948		15	0.98921	-0.09294	-0.04029
	29	0.61743	-0.70402	-0.30521		16	0.99109	-0.07716	-0.03345
	30	0.63101	-0.69396	-0.30085		17	0.99268	-0.06135	-0.02660
	31	0.64440	-0.68368	-0.29640		18	0.99396	-0.04553	-0.01974
II	1	0.65758	-0.67320	-0.29185		19	0.99495	-0.02969	-0.01287
	2	0.67057	-0.66251	-0.28722		20	0.99563	-0.01385	-0.00600
	3	0.68335	-0.65161	-0.28249		21	0.99602	0.00200	0.00087
	4	0.69592	-0.64051	-0.27768		22	0.99611	0.01785	0.00774
	5	0.70828	-0.62922	-0.27279		23	0.99589	0.03368	0.01460
	6	0.72042	-0.61773	-0.26780		24	0.99538	0.04951	0.02146
	7	0.73234	-0.60604	-0.26274		25	0.99458	0.06532	0.02832
	8	0.74404	-0.59417	-0.25759		26	0.99348	0.08111	0.03516
	9	0.75551	-0.58212	-0.25237		27	0.99208	0.09688	0.04199
	10	0.76674	-0.56988	-0.24706		28	0.99039	0.11261	0.04881
	11	0.77774	-0.55747	-0.24168		29	0.98840	0.12831	0.05562
	12	0.78849	-0.54488	-0.23622		30	0.98612	0.14398	0.06241
	13	0.79901	-0.53213	-0.23069		31	0.98356	0.15959	0.06918
	14	0.80927	-0.51921	-0.22509	IV	1	0.98070	0.17517	0.07593
	15	0.81929	-0.50613	-0.21942		2	0.97755	0.19069	0.08266

SŁONCE

Data 2010	0 ^h UT			Data 2010	0 ^h UT		
	X ₂₀₀₀	Y ₂₀₀₀	Z ₂₀₀₀		X ₂₀₀₀	Y ₂₀₀₀	Z ₂₀₀₀
IV	3 0.97411	0.20616	0.08937	V 19	0.53927	0.78529	0.34044
	4 0.97039	0.22156	0.09605	20	0.52491	0.79365	0.34406
	5 0.96637	0.23690	0.10270	21	0.51040	0.80178	0.34759
	6 0.96208	0.25218	0.10932	22	0.49575	0.80968	0.35101
	7 0.95749	0.26738	0.11591	23	0.48096	0.81735	0.35434
	8 0.95263	0.28250	0.12247	24	0.46603	0.82479	0.35756
	9 0.94748	0.29754	0.12899	25	0.45097	0.83199	0.36068
	10 0.94206	0.31250	0.13547	26	0.43579	0.83895	0.36370
	11 0.93635	0.32736	0.14192	27	0.42048	0.84568	0.36662
	12 0.93037	0.34212	0.14832	28	0.40506	0.85216	0.36943
	13 0.92411	0.35679	0.15468	29	0.38952	0.85841	0.37214
	14 0.91758	0.37135	0.16099	30	0.37387	0.86441	0.37474
	15 0.91078	0.38581	0.16726	31	0.35811	0.87017	0.37724
	16 0.90371	0.40014	0.17347	VI	1 0.34225	0.87568	0.37963
	17 0.89637	0.41437	0.17964		2 0.32629	0.88095	0.38191
	18 0.88878	0.42846	0.18575		3 0.31024	0.88597	0.38409
	19 0.88092	0.44243	0.19180		4 0.29410	0.89073	0.38616
	20 0.87280	0.45628	0.19780		5 0.27788	0.89525	0.38811
	21 0.86443	0.46998	0.20375		6 0.26157	0.89951	0.38996
	22 0.85581	0.48355	0.20963		7 0.24519	0.90351	0.39170
	23 0.84694	0.49697	0.21545		8 0.22874	0.90726	0.39332
	24 0.83782	0.51025	0.22120		9 0.21223	0.91076	0.39484
	25 0.82846	0.52338	0.22689		10 0.19565	0.91399	0.39624
	26 0.81886	0.53636	0.23252		11 0.17901	0.91697	0.39753
	27 0.80903	0.54918	0.23808		12 0.16233	0.91968	0.39871
	28 0.79896	0.56184	0.24357		13 0.14559	0.92214	0.39977
	29 0.78867	0.57434	0.24899		14 0.12882	0.92433	0.40072
	30 0.77814	0.58668	0.25433		15 0.11201	0.92626	0.40155
V	1 0.76739	0.59884	0.25961		16 0.09517	0.92792	0.40228
	2 0.75642	0.61084	0.26481		17 0.07830	0.92933	0.40288
	3 0.74523	0.62266	0.26993		18 0.06142	0.93046	0.40338
	4 0.73383	0.63430	0.27498		19 0.04451	0.93134	0.40376
	5 0.72221	0.64576	0.27995		20 0.02760	0.93195	0.40402
	6 0.71039	0.65703	0.28484		21 0.01068	0.93230	0.40417
	7 0.69835	0.66811	0.28964		22 -0.00624	0.93239	0.40421
	8 0.68612	0.67901	0.29437		23 -0.02316	0.93222	0.40414
	9 0.67369	0.68971	0.29901		24 -0.04007	0.93178	0.40395
	10 0.66106	0.70021	0.30356		25 -0.05697	0.93109	0.40365
	11 0.64824	0.71051	0.30802		26 -0.07385	0.93013	0.40323
	12 0.63523	0.72060	0.31240		27 -0.09071	0.92891	0.40271
	13 0.62204	0.73049	0.31669		28 -0.10755	0.92743	0.40206
	14 0.60867	0.74016	0.32088		29 -0.12435	0.92569	0.40131
	15 0.59512	0.74963	0.32498		30 -0.14112	0.92369	0.40045
	16 0.58140	0.75888	0.32899	VII	1 -0.15786	0.92144	0.39947
	17 0.56752	0.76790	0.33290		2 -0.17455	0.91892	0.39838
	V 18 0.55347	0.77671	0.33672		3 -0.19119	0.91615	0.39717

SŁÓŃCE

Data 2010	0 ^h UT			Data 2010	0 ^h UT		
	X ₂₀₀₀	Y ₂₀₀₀	Z ₂₀₀₀		X ₂₀₀₀	Y ₂₀₀₀	Z ₂₀₀₀
VII	4 -0.20778	0.91311	0.39586	VIII	19 -0.83692	0.52218	0.22638
	5 -0.22431	0.90982	0.39443		20 -0.84618	0.50912	0.22072
	6 -0.24078	0.90628	0.39290		21 -0.85521	0.49590	0.21499
	7 -0.25719	0.90248	0.39125		22 -0.86399	0.48255	0.20920
	8 -0.27352	0.89842	0.38949		23 -0.87253	0.46906	0.20335
	9 -0.28978	0.89411	0.38762		24 -0.88082	0.45544	0.19745
	10 -0.30596	0.88954	0.38564		25 -0.88886	0.44169	0.19149
	11 -0.32205	0.88473	0.38355		26 -0.89664	0.42781	0.18547
	12 -0.33805	0.87966	0.38135		27 -0.90417	0.41381	0.17940
	13 -0.35395	0.87434	0.37905		28 -0.91144	0.39969	0.17328
	14 -0.36975	0.86878	0.37664		29 -0.91845	0.38546	0.16711
	15 -0.38545	0.86297	0.37412		30 -0.92520	0.37111	0.16089
	16 -0.40104	0.85691	0.37149		31 -0.93168	0.35666	0.15463
	17 -0.41651	0.85062	0.36876	IX	1 -0.93790	0.34211	0.14832
	18 -0.43186	0.84408	0.36593		2 -0.94384	0.32745	0.14196
	19 -0.44709	0.83731	0.36299		3 -0.94952	0.31270	0.13557
	20 -0.46220	0.83030	0.35995		4 -0.95492	0.29786	0.12913
	21 -0.47717	0.82306	0.35682		5 -0.96005	0.28293	0.12266
	22 -0.49200	0.81559	0.35358		6 -0.96490	0.26791	0.11615
	23 -0.50670	0.80789	0.35024		7 -0.96947	0.25282	0.10960
	24 -0.52125	0.79996	0.34680		8 -0.97375	0.23765	0.10303
	25 -0.53566	0.79181	0.34327		9 -0.97776	0.22242	0.09642
	26 -0.54991	0.78343	0.33964		10 -0.98148	0.20712	0.08979
	27 -0.56401	0.77484	0.33592		11 -0.98491	0.19176	0.08313
	28 -0.57796	0.76603	0.33210		12 -0.98806	0.17634	0.07645
	29 -0.59174	0.75700	0.32818		13 -0.99091	0.16088	0.06975
	30 -0.60535	0.74776	0.32418		14 -0.99348	0.14537	0.06302
	31 -0.61880	0.73831	0.32008		15 -0.99576	0.12981	0.05628
VIII	1 -0.63207	0.72864	0.31589		16 -0.99775	0.11423	0.04952
	2 -0.64516	0.71878	0.31161		17 -0.99945	0.09861	0.04275
	3 -0.65807	0.70870	0.30725		18 -1.00086	0.08296	0.03597
	4 -0.67080	0.69843	0.30279		19 -1.00197	0.06729	0.02918
	5 -0.68334	0.68796	0.29825		20 -1.00280	0.05160	0.02238
	6 -0.69568	0.67729	0.29362		21 -1.00333	0.03590	0.01557
	7 -0.70783	0.66643	0.28892		22 -1.00358	0.02018	0.00876
	8 -0.71978	0.65538	0.28412		23 -1.00353	0.00447	0.00194
	9 -0.73152	0.64413	0.27925		24 -1.00318	-0.01125	-0.00487
	10 -0.74306	0.63271	0.27430		25 -1.00255	-0.02697	-0.01169
	11 -0.75438	0.62110	0.26926		26 -1.00162	-0.04268	-0.01850
	12 -0.76549	0.60932	0.26416		27 -1.00040	-0.05837	-0.02530
	13 -0.77637	0.59736	0.25897		28 -0.99889	-0.07406	-0.03210
	14 -0.78704	0.58524	0.25371		29 -0.99708	-0.08972	-0.03889
	15 -0.79748	0.57294	0.24838		30 -0.99498	-0.10535	-0.04567
	16 -0.80769	0.56049	0.24299	X	1 -0.99259	-0.12096	-0.05243
	17 -0.81766	0.54787	0.23752		2 -0.98991	-0.13653	-0.05919
	18 -0.82741	0.53511	0.23198		3 -0.98693	-0.15206	-0.06592

SŁÓŃCE

Data 2010		0 ^h UT			0 ^h UT			
		X ₂₀₀₀	Y ₂₀₀₀	Z ₂₀₀₀				
X	4	-0.98366	-0.16755	-0.07263	XI	-0.54709	-0.75523	-0.32741
	5	-0.98010	-0.18299	-0.07933		-0.53241	-0.76379	-0.33112
	6	-0.97624	-0.19838	-0.08600		-0.51756	-0.77211	-0.33472
	7	-0.97210	-0.21371	-0.09265		-0.50255	-0.78020	-0.33823
	8	-0.96767	-0.22897	-0.09926		-0.48739	-0.78805	-0.34163
	9	-0.96294	-0.24417	-0.10585		-0.47208	-0.79566	-0.34493
	10	-0.95794	-0.25929	-0.11241		-0.45663	-0.80302	-0.34813
	11	-0.95264	-0.27434	-0.11893		-0.44103	-0.81014	-0.35121
	12	-0.94706	-0.28930	-0.12542		-0.42530	-0.81702	-0.35419
	13	-0.94120	-0.30418	-0.13187		-0.40943	-0.82364	-0.35707
	14	-0.93506	-0.31896	-0.13827		-0.39344	-0.83001	-0.35983
	15	-0.92864	-0.33365	-0.14464		-0.37733	-0.83612	-0.36248
	16	-0.92194	-0.34824	-0.15096		-0.36109	-0.84198	-0.36502
	17	-0.91497	-0.36272	-0.15724		-0.34475	-0.84757	-0.36744
	18	-0.90773	-0.37709	-0.16347		-0.32829	-0.85291	-0.36976
	19	-0.90021	-0.39135	-0.16965		-0.31174	-0.85798	-0.37195
	20	-0.89243	-0.40549	-0.17578		-0.29508	-0.86278	-0.37403
	21	-0.88438	-0.41951	-0.18186		-0.27833	-0.86732	-0.37600
	22	-0.87607	-0.43340	-0.18788		-0.26150	-0.87158	-0.37785
	23	-0.86750	-0.44716	-0.19385		-0.24459	-0.87558	-0.37958
	24	-0.85867	-0.46079	-0.19976		-0.22760	-0.87930	-0.38119
	25	-0.84958	-0.47428	-0.20561		-0.21054	-0.88275	-0.38269
	26	-0.84023	-0.48763	-0.21140		-0.19342	-0.88592	-0.38406
	27	-0.83064	-0.50084	-0.21712		-0.17624	-0.88882	-0.38532
	28	-0.82079	-0.51389	-0.22278		-0.15900	-0.89144	-0.38646
	29	-0.81070	-0.52679	-0.22838		-0.14172	-0.89379	-0.38747
	30	-0.80036	-0.53954	-0.23390		-0.12439	-0.89586	-0.38837
	31	-0.78978	-0.55212	-0.23936		-0.10703	-0.89765	-0.38915
XI	1	-0.77896	-0.56454	-0.24474		-0.08963	-0.89916	-0.38980
	2	-0.76790	-0.57679	-0.25005		-0.07221	-0.90039	-0.39034
	3	-0.75660	-0.58886	-0.25528		-0.05477	-0.90135	-0.39075
	4	-0.74508	-0.60076	-0.26044		-0.03731	-0.90203	-0.39105
	5	-0.73333	-0.61247	-0.26552		-0.01984	-0.90242	-0.39122
	6	-0.72135	-0.62399	-0.27052		-0.00237	-0.90254	-0.39127
	7	-0.70916	-0.63533	-0.27543		0.01511	-0.90238	-0.39120
	8	-0.69674	-0.64647	-0.28026		0.03258	-0.90194	-0.39101
	9	-0.68412	-0.65741	-0.28500		0.05005	-0.90122	-0.39070
	10	-0.67129	-0.66815	-0.28966		0.06749	-0.90023	-0.39027
	11	-0.65825	-0.67869	-0.29422		0.08492	-0.89895	-0.38972
	12	-0.64501	-0.68902	-0.29870		0.10233	-0.89739	-0.38904
	13	-0.63158	-0.69914	-0.30309		0.11970	-0.89556	-0.38825
	14	-0.61795	-0.70904	-0.30738		0.13704	-0.89344	-0.38733
	15	-0.60414	-0.71872	-0.31158		0.15434	-0.89105	-0.38629
	16	-0.59014	-0.72819	-0.31568				
	17	-0.57597	-0.73743	-0.31969				
	18	-0.56162	-0.74645	-0.32360				

Efemerydy planet

W efemerydach planet podano następujące dane (dla Merkurego co 4 dni, dla pozostałych planet co 8 dni):

- datę kalendarzową,
- godziny wschodu, kulminacji i zachodu oraz azymuty punktów wschodu i zachodu planety dla punktu o współrzędnych geograficznych ϕ i λ (uwagi jak dla efemeryd Słońca),
 α, δ – współrzędne równikowe planet α i δ na epokę daty,
D – średnicę kątową planety wyrażoną w sekundach kątowych,
V – jasność planety podaną w wielkościach gwiazdowych,
 Δl – odległość kątową (w stopniach na sferze niebieskiej) planety od Słońca - wartość ujemna oznacza elongację zachodnią (planeta widoczna na niebie porannym), wartość dodatnia oznacza elongację wschodnią (planeta widoczna na niebie wieczornym) - umożliwia szybkie określenie warunków widzialności planety.

Ponadto:

W przypadku Merkurego, Wenus i Marsa:

F – fazę planety (uwagi jak dla Księżyca),

W przypadku Saturna:

b/a – stosunek małej do wielkiej osi widomej elipsy pierścienia (długość wielkiej osi: $a = 2.273 D$)

Załączono wykresy obrazujące widzialność Merkurego i Wenus nad wschodnim i zachodnim horyzontem w Warszawie w 2010 roku, oraz drogi Marsa, Jowisza i Saturna na tle gwiazdozbiorów. Zaznaczono pozycje Marsa, Jowisza i Saturna w odstępach miesięcznych.

Dołączono także mapki przedstawiające ruch roczny Urana i Neptuna na tle gwiazd w gwiazdozbiorach odpowiednio Wodnika i Kozioroźca w 2010 r. Zaznaczone są na nich gwiazdy do 11.0^m . Siatka współrzędnych równikowych podana jest dla epoki 2000.0.

Na zakończenie zestawione są dla wszystkich planet dane o szczególnych konfiguracjach w układzie planeta-Słońce-Ziemia (elongacje, opozycje itp.²) w 2010 roku.

² Koniunkcje i opozycje planet względem Słońca dotyczą różnicy długości ekiptycznych tych ciał.

MERCURY

M d 2010	Wsch.	Kulm.	Zach.	A	α	δ	D	F	V	ΔI
	$\lambda=0$		$\phi=50$		0 ^h UT					
I 0	h m	h m	h m	°	h m	° '	"	m	°	
4	8 27	12 43	17 00	58	19 25.4	- 20 40	9.4	0.10	2.1	11
8	7 47	12 07	16 26	59	19 05.6	- 20 03	10.0	0.01	4.6	3
12	7 09	11 29	15 50	59	18 43.2	- 19 50	9.9	0.05	3.1	-8
16	6 40	11 00	15 20	59	18 28.0	- 19 59	9.3	0.18	1.3	-15
20	6 23	10 41	14 59	58	18 23.7	- 20 25	8.5	0.32	0.5	-20
24	6 16	10 31	14 46	57	18 28.8	- 20 58	7.7	0.45	0.1	-23
28	6 15	10 28	14 40	56	18 40.6	- 21 29	7.1	0.56	-0.1	-24
II 1	6 18	10 29	14 39	55	18 57.1	- 21 50	6.6	0.64	-0.1	-25
5	6 23	10 33	14 43	55	19 16.6	- 21 57	6.2	0.71	-0.1	-24
9	6 28	10 39	14 50	56	19 38.3	- 21 47	5.9	0.76	-0.1	-23
13	6 32	10 46	15 01	57	20 01.4	- 21 19	5.6	0.80	-0.2	-22
17	6 36	10 55	15 14	58	20 25.5	- 20 30	5.4	0.84	-0.2	-20
21	6 38	11 04	15 31	60	20 50.3	- 19 22	5.3	0.87	-0.3	-19
25	6 39	11 14	15 49	63	21 15.7	- 17 52	5.1	0.90	-0.4	-16
III 1	6 39	11 24	16 10	66	21 41.5	- 16 01	5.0	0.92	-0.5	-14
5	6 37	11 34	16 33	70	22 07.8	- 13 49	4.9	0.95	-0.7	-11
9	6 35	11 45	16 57	74	22 34.4	- 11 16	4.9	0.97	-1.0	-9
13	6 32	11 57	17 23	78	23 01.4	- 8 23	4.9	0.99	-1.3	-5
17	6 28	12 08	17 51	84	23 29.0	- 5 10	4.9	1.00	-1.7	-2
21	6 23	36 21	18 20	89	23 57.1	- 1 41	5.0	1.00	-1.8	3
25	6 18	12 34	18 51	95	0 25.5	2 02	5.2	0.97	-1.6	6
29	6 13	12 46	19 22	101	0 53.8	5 48	5.4	0.91	-1.4	10
IV 1	6 06	12 57	19 51	107	1 21.1	9 26	5.8	0.81	-1.1	14
5	5 59	13 06	20 16	112	1 46.0	12 40	6.3	0.67	-0.8	17
6	5 50	13 11	20 34	116	2 07.2	15 18	7.0	0.51	-0.4	19
10	5 40	13 10	20 42	119	2 23.2	17 11	7.9	0.36	0.2	19
14	5 28	13 04	20 40	120	2 33.2	18 14	8.9	0.23	1.0	18
18	5 15	12 51	20 27	120	2 37.0	18 26	9.9	0.13	2.0	15
22	5 00	12 32	20 03	119	2 34.8	17 46	10.8	0.05	3.3	10
26	4 46	12 10	19 32	116	2 28.2	16 24	11.6	0.01	4.9	5
30	4 32	11 45	18 57	113	2 19.5	14 34	11.9	0.00	5.6	-2
V 4	4 18	11 22	18 24	110	2 11.5	12 40	11.9	0.03	4.0	-8
8	4 05	11 01	17 57	108	2 06.4	11 05	11.5	0.08	2.9	-14
12	3 54	10 45	17 36	106	2 05.3	10 05	10.8	0.14	2.0	-19
16	3 43	10 33	17 23	106	2 08.5	9 44	10.1	0.21	1.5	-22
20	3 33	10 25	17 17	107	2 15.9	10 00	9.3	0.28	1.0	-24
24	3 24	10 21	17 18	108	2 27.1	10 50	8.6	0.35	0.7	-25
28	3 17	10 20	17 24	110	2 41.7	12 06	7.9	0.42	0.4	-25
VI 1	3 10	10 22	17 36	113	2 59.5	13 44	7.3	0.50	0.2	-24
5	3 05	10 28	17 52	116	3 20.5	15 37	6.7	0.58	-0.1	-23
9	3 03	10 37	18 13	120	3 44.8	17 38	6.3	0.66	-0.4	-20
13	3 03	10 49	18 38	123	4 12.5	19 40	5.8	0.76	-0.7	-17
17	3 07	11 05	19 06	126	4 43.9	21 34	5.5	0.85	-1.1	-13
21	3 16	11 25	19 35	129	5 18.5	23 08	5.3	0.93	-1.4	-9
25	3 30	11 46	20 03	131	5 55.8	24 10	5.1	0.98	-1.9	-4
VI 29	3 51	12 09	20 27	131	6 34.2	24 30	5.1	1.00	-2.2	-1

MERKURY (c.d.)

M d 2010	Wsch.	Kulm.	Zach.	A	α	δ	D	F	V	ΔI		
											λ=0	φ=50
VII	3	4 16	12 31	20 45	130	7 12.0	24 05	5.1	0.98	-1.7	6	
	7	4 44	12 51	20 56	128	7 47.9	23 00	5.2	0.93	-1.2	10	
	11	5 12	13 08	21 02	125	8 20.9	21 23	5.3	0.87	-0.8	14	
	15	5 38	13 22	21 03	121	8 51.0	19 22	5.5	0.81	-0.5	17	
	19	6 03	13 33	21 01	117	9 18.1	17 06	5.8	0.75	-0.3	20	
	23	6 25	13 41	20 55	113	9 42.4	14 41	6.1	0.70	-0.1	23	
	27	6 44	13 46	20 47	109	10 04.1	12 12	6.4	0.64	0.0	25	
	31	6 59	13 49	20 38	105	10 23.2	9 45	6.8	0.59	0.2	26	
VIII	4	7 12	13 50	20 26	101	10 39.6	7 23	7.2	0.53	0.3	27	
	8	7 20	13 47	20 13	98	10 53.4	5 11	7.7	0.47	0.4	27	
	12	7 24	13 42	19 59	95	11 04.0	3 16	8.2	0.40	0.6	27	
	16	7 22	13 32	19 42	93	11 10.9	1 44	8.9	0.33	0.8	25	
	20	7 13	13 18	19 24	92	11 13.5	0 45	9.5	0.25	1.2	22	
	24	6 55	13 00	19 04	91	11 11.1	0 29	10.1	0.16	1.8	18	
	28	6 28	12 36	18 44	93	11 03.6	1 05	10.6	0.08	2.8	13	
IX	1	5 54	12 08	18 24	95	10 51.9	2 35	10.7	0.02	4.2	6	
	5	5 15	11 40	18 06	99	10 39.0	4 42	10.5	0.01	4.6	-5	
	9	4 40	11 15	17 52	102	10 29.5	6 53	9.7	0.07	2.8	-10	
	13	4 14	10 58	17 43	104	10 27.1	8 31	8.7	0.19	1.2	-15	
	17	4 02	10 50	17 37	105	10 33.6	9 09	7.7	0.36	0.1	-17	
	21	4 04	10 50	17 34	104	10 48.3	8 40	6.8	0.54	-0.5	-18	
	25	4 17	10 55	17 32	101	11 09.0	7 10	6.2	0.71	-0.9	-16	
	29	4 37	11 04	17 29	98	11 33.2	4 54	5.7	0.83	-1.1	-14	
X	3	5 00	11 14	17 26	93	11 58.9	2 10	5.3	0.92	-1.2	-11	
	7	5 24	11 24	17 22	89	12 24.8	- 0 48	5.0	0.96	-1.3	-8	
	11	5 49	11 34	17 17	84	12 50.5	- 3 51	4.9	0.99	-1.3	-5	
	15	6 13	11 43	17 12	79	13 15.8	- 6 50	4.8	1.00	-1.4	-2	
	19	6 36	11 52	17 07	75	13 40.7	- 9 43	4.7	1.00	-1.4	-2	
	23	6 59	12 01	17 02	70	14 05.3	- 12 27	4.7	0.99	-1.1	4	
	27	7 21	12 10	16 57	66	14 29.8	- 15 00	4.7	0.98	-0.9	6	
	31	7 43	12 19	16 54	62	14 54.3	- 17 20	4.7	0.97	-0.7	9	
XI	4	8 03	12 28	16 51	59	15 18.9	- 19 26	4.8	0.96	-0.6	11	
	8	8 24	12 37	16 49	56	15 43.7	- 21 17	4.9	0.94	-0.5	13	
	12	8 42	12 46	16 48	53	16 08.6	- 22 51	5.0	0.91	-0.4	15	
	16	9 00	12 55	16 50	51	16 33.5	- 24 07	5.2	0.88	-0.4	17	
	20	9 15	13 04	16 52	49	16 58.2	- 25 03	5.4	0.84	-0.4	19	
	24	9 27	13 12	16 57	48	17 22.2	- 25 39	5.8	0.79	-0.4	20	
	28	9 35	13 18	17 02	48	17 44.8	- 25 51	6.2	0.72	-0.4	21	
XII	2	9 37	13 22	17 07	49	18 04.5	- 25 42	6.7	0.62	-0.4	21	
	6	9 31	13 20	17 09	50	18 19.3	- 25 10	7.4	0.49	-0.2	21	
	10	9 15	13 09	17 04	51	18 26.0	- 24 20	8.2	0.32	0.3	18	
	14	8 46	12 47	16 48	53	18 20.9	- 23 16	9.1	0.14	1.5	13	
	18	8 05	12 13	16 21	56	18 03.5	- 22 01	9.8	0.02	3.9	5	
	22	7 19	11 34	15 50	57	17 40.3	- 20 51	9.9	0.02	3.8	-5	
	26	6 42	11 02	15 22	59	17 22.5	- 20 07	9.3	0.14	1.6	-13	
2011 I	30	6 21	10 41	15 01	59	17 15.9	- 20 02	8.5	0.30	0.5	-19	
	3	6 12	10 30	14 47	58	17 19.8	- 20 30	7.6	0.45	-0.0	-22	

WENUS

M d 2010	Wschr.	Kulm.	Zach.	A	α	δ	D	F	V	ΔI
	$\lambda=0$		$\phi=50$		0 ^h UT					
		h m	h m	h m	°	h m	° '	"	m	°
I 0	7 53	11 51	15 50	52	18 28.8	- 23 40	9.9	1.00	-3.9	-3
8	8 01	12 04	16 07	53	19 12.6	- 23 05	9.8	1.00	-3.9	-1
16	8 04	12 15	16 27	56	19 55.8	- 21 45	9.8	1.00	-3.9	-1
24	8 02	12 26	16 50	59	20 37.9	- 19 43	9.8	1.00	-3.9	3
II 1	7 56	12 35	17 15	64	21 18.8	- 17 04	9.9	1.00	-3.9	5
9	7 47	12 43	17 40	69	21 58.3	- 13 54	9.9	0.99	-3.9	7
17	7 35	12 50	18 05	75	22 36.6	- 10 21	10.0	0.99	-3.9	9
25	7 22	12 55	18 30	81	23 13.9	- 6 29	10.0	0.98	-3.9	11
III 5	7 08	13 00	18 54	87	23 50.6	- 2 27	10.1	0.98	-3.9	13
13	6 53	13 05	19 19	94	0 26.8	1 39	10.2	0.97	-3.9	15
21	6 38	13 10	19 43	100	1 03.1	5 44	10.4	0.96	-3.9	16
29	6 24	13 15	20 08	107	1 39.7	9 41	10.5	0.95	-3.9	18
IV 6	6 10	13 21	20 33	112	2 17.1	13 23	10.7	0.94	-3.9	20
14	5 59	13 28	20 58	118	2 55.3	16 45	10.9	0.92	-3.9	22
22	5 50	13 35	21 23	123	3 34.7	19 40	11.2	0.91	-3.9	24
30	5 44	13 44	21 46	127	4 15.1	22 02	11.5	0.89	-3.9	26
V 8	5 43	13 54	22 07	130	4 56.5	23 45	11.8	0.87	-3.9	28
16	5 46	14 05	22 24	132	5 38.6	24 46	12.2	0.85	-4.0	30
24	5 55	14 16	22 36	132	6 20.9	25 02	12.6	0.83	-4.0	32
VI 1	6 09	14 26	22 42	131	7 02.8	24 32	13.1	0.81	-4.0	34
9	6 27	14 35	22 43	129	7 43.8	23 18	13.6	0.78	-4.0	36
17	6 48	14 43	22 38	125	8 23.5	21 25	14.3	0.76	-4.0	37
25	7 10	14 50	22 29	121	9 01.6	18 56	15.0	0.73	-4.0	39
VII 3	7 31	14 55	22 16	115	9 38.0	15 58	15.8	0.70	-4.1	41
11	7 53	14 58	22 01	110	10 12.7	12 37	16.8	0.67	-4.1	42
19	8 13	14 59	21 44	104	10 45.8	8 58	17.9	0.64	-4.1	43
27	8 32	14 59	21 25	98	11 17.5	5 08	19.2	0.60	-4.2	44
VIII 4	8 49	14 58	21 05	92	11 47.8	1 12	20.7	0.57	-4.2	45
12	9 06	14 55	20 44	86	12 16.8	- 2 45	22.5	0.53	-4.3	46
20	9 21	14 51	20 21	80	12 44.6	- 6 36	24.5	0.49	-4.3	46
28	9 33	14 46	19 58	74	13 10.9	- 10 18	27.1	0.44	-4.4	46
IX 5	9 44	14 39	19 33	69	13 35.4	- 13 44	30.1	0.39	-4.5	45
13	9 51	14 29	19 07	64	13 57.4	- 16 49	33.7	0.34	-4.5	43
21	9 52	14 15	18 39	59	14 15.7	- 19 25	38.1	0.28	-4.6	41
29	9 44	13 56	18 08	56	14 28.5	- 21 23	43.4	0.21	-4.6	36
X 7	9 24	13 29	17 34	54	14 33.8	- 22 31	49.4	0.14	-4.5	30
15	8 48	12 54	16 59	54	14 29.9	- 22 30	55.6	0.07	-4.4	22
23	7 54	12 09	16 24	57	14 17.2	- 21 01	60.4	0.02	-4.2	12
31	6 50	11 21	15 53	62	14 00.3	- 18 13	61.9	0.01	-4.0	-6
XI 8	5 47	10 36	15 26	67	13 46.5	- 14 58	59.4	0.04	-4.3	-16
16	4 56	9 59	15 03	72	13 40.9	- 12 17	54.0	0.10	-4.5	-26
24	4 22	9 32	14 43	74	13 44.8	- 10 47	47.9	0.17	-4.6	-33
XII 2	4 01	9 13	14 26	74	13 56.9	- 10 27	42.0	0.24	-4.7	-39
10	3 51	9 01	14 10	73	14 15.4	- 11 03	37.0	0.31	-4.6	-43
18	3 49	8 53	13 55	71	14 38.8	- 12 18	32.9	0.37	-4.6	-45
26	3 54	8 48	13 43	69	15 05.9	- 13 56	29.5	0.42	-4.5	-46
2011 I 3	4 02	8 47	13 32	66	15 36.1	- 15 44	26.7	0.47	-4.5	-47

MARS

M d 2010	Wsch.	Kulm.	Zach.	A	α	δ	D	F	V	ΔI
	$\lambda=0$		$\phi=50$		0 ^h UT					
I 0	h m	h m	h m	°	h m	° '	"	m	°	
8	19 09	2 52	10 30	121	9 30.4	18 40	12.6	0.96	-0.7	-140
16	18 27	2 14	9 57	122	9 24.6	19 27	13.3	0.98	-0.9	-150
24	17 40	1 34	9 22	124	9 15.4	20 25	13.8	0.99	-1.1	-160
	16 50	0 51	8 45	126	9 03.6	21 27	14.1	1.00	-1.2	-171
II 1	16 00	0 06	8 07	127	8 50.6	22 24	14.1	1.00	-1.3	175
9	15 11	23 17	7 27	129	8 37.8	23 08	13.8	0.99	-1.1	165
17	14 26	22 35	6 48	129	8 26.9	23 37	13.2	0.98	-0.9	155
25	13 46	21 56	6 10	130	8 18.9	23 49	12.5	0.97	-0.7	145
III 5	13 10	21 20	5 34	130	8 14.4	23 47	11.7	0.96	-0.5	136
13	12 40	20 48	5 00	129	8 13.4	23 33	10.9	0.94	-0.3	128
21	12 13	20 19	4 28	129	8 15.6	23 09	10.2	0.93	-0.1	121
29	11 51	19 53	3 58	128	8 20.7	22 36	9.5	0.92	0.1	114
IV 6	11 31	19 29	3 30	126	8 28.1	21 55	8.8	0.91	0.3	108
14	11 14	19 07	3 03	125	8 37.5	21 07	8.3	0.90	0.4	102
22	11 00	18 47	2 37	123	8 48.5	20 12	7.8	0.90	0.6	97
30	10 47	18 28	2 11	121	9 00.7	19 10	7.3	0.90	0.7	93
V 8	10 35	18 09	1 46	120	9 14.0	18 01	6.9	0.90	0.8	88
16	10 25	17 52	1 22	117	9 28.0	16 46	6.6	0.90	0.9	84
24	10 16	17 35	0 57	115	9 42.8	15 23	6.3	0.90	1.0	80
VI 1	10 08	17 19	0 33	113	9 58.0	13 55	6.0	0.90	1.1	76
9	10 00	17 03	0 09	110	10 13.7	12 20	5.8	0.90	1.2	73
17	9 53	16 48	23 42	107	10 29.7	10 40	5.5	0.91	1.3	69
25	9 47	16 33	23 18	104	10 46.0	8 54	5.4	0.91	1.3	66
VII 3	9 41	16 18	22 54	101	11 02.7	7 04	5.2	0.91	1.4	63
11	9 36	16 03	22 30	98	11 19.6	5 10	5.0	0.92	1.4	60
19	9 31	15 49	22 06	95	11 36.7	3 13	4.9	0.92	1.4	57
27	9 26	15 35	21 43	92	11 54.2	1 12	4.8	0.93	1.5	54
VIII 4	9 22	15 21	21 19	89	12 11.9	- 0 50	4.7	0.93	1.5	52
12	9 19	15 08	20 56	86	12 30.0	- 2 54	4.6	0.94	1.5	49
20	9 16	14 55	20 33	83	12 48.5	- 4 58	4.5	0.94	1.5	46
28	9 13	14 42	20 10	79	13 07.4	- 7 02	4.4	0.95	1.5	44
IX 5	9 11	14 30	19 48	76	13 26.7	- 9 05	4.3	0.95	1.5	41
13	9 09	14 18	19 27	73	13 46.6	- 11 05	4.3	0.96	1.5	39
21	9 08	14 07	19 06	70	14 07.0	- 13 01	4.2	0.96	1.5	36
29	9 07	13 57	18 45	67	14 28.1	- 14 53	4.2	0.97	1.5	34
X 7	9 07	13 47	18 26	64	14 49.8	- 16 39	4.1	0.97	1.5	31
15	9 07	13 38	18 08	61	15 12.1	- 18 17	4.1	0.97	1.5	29
23	9 07	13 29	17 51	59	15 35.2	- 19 47	4.0	0.98	1.4	27
31	9 07	13 22	17 36	57	15 58.9	- 21 06	4.0	0.98	1.4	24
XI 8	9 07	13 15	17 22	55	16 23.4	- 22 13	4.0	0.98	1.4	22
16	9 07	13 08	17 10	53	16 48.5	- 23 07	4.0	0.99	1.4	20
24	9 05	13 02	17 00	52	17 14.1	- 23 47	4.0	0.99	1.3	18
XII 2	9 02	12 57	16 52	51	17 40.2	- 24 11	4.0	0.99	1.3	16
10	8 58	12 52	16 46	51	18 06.7	- 24 18	3.9	0.99	1.3	14
18	8 52	12 47	16 43	51	18 33.4	- 24 08	3.9	1.00	1.3	12
26	8 44	12 42	16 41	52	19 00.1	- 23 41	3.9	1.00	1.2	10
2011 I 3	8 34	12 37	16 41	54	19 26.9	- 22 57	3.9	1.00	1.2	8

JOWISZ

M d 2010	Wsch.	Kulm.	Zach.	A	α	δ	D	V	ΔI	
		h m	h m	h m	\pm °	h m	° '	"	m	°
I 0	10 19	15 15	20 11	69	21 54.9	- 13 41	35.0	-2.1	47	
8	9 51	14 50	19 49	70	22 01.3	- 13 06	34.5	-2.1	40	
16	9 23	14 25	19 27	71	22 07.9	- 12 30	34.0	-2.1	34	
24	8 55	14 00	19 06	72	22 14.8	- 11 52	33.7	-2.0	27	
II 1	8 27	13 36	18 44	73	22 21.8	- 11 12	33.4	-2.0	21	
9	7 59	13 11	18 24	74	22 29.0	- 10 31	33.1	-2.0	15	
17	7 32	12 47	18 03	75	22 36.2	- 9 49	33.0	-2.0	9	
25	7 04	12 23	17 42	77	22 43.4	- 9 06	32.9	-2.0	3	
III 5	6 36	11 59	17 21	78	22 50.7	- 8 22	32.9	-2.0	-4	
13	6 08	11 34	17 01	79	22 57.9	- 7 39	33.0	-2.0	-10	
21	5 40	11 10	16 40	80	23 05.0	- 6 55	33.2	-2.0	-16	
29	5 12	10 45	16 19	81	23 12.0	- 6 12	33.4	-2.0	-22	
IV 6	4 44	10 21	15 58	82	23 18.9	- 5 30	33.7	-2.1	-28	
14	4 16	9 56	15 36	83	23 25.5	- 4 48	34.0	-2.1	-34	
22	3 48	9 31	15 14	84	23 31.9	- 4 09	34.5	-2.1	-40	
30	3 19	9 06	14 52	85	23 38.1	- 3 30	35.0	-2.1	-46	
V 8	2 51	8 40	14 29	86	23 43.9	- 2 54	35.6	-2.2	-52	
16	2 22	8 14	14 06	87	23 49.4	- 2 20	36.3	-2.2	-58	
24	1 53	7 47	13 42	88	23 54.5	- 1 49	37.0	-2.2	-65	
VI 1	1 24	7 21	13 17	89	23 59.1	- 1 21	37.8	-2.3	-71	
9	0 55	6 53	12 51	89	0 03.2	- 0 56	38.7	-2.3	-78	
17	0 25	6 25	12 25	90	0 06.8	- 0 36	39.6	-2.4	-84	
25	23 52	5 57	11 58	90	0 09.7	- 0 19	40.7	-2.4	-91	
VII 3	23 22	5 28	11 30	91	0 12.1	- 0 06	41.7	-2.5	-98	
11	22 51	4 58	11 00	91	0 13.7	0 02	42.8	-2.5	-105	
19	22 20	4 27	10 30	91	0 14.5	0 05	43.9	-2.6	-113	
27	21 49	3 56	9 58	91	0 14.7	0 03	45.0	-2.7	-121	
VIII 4	21 17	3 24	9 26	91	0 14.0	- 0 04	46.1	-2.7	-128	
12	20 45	2 51	8 52	90	0 12.6	- 0 16	47.1	-2.8	-136	
20	20 13	2 17	8 17	90	0 10.5	- 0 32	48.0	-2.8	-145	
28	19 40	1 43	7 41	89	0 07.7	- 0 51	48.8	-2.9	-153	
IX 5	19 08	1 08	7 05	89	0 04.4	- 1 14	49.3	-2.9	-162	
13	18 34	0 33	6 28	88	0 00.7	- 1 39	49.7	-2.9	-170	
21	18 01	23 53	5 50	87	23 56.9	- 2 05	49.8	-2.9	-178	
29	17 28	23 18	5 13	87	23 53.0	- 2 30	49.7	-2.9	171	
X 7	16 54	22 43	4 36	86	23 49.2	- 2 54	49.3	-2.9	163	
15	16 21	22 08	3 59	86	23 45.9	- 3 15	48.7	-2.9	154	
23	15 48	21 34	3 24	85	23 43.0	- 3 32	48.0	-2.8	145	
31	15 16	21 00	2 49	85	23 40.7	- 3 45	47.0	-2.8	137	
XI 8	14 43	20 27	2 16	85	23 39.2	- 3 53	46.0	-2.7	128	
16	14 11	19 55	1 43	85	23 38.5	- 3 55	44.9	-2.7	120	
24	13 40	19 24	1 12	85	23 38.5	- 3 52	43.8	-2.6	112	
XII 2	13 09	18 54	0 42	85	23 39.4	- 3 44	42.6	-2.5	104	
10	12 38	18 24	0 13	85	23 41.1	- 3 31	41.5	-2.5	96	
18	12 07	17 55	23 42	86	23 43.5	- 3 14	40.4	-2.4	89	
26	11 37	17 27	23 16	86	23 46.6	- 2 51	39.4	-2.4	82	
2011 13	11 08	16 59	22 50	87	23 50.3	- 2 25	38.5	-2.3	75	

SATURN

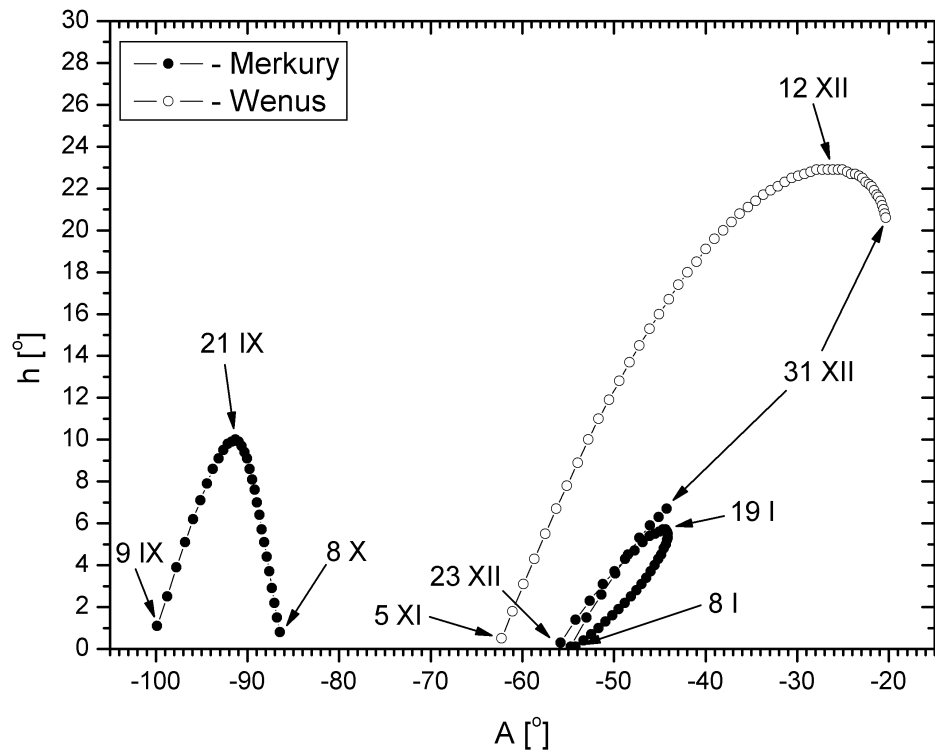
M d 2010	Wsch.	Kulm.	Zach.	A	α	δ	D	b/a	V	ΔI
	$\lambda=0$		$\phi=50$		0 ^h UT					
I 0	h m	h m	h m	°	h m	° '	"	m	°	
8	23 33	5 41	11 45	91	12 20.1	0 19	17.7	0.09	0.8	-95
16	23 02	5 10	11 14	91	12 20.7	0 18	18.0	0.09	0.8	-103
24	22 31	4 39	10 43	91	12 20.8	0 19	18.2	0.09	0.7	-111
	21 59	4 07	10 11	91	12 20.5	0 23	18.5	0.08	0.7	-119
II 1	21 26	3 35	9 40	91	12 19.8	0 30	18.7	0.08	0.7	-128
9	20 53	3 02	9 08	92	12 18.7	0 39	18.9	0.08	0.6	-136
17	20 19	2 29	8 36	92	12 17.3	0 51	19.1	0.08	0.6	-145
25	19 44	1 56	8 04	92	12 15.6	1 04	19.2	0.07	0.6	-153
III 5	19 10	1 23	7 31	93	12 13.6	1 18	19.4	0.07	0.5	-162
13	18 35	0 49	6 59	93	12 11.4	1 33	19.4	0.06	0.5	-170
21	18 00	0 15	6 27	94	12 09.1	1 49	19.5	0.06	0.5	-177
29	17 25	23 37	5 54	94	12 06.8	2 04	19.4	0.05	0.6	172
IV 6	16 50	23 04	5 21	94	12 04.6	2 18	19.4	0.05	0.6	164
14	16 16	22 30	4 49	95	12 02.5	2 31	19.3	0.04	0.7	155
22	15 42	21 57	4 17	95	12 00.6	2 43	19.1	0.04	0.7	147
30	15 08	21 24	3 44	95	11 58.9	2 52	19.0	0.03	0.8	139
V 8	14 34	20 51	3 12	95	11 57.6	2 59	18.8	0.03	0.8	131
16	14 02	20 19	2 40	95	11 56.7	3 04	18.5	0.03	0.9	123
24	13 30	19 47	2 08	96	11 56.1	3 06	18.3	0.03	0.9	115
VI 1	12 58	19 15	1 36	95	11 55.9	3 05	18.0	0.03	1.0	107
9	12 27	18 44	1 05	95	11 56.1	3 02	17.8	0.03	1.0	100
17	11 57	18 13	0 34	95	11 56.7	2 56	17.5	0.03	1.0	92
25	11 27	17 43	0 03	95	11 57.7	2 48	17.3	0.04	1.1	85
VII 3	10 58	17 13	23 28	95	11 59.1	2 37	17.1	0.04	1.1	78
11	10 29	16 43	22 57	94	12 00.8	2 24	16.8	0.04	1.1	71
19	10 01	16 14	22 26	94	12 02.9	2 09	16.6	0.05	1.1	64
27	9 33	15 45	21 56	94	12 05.2	1 53	16.4	0.05	1.1	57
VIII 4	9 06	15 16	21 26	93	12 07.8	1 35	16.3	0.06	1.1	50
12	8 39	14 47	20 55	93	12 10.6	1 15	16.1	0.07	1.1	43
20	8 12	14 19	20 25	92	12 13.7	0 54	16.0	0.07	1.1	36
28	7 45	13 50	19 55	91	12 16.9	0 33	15.9	0.08	1.1	29
IX 5	7 19	13 22	19 26	91	12 20.3	0 10	15.8	0.09	1.0	22
13	6 53	12 54	18 56	90	12 23.8	- 0 13	15.7	0.10	1.0	16
21	6 27	12 26	18 26	90	12 27.3	- 0 36	15.7	0.10	1.0	9
29	6 01	11 59	17 56	89	12 30.9	- 0 59	15.7	0.11	1.0	3
X 7	5 35	11 31	17 27	88	12 34.6	- 1 22	15.7	0.12	0.9	-6
15	5 09	11 03	16 57	88	12 38.2	- 1 45	15.7	0.13	0.9	-12
23	4 42	10 35	16 27	87	12 41.8	- 2 07	15.8	0.13	0.8	-19
31	4 16	10 07	15 58	87	12 45.2	- 2 28	15.8	0.14	0.8	-26
XI 8	3 50	9 39	15 28	86	12 48.6	- 2 48	15.9	0.15	0.8	-33
16	3 23	9 11	14 58	86	12 51.8	- 3 07	16.1	0.15	0.7	-40
24	2 56	8 42	14 28	85	12 54.7	- 3 24	16.2	0.16	0.7	-48
XII 2	2 28	8 13	13 58	85	12 57.5	- 3 40	16.4	0.16	0.7	-55
10	2 00	7 44	13 28	85	13 00.0	- 3 53	16.6	0.17	0.7	-63
18	1 32	7 15	12 58	84	13 02.2	- 4 05	16.8	0.17	0.6	-70
26	1 03	6 45	12 28	84	13 04.0	- 4 14	17.0	0.17	0.6	-78
2011 I 3	0 34	6 15	11 57	84	13 05.4	- 4 21	17.2	0.18	0.6	-86

URAN

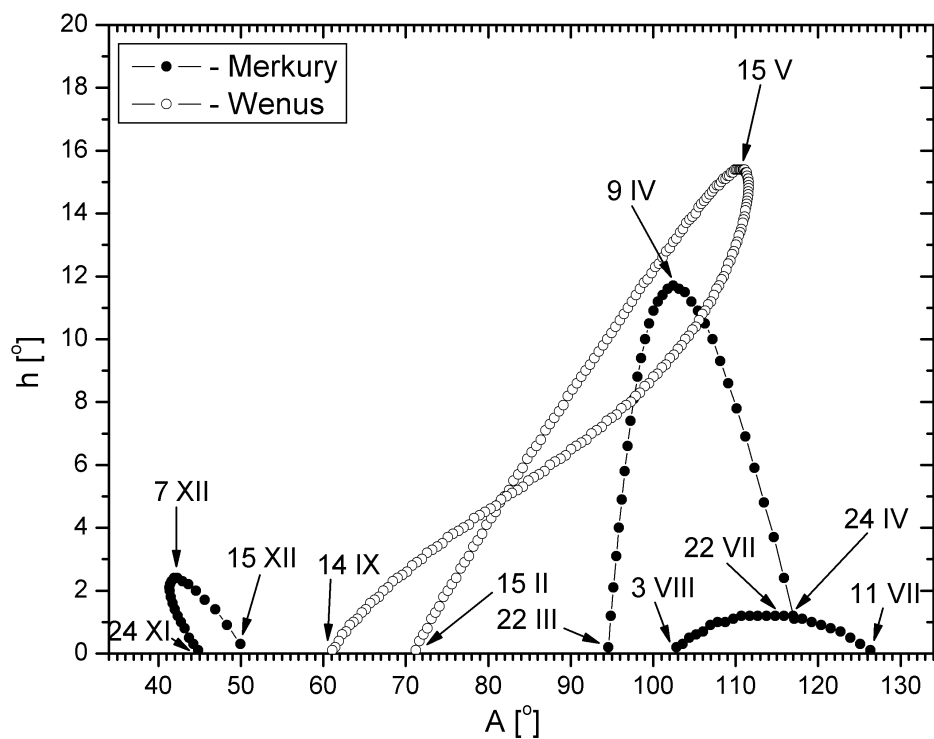
M d 2010	Wsch.	Kulm.	Zach.	A	α	δ	D	V	ΔI	0 ^h UT			
										$\lambda=0^\circ$	$\varphi=50^\circ$	h	m
I 0	11 09	16 55	22 41	85	23 35.7	- 3 26	3.4	5.9	74				
8	10 37	16 24	22 11	85	23 36.5	- 3 21	3.4	5.9	66				
16	10 06	15 54	21 41	86	23 37.5	- 3 14	3.4	5.9	58				
24	9 36	15 23	21 11	86	23 38.6	- 3 07	3.4	5.9	50				
II 1	9 05	14 53	20 42	86	23 39.9	- 2 58	3.4	5.9	42				
9	8 34	14 23	20 12	86	23 41.3	- 2 49	3.4	5.9	34				
17	8 03	13 53	19 43	87	23 42.8	- 2 39	3.3	5.9	27				
25	7 32	13 23	19 14	87	23 44.4	- 2 29	3.3	5.9	19				
III 5	7 02	12 53	18 45	87	23 46.0	- 2 18	3.3	5.9	12				
13	6 31	12 24	18 16	87	23 47.7	- 2 07	3.3	5.9	4				
21	6 00	11 54	17 47	88	23 49.3	- 1 56	3.3	5.9	-4				
29	5 30	11 24	17 18	88	23 51.0	- 1 45	3.3	5.9	-11				
IV 6	4 59	10 54	16 49	88	23 52.6	- 1 35	3.3	5.9	-18				
14	4 28	10 24	16 20	89	23 54.2	- 1 25	3.3	5.9	-26				
22	3 58	9 54	15 51	89	23 55.7	- 1 15	3.3	5.9	-33				
30	3 27	9 24	15 22	89	23 57.2	- 1 06	3.4	5.9	-41				
V 8	2 56	8 54	14 52	89	23 58.5	- 0 58	3.4	5.9	-48				
16	2 25	8 24	14 23	89	23 59.7	- 0 50	3.4	5.9	-55				
24	1 54	7 54	13 53	90	0 00.7	- 0 44	3.4	5.9	-63				
VI 1	1 23	7 23	13 22	90	0 01.6	- 0 38	3.4	5.9	-70				
9	0 52	6 52	12 52	90	0 02.3	- 0 34	3.5	5.9	-78				
17	0 21	6 21	12 21	90	0 02.8	- 0 30	3.5	5.8	-85				
25	23 46	5 50	11 50	90	0 03.2	- 0 28	3.5	5.8	-93				
VII 3	23 15	5 19	11 19	90	0 03.4	- 0 28	3.5	5.8	-100				
11	22 43	4 47	10 48	90	0 03.4	- 0 28	3.5	5.8	-108				
19	22 12	4 16	10 16	90	0 03.1	- 0 30	3.6	5.8	-116				
27	21 40	3 44	9 44	90	0 02.7	- 0 33	3.6	5.8	-123				
VIII 4	21 08	3 12	9 11	90	0 02.2	- 0 37	3.6	5.8	-131				
12	20 36	2 40	8 39	90	0 01.5	- 0 41	3.6	5.8	-139				
20	20 05	2 07	8 06	89	0 00.6	- 0 47	3.6	5.7	-147				
28	19 33	1 35	7 33	89	23 59.6	- 0 54	3.7	5.7	-155				
IX 5	19 01	1 02	7 00	89	23 58.6	- 1 01	3.7	5.7	-163				
13	18 29	0 30	6 27	89	23 57.4	- 1 08	3.7	5.7	-171				
21	17 57	23 53	5 54	89	23 56.2	- 1 16	3.7	5.7	-179				
29	17 25	23 21	5 20	89	23 55.1	- 1 23	3.7	5.7	173				
X 7	16 53	22 48	4 47	88	23 53.9	- 1 31	3.7	5.7	164				
15	16 21	22 15	4 14	88	23 52.8	- 1 38	3.7	5.7	156				
23	15 49	21 43	3 41	88	23 51.8	- 1 44	3.6	5.7	148				
31	15 17	21 11	3 08	88	23 51.0	- 1 50	3.6	5.8	140				
XI 8	14 45	20 38	2 36	88	23 50.2	- 1 54	3.6	5.8	132				
16	14 13	20 06	2 04	88	23 49.6	- 1 58	3.6	5.8	123				
24	13 42	19 35	1 32	88	23 49.2	- 2 00	3.6	5.8	115				
XII 2	13 10	19 03	1 00	88	23 49.0	- 2 01	3.5	5.8	107				
10	12 39	18 32	0 28	88	23 49.0	- 2 01	3.5	5.8	99				
18	12 07	18 00	23 53	88	23 49.2	- 1 59	3.5	5.8	91				
26	11 36	17 29	23 23	88	23 49.6	- 1 56	3.5	5.9	83				
2011 I 3	11 05	16 58	22 52	88	23 50.2	- 1 52	3.4	5.9	75				

NEPTUN

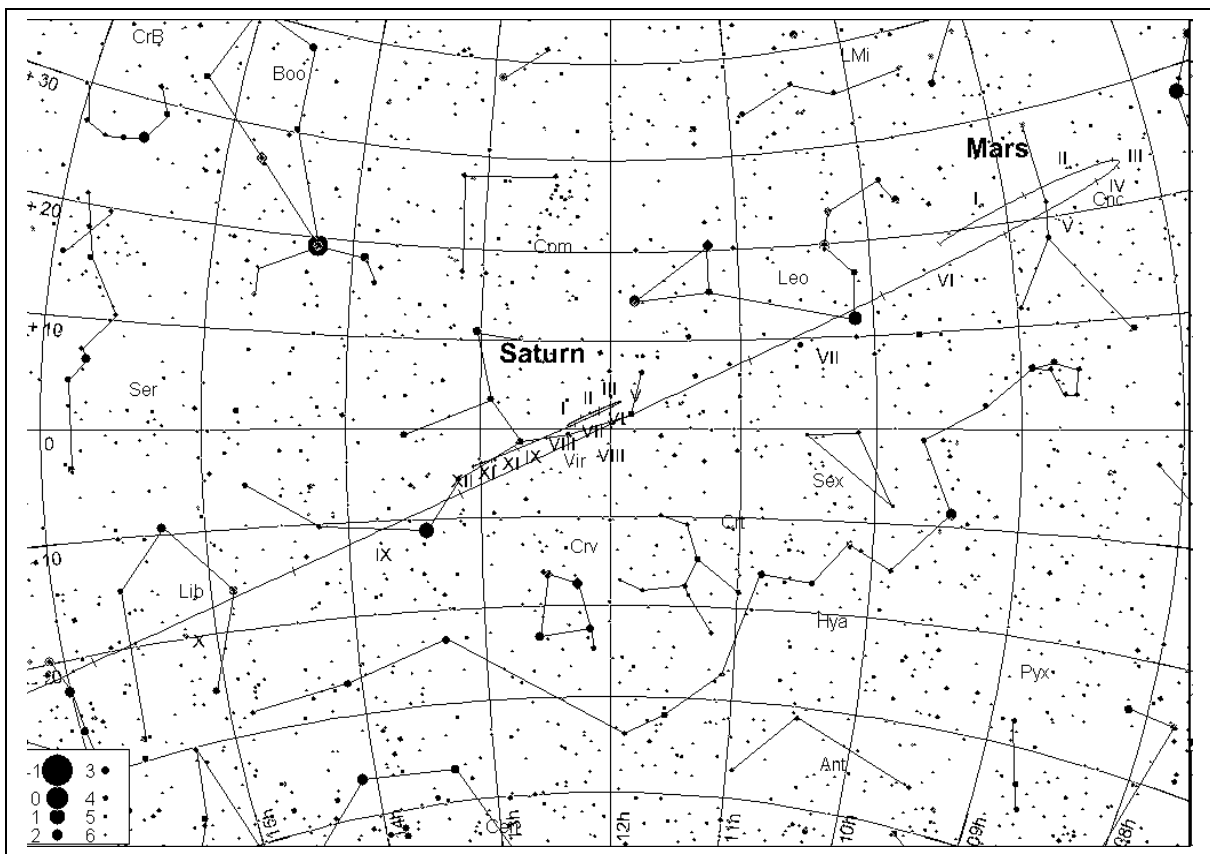
M d 2010	Wsch.	Kulm.	Zach.	A	α	δ	D	V	ΔI	0 ^h UT			
										$\lambda=0^\circ$		$\varphi=50^\circ$	
		h m	h m	h m	\pm °	h m	° '	"	m	°			
I	0	10 12	15 07	20 03	69	21 48.0	-13 44	2.2	8.0	45			
	8	9 41	14 37	19 33	69	21 48.9	-13 39	2.2	8.0	37			
	16	9 10	14 06	19 03	69	21 49.9	-13 34	2.2	8.0	29			
	24	8 39	13 36	18 33	69	21 51.0	-13 28	2.2	8.0	21			
II	1	8 09	13 06	18 03	70	21 52.2	-13 22	2.2	8.0	14			
	9	7 38	12 35	17 33	70	21 53.3	-13 16	2.2	8.0	6			
	17	7 07	12 05	17 03	70	21 54.5	-13 10	2.2	8.0	-2			
	25	6 36	11 35	16 34	70	21 55.7	-13 04	2.2	8.0	-10			
III	5	6 05	11 05	16 04	70	21 56.8	-12 58	2.2	8.0	-17			
	13	5 34	10 34	15 34	70	21 57.9	-12 52	2.2	8.0	-25			
	21	5 04	10 04	15 04	71	21 59.0	-12 47	2.2	8.0	-33			
	29	4 33	9 33	14 34	71	22 00.0	-12 42	2.2	8.0	-41			
IV	6	4 02	9 03	14 04	71	22 00.9	-12 37	2.2	8.0	-48			
	14	3 31	8 32	13 34	71	22 01.7	-12 33	2.2	7.9	-56			
	22	3 00	8 01	13 03	71	22 02.4	-12 29	2.2	7.9	-63			
	30	2 28	7 30	12 32	71	22 03.0	-12 26	2.2	7.9	-71			
V	8	1 57	6 59	12 02	71	22 03.4	-12 24	2.2	7.9	-79			
	16	1 26	6 28	11 31	71	22 03.8	-12 22	2.2	7.9	-86			
	24	0 55	5 57	10 59	71	22 04.0	-12 21	2.2	7.9	-94			
VI	1	0 23	5 26	10 28	71	22 04.0	-12 21	2.2	7.9	-102			
	9	23 48	4 54	9 56	71	22 04.0	-12 22	2.3	7.9	-109			
	17	23 16	4 22	9 25	71	22 03.8	-12 23	2.3	7.9	-117			
	25	22 45	3 51	8 53	71	22 03.5	-12 25	2.3	7.9	-125			
VII	3	22 13	3 19	8 21	71	22 03.0	-12 28	2.3	7.9	-133			
	11	21 41	2 47	7 48	71	22 02.5	-12 31	2.3	7.8	-140			
	19	21 10	2 15	7 16	71	22 01.9	-12 34	2.3	7.8	-148			
	27	20 38	1 43	6 43	71	22 01.1	-12 38	2.3	7.8	-156			
VIII	4	20 06	1 10	6 11	71	22 00.4	-12 43	2.3	7.8	-164			
	12	19 34	0 38	5 38	71	21 59.6	-12 47	2.3	7.8	-172			
	20	19 02	0 06	5 06	70	21 58.7	-12 52	2.3	7.8	-179			
	28	18 30	23 29	4 33	70	21 57.9	-12 56	2.3	7.8	172			
IX	5	17 58	22 57	4 00	70	21 57.1	-13 01	2.3	7.8	165			
	13	17 26	22 25	3 28	70	21 56.3	-13 05	2.3	7.8	157			
	21	16 55	21 53	2 55	70	21 55.6	-13 09	2.3	7.8	149			
	29	16 23	21 21	2 23	70	21 54.9	-13 12	2.3	7.8	141			
X	7	15 51	20 49	1 50	70	21 54.4	-13 15	2.3	7.9	133			
	15	15 19	20 17	1 18	70	21 53.9	-13 17	2.3	7.9	125			
	23	14 48	19 45	0 46	70	21 53.6	-13 19	2.3	7.9	116			
	31	14 16	19 13	0 15	70	21 53.4	-13 20	2.3	7.9	108			
XI	8	13 45	18 42	23 39	70	21 53.3	-13 20	2.2	7.9	100			
	16	13 13	18 11	23 08	70	21 53.4	-13 20	2.2	7.9	92			
	24	12 42	17 39	22 37	70	21 53.6	-13 19	2.2	7.9	84			
XII	2	12 11	17 08	22 06	70	21 54.0	-13 17	2.2	7.9	76			
	10	11 39	16 37	21 35	70	21 54.5	-13 14	2.2	7.9	68			
	18	11 08	16 07	21 05	70	21 55.1	-13 11	2.2	7.9	60			
	26	10 37	15 36	20 34	70	21 55.9	-13 07	2.2	7.9	52			
2011 I	3	10 06	15 05	20 04	70	21 56.7	-13 02	2.2	8.0	45			



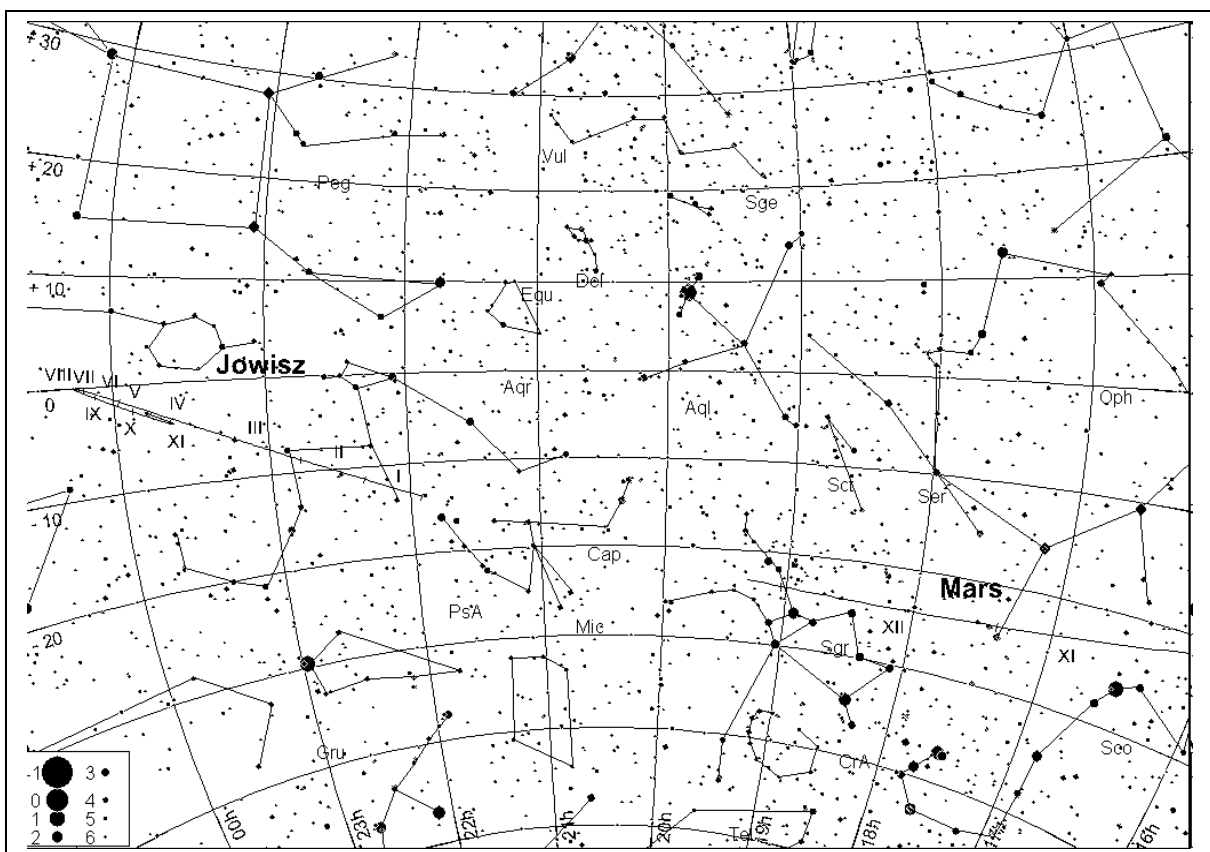
Merkury i Wenus na początku świtu cywilnego
(Słońce 6° pod horyzontem)



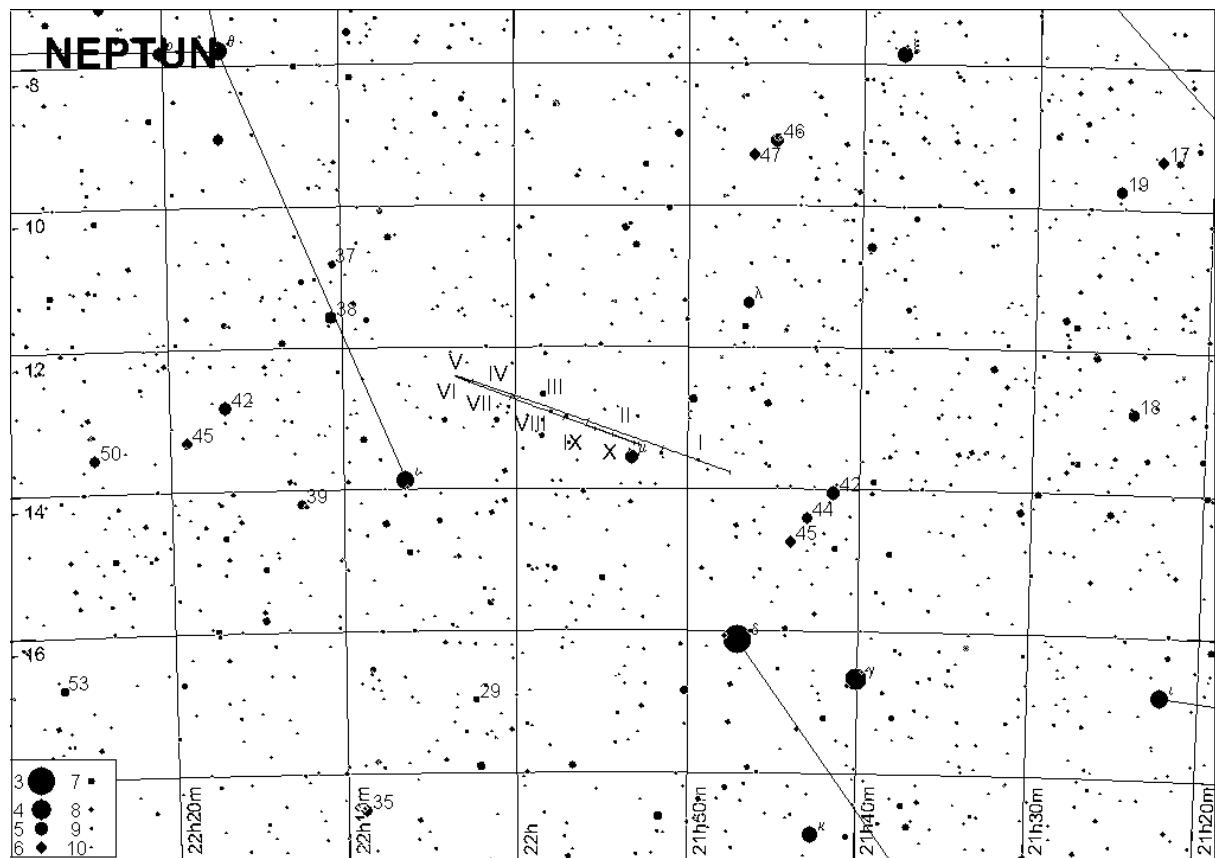
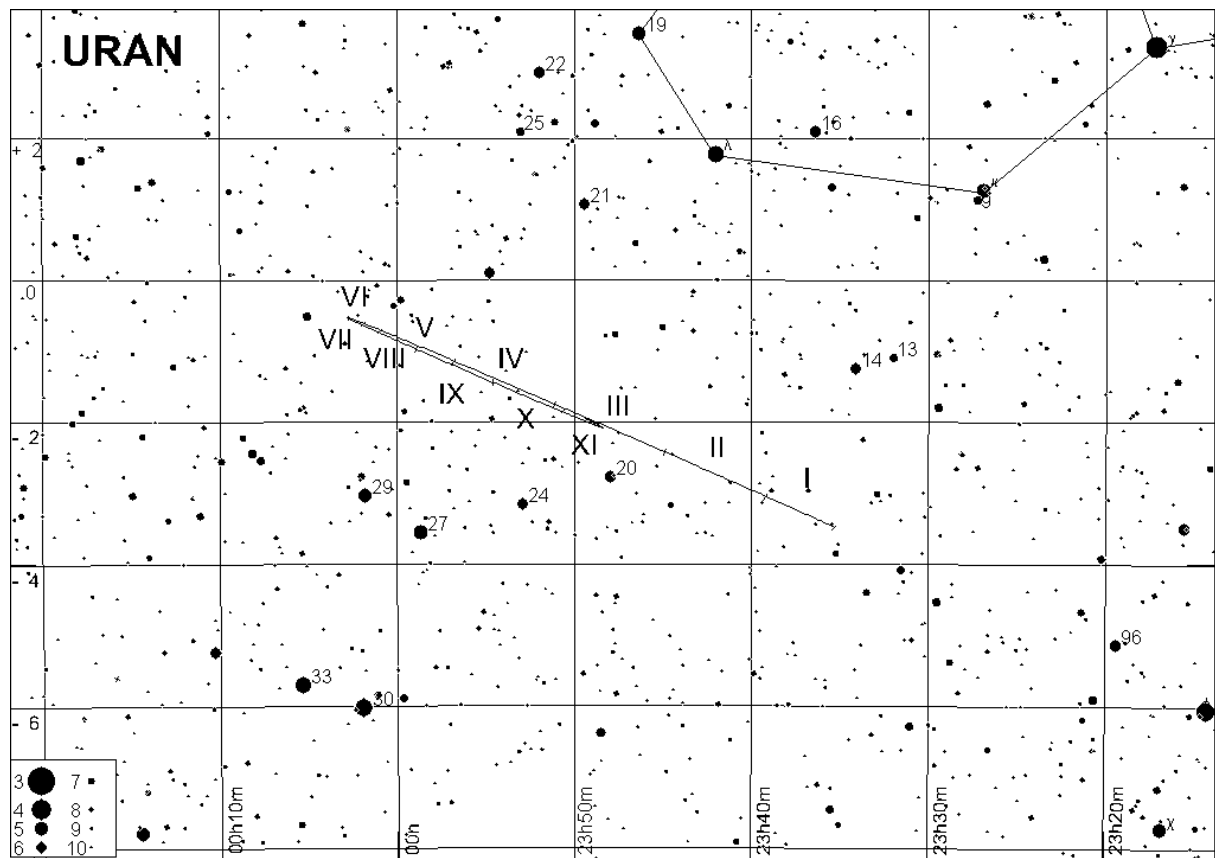
Merkury i Wenus pod koniec zmierzchu cywilnego
(Słońce 6° pod horyzontem)



Trasy Marsa i Saturna na tle gwiazd w 2010 roku.



Trasy Marsa i Jowisza na tle gwiazd w 2010 roku.



MERKURY

Koniunkcja dolna:	4 stycznia 2010, 19 ^h
Maksymalna elongacja zachodnia: 24°45'	27 stycznia 2010, 5 ^h
Koniunkcja górska:	14 marca 2010, 8 ^h
Maksymalna elongacja wschodnia: 19°21'	8 kwietnia 2010, 23 ^h
Koniunkcja dolna:	28 kwietnia 2010, 17 ^h
Maksymalna elongacja zachodnia: 25°07'	26 maja 2010, 2 ^h
Koniunkcja górska:	28 czerwca 2010, 7 ^h
Maksymalna elongacja wschodnia: 27°22'	7 sierpnia 2010, 1 ^h
Koniunkcja dolna:	3 września 2010, 12 ^h
Maksymalna elongacja zachodnia: 17°52'	19 września 2010, 17 ^h
Koniunkcja górska:	16 października 2010, 19 ^h
Maksymalna elongacja wschodnia: 21°28'	1 grudnia 2010, 16 ^h
Koniunkcja dolna:	20 grudnia 2010, 1 ^h

WENUS

Koniunkcja górska:	11 stycznia 2010, 21 ^h
Maksymalna elongacja wschodnia: 45°58'	20 sierpnia 2010, 2 ^h
Koniunkcja dolna:	29 października 2010, 1 ^h

MARS

Opozycja:	29 stycznia 2010, 19 ^h
-----------	-----------------------------------

JOWISZ

Koniunkcja:	28 lutego 2010, 15 ^h
Opozycja:	22 września 2010, 0 ^h

SATURN

Opozycja:	22 marca 2010, 0 ^h
Koniunkcja:	30 września 2010, 18 ^h

URAN

Koniunkcja:	18 marca 2010, 13 ^h
Opozycja:	22 września 2010, 14 ^h

NEPTUN

Koniunkcja:	14 lutego 2010, 4 ^h
Opozycja:	19 sierpnia 2010, 15 ^h

Efemerydy do obserwacji fizycznych Słońca (str.57-60)

Efemerydy do obserwacji fizycznych Słońca służą do określania współrzędnych heliograficznych obiektów widocznych w fotosferze Słońca (plamy, pochodnie itp.). Zawierają one następujące dane na północ 0^hUT dla każdego dnia w roku:

P – kąt pozycyjny projekcji osi obrotu Słońca na płaszczyznę obserwacji, liczony od północnego punktu dysku słonecznego. (dodatni – na wschód, ujemny – na zachód), B_0 – heliograficzna szerokość środka tarczy słonecznej (dodatnia – gdy północny biegun Słońca zwrócony do Ziemi),

L_0 – długość południka centralnego (południka przechodzącego przez środek tarczy Słońca) liczona od zerowego południka Carringtona (liczona na zachód, tzn. w kierunku widomego obrotu Słońca).

Efemerydy do obserwacji fizycznych Księżyca (str.61-64)

Efemerydy do obserwacji fizycznych Księżyca podają współrzędne środka tarczy Księżyca, przez co określają aktualną wartość i kierunek libracji.

Zawierają one następujące dane na północ 0^hUT dla każdego dnia w roku:

P – kąt pozycyjny projekcji osi obrotu Księżyca na płaszczyznę obserwacji, liczony od północnego punktu dysku słonecznego na wschód.

β_0 – selenograficzna szerokość środka tarczy księżycowej (dodatnia na północ od równika, ujemna na południe),

λ_0 – długość selenograficzna południka centralnego (południka przechodzącego przez środek tarczy Księżyca) – dodatnia na wschód, ujemna na zachód od południka zerowego Księżyca (wschód i zachód dla obserwatora na Księżyku).

Wartości β_0 i λ_0 są podane dla obserwatora znajdującego się w środku Ziemi.

Efemerydy do obserwacji fizycznych Marsa i Jowisza (str.65-72)

Efemerydy do obserwacji fizycznych planet służą do określania współrzędnych planetograficznych („geograficznych”) szczegółów obserwowanych na dyskach planet. Wybrano Marsa i Jowisza.

W efemerydach fizycznych planet wielkości P i B_0 mają to samo znaczenie, jak dla Słońca. Długość L_0 centralnego południka widocznej części dysku liczy się od zerowego południka planety w kierunku wschodnim. Dla Jowisza długość centralnego południka podawana jest w dwóch systemach: L_1 – w systemie I dla obszarów równikowych o większej prędkości obrotu, i L_2 – w systemie II dla wolniej wirujących obszarów w średnich szerokościach zeograficznych („geograficznych”).

W celu określenia, jaka jest długość południka centralnego planety w danej chwili T należy skorzystać z wzoru:

$$L = L_0 + \frac{T}{P} \times 360^\circ$$

gdzie:

L – poszukiwana wielkość,

L_0 – wartość odczytana dla danego dnia z Kalendarza,

T – liczba godzin, które upłynęły od 0^hUT do danej chwili,

P = 24.62294^h dla Marsa

P = 9.84167^h dla systemu I Jowisza

P = 9.92795^h dla systemu II Jowisza

W przypadku, gdy otrzymana wielkość L jest większa od 360°, należy od niej odjąć całkowitą wielokrotność 360° aż do otrzymania wartości mniejszej od 360°.

Interesującym szczegółem tarczy Jowisza jest tzw. **Wielka Czerwona Plama**. Jest to cyklon wiejący w atmosferze Jowisza od przynajmniej 400 lat. Przesuwa się ona systematycznie na tle pasów chmur południowej półkuli Jowisza. W 2010 roku jej długość geograficzna³ L w systemie II wynosi około 127°. Zamieszczone poniżej tabele wielkości L_0 pozwolą na zaplanowanie obserwacji tego ciekawego tworu.

³ odpowiednik długości geograficznej dla Jowisza

SŁÓŃCE

Data 2010		0 ^h UT			0 ^h UT			
		P	B ₀	L ₀				
I	1	2.10	-3.01	32.87	II	-18.34	-6.94	120.83
	2	1.62	-3.12	19.70		-18.65	-6.98	107.67
	3	1.13	-3.24	6.53		-18.96	-7.01	94.50
	4	0.65	-3.35	353.36		-19.27	-7.04	81.33
	5	0.17	-3.47	340.19		-19.57	-7.07	68.16
	6	-0.32	-3.58	327.02		-19.86	-7.10	54.99
	7	-0.80	-3.69	313.85		-20.15	-7.12	41.82
	8	-1.28	-3.80	300.68		-20.43	-7.15	28.65
	9	-1.76	-3.91	287.51		-20.70	-7.17	15.47
	10	-2.24	-4.02	274.35		-20.97	-7.19	2.30
	11	-2.72	-4.12	261.18		-21.23	-7.20	349.13
	12	-3.20	-4.23	248.01	III	-21.49	-7.21	335.96
	13	-3.67	-4.33	234.84		-21.74	-7.23	322.78
	14	-4.14	-4.44	221.67		-21.98	-7.24	309.61
	15	-4.61	-4.54	208.51		-22.22	-7.24	296.44
	16	-5.08	-4.64	195.34		-22.45	-7.25	283.26
	17	-5.55	-4.73	182.17		-22.67	-7.25	270.09
	18	-6.01	-4.83	169.01		-22.89	-7.25	256.91
	19	-6.47	-4.93	155.84		-23.10	-7.25	243.74
	20	-6.93	-5.02	142.67		-23.31	-7.24	230.56
	21	-7.38	-5.11	129.51		-23.51	-7.24	217.38
	22	-7.83	-5.20	116.34		-23.70	-7.23	204.21
	23	-8.28	-5.29	103.17		-23.88	-7.22	191.03
	24	-8.72	-5.38	90.01		-24.06	-7.20	177.85
	25	-9.16	-5.46	76.84		-24.23	-7.19	164.67
	26	-9.59	-5.55	63.67		-24.40	-7.17	151.49
	27	-10.03	-5.63	50.51		-24.56	-7.15	138.31
	28	-10.45	-5.71	37.34		-24.71	-7.13	125.13
	29	-10.88	-5.79	24.17		-24.85	-7.11	111.95
	30	-11.30	-5.87	11.01		-24.99	-7.08	98.77
	31	-11.71	-5.94	357.84		-25.12	-7.05	85.59
II	1	-12.12	-6.01	344.67		-25.25	-7.02	72.40
	2	-12.53	-6.08	331.51		-25.36	-6.99	59.22
	3	-12.93	-6.15	318.34		-25.47	-6.96	46.03
	4	-13.32	-6.22	305.17		-25.58	-6.92	32.85
	5	-13.72	-6.28	292.01		-25.67	-6.88	19.66
	6	-14.10	-6.35	278.84		-25.76	-6.84	6.47
	7	-14.49	-6.41	265.67		-25.84	-6.80	353.29
	8	-14.86	-6.47	252.51		-25.92	-6.75	340.10
	9	-15.23	-6.52	239.34		-25.99	-6.71	326.91
	10	-15.60	-6.58	226.17		-26.05	-6.66	313.72
	11	-15.96	-6.63	213.01		-26.10	-6.61	300.53
	12	-16.32	-6.68	199.84	IV	-26.15	-6.55	287.33
	13	-16.67	-6.73	186.67		-26.19	-6.50	274.14
	14	-17.01	-6.78	173.50		-26.22	-6.44	260.95
	15	-17.35	-6.82	160.34		-26.25	-6.39	247.75
	16	-17.69	-6.87	147.17		-26.26	-6.33	234.56
II	17	-18.01	-6.91	134.00	IV	-26.27	-6.26	221.36

SŁÓŃCE

Data 2010		0 ^h UT			0 ^h UT					
		P	B ₀	L ₀	P	B ₀	L ₀			
IV	7	-26.28	-6.20	208.16	V	25	-17.96	-1.53	293.83	
	8	-26.27	-6.13	194.97		26	-17.62	-1.41	280.60	
	9	-26.26	-6.07	181.77		27	-17.28	-1.29	267.37	
	10	-26.24	-6.00	168.57		28	-16.93	-1.17	254.14	
	11	-26.22	-5.93	155.37		29	-16.58	-1.05	240.91	
	12	-26.19	-5.85	142.17		30	-16.22	-0.93	227.67	
	13	-26.14	-5.78	128.97		31	-15.85	-0.81	214.44	
	14	-26.10	-5.70	115.77		VI	1	-15.48	-0.69	201.21
	15	-26.04	-5.63	102.57		2	-15.11	-0.57	187.97	
	16	-25.98	-5.55	89.36		3	-14.73	-0.45	174.74	
	17	-25.91	-5.47	76.16		4	-14.35	-0.33	161.50	
V	18	-25.83	-5.39	62.95		5	-13.96	-0.21	148.27	
	19	-25.75	-5.30	49.75		6	-13.57	-0.09	135.04	
	20	-25.66	-5.22	36.54		7	-13.17	0.03	121.80	
	21	-25.56	-5.13	23.33		8	-12.77	0.15	108.57	
	22	-25.45	-5.04	10.12		9	-12.36	0.27	95.33	
	23	-25.34	-4.95	356.91		10	-11.95	0.39	82.10	
	24	-25.21	-4.86	343.70		11	-11.54	0.51	68.86	
	25	-25.09	-4.77	330.49		12	-11.12	0.63	55.62	
	26	-24.95	-4.68	317.28		13	-10.71	0.75	42.39	
	27	-24.81	-4.58	304.07		14	-10.28	0.87	29.15	
	28	-24.66	-4.49	290.85		15	-9.86	0.99	15.92	
	29	-24.50	-4.39	277.64		16	-9.43	1.11	2.68	
	30	-24.33	-4.29	264.42		17	-9.00	1.23	349.44	
VI	1	-24.16	-4.19	251.21		18	-8.56	1.35	336.21	
	2	-23.98	-4.09	237.99		19	-8.13	1.47	322.97	
	3	-23.79	-3.99	224.77		20	-7.69	1.59	309.73	
	4	-23.60	-3.89	211.55		21	-7.25	1.70	296.50	
	5	-23.40	-3.78	198.34		22	-6.80	1.82	283.26	
	6	-23.19	-3.68	185.12		23	-6.36	1.94	270.02	
	7	-22.98	-3.57	171.90		24	-5.91	2.05	256.78	
	8	-22.75	-3.46	158.68		25	-5.46	2.17	243.55	
	9	-22.52	-3.36	145.45		26	-5.02	2.28	230.31	
	10	-22.29	-3.25	132.23		27	-4.57	2.40	217.07	
	11	-22.05	-3.14	119.01		28	-4.11	2.51	203.84	
	12	-21.80	-3.03	105.79		29	-3.66	2.62	190.60	
	13	-21.54	-2.92	92.56		30	-3.21	2.73	177.36	
	14	-21.28	-2.80	79.34	VII	1	-2.76	2.85	164.13	
VII	15	-21.01	-2.69	66.11		2	-2.30	2.96	150.89	
	16	-20.73	-2.58	52.89		3	-1.85	3.07	137.65	
	17	-20.45	-2.46	39.66		4	-1.40	3.17	124.42	
	18	-20.16	-2.35	26.44		5	-0.94	3.28	111.18	
	19	-19.86	-2.23	13.21		6	-0.49	3.39	97.95	
	20	-19.56	-2.12	359.98		7	-0.04	3.50	84.71	
	21	-19.25	-2.00	346.75		8	0.42	3.60	71.48	
VIII	22	-18.94	-1.88	333.52		9	0.87	3.70	58.24	
	23	-18.62	-1.77	320.29		10	1.32	3.81	45.01	
	24	-18.29	-1.65	307.06		11	1.77	3.91	31.77	

SŁÓŃCE

Data 2010		0 ^h UT			0 ^h UT		
		P	B ₀	L ₀			
VII	12	2.22	4.01	18.54	VIII	29	20.23
	13	2.66	4.11	5.31		30	20.50
	14	3.11	4.21	352.07		31	20.76
	15	3.56	4.31	338.84		1	21.02
	16	4.00	4.40	325.61		2	21.27
	17	4.44	4.50	312.38		3	21.52
	18	4.88	4.59	299.15		4	21.76
	19	5.31	4.69	285.91		5	21.99
	20	5.75	4.78	272.68		6	22.22
	21	6.18	4.87	259.45		7	22.44
	22	6.61	4.96	246.22		8	22.66
	23	7.04	5.04	232.99		9	22.87
	24	7.46	5.13	219.76		10	23.08
	25	7.89	5.21	206.53		11	23.28
	26	8.30	5.30	193.30		12	23.47
	27	8.72	5.38	180.07		13	23.66
	28	9.13	5.46	166.84		14	23.84
	29	9.54	5.54	153.62		15	24.02
	30	9.95	5.62	140.39		16	24.19
	31	10.35	5.69	127.16		17	24.35
VIII	1	10.75	5.77	113.94		18	24.51
	2	11.15	5.84	100.71		19	24.66
	3	11.54	5.91	87.49		20	24.80
	4	11.93	5.98	74.26		21	24.94
	5	12.31	6.05	61.04		22	25.07
	6	12.70	6.11	47.81		23	25.20
	7	13.07	6.18	34.59		24	25.31
	8	13.45	6.24	21.37		25	25.43
	9	13.82	6.30	8.15		26	25.53
	10	14.18	6.36	354.93		27	25.63
	11	14.54	6.42	341.71		28	25.72
	12	14.90	6.47	328.49		29	25.80
	13	15.25	6.53	315.27		30	25.88
	14	15.60	6.58	302.05	X	1	25.95
	15	15.94	6.63	288.83		2	26.02
	16	16.28	6.68	275.61		3	26.07
	17	16.61	6.72	262.39		4	26.12
	18	16.94	6.77	249.17		5	26.17
	19	17.27	6.81	235.96		6	26.20
	20	17.58	6.85	222.74		7	26.23
	21	17.90	6.89	209.53		8	26.25
	22	18.21	6.93	196.31		9	26.27
	23	18.51	6.96	183.10		10	26.28
	24	18.81	7.00	169.88		11	26.28
	25	19.11	7.03	156.67		12	26.27
	26	19.40	7.06	143.45		13	26.25
	27	19.68	7.08	130.24		14	26.23
VIII	28	19.96	7.11	117.03	X	15	26.20

SŁÓŃCE

Data 2010	0 ^h UT			Data 2010	0 ^h UT					
	P	B ₀	L ₀		P	B ₀	L ₀			
X	16	26.16	5.81	190.23	XII	3	15.37	0.66	277.37	
	17	26.12	5.74	177.03		4	14.98	0.53	264.19	
	18	26.06	5.66	163.84		5	14.57	0.40	251.01	
	19	26.00	5.58	150.65		6	14.16	0.27	237.83	
	20	25.94	5.50	137.46		7	13.75	0.15	224.66	
	21	25.86	5.42	124.27		8	13.33	0.02	211.48	
	22	25.78	5.33	111.08		9	12.91	-0.11	198.30	
	23	25.69	5.25	97.90		10	12.48	-0.24	185.13	
	24	25.59	5.16	84.71		11	12.04	-0.37	171.95	
	25	25.48	5.07	71.52		12	11.61	-0.49	158.78	
	26	25.37	4.98	58.33		13	11.16	-0.62	145.60	
	27	25.25	4.89	45.14		14	10.72	-0.75	132.42	
	28	25.12	4.79	31.95		15	10.27	-0.88	119.25	
	29	24.98	4.70	18.77		16	9.81	-1.01	106.07	
	30	24.83	4.60	5.58		17	9.36	-1.13	92.90	
	31	24.68	4.50	352.39		18	8.90	-1.26	79.72	
XI	1	24.52	4.40	339.21		19	8.43	-1.39	66.55	
	2	24.35	4.30	326.02		20	7.97	-1.51	53.38	
	3	24.17	4.20	312.83		21	7.50	-1.64	40.20	
	4	23.99	4.09	299.65		22	7.03	-1.76	27.03	
	5	23.79	3.99	286.46		23	6.55	-1.89	13.85	
	6	23.59	3.88	273.28		24	6.08	-2.01	0.68	
	7	23.39	3.78	260.09		25	5.60	-2.13	347.51	
	8	23.17	3.67	246.91		26	5.12	-2.26	334.34	
	9	22.94	3.56	233.72		27	4.64	-2.38	321.16	
	10	22.71	3.45	220.54		28	4.16	-2.50	307.99	
	11	22.47	3.33	207.36		29	3.68	-2.62	294.82	
	12	22.23	3.22	194.17		30	3.19	-2.74	281.65	
	13	21.97	3.11	180.99		XII	31	2.71	-2.86	268.48
	14	21.71	2.99	167.81						
	15	21.44	2.87	154.62						
	16	21.16	2.76	141.44						
	17	20.88	2.64	128.26						
	18	20.59	2.52	115.08						
	19	20.29	2.40	101.89						
	20	19.98	2.28	88.71						
	21	19.67	2.16	75.53						
	22	19.34	2.04	62.35						
	23	19.02	1.91	49.17						
	24	18.68	1.79	35.98						
	25	18.34	1.67	22.80						
	26	17.99	1.54	9.62						
	27	17.64	1.42	356.44						
	28	17.28	1.29	343.26						
	29	16.91	1.16	330.08						
	30	16.53	1.04	316.90						
XII	1	16.15	0.91	303.72						
XII	2	15.77	0.78	290.55						

KSIĘŻYC

Data 2010		0 ^h UT			0 ^h UT			
		L ₀	B ₀	P				
I	1	-1.85	-0.94	4.20	II	-5.69	-6.64	336.98
	2	0.00	0.86	10.06		-6.47	-6.69	337.92
	3	1.83	2.60	15.00		-7.03	-6.41	339.94
	4	3.51	4.14	18.81		-7.34	-5.82	343.13
	5	4.94	5.38	21.43		-7.35	-4.90	347.46
	6	6.04	6.26	22.83		-7.02	-3.70	352.76
	7	6.78	6.75	23.04		-6.31	-2.24	358.69
	8	7.14	6.84	22.06		-5.22	-0.61	4.75
	9	7.15	6.57	19.90		-3.75	1.11	10.42
	10	6.84	5.98	16.66		-1.97	2.78	15.30
	11	6.24	5.10	12.50		0.00	4.28	19.12
	12	5.40	4.01	7.67	III	2.02	5.47	21.73
	13	4.36	2.75	2.52		3.91	6.27	23.03
	14	3.18	1.38	357.38		5.50	6.64	22.97
	15	1.88	-0.04	352.54		6.68	6.57	21.55
	16	0.51	-1.44	348.22		7.36	6.12	18.84
	17	-0.90	-2.78	344.52		7.53	5.34	15.02
	18	-2.30	-4.00	341.51		7.23	4.32	10.37
	19	-3.64	-5.05	339.22		6.52	3.12	5.25
	20	-4.89	-5.89	337.68		5.50	1.80	0.01
	21	-5.98	-6.48	336.96		4.25	0.43	354.98
	22	-6.86	-6.78	337.15		2.86	-0.94	350.38
	23	-7.46	-6.77	338.36		1.43	-2.26	346.34
	24	-7.74	-6.43	340.73		0.02	-3.49	342.95
	25	-7.62	-5.73	344.34		-1.31	-4.57	340.26
	26	-7.09	-4.70	349.15		-2.52	-5.46	338.30
	27	-6.12	-3.34	354.93		-3.57	-6.11	337.14
	28	-4.74	-1.73	1.20		-4.46	-6.49	336.87
	29	-3.01	0.03	7.33		-5.18	-6.56	337.57
	30	-1.04	1.82	12.80		-5.73	-6.32	339.35
	31	1.02	3.49	17.25		-6.09	-5.77	342.28
II	1	3.02	4.90	20.50		-6.27	-4.90	346.33
	2	4.80	5.95	22.47		-6.23	-3.76	351.34
	3	6.22	6.59	23.14		-5.95	-2.39	357.01
	4	7.20	6.80	22.52		-5.40	-0.86	2.90
	5	7.72	6.62	20.65		-4.55	0.76	8.55
	6	7.77	6.08	17.63		-3.39	2.37	13.58
	7	7.40	5.26	13.62		-1.96	3.84	17.72
	8	6.68	4.21	8.90		-0.32	5.08	20.78
	9	5.67	2.98	3.79		1.42	5.98	22.65
	10	4.47	1.65	358.63		3.11	6.47	23.20
	11	3.13	0.25	353.72		4.58	6.53	22.37
	12	1.73	-1.14	349.26	IV	5.72	6.18	20.16
	13	0.31	-2.48	345.39		6.41	5.46	16.69
	14	-1.08	-3.71	342.19		6.64	4.47	12.21
	15	-2.41	-4.79	339.70		6.40	3.27	7.09
	16	-3.63	-5.66	337.95		5.75	1.95	1.74
II	17	-4.74	-6.29	337.02	IV	4.77	0.57	356.53

KSIĘŻYC

Data 2010		0 ^h UT			0 ^h UT				
		L ₀	B ₀	P					
IV	7	3.55	-0.82	351.72	V	25	3.87	6.52	21.98
	8	2.19	-2.14	347.48		26	4.52	5.96	19.48
	9	0.79	-3.37	343.87		27	4.92	5.07	15.76
	10	-0.57	-4.46	340.96		28	5.05	3.92	11.07
	11	-1.82	-5.36	338.77		29	4.87	2.59	5.78
	12	-2.91	-6.03	337.36		30	4.38	1.15	0.32
	13	-3.78	-6.44	336.81		31	3.62	-0.32	355.08
	14	-4.44	-6.54	337.23	VI	1	2.61	-1.74	350.32
	15	-4.88	-6.33	338.74		2	1.43	-3.07	346.20
	16	-5.11	-5.79	341.41		3	0.13	-4.25	342.77
	17	-5.15	-4.93	345.25		4	-1.20	-5.24	340.08
	18	-5.03	-3.80	350.12		5	-2.48	-6.01	338.14
	19	-4.75	-2.44	355.70		6	-3.63	-6.53	337.00
	20	-4.31	-0.92	1.55		7	-4.59	-6.76	336.74
	21	-3.70	0.67	7.23		8	-5.28	-6.69	337.48
	22	-2.91	2.24	12.34		9	-5.66	-6.28	339.34
	23	-1.94	3.70	16.64		10	-5.71	-5.54	342.42
V	24	-0.80	4.93	19.95		11	-5.42	-4.48	346.72
	25	0.46	5.87	22.17		12	-4.81	-3.13	352.06
	26	1.78	6.43	23.19		13	-3.93	-1.57	358.05
	27	3.05	6.58	22.91		14	-2.85	0.12	4.13
	28	4.16	6.32	21.26		15	-1.63	1.82	9.80
	29	5.00	5.69	18.28		16	-0.34	3.40	14.68
	30	5.49	4.73	14.14		17	0.93	4.77	18.55
	1	5.59	3.54	9.16		18	2.13	5.83	21.32
	2	5.30	2.20	3.77		19	3.20	6.52	22.93
	3	4.64	0.79	358.38		20	4.09	6.80	23.31
	4	3.69	-0.64	353.33		21	4.79	6.69	22.43
	5	2.51	-2.00	348.83		22	5.25	6.20	20.28
	6	1.19	-3.27	344.97		23	5.47	5.38	16.93
	7	-0.17	-4.39	341.81		24	5.44	4.28	12.54
	8	-1.48	-5.33	339.37		25	5.16	2.99	7.45
	9	-2.66	-6.04	337.70		26	4.64	1.56	2.05
	10	-3.65	-6.49	336.85		27	3.90	0.09	356.72
	11	-4.39	-6.64	336.93		28	2.95	-1.37	351.79
	12	-4.86	-6.48	338.07		29	1.84	-2.74	347.43
	13	-5.05	-5.98	340.38		30	0.61	-3.98	343.77
	14	-4.97	-5.16	343.92	VII	1	-0.70	-5.04	340.83
	15	-4.66	-4.03	348.60		2	-2.02	-5.88	338.64
	16	-4.15	-2.66	354.13		3	-3.29	-6.47	337.24
	17	-3.48	-1.11	0.08		4	-4.45	-6.79	336.68
	18	-2.70	0.53	5.93		5	-5.42	-6.80	337.05
	19	-1.82	2.14	11.25		6	-6.14	-6.51	338.47
	20	-0.88	3.63	15.76		7	-6.54	-5.89	341.05
V	21	0.11	4.91	19.29		8	-6.58	-4.94	344.83
	22	1.12	5.88	21.76		9	-6.23	-3.70	349.75
	23	2.12	6.49	23.08		10	-5.48	-2.20	355.53
	24	3.05	6.71	23.18		11	-4.37	-0.53	1.69

KSIĘŻYC

Data 2010		0 ^h UT			0 ^h UT			
		L ₀	B ₀	P				
VII	12	-2.96	1.21	7.69	VIII	-4.79	-6.48	337.47
	13	-1.34	2.89	13.03		-5.75	-6.02	339.31
	14	0.38	4.38	17.41		-6.52	-5.28	342.24
	15	2.06	5.58	20.64		-7.06	-4.27	346.24
	16	3.58	6.39	22.64		-7.29	-3.02	351.18
	17	4.86	6.78	23.37		-7.16	-1.57	356.81
	18	5.82	6.75	22.79		-6.61	0.02	2.73
	19	6.43	6.32	20.92		-5.61	1.65	8.48
	20	6.69	5.56	17.82		-4.17	3.22	13.67
	21	6.63	4.52	13.68		-2.35	4.60	17.95
	22	6.27	3.28	8.77		-0.28	5.68	21.11
	23	5.65	1.90	3.46		1.87	6.36	22.97
	24	4.82	0.45	358.13		3.91	6.58	23.41
	25	3.82	-1.00	353.10		5.64	6.35	22.37
	26	2.69	-2.39	348.58		6.94	5.71	19.90
	27	1.46	-3.66	344.71		7.73	4.75	16.15
	28	0.17	-4.76	341.56		8.02	3.55	11.45
	29	-1.15	-5.65	339.15		7.83	2.21	6.17
	30	-2.46	-6.30	337.52		7.24	0.79	0.75
	31	-3.71	-6.67	336.71		6.34	-0.63	355.52
VIII	1	-4.86	-6.77	336.80	X	5.22	-2.00	350.73
	2	-5.85	-6.56	337.87		3.96	-3.25	346.54
	3	-6.62	-6.04	340.02		2.63	-4.36	343.02
	4	-7.10	-5.22	343.31		1.29	-5.28	340.22
	5	-7.23	-4.11	347.72		-0.01	-5.97	338.18
	6	-6.96	-2.75	353.08		-1.25	-6.40	336.94
	7	-6.26	-1.18	359.05		-2.41	-6.55	336.57
	8	-5.12	0.51	5.13		-3.46	-6.41	337.15
	9	-3.58	2.21	10.81		-4.41	-5.97	338.76
	10	-1.73	3.79	15.69		-5.23	-5.26	341.44
	11	0.29	5.11	19.50		-5.90	-4.28	345.17
	12	2.31	6.07	22.07		-6.37	-3.08	349.85
	13	4.16	6.60	23.30		-6.61	-1.69	355.22
	14	5.71	6.69	23.14		-6.55	-0.18	0.94
	15	6.84	6.35	21.60		-6.14	1.38	6.61
	16	7.51	5.64	18.75		-5.33	2.90	11.86
	17	7.73	4.65	14.78		-4.13	4.27	16.38
	18	7.53	3.44	9.98		-2.55	5.40	19.94
	19	6.98	2.09	4.72		-0.69	6.17	22.34
	20	6.16	0.67	359.38		1.29	6.53	23.43
	21	5.13	-0.76	354.27		3.23	6.42	23.05
	22	3.95	-2.13	349.64		4.94	5.88	21.16
	23	2.68	-3.39	345.61		6.27	4.97	17.84
	24	1.37	-4.50	342.27		7.13	3.78	13.35
	25	0.05	-5.41	339.66		7.49	2.41	8.09
	26	-1.25	-6.09	337.82		7.37	0.96	2.53
	27	-2.51	-6.51	336.80		6.84	-0.50	357.09
VIII	28	-3.70	-6.64	336.66	X	5.97	-1.90	352.07

KSIĘŻYC

Data 2010		0 ^h UT			Data 2010		0 ^h UT		
		L ₀	B ₀	P			L ₀	B ₀	P
X	16	4.86	-3.19	347.65	XII	3	3.19	5.72	20.67
	17	3.59	-4.32	343.91		4	4.10	4.66	17.16
	18	2.27	-5.25	340.90		5	4.80	3.34	12.50
	19	0.95	-5.96	338.63		6	5.23	1.85	7.08
	20	-0.31	-6.41	337.16		7	5.34	0.29	1.37
	21	-1.46	-6.58	336.54		8	5.12	-1.25	355.82
	22	-2.49	-6.46	336.86		9	4.60	-2.70	350.77
	23	-3.36	-6.05	338.21		10	3.81	-3.98	346.41
	24	-4.09	-5.34	340.65		11	2.79	-5.06	342.80
	25	-4.66	-4.36	344.18		12	1.61	-5.90	339.98
	26	-5.08	-3.15	348.69		13	0.35	-6.48	337.95
	27	-5.33	-1.76	353.96		14	-0.93	-6.79	336.76
	28	-5.39	-0.25	359.61		15	-2.14	-6.80	336.44
	29	-5.22	1.29	5.26		16	-3.22	-6.52	337.09
	30	-4.80	2.80	10.54		17	-4.11	-5.93	338.78
	31	-4.10	4.16	15.16		18	-4.74	-5.06	341.60
XI	1	-3.10	5.31	18.93		19	-5.09	-3.91	345.55
	2	-1.83	6.13	21.66		20	-5.14	-2.53	350.50
	3	-0.35	6.57	23.21		21	-4.87	-0.98	356.16
	4	1.24	6.58	23.43		22	-4.33	0.66	2.09
	5	2.81	6.16	22.19		23	-3.53	2.29	7.84
	6	4.22	5.34	19.48		24	-2.55	3.80	12.99
	7	5.34	4.19	15.43		25	-1.44	5.08	17.29
	8	6.09	2.82	10.37		26	-0.27	6.05	20.56
	9	6.42	1.32	4.77		27	0.89	6.64	22.68
	10	6.32	-0.21	359.11		28	1.98	6.82	23.58
	11	5.83	-1.68	353.80		29	2.95	6.58	23.16
	12	5.03	-3.04	349.07		30	3.77	5.96	21.39
	13	3.97	-4.24	345.04		XII	31	4.40	4.99
	14	2.76	-5.23	341.75					18.30
	15	1.46	-5.98	339.23					
	16	0.17	-6.49	337.49					
	17	-1.05	-6.71	336.59					
	18	-2.13	-6.64	336.60					
	19	-3.05	-6.27	337.62					
	20	-3.76	-5.60	339.73					
	21	-4.25	-4.64	342.97					
	22	-4.53	-3.43	347.29					
	23	-4.59	-2.02	352.48					
	24	-4.47	-0.47	358.17					
	25	-4.15	1.12	3.95					
	26	-3.66	2.67	9.40					
	27	-3.00	4.09	14.21					
	28	-2.18	5.27	18.16					
	29	-1.22	6.15	21.11					
	30	-0.15	6.65	22.95					
XII	1	0.98	6.75	23.56					
XII	2	2.12	6.43	22.82					

MARS

Data 2010		0 ^h UT			0 ^h UT				
		P	B ₀	L ₀					
I	1	3.00	18.21	293.74	II	18	353.02	12.79	231.95
	2	2.90	18.13	284.79		19	352.85	12.72	223.09
	3	2.80	18.04	275.86		20	352.69	12.66	214.22
	4	2.69	17.95	266.94		21	352.54	12.60	205.34
	5	2.57	17.86	258.03		22	352.39	12.55	196.44
	6	2.44	17.76	249.14		23	352.25	12.50	187.53
	7	2.30	17.67	240.26		24	352.12	12.46	178.61
	8	2.15	17.56	231.39		25	352.00	12.42	169.68
	9	2.00	17.46	222.54		26	351.89	12.39	160.73
	10	1.83	17.35	213.70		27	351.78	12.36	151.77
	11	1.66	17.24	204.86		28	351.68	12.34	142.80
	12	1.48	17.13	196.04	III	1	351.60	12.32	133.82
	13	1.30	17.01	187.23		2	351.51	12.31	124.82
	14	1.10	16.89	178.44		3	351.44	12.31	115.81
	15	0.90	16.77	169.65		4	351.38	12.30	106.79
	16	0.70	16.65	160.87		5	351.32	12.31	97.76
	17	0.48	16.53	152.10		6	351.28	12.32	88.71
	18	0.26	16.40	143.33		7	351.24	12.33	79.65
	19	0.04	16.27	134.58		8	351.20	12.35	70.58
	20	359.81	16.14	125.83		9	351.18	12.37	61.50
	21	359.58	16.01	117.09		10	351.16	12.40	52.40
	22	359.34	15.88	108.35		11	351.16	12.43	43.30
	23	359.09	15.74	99.62		12	351.16	12.47	34.18
	24	358.85	15.61	90.89		13	351.16	12.51	25.05
	25	358.60	15.48	82.17		14	351.18	12.55	15.90
	26	358.35	15.34	73.44		15	351.20	12.60	6.75
	27	358.10	15.21	64.72		16	351.23	12.66	357.59
	28	357.84	15.08	56.01		17	351.27	12.71	348.41
	29	357.59	14.94	47.29		18	351.31	12.78	339.22
	30	357.33	14.81	38.57		19	351.36	12.84	330.02
	31	357.08	14.68	29.85		20	351.42	12.91	320.81
II	1	356.82	14.55	21.13	IV	21	351.49	12.98	311.60
	2	356.57	14.43	12.40		22	351.56	13.06	302.37
	3	356.32	14.30	3.67		23	351.64	13.14	293.13
	4	356.07	14.18	354.94		24	351.72	13.23	283.88
	5	355.82	14.05	346.21		25	351.81	13.31	274.62
	6	355.57	13.94	337.47		26	351.91	13.40	265.35
	7	355.33	13.82	328.72		27	352.01	13.50	256.07
	8	355.10	13.71	319.97		28	352.12	13.59	246.78
	9	354.86	13.60	311.20		29	352.23	13.69	237.48
	10	354.63	13.49	302.44		30	352.36	13.79	228.18
	11	354.41	13.39	293.66		31	352.48	13.90	218.86
	12	354.19	13.29	284.87		1	352.61	14.01	209.54
	13	353.98	13.19	276.08		2	352.75	14.12	200.21
	14	353.78	13.10	267.27		3	352.89	14.23	190.87
	15	353.58	13.02	258.46		4	353.04	14.34	181.52
	16	353.39	12.93	249.63		5	353.19	14.46	172.17
	17	353.20	12.86	240.80		6	353.35	14.58	162.81

MARS

Data 2010		0 ^h UT			Data 2010		0 ^h UT		
		P	B ₀	L ₀			P	B ₀	L ₀
IV	7	353.51	14.70	153.44	VI	V	5.44	21.48	56.63
	8	353.67	14.82	144.06		26	5.74	21.62	47.00
	9	353.85	14.95	134.67		27	6.05	21.75	37.36
	10	354.02	15.07	125.28		28	6.37	21.89	27.72
	11	354.20	15.20	115.88		29	6.68	22.02	18.08
	12	354.39	15.33	106.47		30	7.00	22.15	8.43
	13	354.57	15.46	97.06		31	7.31	22.28	358.78
	14	354.77	15.60	87.64		VI	7.63	22.41	349.13
	15	354.97	15.73	78.21		1	7.95	22.53	339.47
	16	355.17	15.87	68.77		2	8.27	22.66	329.81
	17	355.37	16.01	59.33		3	8.59	22.78	320.15
	18	355.58	16.14	49.88		4	8.91	22.90	310.48
	19	355.80	16.28	40.43		5	9.24	23.02	300.81
	20	356.01	16.42	30.97		6	9.56	23.14	291.14
	21	356.23	16.57	21.50		7	9.89	23.26	281.46
	22	356.46	16.71	12.03		8	10.21	23.37	271.78
	23	356.68	16.85	2.55		9	10.54	23.49	262.09
	24	356.92	17.00	353.07		10	10.87	23.60	252.41
	25	357.15	17.14	343.58		11	11.20	23.71	242.71
	26	357.39	17.29	334.09		12	11.53	23.81	233.02
	27	357.63	17.43	324.59		13	11.86	23.92	223.32
	28	357.87	17.58	315.08		14	12.19	24.02	213.62
	29	358.12	17.73	305.57		15	12.52	24.13	203.92
	30	358.37	17.87	296.05		16	12.86	24.22	194.21
V	1	358.62	18.02	286.53		17	13.19	24.32	184.50
	2	358.88	18.17	277.01		18	13.53	24.42	174.79
	3	359.14	18.31	267.48		19	13.86	24.51	165.08
	4	359.40	18.46	257.94		20	14.19	24.60	155.36
	5	359.66	18.61	248.40		21	14.53	24.69	145.64
	6	359.93	18.76	238.85		22	14.86	24.77	135.91
	7	0.20	18.91	229.30		23	15.20	24.86	126.19
	8	0.47	19.05	219.75		24	15.54	24.94	116.46
	9	0.75	19.20	210.19		25	15.87	25.02	106.73
	10	1.02	19.35	200.62		26	16.21	25.09	96.99
	11	1.30	19.49	191.05		27	16.54	25.17	87.26
	12	1.58	19.64	181.48		28	16.88	25.24	77.52
	13	1.87	19.79	171.90		29	17.21	25.31	67.78
	14	2.15	19.93	162.32		VII	17.55	25.37	58.03
	15	2.44	20.08	152.73		2	17.88	25.44	48.29
	16	2.73	20.22	143.14		3	18.22	25.50	38.54
	17	3.03	20.36	133.54		4	18.55	25.56	28.79
	18	3.32	20.51	123.94		5	18.89	25.61	19.03
	19	3.62	20.65	114.34		6	19.22	25.66	9.28
	20	3.92	20.79	104.73		7	19.55	25.71	359.52
	21	4.22	20.93	95.12		8	19.89	25.76	349.76
	22	4.52	21.07	85.50		9	20.22	25.80	340.00
	23	4.82	21.21	75.88		10	20.55	25.85	330.23
	V	24	5.13	21.35		VII	20.88	25.88	320.46

MARS

Data 2010		0 ^h UT			Data 2010		0 ^h UT			
		P	B ₀	L ₀			P	B ₀	L ₀	
VII	12	21.21	25.92	310.69	VIII	29	34.66	23.77	200.35	
	13	21.54	25.95	300.92		30	34.86	23.64	190.54	
	14	21.87	25.98	291.15		31	35.06	23.51	180.73	
	15	22.19	26.01	281.38		IX	1	35.25	23.37	170.92
	16	22.52	26.03	271.60		2	35.44	23.23	161.11	
	17	22.84	26.05	261.82		3	35.62	23.09	151.30	
	18	23.17	26.07	252.04		4	35.80	22.95	141.49	
	19	23.49	26.08	242.26		5	35.97	22.80	131.68	
	20	23.81	26.09	232.48		6	36.14	22.65	121.87	
	21	24.13	26.10	222.69		7	36.31	22.49	112.06	
	22	24.44	26.10	212.91		8	36.47	22.33	102.26	
	23	24.76	26.10	203.12		9	36.62	22.17	92.45	
	24	25.07	26.10	193.33		10	36.77	22.00	82.64	
	25	25.39	26.10	183.54		11	36.92	21.84	72.84	
	26	25.70	26.09	173.75		12	37.05	21.66	63.03	
	27	26.01	26.08	163.95		13	37.19	21.49	53.23	
	28	26.31	26.06	154.16		14	37.32	21.31	43.42	
	29	26.62	26.04	144.36		15	37.44	21.13	33.62	
	30	26.92	26.02	134.57		16	37.56	20.94	23.81	
	31	27.22	26.00	124.77		17	37.67	20.76	14.01	
VIII	1	27.52	25.97	114.97		18	37.78	20.57	4.21	
	2	27.81	25.93	105.17		19	37.88	20.37	354.41	
	3	28.11	25.90	95.37		20	37.98	20.18	344.61	
	4	28.40	25.86	85.57		21	38.07	19.98	334.81	
	5	28.69	25.82	75.76		22	38.16	19.77	325.01	
	6	28.97	25.77	65.96		23	38.23	19.57	315.21	
	7	29.26	25.72	56.16		24	38.31	19.36	305.41	
	8	29.54	25.67	46.35		25	38.38	19.15	295.61	
	9	29.81	25.62	36.55		26	38.44	18.93	285.82	
	10	30.09	25.56	26.74		27	38.50	18.71	276.02	
	11	30.36	25.49	16.93		28	38.55	18.49	266.22	
	12	30.63	25.43	7.12		29	38.59	18.27	256.43	
	13	30.89	25.36	357.31		30	38.63	18.05	246.64	
	14	31.16	25.28	347.51	X	1	38.66	17.82	236.84	
	15	31.42	25.21	337.70		2	38.69	17.58	227.05	
	16	31.67	25.13	327.89		3	38.71	17.35	217.26	
	17	31.92	25.04	318.08		4	38.73	17.11	207.47	
	18	32.17	24.96	308.27		5	38.73	16.87	197.68	
	19	32.42	24.86	298.46		6	38.74	16.63	187.89	
	20	32.66	24.77	288.65		7	38.73	16.39	178.10	
	21	32.90	24.67	278.83		8	38.72	16.14	168.31	
	22	33.13	24.57	269.02		9	38.71	15.89	158.52	
	23	33.36	24.47	259.21		10	38.68	15.64	148.74	
	24	33.59	24.36	249.40		11	38.66	15.38	138.95	
	25	33.81	24.25	239.59		12	38.62	15.12	129.16	
	26	34.03	24.13	229.78		13	38.58	14.86	119.38	
	27	34.24	24.02	219.97		14	38.53	14.60	109.59	
VIII	28	34.45	23.89	210.16	X	15	38.48	14.34	99.81	

MARS

Data 2010		0 ^h UT			Data 2010		0 ^h UT		
		P	B ₀	L ₀			P	B ₀	L ₀
X	16	38.42	14.07	90.03	XII	3	28.32	-0.70	340.71
	17	38.35	13.80	80.25		4	27.97	-1.03	330.92
	18	38.28	13.53	70.46		5	27.61	-1.36	321.14
	19	38.20	13.26	60.68		6	27.26	-1.70	311.35
	20	38.12	12.98	50.90		7	26.89	-2.03	301.56
	21	38.03	12.70	41.12		8	26.53	-2.36	291.78
	22	37.93	12.42	31.34		9	26.16	-2.69	281.99
	23	37.82	12.14	21.56		10	25.78	-3.02	272.20
	24	37.71	11.86	11.78		11	25.40	-3.35	262.40
	25	37.60	11.57	2.01		12	25.02	-3.69	252.61
	26	37.47	11.28	352.23		13	24.63	-4.02	242.82
	27	37.34	10.99	342.45		14	24.23	-4.35	233.02
	28	37.21	10.70	332.67		15	23.84	-4.68	223.22
	29	37.07	10.41	322.90		16	23.44	-5.01	213.43
	30	36.92	10.11	313.12		17	23.03	-5.34	203.63
	31	36.76	9.82	303.35		18	22.62	-5.67	193.83
XI	1	36.60	9.52	293.57		19	22.21	-6.00	184.02
	2	36.43	9.22	283.79		20	21.80	-6.32	174.22
	3	36.26	8.91	274.02		21	21.38	-6.65	164.41
	4	36.08	8.61	264.24		22	20.95	-6.98	154.61
	5	35.89	8.30	254.47		23	20.53	-7.30	144.80
	6	35.70	8.00	244.69		24	20.10	-7.63	134.99
	7	35.50	7.69	234.92		25	19.67	-7.95	125.18
	8	35.30	7.38	225.14		26	19.23	-8.28	115.36
	9	35.09	7.07	215.37		27	18.79	-8.60	105.55
	10	34.87	6.76	205.60		28	18.35	-8.92	95.73
	11	34.65	6.44	195.82		29	17.90	-9.24	85.91
	12	34.42	6.13	186.05		30	17.45	-9.56	76.09
	13	34.19	5.81	176.27		XII	31	17.00	-9.88
	14	33.95	5.49	166.50					
	15	33.70	5.17	156.72					
	16	33.45	4.85	146.95					
	17	33.19	4.53	137.17					
	18	32.93	4.21	127.40					
	19	32.66	3.89	117.62					
	20	32.38	3.57	107.84					
	21	32.10	3.24	98.07					
	22	31.81	2.92	88.29					
	23	31.52	2.59	78.51					
	24	31.23	2.26	68.74					
	25	30.92	1.94	58.96					
	26	30.62	1.61	49.18					
	27	30.30	1.28	39.40					
	28	29.98	0.95	29.62					
	29	29.66	0.62	19.84					
	30	29.33	0.29	10.06					
XII	1	29.00	-0.04	0.28					
XII	2	28.66	-0.37	350.49					

JOWISZ

Data 2010		0 ^h UT				0 ^h UT					
		P	B ₀	L ₁	L ₂	P	B ₀	L ₁	L ₂		
I	1	337.91	0.49	260.93	88.85	II	23	335.77	0.95	335.86	119.40
	2	337.86	0.49	58.58	238.87		24	335.74	0.96	133.51	269.43
	3	337.82	0.50	216.21	28.87		25	335.71	0.97	291.16	59.45
	4	337.77	0.51	13.85	178.89		26	335.67	0.98	88.82	209.48
	5	337.73	0.52	171.49	328.89		27	335.64	0.99	246.48	359.50
	6	337.68	0.52	329.13	118.91		28	335.61	1.00	44.14	149.53
	7	337.64	0.53	126.76	268.91	III	1	335.58	1.01	201.79	299.56
	8	337.60	0.54	284.41	58.92		2	335.55	1.02	359.45	89.59
II	9	337.55	0.55	82.04	208.93		3	335.52	1.03	157.11	239.62
	10	337.51	0.55	239.68	358.94		4	335.49	1.04	314.78	29.65
	11	337.46	0.56	37.32	148.94		5	335.46	1.05	112.44	179.68
	12	337.42	0.57	194.96	298.95		6	335.44	1.06	270.10	329.72
	13	337.38	0.58	352.59	88.95		7	335.41	1.07	67.77	119.75
	14	337.33	0.58	150.23	238.96		8	335.38	1.08	225.44	269.79
	15	337.29	0.59	307.86	28.97		9	335.35	1.09	23.10	59.83
	16	337.25	0.60	105.50	178.98		10	335.33	1.10	180.77	209.87
	17	337.20	0.61	263.13	328.98		11	335.30	1.11	338.44	359.91
	18	337.16	0.62	60.77	118.99		12	335.28	1.12	136.11	149.95
	19	337.12	0.62	218.40	268.99		13	335.25	1.13	293.78	299.99
	20	337.07	0.63	16.04	59.00		14	335.23	1.14	91.46	90.04
	21	337.03	0.64	173.67	209.00		15	335.20	1.15	249.13	240.08
	22	336.99	0.65	331.31	359.01		16	335.18	1.16	46.81	30.13
	23	336.95	0.66	128.94	149.01		17	335.15	1.17	204.49	180.17
	24	336.90	0.67	286.58	299.02		18	335.13	1.18	2.17	330.22
	25	336.86	0.67	84.22	89.03		19	335.11	1.20	159.84	120.27
	26	336.82	0.68	241.85	239.03		20	335.09	1.21	317.53	270.32
	27	336.78	0.69	39.49	29.04		21	335.06	1.22	115.21	60.38
	28	336.74	0.70	197.13	179.05		22	335.04	1.23	272.90	210.43
	29	336.70	0.71	354.76	329.06		23	335.02	1.24	70.58	0.49
	30	336.66	0.72	152.40	119.06		24	335.00	1.25	228.27	150.55
	31	336.61	0.73	310.04	269.07		25	334.98	1.26	25.96	300.60
	1	336.57	0.74	107.68	59.08		26	334.96	1.27	183.65	90.67
	2	336.53	0.75	265.32	209.09		27	334.94	1.28	341.34	240.73
	3	336.49	0.75	62.96	359.10		28	334.92	1.29	139.04	30.79
	4	336.46	0.76	220.59	149.11		29	334.90	1.30	296.73	180.86
	5	336.42	0.77	18.23	299.11		30	334.89	1.31	94.43	330.92
	6	336.38	0.78	175.87	89.13		31	334.87	1.32	252.13	120.99
	7	336.34	0.79	333.51	239.14	IV	1	334.85	1.33	49.83	271.06
	8	336.30	0.80	131.16	29.15		2	334.84	1.34	207.53	61.13
	9	336.26	0.81	288.80	179.16		3	334.82	1.35	5.23	211.21
	10	336.23	0.82	86.44	329.18		4	334.80	1.37	162.94	1.28
	11	336.19	0.83	244.08	119.19		5	334.79	1.38	320.65	151.36
	12	336.15	0.84	41.73	269.20		6	334.77	1.39	118.36	301.44
	13	336.12	0.85	199.37	59.22		7	334.76	1.40	276.06	91.51
	14	336.08	0.86	357.02	209.23		8	334.74	1.41	73.78	241.60
	15	336.04	0.87	154.66	359.25		9	334.73	1.42	231.49	31.68
	16	336.01	0.88	312.31	149.27		10	334.72	1.43	29.20	181.76
	17	335.97	0.89	109.95	299.28		11	334.70	1.44	186.92	331.85
	18	335.94	0.90	267.60	89.30		12	334.69	1.45	344.64	121.94
	19	335.90	0.91	65.25	239.32		13	334.68	1.46	142.36	272.03
	20	335.87	0.92	222.90	29.34		14	334.67	1.47	300.08	62.12
	21	335.84	0.93	20.55	179.36		15	334.66	1.48	97.81	212.21
	II	22	335.80	0.94	178.21	329.38	IV	16	334.65	1.49	255.53

JOWISZ

Data 2010		0 ^h UT				0 ^h UT					
		P	B ₀	L ₁	L ₂	P	B ₀	L ₁	L ₂		
IV	17	334.64	1.50	53.26	152.41	VI	9	334.51	2.03	135.86	190.58
	18	334.63	1.51	210.99	302.51		10	334.51	2.04	293.70	340.80
	19	334.62	1.52	8.72	92.61		11	334.51	2.05	91.56	131.02
	20	334.61	1.54	166.46	242.71		12	334.51	2.06	249.41	281.25
	21	334.60	1.55	324.19	32.82		13	334.52	2.06	47.27	71.47
	22	334.59	1.56	121.93	182.92		14	334.52	2.07	205.13	221.70
	23	334.58	1.57	279.67	333.03		15	334.52	2.08	2.99	11.93
	24	334.57	1.58	77.41	123.14		16	334.53	2.09	160.85	162.17
	25	334.57	1.59	235.15	273.26		17	334.53	2.10	318.72	312.40
	26	334.56	1.60	32.90	63.37		18	334.53	2.11	116.59	102.64
	27	334.55	1.61	190.64	213.49		19	334.53	2.11	274.46	252.88
	28	334.54	1.62	348.40	3.61		20	334.54	2.12	72.34	43.13
	29	334.54	1.63	146.14	153.73		21	334.54	2.13	230.22	193.37
	30	334.53	1.64	303.90	303.85		22	334.54	2.14	28.10	343.63
V	1	334.53	1.65	101.65	93.97		23	334.55	2.15	185.98	133.88
	2	334.52	1.66	259.41	244.10		24	334.55	2.15	343.87	284.13
	3	334.52	1.67	57.17	34.23		25	334.55	2.16	141.76	74.39
	4	334.51	1.68	214.93	184.36		26	334.55	2.17	299.65	224.65
	5	334.51	1.69	12.70	334.49		27	334.56	2.18	97.54	14.92
	6	334.50	1.70	170.46	124.63		28	334.56	2.19	255.44	165.19
	7	334.50	1.71	328.23	274.76		29	334.56	2.19	53.34	315.45
	8	334.50	1.72	126.00	64.91		30	334.57	2.20	211.24	105.73
	9	334.49	1.73	283.77	215.04	VII	1	334.57	2.21	9.15	256.00
	10	334.49	1.74	81.55	5.19		2	334.57	2.22	167.06	46.28
	11	334.49	1.75	239.32	155.34		3	334.57	2.22	324.97	196.56
	12	334.49	1.76	37.10	305.48		4	334.58	2.23	122.88	346.84
	13	334.48	1.77	194.88	95.63		5	334.58	2.24	280.80	137.13
	14	334.48	1.78	352.67	245.79		6	334.58	2.24	78.72	287.42
	15	334.48	1.79	150.45	35.94		7	334.58	2.25	236.64	77.71
	16	334.48	1.80	308.24	186.10		8	334.58	2.26	34.57	228.01
	17	334.48	1.81	106.03	336.26		9	334.59	2.26	192.50	18.30
	18	334.48	1.82	263.82	126.42		10	334.59	2.27	350.43	168.60
	19	334.48	1.83	61.61	276.58		11	334.59	2.28	148.36	318.91
	20	334.48	1.84	219.41	66.75		12	334.59	2.28	306.30	109.21
	21	334.48	1.85	17.21	216.92		13	334.59	2.29	104.24	259.52
	22	334.48	1.86	175.01	7.09		14	334.59	2.30	262.18	49.84
	23	334.48	1.87	332.81	157.26		15	334.60	2.30	60.13	200.15
	24	334.48	1.88	130.62	307.44		16	334.60	2.31	218.07	350.47
	25	334.48	1.89	288.43	97.62		17	334.60	2.31	16.02	140.79
	26	334.48	1.90	86.24	247.80		18	334.60	2.32	173.98	291.11
	27	334.48	1.91	244.06	37.98		19	334.60	2.32	331.93	81.43
	28	334.48	1.92	41.87	188.17		20	334.60	2.33	129.90	231.76
	29	334.48	1.93	199.69	338.35		21	334.60	2.34	287.86	22.10
	30	334.48	1.94	357.51	128.54		22	334.60	2.34	85.82	172.43
	31	334.49	1.95	155.33	278.74		23	334.60	2.35	243.79	322.76
VI	1	334.49	1.96	313.16	68.93		24	334.60	2.35	41.76	113.11
	2	334.49	1.97	110.99	219.13		25	334.60	2.36	199.73	263.45
	3	334.49	1.97	268.82	9.33		26	334.60	2.36	357.70	53.79
	4	334.49	1.98	66.65	159.53		27	334.60	2.37	155.68	204.14
	5	334.50	1.99	224.49	309.74		28	334.60	2.37	313.66	354.49
	6	334.50	2.00	22.33	99.94		29	334.60	2.37	111.65	144.84
	7	334.50	2.01	180.17	250.15		30	334.60	2.38	269.63	295.20
VI	8	334.50	2.02	338.01	40.37	VII	31	334.60	2.38	67.62	85.55

JOWISZ

Data 2010	0 ^h UT				Data 2010	0 ^h UT						
	P	B ₀	L ₁	L ₂		P	B ₀	L ₁	L ₂			
VIII	1	334.60	2.39	225.61	235.91	IX	23	334.47	2.36	321.20	287.10	
	2	334.59	2.39	23.60	26.27		24	334.47	2.36	119.23	77.50	
	3	334.59	2.39	181.60	176.64		25	334.47	2.35	277.26	227.90	
	4	334.59	2.40	339.60	327.01		26	334.47	2.35	75.28	18.29	
	5	334.59	2.40	137.60	117.38		27	334.47	2.35	233.31	168.69	
	6	334.59	2.40	295.60	267.75		28	334.47	2.34	31.33	319.07	
	7	334.59	2.41	93.60	58.12		29	334.47	2.33	189.35	109.47	
	8	334.58	2.41	251.61	208.50		30	334.47	2.33	347.37	259.85	
	9	334.58	2.41	49.62	358.88	X	1	334.47	2.32	145.38	50.24	
	10	334.58	2.42	207.63	149.26		2	334.47	2.32	303.39	200.62	
	11	334.58	2.42	5.64	299.64		3	334.47	2.31	101.40	351.00	
	12	334.58	2.42	163.66	90.03		4	334.47	2.31	259.41	141.38	
	13	334.57	2.42	321.68	240.42		5	334.47	2.30	57.41	291.75	
	14	334.57	2.42	119.70	30.80		6	334.47	2.30	215.42	82.12	
	15	334.57	2.43	277.72	181.19		7	334.47	2.29	13.42	232.49	
	16	334.56	2.43	75.74	331.59		8	334.47	2.28	171.41	22.86	
	17	334.56	2.43	233.77	121.98		9	334.47	2.28	329.40	173.22	
	18	334.56	2.43	31.79	272.38		10	334.48	2.27	127.39	323.58	
	19	334.56	2.43	189.82	62.78		11	334.48	2.27	285.38	113.94	
	20	334.55	2.43	347.85	213.18		12	334.48	2.26	83.36	264.29	
	21	334.55	2.43	145.88	3.58		13	334.48	2.25	241.34	54.64	
	22	334.55	2.43	303.92	153.98		14	334.48	2.25	39.31	204.98	
	23	334.54	2.43	101.95	304.38		15	334.48	2.24	197.29	355.33	
	24	334.54	2.43	259.99	94.79		16	334.48	2.23	355.26	145.67	
	25	334.54	2.43	58.02	245.19		17	334.48	2.23	153.22	296.00	
	26	334.54	2.43	216.06	35.60		18	334.49	2.22	311.18	86.33	
	27	334.53	2.43	14.10	186.01		19	334.49	2.22	109.14	236.66	
	28	334.53	2.43	172.14	336.42		20	334.49	2.21	267.09	26.99	
	29	334.53	2.43	330.18	126.83		21	334.49	2.20	65.04	177.30	
	30	334.52	2.43	128.22	277.24		22	334.49	2.20	222.99	327.62	
	31	334.52	2.43	286.26	67.65		23	334.49	2.19	20.93	117.93	
IX	1	334.52	2.43	84.31	218.07		24	334.50	2.18	178.87	268.24	
	2	334.51	2.43	242.35	8.48		25	334.50	2.18	336.80	58.55	
	3	334.51	2.43	40.39	158.89		26	334.50	2.17	134.74	208.85	
	4	334.51	2.43	198.44	309.30		27	334.50	2.17	292.66	359.14	
	5	334.51	2.42	356.48	99.72		28	334.50	2.16	90.58	149.44	
	6	334.50	2.42	154.52	250.13		29	334.50	2.15	248.50	299.73	
	7	334.50	2.42	312.57	40.55		30	334.51	2.15	46.41	90.01	
	8	334.50	2.42	110.61	190.96		31	334.51	2.14	204.32	240.28	
	9	334.50	2.42	268.66	341.38	XI	1	334.51	2.14	2.23	30.57	
	10	334.49	2.41	66.70	131.79		2	334.51	2.13	160.13	180.83	
	11	334.49	2.41	224.75	282.21		3	334.51	2.12	318.02	331.10	
	12	334.49	2.41	22.79	72.61		4	334.51	2.12	115.92	121.37	
	13	334.49	2.40	180.83	223.03		5	334.51	2.11	273.81	271.63	
	14	334.48	2.40	338.87	13.44		6	334.52	2.11	71.69	61.88	
	15	334.48	2.40	136.92	163.85		7	334.52	2.10	229.57	212.13	
	16	334.48	2.39	294.95	314.26		8	334.52	2.10	27.44	2.38	
	17	334.48	2.39	93.00	104.67		9	334.52	2.09	185.32	152.62	
	18	334.48	2.39	251.03	255.08		10	334.52	2.08	343.18	302.85	
	19	334.48	2.38	49.07	45.48		11	334.52	2.08	141.05	93.09	
	20	334.48	2.38	207.10	195.89		12	334.52	2.07	298.90	243.32	
	21	334.47	2.37	5.14	346.30		13	334.52	2.07	96.76	33.54	
IX	22	334.47	2.37	163.17	136.70		XI	14	334.52	2.06	254.61	183.76

JOWISZ

Data 2010		0 ^h UT			
		P	B ₀	L ₁	L ₂
XI	15	334.52	2.06	52.45	333.98
	16	334.52	2.06	210.29	124.19
	17	334.52	2.05	8.14	274.40
	18	334.52	2.05	165.96	64.60
	19	334.52	2.04	323.80	214.80
	20	334.52	2.04	121.62	5.00
	21	334.52	2.03	279.45	155.19
	22	334.52	2.03	77.26	305.37
	23	334.52	2.03	235.07	95.56
	24	334.52	2.02	32.88	245.74
	25	334.52	2.02	190.69	35.92
	26	334.52	2.01	348.49	186.09
	27	334.52	2.01	146.29	336.26
	28	334.52	2.01	304.08	126.42
	29	334.52	2.00	101.87	276.58
	30	334.52	2.00	259.65	66.74
XII	1	334.52	2.00	57.44	216.89
	2	334.52	2.00	215.21	7.04
	3	334.52	1.99	12.99	157.19
	4	334.52	1.99	170.76	307.33
	5	334.51	1.99	328.53	97.47
	6	334.51	1.99	126.29	247.60
	7	334.51	1.98	284.05	37.73
	8	334.51	1.98	81.81	187.86
	9	334.51	1.98	239.56	337.98
	10	334.51	1.98	37.31	128.11
	11	334.51	1.98	195.06	278.22
	12	334.51	1.98	352.80	68.33
	13	334.50	1.97	150.55	218.45
	14	334.50	1.97	308.28	8.55
	15	334.50	1.97	106.01	158.66
	16	334.50	1.97	263.75	308.76
	17	334.50	1.97	61.48	98.86
	18	334.50	1.97	219.20	248.96
	19	334.49	1.97	16.92	39.05
	20	334.49	1.97	174.64	189.14
	21	334.49	1.97	332.36	339.23
	22	334.49	1.97	130.07	129.31
	23	334.49	1.97	287.78	279.40
	24	334.49	1.97	85.49	69.47
	25	334.49	1.97	243.20	219.55
	26	334.48	1.97	40.90	9.62
	27	334.48	1.97	198.60	159.69
	28	334.48	1.97	356.30	309.76
	29	334.48	1.97	153.99	99.83
	30	334.48	1.97	311.69	249.90
XII	31	334.48	1.97	109.38	39.95

Efemerydy planet karłowatych

Zgodnie z uchwałą Zgromadzenia Ogólnego Miedzynarodowej Unii Astronomicznej (IAU) podjętą w Pradze 24 sierpnia 2006 r., spośród ciał Układu Słonecznego wydzielono grupę ciał pośrednich między planetami i planetoidami, nazywając je „planetami karłowatymi”. Zgodnie z definicją, planety karłowe są to ciała krążące wokół Słońca, o masie wystarczająco dużej, aby własną grawitacją wytworzyć kształt zbliżony do kulistego, za małej jednak, aby „oczyścić” okolice swojej orbity z ciał mniejszych. W chwili pisania tego tekstu (24 października 2008) do planet karłowatych zalicza się następujące ciała: (1) Ceres (największy obiekt pasa planetoid), (134340) Pluton, tworzący z Charonem planetę karłowatą podwójną (jeden z największych obiektów Pasa Kuipera), (136199) Eris (największy znany obiekt Pasa Kuipera), (136108) Haumea oraz (136472) Makemake.

Do dostrzeżenia Ceres wystarczająca jest lornetka, Plutona pozwoli zobaczyć teleskop o średnicy zwierciadła 25 cm, natomiast Eris, Haumea i Makemake można zarejestrować przy pomocy takiego samego teleskopu wyposażonego w kamerę CCD.

W poniżej zamieszczonych efemerydach planet karłowatych podano, podobnie jak dla planet, następujące dane (co 8 dni):

- datę kalendarzową,
- godziny wschodu, kulminacji i zachodu oraz azymuty punktów wschodu i zachodu planety karłowej dla punktu o współrzędnych geograficznych ϕ i λ (uwagi jak dla efemeryd Słońca),
 α, δ – współrzędne równikowe planet karlowatych α i δ [na epokę daty 2000.0],
D – średnicę kątową planety karłowej wyrazoną w sekundach kątowych (jedynie dla Plutona),
V – jasność planety karłowej podaną w wielkościach gwiazdowych,
 Δl – odległość kątową (w stopniach na sferze niebieskiej) planety karłowej od Słońca - wartość ujemna oznacza elongację zachodnią (planeta karłowa widoczna na niebie porannym), wartość dodatnia oznacza elongację wschodnią (planeta karłowa widoczna na niebie wieczornym) - umożliwia szybkie określenie warunków widzialności planety karłowej.

Dodatekno także mapki przedstawiające ruch roczny Ceres⁴, Plutona, Haumei, Makemake i Eris na tle gwiazd w 2010 r. Zaznaczone są na nich gwiazdy do 11.0^m (Ceres), 15^m (Pluton) i 16^m (Haumea, Makemake i Eris). Siatka współrzędnych równikowych podana jest dla epoki 2000.0.

⁴ Szczegółową mapę trasy Ceres w okresie jej najlepszej widzialności można znaleźć w dziale „Planetoidy” na str. 93

CERES

M d 2010	Wsch.	Kulm.	Zach.	A	α	δ	V	ΔI
	$\lambda=0^\circ$		$\varphi=50^\circ$		0 ^h UT			
	h m	h m	h m	\pm °	h m	° '	m	°
I 0	4 54	9 32	14 10	64	16 11.2	- 17 01	8.9	-36
	8	4 40	9 14	13 47	62	16 24.3	- 17 43	9.0
	16	4 24	8 55	13 25	61	16 37.1	- 18 20	9.0
	24	4 08	8 36	13 03	60	16 49.5	- 18 53	9.0
II 1	3 52	8 16	12 41	60	17 01.6	- 19 21	9.0	-56
	9	3 34	7 56	12 19	59	17 13.2	- 19 46	9.0
	17	3 16	7 36	11 56	58	17 24.3	- 20 07	8.9
	25	2 57	7 15	11 33	58	17 34.6	- 20 26	8.9
III 5	2 36	6 53	11 09	57	17 44.2	- 20 42	8.8	-78
	13	2 15	6 30	10 45	57	17 53.0	- 20 57	8.8
	21	1 53	6 06	10 20	57	18 00.7	- 21 11	8.7
	29	1 29	5 41	9 53	56	18 07.2	- 21 25	8.6
IV 6	1 04	5 15	9 26	56	18 12.5	- 21 40	8.5	-103
	14	0 39	4 47	8 56	55	18 16.4	- 21 57	8.4
	22	0 11	4 18	8 25	55	18 18.8	- 22 15	8.3
	30	23 39	3 47	7 52	54	18 19.4	- 22 36	8.1
V 8	23 09	3 15	7 17	53	18 18.4	- 23 00	8.0	-133
	16	22 37	2 41	6 40	53	18 15.6	- 23 27	7.8
	24	22 04	2 05	6 01	52	18 11.1	- 23 55	7.7
	1	21 30	1 27	5 20	51	18 05.2	- 24 25	7.5
VI 9	20 55	0 49	4 38	50	17 58.2	- 24 54	7.3	-168
	17	20 19	0 10	3 56	49	17 50.5	- 25 21	7.1
	25	19 42	23 26	3 14	48	17 42.6	- 25 46	7.2
	3	19 06	22 47	2 33	48	17 35.2	- 26 07	7.4
VII 11	18 30	22 09	1 53	47	17 28.6	- 26 25	7.6	163
	19	17 56	21 33	1 14	47	17 23.4	- 26 41	7.8
	27	17 22	20 58	0 37	46	17 19.7	- 26 54	8.0
	4	16 51	20 25	0 03	46	17 17.8	- 27 07	8.2
VIII 12	16 21	19 53	23 25	45	17 17.5	- 27 18	8.3	121
	20	15 52	19 23	22 54	45	17 19.0	- 27 30	8.5
	28	15 25	18 55	22 25	45	17 22.1	- 27 41	8.6
	5	14 60	18 28	21 56	44	17 26.6	- 27 51	8.7
IX 13	14 35	18 03	21 30	44	17 32.5	- 28 01	8.8	94
	21	14 12	17 38	21 04	44	17 39.6	- 28 10	8.9
	29	13 50	17 15	20 40	43	17 47.8	- 28 18	9.0
	7	13 28	16 53	20 17	43	17 56.9	- 28 23	9.1
X 15	13 07	16 31	19 55	43	18 06.8	- 28 27	9.1	76
	23	12 47	16 11	19 35	43	18 17.5	- 28 27	9.2
	31	12 26	15 50	19 15	43	18 28.9	- 28 25	9.2
	8	12 06	15 31	18 56	43	18 40.7	- 28 19	9.2
XI 16	11 45	15 12	18 38	44	18 53.1	- 28 10	9.2	49
	24	11 25	14 53	18 21	44	19 05.8	- 27 57	9.3
	2	11 04	14 34	18 05	45	19 18.8	- 27 39	9.2
	10	10 43	14 16	17 49	45	19 32.0	- 27 18	9.2
XII 18	10 22	13 58	17 34	46	19 45.4	- 26 53	9.2	33
	26	10 00	13 40	17 20	47	19 58.9	- 26 24	9.2
2011 3	9 38	13 22	17 06	48	20 12.4	- 25 50	9.1	23

PLUTON

M d 2010	Wsch.	Kulm.	Zach.	A	α	δ	D	V	ΔI	0 ^h UT				
										$\lambda=0^\circ$	$\phi=50^\circ$			
		h m	h m	h m	\pm °	h m	° '	"	m				°	
I	0	7 03	11 33	16 04	62	18 13.2	- 18 18	0.1	14.3	-8				
	8	6 32	11 03	15 33	62	18 14.4	- 18 18	0.1	14.3	-15				
	16	6 02	10 33	15 03	62	18 15.5	- 18 18	0.1	14.3	-23				
	24	5 32	10 02	14 33	62	18 16.6	- 18 18	0.1	14.3	-30				
II	1	5 01	9 32	14 02	62	18 17.7	- 18 18	0.1	14.3	-38				
	9	4 31	9 01	13 32	62	18 18.7	- 18 17	0.1	14.3	-46				
	17	4 00	8 31	13 01	62	18 19.5	- 18 16	0.1	14.3	-54				
	25	3 29	8 00	12 31	62	18 20.3	- 18 16	0.1	14.2	-61				
III	5	2 58	7 29	11 60	62	18 20.9	- 18 15	0.1	14.2	-69				
	13	2 27	6 58	11 29	62	18 21.4	- 18 14	0.1	14.2	-77				
	21	1 56	6 27	10 58	62	18 21.8	- 18 14	0.1	14.2	-85				
	29	1 25	5 56	10 27	62	18 22.0	- 18 13	0.1	14.2	-93				
IV	6	0 54	5 25	9 55	62	18 22.1	- 18 12	0.1	14.2	-101				
	14	0 22	4 53	9 24	62	18 22.1	- 18 12	0.1	14.2	-109				
	22	23 46	4 21	8 52	62	18 21.9	- 18 12	0.1	14.2	-116				
	30	23 15	3 50	8 21	62	18 21.5	- 18 12	0.1	14.2	-124				
V	8	22 43	3 18	7 49	62	18 21.1	- 18 12	0.1	14.2	-132				
	16	22 11	2 46	7 17	62	18 20.5	- 18 12	0.1	14.2	-140				
	24	21 39	2 14	6 45	62	18 19.9	- 18 12	0.1	14.2	-148				
	VI	1	21 06	1 41	6 12	62	18 19.2	- 18 13	0.1	14.2	-155			
VI	9	20 34	1 09	5 40	62	18 18.4	- 18 13	0.1	14.2	-163				
	17	20 02	0 37	5 08	62	18 17.5	- 18 14	0.1	14.2	-170				
	25	19 30	0 05	4 35	62	18 16.7	- 18 15	0.1	14.2	-175				
	VII	3	18 58	23 28	4 03	62	18 15.8	- 18 17	0.1	14.2	171			
VII	11	18 26	22 56	3 30	62	18 15.0	- 18 18	0.1	14.2	164				
	19	17 53	22 24	2 58	61	18 14.2	- 18 19	0.1	14.2	157				
	27	17 21	21 52	2 26	61	18 13.4	- 18 21	0.1	14.2	149				
	VIII	4	16 49	21 19	1 53	61	18 12.8	- 18 23	0.1	14.2	141			
VIII	12	16 18	20 47	1 21	61	18 12.2	- 18 25	0.1	14.2	134				
	20	15 46	20 15	0 49	61	18 11.7	- 18 27	0.1	14.2	126				
	28	15 14	19 44	0 17	61	18 11.4	- 18 29	0.1	14.2	118				
	IX	5	14 43	19 12	23 41	61	18 11.2	- 18 31	0.1	14.2	110			
IX	13	14 11	18 40	23 10	61	18 11.1	- 18 33	0.1	14.2	103				
	21	13 40	18 09	22 38	61	18 11.1	- 18 35	0.1	14.2	95				
	29	13 09	17 38	22 06	61	18 11.3	- 18 37	0.1	14.2	87				
	X	7	12 38	17 07	21 35	61	18 11.7	- 18 39	0.1	14.2	79			
X	15	12 07	16 36	21 04	61	18 12.1	- 18 41	0.1	14.3	72				
	23	11 37	16 05	20 33	61	18 12.7	- 18 42	0.1	14.3	64				
	31	11 06	15 34	20 02	61	18 13.5	- 18 44	0.1	14.3	56				
	XI	8	10 36	15 04	19 31	61	18 14.3	- 18 45	0.1	14.3	48			
XI	16	10 05	14 33	19 01	61	18 15.2	- 18 47	0.1	14.3	41				
	24	9 35	14 03	18 30	61	18 16.3	- 18 48	0.1	14.3	33				
	XII	2	9 05	13 32	17 60	61	18 17.4	- 18 48	0.1	14.3	25			
	10	8 34	13 02	17 29	61	18 18.5	- 18 49	0.1	14.3	17				
2011 I	18	8 04	12 32	16 59	61	18 19.7	- 18 50	0.1	14.3	10				
	26	7 34	12 01	16 29	61	18 20.9	- 18 50	0.1	14.3	5				
	3	7 04	11 31	15 59	61	18 22.1	- 18 50	0.1	14.3	-8				

HAUMEA

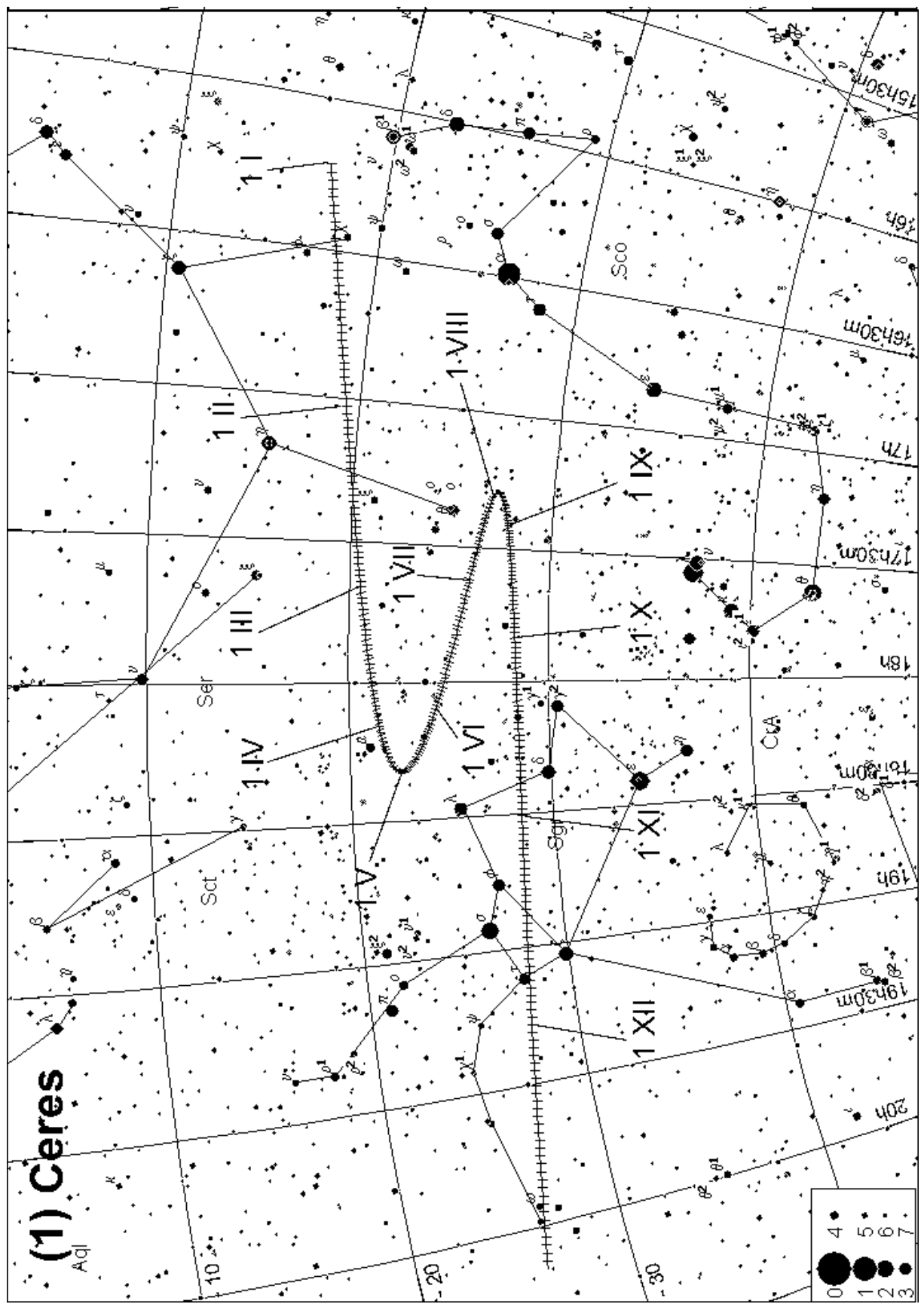
M d 2010	Wsch.	Kulm.	Zach.	A	α	δ	D	V	ΔI
	$\lambda=0^\circ$		$\phi=50^\circ$		0 ^h UT				
I 0	h m	h m	h m	$\pm ^\circ$	h m	° '	"	m	°
8	23 27	7 07	14 43	120	13 46.4	18 19	0.0	17.4	-83
16	22 56	6 36	14 12	120	13 46.6	18 23	0.0	17.4	-90
24	22 24	6 04	13 41	120	13 46.8	18 27	0.0	17.4	-97
24	21 52	5 33	13 10	120	13 46.8	18 31	0.0	17.4	-105
II 1	21 20	5 02	12 39	121	13 46.8	18 36	0.0	17.4	-112
9	20 48	4 30	12 08	121	13 46.7	18 41	0.0	17.4	-119
17	20 16	3 58	11 37	121	13 46.5	18 46	0.0	17.4	-125
25	19 44	3 27	11 06	121	13 46.3	18 51	0.0	17.4	-132
III 5	19 12	2 55	10 34	121	13 46.0	18 56	0.0	17.4	-138
13	18 39	2 23	10 03	121	13 45.6	19 01	0.0	17.4	-144
21	18 07	1 51	9 32	121	13 45.1	19 06	0.0	17.4	-148
29	17 34	1 19	9 00	122	13 44.6	19 10	0.0	17.3	-151
IV 6	17 02	0 47	8 28	122	13 44.1	19 14	0.0	17.3	-152
14	16 30	0 15	7 57	122	13 43.6	19 17	0.0	17.3	151
22	15 58	23 39	7 25	122	13 43.1	19 20	0.0	17.4	148
30	15 25	23 07	6 53	122	13 42.5	19 22	0.0	17.4	144
V 8	14 53	22 35	6 21	122	13 42.0	19 23	0.0	17.4	139
16	14 21	22 03	5 50	122	13 41.5	19 24	0.0	17.4	133
24	13 49	21 32	5 18	122	13 41.1	19 24	0.0	17.4	127
VI 1	13 18	20 60	4 46	122	13 40.7	19 23	0.0	17.4	121
9	12 46	20 28	4 14	122	13 40.3	19 21	0.0	17.4	114
17	12 15	19 56	3 42	122	13 40.1	19 19	0.0	17.4	108
25	11 43	19 25	3 10	122	13 39.9	19 16	0.0	17.4	101
VII 3	11 12	18 53	2 38	122	13 39.7	19 12	0.0	17.4	94
11	10 41	18 21	2 06	121	13 39.7	19 08	0.0	17.4	87
19	10 10	17 50	1 34	121	13 39.7	19 03	0.0	17.4	81
27	9 39	17 19	1 02	121	13 39.8	18 58	0.0	17.5	74
VIII 4	9 08	16 47	0 30	121	13 40.0	18 53	0.0	17.5	67
12	8 38	16 16	23 55	121	13 40.3	18 48	0.0	17.4	61
20	8 07	15 45	23 23	121	13 40.7	18 42	0.0	17.4	54
28	7 37	15 14	22 52	121	13 41.1	18 37	0.0	17.4	48
IX 5	7 06	14 43	22 20	120	13 41.5	18 31	0.0	17.4	42
13	6 36	14 12	21 49	120	13 42.1	18 26	0.0	17.4	37
21	6 05	13 41	21 17	120	13 42.6	18 21	0.0	17.4	32
29	5 35	13 11	20 46	120	13 43.3	18 16	0.0	17.4	29
X 7	5 05	12 40	20 15	120	13 43.9	18 12	0.0	17.4	27
15	4 34	12 09	19 44	120	13 44.6	18 08	0.0	17.4	-27
23	4 04	11 38	19 13	120	13 45.3	18 04	0.0	17.4	-29
31	3 33	11 07	18 41	120	13 45.9	18 02	0.0	17.4	-33
XI 8	3 03	10 37	18 10	119	13 46.6	17 60	0.0	17.4	-38
16	2 32	10 06	17 40	119	13 47.2	17 58	0.0	17.4	-44
24	2 01	9 35	17 09	119	13 47.8	17 58	0.0	17.4	-50
XII 2	1 30	9 04	16 38	119	13 48.4	17 58	0.0	17.4	-56
10	0 59	8 33	16 07	119	13 48.9	17 58	0.0	17.4	-63
18	0 28	8 02	15 36	120	13 49.4	17 60	0.0	17.4	-70
26	23 53	7 31	15 05	120	13 49.7	18 02	0.0	17.4	-77
2011 I 3	23 21	6 60	14 34	120	13 50.0	18 05	0.0	17.4	-85

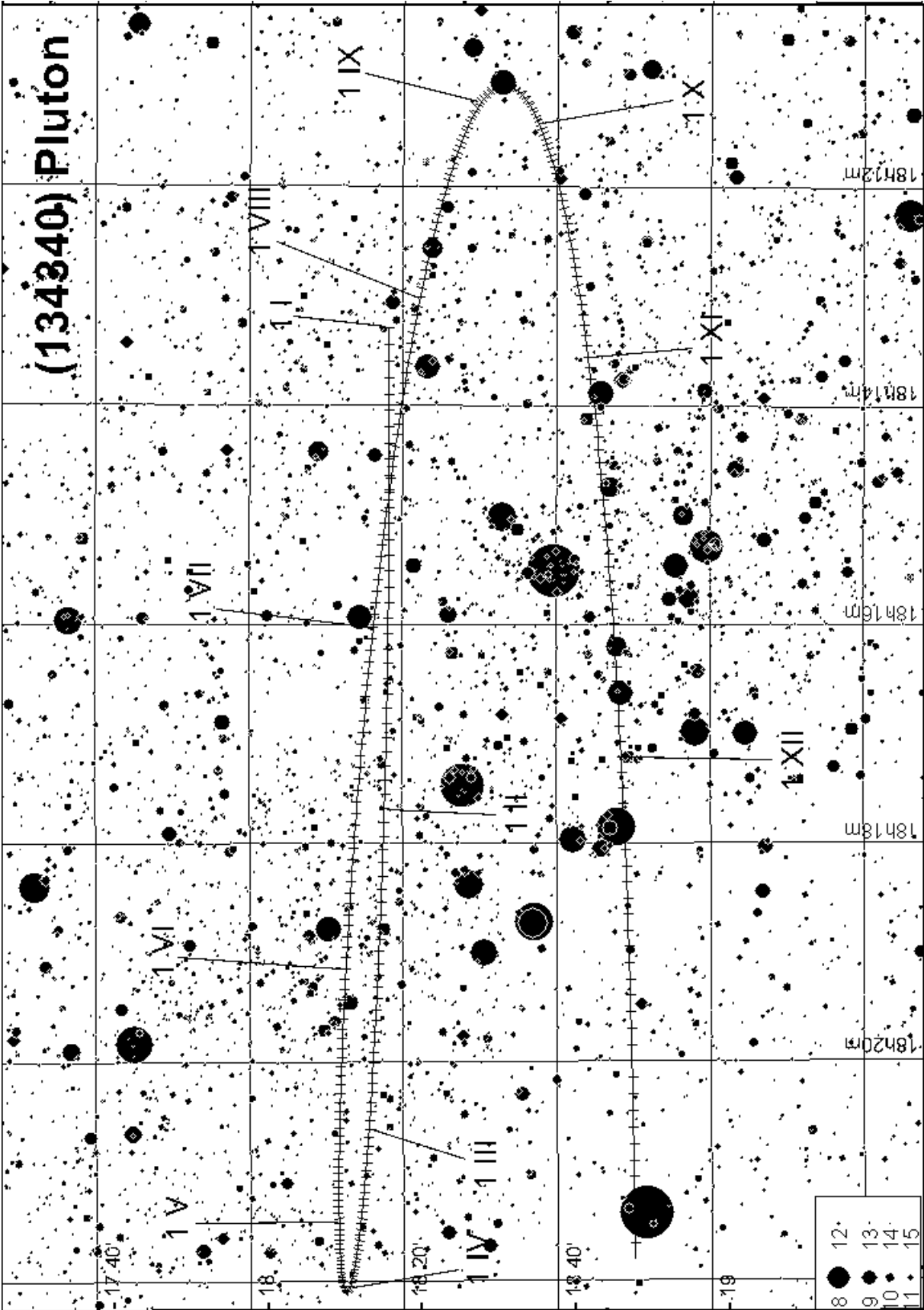
MAKEMAKE

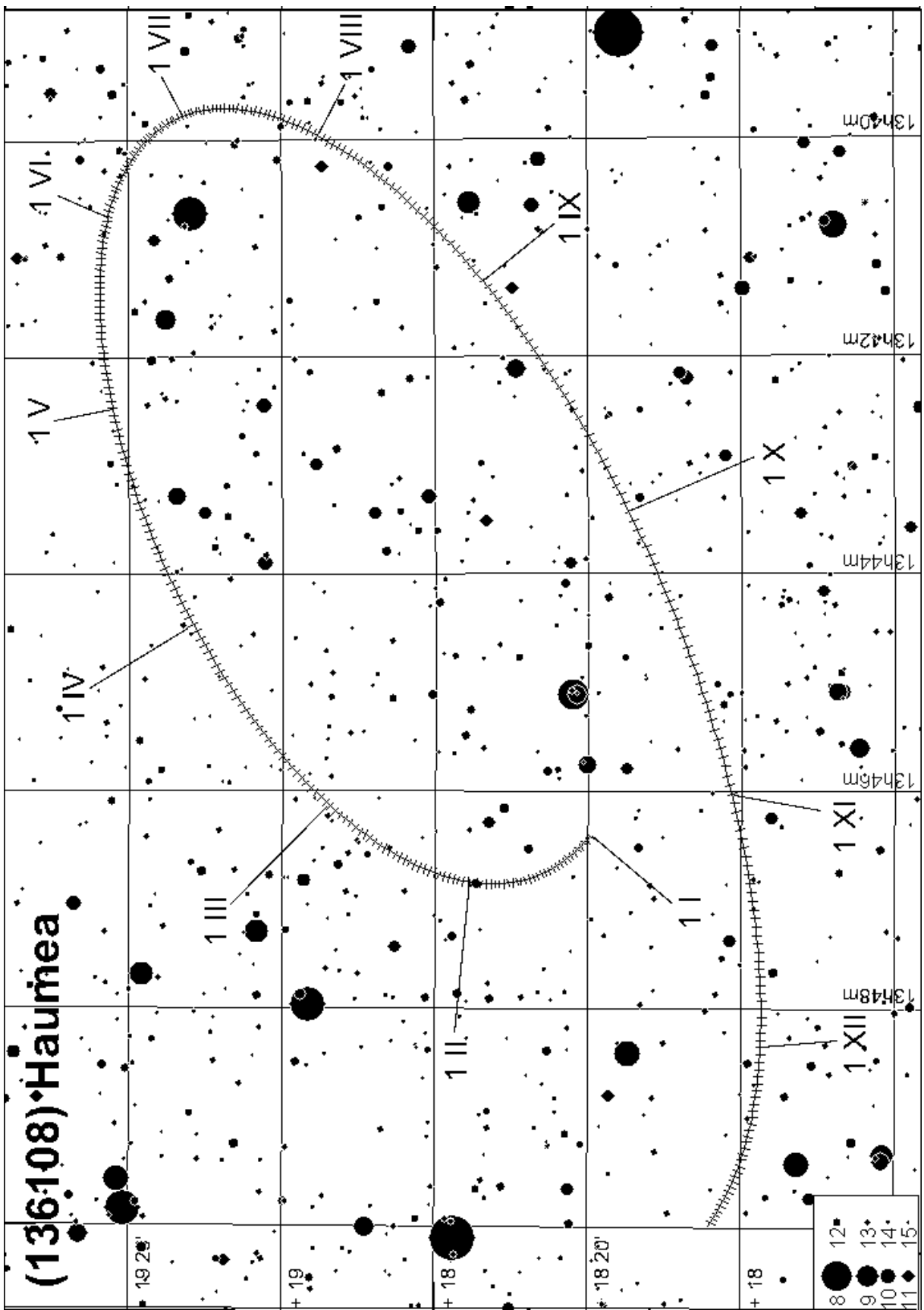
M d 2010	Wsch.	Kulm.	Zach.	A	α	δ	D	V	ΔI
	$\lambda=0^\circ$		$\phi=50^\circ$		0 ^h UT				
	h m	h m	h m	\pm°	h m	° ' "	m	°	
I 0	21 16	5 59	14 38	137	12 37.9	27 43	0.0	17.0	-101
	20 44	5 27	14 07	137	12 38.0	27 47	0.0	17.0	-108
	20 12	4 56	13 36	138	12 37.9	27 52	0.0	17.0	-115
	19 40	4 24	13 05	138	12 37.8	27 57	0.0	17.0	-122
II 1	19 07	3 53	12 34	138	12 37.6	28 02	0.0	17.0	-129
	18 35	3 21	12 03	138	12 37.3	28 07	0.0	17.0	-135
	18 02	2 49	11 32	138	12 36.9	28 13	0.0	17.0	-140
	17 30	2 17	11 01	139	12 36.5	28 18	0.0	17.0	-145
III 5	16 57	1 45	10 29	139	12 36.0	28 22	0.0	16.9	-149
	16 25	1 13	9 58	139	12 35.5	28 26	0.0	16.9	-150
	15 52	0 41	9 26	139	12 34.9	28 30	0.0	16.9	150
	15 20	0 09	8 55	139	12 34.4	28 33	0.0	16.9	148
IV 6	14 47	23 33	8 23	139	12 33.8	28 35	0.0	17.0	145
	14 15	23 01	7 51	139	12 33.3	28 37	0.0	17.0	140
	13 43	22 29	7 19	139	12 32.7	28 38	0.0	17.0	134
	13 11	21 57	6 47	139	12 32.2	28 38	0.0	17.0	129
V 8	12 39	21 25	6 15	139	12 31.8	28 37	0.0	17.0	122
	12 08	20 54	5 43	139	12 31.4	28 35	0.0	17.0	116
	11 36	20 22	5 11	139	12 31.1	28 33	0.0	17.0	109
	11 05	19 50	4 39	139	12 30.8	28 30	0.0	17.0	103
VI 9	10 34	19 18	4 07	139	12 30.6	28 27	0.0	17.0	96
	10 03	18 47	3 35	139	12 30.5	28 22	0.0	17.0	89
	9 32	18 15	3 03	139	12 30.5	28 18	0.0	17.0	83
	9 01	17 44	2 31	138	12 30.5	28 13	0.0	17.0	76
VII 11	8 31	17 13	1 59	138	12 30.7	28 07	0.0	17.0	69
	8 00	16 41	1 27	138	12 30.9	28 01	0.0	17.0	63
	7 30	16 10	0 55	138	12 31.2	27 55	0.0	17.0	57
	6 60	15 39	0 23	138	12 31.6	27 49	0.0	17.0	51
VIII 12	6 29	15 08	23 47	137	12 32.0	27 43	0.0	17.0	45
	5 59	14 37	23 15	137	12 32.5	27 38	0.0	17.0	40
	5 29	14 06	22 44	137	12 33.1	27 32	0.0	17.0	35
	4 59	13 36	22 12	137	12 33.7	27 26	0.0	17.0	31
IX 13	4 29	13 05	21 41	137	12 34.3	27 21	0.0	17.0	29
	3 59	12 34	21 09	136	12 35.0	27 17	0.0	17.0	28
	3 28	12 03	20 38	136	12 35.7	27 13	0.0	17.0	-30
	2 58	11 32	20 07	136	12 36.4	27 09	0.0	17.0	-33
X 15	2 28	11 02	19 36	136	12 37.1	27 06	0.0	17.0	-37
	1 57	10 31	19 05	136	12 37.7	27 04	0.0	17.0	-42
	1 26	9 60	18 34	136	12 38.4	27 03	0.0	17.0	-48
	0 56	9 29	18 03	136	12 39.0	27 02	0.0	17.0	-54
XI 16	0 25	8 58	17 32	136	12 39.5	27 02	0.0	17.0	-61
	23 50	8 27	17 01	136	12 40.0	27 03	0.0	17.0	-67
	23 19	7 56	16 30	136	12 40.5	27 04	0.0	17.0	-74
	22 47	7 25	15 59	136	12 40.8	27 07	0.0	17.0	-81
XII 18	22 16	6 54	15 28	136	12 41.1	27 10	0.0	17.0	-88
	21 44	6 23	14 58	136	12 41.3	27 13	0.0	17.0	-96
	21 12	5 51	14 27	136	12 41.4	27 17	0.0	17.0	-103
2011 3									

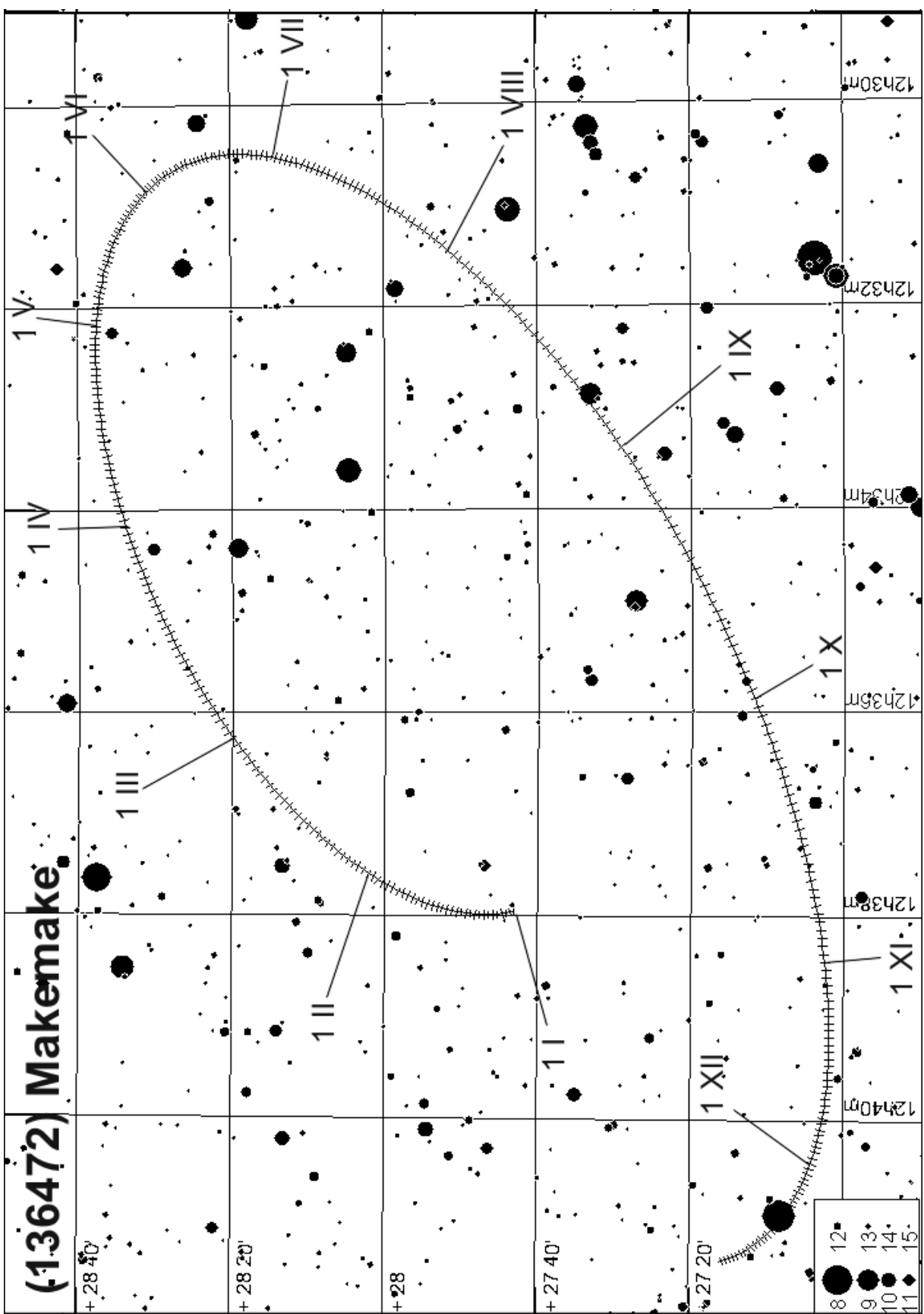
ERIS

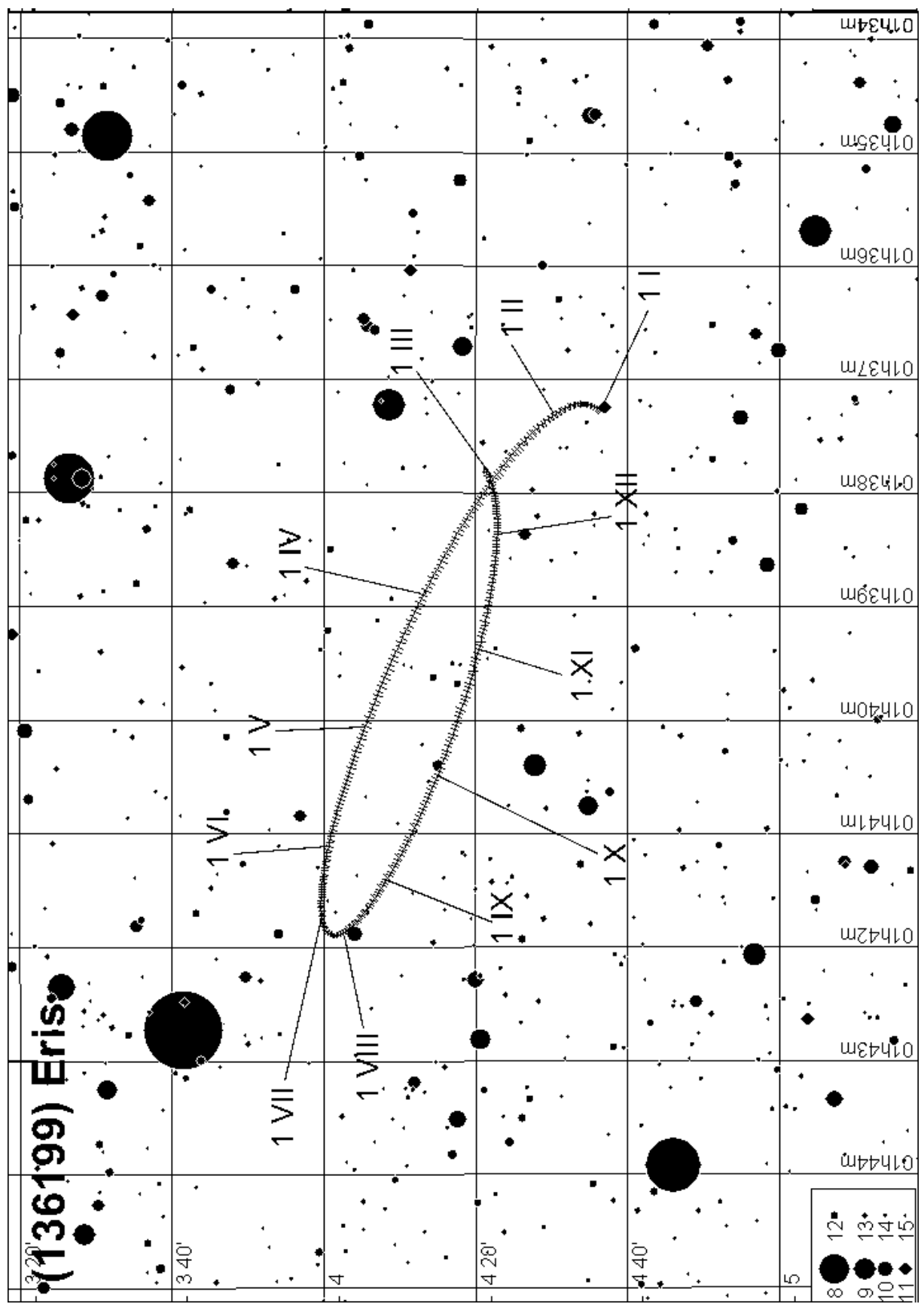
M d 2010	Wsch.	Kulm.	Zach.	A	α	δ	V	ΔI	
									$\lambda=0^\circ$
					$\varphi=50^\circ$	0 ^h UT			$\varphi=50^\circ$
I 0		h m	h m	h m	\pm °	h m	° '	m	°
I 8	13 15	18 56	0 40	83	1 37.3	- 4 37	18.8	101	
I 16	12 44	18 24	0 09	84	1 37.2	- 4 35	18.8	93	
I 24	12 12	17 53	23 34	84	1 37.2	- 4 34	18.8	85	
II 1	11 41	17 22	23 02	84	1 37.2	- 4 32	18.8	77	
II 9	11 09	16 50	22 31	84	1 37.3	- 4 30	18.8	70	
II 17	10 38	16 19	22 00	84	1 37.4	- 4 28	18.8	62	
II 25	10 06	15 48	21 29	84	1 37.6	- 4 26	18.8	54	
III 5	9 35	15 16	20 58	84	1 37.8	- 4 24	18.8	46	
III 13	9 03	14 45	20 27	84	1 38.0	- 4 21	18.8	39	
III 21	8 32	14 14	19 56	84	1 38.2	- 4 19	18.7	32	
III 29	8 00	13 43	19 25	84	1 38.5	- 4 16	18.7	25	
IV 6	6 58	12 40	18 23	84	1 39.1	- 4 12	18.7	15	
IV 14	6 26	12 09	17 52	84	1 39.4	- 4 10	18.7	14	
IV 22	5 55	11 38	17 21	84	1 39.7	- 4 08	18.7	-17	
IV 30	5 24	11 07	16 50	84	1 40.0	- 4 06	18.7	-22	
V 8	4 53	10 36	16 19	84	1 40.3	- 4 04	18.7	-29	
V 16	4 21	10 05	15 48	84	1 40.6	- 4 03	18.8	-36	
V 24	3 50	9 33	15 17	84	1 40.9	- 4 02	18.8	-43	
VI 1	3 19	9 02	14 46	84	1 41.1	- 4 01	18.8	-50	
VI 9	2 47	8 31	14 14	84	1 41.3	- 4 00	18.8	-57	
VI 17	2 16	7 60	13 43	84	1 41.5	- 3 60	18.8	-64	
VI 25	1 45	7 28	13 12	84	1 41.7	- 3 60	18.8	-72	
VII 3	1 14	6 57	12 41	84	1 41.8	- 3 60	18.8	-79	
VII 11	0 42	6 26	12 09	84	1 41.9	- 4 00	18.8	-87	
VII 19	0 11	5 54	11 38	84	1 41.9	- 4 01	18.8	-94	
VII 27	23 35	5 23	11 06	84	1 41.9	- 4 02	18.8	-101	
VIII 4	23 04	4 51	10 34	84	1 41.9	- 4 03	18.8	-109	
VIII 12	22 33	4 20	10 03	84	1 41.8	- 4 04	18.7	-116	
VIII 20	22 01	3 48	9 31	84	1 41.6	- 4 06	18.7	-124	
VIII 28	21 30	3 17	8 59	84	1 41.5	- 4 08	18.7	-131	
IX 5	20 58	2 45	8 28	84	1 41.3	- 4 09	18.7	-138	
IX 13	20 27	2 13	7 56	84	1 41.1	- 4 11	18.7	-146	
IX 21	19 55	1 41	7 24	84	1 40.8	- 4 13	18.7	-153	
IX 29	19 24	1 10	6 52	84	1 40.6	- 4 15	18.7	-159	
X 7	18 52	0 38	6 20	84	1 40.3	- 4 16	18.7	-164	
X 15	18 20	0 06	5 48	84	1 40.0	- 4 18	18.7	-166	
X 23	17 49	23 31	5 16	84	1 39.7	- 4 19	18.7	164	
X 31	17 17	22 59	4 45	84	1 39.4	- 4 20	18.7	159	
XI 8	16 45	22 27	4 13	84	1 39.1	- 4 21	18.7	153	
XI 16	16 14	21 55	3 41	84	1 38.8	- 4 22	18.7	145	
XI 24	15 42	21 24	3 09	84	1 38.6	- 4 23	18.7	138	
XII 2	15 10	20 52	2 38	84	1 38.3	- 4 23	18.7	130	
XII 10	14 39	20 20	2 06	84	1 38.1	- 4 23	18.7	122	
XII 18	14 07	19 49	1 34	84	1 38.0	- 4 22	18.7	115	
XII 26	13 35	19 17	1 03	84	1 37.8	- 4 22	18.8	107	
2011 I 3	13 04	18 46	0 31	84	1 37.8	- 4 21	18.8	99	











Planetoidy

W 2010 roku dostępnych obserwacjom przez teleskopy amatorskie będzie 59 planetoid⁵, które w maksimum jasności będą jaśniejsze od 11^m. Na kolejnych stronach zamieszczono efemerydy tych planetoid w czasie ich największej jasności, przy elongacji od Słońca większej od 80°. Efemerydy podane są w kolejności dat najlepszej widzialności poszczególnych planetoid. Przy obliczaniu współrzędnych zostały uwzględnione perturbacje planetarne.

Do tabel z efemerydami załączono mapki dróg odpowiednich planetoid na tle gwiazd. Pozycje zaznaczone na drogach planetoid odpowiadają pozycjom w tabelkach efemeryd (co 10 dni). Mapki podane są w kolejności alfabetycznej (jak w tabeli poniżej).

W tabeli zamieszczonej poniżej:

- a – wielka półosь orbity,
- e – mimośród orbity,
- i – nachylenie orbity do płaszczyzny ekleptyki [°],
- Typ – typ fizyczny (S – krzemianowa, M – metaliczna, C – węglowa),
- S – średnica [km],
- P – okres obrotu wokół osi (godziny),
- H(0) – jasność absolutna (1 j.a. od Ziemi i 1 j.a. od Słońca) [mag].

W efemerydach planetoid:

- α_{2000} – rektascensja [Epoka 2000.0]
- δ_{2000} – deklinacja [Epoka 2000.0]
- Δ – odległość planetoidy od Ziemi [j.a.]
- r – odległość planetoidy od Słońca [j.a.]
- m – jasność [mag]

(Dane wg. katalogu ASTORB, pobrany 26.09.2009 z <ftp://ftp.lowell.edu/pub/elgb>) oraz C.Kowal „Asteroids, their nature and utilisation”, Nowy Jork 1988)

⁵ Planetoida (1) Ceres należy także do grupy planet karłowatych

Jasne planetoidy przebywające w pobliżu opozycji w 2010 roku

Nazwa	a [j.a.]	e	i	Typ	S [km]	P	H(0)	Data max. jasności
(54) Alexandra	2.711	0.1968	11.807	C	166	7.040	7.66	21 IX
(29) Amphitrite	2.554	0.0732	6.097	S	212	5.390	5.85	6 VII
(64) Angelina	2.682	0.1258	1.310	E	60	8.752	7.67	29 I
(129) Antigone	2.868	0.2122	12.219	UX	125	4.957	7.07	2 VI
(5) Astraea	2.577	0.1913	5.371	S	119	16.812	6.85	13 X
(36) Atalante	2.747	0.3034	18.434	C	106	9.930	8.46	10 X
(230) Athamantis	2.382	0.0613	9.438	S	109	23.990	7.35	27 V
(63) Ausonia	2.396	0.1256	5.786	S	103	9.297	7.55	29 VI
(324) Bamberga	2.684	0.3371	11.108	C	229	29.430	6.82	1 I
(28) Bellona	2.777	0.1500	9.432	S	121	15.695	7.09	31 XII
(1) Ceres	2.766	0.0793	10.586	G?	848	9.075	3.34	19 VI
(410) Chloris	2.729	0.2363	10.921	C	124	32.500	8.30	16 VI
(349) Dembowska	2.925	0.0887	8.257	r	140	4.701	5.93	13 V
(78) Diana	2.623	0.2063	8.705	C	121	7.220	8.09	4 IV
(60) Echo	2.393	0.1832	3.601	S	60	25.208	8.21	23 II
(13) Egeria	2.576	0.0858	16.543	G	208	7.045	6.74	15 VI
(354) Eleonora	2.799	0.1144	18.394	S	155	4.277	6.44	26 I
(45) Eugenia	2.720	0.0814	6.610	C	215	5.699	7.46	23 VII
(247) Eukrate	2.740	0.2441	24.994	C	134	12.100	8.04	5 X
(15) Eunomia	2.643	0.1880	11.738	S	255	6.081	5.28	29 VI
(52) Europa	3.096	0.1061	7.482	C	303	5.631	6.31	1 I
(27) Euterpe	2.346	0.1729	1.584	S	116	8.500	7.00	13 VI
(37) Fides	2.644	0.1749	3.073	S	108	7.330	7.29	28 XI
(8) Flora	2.201	0.1568	5.889	S	136	12.348	6.49	12 IX
(19) Fortuna	2.442	0.1576	1.573	C	198	7.445	7.13	1 I
(40) Harmonia	2.267	0.0465	4.256	S	108	9.136	7.00	28 V
(6) Hebe	2.424	0.2025	14.754	S	185	7.275	5.71	21 IX
(103) Hera	2.701	0.0803	5.422	S	91	23.740	7.66	4 IX
(532) Herculina	2.772	0.1781	16.313	S	222	9.408	5.81	14 III
(69) Hesperia	2.978	0.1687	8.583	M	138	5.655	7.05	3 II
(46) Hestia	2.524	0.1730	2.343	C	124	21.040	8.36	3 XI
(10) Hygiea	3.139	0.1170	3.841	C	407	17.495	5.43	7 II
(14) Irene	2.585	0.1673	9.107	S	150	9.350	6.30	22 VIII
(7) Iris	2.386	0.2311	5.524	S	200	7.135	5.51	23 III
(3) Juno	2.671	0.2551	12.981	S	234	7.210	5.33	1 I
(22) Kalliope	2.908	0.1026	13.709	M	181	4.148	6.45	5 IX
(97) KloTho	2.669	0.2562	11.785	M	83	35.000	7.63	6 X
(39) Laetitia	2.767	0.1150	10.386	S	150	5.138	6.10	15 IX
(68) Leto	2.782	0.1862	7.973	S	123	14.848	6.78	14 VI
(675) Ludmilla	2.772	0.2022	9.785	S	88	7.717	7.91	19 XII
(20) Massalia	2.409	0.1418	0.707	S	146	8.098	6.50	12 VI
(18) Melpomene	2.296	0.2183	10.129	S	141	11.572	6.51	1 I
(9) Metis	2.387	0.1222	5.574	S	158	5.079	6.28	12 IV
(44) Nysa	2.425	0.1475	3.706	E	71	6.422	7.03	31 XII
(2) Pallas	2.773	0.2310	34.840	m	498	7.811	4.13	21 IV
(471) Papagena	2.886	0.2336	14.983	S	134	7.113	6.73	30 IX
(11) Parthenope	2.452	0.0995	4.626	S	153	7.830	6.55	1 I
(25) Phocaea	2.399	0.2558	21.586	S	75	9.945	7.83	7 XI
(32) Pomona	2.587	0.0828	5.529	S	81	9.443	7.56	21 II
(16) Psyche	2.924	0.1388	3.098	M	253	4.196	5.90	3 IV
(386) Siegena	2.895	0.1731	20.260	C	165	9.763	7.43	23 X
(563) Suleika	2.715	0.2344	10.235	S	53	5.693	8.50	13 XII
(23) Thalia	2.627	0.2341	10.111	S	108	12.308	6.95	31 XII
(219) Thusnelda	2.353	0.2237	10.845	S	41	30.000	9.32	7 X
(92) Undina	3.188	0.1016	9.923	M	126	15.940	6.61	19 VIII
(4) Vesta	2.362	0.0888	7.135	r	468	5.342	3.20	18 II
(144) Vibilia	2.653	0.2363	4.808	C	142	13.810	7.91	13 XI
(12) Victoria	2.335	0.2203	8.362	S	113	8.654	7.24	12 V
(747) Winchester	3.000	0.3418	18.176	C	172	9.400	7.69	31 XII

(64) Angelina					
Data 2010	α_{2000}	δ_{2000}	Δ	r	m
	h m	° '			
I 1	9 09.0	16 43	1.469	2.347	10.9
11	9 03.1	17 02	1.408	2.345	10.7
21	8 54.9	17 29	1.370	2.345	10.4
31	8 45.5	17 60	1.360	2.344	10.3
II 10	8 36.2	18 28	1.376	2.345	10.5
20	8 28.4	18 50	1.418	2.346	10.7
III 2	8 23.0	19 02	1.483	2.348	10.9
12	8 20.8	19 05	1.567	2.351	11.1

(324) Bamberga					
Data 2010	α_{2000}	δ_{2000}	Δ	r	m
	h m	° '			
I 1	6 21.2	38 21	1.345	2.306	9.8
11	6 09.6	37 23	1.406	2.343	10.1
21	6 01.1	36 13	1.493	2.381	10.4
31	5 56.3	34 58	1.601	2.419	10.7
II 10	5 55.3	33 45	1.728	2.456	11.0

(354) Eleonora					
Data 2010	α_{2000}	δ_{2000}	Δ	r	m
	h m	° '			
I 1	8 38.0	7 16	1.620	2.511	10.0
11	8 31.5	8 34	1.560	2.506	9.8
21	8 23.5	10 12	1.526	2.501	9.6
31	8 14.9	12 02	1.521	2.496	9.6
II 10	8 07.1	13 56	1.545	2.492	9.8
20	8 00.9	15 46	1.595	2.489	10.0
III 2	7 57.3	17 25	1.669	2.486	10.2
12	7 56.6	18 49	1.761	2.483	10.4
22	7 58.9	19 58	1.867	2.481	10.5
IV 1	8 03.9	20 50	1.983	2.480	10.7
11	8 11.4	21 26	2.106	2.479	10.9
21	8 21.1	21 48	2.232	2.479	11.0

(52) Europa					
Data 2010	α_{2000}	δ_{2000}	Δ	r	m
	h m	° '			
I 1	5 33.2	16 04	1.838	2.789	10.3
11	5 26.0	16 30	1.886	2.786	10.5
21	5 20.9	17 01	1.958	2.782	10.7
31	5 18.3	17 35	2.050	2.779	10.9
II 10	5 18.5	18 11	2.158	2.776	11.1

(19) Fortuna					
Data 2010	α_{2000}	δ_{2000}	Δ	r	m
	h m	° '			
I 1	4 46.1	20 08	1.249	2.169	10.1
11	4 41.4	20 02	1.328	2.183	10.4
21	4 40.2	20 03	1.425	2.198	10.7
31	4 42.6	20 12	1.537	2.213	10.9

(532) Herculina					
Data 2010	α_{2000}	δ_{2000}	Δ	r	m
	h m	° '			
I 1	12 04.3	14 53	1.880	2.333	10.0
11	12 14.0	15 43	1.760	2.324	9.8
21	12 21.4	16 55	1.650	2.315	9.6
31	12 26.4	18 29	1.553	2.307	9.4
II 10	12 28.5	20 20	1.471	2.300	9.2
20	12 27.5	22 23	1.408	2.294	9.0
III 2	12 23.7	24 25	1.367	2.289	8.9
12	12 17.5	26 14	1.349	2.285	8.8
22	12 09.9	27 37	1.354	2.282	8.9
IV 1	12 02.3	28 24	1.381	2.280	9.0
11	11 55.7	28 33	1.429	2.278	9.2
21	11 51.3	28 05	1.494	2.278	9.3
V 1	11 49.5	27 06	1.574	2.279	9.5
11	11 50.5	25 42	1.664	2.281	9.7
21	11 54.1	23 59	1.763	2.284	9.8
31	11 60.0	22 02	1.868	2.288	10.0
VI 10	12 07.9	19 54	1.977	2.293	10.1
20	12 17.4	17 40	2.089	2.299	10.3
30	12 28.4	15 20	2.202	2.306	10.4

(69) Hesperia					
Data 2010	α_{2000}	δ_{2000}	Δ	r	m
	h m	° '			
I 1	9 17.2	4 07	1.658	2.482	10.9
11	9 12.9	4 17	1.589	2.485	10.7
21	9 06.5	4 47	1.543	2.489	10.5
31	8 58.9	5 36	1.522	2.494	10.3
II 10	8 51.0	6 38	1.529	2.500	10.4
20	8 44.1	7 47	1.562	2.507	10.6
III 2	8 39.0	8 56	1.621	2.514	10.8
12	8 36.4	9 59	1.701	2.522	11.0

(18) Melpomene					
Data 2010	α_{2000}	δ_{2000}	Δ	r	m
	h m	° '			
I 1	1 42.9	- 3 52	1.387	1.858	9.7
11	1 55.9	- 1 42	1.499	1.874	9.9
21	2 10.4	0 32	1.614	1.891	10.1
31	2 26.3	2 45	1.732	1.909	10.3
II 10	2 43.3	4 55	1.851	1.929	10.4

(11) Parthenope					
Data 2010	α_{2000}	δ_{2000}	Δ	r	m
	h m	° '			
I 1	6 11.2	19 43	1.636	2.612	10.0
11	6 01.4	20 04	1.675	2.620	10.3
21	5 53.5	20 25	1.742	2.627	10.6
31	5 48.2	20 46	1.831	2.634	10.8
II 10	5 46.0	21 07	1.939	2.641	11.0

(10) Hygiea					
Data 2010	α_{2000}	δ_{2000}	Δ	r	m
I 1	h m	° '			
11	9 41.2	11 19	2.408	3.192	10.6
21	9 37.0	11 25	2.308	3.181	10.4
31	9 30.8	11 42	2.231	3.170	10.2
II 10	9 23.2	12 06	2.183	3.159	9.9
20	9 15.0	12 35	2.163	3.148	9.8
III 2	9 07.0	13 04	2.174	3.136	10.0
12	8 59.9	13 31	2.213	3.125	10.2
22	8 54.6	13 52	2.278	3.113	10.4
IV 1	8 51.3	14 07	2.363	3.102	10.6
11	8 50.4	14 13	2.466	3.091	10.7
21	8 51.7	14 12	2.580	3.079	10.9
	8 55.1	14 01	2.701	3.068	11.0

(4) Vesta					
Data 2010	α_{2000}	δ_{2000}	Δ	r	m
I 1	h m	° '			
11	10 40.7	14 13	1.754	2.441	7.1
21	10 41.2	14 57	1.644	2.432	6.9
31	10 38.8	15 60	1.551	2.422	6.7
II 10	10 33.4	17 17	1.480	2.413	6.5
20	10 25.6	18 42	1.432	2.403	6.2
20	10 16.2	20 05	1.412	2.394	6.1
III 2	10 06.5	21 16	1.420	2.384	6.3
12	9 57.8	22 09	1.453	2.374	6.5
22	9 51.3	22 38	1.510	2.364	6.6
IV 1	9 47.6	22 45	1.584	2.354	6.8
11	9 47.1	22 31	1.673	2.344	7.0
21	9 49.5	21 60	1.772	2.334	7.2
V 1	9 54.8	21 13	1.878	2.325	7.3
11	10 02.3	20 14	1.987	2.315	7.5
21	10 11.8	19 04	2.097	2.305	7.6
31	10 23.0	17 44	2.206	2.295	7.7

(60) Echo					
Data 2010	α_{2000}	δ_{2000}	Δ	r	m
I 11	h m	° '			
21	10 43.2	3 06	1.244	2.015	11.1
31	10 42.2	3 09	1.176	2.027	10.9
II 10	10 38.0	3 37	1.124	2.041	10.7
20	10 31.0	4 28	1.093	2.056	10.5
20	10 22.3	5 35	1.086	2.072	10.2
III 2	10 13.5	6 50	1.103	2.088	10.3
12	10 06.0	8 01	1.146	2.105	10.7
22	10 00.8	8 60	1.211	2.123	11.0

(32) Pomona					
Data 2010	α_{2000}	δ_{2000}	Δ	r	m
I 31	h m	° '			
10	10 17.6	1 26	1.527	2.449	11.1
20	10 10.0	2 00	1.477	2.442	10.8
III 2	10 01.4	2 51	1.453	2.435	10.6
12	9 52.8	3 52	1.457	2.429	10.8
	9 45.4	4 55	1.487	2.423	11.0

(9) Metis					
Data 2010	α_{2000}	δ_{2000}	Δ	r	m
I 11	h m	° '			
21	13 33.2	- 3 41	2.256	2.421	11.1
31	13 42.3	- 4 19	2.139	2.434	10.9
II 10	13 49.5	- 4 44	2.022	2.447	10.8
20	13 54.5	- 4 56	1.909	2.460	10.7
III 2	13 56.8	- 4 53	1.804	2.473	10.5
12	13 56.3	- 4 36	1.711	2.485	10.3
22	13 52.9	- 4 07	1.633	2.497	10.1
IV 1	13 46.8	- 3 28	1.575	2.509	9.9
11	13 38.5	- 2 43	1.542	2.521	9.7
21	13 29.0	- 1 59	1.534	2.532	9.5
V 1	13 19.4	- 1 21	1.555	2.543	9.7
11	13 10.7	- 0 55	1.602	2.554	9.9
21	13 03.9	- 0 45	1.672	2.564	10.2
31	12 59.5	- 0 51	1.764	2.574	10.4
VI 10	12 57.6	- 1 13	1.871	2.583	10.6
20	12 58.3	- 1 49	1.990	2.592	10.8
	13 01.2	- 2 38	2.119	2.601	11.0

(2) Pallas					
Data 2010	α_{2000}	δ_{2000}	Δ	r	m
I 31	h m	° '			
II 10	15 19.5	2 20	2.475	2.572	9.3
20	15 30.4	4 04	2.374	2.596	9.2
III 2	15 39.6	6 07	2.276	2.621	9.1
12	15 46.7	8 29	2.186	2.645	9.0
22	15 51.4	11 05	2.105	2.670	8.9
IV 1	15 53.6	13 52	2.038	2.694	8.8
11	15 53.1	16 42	1.988	2.719	8.7
21	15 50.0	19 26	1.957	2.743	8.7
21	15 44.6	21 54	1.947	2.767	8.6
V 1	15 37.3	23 55	1.960	2.791	8.7
11	15 29.1	25 24	1.993	2.814	8.7
21	15 20.7	26 15	2.047	2.838	8.8
31	15 13.2	26 29	2.120	2.861	9.0
VI 10	15 07.2	26 10	2.208	2.883	9.1
20	15 03.2	25 24	2.310	2.906	9.3
30	15 01.4	24 16	2.422	2.928	9.4
VII 10	15 01.7	22 53	2.541	2.950	9.5
20	15 04.1	21 19	2.666	2.971	9.7
30	15 08.3	19 39	2.794	2.992	9.8
VIII 9	15 14.2	17 56	2.923	3.013	9.9

(15) Eunomia						
Data 2010	α_{2000}	δ_{2000}	Δ	r	m	
	h m	° '				
III 22	18 29.9	-30 30	2.862	2.939	10.8	
IV 1	18 39.3	-30 26	2.709	2.925	10.7	
11	18 46.9	-30 21	2.556	2.910	10.5	
21	18 52.4	-30 16	2.407	2.894	10.4	
V 1	18 55.5	-30 12	2.265	2.878	10.2	
11	18 55.9	-30 09	2.134	2.862	10.0	
21	18 53.4	-30 05	2.016	2.845	9.8	
31	18 48.1	-29 58	1.917	2.828	9.6	
VI 10	18 40.3	-29 47	1.840	2.811	9.3	
20	18 30.5	-29 28	1.788	2.793	9.1	
30	18 19.8	-28 60	1.763	2.775	9.0	
VII 10	18 09.3	-28 23	1.765	2.757	9.1	
20	18 00.1	-27 39	1.794	2.738	9.3	
30	17 53.2	-26 52	1.847	2.719	9.5	
VIII 9	17 49.0	-26 06	1.920	2.700	9.6	
19	17 47.8	-25 23	2.008	2.680	9.8	
29	17 49.5	-24 43	2.108	2.661	9.9	
IX 8	17 53.8	-24 07	2.215	2.641	10.1	
18	18 00.6	-23 34	2.327	2.621	10.2	
X 8	18 09.5	-23 02	2.440	2.601	10.3	
	18 20.3	-22 31	2.552	2.581	10.3	

(12) Victoria						
Data 2010	α_{2000}	δ_{2000}	Δ	r	m	
	h m	° '				
III 12	15 27.6	-23 35	1.637	2.251	11.1	
22	15 32.5	-23 37	1.506	2.225	10.8	
IV 1	15 34.5	-23 23	1.387	2.200	10.5	
11	15 33.2	-22 51	1.282	2.175	10.2	
21	15 28.7	-21 59	1.196	2.149	9.9	
V 1	15 21.4	-20 47	1.131	2.124	9.6	
11	15 12.2	-19 19	1.090	2.100	9.2	
21	15 02.8	-17 43	1.073	2.075	9.4	
31	14 54.4	-16 07	1.081	2.051	9.6	
VI 10	14 48.5	-14 44	1.109	2.028	9.8	
20	14 45.8	-13 39	1.155	2.006	10.0	
30	14 46.6	-12 57	1.215	1.984	10.2	
VII 10	14 50.7	-12 36	1.284	1.963	10.4	
20	14 58.0	-12 36	1.361	1.943	10.5	
30	15 08.1	-12 51	1.442	1.924	10.7	
VIII 9	15 20.7	-13 19	1.525	1.907	10.8	
19	15 35.4	-13 55	1.610	1.891	10.9	
29	15 52.1	-14 35	1.694	1.876	11.0	

(1) Ceres						
Data 2010	α_{2000}	δ_{2000}	Δ	r	m	
	h m	° '				
III 12	17 51.3	-20 55	2.701	2.763	8.8	
22	18 00.9	-21 13	2.573	2.771	8.7	
IV 1	18 08.8	-21 31	2.445	2.780	8.6	
11	18 14.5	-21 50	2.320	2.788	8.4	
21	18 17.9	-22 13	2.201	2.796	8.3	
V 1	18 18.8	-22 39	2.092	2.804	8.1	
11	18 16.9	-23 10	1.996	2.812	7.9	
21	18 12.4	-23 45	1.918	2.820	7.7	
31	18 05.4	-24 21	1.862	2.827	7.5	
VI 10	17 56.6	-24 57	1.831	2.835	7.3	
20	17 46.9	-25 30	1.827	2.843	7.1	
30	17 37.3	-25 59	1.851	2.850	7.4	
VII 10	17 28.8	-26 22	1.901	2.857	7.6	
20	17 22.2	-26 42	1.976	2.864	7.9	
30	17 18.2	-26 58	2.071	2.871	8.1	
VIII 9	17 16.8	-27 13	2.183	2.878	8.3	
19	17 18.1	-27 27	2.308	2.885	8.4	
29	17 21.9	-27 41	2.442	2.891	8.6	
IX 8	17 28.0	-27 54	2.581	2.898	8.8	
18	17 36.1	-28 06	2.724	2.904	8.9	
28	17 46.0	-28 16	2.866	2.910	9.0	

(129) Antigone						
Data 2010	α_{2000}	δ_{2000}	Δ	r	m	
	h m	° '				
III 22	16 53.8	-6 41	1.772	2.277	11.0	
IV 1	17 01.5	-5 55	1.662	2.271	10.8	
11	17 06.5	-5 04	1.561	2.267	10.7	
21	17 08.7	-4 12	1.471	2.263	10.5	
V 1	17 07.9	-3 24	1.396	2.261	10.3	
11	17 04.3	-2 46	1.338	2.260	10.1	
21	16 58.2	-2 23	1.299	2.260	9.9	
31	16 50.6	-2 21	1.282	2.261	9.9	
VI 10	16 42.5	-2 42	1.288	2.264	9.9	
20	16 35.2	-3 25	1.317	2.268	10.0	
30	16 29.6	-4 29	1.367	2.273	10.2	
VII 10	16 26.4	-5 47	1.435	2.279	10.4	
20	16 26.0	-7 16	1.520	2.287	10.6	
30	16 28.4	-8 51	1.618	2.295	10.8	
VIII 9	16 33.5	-10 27	1.727	2.305	11.0	

(349) Dembowska						
Data 2010	α_{2000}	δ_{2000}	Δ	r	m	
	h m	° '				
III 22	15 43.1	-21 43	2.510	3.159	11.1	
IV 1	15 41.5	-22 03	2.392	3.155	10.9	
11	15 37.5	-22 16	2.291	3.152	10.7	
21	15 31.3	-22 22	2.211	3.147	10.6	
V 1	15 23.4	-22 20	2.157	3.143	10.4	
11	15 14.6	-22 11	2.131	3.138	10.2	
21	15 05.5	-21 56	2.133	3.134	10.3	
31	14 57.3	-21 39	2.163	3.129	10.5	
VI 10	14 50.5	-21 22	2.219	3.123	10.6	
20	14 45.6	-21 10	2.298	3.118	10.8	
30	14 43.1	-21 04	2.395	3.112	10.9	
VII 10	14 42.8	-21 05	2.506	3.106	11.1	

(40) Harmonia						
Data 2010	α_{2000}	δ_{2000}	Δ	r	m	
	h m	° '				
IV 1	16 49.6	-18 25	1.701	2.337	11.1	
11	16 51.9	-18 26	1.590	2.333	10.9	
21	16 50.9	-18 24	1.493	2.329	10.6	
V 1	16 46.7	-18 19	1.411	2.324	10.4	
11	16 39.5	-18 12	1.350	2.320	10.1	
21	16 30.0	-18 05	1.312	2.315	9.8	
31	16 19.3	-17 58	1.299	2.311	9.6	
VI 10	16 08.8	-17 53	1.311	2.306	9.9	
20	15 59.9	-17 54	1.348	2.301	10.2	
30	15 53.5	-18 01	1.407	2.296	10.4	
VII 10	15 50.2	-18 17	1.483	2.291	10.6	
20	15 50.1	-18 42	1.573	2.286	10.8	
30	15 53.1	-19 14	1.673	2.280	11.0	

(63) Ausonia						
Data 2010	α_{2000}	δ_{2000}	Δ	r	m	
	h m	° '				
V 1	18 52.3	-31 23	1.428	2.105	11.0	
11	18 57.3	-31 47	1.332	2.102	10.7	
21	18 58.7	-32 12	1.248	2.099	10.5	
31	18 56.2	-32 38	1.178	2.097	10.3	
VI 10	18 50.0	-32 58	1.126	2.095	10.0	
20	18 40.8	-33 08	1.095	2.095	9.8	
30	18 30.1	-33 02	1.086	2.095	9.7	
VII 10	18 19.5	-32 40	1.101	2.096	9.8	
20	18 10.9	-32 04	1.137	2.098	10.1	
30	18 05.4	-31 18	1.194	2.101	10.3	
VIII 9	18 03.7	-30 28	1.268	2.105	10.6	
19	18 05.7	-29 39	1.356	2.110	10.8	
29	18 11.2	-28 51	1.455	2.115	11.0	

(29) Amphitrite						
Data 2010	α_{2000}	δ_{2000}	Δ	r	m	
	h m	° '				
IV 1	18 57.6	-29 15	2.566	2.726	11.1	
11	19 07.4	-29 24	2.430	2.723	10.9	
21	19 15.1	-29 36	2.295	2.719	10.8	
V 1	19 20.5	-29 52	2.166	2.716	10.6	
11	19 23.4	-30 13	2.044	2.712	10.5	
21	19 23.4	-30 39	1.934	2.708	10.3	
31	19 20.4	-31 08	1.840	2.704	10.1	
VI 10	19 14.5	-31 38	1.764	2.699	9.9	
20	19 06.	-32 03	1.711	2.694	9.6	
30	18 55.8	-32 21	1.683	2.689	9.5	
VII 10	18 45.0	-32 26	1.681	2.684	9.5	
20	18 34.9	-32 19	1.706	2.678	9.7	
30	18 26.6	-32 01	1.756	2.673	9.9	
VIII 9	18 20.9	-31 35	1.827	2.667	10.1	
19	18 18.2	-31 04	1.916	2.661	10.2	
29	18 18.6	-30 31	2.019	2.654	10.4	
IX 8	18 22.0	-29 57	2.132	2.648	10.6	
18	18 27.9	-29 23	2.252	2.641	10.7	
28	18 36.2	-28 48	2.376	2.634	10.8	
X 8	18 46.5	-28 12	2.501	2.627	10.9	
18	18 58.4	-27 33	2.625	2.620	11.0	

(8) Flora						
Data 2010	α_{2000}	δ_{2000}	Δ	r	m	
	h m	° '				
V 1	22 03.9	-13 05	2.262	2.170	11.0	
11	22 20.4	-11 57	2.134	2.152	10.8	
21	22 36.1	-10 52	2.005	2.133	10.7	
31	22 50.9	- 9 54	1.876	2.115	10.6	
VI 10	23 04.7	- 9 03	1.748	2.096	10.4	
20	23 17.1	- 8 23	1.623	2.078	10.2	
30	23 28.1	- 7 57	1.502	2.060	10.0	
VII 10	23 37.2	- 7 48	1.386	2.043	9.8	
20	23 44.0	- 7 58	1.279	2.026	9.5	
30	23 48.3	- 8 29	1.181	2.009	9.3	
VIII 9	23 49.5	- 9 24	1.096	1.993	9.0	
19	23 47.5	-10 39	1.027	1.977	8.7	
29	23 42.4	-12 08	0.977	1.962	8.4	
IX 8	23 34.9	-13 42	0.948	1.947	8.2	
18	23 26.1	-15 05	0.942	1.934	8.2	
28	23 17.8	-16 06	0.958	1.921	8.4	
X 8	23 11.4	-16 38	0.995	1.910	8.6	
18	23 08.0	-16 36	1.049	1.899	8.9	
28	23 08.0	-16 05	1.117	1.889	9.1	
XI 7	23 11.6	-15 08	1.195	1.881	9.3	
17	23 18.3	-13 49	1.282	1.873	9.5	
27	23 27.8	-12 12	1.374	1.867	9.7	
XII 7	23 39.5	-10 21	1.470	1.862	9.8	
17	23 53.1	- 8 19	1.569	1.859	10.0	
27	0 08.2	- 6 08	1.669	1.857	10.1	
2011 I 6	0 24.7	- 3 50	1.769	1.856	10.2	

(230) Athamantis						
Data 2010	α_{2000}	δ_{2000}	Δ	r	m	
	h m	° '				
IV 21	16 39.0	-23 04	1.650	2.497	11.1	
V 1	16 34.1	-22 18	1.569	2.493	10.9	
11	16 26.6	-21 23	1.510	2.489	10.7	
21	16 17.3	-20 19	1.476	2.484	10.4	
31	16 07.3	-19 12	1.468	2.479	10.4	
VI 10	15 58.0	-18 06	1.488	2.474	10.6	
20	15 50.4	-17 08	1.532	2.469	10.8	
30	15 45.2	-16 21	1.598	2.463	11.1	

(410) Chloris						
Data 2010	α_{2000}	δ_{2000}	Δ	r	m	
	h m	° '				
V 21	17 53.2	-15 52	1.157	2.097	11.0	
31	17 47.4	-16 44	1.107	2.092	10.7	
VI 10	17 39.5	-17 47	1.078	2.088	10.4	
20	17 30.4	-18 59	1.073	2.085	10.4	
30	17 21.9	-20 15	1.091	2.084	10.7	
VII 10	17 15.3	-21 30	1.131	2.085	10.9	

(13) Egeria					
Data 2010	α_{2000}	δ_{2000}	Δ	r	m
V 21	h m	° '			
31	18 04.2	-38 26	1.832	2.728	11.0
VI 10	17 55.1	-39 38	1.784	2.734	10.8
20	17 43.7	-40 35	1.760	2.740	10.7
30	17 31.3	-41 13	1.763	2.746	10.7
VII 10	17 19.4	-41 29	1.791	2.751	10.8
	17 09.3	-41 27	1.845	2.756	11.0

(68) Leto					
Data 2010	α_{2000}	δ_{2000}	Δ	r	m
V 21	h m	° '			
31	17 31.8	-29 38	1.772	2.723	10.9
VI 10	17 23.2	-30 08	1.710	2.703	10.6
20	17 13.2	-30 29	1.674	2.684	10.4
30	17 02.7	-30 40	1.665	2.664	10.5
VII 10	16 53.2	-30 42	1.682	2.645	10.7
20	16 45.6	-30 37	1.722	2.625	10.9
	16 40.7	-30 29	1.784	2.606	11.1

(27) Euterpe					
Data 2010	α_{2000}	δ_{2000}	Δ	r	m
V 21	h m	° '			
31	17 48.0	-22 41	1.798	2.735	11.1
VI 10	17 39.1	-22 42	1.751	2.739	10.9
20	17 28.7	-22 40	1.730	2.743	10.6
30	17 18.1	-22 35	1.736	2.746	10.7
VII 10	17 08.2	-22 30	1.771	2.749	11.0

(39) Laetitia					
Data 2010	α_{2000}	δ_{2000}	Δ	r	m
VI 10	h m	° '			
20	23 19.6	-1 60	2.318	2.511	11.0
30	23 29.6	-1 23	2.187	2.503	10.9
VII 10	23 38.0	-0 59	2.059	2.496	10.8
20	23 44.7	-0 50	1.934	2.490	10.6
30	23 49.4	-0 58	1.818	2.483	10.4
VIII 9	23 52.0	-1 26	1.711	2.478	10.2
19	23 52.1	-2 15	1.618	2.472	10.0
29	23 49.8	-3 24	1.543	2.468	9.7
IX 8	23 45.2	-4 50	1.489	2.463	9.5
18	23 39.1	-6 26	1.459	2.460	9.2
28	23 32.1	-8 03	1.455	2.457	9.1
X 8	23 25.3	-9 32	1.478	2.454	9.4
18	23 19.7	-10 45	1.526	2.452	9.7
28	23 16.1	-11 36	1.596	2.450	9.9
XI 7	23 14.8	-12 04	1.685	2.449	10.1
17	23 16.2	-12 10	1.789	2.449	10.3
27	23 20.0	-11 54	1.904	2.449	10.5
XII 7	23 26.1	-11 21	2.027	2.450	10.7
17	23 34.2	-10 32	2.154	2.451	10.8
	23 43.9	-9 30	2.283	2.453	11.0

(6) Hebe					
Data 2010	α_{2000}	δ_{2000}	Δ	r	m
V 21	h m	° '			
31	22 50.1	-6 05	2.105	2.137	10.1
VI 10	23 06.3	-5 19	1.975	2.117	9.9
20	23 21.9	-4 42	1.847	2.097	9.8
30	23 36.6	-4 20	1.720	2.079	9.6
VII 10	23 50.3	-4 13	1.597	2.060	9.4
20	0 02.7	-4 27	1.479	2.043	9.2
30	0 13.4	-5 05	1.368	2.027	9.0
VIII 9	0 22.2	-6 10	1.265	2.012	8.8
19	0 28.6	-7 45	1.174	1.998	8.5
29	0 32.2	-9 49	1.097	1.985	8.3
IX 8	0 32.9	-12 17	1.036	1.974	8.0
18	0 30.5	-14 59	0.996	1.963	7.8
28	0 25.7	-17 37	0.977	1.955	7.7
X 8	0 19.4	-19 54	0.981	1.947	7.7
18	0 13.1	-21 35	1.006	1.942	7.9
28	0 08.2	-22 31	1.050	1.937	8.1
XI 7	0 05.6	-22 40	1.111	1.935	8.3
17	0 06.0	-22 09	1.185	1.934	8.5
27	0 09.5	-21 04	1.270	1.934	8.7
XII 7	0 15.8	-19 33	1.363	1.936	8.9
17	0 24.6	-17 41	1.462	1.940	9.1
27	0 35.6	-15 34	1.565	1.945	9.3
2011 I 6	0 48.3	-13 17	1.671	1.952	9.4
	1 02.4	-10 53	1.780	1.961	9.6

(45) Eugenia					
Data 2010	α_{2000}	δ_{2000}	Δ	r	m
VII 10	h m	° '			
20	20 15.8	-14 09	1.616	2.607	11.1
30	20 07.6	-14 56	1.602	2.615	10.9
	19 59.0	-15 47	1.615	2.622	11.0

(14) Irene					
Data 2010	α_{2000}	δ_{2000}	Δ	r	m
VII 10	h m	° '			
20	22 51.2	-18 19	2.121	2.876	11.1
30	22 48.9	-19 18	2.039	2.888	10.9
VIII 9	22 44.2	-20 26	1.977	2.899	10.7
19	22 37.4	-21 38	1.938	2.910	10.6
29	22 29.1	-22 46	1.926	2.920	10.4
IX 8	22 20.2	-23 45	1.941	2.930	10.5
18	22 11.5	-24 29	1.983	2.939	10.7
28	22 04.0	-24 54	2.051	2.948	10.9
	21 58.3	-25 00	2.142	2.956	11.1

(92) Undina						
Data 2010	α_{2000}	δ_{2000}	Δ	r	m	
VII 30	h m 22 31.8	° ' -19 52	1.941	2.880	11.0	
VIII 9	22 26.3	-21 04	1.895	2.877	10.8	
19	22 19.6	-22 14	1.875	2.874	10.6	
29	22 12.2	-23 16	1.882	2.871	10.7	
IX 8	22 05.1	-24 03	1.915	2.869	10.9	
18	21 59.2	-24 33	1.973	2.867	11.1	

(54) Alexandra						
Data 2010	α_{2000}	δ_{2000}	Δ	r	m	
VIII 29	h m 0 08.3	° ' 14 50	1.445	2.347	11.1	
IX 8	0 00.1	15 11	1.413	2.364	10.9	
18	23 50.5	15 08	1.404	2.382	10.8	
28	23 40.9	14 44	1.421	2.401	10.8	
X 8	23 32.3	14 06	1.463	2.420	11.0	

(22) Kalliope						
Data 2010	α_{2000}	δ_{2000}	Δ	r	m	
VII 30	h m 23 44.1	° ' -22 52	2.052	2.869	11.0	
VIII 9	23 41.3	-24 01	1.971	2.858	10.9	
19	23 36.1	-25 11	1.912	2.848	10.7	
29	23 29.0	-26 16	1.876	2.838	10.6	
IX 8	23 20.6	-27 07	1.866	2.827	10.6	
18	23 11.8	-27 37	1.882	2.817	10.6	
28	23 03.8	-27 43	1.922	2.807	10.8	
X 8	22 57.2	-27 25	1.984	2.797	10.9	
18	22 52.9	-26 44	2.065	2.787	11.1	

(97) Klo tho						
Data 2010	α_{2000}	δ_{2000}	Δ	r	m	
VIII 29	h m 1 10.5	° ' 0 28	1.422	2.278	11.1	
IX 8	1 09.7	- 1 05	1.332	2.253	10.8	
18	1 06.3	- 2 55	1.262	2.228	10.5	
28	1 00.8	- 4 55	1.215	2.203	10.2	
X 8	0 53.9	- 6 53	1.193	2.180	10.2	
18	0 46.8	- 8 35	1.197	2.157	10.3	
28	0 40.8	- 9 52	1.223	2.136	10.5	
XI 7	0 36.8	-10 37	1.270	2.115	10.7	
17	0 35.6	-10 48	1.334	2.096	10.9	
27	0 37.5	-10 29	1.409	2.078	11.1	

(471) Papagena						
Data 2010	α_{2000}	δ_{2000}	Δ	r	m	
VII 10	h m 0 43.1	° ' -14 44	1.996	2.432	11.0	
20	0 52.5	-15 07	1.870	2.412	10.8	
30	1 00.1	-15 46	1.753	2.392	10.6	
VIII 9	1 05.5	-16 42	1.645	2.373	10.5	
19	1 08.3	-17 50	1.550	2.355	10.3	
29	1 08.2	-19 09	1.470	2.337	10.1	
IX 8	1 05.2	-20 29	1.408	2.321	9.9	
18	0 59.5	-21 41	1.366	2.305	9.7	
28	0 51.8	-22 33	1.347	2.291	9.7	
X 8	0 43.2	-22 57	1.350	2.277	9.7	
18	0 34.9	-22 46	1.375	2.265	9.8	
28	0 28.2	-22 01	1.420	2.254	9.9	
XI 7	0 23.9	-20 44	1.482	2.244	10.1	
17	0 22.5	-19 01	1.560	2.235	10.2	
27	0 24.0	-16 58	1.649	2.228	10.4	
XII 7	0 28.2	-14 42	1.748	2.222	10.6	
17	0 34.9	-12 16	1.853	2.217	10.7	
27	0 43.6	- 9 44	1.962	2.214	10.8	
2011 I 6	0 54.1	- 7 09	2.074	2.212	10.9	

(16) Psyche						
Data 2010	α_{2000}	δ_{2000}	Δ	r	m	
VIII 29	h m 4 54.7	° ' 19 28	2.537	2.574	11.0	
IX 8	5 06.1	19 33	2.419	2.582	10.9	
18	5 15.8	19 33	2.300	2.591	10.8	
28	5 23.4	19 28	2.183	2.600	10.7	
X 8	5 28.8	19 20	2.071	2.610	10.5	
18	5 31.5	19 09	1.965	2.620	10.4	
28	5 31.4	18 56	1.871	2.630	10.2	
XI 7	5 28.4	18 43	1.793	2.641	10.0	
17	5 22.8	18 30	1.735	2.653	9.8	
27	5 14.9	18 18	1.701	2.664	9.6	
XII 7	5 05.8	18 07	1.694	2.676	9.4	
17	4 56.6	17 60	1.715	2.688	9.6	
27	4 48.4	17 57	1.765	2.701	9.8	
2011 I 6	4 42.1	17 59	1.841	2.714	10.1	

(5) Astraea						
Data 2010	α_{2000}	δ_{2000}	Δ	r	m	
IX 18	h m 1 35.3	° ' 3 09	1.876	2.797	11.1	
28	1 28.8	2 07	1.809	2.780	10.8	
X 8	1 20.8	1 01	1.770	2.762	10.6	
18	1 12.2	- 0 02	1.758	2.744	10.6	
28	1 03.9	- 0 57	1.775	2.726	10.8	
XI 7	0 56.8	- 1 37	1.818	2.707	11.0	

(103) Hera						
Data 2010	α_{2000}	δ_{2000}	Δ	r	m	
VIII 19	h m 23 08.9	° ' - 8 57	1.510	2.488	11.1	
29	23 01.9	-10 09	1.486	2.489	10.8	
IX 8	22 54.2	-11 21	1.487	2.491	10.8	
18	22 46.7	-12 25	1.515	2.494	11.1	

(36) Atalante					
Data 2010	α_{2000}	δ_{2000}	Δ	r	m
IX 18	h m 1 12.1	° ' 14 44	1.060	2.002	10.9
28	1 01.8	16 35	1.008	1.984	10.6
X 8	0 49.1	18 11	0.980	1.967	10.4
18	0 36.0	19 27	0.976	1.953	10.4
28	0 24.3	20 24	0.997	1.940	10.7
XI 7	0 15.8	21 07	1.039	1.930	10.9
17	0 11.5	21 44	1.098	1.922	11.1

(144) Vibilia					
Data 2010	α_{2000}	δ_{2000}	Δ	r	m
IX 28	h m 3 44.3	° ' 14 32	1.296	2.062	11.1
X 8	3 44.4	14 37	1.228	2.073	10.9
18	3 41.0	14 36	1.176	2.086	10.7
28	3 34.3	14 31	1.142	2.100	10.4
XI 7	3 25.4	14 23	1.132	2.116	10.2
17	3 15.6	14 17	1.146	2.132	10.1
27	3 06.6	14 16	1.185	2.150	10.5
XII 7	2 59.6	14 24	1.249	2.169	10.8
17	2 55.5	14 42	1.334	2.189	11.1

(247) Eukrate					
Data 2010	α_{2000}	δ_{2000}	Δ	r	m
IX 18	h m 0 54.4	° ' 12 08	1.250	2.210	10.9
28	0 41.4	13 42	1.204	2.191	10.6
X 8	0 27.0	15 02	1.185	2.173	10.5
18	0 12.9	16 08	1.193	2.157	10.7
28	0 00.8	16 60	1.227	2.142	10.9

(7) Iris					
Data 2010	α_{2000}	δ_{2000}	Δ	r	m
X 8	h m 7 49.9	° ' 20 29	1.847	1.920	9.6
18	8 06.5	19 15	1.760	1.938	9.5
28	8 20.9	17 58	1.671	1.957	9.4
XI 7	8 33.0	16 43	1.582	1.977	9.3
17	8 42.2	15 31	1.494	1.999	9.1
27	8 48.3	14 26	1.411	2.021	9.0
XII 7	8 51.0	13 31	1.334	2.044	8.8
17	8 49.9	12 50	1.267	2.068	8.6
27	8 45.1	12 23	1.215	2.093	8.4
2011 I 6	8 37.1	12 12	1.182	2.118	8.2

(219) Thusnelda					
Data 2010	α_{2000}	δ_{2000}	Δ	r	m
IX 18	h m 0 55.9	° ' 12 33	0.887	1.852	11.1
28	0 50.5	10 20	0.870	1.862	10.9
X 8	0 44.1	7 51	0.876	1.875	10.6
18	0 38.4	5 23	0.905	1.888	11.0

(46) Hestia					
Data 2010	α_{2000}	δ_{2000}	Δ	r	m
X 18	h m 2 47.9	° ' 13 42	1.187	2.152	11.1
28	2 39.5	12 48	1.175	2.164	10.8
XI 7	2 30.4	11 53	1.188	2.176	10.7
17	2 22.2	11 06	1.227	2.190	11.1

(37) Fides					
Data 2010	α_{2000}	δ_{2000}	Δ	r	m
IX 28	h m 4 32.2	° ' 24 35	1.600	2.210	11.0
X 8	4 37.2	25 07	1.494	2.203	10.8
18	4 38.9	25 35	1.399	2.197	10.6
28	4 37.1	25 56	1.318	2.192	10.4
XI 7	4 31.9	26 09	1.255	2.188	10.1
17	4 23.7	26 11	1.214	2.185	9.9
27	4 13.9	26 02	1.198	2.183	9.6
XII 7	4 03.9	25 44	1.208	2.182	9.8
17	3 55.4	25 21	1.243	2.182	10.0
27	3 49.6	24 58	1.300	2.184	10.3
2011 I 6	3 47.4	24 41	1.378	2.186	10.5

(44) Nysa					
Data 2010	α_{2000}	δ_{2000}	Δ	r	m
X 18	h m 8 40.3	° ' 16 22	2.076	2.075	11.0
28	8 56.9	15 23	1.963	2.072	10.9
XI 7	9 12.0	14 25	1.849	2.069	10.8
17	9 25.6	13 31	1.736	2.068	10.7
27	9 37.2	12 45	1.624	2.067	10.5
XII 7	9 46.5	12 10	1.515	2.067	10.3
17	9 53.3	11 51	1.413	2.069	10.1
27	9 57.0	11 49	1.320	2.071	9.9
2011 I 6	9 57.5	12 08	1.239	2.075	9.7

(386) Siegena					
Data 2010	α_{2000}	δ_{2000}	Δ	r	m
IX 28	h m 2 50.5	° ' - 4 50	1.531	2.394	11.1
X 8	2 47.6	- 7 10	1.484	2.395	10.9
18	2 42.5	- 9 22	1.461	2.396	10.8
28	2 35.8	-11 16	1.461	2.398	10.8
XI 7	2 28.6	-12 41	1.486	2.401	10.9
17	2 22.1	-13 31	1.535	2.405	11.1

(25) Phocaea					
Data 2010	α_{2000}	δ_{2000}	Δ	r	m
X 18	h m 3 26.0	° ' 14 09	1.391	2.314	11.1
28	3 17.4	11 44	1.375	2.343	10.9
XI 7	3 07.7	9 20	1.387	2.372	10.8
17	2 58.0	7 08	1.428	2.401	11.0

(23) Thalia						
Data 2010	α_{2000}	δ_{2000}	Δ	r	m	
X 28	h m 8 04.7	° ' 25 16	1.738	2.094	11.0	
XI 7	8 18.2	25 39	1.615	2.079	10.8	
17	8 30.4	26 12	1.499	2.065	10.6	
27	8 40.2	26 60	1.389	2.053	10.4	
XII 7	8 47.1	28 05	1.290	2.043	10.1	
17	8 50.5	29 27	1.204	2.034	9.9	
27	8 50.3	31 05	1.134	2.026	9.6	
2011 I 6	8 46.1	32 50	1.084	2.020	9.4	

(3) Juno						
Data 2010	α_{2000}	δ_{2000}	Δ	r	m	
XII 7	h m 11 28.1	° ' - 1 24	2.475	2.521	10.2	
17	11 37.2	- 2 02	2.368	2.549	10.1	
27	11 44.5	- 2 28	2.259	2.576	10.0	
2011 I 6	11 49.7	- 2 37	2.151	2.604	9.9	

(28) Bellona						
Data 2010	α_{2000}	δ_{2000}	Δ	r	m	
XI 27	h m 7 58.3	° ' 11 03	1.701	2.400	11.1	
XII 7	7 58.2	10 59	1.599	2.393	10.9	
17	7 55.2	11 11	1.514	2.387	10.7	
27	7 49.6	11 41	1.449	2.381	10.4	
2011 I 6	7 41.8	12 26	1.408	2.375	10.2	

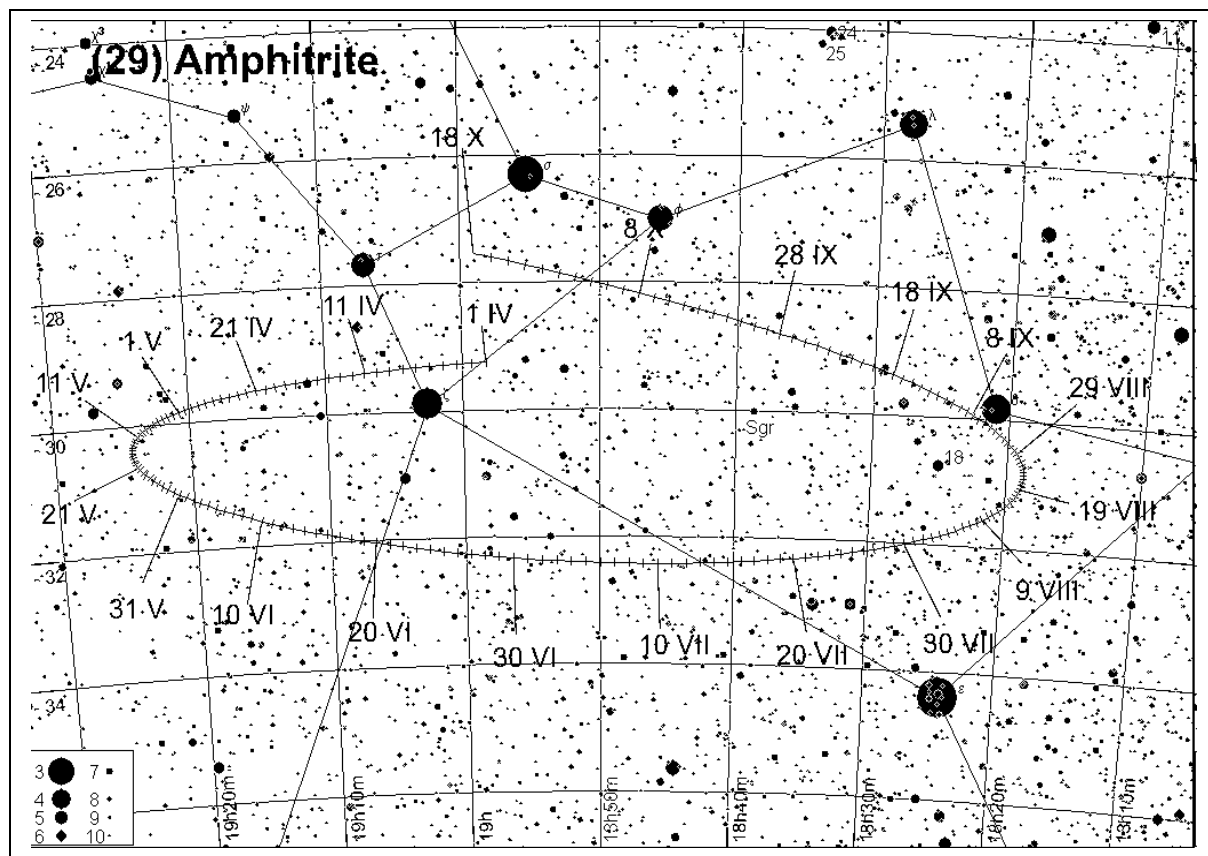
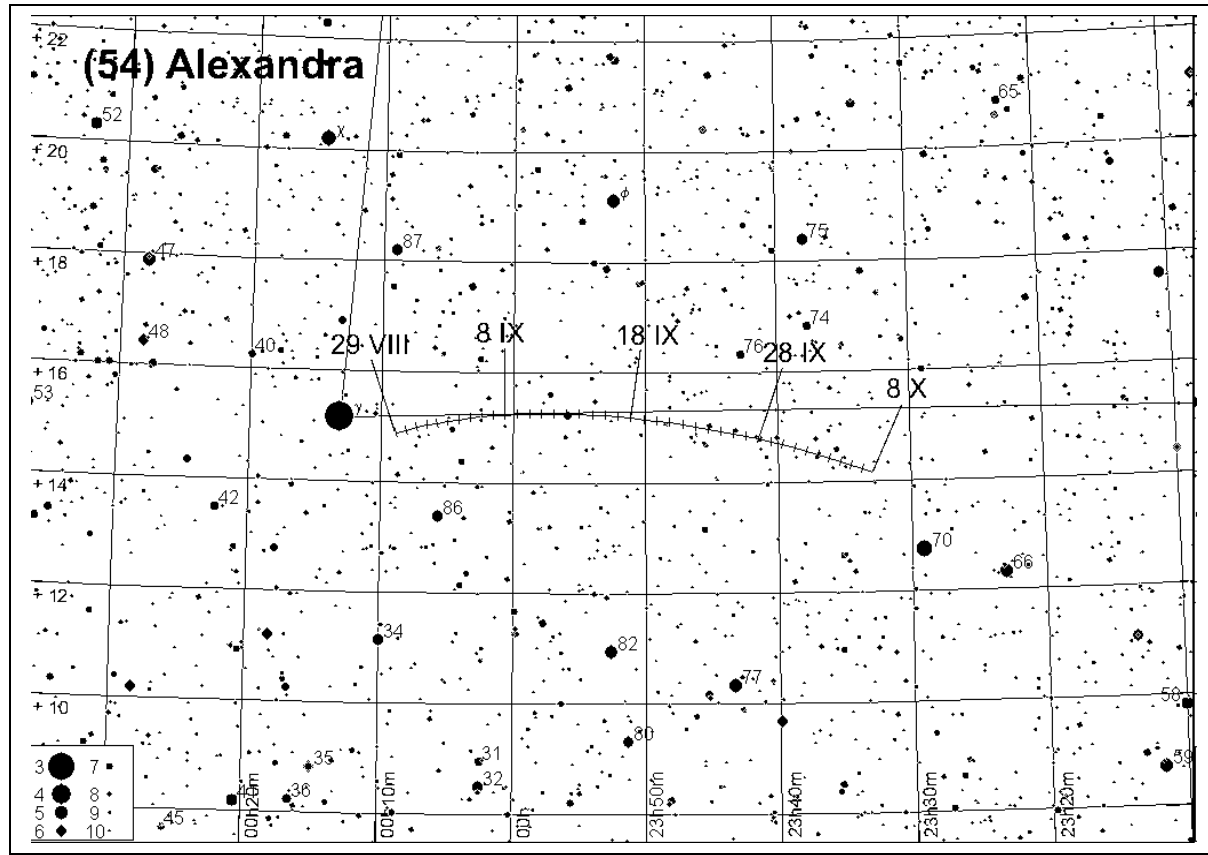
(747) Winchester						
Data 2010	α_{2000}	δ_{2000}	Δ	r	m	
XII 17	h m 8 00.7	° ' 7 46	1.397	2.256	11.0	
27	7 54.3	9 09	1.365	2.288	10.9	
2011 I 6	7 45.8	10 53	1.357	2.320	10.7	

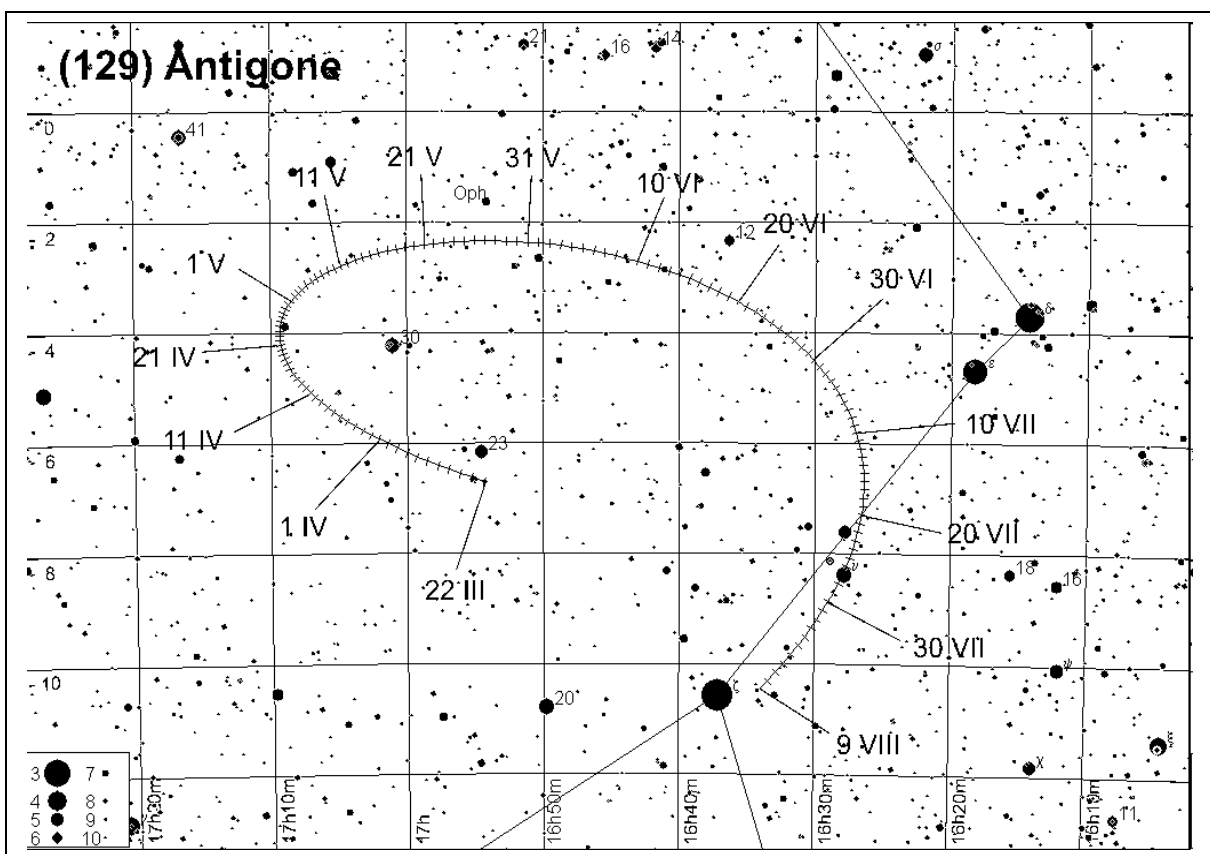
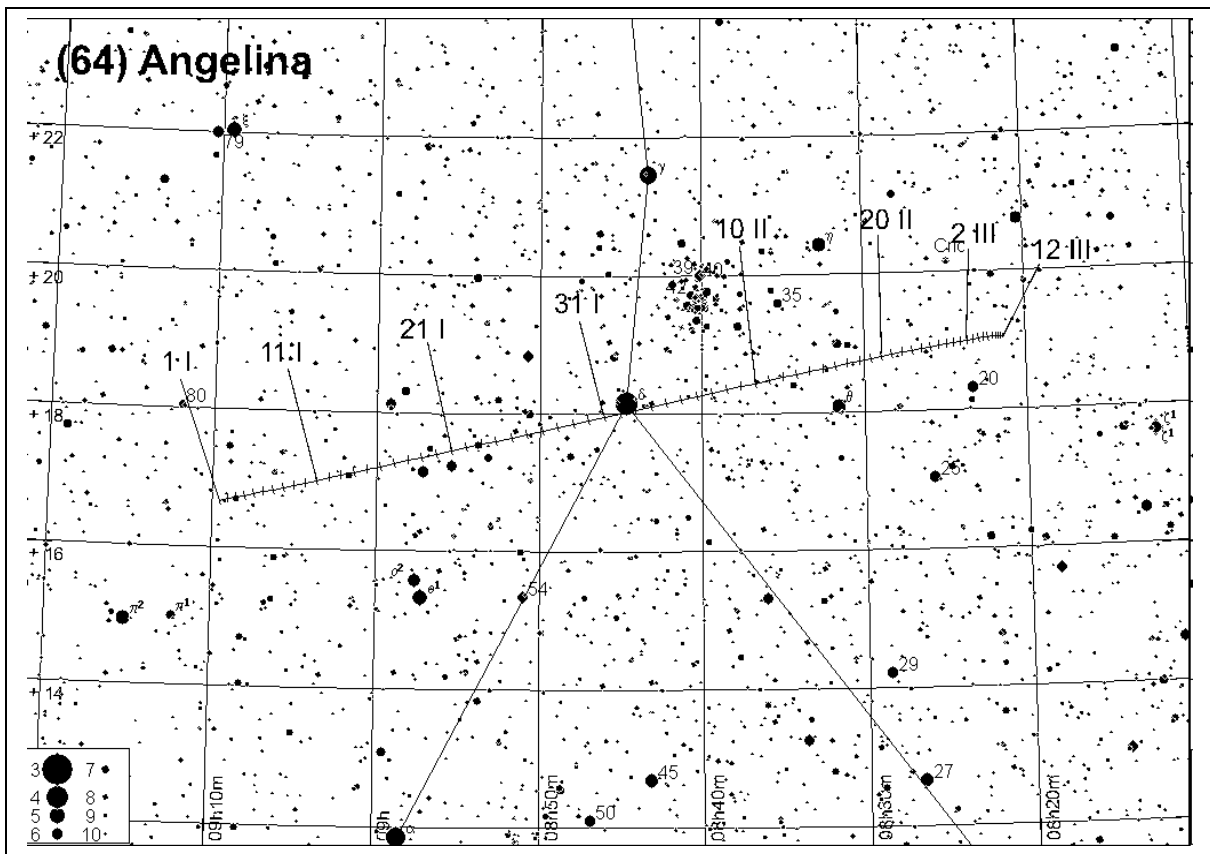
(78) Diana						
Data 2010	α_{2000}	δ_{2000}	Δ	r	m	
XI 27	h m 5 06.2	° ' 37 59	1.286	2.236	11.0	
XII 7	4 54.9	37 52	1.253	2.218	10.9	
17	4 43.2	37 21	1.245	2.202	10.9	
27	4 33.2	36 29	1.262	2.186	11.1	

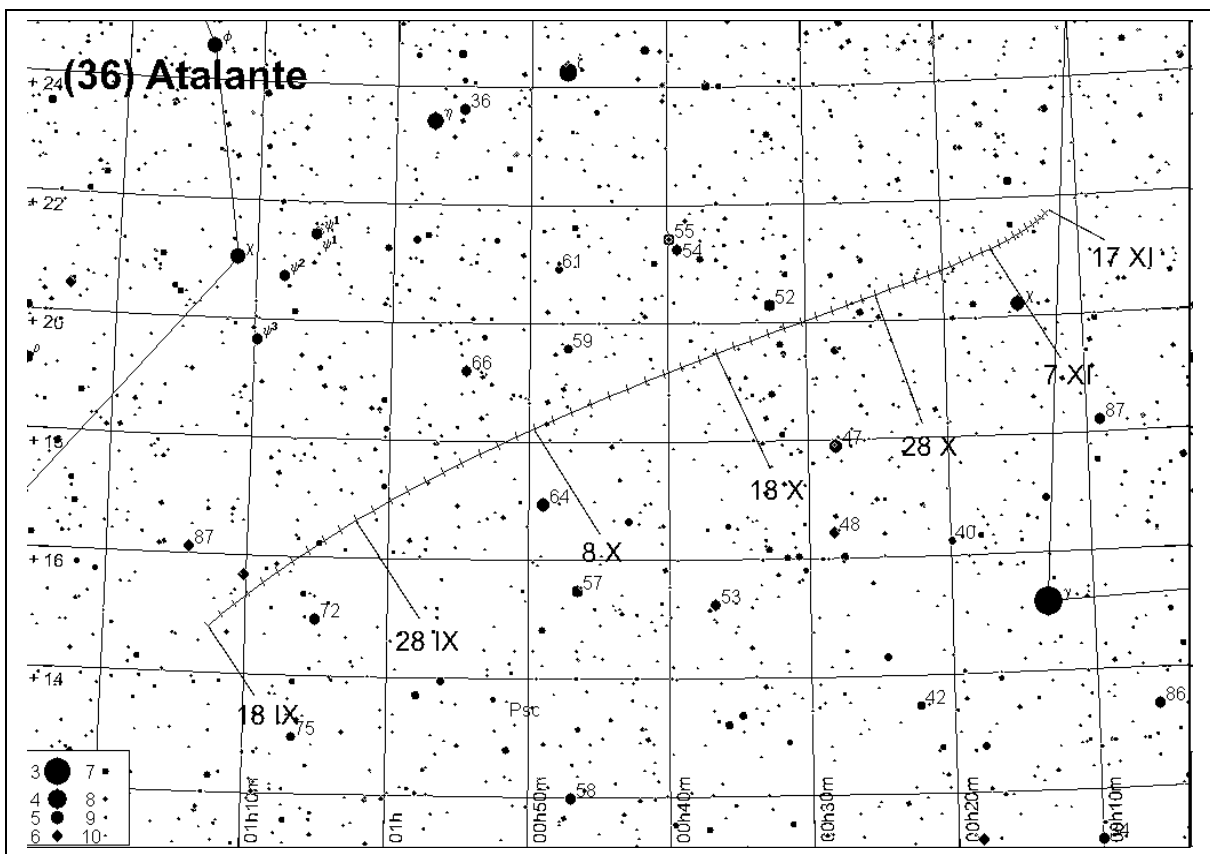
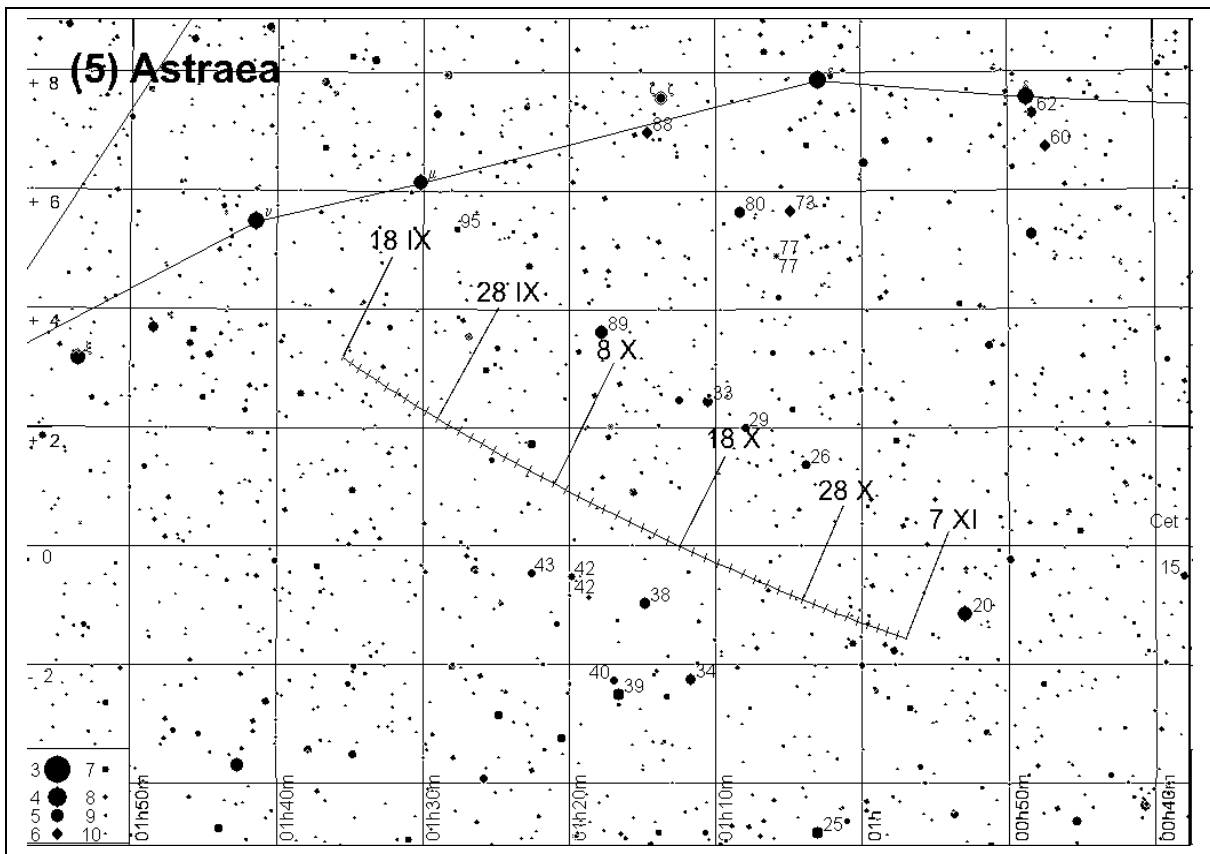
(675) Ludmilla						
Data 2010	α_{2000}	δ_{2000}	Δ	r	m	
XI 27	h m 6 09.3	° ' 24 16	1.328	2.248	11.0	
XII 7	6 01.1	23 23	1.294	2.258	10.7	
17	5 51.3	22 25	1.286	2.269	10.4	
27	5 41.3	21 27	1.304	2.280	10.6	
2011 I 6	5 32.8	20 33	1.350	2.293	11.0	

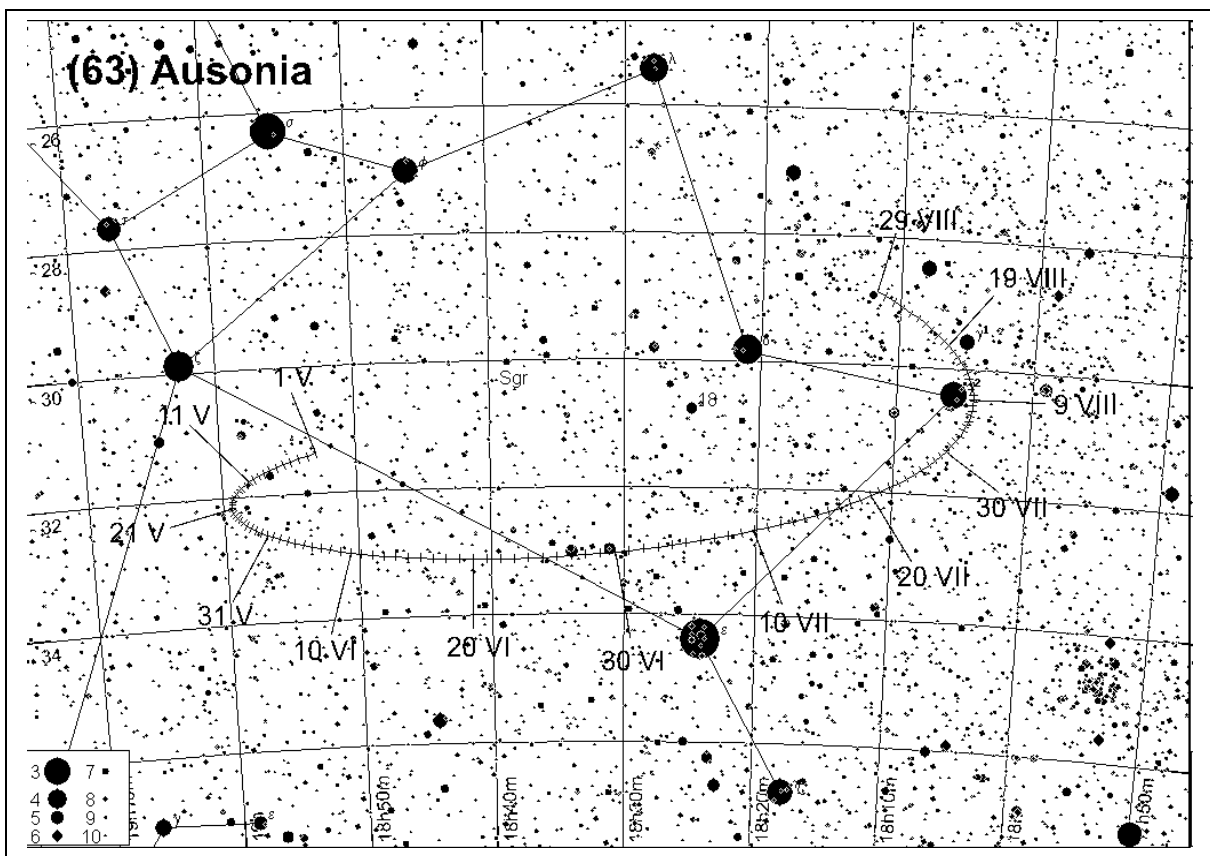
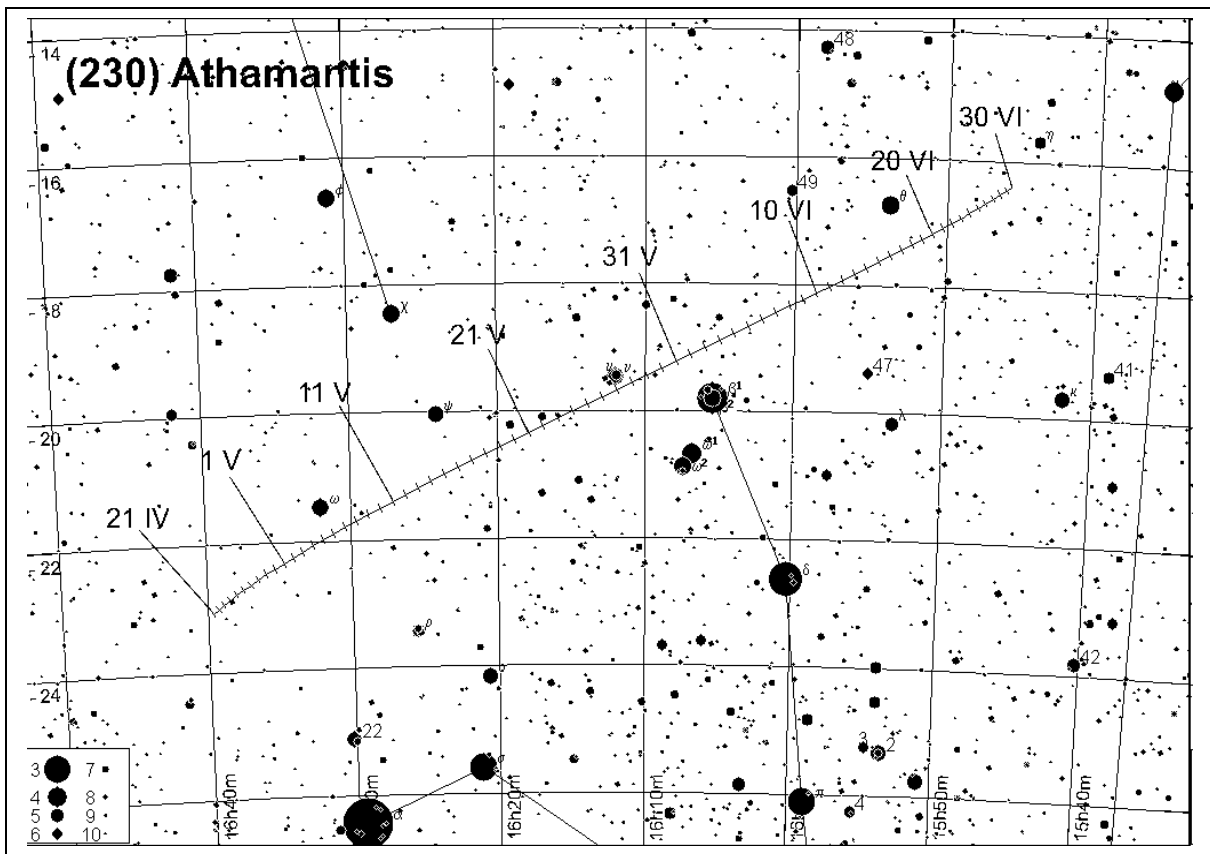
(20) Massalia						
Data 2010	α_{2000}	δ_{2000}	Δ	r	m	
XI 27	h m 11 08.8	° ' 4 46	2.094	2.120	10.8	
XII 7	11 22.4	3 19	1.987	2.130	10.7	
17	11 34.4	2 00	1.879	2.140	10.6	
27	11 44.6	0 53	1.771	2.152	10.5	
2011 I 6	11 52.6	- 0 00	1.665	2.163	10.3	

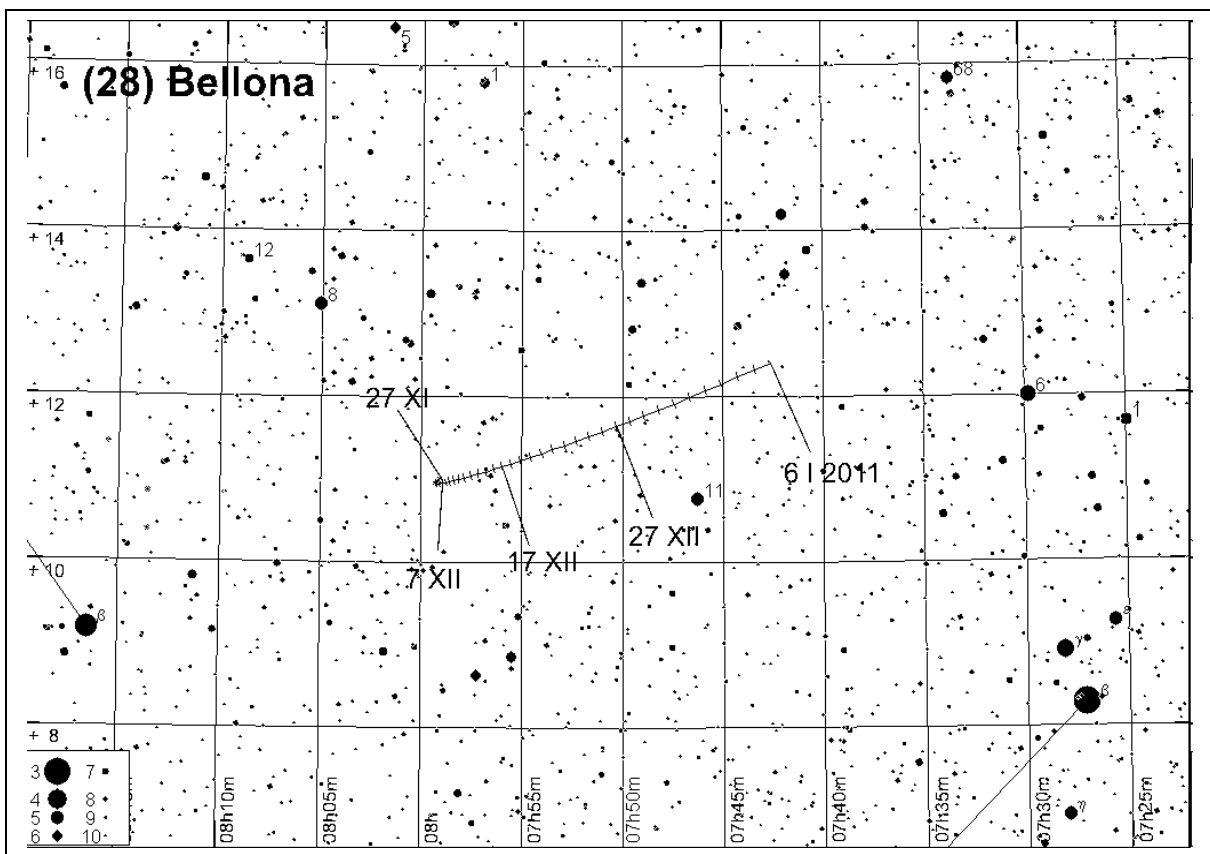
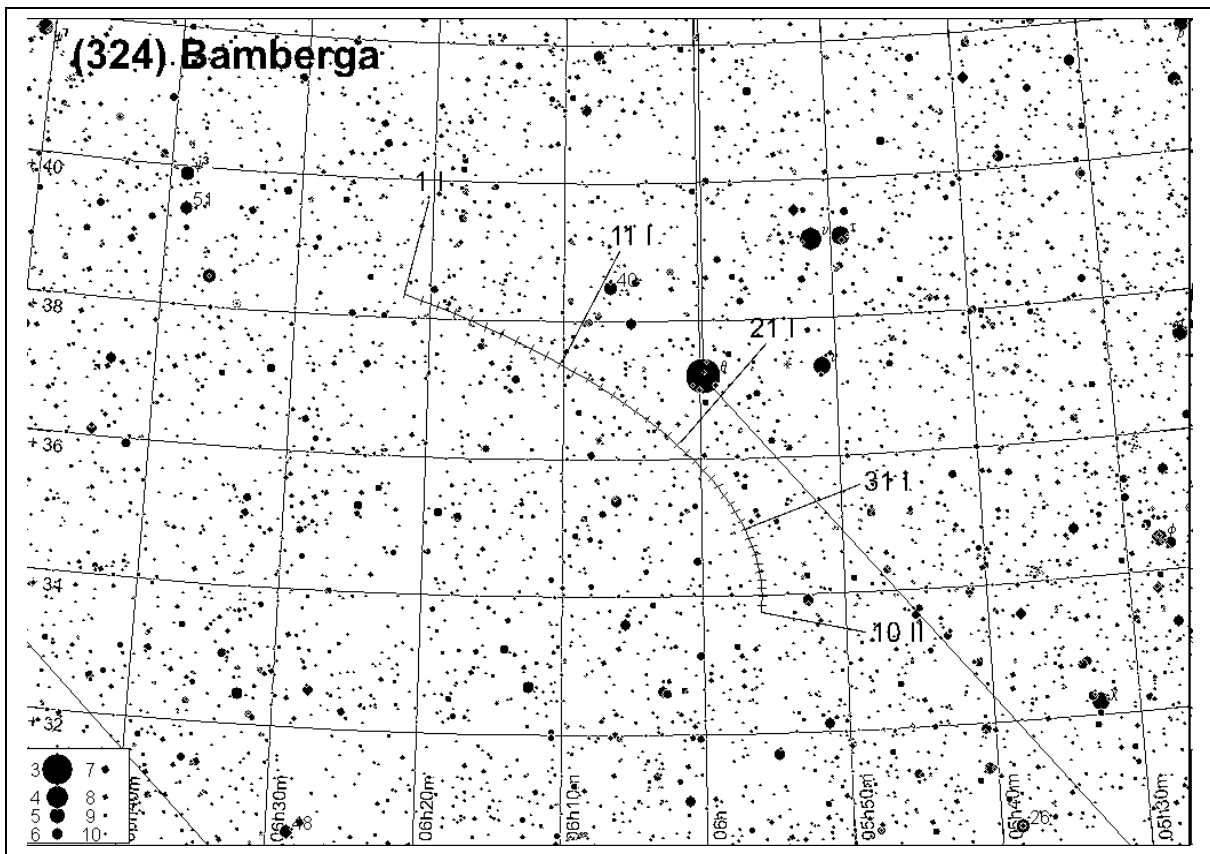
(563) Suleika						
Data 2010	α_{2000}	δ_{2000}	Δ	r	m	
XI 27	h m 5 38.2	° ' 20 03	1.138	2.090	11.0	
XII 7	5 29.0	21 04	1.117	2.097	10.7	
17	5 18.7	22 07	1.122	2.105	10.6	
27	5 09.	23 07	1.153	2.114	11.0	

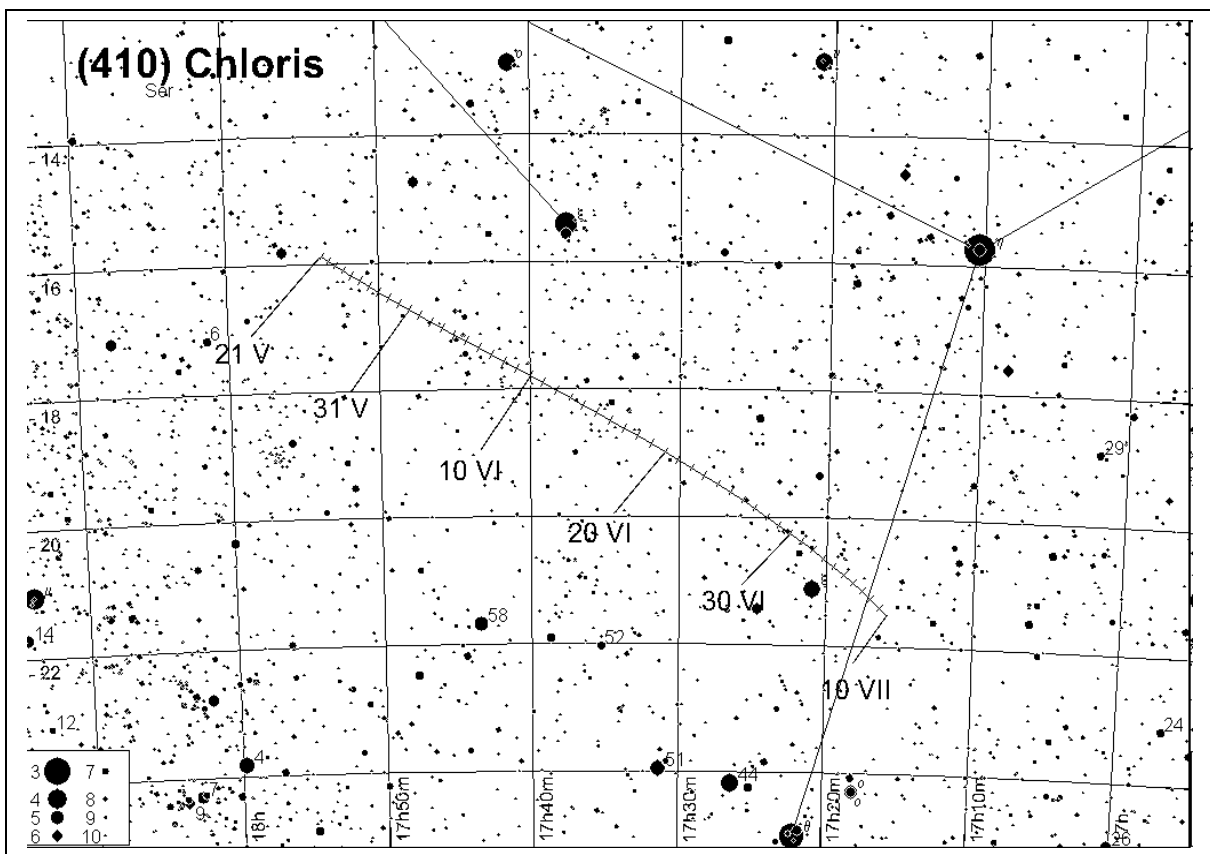
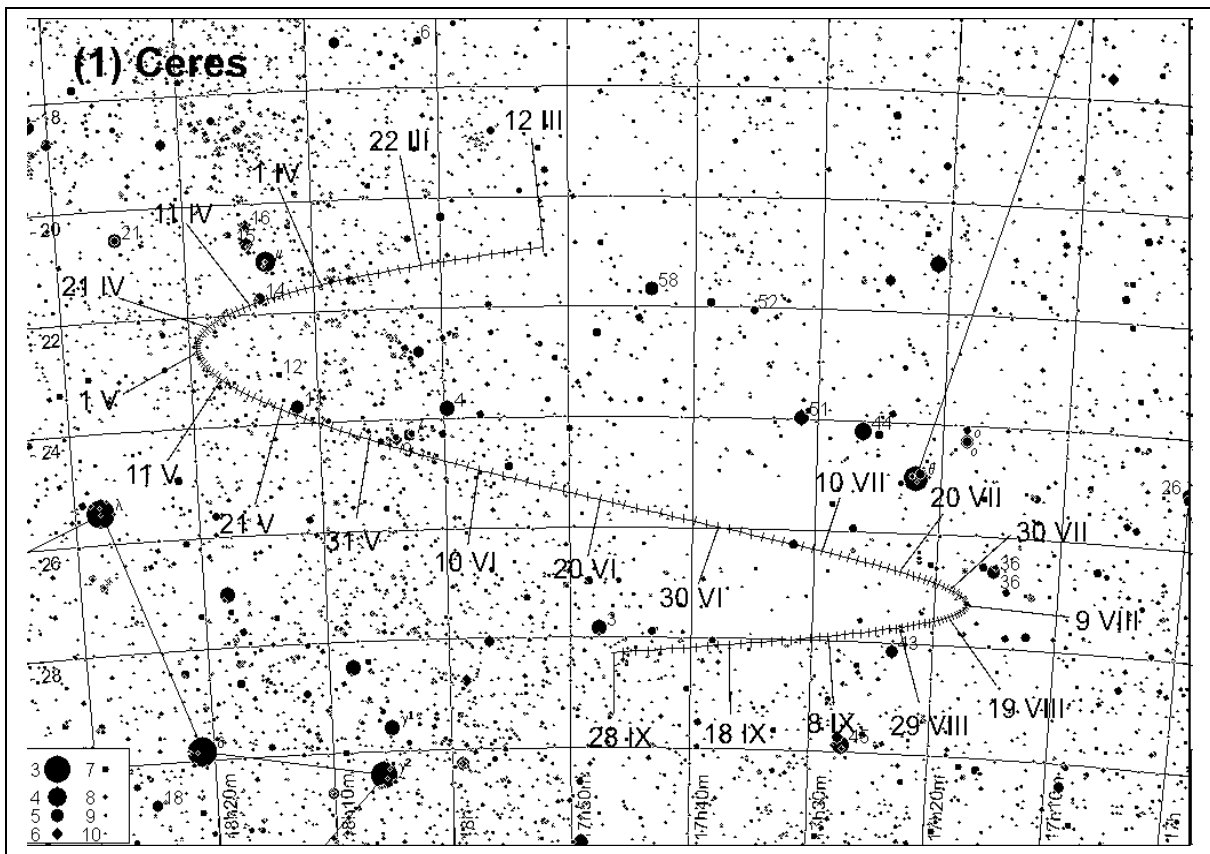


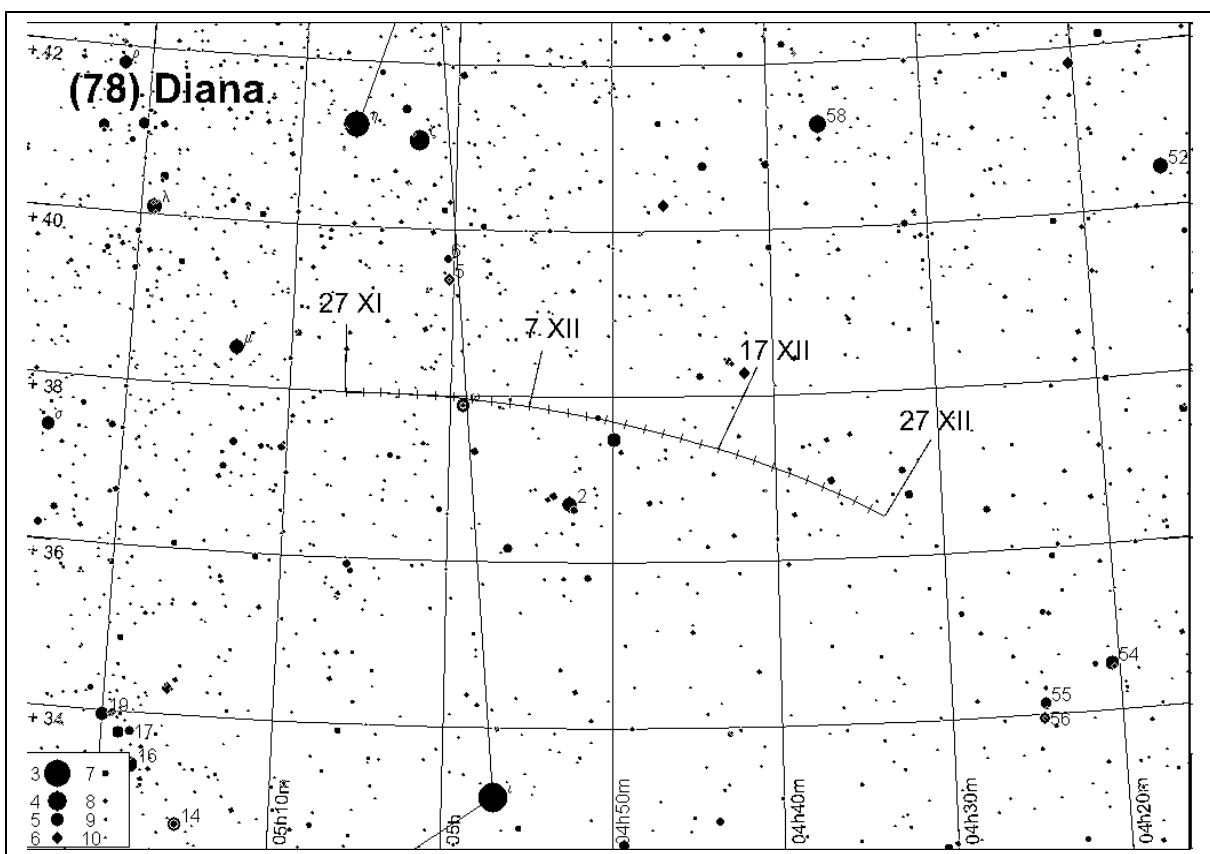
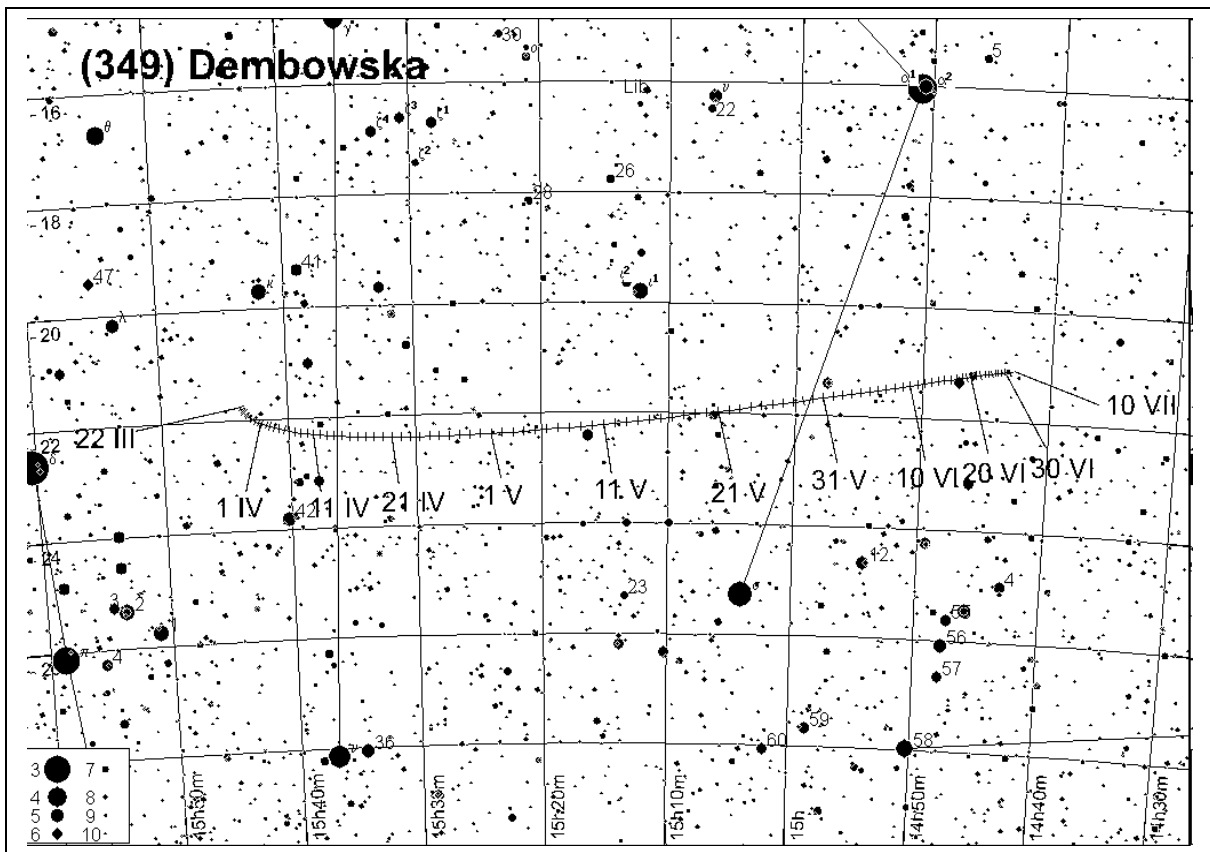


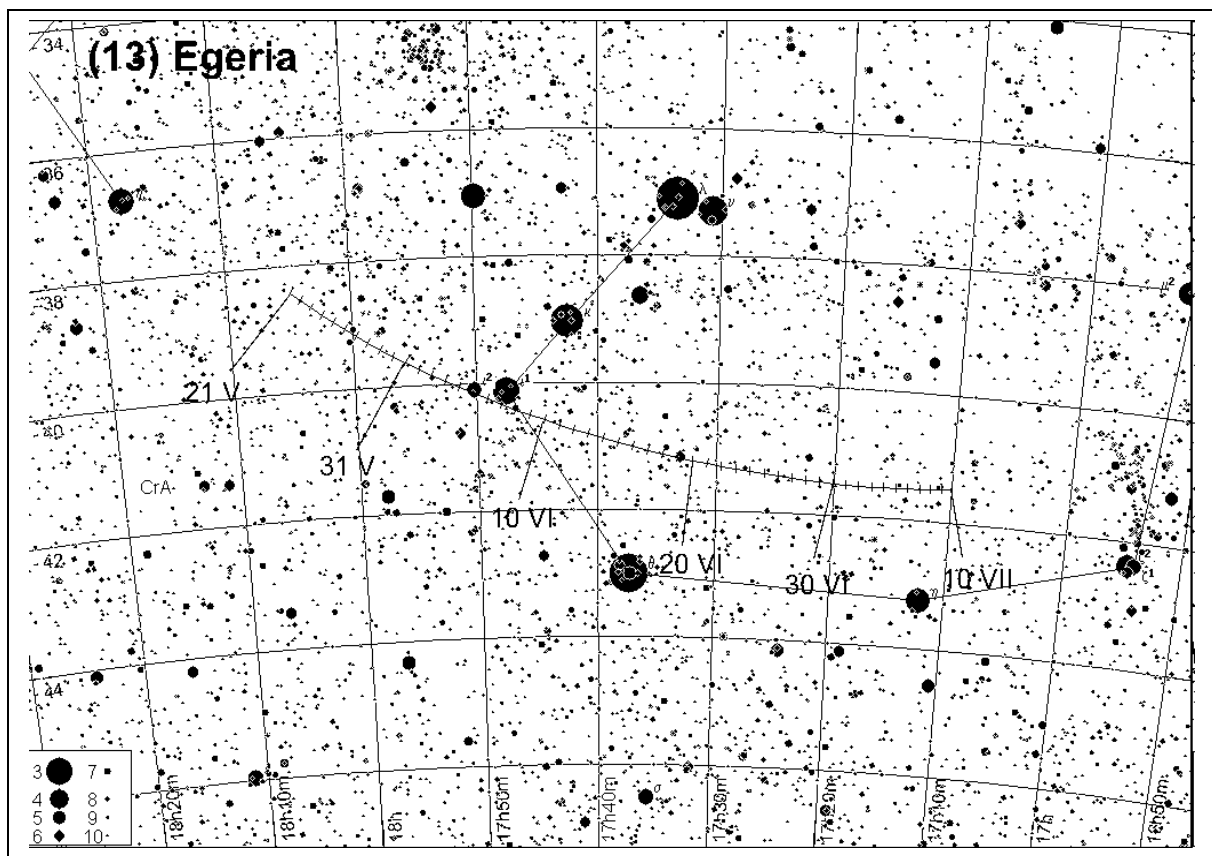
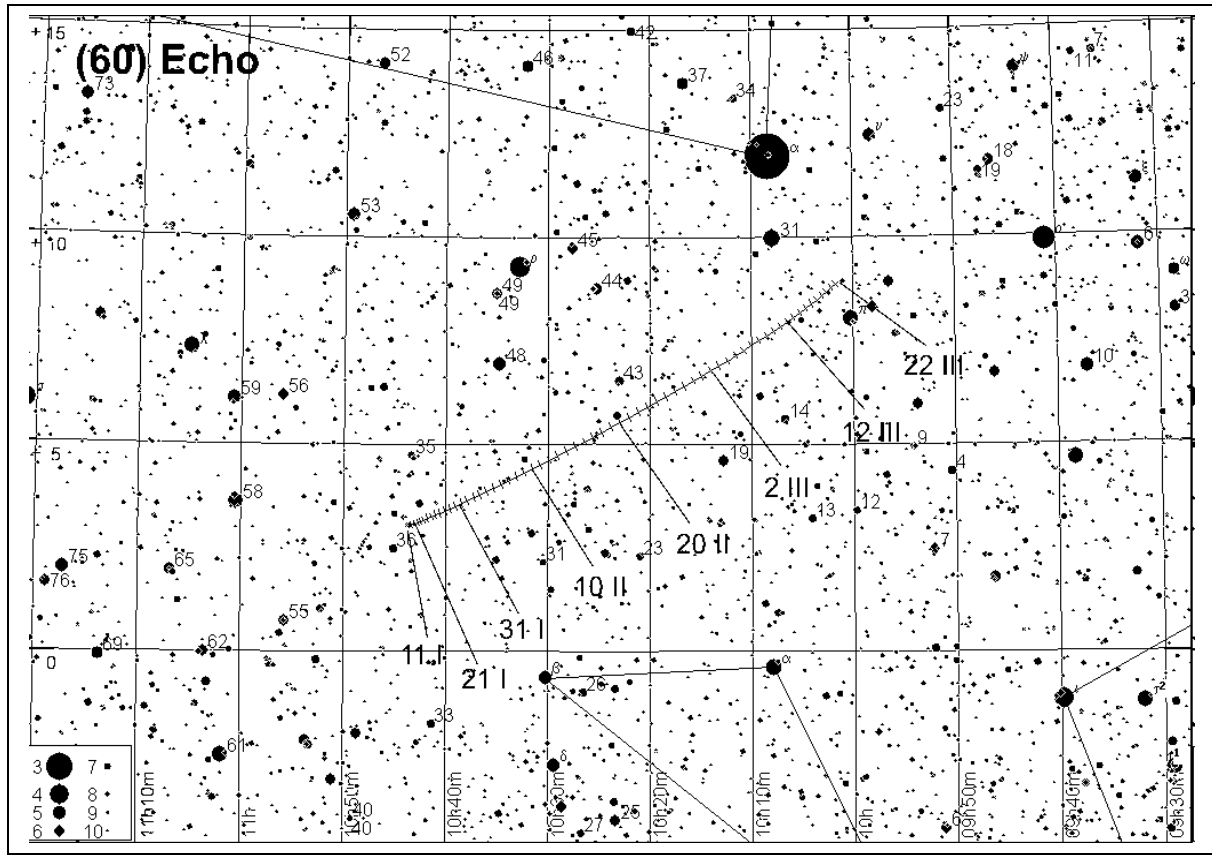


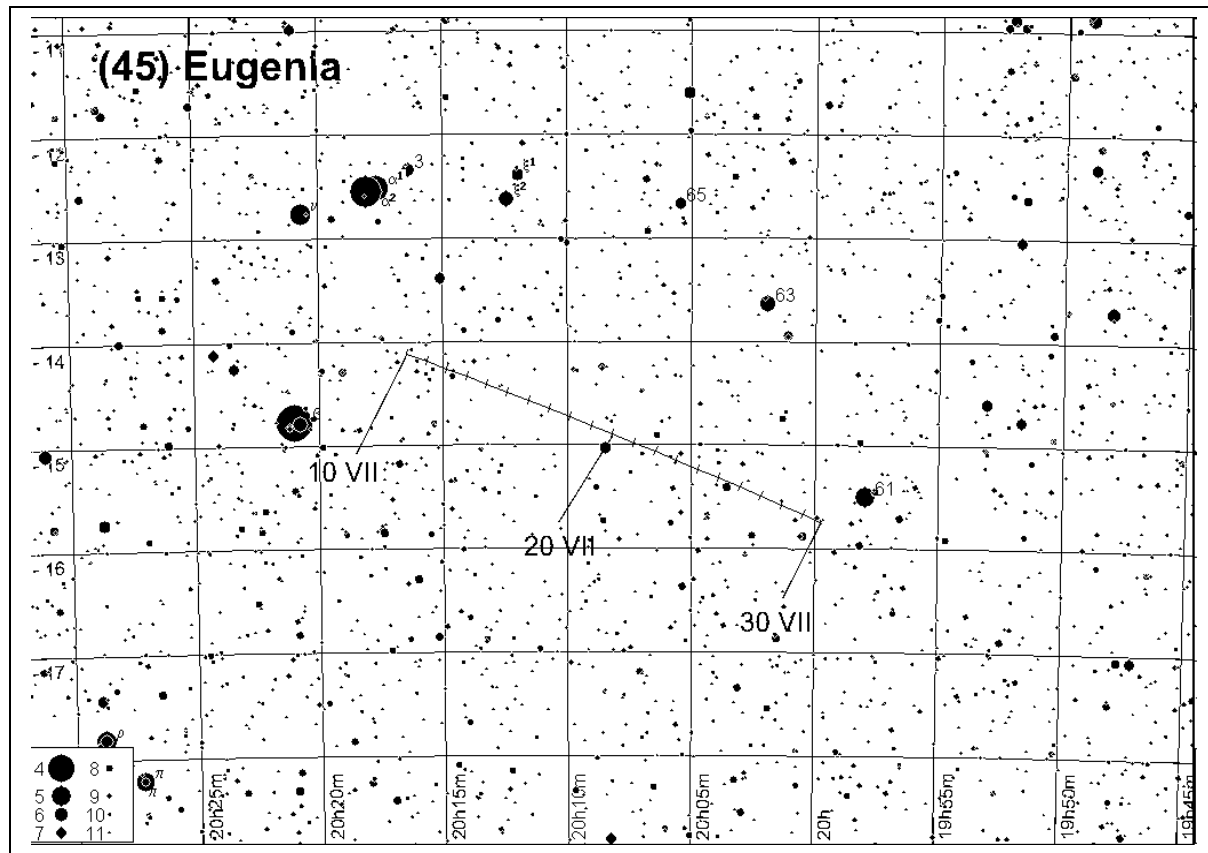
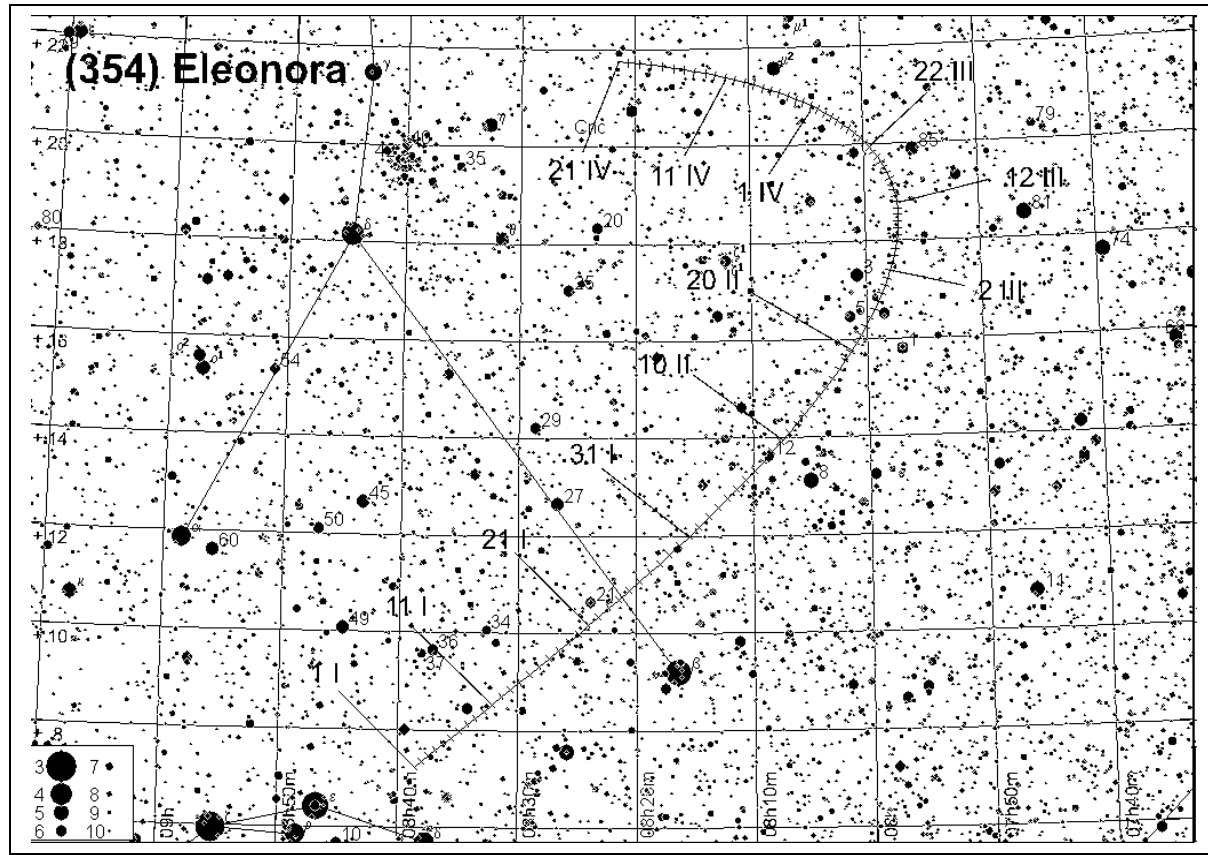


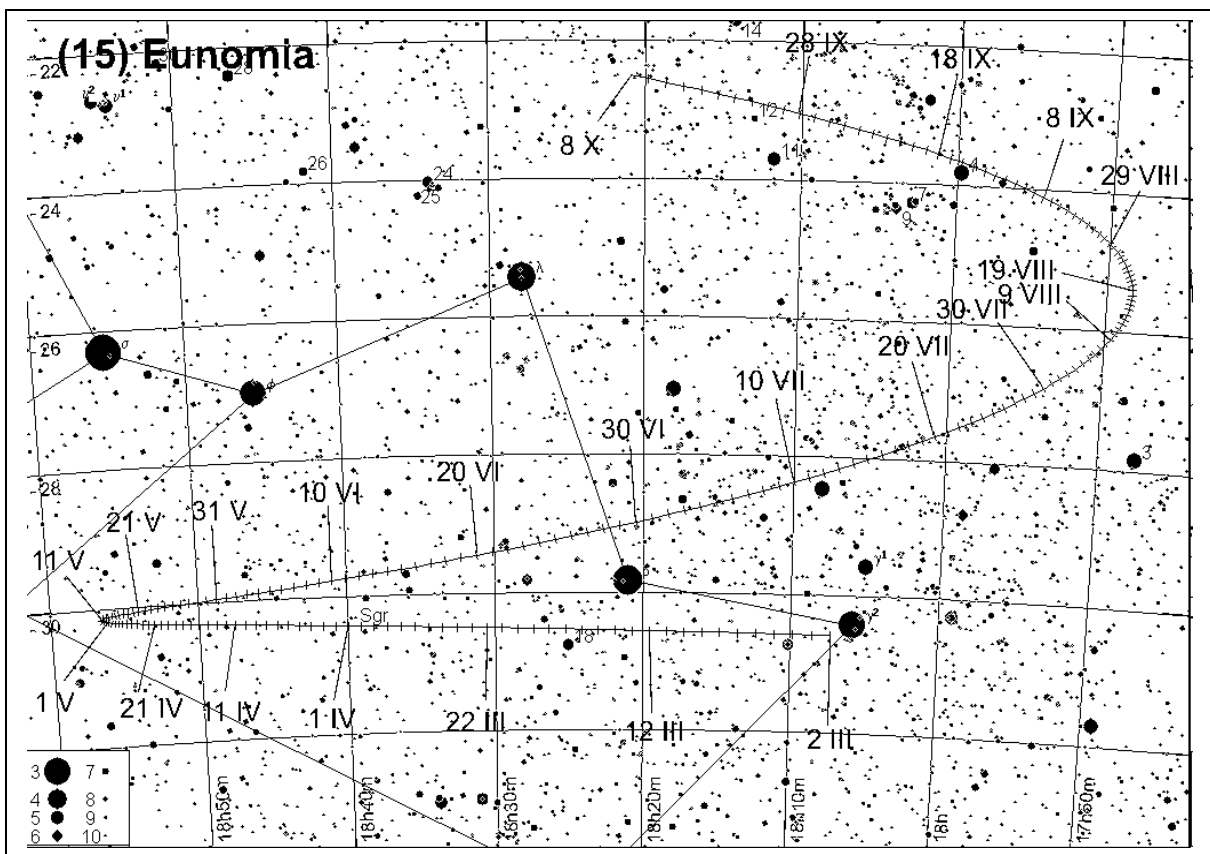
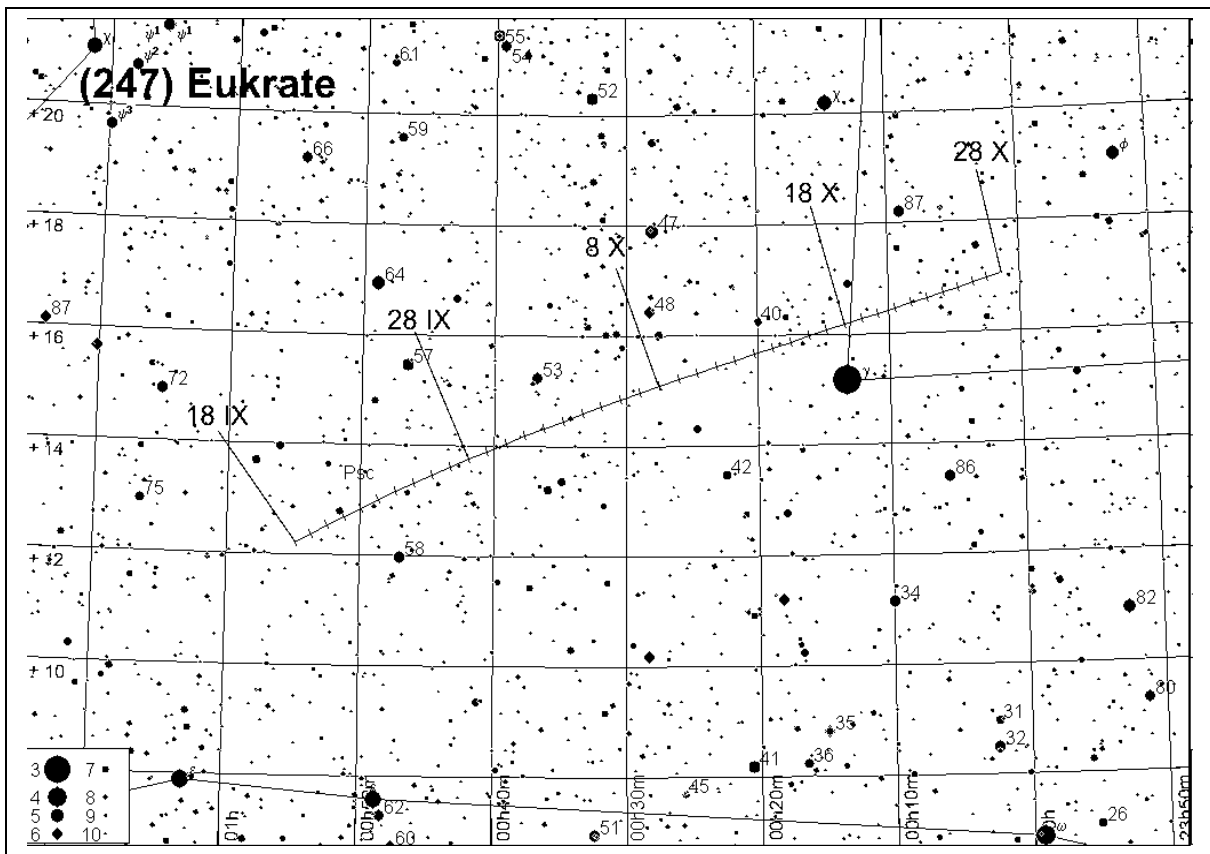


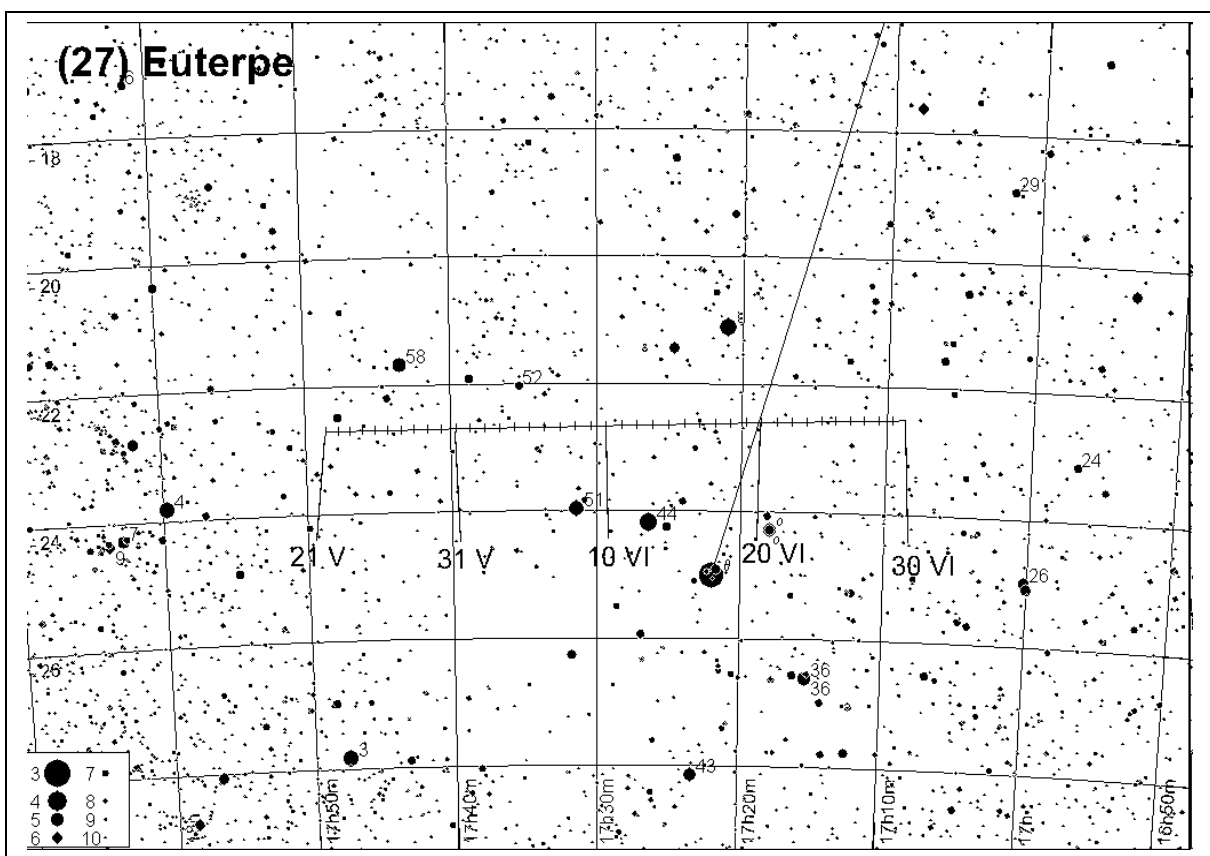
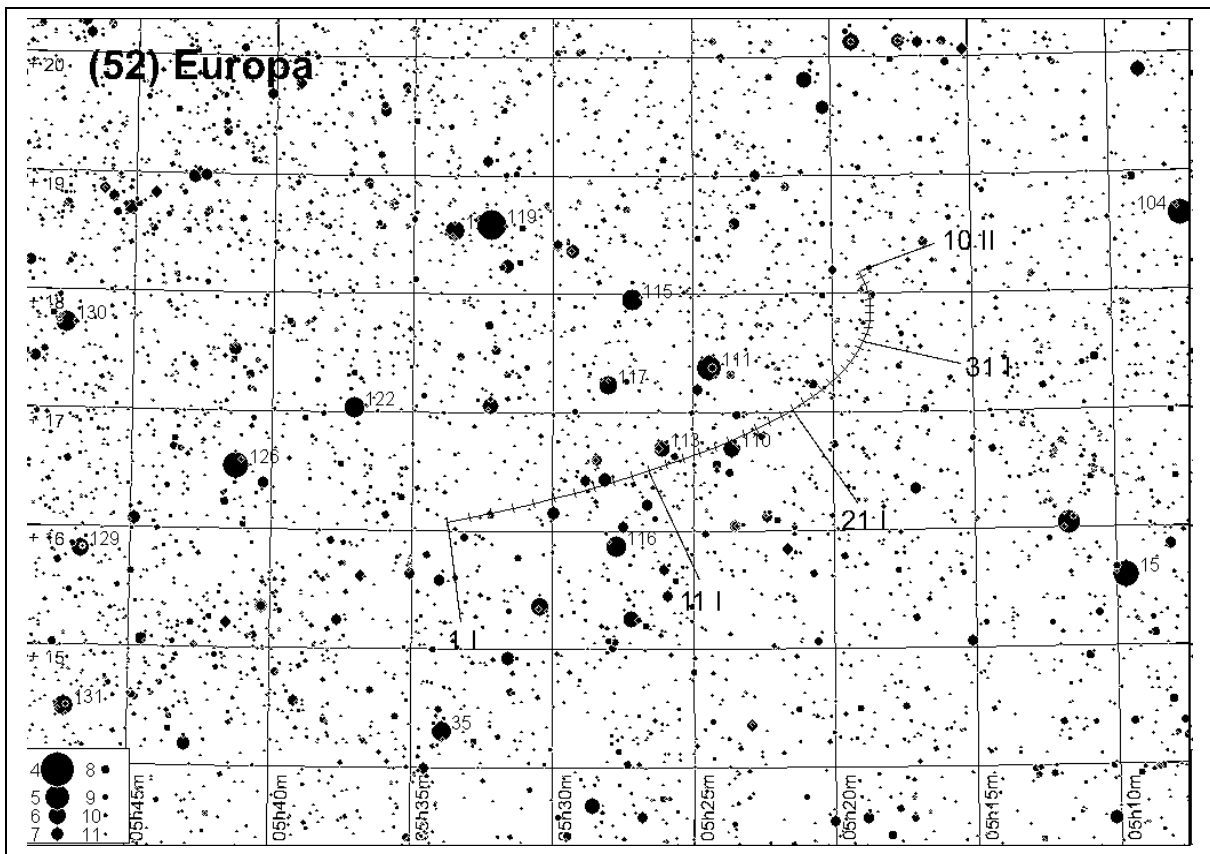


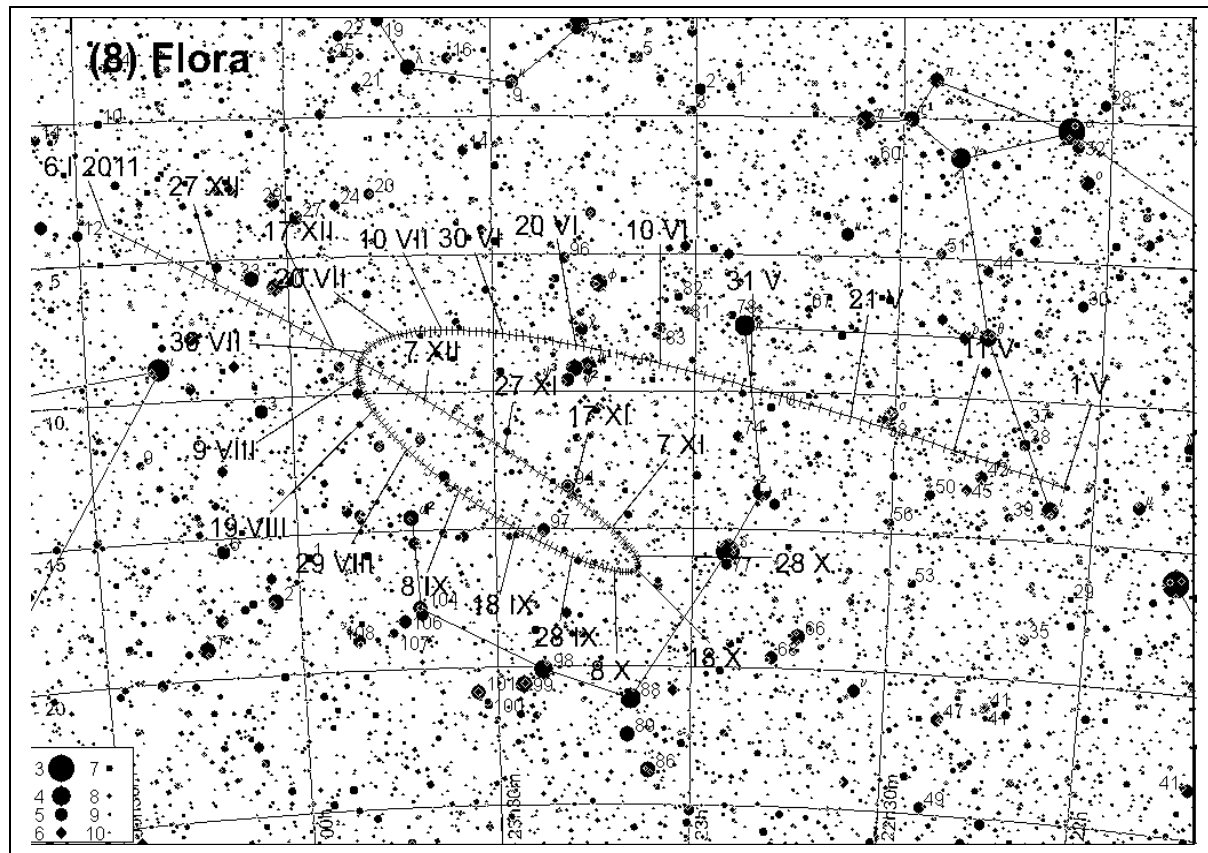
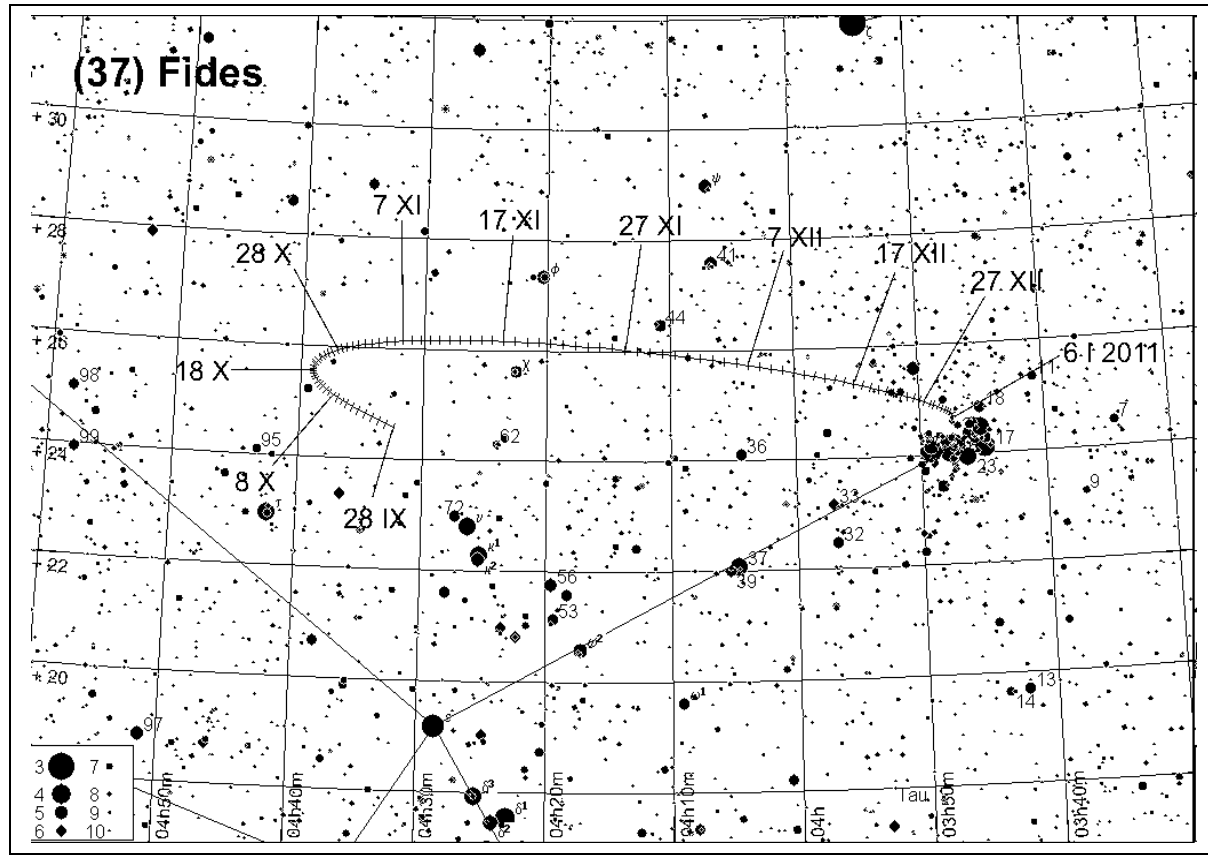


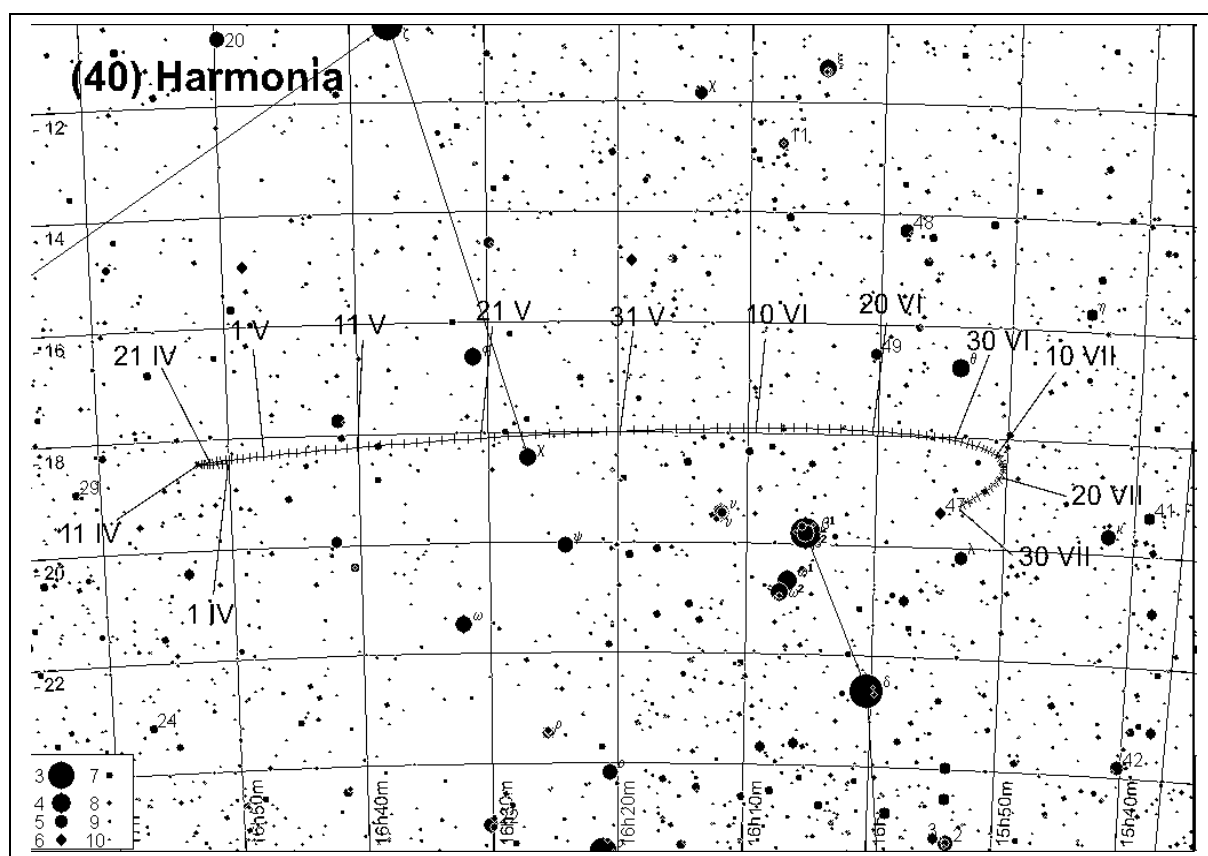
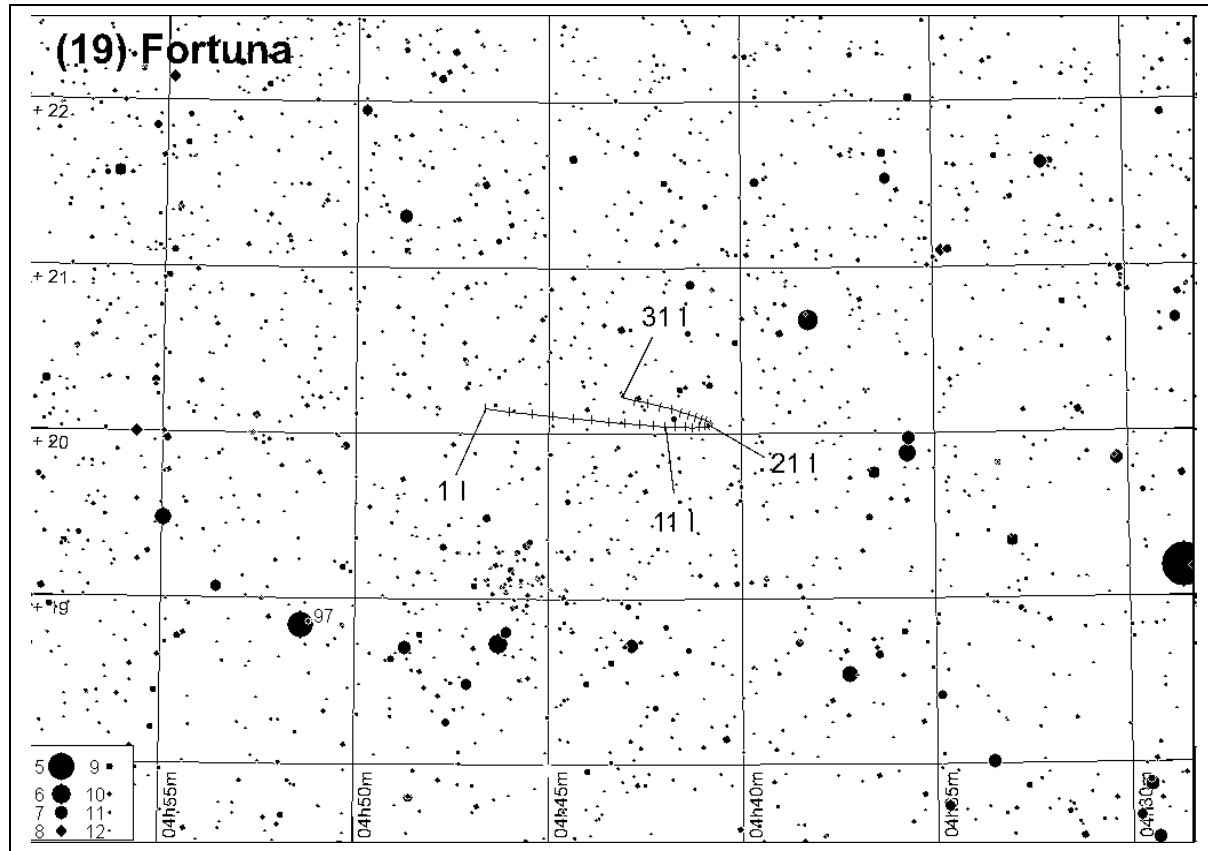


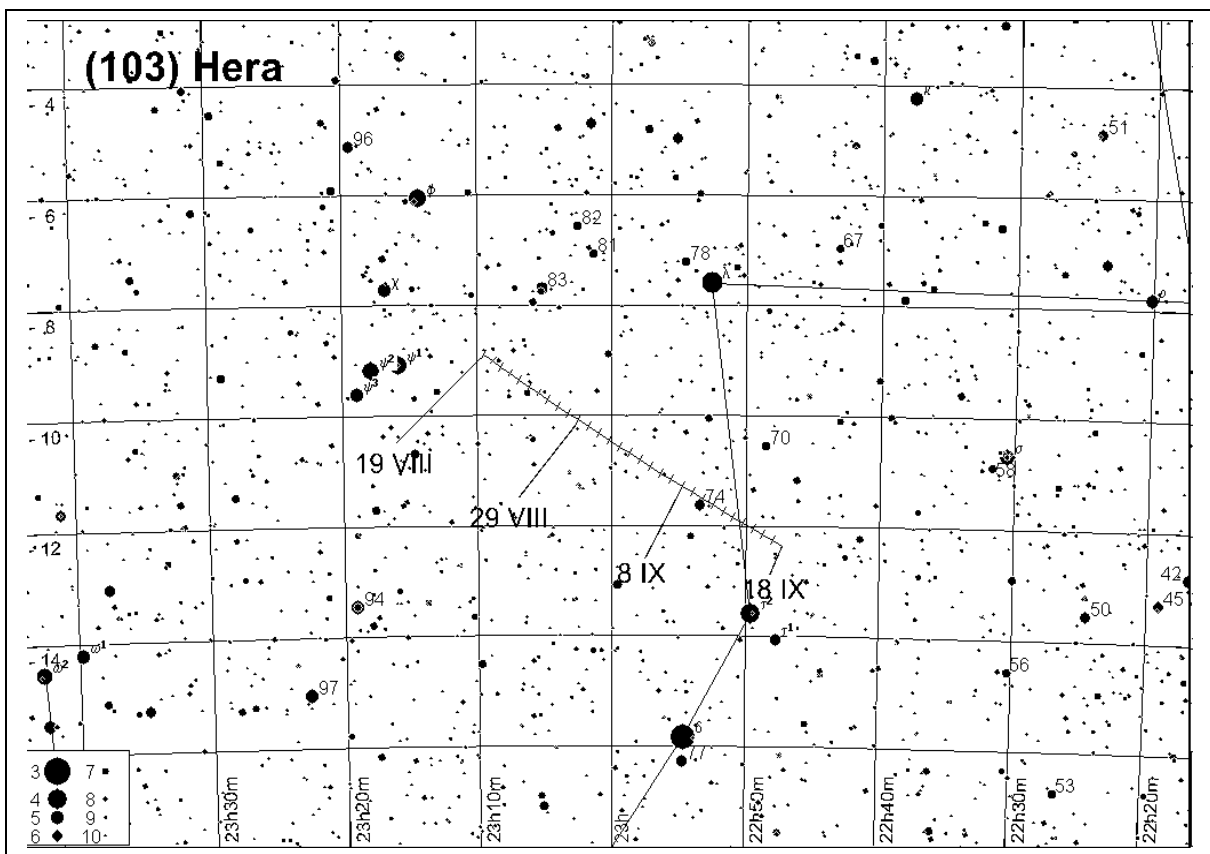
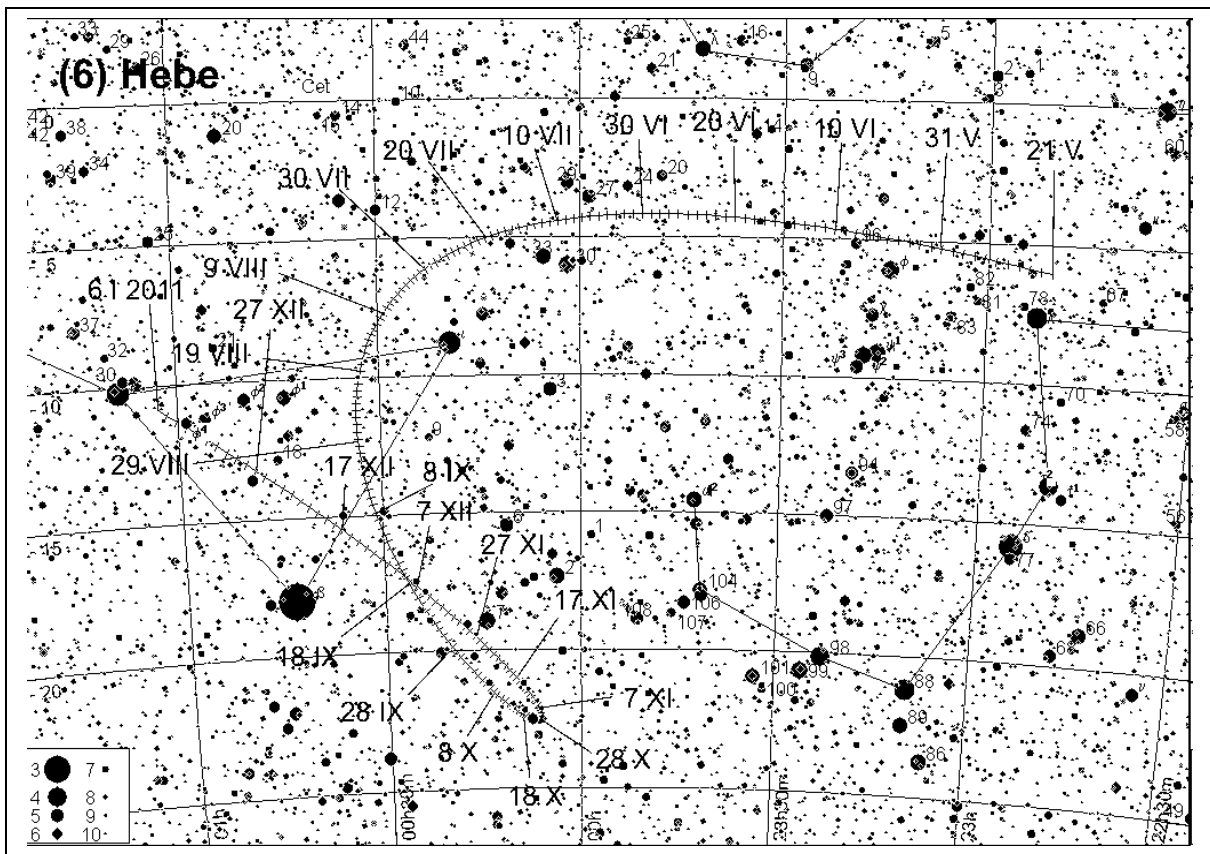


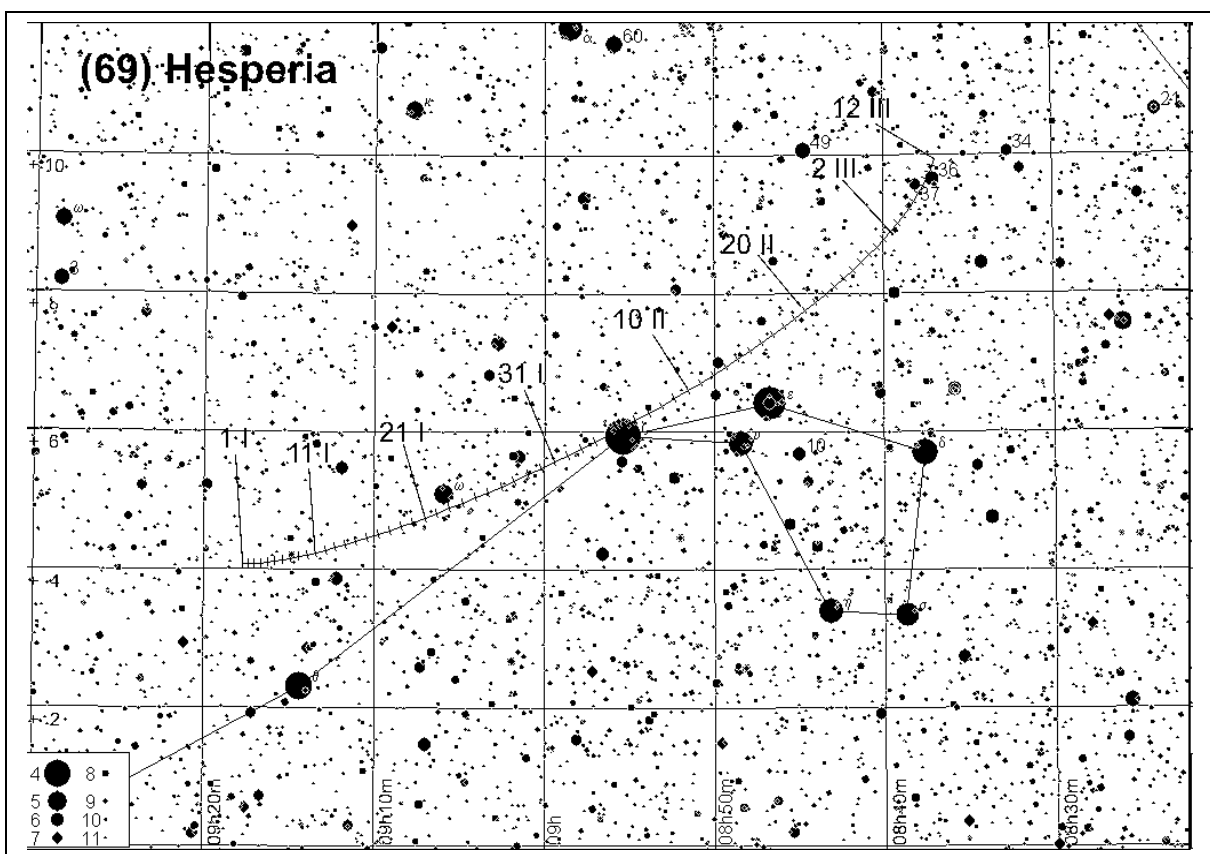
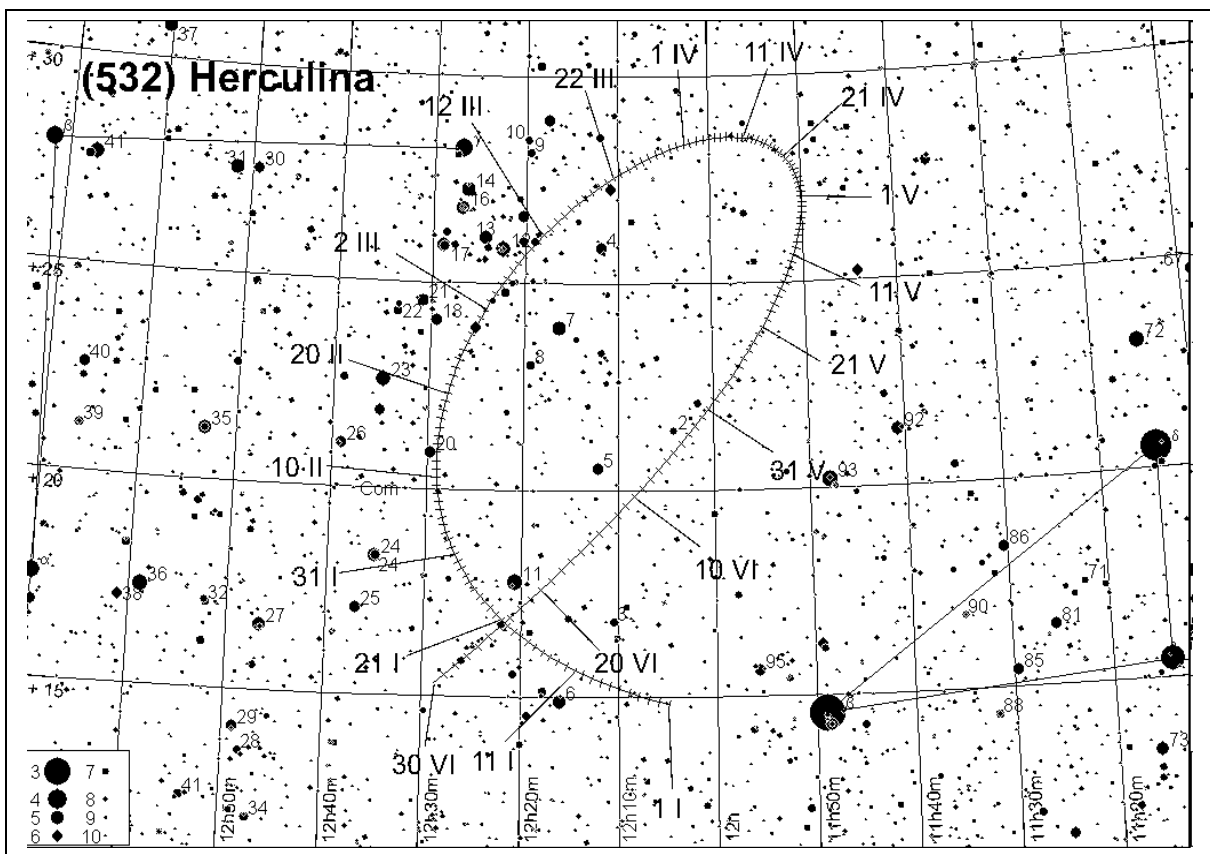


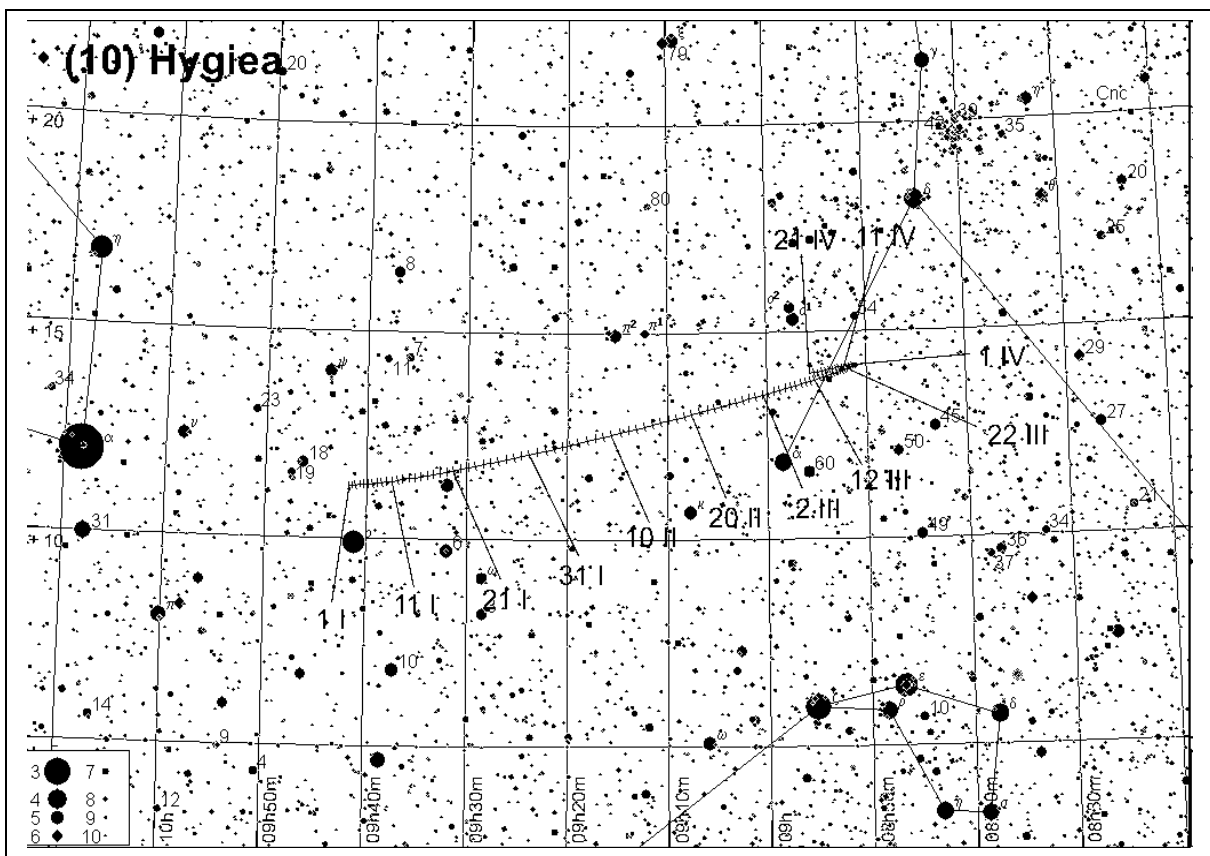
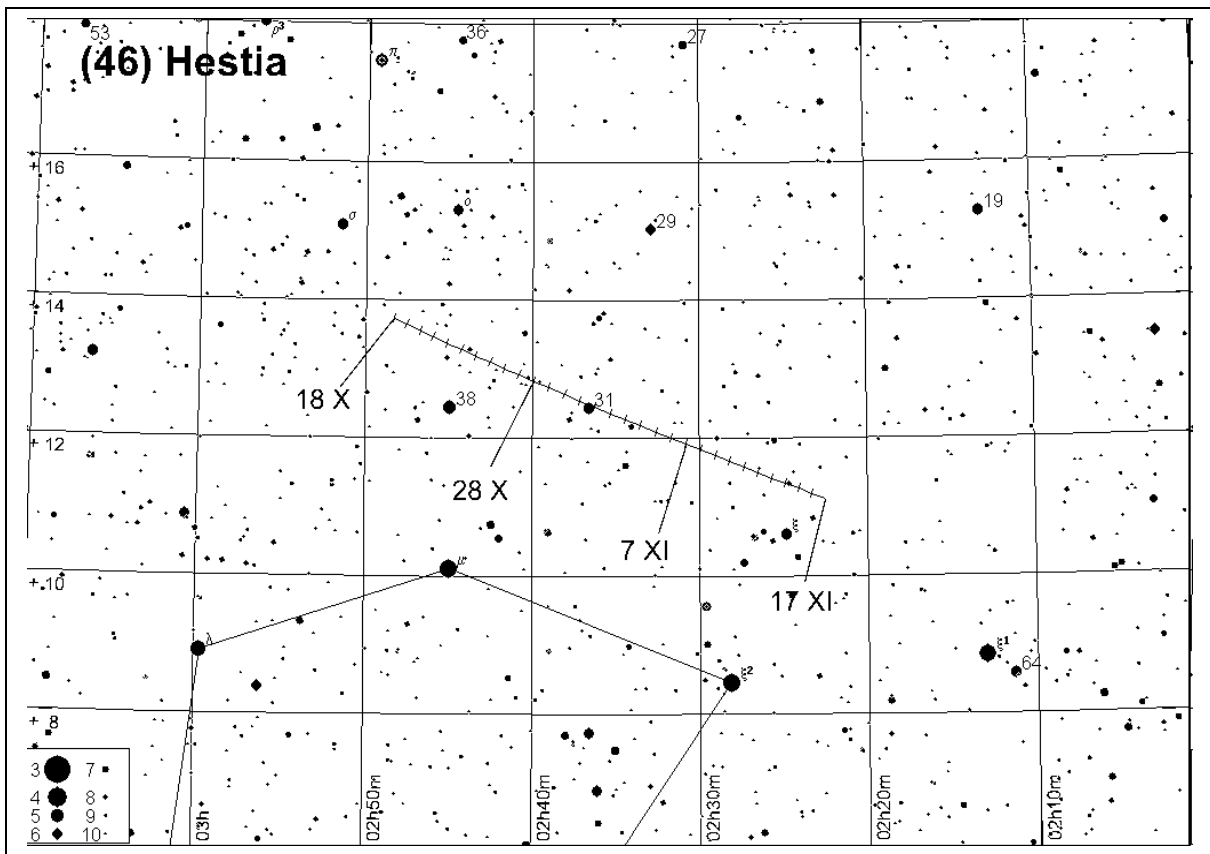


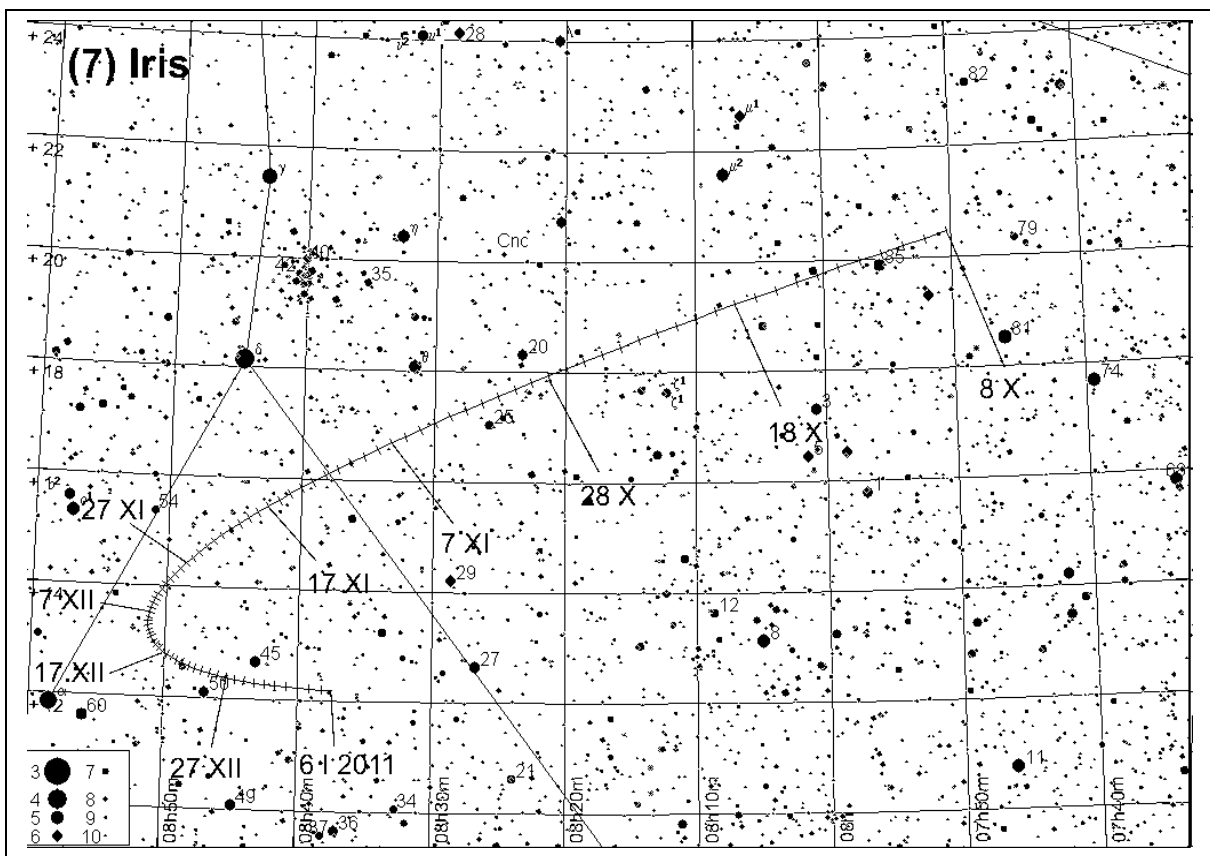
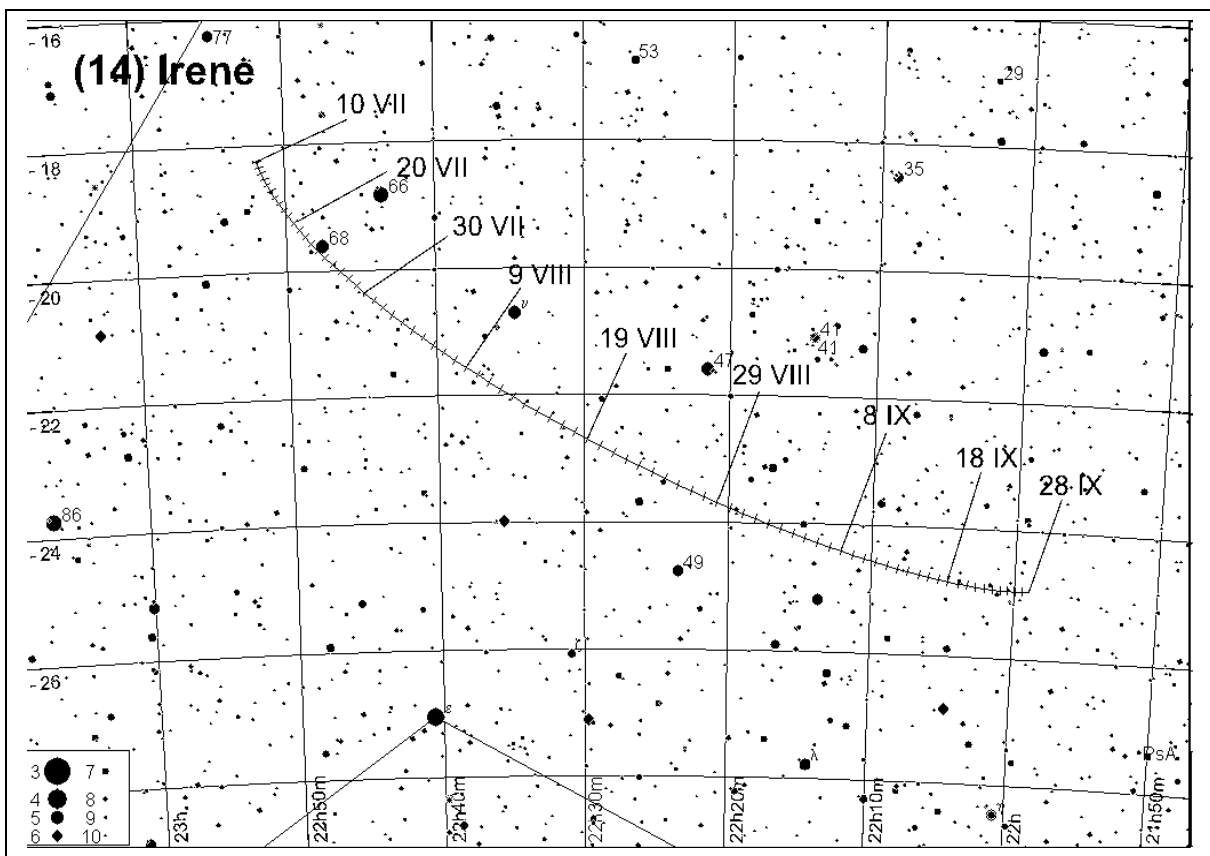


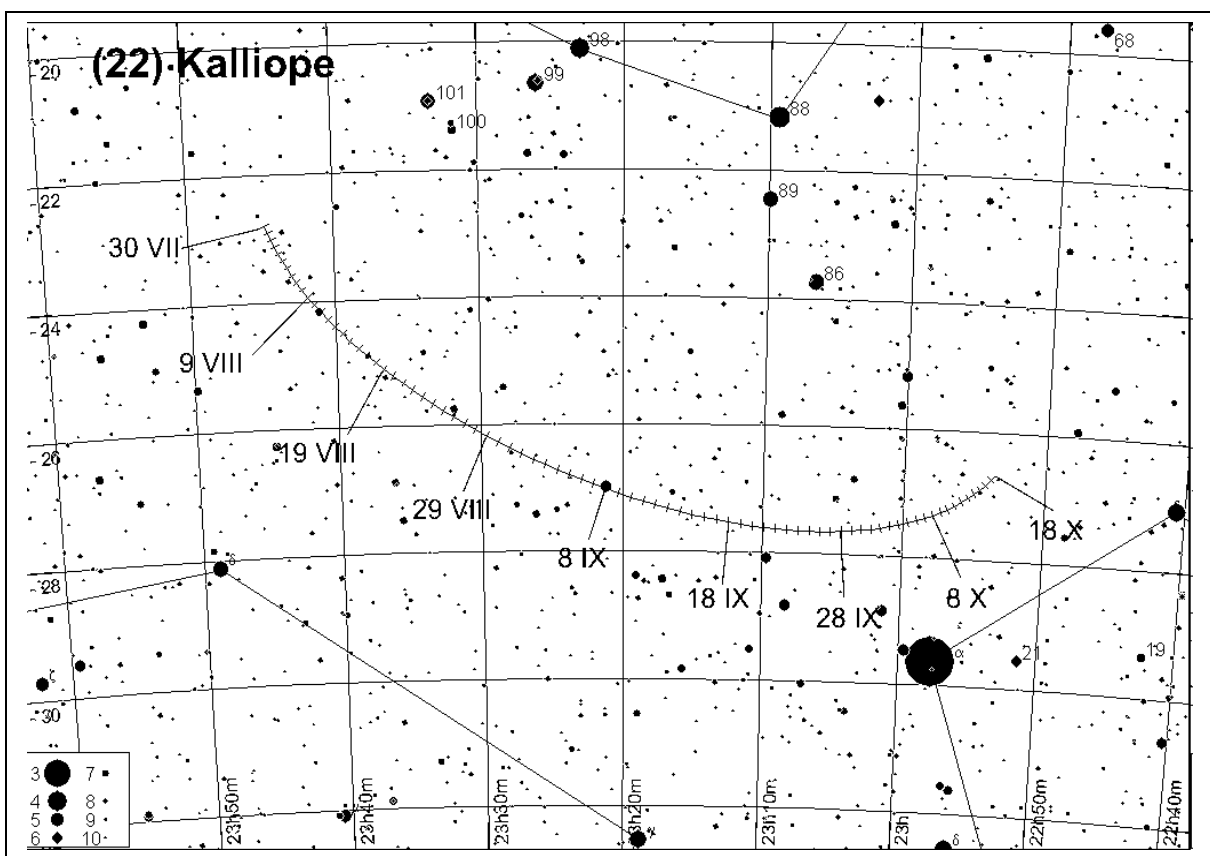
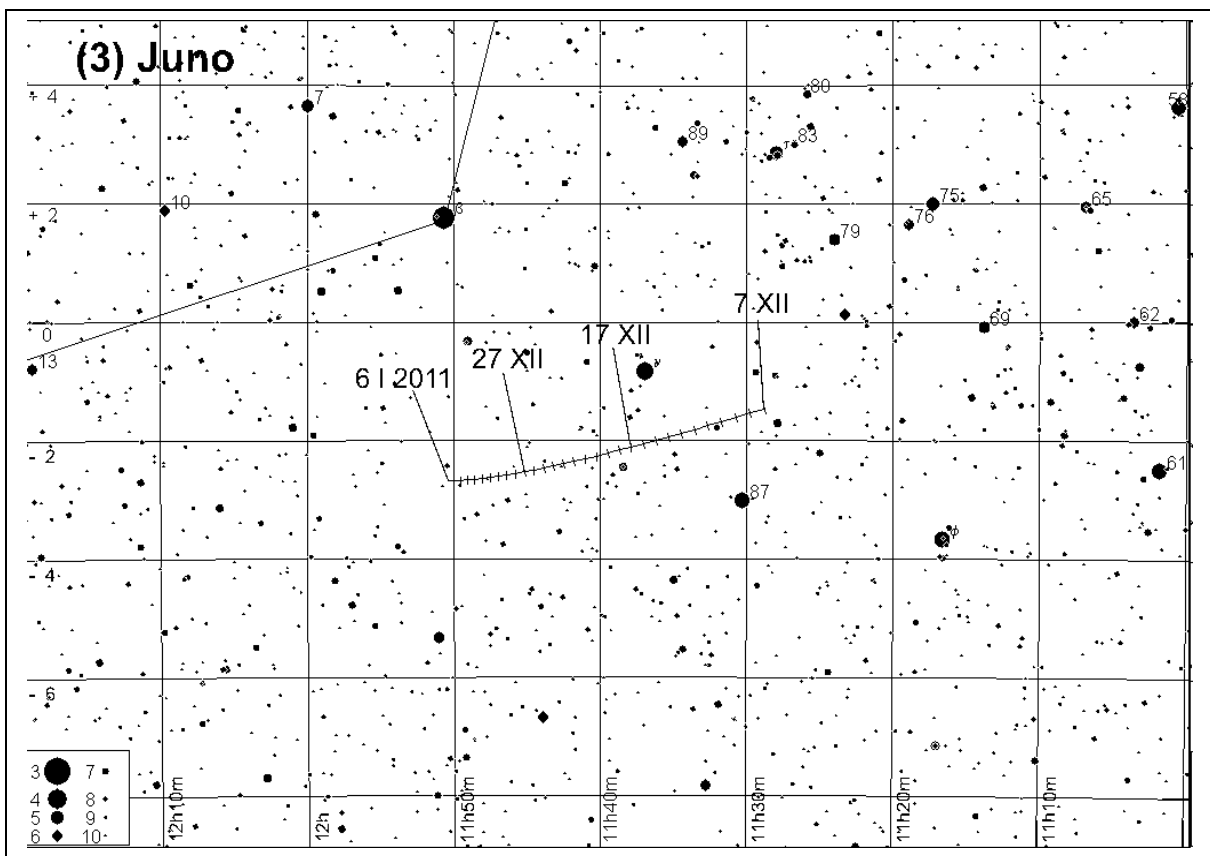


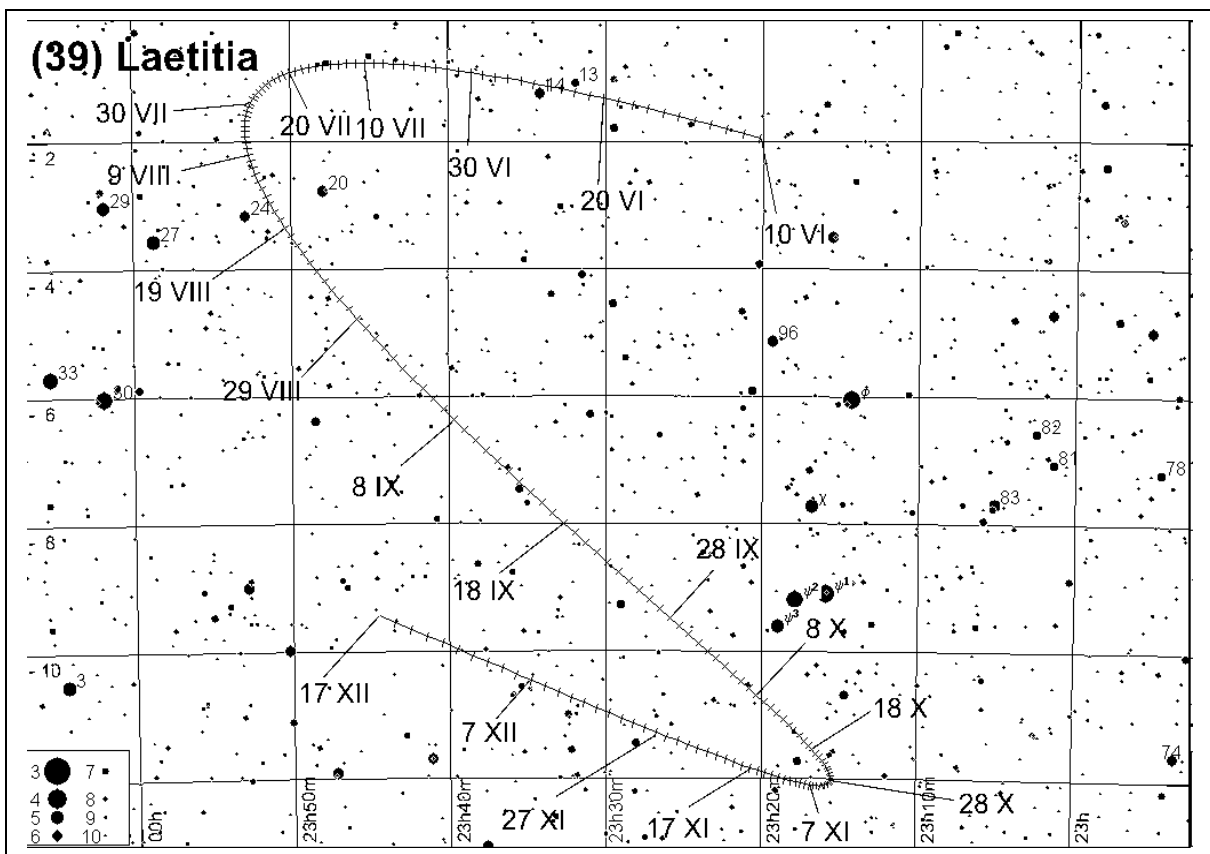
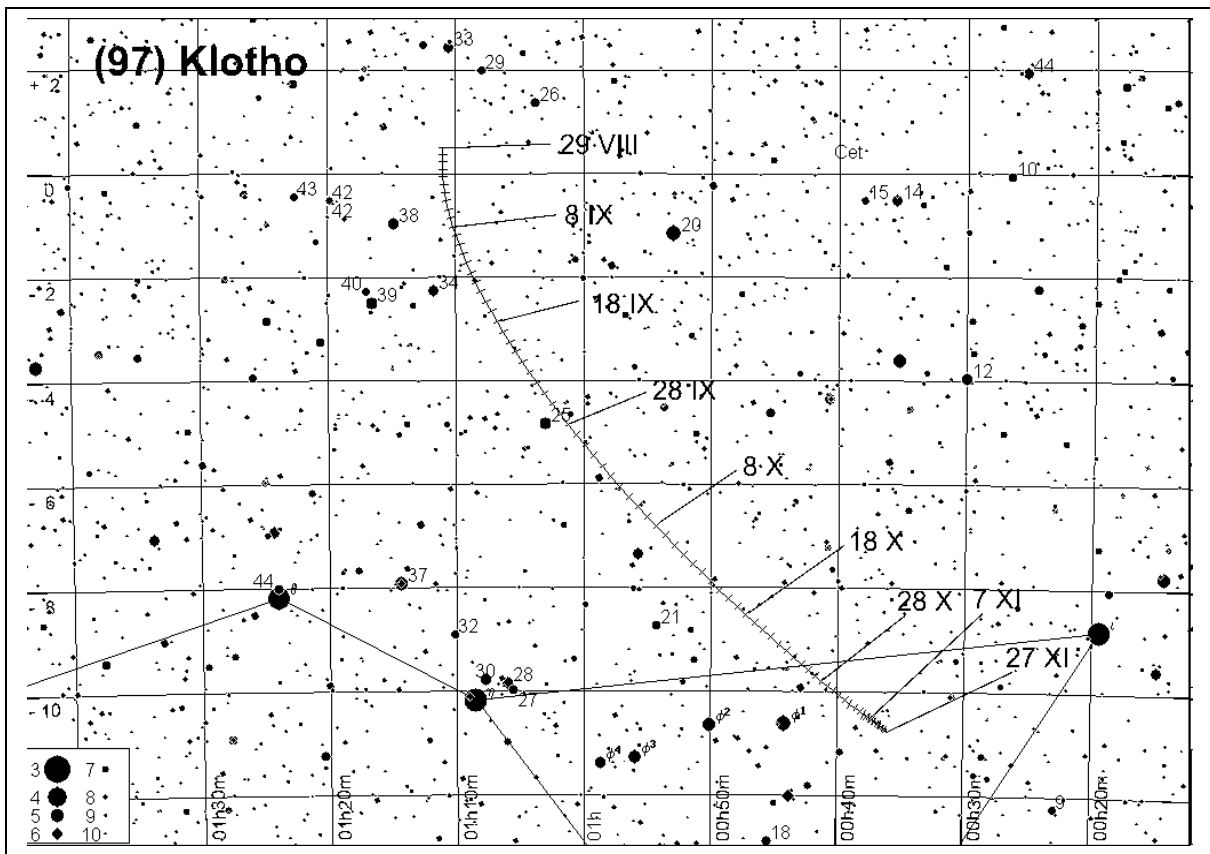


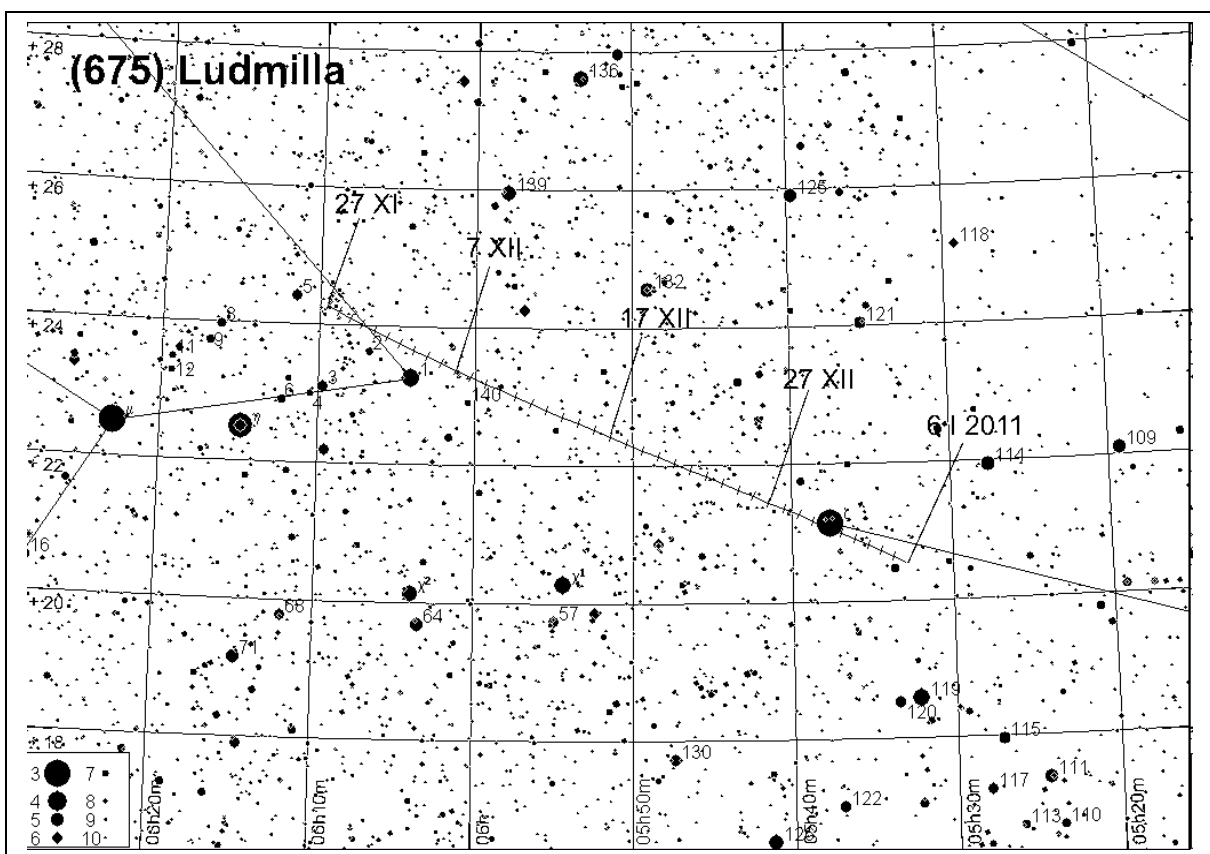
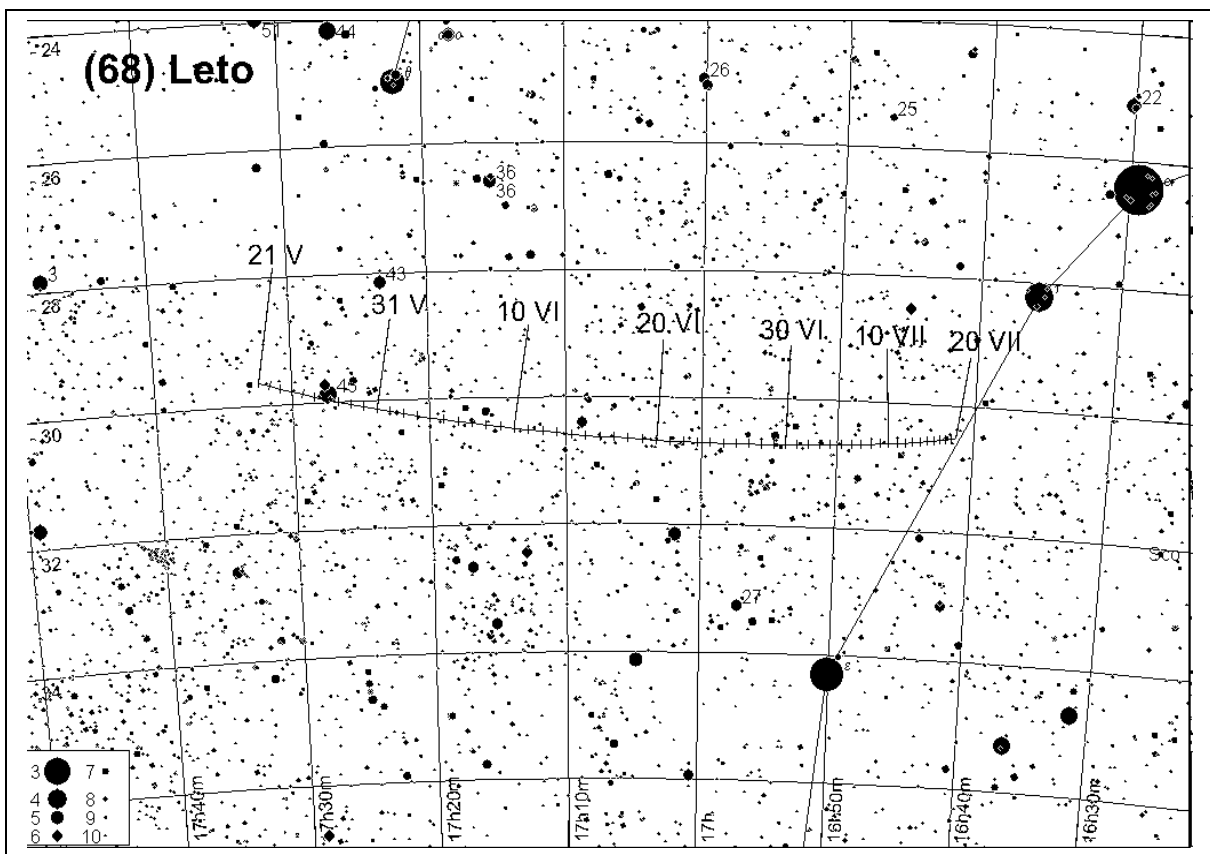


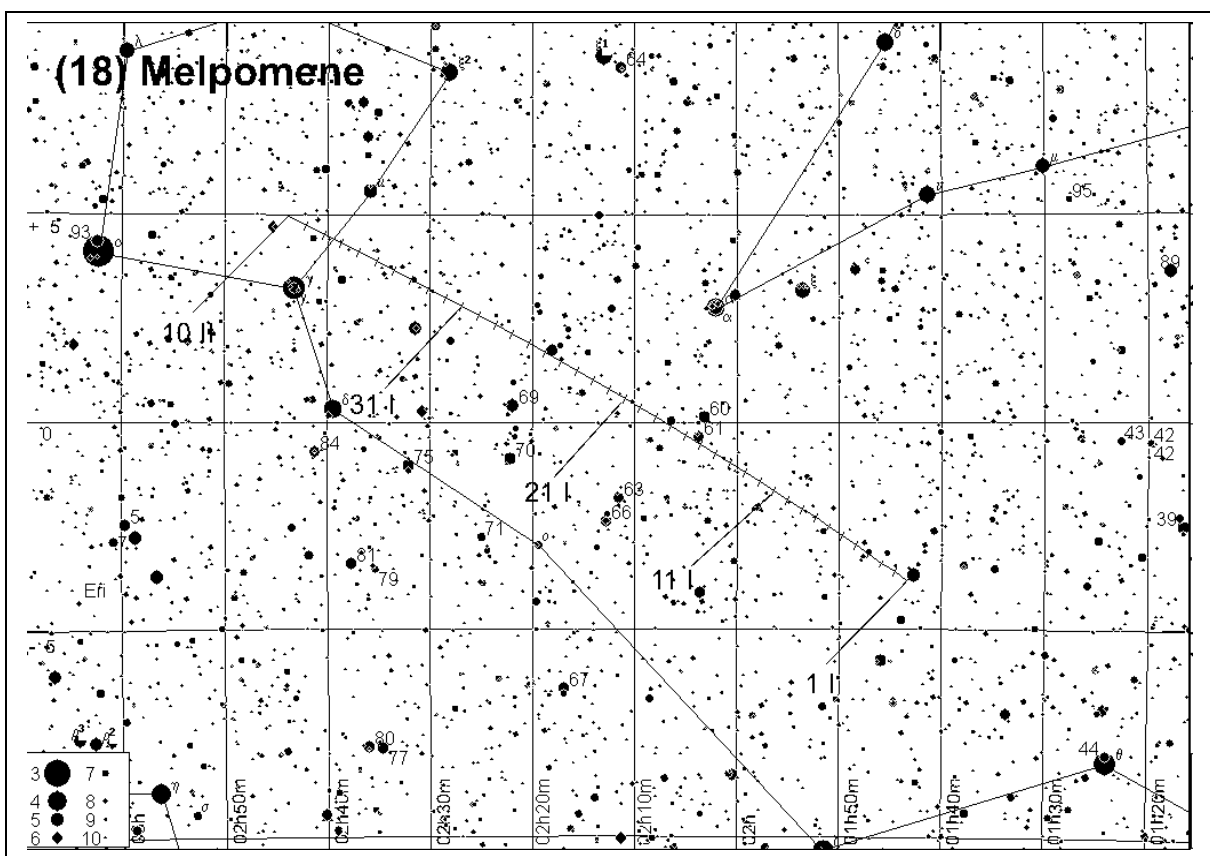
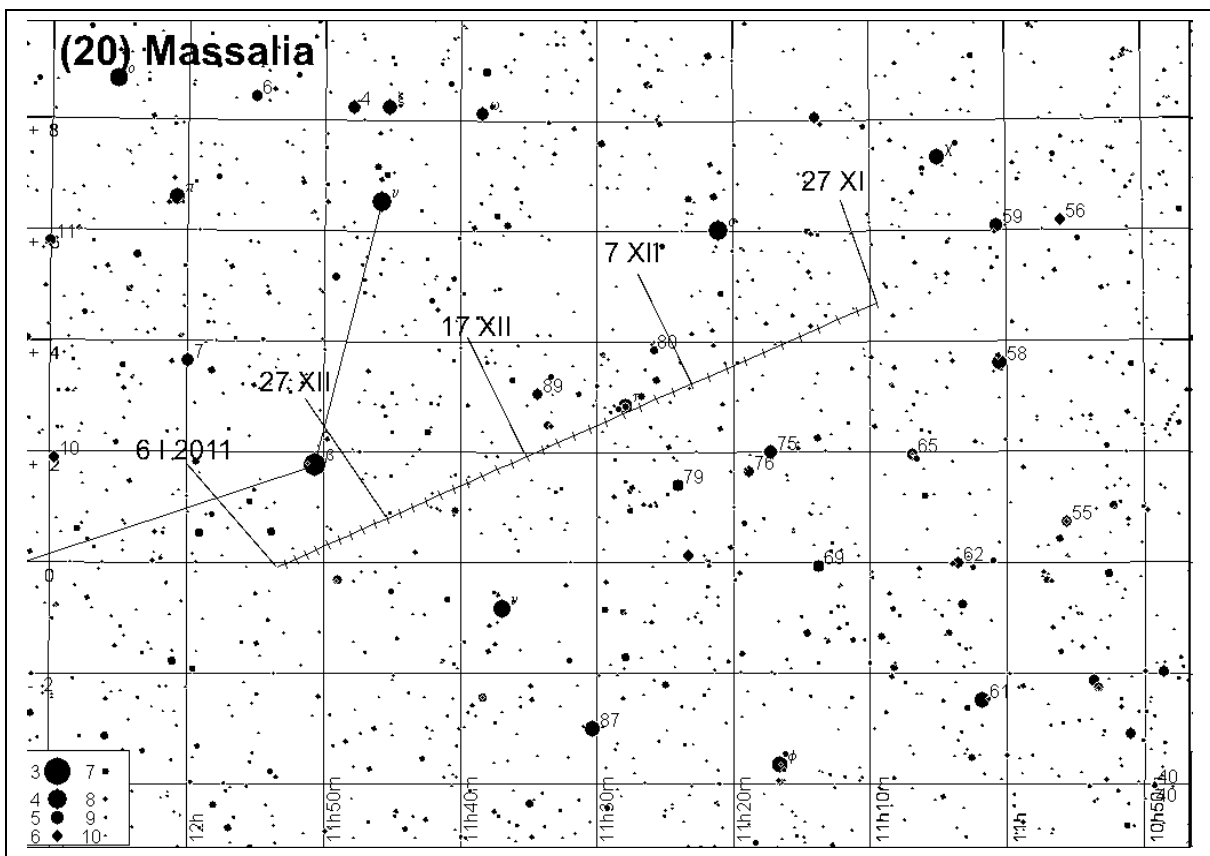


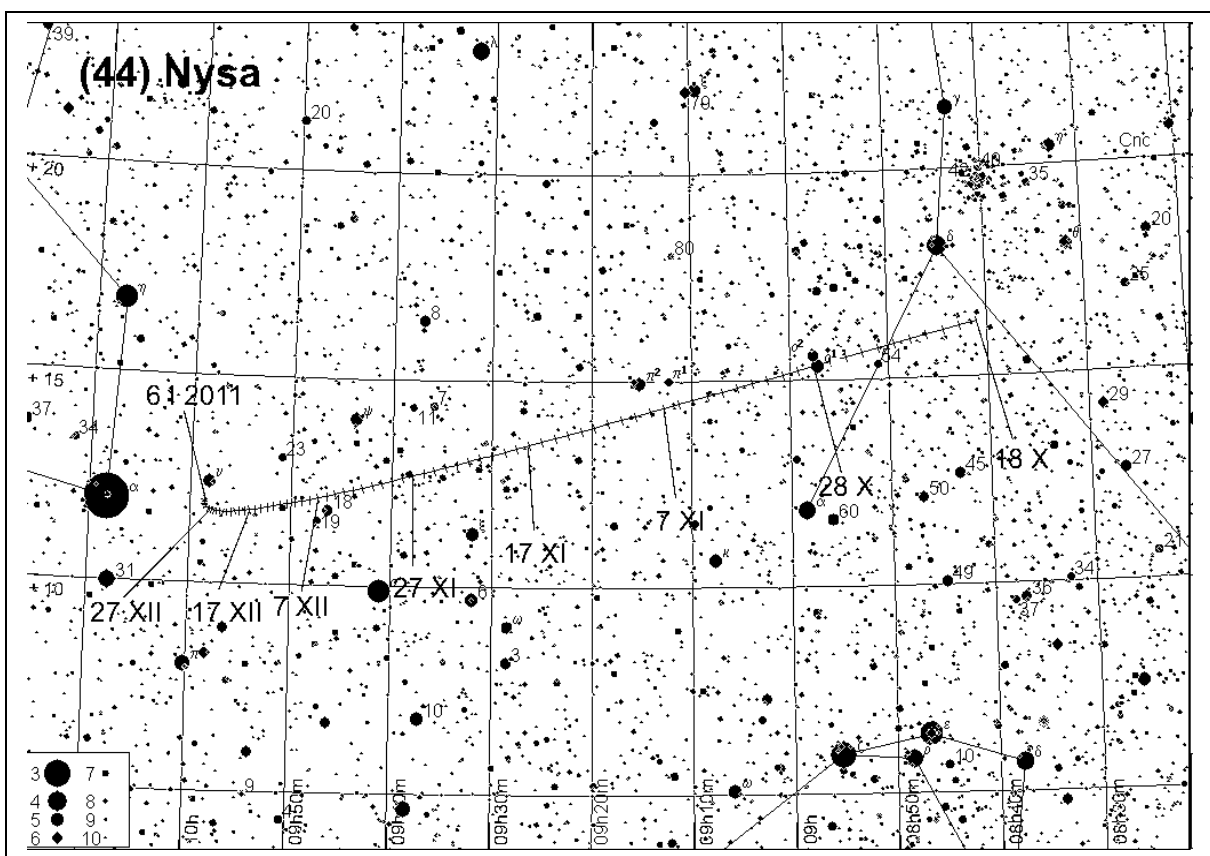
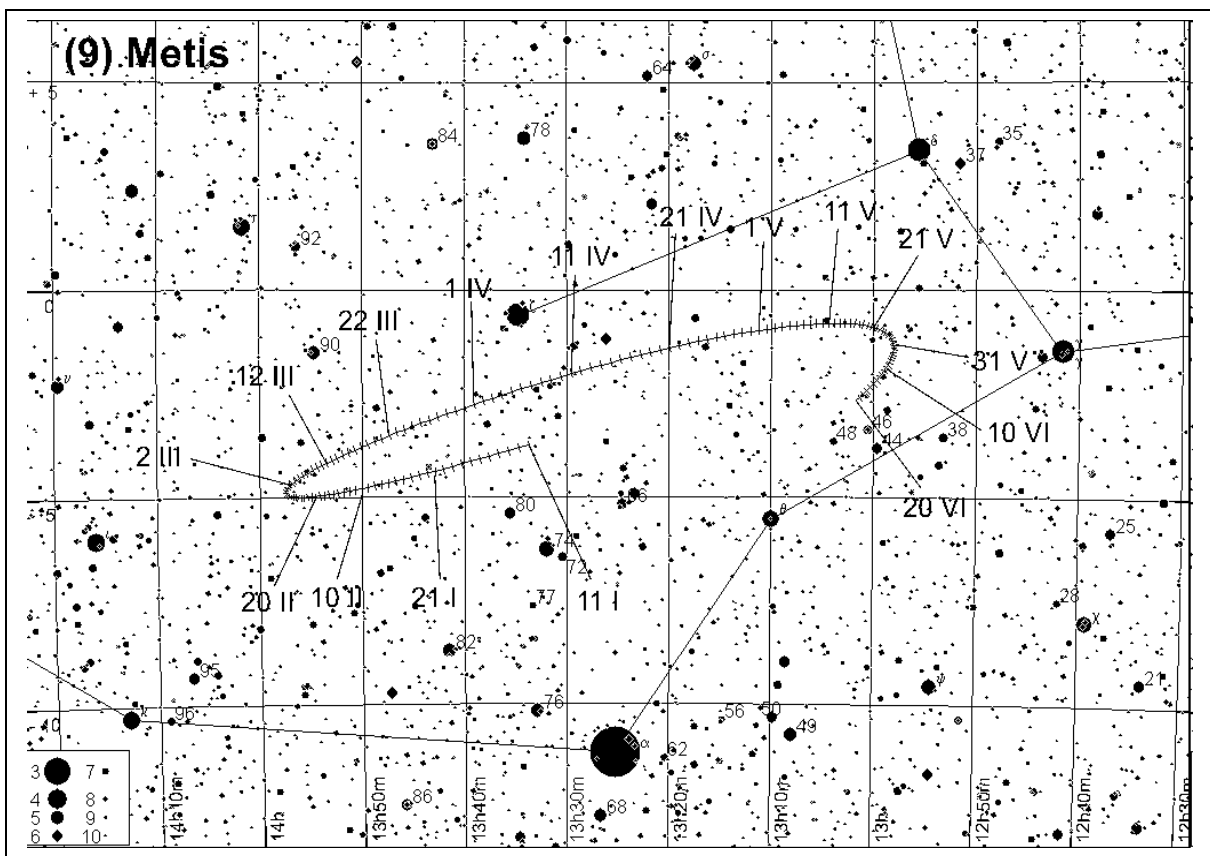


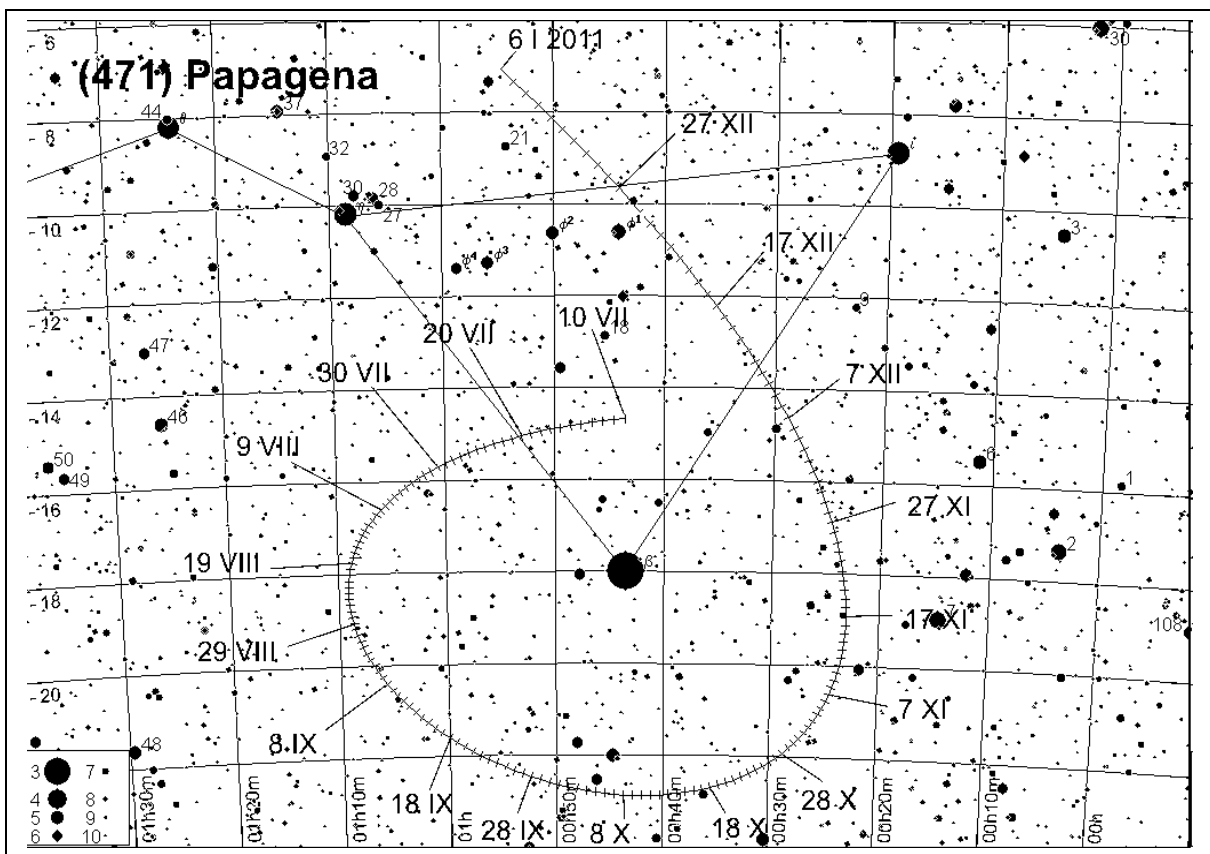
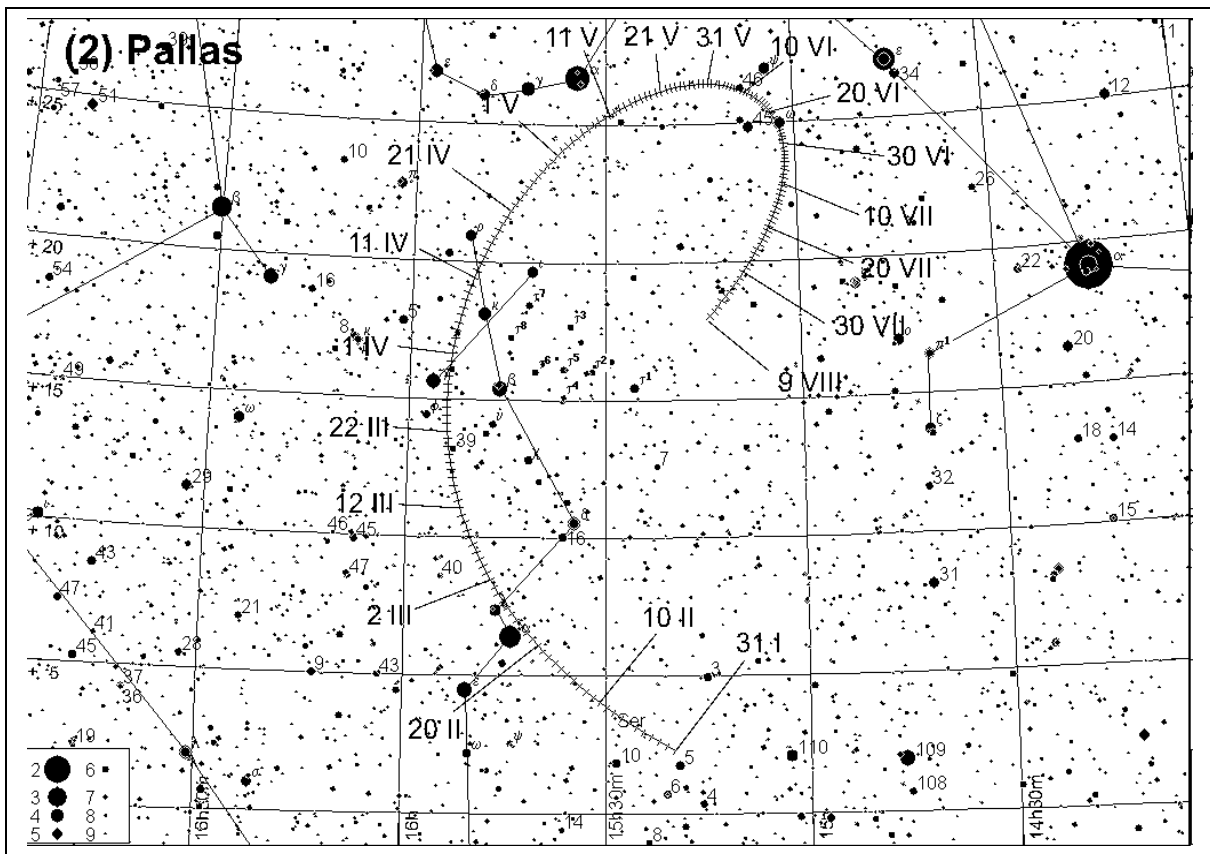


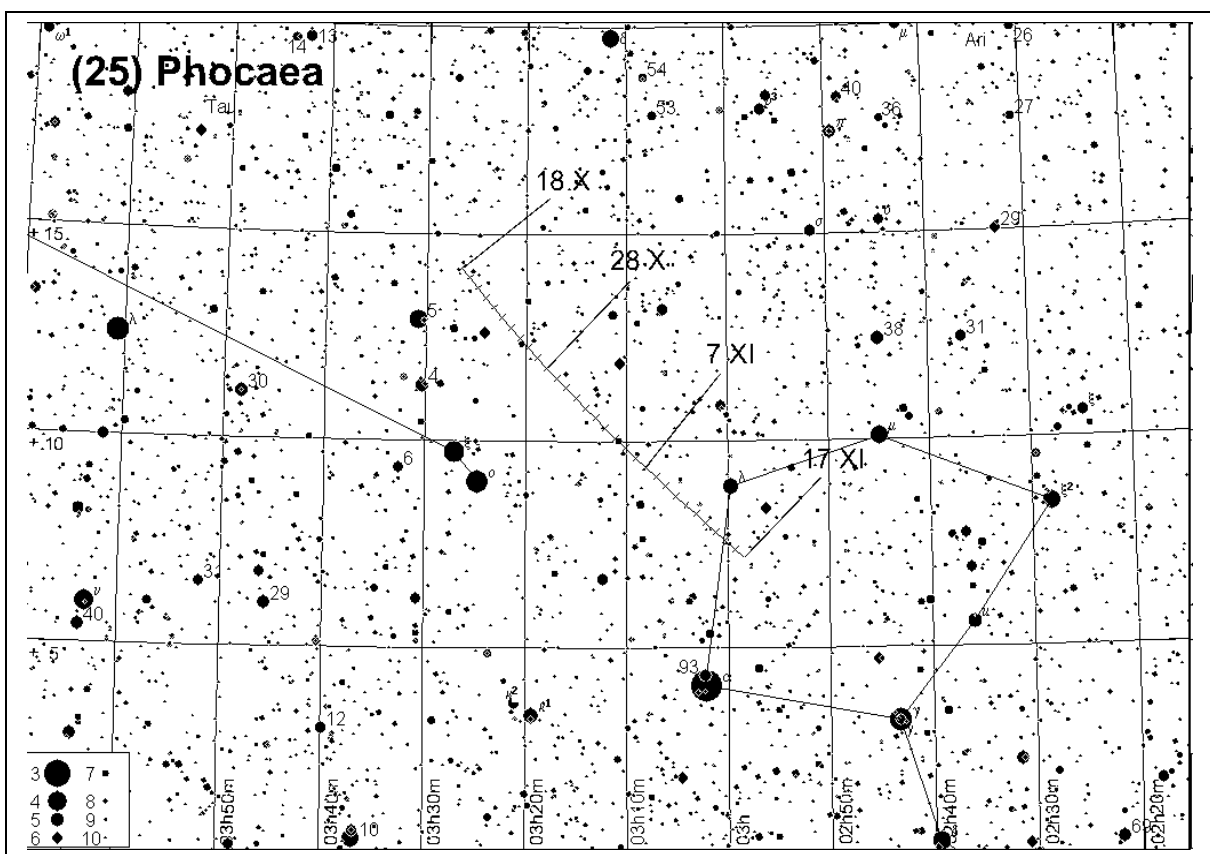
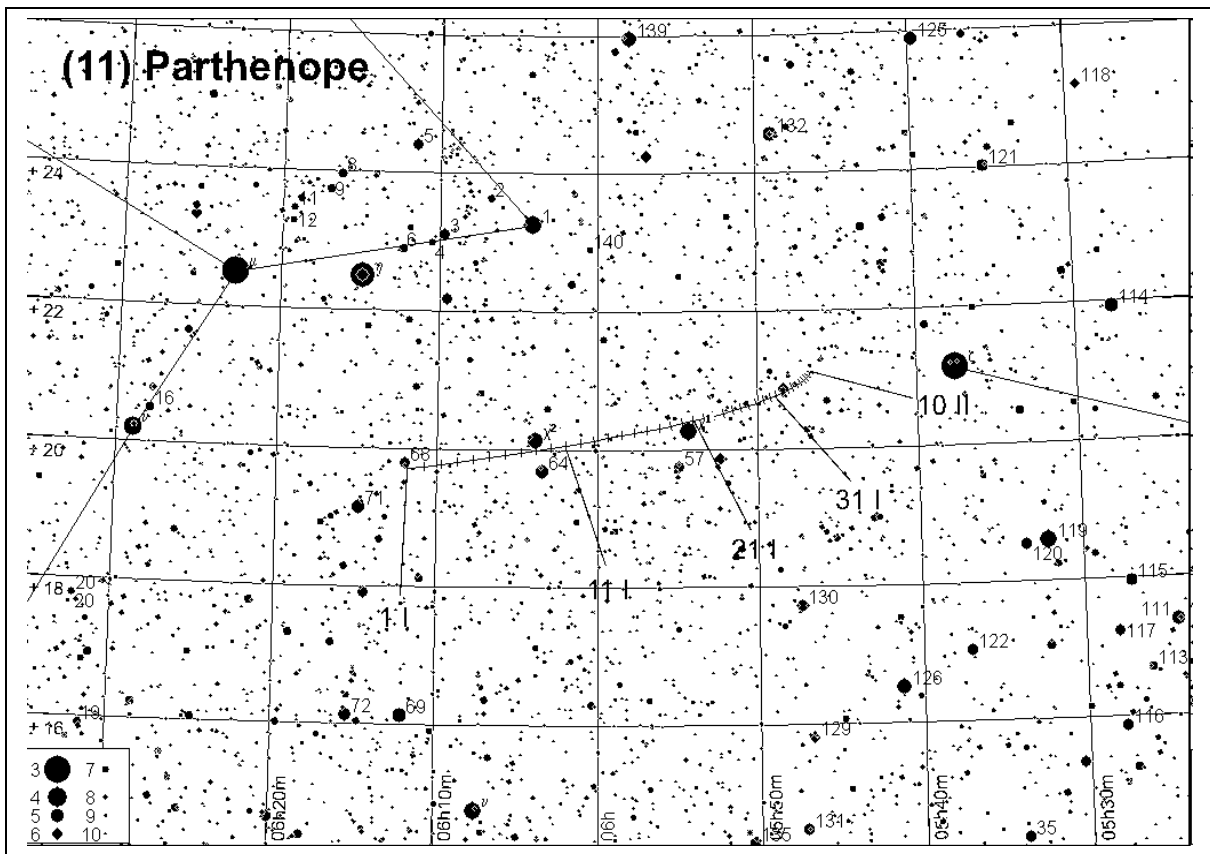


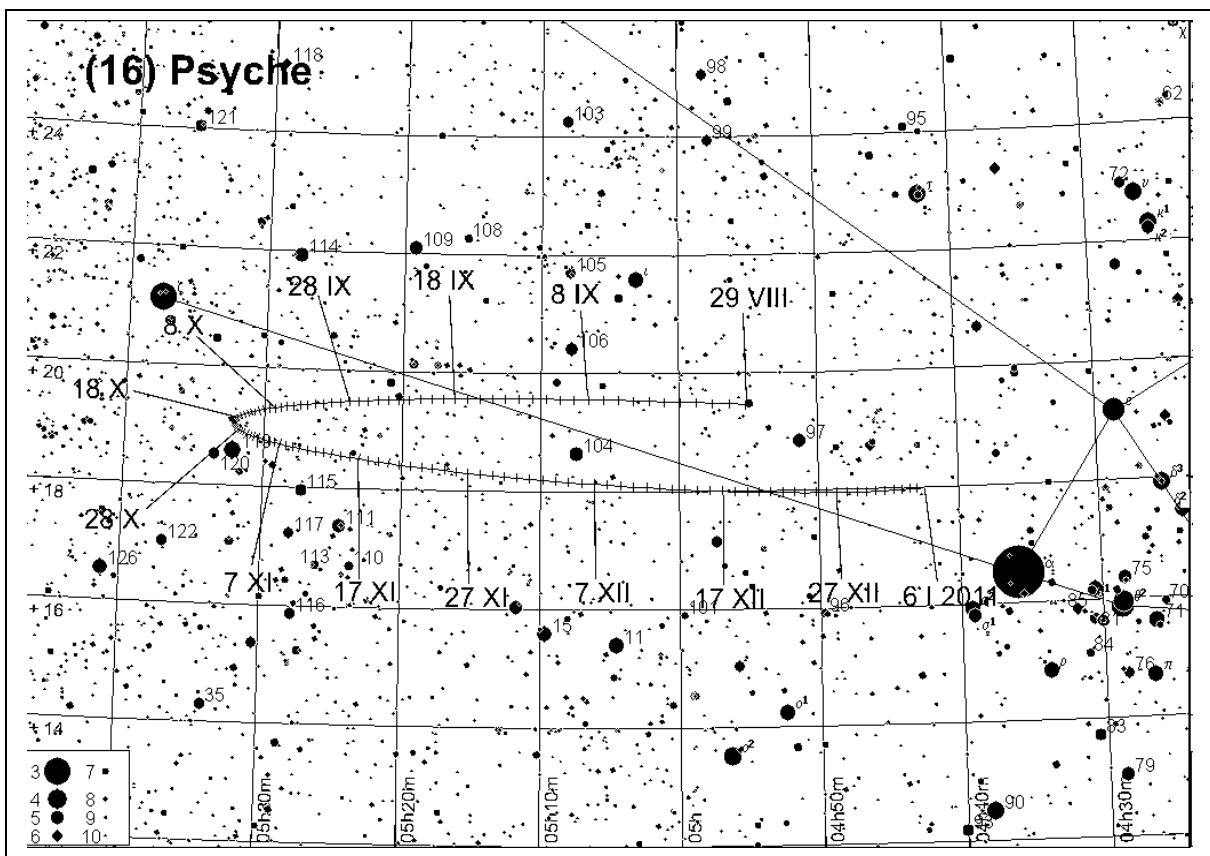
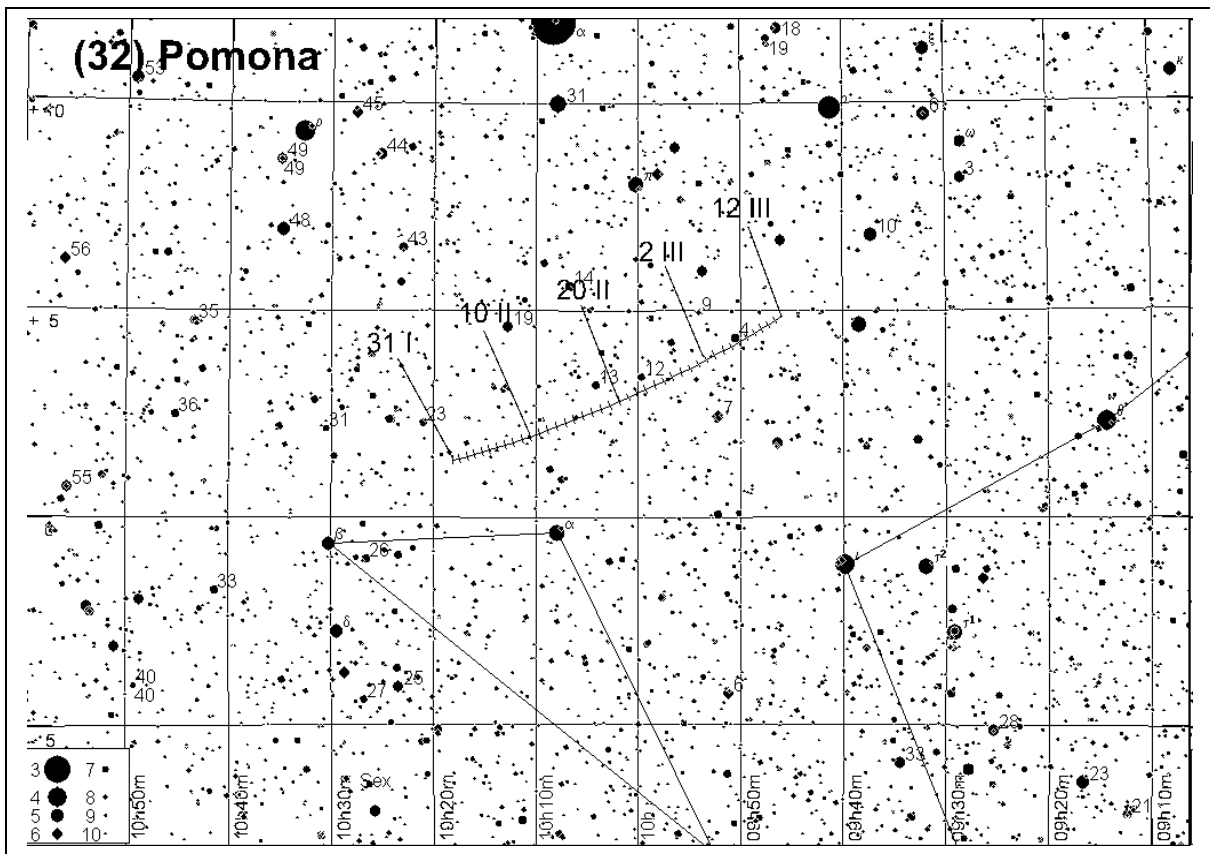


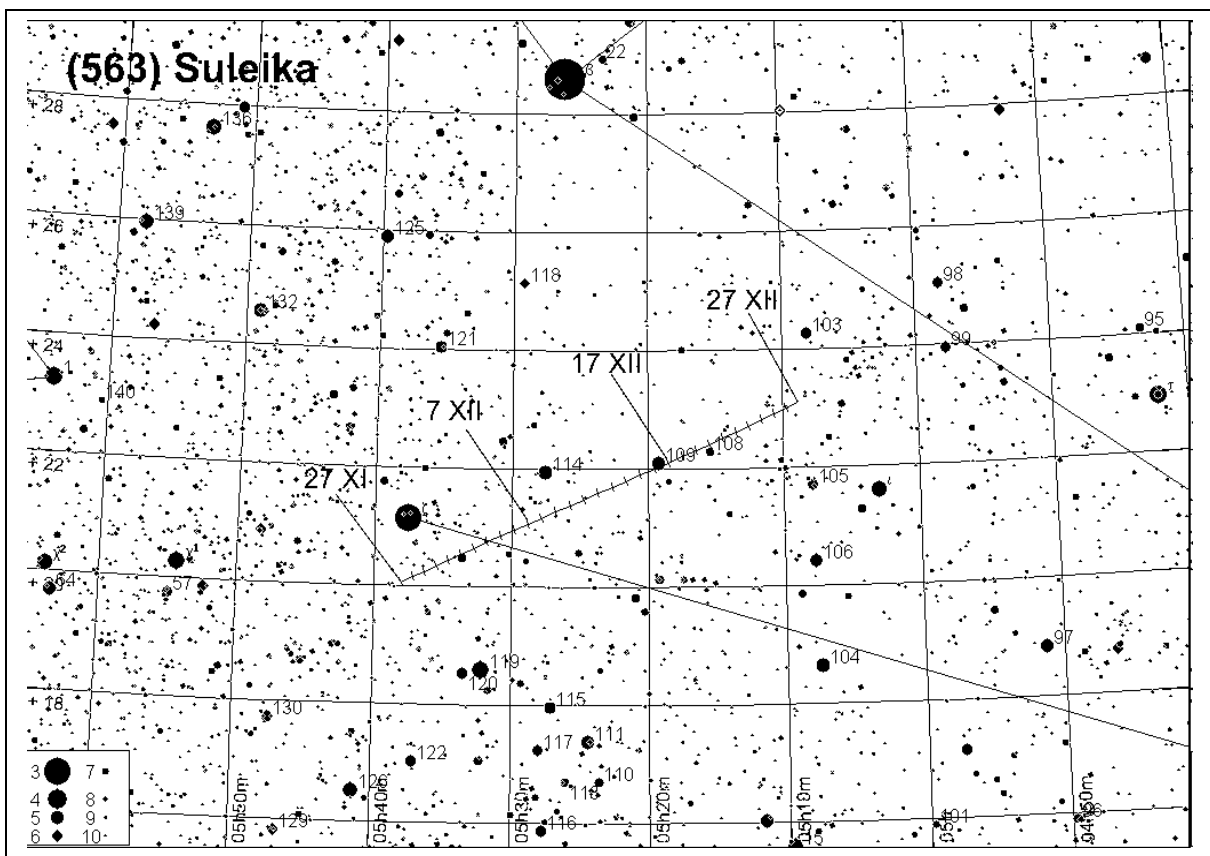
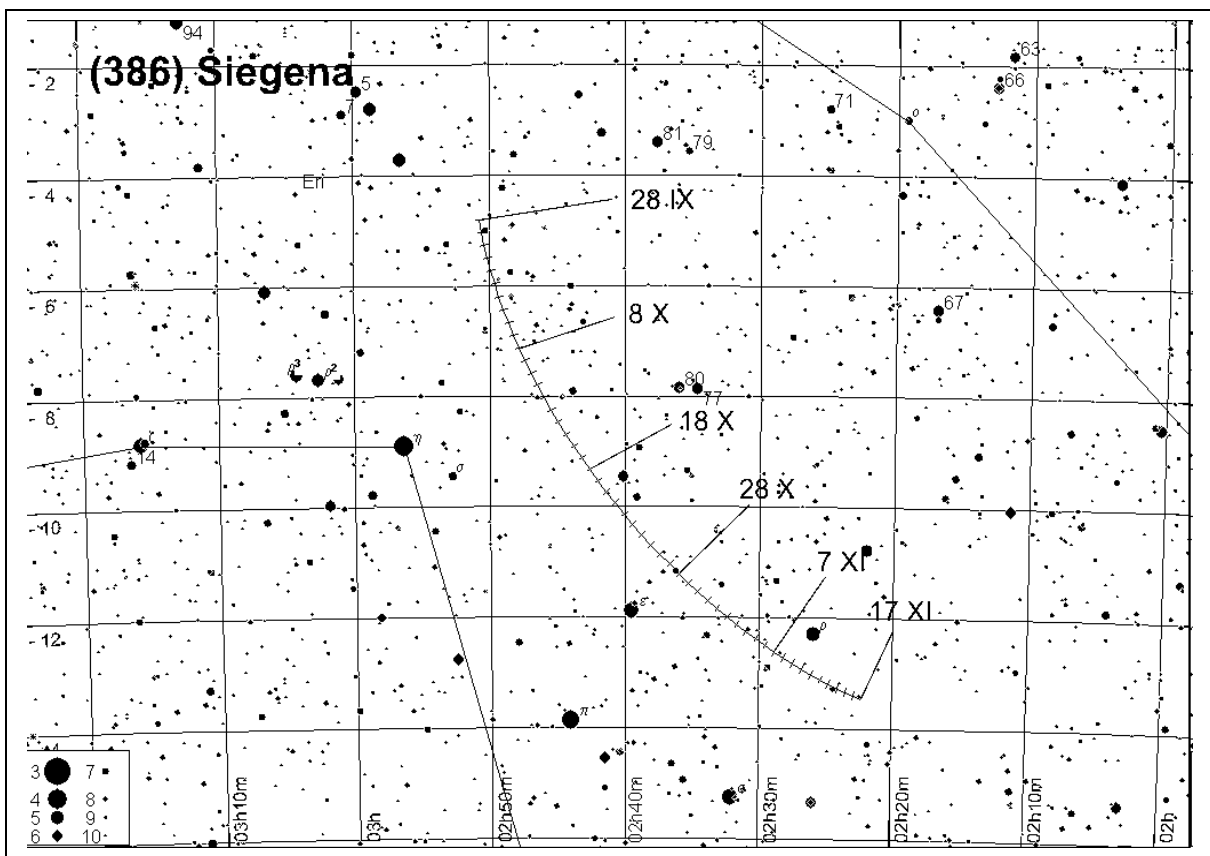


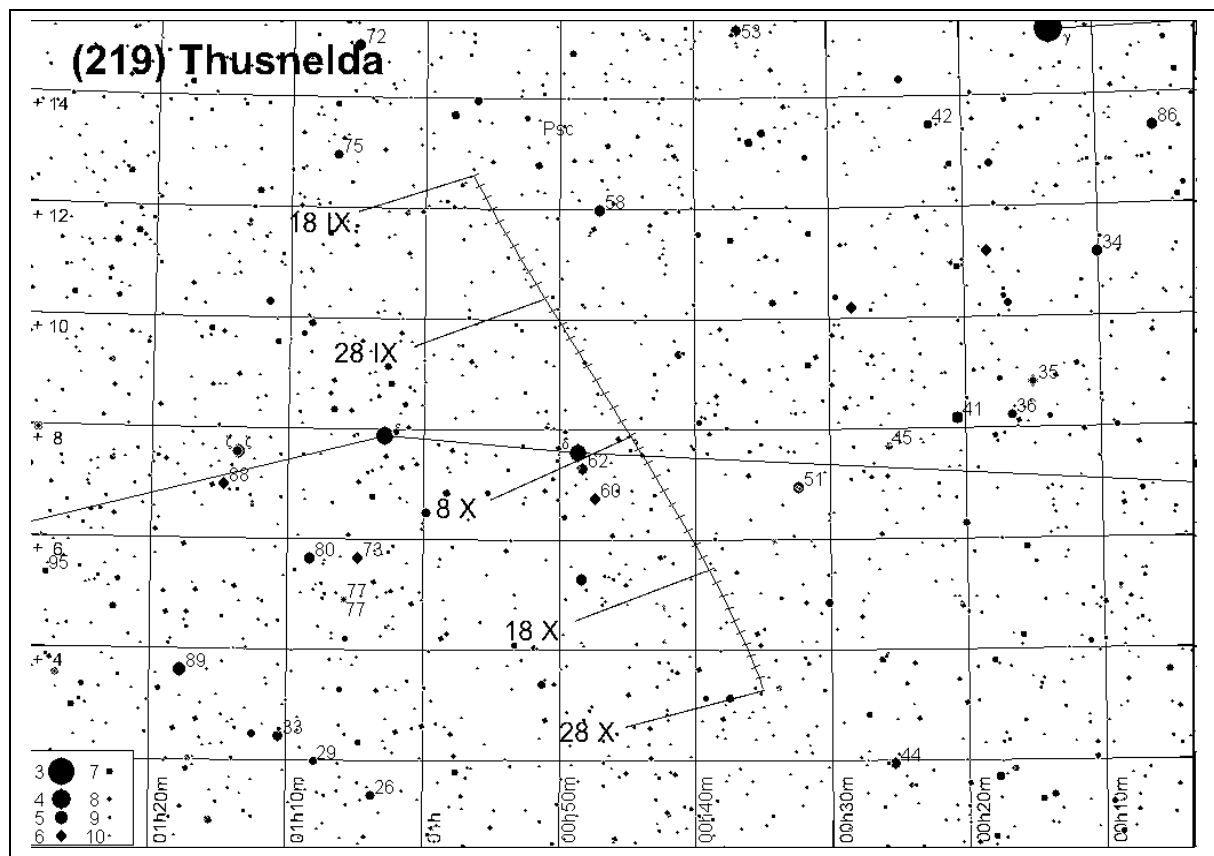
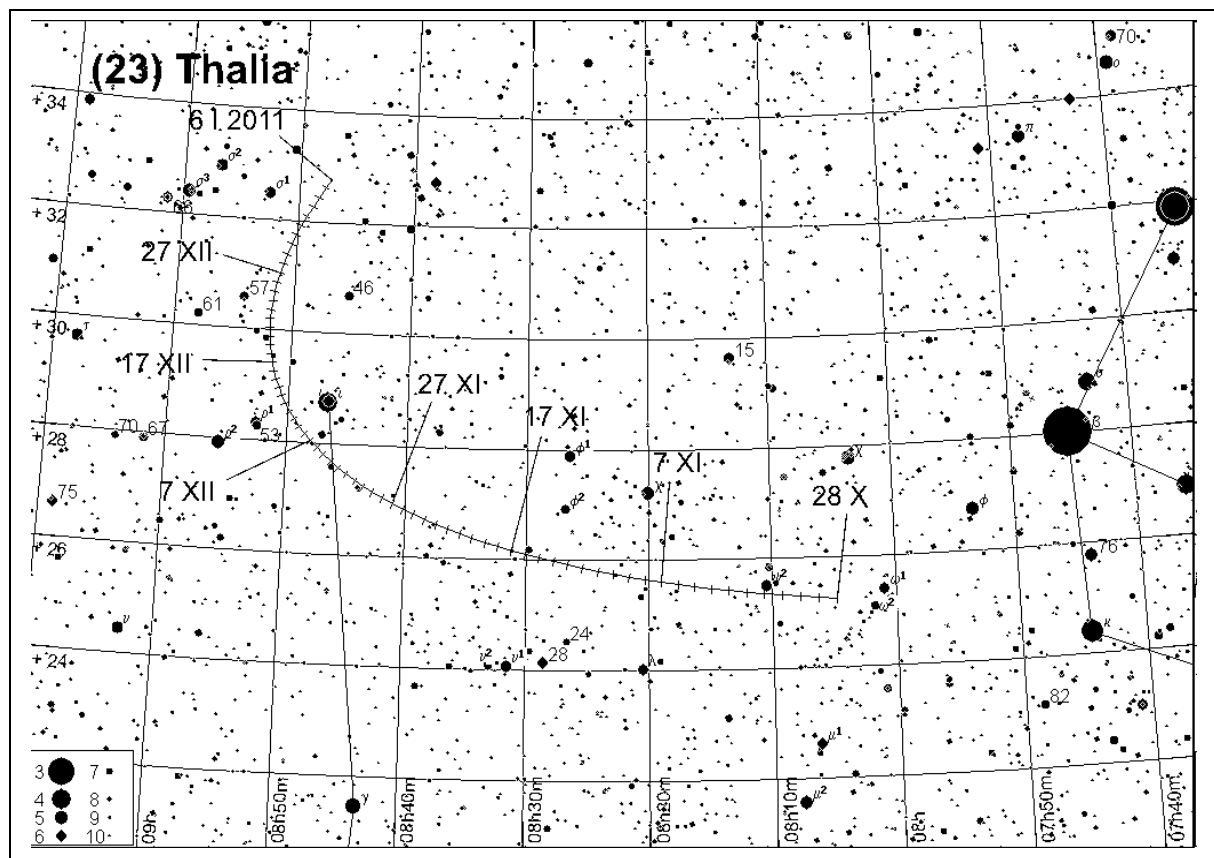


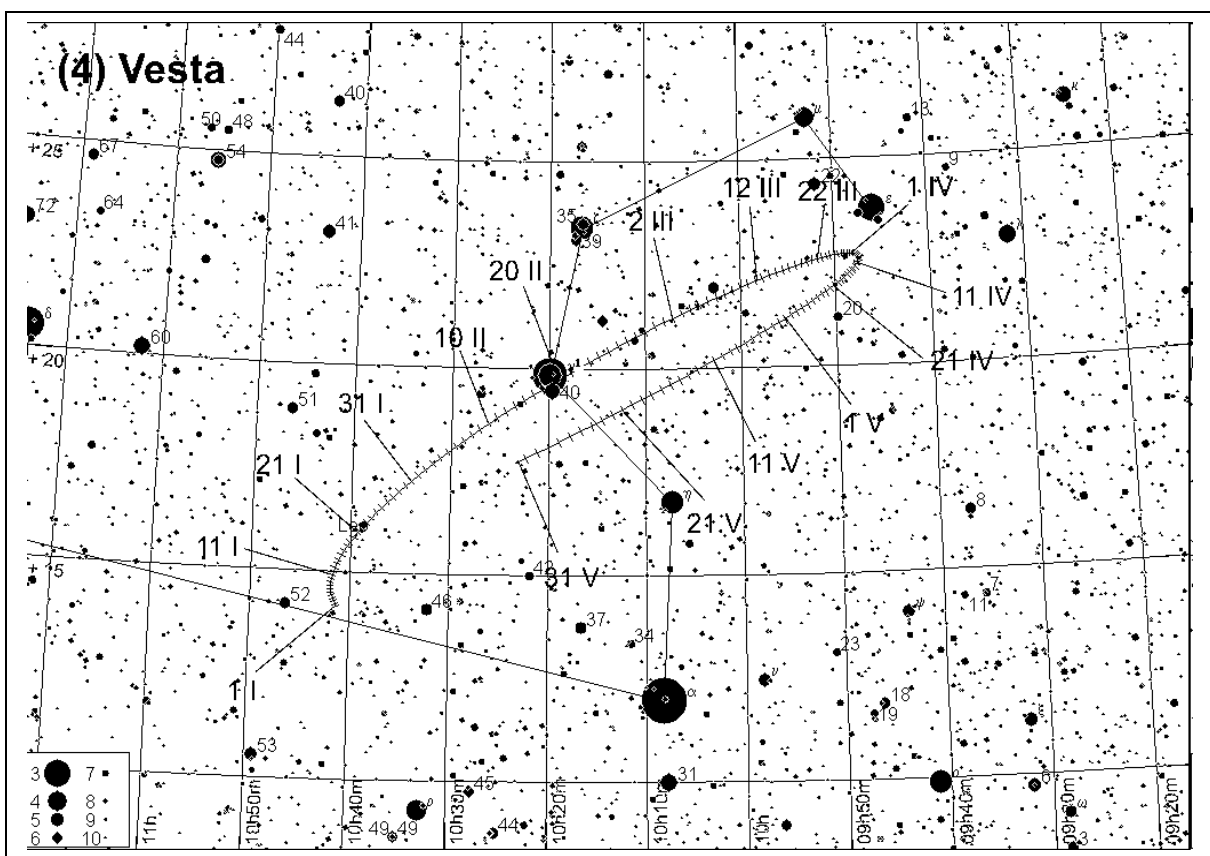
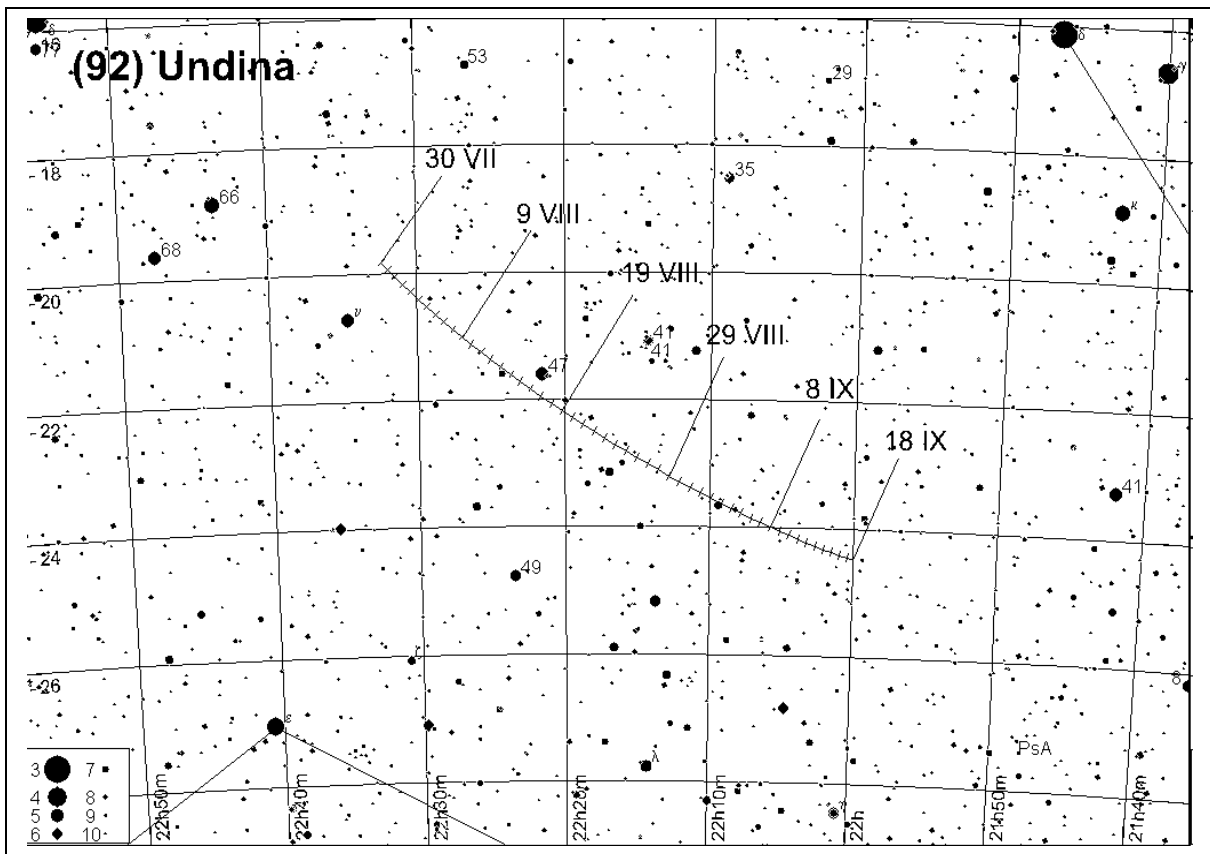


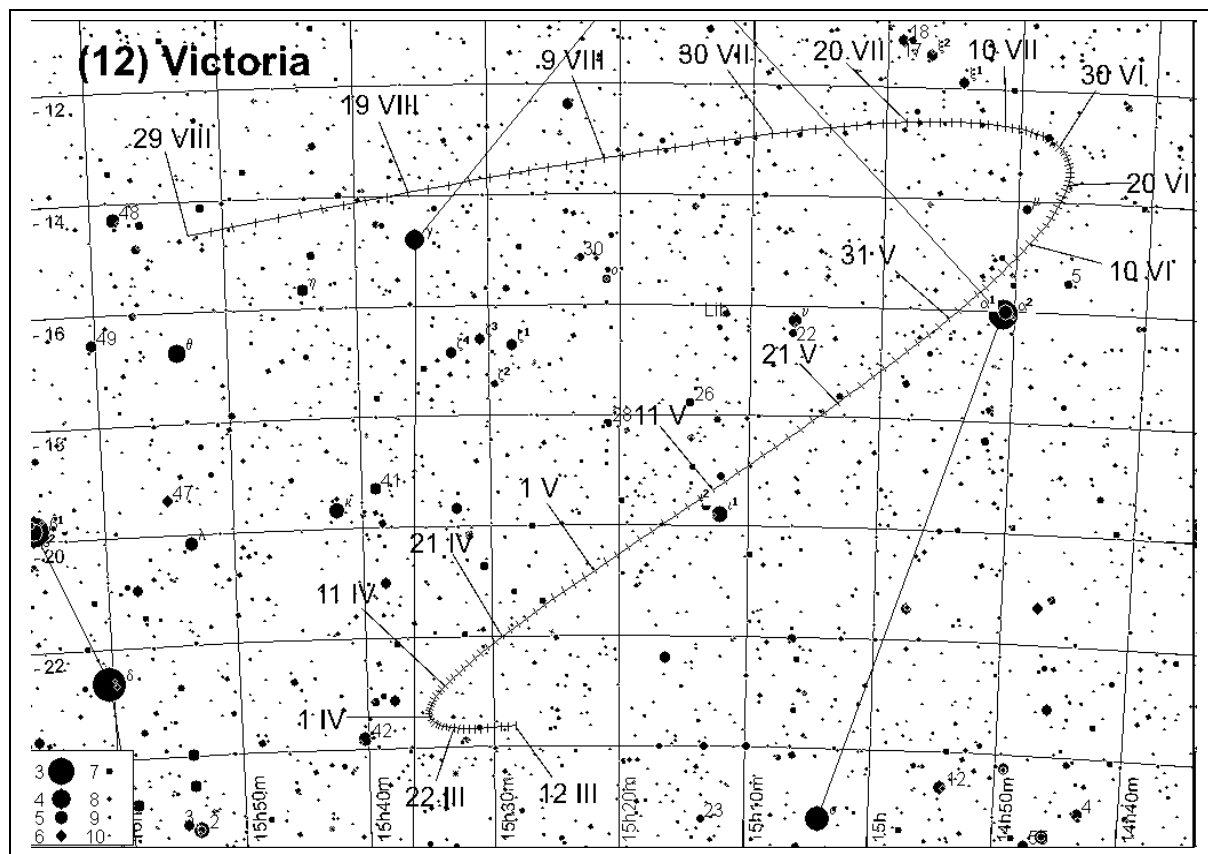
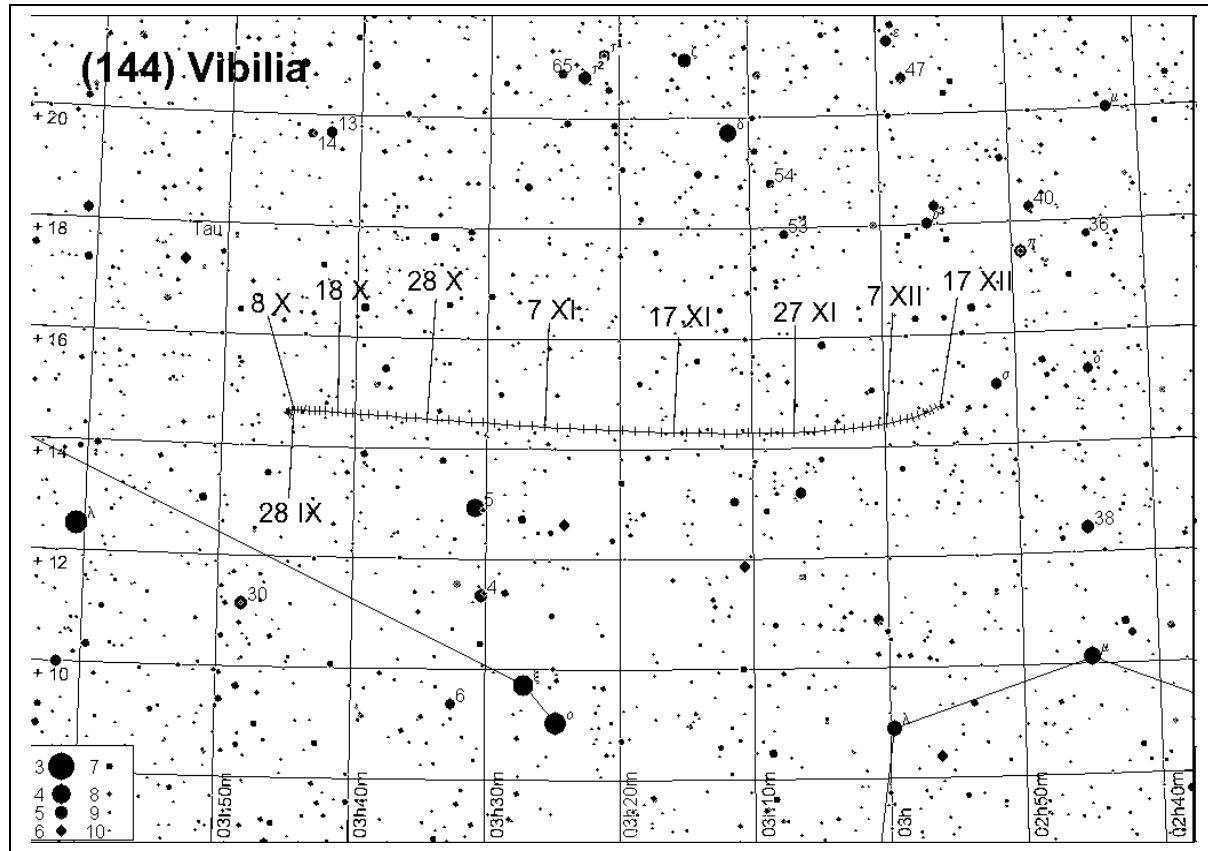


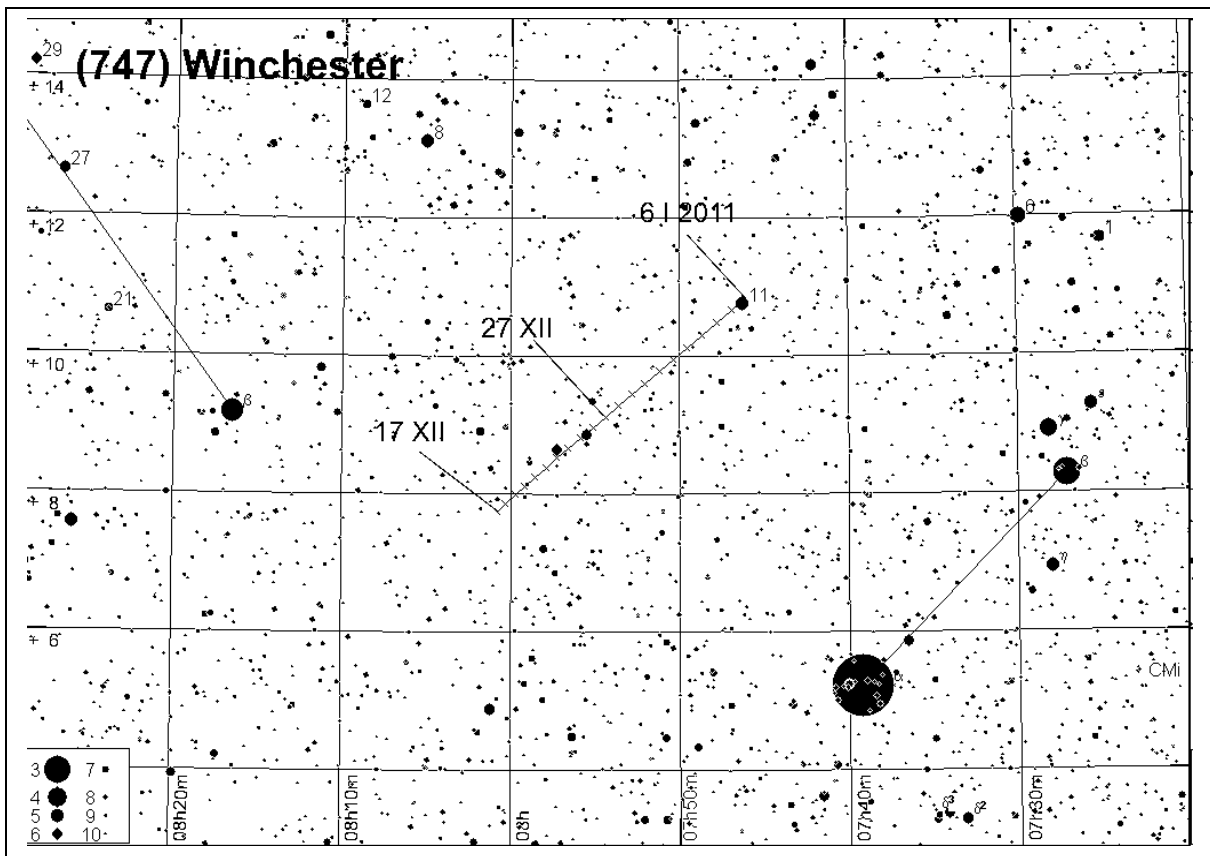












Komety

W 2010 roku przez peryhelium przejdzie 36 znanych komet. Zamieszczona tabela podaje ich parametry.

Z tabeli tej widać, że dostępne dla obserwacji przez lornetki mogą być jedynie komety: 10P/Tempel 2, 81P/Wild 2, 103P/ Hartley 2, C/2009 O2 (Catalina), C/2009 K5 (McNaught) i C/2009 R1 (McNaught).

Kometa **10P/Tempel 2** została odkryta przez Ernsta Tempela w Mediolanie (Włochy) 4 lipca 1873 r. w gwiazdozbiorze Ryb. Najkorzystniejsze zbliżenie komety do Ziemi nastąpiło w 1925 r., gdy przejście przez peryhelium na początku sierpnia praktycznie pokryło się z największym zbliżeniem do Ziemi na odległość 0.35 j.a., dzięki czemu kometa osiągnęła jasność 6,5^m. W czasie poprzedniego powrotu w pobliżu Słońca w 1999 r. kometa Tempel 2 osiągnęła jasność około 13^m, przy średnicy otoczki 1'. Zachowanie i wygląd tej komety jest przewidywalne, toteż zakładana przy obecnym powrocie jasność maksymalna ok. 8^m jest zapewne zbliżona do rzeczywistej, a położenie wysoko na porannym, lipcowym niebie pozwoli na jej łatwe obserwacje.

Kometa **81P/Wild 2** została odkryta przez Paula Wilda w Bernie (Szwajcaria) 6 stycznia 1978 r. Ponownie obserwowana w latach 1983-1986 i 1988-1992. W czasie powrotu w 1997 r. osiągnęła jasność prawie 9^m, natomiast w 2003 r. zaledwie 14^m. W 2004 r. do komety Wild 2 zbliżyła się sonda Stardust, wykonując wiele zdjęć i pobierając próbki materii otoczki, które w dwa lata później wylądowały na Ziemi. W czasie obecnego powrotu kometa powinna osiągnąć jasność 9^m, świecąc w połowie marca wysoko na porannym niebie.

Kometa **103P/Hartley 2** została odkryta przez Malcolmia Hartleya w Siding Spring (Australia) 15 marca 1986 r. jako obiekt o jasności 17^m. W czasie powrotu w 1991 r. w pierwszej połowie września kometa osiągnęła jasność 8^m przy średnicy otoczki 3'. Podobną jasność osiągnęła przy kolejnym powrocie w grudniu 1997 r., jednak średnica otoczki wyniosła wtedy 8'. W czasie powrotu w 2004 r. kometa w okresie maksymalnej jasności ginęła w blasku Słońca i nie była wtedy obserwowana. Powrót komety Hartley 2 w 2010 r. będzie najkorzystniejszym od chwili odkrycia - w dniu 20 października kometa przejdzie jedynie 0.12 j.a. od Ziemi, osiągając jasność 5^m (będzie widoczna gołym okiem!) wysoko na niebie w pierwszej połowie nocy. W tym samym okresie kometa będzie celem badań sondy kosmicznej Deep Impact.

Kometa **C/2009 O2 (Catalina)** została odkryta w ramach przeglądu nieba Catalina Sky Survey 27 lipca 2009 r. Pod koniec marca 2010 r. kometa może osiągnąć jasność 9^m, świecąc wtedy zarówno na niebie wieczornym, jak i porannym.

Kometa **C/2009 K5 (McNaught)** została odkryta przez Roberta McNaughta w ramach przeglądu nieba Siding Spring Survey 27 maja 2009 r. Pod koniec kwietnia 2010 r. kometa może osiągnąć jasność 9^m, świecąc wtedy, podobnie jak wcześniej opisana, zarówno na niebie wieczornym, jak i porannym.

Kometa **C/2009 R1 (McNaught)** została odkryta przez Roberta McNaughta w ramach przeglądu nieba Siding Spring Survey 9 września 2009 r. W połowie czerwca 2010 r. kometa może osiągnąć jasność aż 5^m, świecąc wtedy, podobnie jak dwie wcześniej opisane, zarówno na niebie wieczornym, jak i porannym.

Komety przechodzące przez peryhelium w 2010 roku

Nazwa	q	e	i	a	P	H(0)	T ₀	m _{max}
Hill (C/2009 O4)	2.563	1.0000	95.807	—	—	10.0	1.3	I 16.5
P/Shoemaker-Levy (118P)	1.984	0.4272	8.509	3.464	12.00	12.0	2.3	I 15.0
P/Gehrels (82P)	3.633	0.1219	1.126	4.138	17.12	5.0	12.5	I 18.3
P/Hartley 1 (100P)	2.100	0.3900	25.580	3.443	11.85	13.0	30.0	I 17.2
P/LINEAR-NEAT (224P)	1.990	0.4167	13.433	3.411	11.64	15.5	31.7	I 19.6
Catalina (C/2009 K2)	3.247	0.9973	66.821	1219	1.5 mln	10.0	7.5	II 17.6
P/Korlevic (203P)	3.182	0.3148	2.976	4.644	21.57	14.5	8.2	II 18.8
Boattini (C/2009 P2)	6.544	1.0018	163.455	—	—	6.0	10.9	II 18.0
P/Mueller (149P)	2.651	0.3886	29.735	4.336	18.80	8.0	19.3	II 17.8
P/Tritton (157P)	1.361	0.6012	7.278	3.412	11.64	10.0	20.5	II 11.8
P/Wild (81P)	1.598	0.5374	3.238	3.454	11.93	7.0	22.7	II 9.3
P/IRAS (126P)	1.713	0.6964	45.828	5.643	31.85	6.0	22.7	II 12.8
P/Gunn (65P)	2.441	0.3195	10.386	3.587	12.86	5.0	2.0	III 12.2
P/LINEAR (219P)	2.364	0.3528	11.522	3.652	13.34	11.0	6.1	III 16.8
P/Siding Spring (162P)	1.233	0.5961	27.817	3.052	9.32	12.0	8.4	III 14.5
Catalina (C/2009 O2)	0.707	1.0000	108.477	—	—	11.0	25.1	III 8.9
LINEAR-Skiff (P/2001 R6)	2.178	0.4780	17.391	4.172	17.41	13.0	26.2	III 18.8
P/Russell (94P)	2.240	0.3630	6.183	3.516	12.37	9.0	29.9	III 14.8
P/Reinmuth (30P)	1.884	0.5008	8.123	3.774	14.24	9.5	19.6	IV 14.6
Spacewatch (C/2007 VO53)	4.843	0.9997	86.997	17 tys.	290 mln	7.0	26.4	IV 17.2
McNaught (C/2009 K5)	1.423	1.0008	103.884	—	—	7.5	30.0	IV 9.6
P/Kowal (104P)	1.179	0.6388	10.271	3.264	10.65	12.5	4.5	V 14.8
P/Ge-Wang (142P)	2.487	0.4993	12.301	4.967	24.67	8.5	31.0	V 16.1
P/NEAT (215P)	3.214	0.2008	12.791	4.021	16.17	11.0	7.7	VI 17.8
P/Haneda-Campos	1.278	0.6300	4.943	3.454	11.93	13.5	8.0	VI 16.6
P/Wolf-Harrington (43P)	1.357	0.5951	15.977	3.352	11.24	8.0	1.5	VII 11.8
McNaught (C/2009 R1)	0.401	1.0000	76.698	—	—	8.0	2.2	VII 4.6
P/Tempel (10P)	1.423	0.5363	12.023	3.069	9.42	5.0	4.9	VII 8.1
LINEAR (P/1999 U3)	1.919	0.6127	20.919	4.955	24.55	13.5	18.2	VII 18.3
P/Encke (2P)	0.337	0.8478	11.781	2.216	4.91	11.5	6.6	VIII 5.0
P/Skiff (223P)	2.417	0.4175	27.045	4.149	17.21	12.0	15.2	VIII 17.0
Catalina-LINEAR (P/2004 EW38)	1.795	0.4997	6.525	3.588	12.88	16.5	3.8	IX 19.9
Lemmon-Siding Spring (C/2008 FK75)	4.512	1.0031	61.165	—	—	5.0	29.0	IX 14.6
P/Schwassmann-Wachmann (31P)	3.424	0.1922	4.548	4.238	17.96	5.0	30.3	IX 18.0
NEAT (P/2002 X2)	2.127	0.4504	23.551	3.870	14.98	12.0	4.5	X 15.9
P/Hartley 2 (103P)	1.058	0.6956	13.560	3.477	12.09	10.5	19.0	XI 8.1

q – odległość komety od Słońca w peryhelium [j.a.]

e – mimośród orbity komety

i – nachylenie orbity komety do płaszczyzny ekliptyki [°]

a – wielka półosi orbity komety [j.a.]

P – okres obiegu komety wokół Słońca (w latach)

H(0) – jasność absolutna komety (1 j.a. od Ziemi i 1 j.a. od Słońca) [m].

T₀ – data przejścia komety przez peryhelium w 2010 roku

m_{max} – maksymalna spodziewana jasność komety [m]

[Elementy orbit wg. <http://cfa-www.harvard.edu/iau/Ephemerides/Comets/>, pobrane 17.09.2009]

81P/Wild 2						
Data 2010		α_{2000}	δ_{2000}	Δ	r	m
		h m	° '			
II	1	13 14.5	- 5 02	0.951	1.613	10.0
	11	13 32.4	- 6 02	0.878	1.602	9.8
	21	13 47.8	- 6 41	0.814	1.598	9.6
III	3	14 00.2	- 6 58	0.760	1.600	9.5
	13	14 09.0	- 6 53	0.718	1.608	9.4
	23	14 13.7	- 6 31	0.689	1.623	9.3
IV	2	14 14.8	- 5 58	0.674	1.643	9.4
	12	14 12.8	- 5 23	0.677	1.668	9.5
	22	14 09.2	- 4 55	0.697	1.699	9.7
V	2	14 05.6	- 4 43	0.737	1.734	9.9
	12	14 03.2	- 4 51	0.795	1.773	10.2

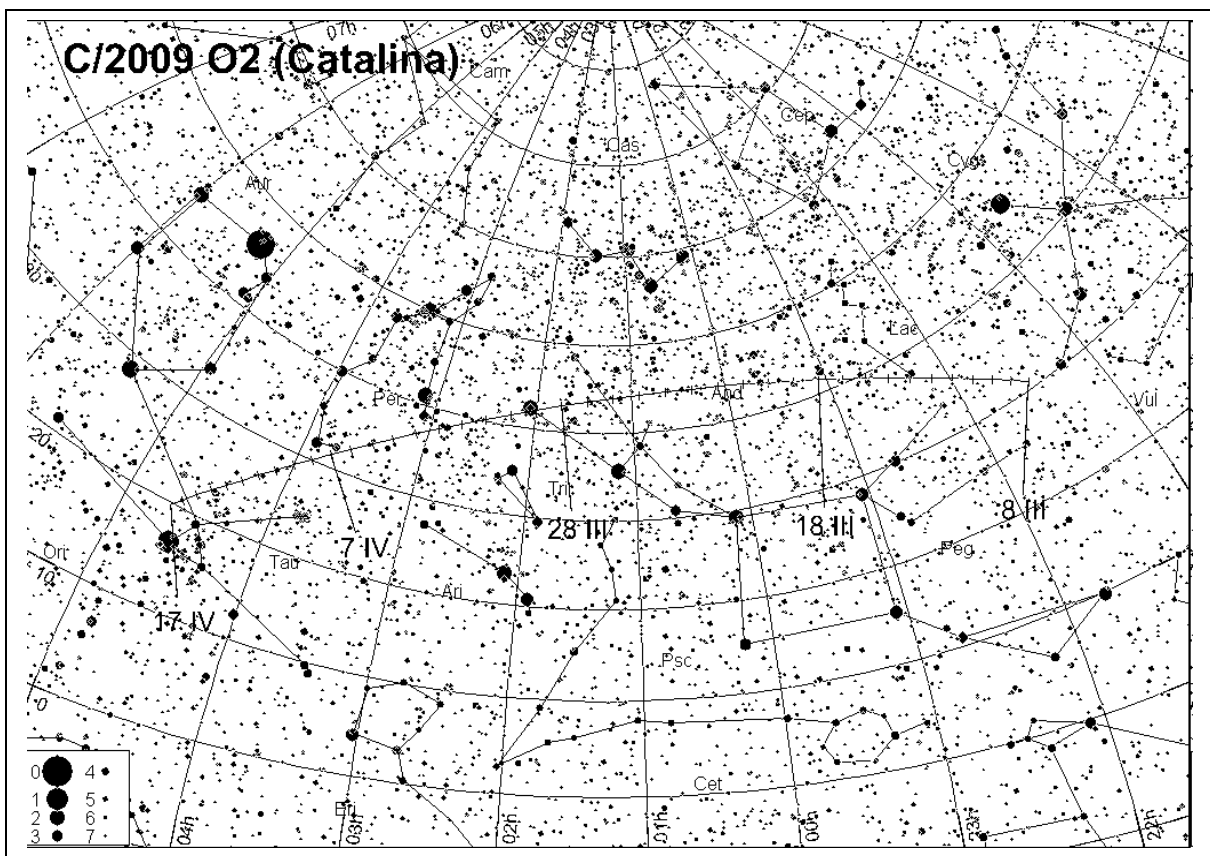
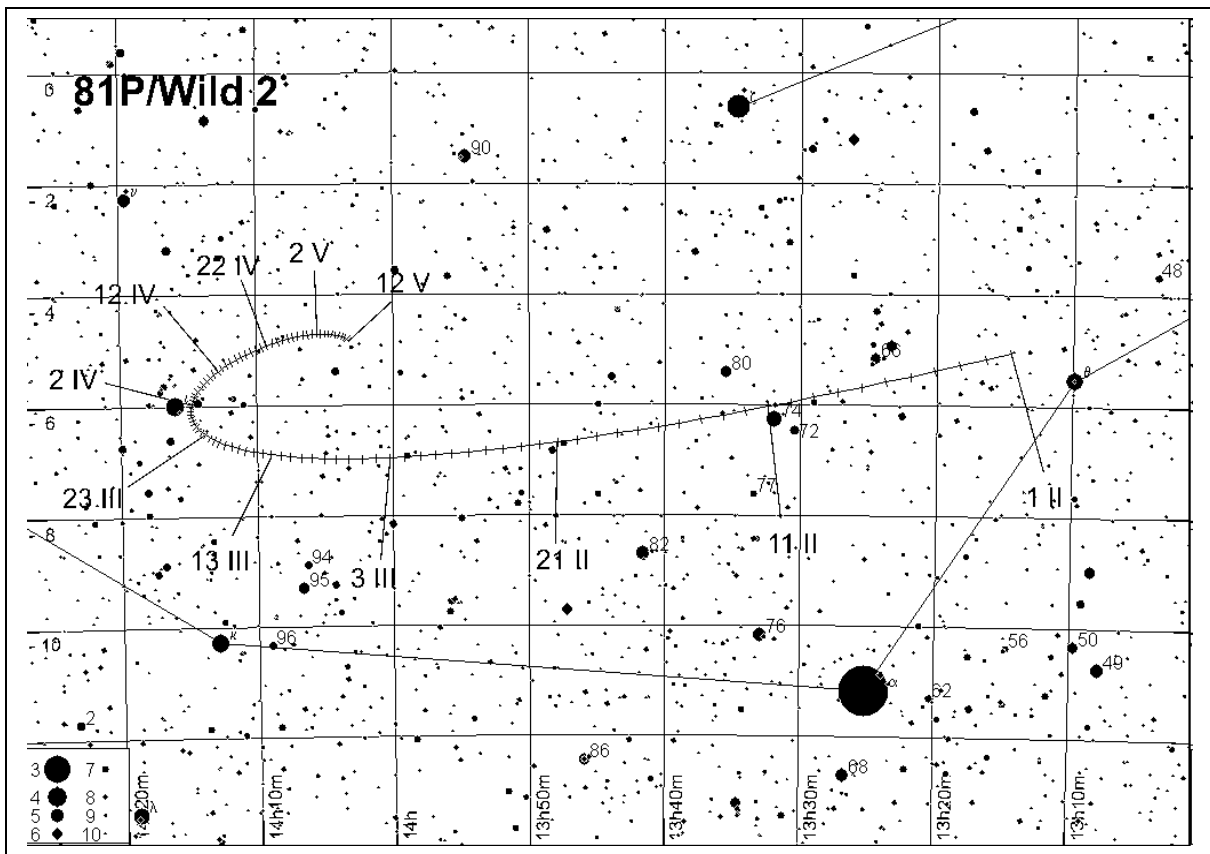
C/2009 O2 (Catalina)						
Data 2010		α_{2000}	δ_{2000}	Δ	r	m
		h m	° '			
III	8	21 29.0	+30 40	1.072	0.769	10.0
	18	23 04.6	+41 29	0.867	0.705	9.2
	28	1 45.0	+42 58	0.813	0.698	9.0
IV	7	3 44.9	+31 24	0.939	0.749	9.6
	17	4 42.3	+19 46	1.165	0.844	10.6

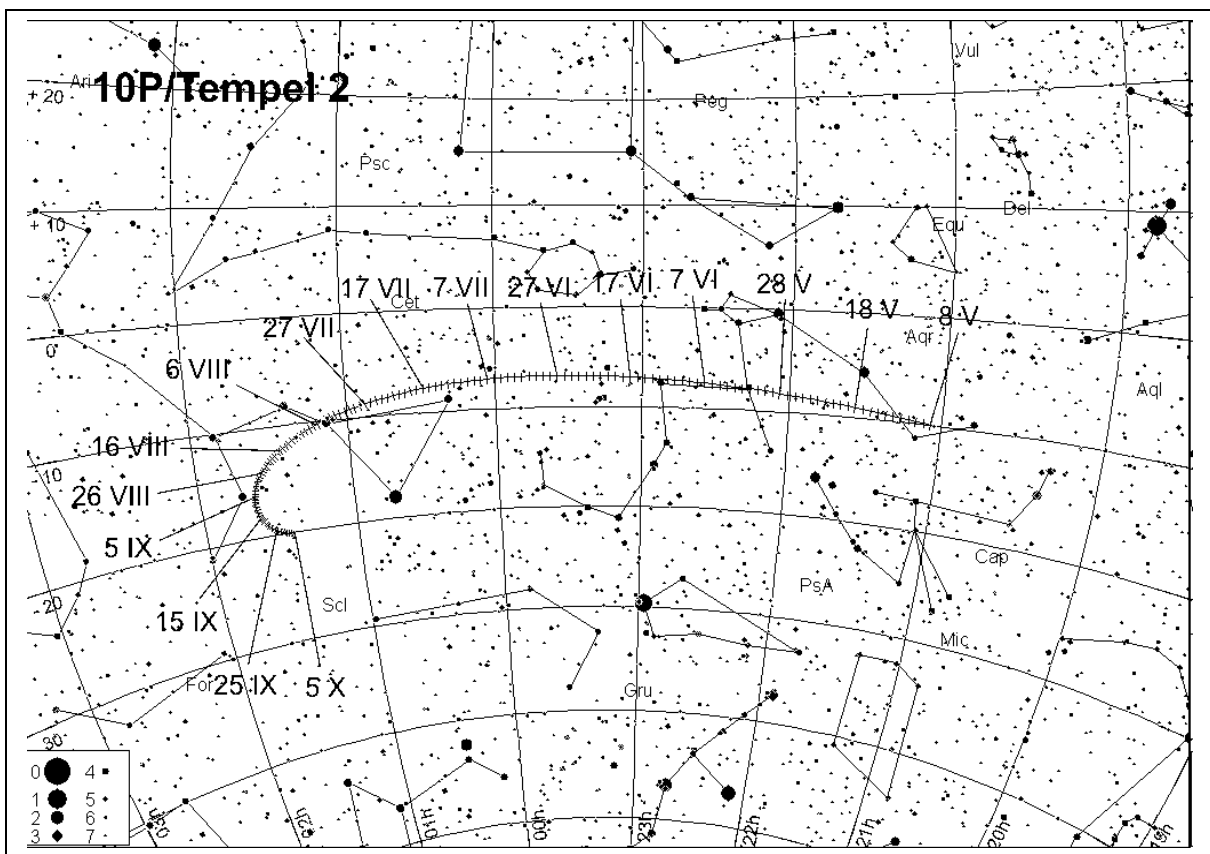
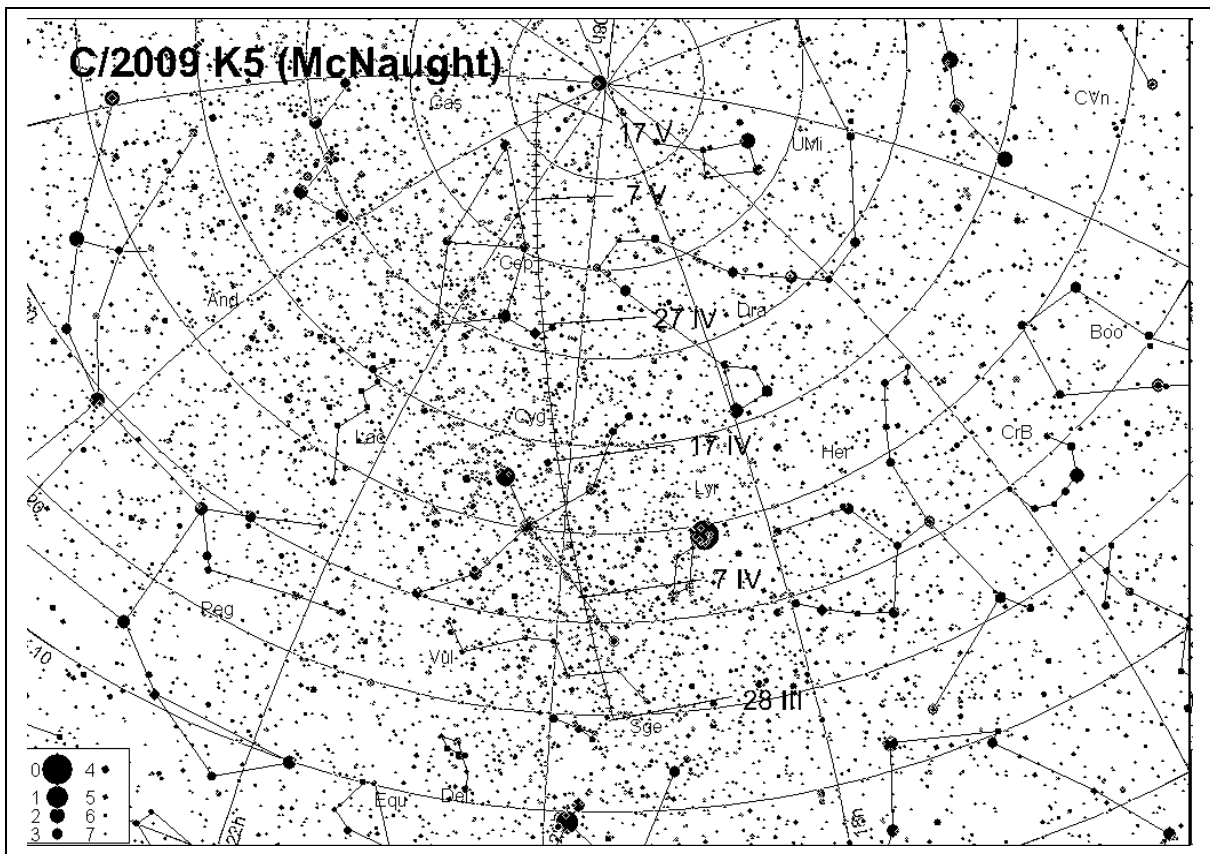
C/2009 K5 (McNaught)						
Data 2010		α_{2000}	δ_{2000}	Δ	r	m
		h m	° '			
III	28	19 31.1	+19 32	1.433	1.500	10.0
IV	7	19 47.3	+32 59	1.313	1.461	9.7
	17	20 08.1	+48 05	1.265	1.435	9.6
	27	20 39.7	+63 02	1.295	1.423	9.6
V	7	21 45.9	+75 42	1.395	1.426	9.8
	17	1 12.7	+82 53	1.542	1.443	10.0

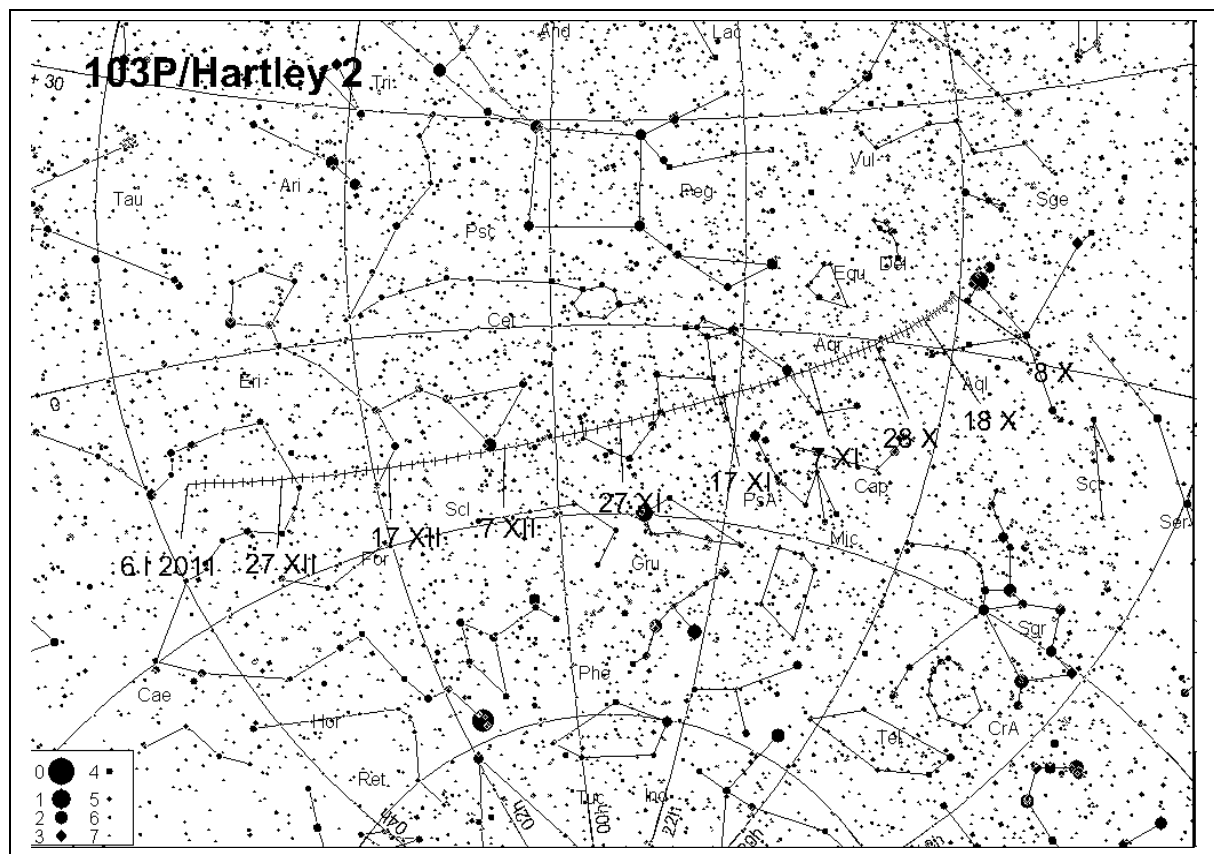
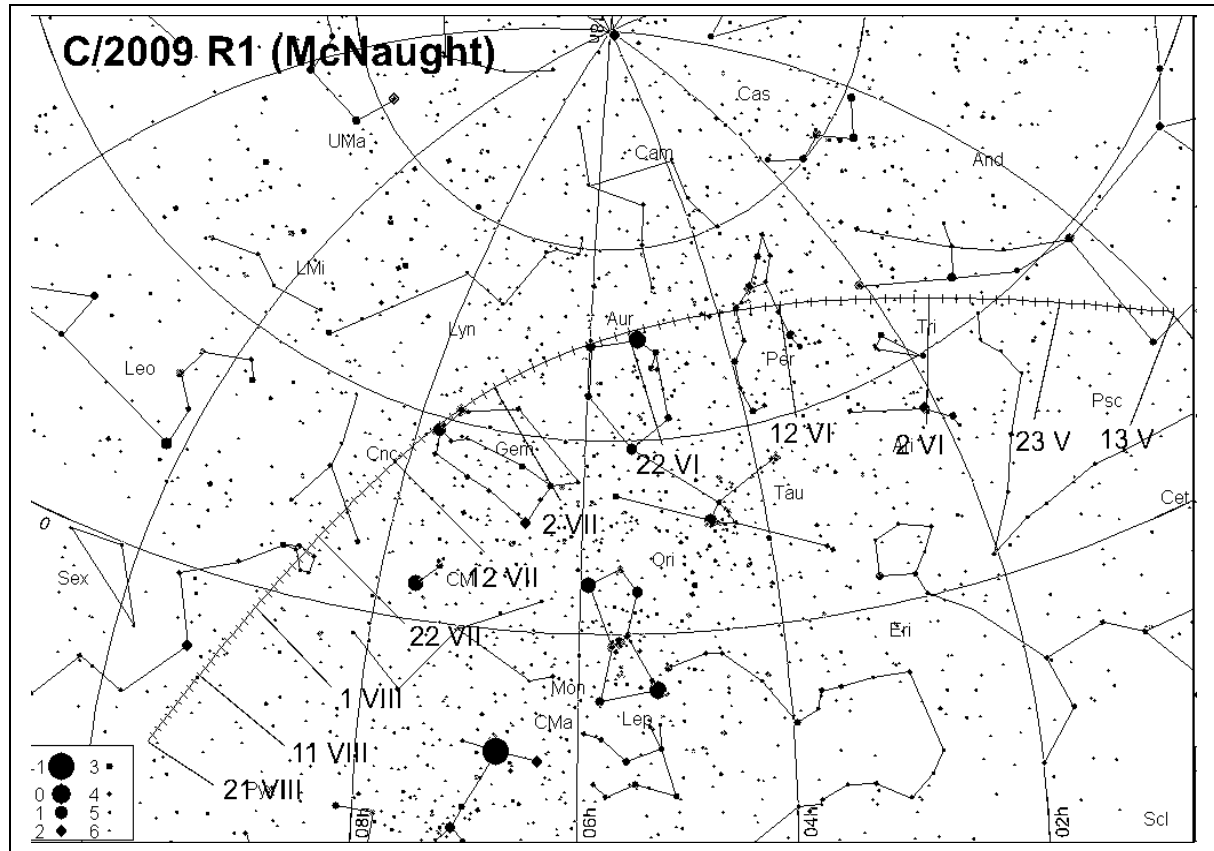
10P/Tempel 2						
Data 2010	α_{2000}	δ_{2000}	Δ	r	m	
	h m	° '				
V 8	21 03.9	- 9 58	1.141	1.545	10.0	
18	21 33.7	- 9 03	1.050	1.509	9.6	
28	22 04.0	- 8 12	0.970	1.477	9.2	
VI 7	22 34.5	- 7 29	0.900	1.453	8.8	
17	23 05.0	- 6 59	0.839	1.435	8.5	
27	23 34.7	- 6 49	0.788	1.425	8.3	
VII 7	0 03.1	- 7 01	0.746	1.423	8.2	
17	0 29.3	- 7 39	0.712	1.429	8.1	
27	0 52.4	- 8 44	0.686	1.442	8.2	
VIII 6	1 11.6	-10 14	0.667	1.462	8.2	
16	1 26.2	-12 07	0.655	1.490	8.4	
26	1 35.5	-14 13	0.651	1.523	8.6	
IX 5	1 39.5	-16 19	0.657	1.562	8.9	
15	1 38.4	-18 12	0.674	1.606	9.3	
25	1 33.4	-19 33	0.706	1.655	9.7	
X 5	1 26.1	-20 11	0.753	1.706	10.2	

C/2009 R1 (McNaught)						
Data 2010	α_{2000}	δ_{2000}	Δ	r	m	
	h m	° '				
V 13	23 59.1	+16 07	1.659	1.228	10.0	
23	0 34.3	+24 50	1.429	1.045	9.0	
VI 2	1 29.8	+35 30	1.244	0.856	7.8	
12	3 05.4	+45 38	1.143	0.666	6.5	
22	5 23.6	+47 19	1.162	0.494	5.3	
VII 2	7 13.3	+36 35	1.290	0.405	4.6	
12	8 08.1	+21 29	1.441	0.476	5.6	
22	8 38.1	+ 8 17	1.572	0.642	7.1	
VIII 1	9 00.1	- 2 30	1.695	0.831	8.3	
11	9 19.1	-11 34	1.815	1.021	9.4	
21	9 36.8	-19 27	1.933	1.205	10.2	

103P/Hartley 2						
Data 2010	α_{2000}	δ_{2000}	Δ	r	m	
	h m	° '				
X 8	20 02.1	+ 6 57	0.435	1.205	9.9	
18	20 17.1	+ 3 29	0.396	1.147	9.4	
28	20 41.7	- 0 32	0.356	1.102	8.9	
XI 7	21 18.0	- 5 13	0.318	1.071	8.5	
17	22 09.1	-10 27	0.287	1.059	8.2	
27	23 16.3	-15 28	0.270	1.064	8.1	
XII 7	0 34.3	-18 39	0.275	1.088	8.2	
17	1 50.0	-18 54	0.305	1.127	8.7	
27	2 52.5	-16 51	0.358	1.180	9.3	
2011 I 6	3 40.7	-13 42	0.430	1.245	10.1	







Meteory

Podana tabela zawiera dane o głównych strumieniach meteorów znanych z obserwacji wizualnych do połowy XX wieku.

Oznaczenia w tabeli:

ΔT – okres aktywności

T_{max} – data maksimum aktywności (śr. – oznacza średnią datę dla wielu maksimów)

λ — długość ekiptyczna Słońca [na epokę 2000.0], określająca położenie Ziemi na orbicie [stopnie]

S – średnica pola radiantu [stopnie]

ΔR – ruch radiantu [stopnie/dobę]

v – prędkość meteoru w atmosferze. Zmienia się od 11 km/s (bardzo wolne) do 72 km/s (bardzo szybkie). Wartość średnia wynosi 40 km/s.

r – określa rozkład jasności meteorów w strumieniu: r=2-2.5 oznacza jaśniejsze niż średnio, r>3 oznacza słabsze niż średnio

ZHR — zenitalna częstotliwość godzinna, wyliczona maksymalna liczba meteorów, które idealny obserwator widziałby na doskonale czystym niebie przy radiancie umieszczonem w zenicie. Jednostką jest ilość meteorów na godzinę (zm. -oznacza prędkość zmienną).

Ostatnia kolumna zawiera krótkie dane o strumieniu, o ruchu odpowiadającegoemu rojowi meteorów, o jego związku z kometą, o dawnych deszczach meteorów i innych wzmacnieniach wielkości n/h w przeszłości.

[Tabelę oparto na danych International Meteor Organization]

Nr	Nazwa strumienia	ΔT	T_{\max}	$\lambda [^{\circ}]$	Współrzędne radiantu		S [$^{\circ}$]	ΔR [$^{\circ}/d$]		v [km/s]	r	ZHR	Uwagi
					α [$^{\circ}$]	δ [$^{\circ}$]		$\Delta\alpha$	$\Delta\delta$				
1	Kwadrantydy	1-5 I	4 I	283.2	230 (15.3 ^b)	+49	5	+0.8	-0.2	41	2.1	120	Obserwowany od 1835 (Szwajcaria). Nazwa pochodzi od nieistniejącego obecnie gwiazdozbioru "Kwadrant Ścieniny". Okres 5.46 lat. Max. w 1943 i 1948r.
2	π Puppidy II (3)	6-14 I	10 I	290.7	113 (7.5 ^b)	-43	5	+0.4	-0.2	35	3.0		
3	δ Cancridy	1-24 I	17 I	297	130 (8.7 ^b)	+20	10/5	+0.9	-0.1	28	3.0	4	
4	α Crucidy	6-28 I	19 I	299.7	192 (12.8 ^b)	-63	10/5	+1.1	-0.2	50	2.9	5	
5	λ Veliidy II (3)	18-26 I	21 I	301.7	133 (8.9 ^b)	-46	5	+0.7	-0.2	35	3.0		
6	α Carinidy	24 I-9 II	31 I	311.7	95 (6.3 ^b)	-54	5	25	2.5				
7	Wirginidy	25 I-15 IV	25 III	śr. 004	159 (10.6 ^b)	+15	15/10			30	3.0	5	Bardzo silnie rozmyty i ruchomy radiant. Powolne, jasne, wyraźne, żółto-pomarańczowe meteory i bolidy. Przynajmniej częściowo związany z kometą 1834r.
					167 (11.1 ^b)	+9							
					174 (11.6 ^b)	+5							
					182 (12.1 ^b)	+1							
					189 (12.6 ^b)	-2							
					195 (13.0 ^b)	-4							
					200 (13.3 ^b)	-6							
					204 (13.6 ^b)	-8							
					208 (13.9 ^b)	-9							
					211 (14.1 ^b)	-11							
					214 (14.3 ^b)	-12							
					217 (14.5 ^b)	-13							
8	θ Centauridy	23 I-12 III	1 II	312.7	210 (14.0 ^b)	-40	6	+1.1	-0.2	60	2.6		
9	α Centauridy	28 I-21 II	8 II	319.2	210 (14.0 ^b)	-59	4	+1.2	-0.3	56	2.0	6	
10	\circ Centauridy	31 I-19 II	11 II	322.7	177 (11.8 ^b)	-56	6	+1.0	-0.3	51	2.8		
11	δ Leonidy	15 II-10 III	24 II	336	168 (7.0 ^b)	+16	8	+0.9	-0.3	23	3.0	2	
12	γ Normidy	25 II-22 III	14 III	353	249 (16.6 ^b)	-51	5	+1.1	+0.1	56	2.4	8	
13	β Pavonidy	11 III-16 IV	7 IV	017.2	308 (20.5 ^b)	-63	10/15	+1.2	+0.1	59	2.6	13	
14	Skorpionidy/ Sagittarydy (1)	15 IV-15 VII	śr. 059	20 V	224 (14.9 ^b)	-18	15/10			30	2.5	5	Związany z kometą Karoliny Herschel 1790 III oraz, być może z kometą 1853 II
					230 (15.3 ^b)	-22							
					236 (15.7 ^b)	-25							
					243 (16.2 ^b)	-27							
					251 (16.7 ^b)	-29							
					260 (17.3 ^b)	-30							
					269 (17.9 ^b)	-30							
					279 (18.6 ^b)	-28							
					288 (19.2 ^b)	-27							
					297 (19.8 ^b)	-24							
15	Lirydy	16-25 IV	22 IV	032.1	271 (18.1 ^b)	+34	5	+1.1	0.0	49	2.9	15	Znane od starożytności (Chiny, 687 r. p.n.e.) Białe meteory bez śladów. Deszcze w 1803 i 1922 (ZHR=1800). Związany z kometą C/Thatcher (1861 G1) o okresie 415 lat.
16	π Puppidy	15-28 IV	24 IV	033.5	110 (7.3 ^b)	-45	5	+0.6	-0.2	18	2.0	zm.	Związane z kometą 26P/Grigg-Skjellerup
17	α Bootydy	14 IV-12 V	27 IV	036.7	218 (14.5 ^b)	+19	8	+0.9	-0.1	20	3.0	3	

Nr	Nazwa strumienia	ΔT	T_{\max}	$\lambda [^{\circ}]$	Współrzędne radiantu		S [$^{\circ}$]	ΔR [$^{\circ}/d$]		v [km/s]	r	ZHR	Uwagi	
					α [$^{\circ}$]	δ [$^{\circ}$]		$\Delta\alpha$	$\Delta\delta$					
18	η Akwarydy	19 IV-28 V	6 V	045.5	338 (22.5 ^h)	-1	4	+0.9	+0.4	66	2.7	60	Znane od wcześniego średniowiecza (Chiny-687 r. n.e.) Bardzo szybkie, długie meteory ze śladami. Związany z kometą 1P/Halley	
19	α Skorpionidy (2)	26 III-12 V	3 V	043.4	240 (16.0 ^h)	-27	5	+0.9	-0.1	35	2.5	10		
20	Ophiuchidy N (2)	25 IV-31 V	10 V	049.7	249 (16.6 ^h)	-14	5	+0.9	-0.1	30	2.9			
21	β Corona Australidy (Koronidy) (2)	23 IV-30 V	15 V	054.7	284 (18.9 ^h)	-40	5	+0.9	-0.1	45	3.1	6	Drobne, białawe meteory	
22	κ Skorpionidy (2)	4-27 V	19 V	058.9	267 (17.8 ^h)	-39	5	+0.9	0.0	45	2.8			
23	Poludniowe Ophiuchidy (2)	13-26 V	20 V	059.8	258 (17.2 ^h)	-24	5	+0.9	-0.1	30	2.9			
24	ω Skorpionidy (2)	23 V-15 VI	4 VI	074.2	243 (16.2 ^h)	-22	5	+0.9	-0.1	23	3.0	7	Znane od starożytności (Grecja). Jasne, powolne żółto-pomarańczowe meteory.	
25	χ Skorpionidy (2)	24 V-20 VI	5 VI	075.2	248 (16.5 ^h)	-14	6	+0.9	-0.1	21	3.1			
26	γ Sagittarydy (2)	22 V-13 VI	6 VI	076.1	272 (18.1 ^h)	-28	6	+0.9	0.0	29	2.9		Powolne, żółtawie meteory	
27	θ Ophiuchidy (2)	4 VI-15 VII	13 VI	082.4	267 (17.8 ^h)	-20	5	+0.9	0.0	27	2.8			
28	Lirydy (czerwcowe)	11-21 VI	16 VI	085.2	278 (18.5 ^h)	+35	5	+0.8	0.0	31	3.0	5		
29	Bootydy (czerwcowe)	26VI-2 VII	27 VI	095.7	224 (14.9 ^h)	+48	8	14	3.0	18	2.2	zm.	Nadzwyczaj powolne czerwonawe meteory. W latach 1916, 1922 obfite, w 1927 ZHR=300. Po 1933 osłabił, data widzialności przesunęła się. Związany z kometą Pons-Winnecke.	
30	λ Sagittarydy (2)	5 VI-25 VII	1 VII	099.6	276 (18.4 ^h)	-25	6	+0.9	0.0	23	2.6			
31	Pegazydy	7-13 VII	10 VII	107.5	340 (22.7 ^h)	+15	5	+0.8	+0.2	70	3.0	3	Jasne i szybkie białe meteory ze śladami	
32	Fenicydy (VII)	10-16 VII	13 VII	111	32 (2.1 ^h)	-48	7	+1.0	+0.2	47	3.0	zm.		
33	Piscis Austrinidy	15 VII-10 VIII	28 VII	125	341 (22.7 ^h)	-30	5	+1.0	+0.2	35	3.2	5		
34	Poludniowe δ Akwarydy	12 VII-19 VIII	28 VII	125	339 (22.6 ^h)	-16	5			4	41	3.2	20	Znany od starożytności. (Chiny, 714 r. p.n.e.) Jeden z najbogatszych strumieni nieba pd.
35	α Kaprikornidy	3 VII-15 VIII	30 VII	127	307 (20.5 ^h)	-10	8			4	25	2.5	4	
36	Poludniowe τ Akwarydy	25 VII-15 VIII	4 VIII	132	334 (22.3 ^h)	-15	5			4	34	2.9	2	
37	Północne δ Akwarydy	15 VII-25 VIII	9 VIII	136	335 (22.3 ^h)	-5	5			42	3.4	4		

Nr	Nazwa strumienia	ΔT	T_{\max}	$\lambda [^{\circ}]$	Współrzędne radiantu		S [$^{\circ}$]	ΔR [$^{\circ}/d$]		v [km/s]	r	ZHR	Uwagi
					α [$^{\circ}$]	δ [$^{\circ}$]		$\Delta\alpha$	$\Delta\delta$				
38	Perseidy	17 VII-24 VIII	13 VIII	139.8	46 (3.1 ^h)	+58	5			59	2.6	110	Znany od starożytności Szybkie białe meteory ze śladami. Padają pęczkami po 6-15 meteorów w czasie 2-3 minut. W 1921 r. ZHR=400! Przesuwający się radiant. Związane z kometą 109P/Swift-Tuttle
39	κ Cygnidy	3-25 VIII	18 VIII	145	286 (19.1 ^h)	+59	6			25	3.0	3	
40	Północne τ Akwarydy	11-31 VIII	20 VIII	147	327 (21.8 ^h)	-6	5			31	3.2	3	
41	π Erydanidy	20 VIII-5 IX	29 VIII	155.7	52 (3.5 ^h)	-15	6	+0.8	+0.2	59	2.8		
42	α Aurigidy	25 VIII-8 IX	1 IX	158.6	84 (5.6 ^h)	+42	5	+1.1	0.0	66	2.5	10	Związany z kometą Kiesa 1911 II. Szybkie meteory ze śladami
43	δ Aurigidy	5 IX-10 X	9 IX	166	60 (4.0 ^h)	+47	5	+1.0	+0.1	64	3.0	6	
44	Piscydy	1-30 IX	20 IX	177	5 (0.3 ^h)	-1	8	+0.9	+0.2	26	3.0	3	Związany z kometą 1907 IV Morehouse. Powolne, jasne, czerwonawe meteory.
45	κ Akwarydy	8 IX-30 IX	21 IX	178.7	339 (22.6 ^h)	-2	5	+1.0	+0.2	16	3.0	3	
45	Puppidy/ Velidy 30 IX 10 X 20 X 30 X 10 XI 20 XI 30 XI 10 XII 20 XII 30 XII	28 IX-30 XII	kilka	kilka	104 (6.9 ^h) 107 (7.1 ^h) 110 (7.3 ^h) 113 (7.5 ^h) 116 (7.7 ^h) 120 (8.0 ^h) 126 (8.4 ^h) 132 (8.8 ^h) 137 (9.1 ^h) 141 (9.4 ^h)	-44 -44 -44 -44 -44 -44 -44 -44 -44 -44	10			41	2.9		
47	Kaprikornidy (październikowe)	20 IX-14 X	3 X	189.7	303 (20.2)	-10	5	+0.8	+0.2	15	2.8	3	
48	σ Orionidy	10 IX-26 X	5 X	191.7	86 (5.7 ^h)	-3	5	+1.2	0.0	65	3.0	3	
49	Drakonidy	6-10 X	9 X	195.4	262 (17.5 ^h)	+54	5			20	2.6	2	Związany z kometą 21P/Giacobini-Zinner, znany już 15 lat przed jej odkryciem. Deszcze w latach 1926, 1933 (ZHR=1000) i w 1946.
50	ϵ Geminidy	14-27 X	18 X	205	102 (6.8 ^h)	+27	5	+1.0	0.0	70	3.0	2	Związany z kometą C/Ikeva (1964 N1)
51	Orionidy	2 X-7 XI	21 X	208	95 (6.3 ^h)	+16	10	+1.2	+0.1	66	2.9	20	Drugie spotkanie z meteorami związanymi z kometą 1P/Halley w zstępującym weźle jej orbity. Duży strumień białych meteorów ze śladami.

Nr	Nazwa strumienia	ΔT	T_{\max}	$\lambda [^{\circ}]$	Współrzędne radiantu		S [$^{\circ}$]	ΔR [$^{\circ}/d$]		v [km/s]	r	ZHR	Uwagi
					α [$^{\circ}$]	δ [$^{\circ}$]		$\Delta\alpha$	$\Delta\delta$				
52	Południowe Taurydy	1X-25 XI	5 XI	223	52 (3.5 ^h)	+13	10/5			27	2.3	5	Znane od średniowiecza (Chiny, XI w.). Żółtopomarańczowe powolne meteory. Są związane z kometą 2P/Encke. Powtórnie, wracając od Słońca, spotykają Ziemię w ciągu dnia w węźle zstępującym swojej orbity jako radiostrumień β Taurydy.
53	Północne Taurydy	1 X -25 XI	12 XI	230	58 (3.9 ^h)	+22	10/5			29	2.3	5	Związane z kometą 2P/Encke
54	Leonidy	14-21 XI	18 XI	235.3	153 (10.2 ^h)	+22	5	+0.7	-0.4	71	2.5	100+	Znane od średniowiecza (Egipt, 899 r. n.e.). Bardzo szybkie meteory, zielonkawe ślady nawet u słabych. W 33 powrotnach obserwowa- no 22 deszcze. W XX w. deszcze 1901 r. (Anglia), 1934 r. (Azja Śr.) i 17 XI 1966 r. (ZHR=140 tys., Pln. Arktyka, USA). Związane z kometą 55P/Tempel-Tuttle, o okresie 33.25 lat.
55	α Monocerotydy	15-25 XI	22 XI	239.3	117 (7.8 ^h)	+1	5	+1.1	-0.1	65	2.4	zm.	W 1925 i 1935 r. ZHR=100
56	χ Orionidy	26 XI-15 XII	2 XII	250	82 (5.5 ^h)	+23	8	+1.2	0.0	28	3.0	3	
57	Fenicydy (grudniowe)	28 XI-9 XII	6 XII	254.3	18 (1.2 ^h)	-53	5	+0.8	+0.1	18	2.8	zm.	Nieoczekiwany deszcz 5-6 XII 1956r. (ZHR=300). Białe meteory bez śladów. Związany prawdopodobnie z kometą D/Blanpain (1819 W1).
58	σ Puppidy II (3)	1 -15 XII	7 XII	255	123 (8.2 ^h)	-45	5	+0.3	-0.1	40	2.9	10	
59	Monocerotydy (grudniowe)	27 XI-17 XII	9 XII	257	100 (6.7 ^h)	+8	5	+1.2	0.0	42	3.0	3	Związane z kometą D/Mellish (1917 F1)
60	σ Hydrydy	3-15 XII	12 XII	260	127 (8.5 ^h)	+2	5	+0.7	-0.2	58	3.0	2	
61	Geminidy	7-17 XII	14 XII	262.0	112 (7.5 ^h)	+33	4	+1.0	-0.1	35	2.6	120	Najobfitszy strumień nieba pln. Białe meteory bez śladów. W ciągu 22 dni radiant przesuwa się o 27°. Związany z planetoidą (prawdopodobnie wygasłą kometą) 3200 Phaeton
62	Coma Berenicydy	12 XII-23 I	20 XII	268	175 (11.7 ^h)	+25	5	+0.8	-0.2	65	3.0	5	
63	Ursydy	17-26 XII	23 XII	270.7	217 (14.5 ^h)	+76	5			33	3.0	10	Związany z kometą 8P/Tuttle. Pojawił się nieoczekiwanie 22 XII 1945 z ZHR=100. Okres obiegu komety 13.6 lat.
64	Tau-Puppidy (3)	19-30 XII	23 XII	272.0	104 (6.9 ^h)	-50	5	+0.2	-0.1	33	3.0		

ZAĆMIENIA

Zaćmienia Słońca

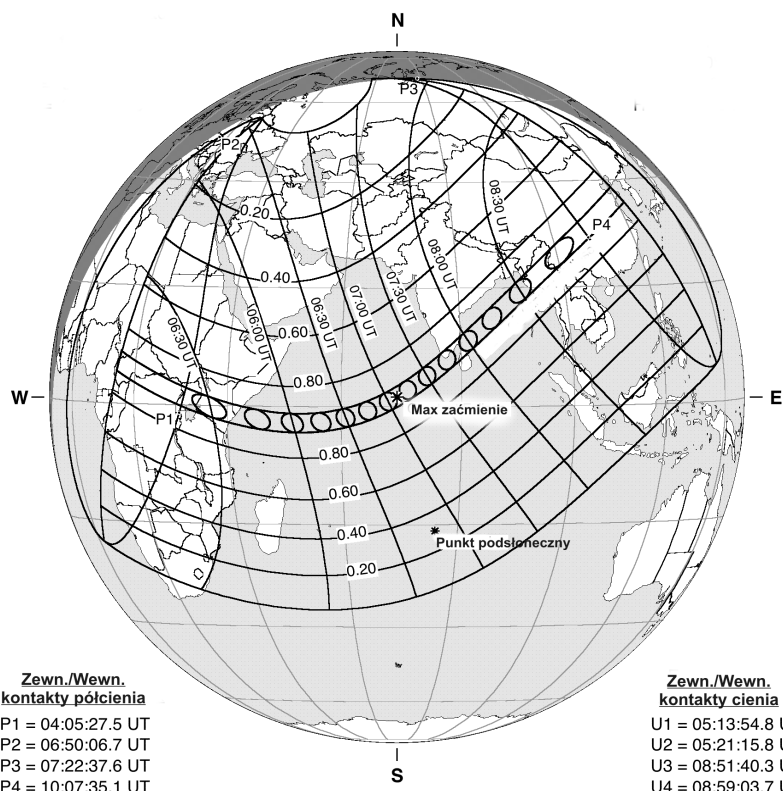
1. Obrączkowe zaćmienie Słońca 15 stycznia 2010.

Pas fazy obrączkowej zaćmienia rozpoczęcie się 15 stycznia 2010 o godzinie 5^h14^m w zachodniej części Republiki Środkowoafrykańskiej, w punkcie o współrzędnych $\varphi = 6^{\circ}20'N$, $\lambda = 16^{\circ}02'E$. W związku z tym, że Księżyc zaledwie w dwa dni później znajdzie się w apogum, jego duża odległość od Ziemi w czasie zaćmienia sprawi, że pas zaćmienia obrączkowego będzie wyjątkowo szeroki. Poruszając się na wschód, cień Księżyca przemknie przez Ugandę, Kenię (w tym jej stolicę, Nairobi) i południową Somalię, wkraczając na obszar Oceanu Indyjskiego, wydłużając czas trwania fazy obrączkowej z 7 do 9 minut. Pierwszym napotkanym lądem będą dopiero wyspy Malediwy. W dalszej kolejności cień przejdzie między południowym krańcem Półwyspu Indyjskiego i Sri Lanką (Cejlonem), po czym wkroczy na kontynent azjatycki w Birmie. Po przekroczeniu Himalajów cień Księżyca wkroczy na terytorium Chin. Zaćmienie obrączkowe zakończy się 15 stycznia 2010 o godzinie 9^h00^m w pobliżu miasta Weifang na wschodnim wybrzeżu Chin, w punkcie o współrzędnych $\varphi = 36^{\circ}13'N$, $\lambda = 120^{\circ}52'E$.

Maksymalny czas trwania fazy obrączkowej dla obserwatora na Ziemi będzie wynosił 11^m07.8^s (rekord ten zostanie pobity dopiero 23 grudnia 3043 r.), wielkość fazy maksymalnej $F=0.9190$.

Częściowe fazy zaćmienia będą widoczne całej Azji, całej Afryce (z wyjątkiem południowych i zachodnich krańców kontynentu), we wschodniej Europie oraz całym Oceanie Indyjskim.

Geocentryczne złączenie Słońca i Księżyca w rektascensji nastąpi 15 stycznia 2010 o godzinie 7^h12^m28.5^s.



Courtesy of Annular and Total Solar Eclipses of 2010, NASA /TP-2008-214171, F. Espenak and J. Anderson, 2008.

W południowo-wschodniej Polsce widoczne o wschodzie Słońca jako częściowe o bardzo małej fazie (Ustrzyki Górnne w Bieszczadach: 0.06, Kraków: 0.05)

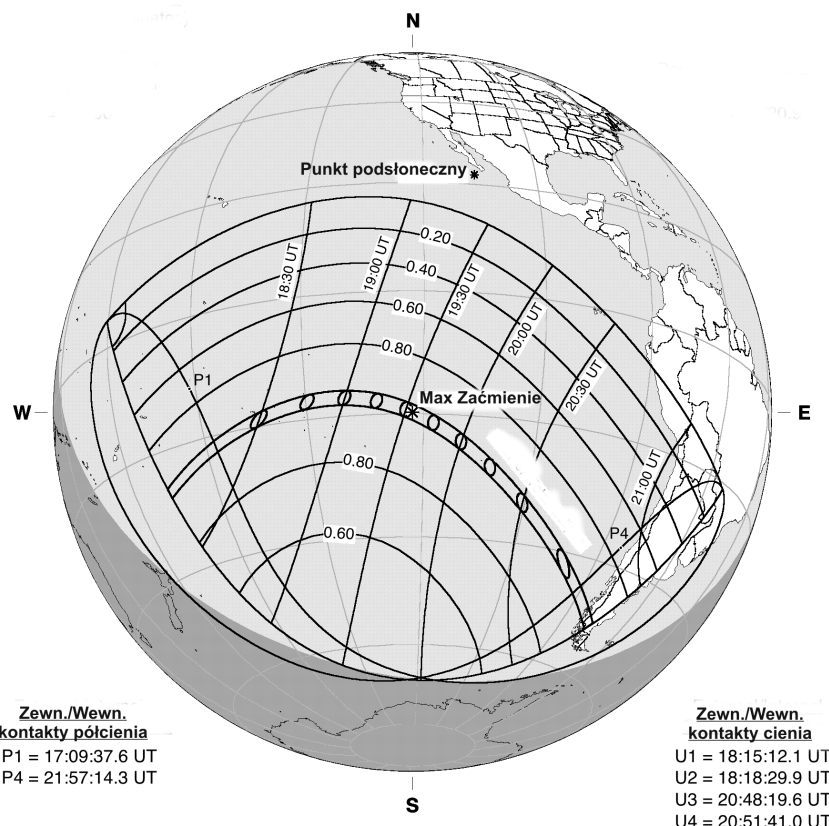
2. Całkowite zaćmienie Słońca 11 lipca 2010.

Pas fazy całkowitej zaćmienia rozpoczęte się 11 lipca 2010 o godzinie $18^{\text{h}}16^{\text{m}}$ na południowym Pacyfiku, około 700 km na południowy-zachód od wysp Tonga w punkcie o współrzędnych $\varphi = 26^{\circ}18' \text{S}$, $\lambda = 171^{\circ}09' \text{W}$. Poruszając się na północny-wschód cień Księżyca przejdzie zaledwie 25 km od Rarotongi – największej wyspy z Archipelagu Cooka. Następnie pas fazy całkowitej przejdzie 20 km od południowego krańca wysp Tahiti. Pierwszym lądem, jaki napotka cień Księżyca, będzie Wyspa Wielkanocna, gdzie w jej stolicy, Hanga Roa, zaćmienie całkowite będzie trwało $4^{\text{m}}41^{\text{s}}$. Na kontynent Ameryki Południowej pas fazy całkowitej wkroczy na wybrzeżu południowego Chile. Zaćmienie zakończy się 11 lipca 2010 o godzinie $20^{\text{h}}53^{\text{m}}$ w południowej Argentynie, w punkcie o współrzędnych $\varphi = 50^{\circ}22' \text{S}$, $\lambda = 71^{\circ}03' \text{W}$. Centralna faza zaćmienia w średnie południe nastąpi 11 lipca 2010 o godzinie $19^{\text{h}}33^{\text{m}}31^{\text{s}}$ na południowym Pacyfiku, w punkcie o współrzędnych $\varphi = 19^{\circ}44.9' \text{S}$, $\lambda = 122^{\circ}09.1' \text{W}$.

Maksymalny czas trwania fazy całkowitej dla obserwatora na Ziemi będzie wynosił $5^{\text{m}}20.2^{\text{s}}$, wielkość fazy maksymalnej $F=1.058$.

Częściowe fazy zaćmienia będą widoczne w całej południowej części Oceanu Spokojnego i w południowo-zachodniej części Ameryki Południowej.

Geocentryczne złączenie Słońca i Księżyca w rektascensji nastąpi 11 lipca 2010 o godzinie $19^{\text{h}}41^{\text{m}}33.5^{\text{s}}$.



Courtesy of *Annular and Total Solar Eclipses of 2010*, NASA /TP-2008-214171, F. Espenak and J. Anderson, 2008.

W Polsce zaćmienie niewidoczne

Zaćmienia Księżyca

1. Częściowe zaćmienie Księżyca 26 czerwca 2010.

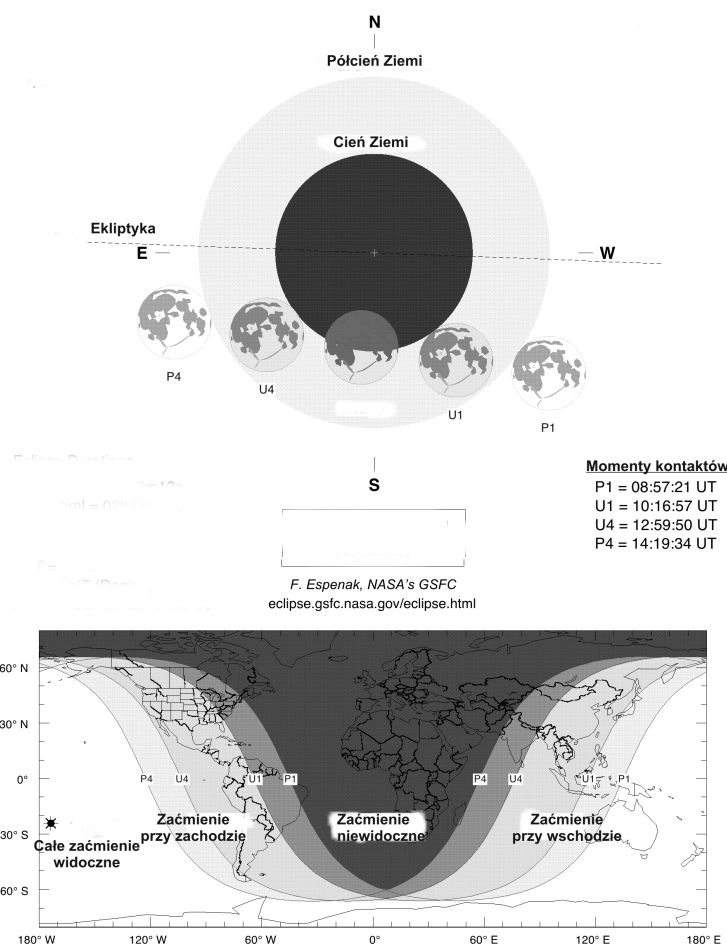
Zaćmienie widoczne w centralnej i wschodniej części Australii, na Nowej Gwinei, środkowej części Oceanu Spokojnego i na całym kontynencie Antarktydy; w południowo-wschodniej Azji, Indonezji, zachodniej Australii i zachodniej części Oceanu Spokojnego przy wschodzie Księżyca, oraz w południowo-zachodniej części Ameryki Północnej, w praktycznie całej Ameryce Południowej i we wschodniej części Pacyfiku przy zachodzie Księżyca.

Przebieg zaćmienia (czas w UT):

	T
Początek zaćmienia półcieniowego:	8 ^h 57 ^m
Początek zaćmienia częściowego:	10 ^h 17 ^m
Maksimum zaćmienia:	11 ^h 38 ^m
Koniec zaćmienia częściowego:	13 ^h 00 ^m
Koniec zaćmienia półcieniowego:	14 ^h 20 ^m

Maksymalna faza zaćmienia częściowego: 0.5368

Geocentryczna opozycja Słońca i Księżyca w rektascensji nastąpi 26 czerwca 2010 o godzinie 11^h31^m27.7^s.



W Polsce zaćmienie niewidoczne

2. Całkowite zaćmienie Księżyca 21 grudnia 2010.

Zaćmienie widoczne w Ameryce Północnej, na Morzu Arktycznym, we wschodniej części Oceanu Spokojnego; we wschodniej Azji, w Indonezji, w Australii oraz zachodniej części Oceanu Spokojnego przy wschodzie Księżyca, natomiast w Europie, zachodniej Afryce i na Atlantyku przy zachodzie Księżyca.

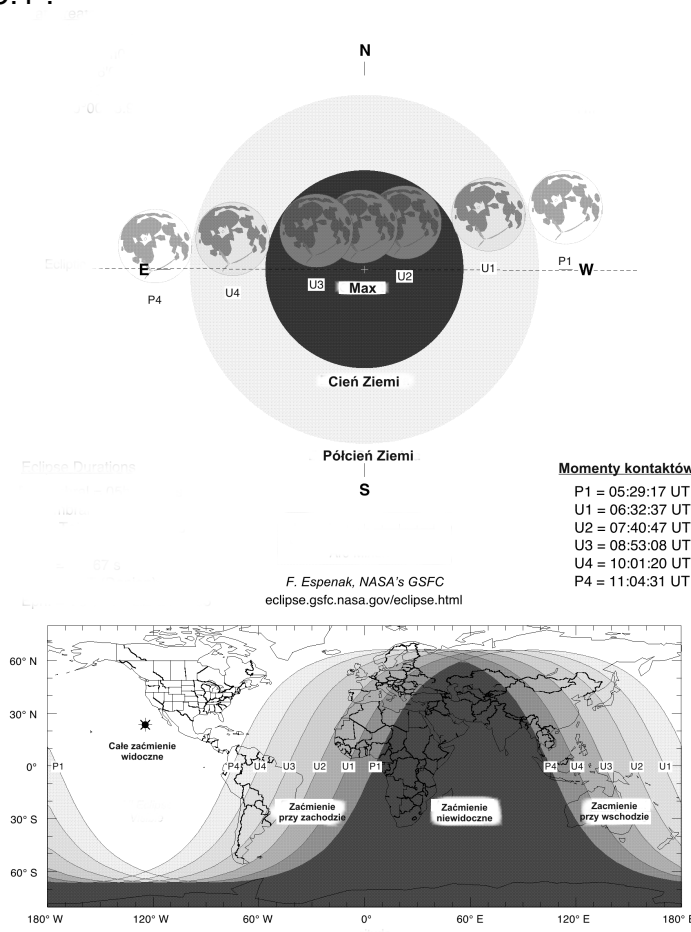
Przebieg zaćmienia (czas w UT):

	T	A _k	h _k
Początek zaćmienia półcieniowego:	5 ^h 29 ^m	296°	9°
Początek zaćmienia częściowego:	6 ^h 33 ^m	308°	1°
Początek zaćmienia całkowitego:	7 ^h 41 ^m	321°	-6°
Maksimum zaćmienia:	8 ^h 17 ^m	329°	-9°
Koniec zaćmienia całkowitego:	8 ^h 53 ^m	336°	-12°
Koniec zaćmienia częściowego:	10 ^h 01 ^m	351°	-15°
Koniec zaćmienia półcieniowego:	11 ^h 05 ^m	6°	-15°

(Azymut A_k (liczony od północy) i wysokość nad horyzontem h_k podane dla Warszawy: λ = 21.0° E, φ = 52.2° N)

Maksymalna faza zaćmienia całkowitego: 1.2561

Geocentryczna opozycja Słońca i Księżyca w rektascensji nastąpi 21 grudnia 2010 o godzinie 8^h14^m33.1^s.



W Polsce zaćmienie widoczne przy zachodzie Księżyca.

Księżyce Jowisza

Przedstawione grafiki ukazują ruch czterech największych, galileuszowych księżyców Jowisza (I-Lo, II-Europy, III-Ganimedesa i IV-Callisto) względem macierzystej planety tak, jak widać go na sferze niebieskiej. Każda strona obejmuje okres jednego, wypisanego u góry, miesiąca. Diagramy podane są na okres całego roku, w związku z łatwością obserwacji księżyców. Centralny, pionowy pas przedstawia dysk Jowisza. Poziome linie wyznaczają początki kolejnych dni kalendarzowych, tzn. odpowiadają $0^{\text{h}}00^{\text{m}}$ UT przypisanych do nich dat. Długości podanych odcinków czasu zostały znormalizowane do 32 dni, tzn. data 0.0 oznacza ostatni dzień poprzedzającego miesiąca, a daty po końcu danego miesiąca (np. 31.0 luty) - kolejne dni następnego miesiąca. Konfiguracja księżyców przedstawiona jest w układzie prostym, nieodwróconym (jak w lornetce pryzmatycznej, często używanej do ich obserwacji), tzn. wschód jest na lewo od pasa centralnego (Jowisza), zachód na prawo. Aby określić konfiguracje księżyców dla określonej daty, należy przeprowadzić linię poziomą (przyłożyć linijkę) w miejscu odpowiadającym danemu momentowi. Punkty przecięcia się linii z krzywoliniowymi „trasami” księżyców będą określały położenia (względem dysku planety) odpowiednich księżyców w danej chwili. Przerwa w „trasie” danego księżyca oznacza jego przebywanie w cieniu Jowisza.

Zamieszczono także tabele przedstawiające zjawiska zachodzące w układzie galileuszowych księżyców Jowisza. Uwzględniono jedynie te zjawiska, które zachodzą gdy Jowisz znajduje się co najmniej 5° nad horyzontem a Słońce co najmniej 1° pod horyzontem (dla środka Polski). W kolejnych kolumnach tabeli zamieszczono:

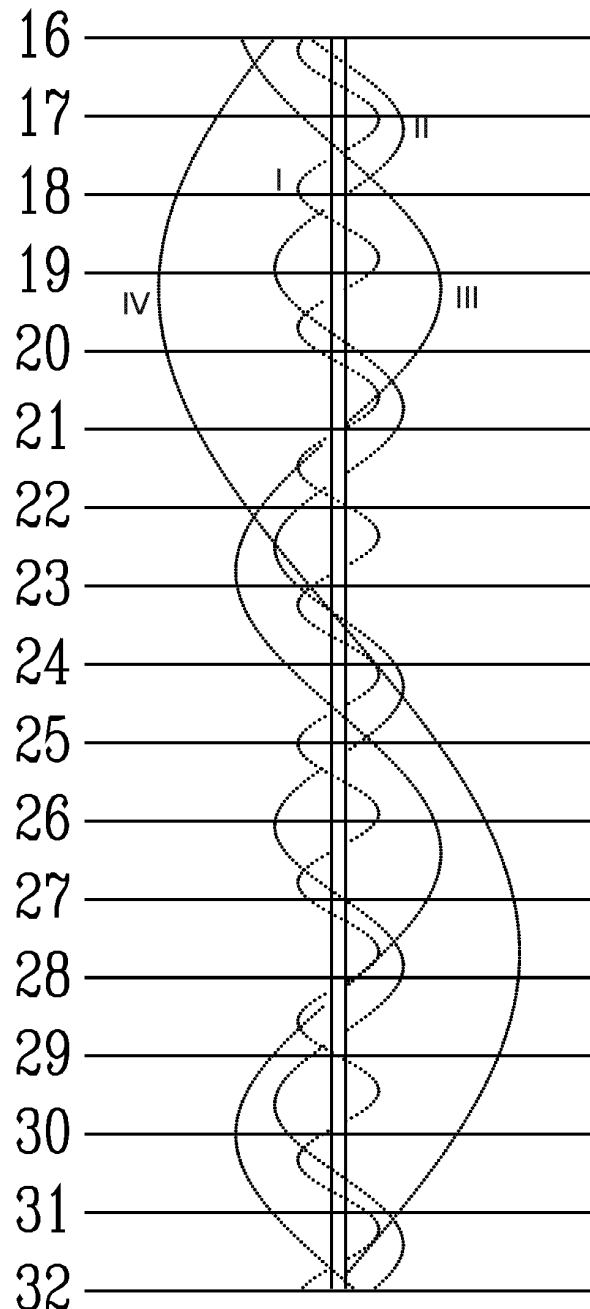
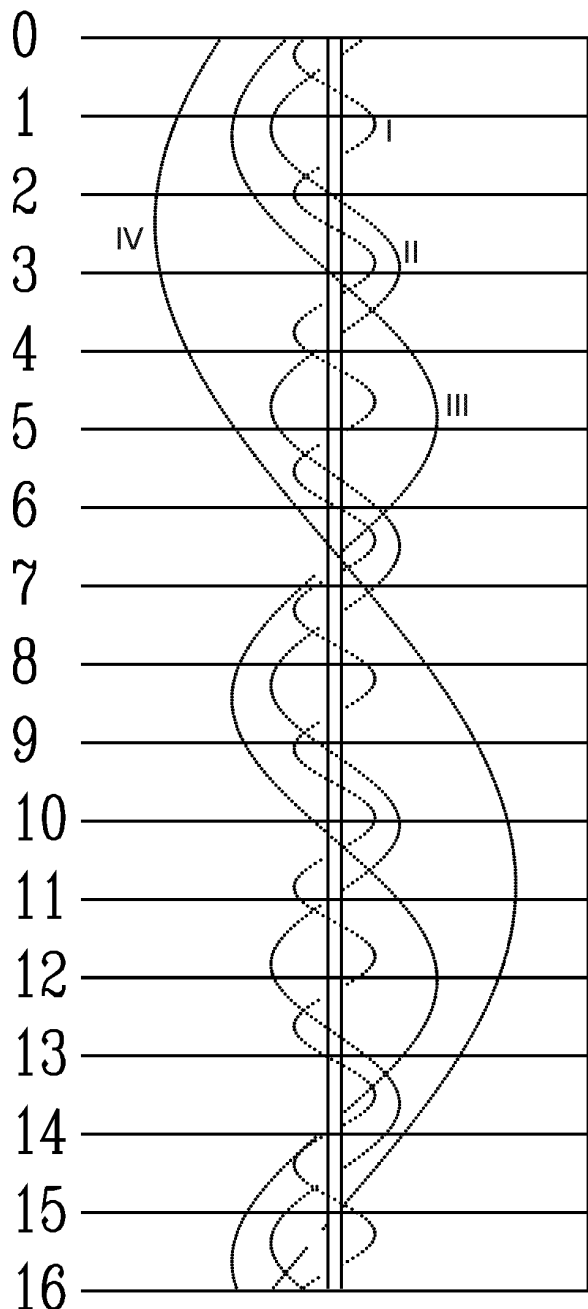
- dla podanego miesiąca (trzyliterowy skrót) dzień,
- godzinę i minutę wystąpienia zjawiska,
- opis zjawiska.

Opis zjawiska składa się z trzech części:

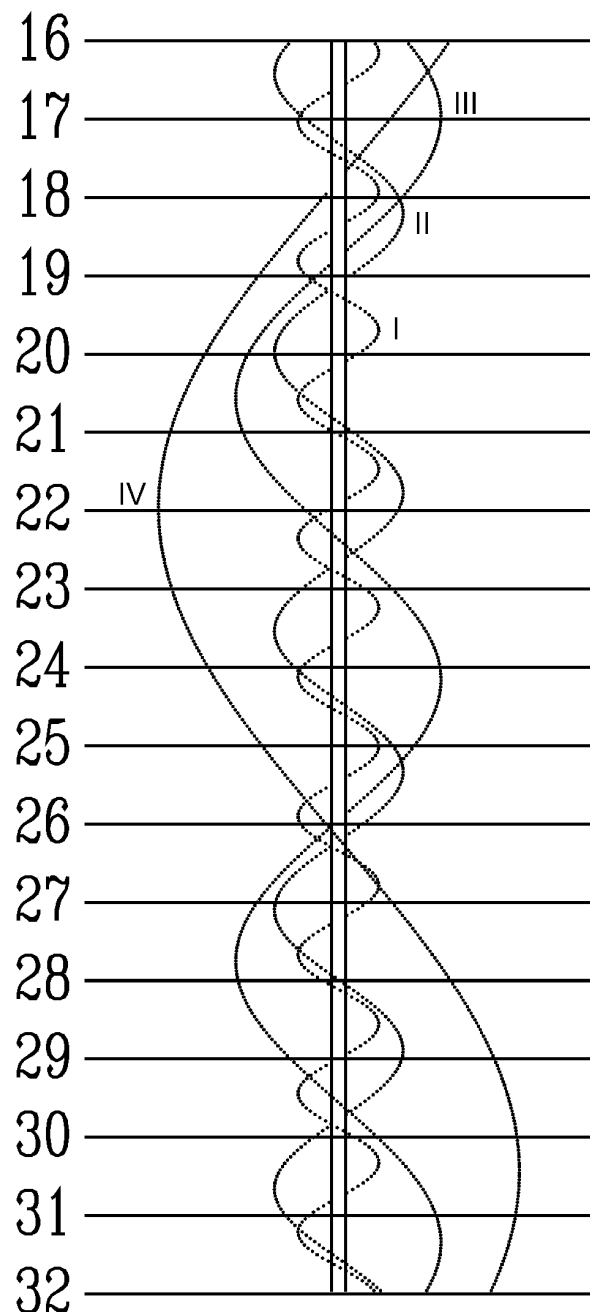
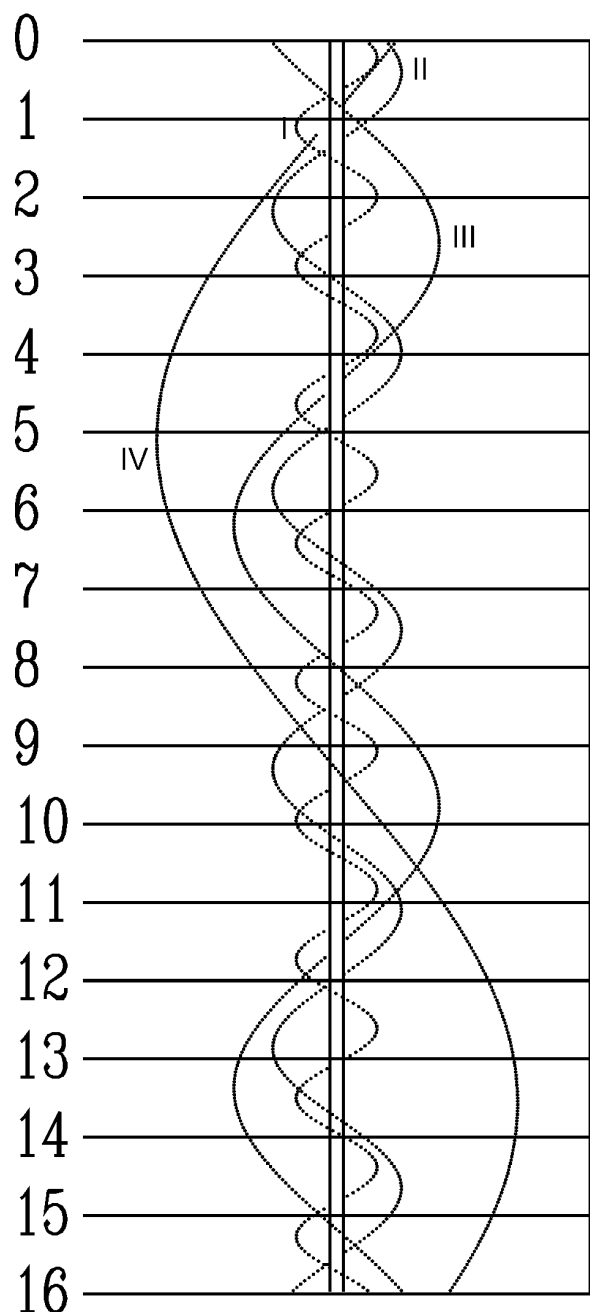
- numeru księżyca (**I**, **II**, **III**, **IV**),
- rodzaju zjawiska (**Ci** - przejście cienia księżyca na tle tarczy planety, **Ks** - przejście księżyca na tle tarczy planety, **Zak** - zakrycie księżyca przez tarczę planety, **Zac** - zaćmienie księżyca przez cień planety),
- określenia początku (**P**) lub końca (**K**) zjawiska.

I tak np. „**I.Zak.-K**” oznacza koniec zakrycia księżyca Io przez tarczę planety.

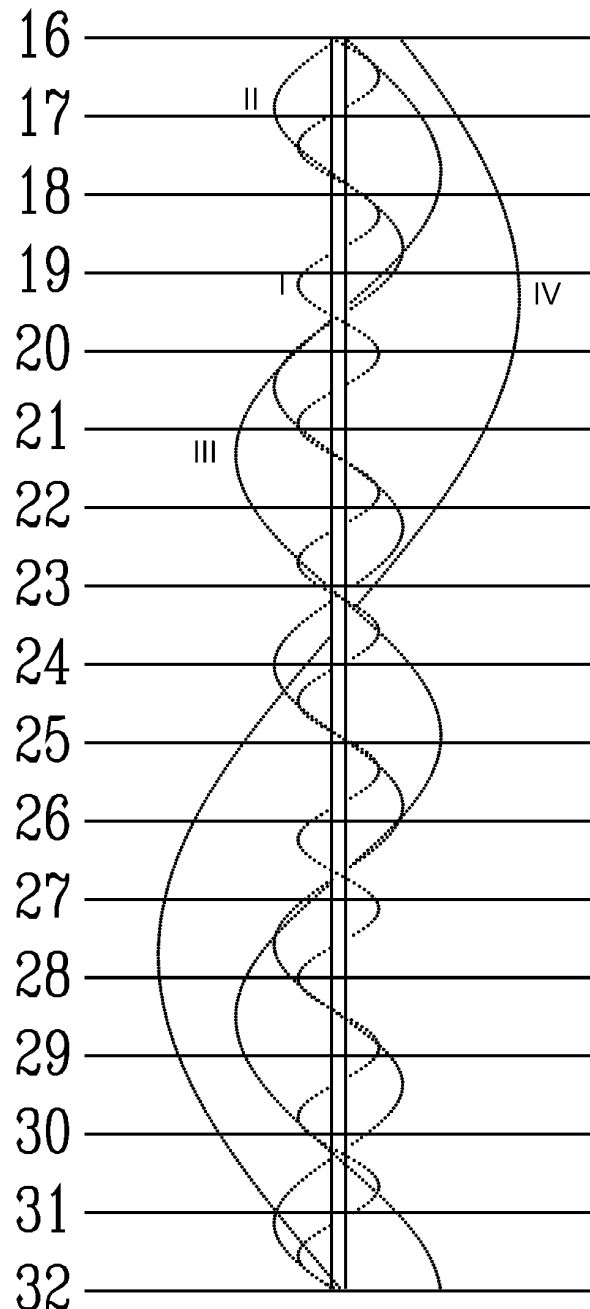
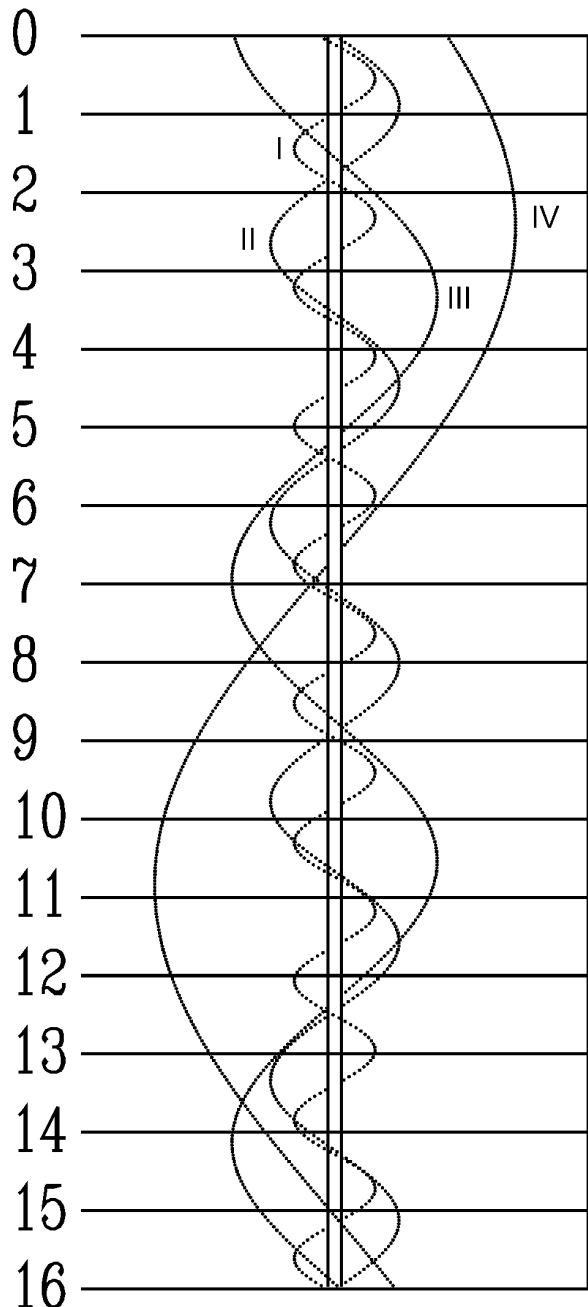
STYCZEŃ



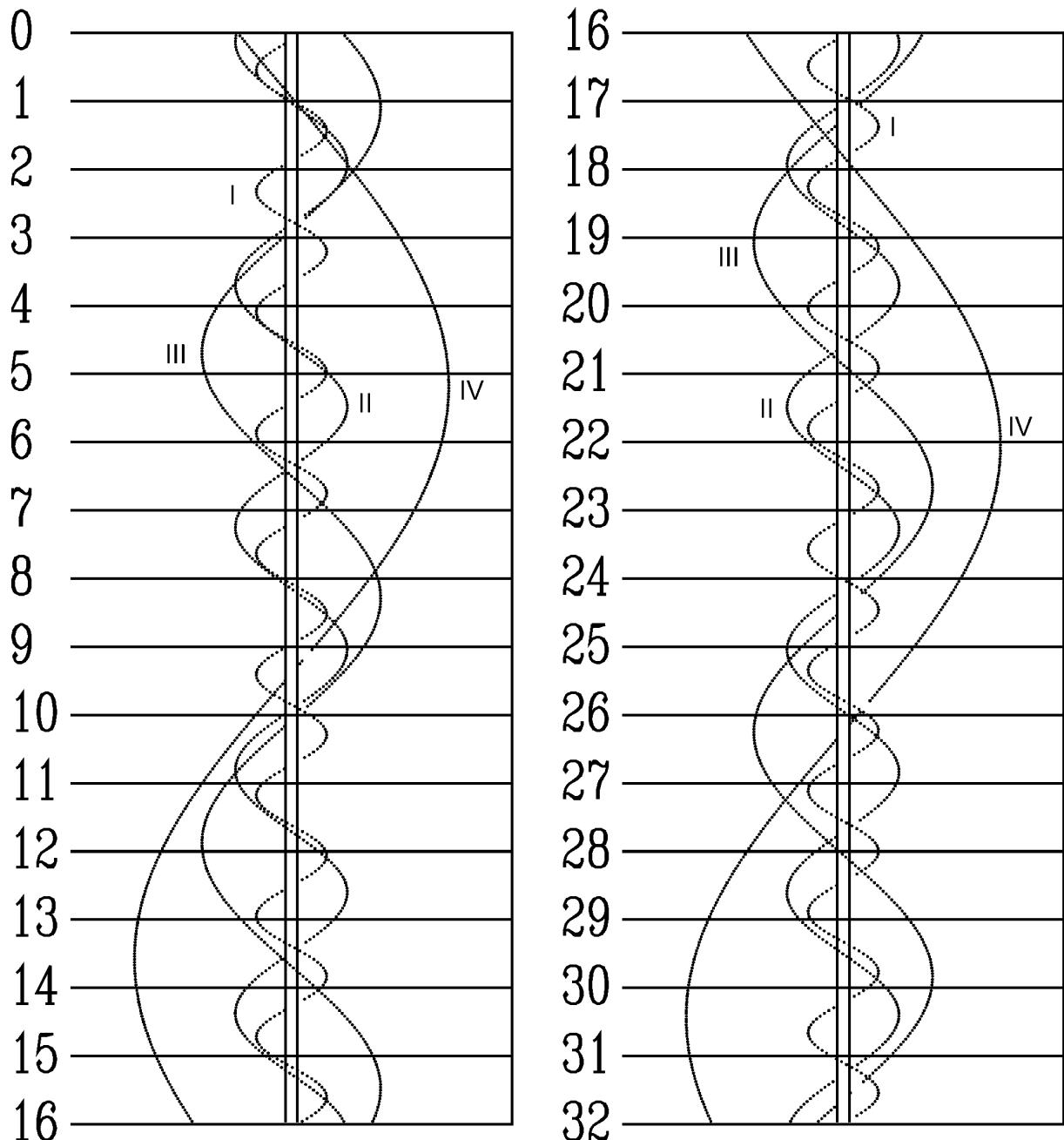
LUTY



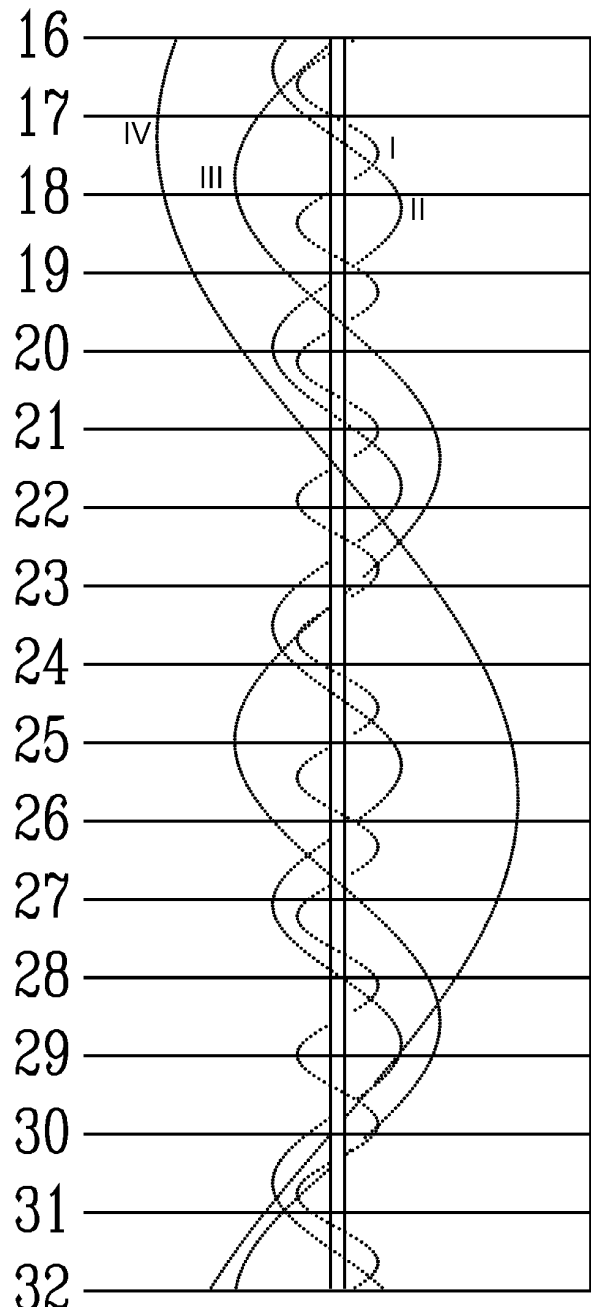
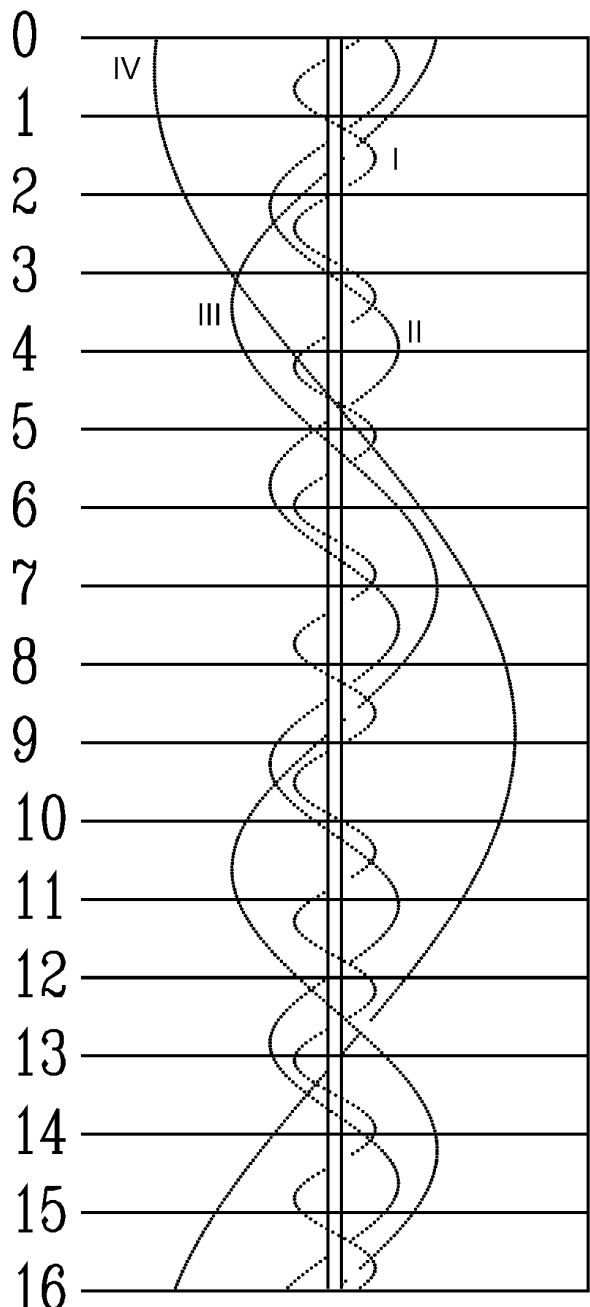
MARZEC



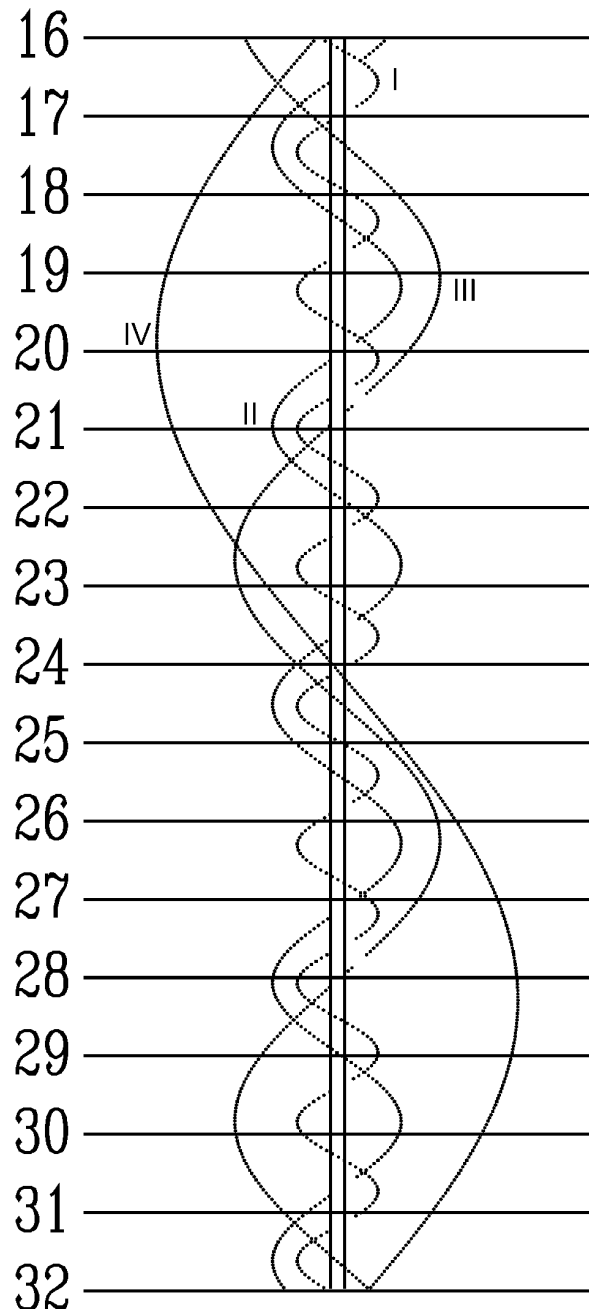
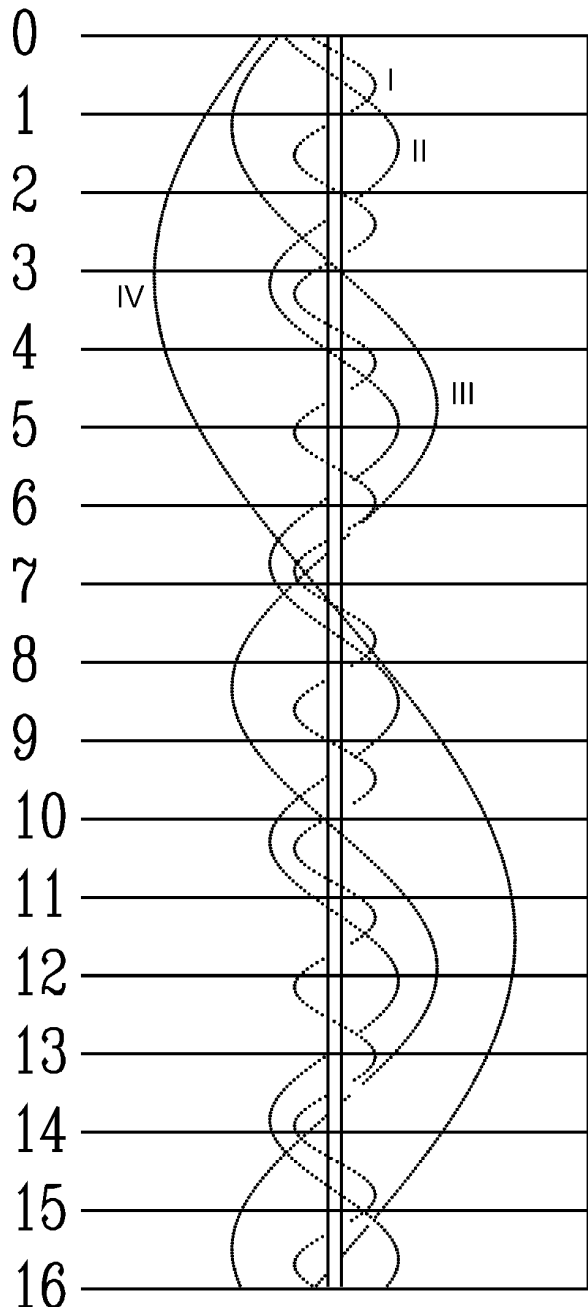
KWIECIEŃ



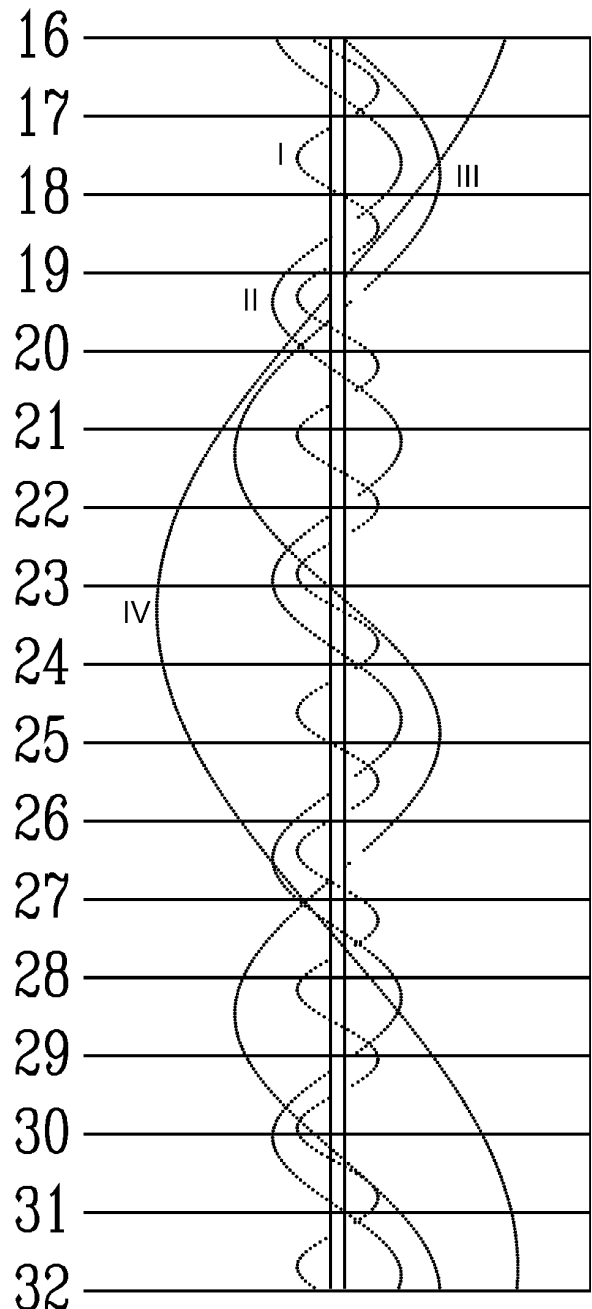
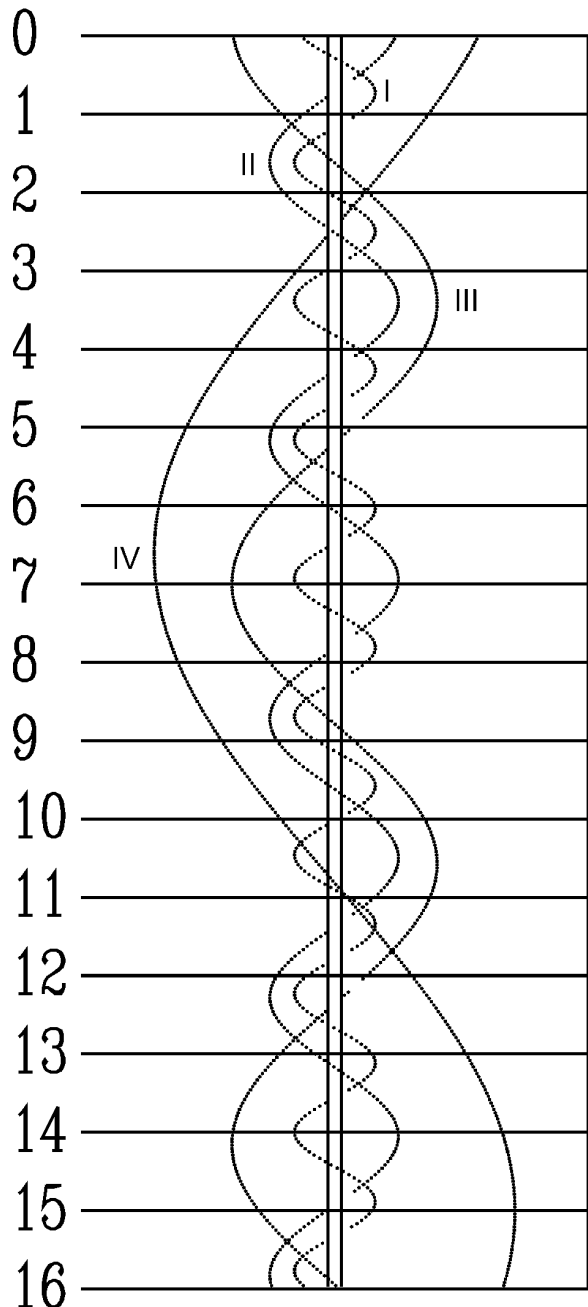
MAJ



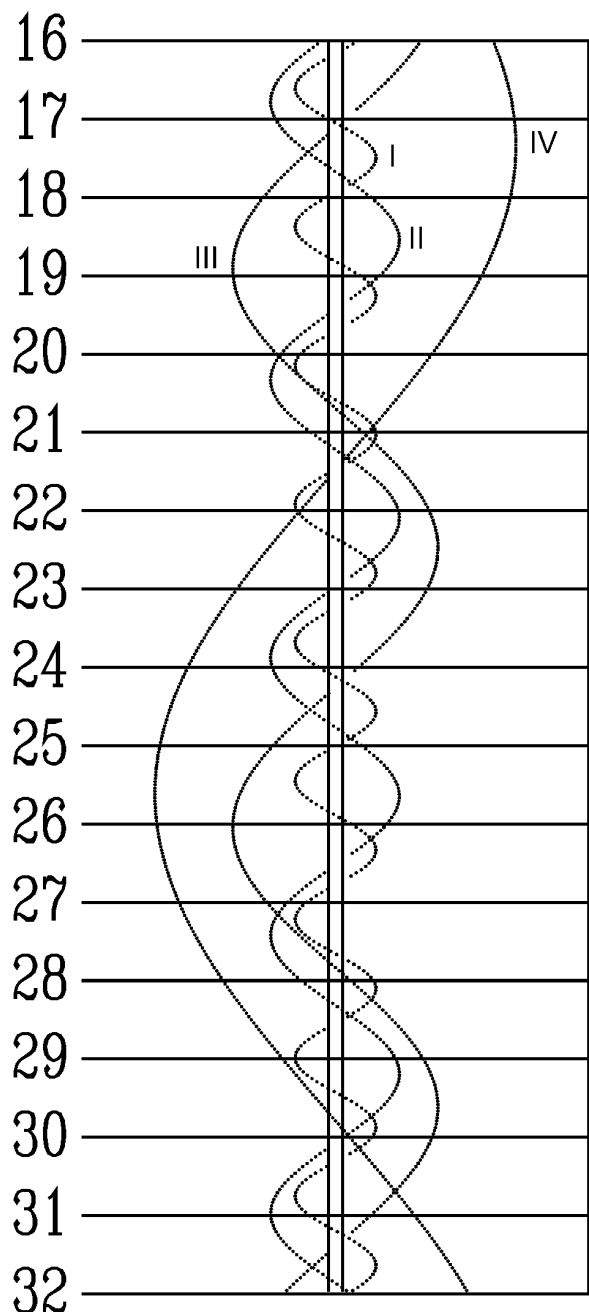
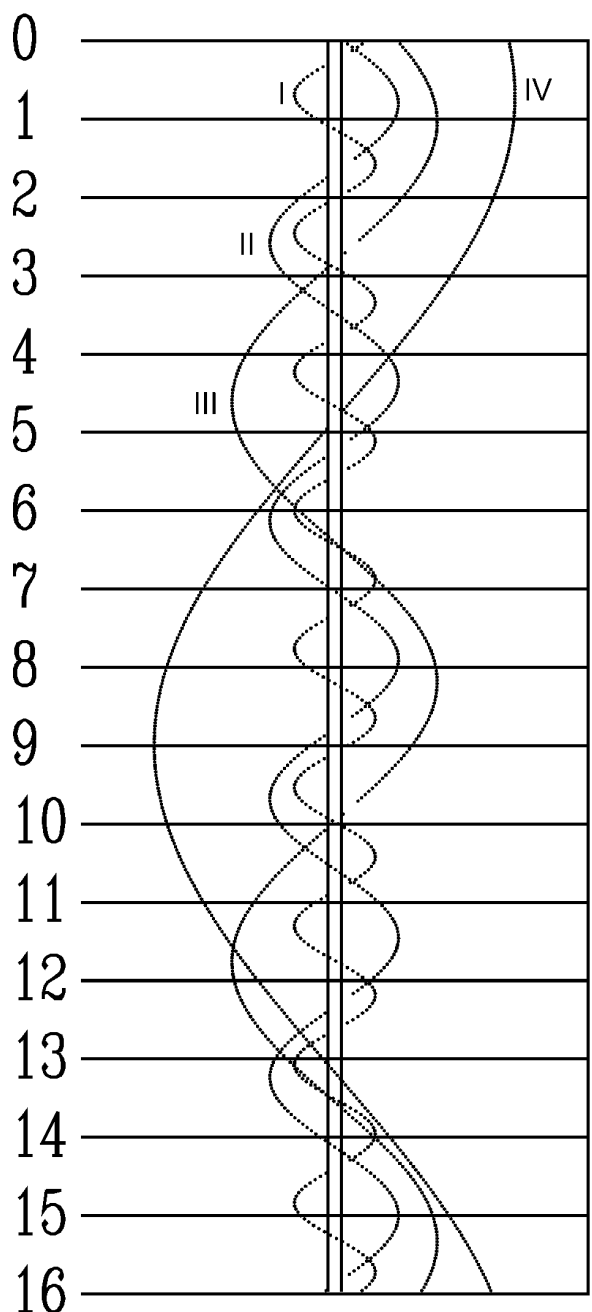
CZERWIEC



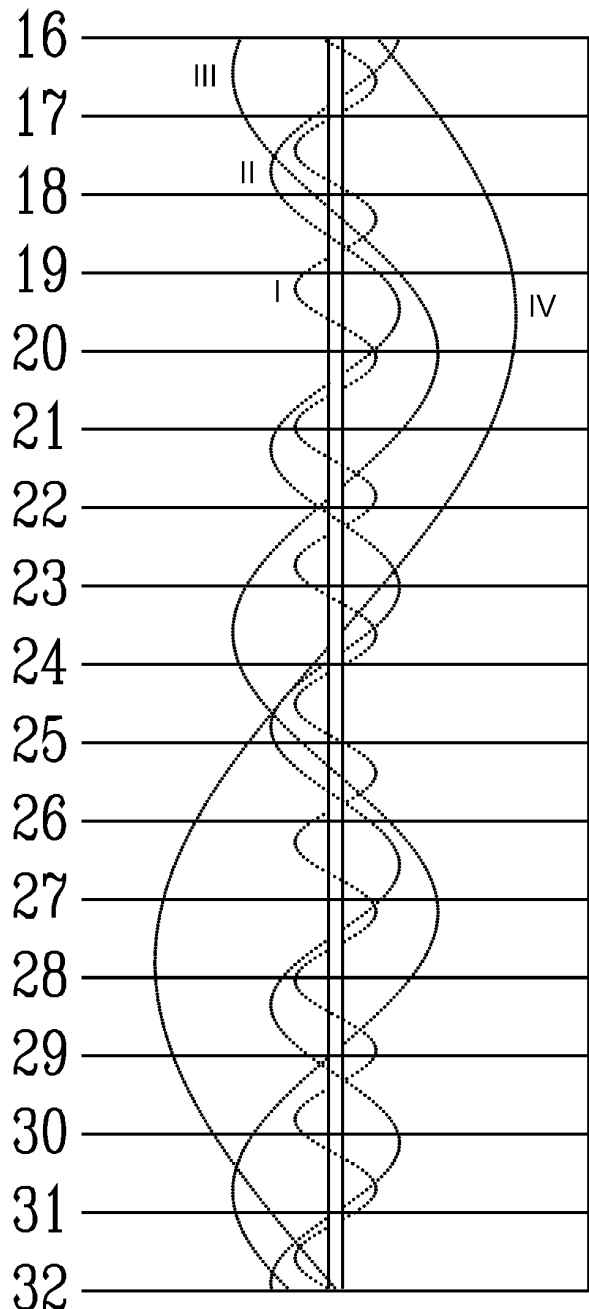
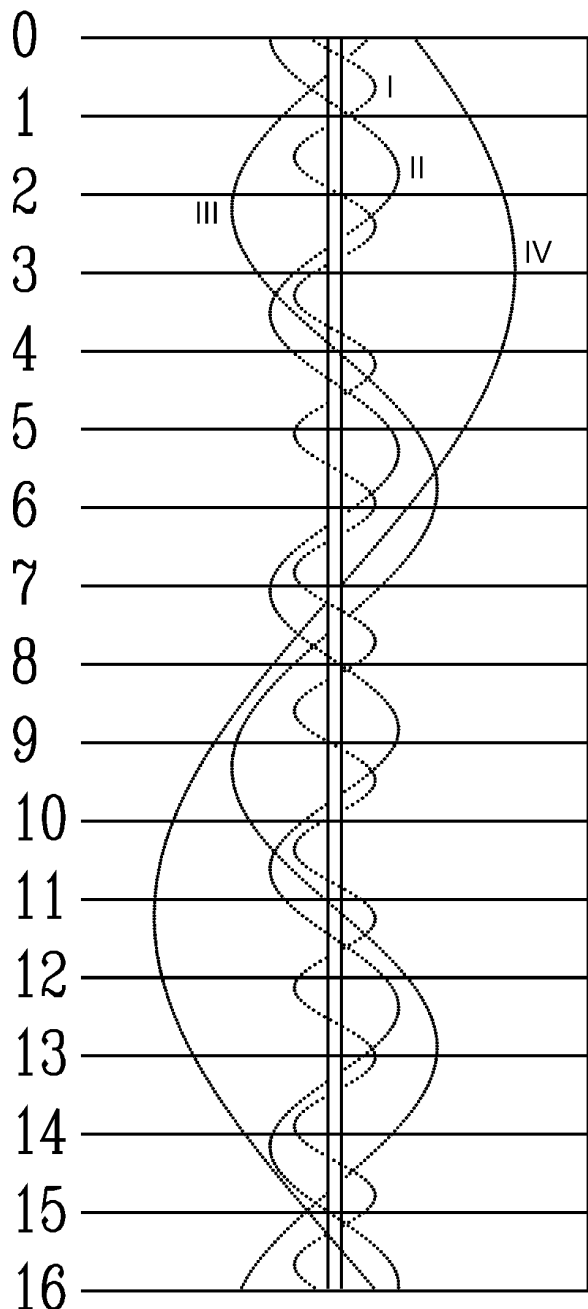
LIPIEC



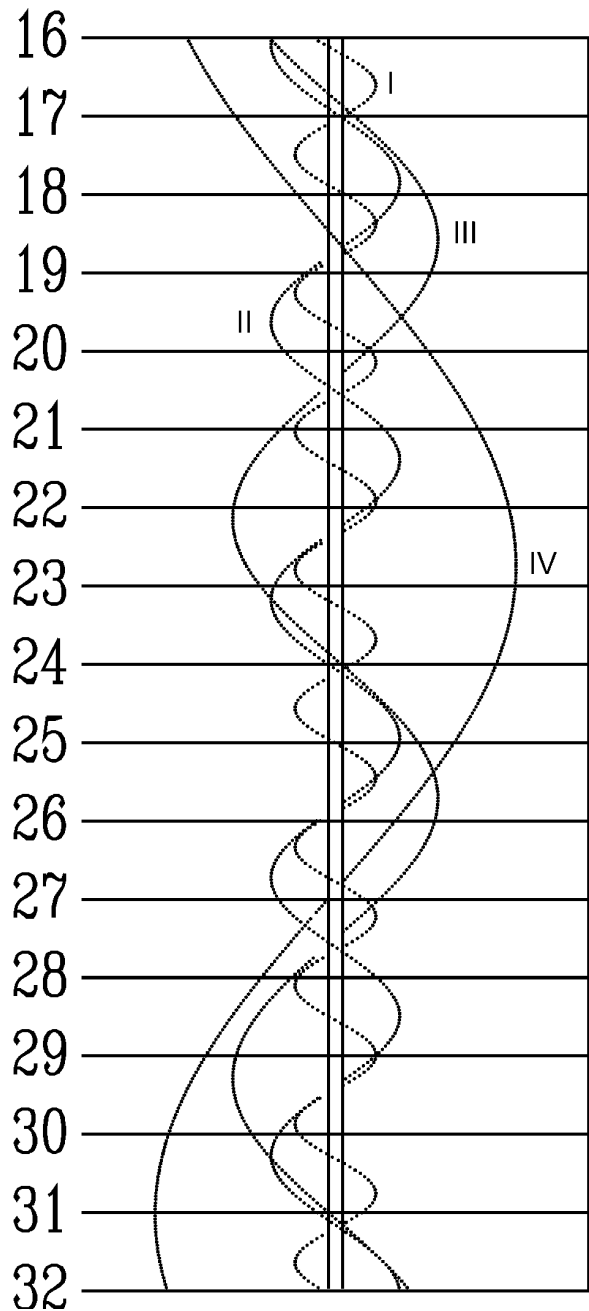
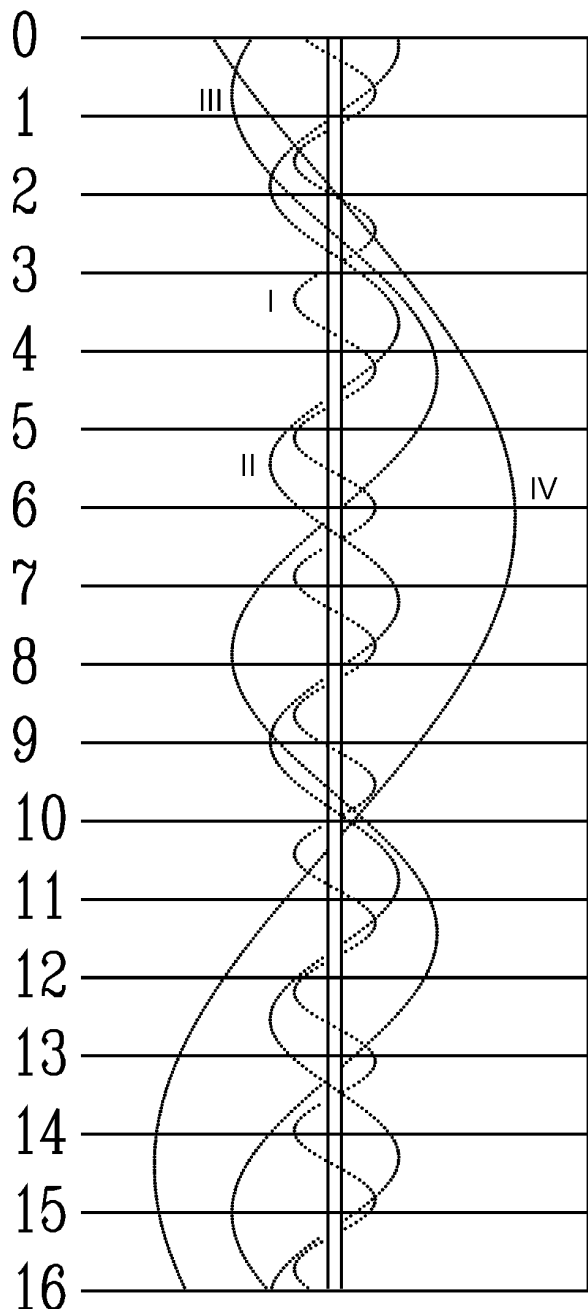
SIERPIEŃ



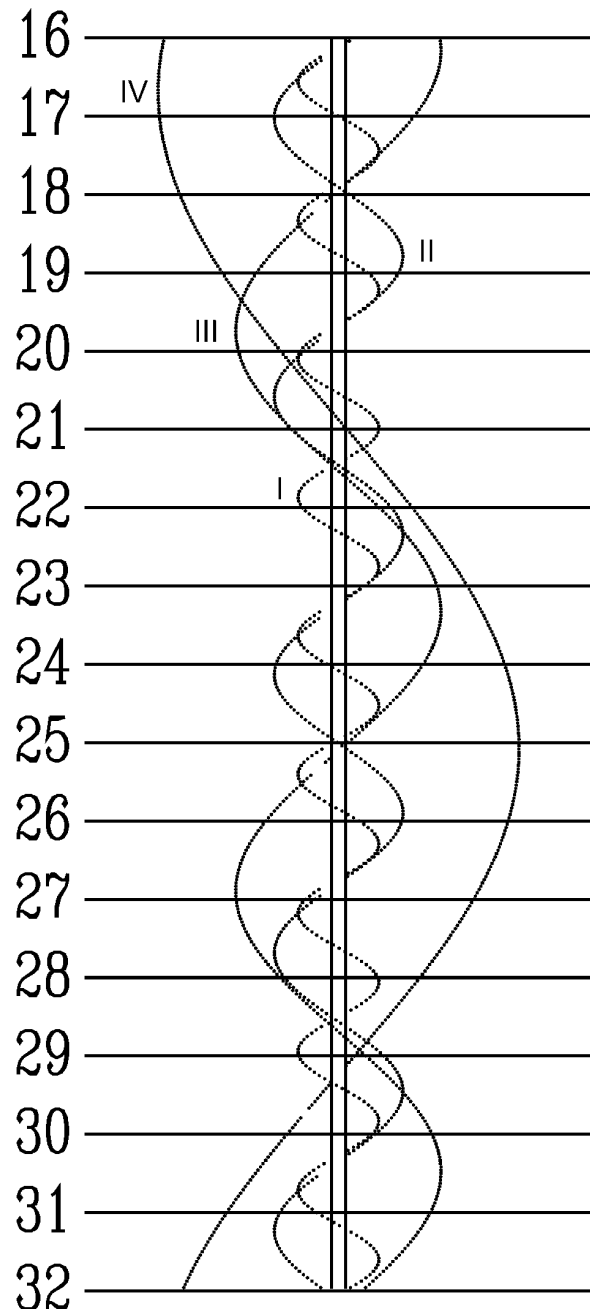
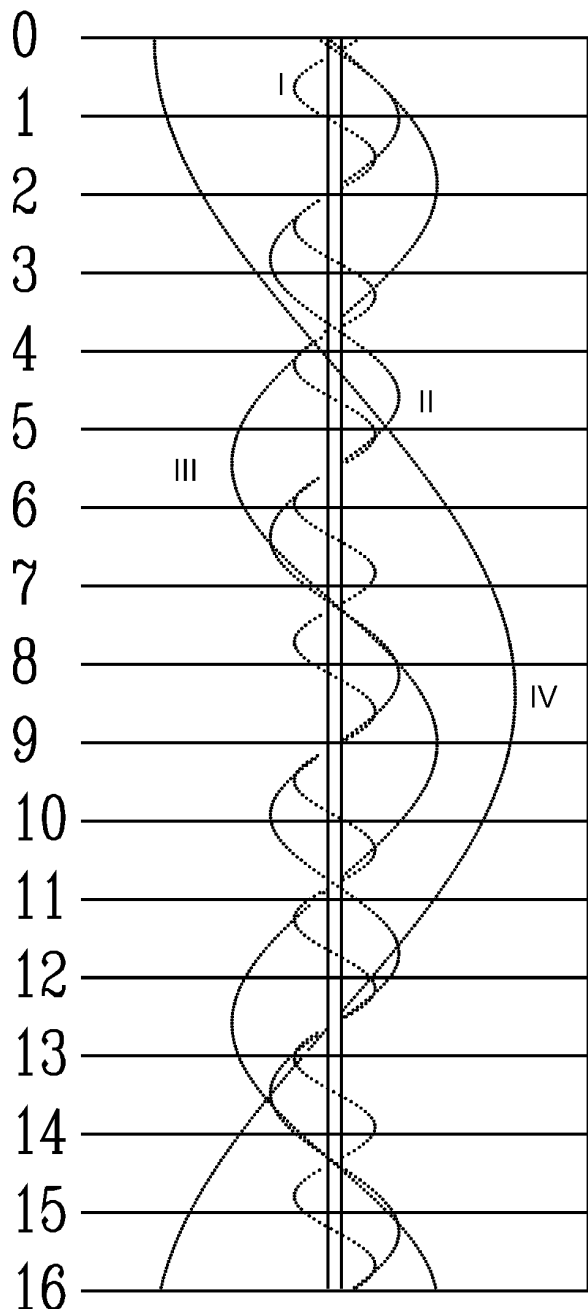
WRZESIEŃ



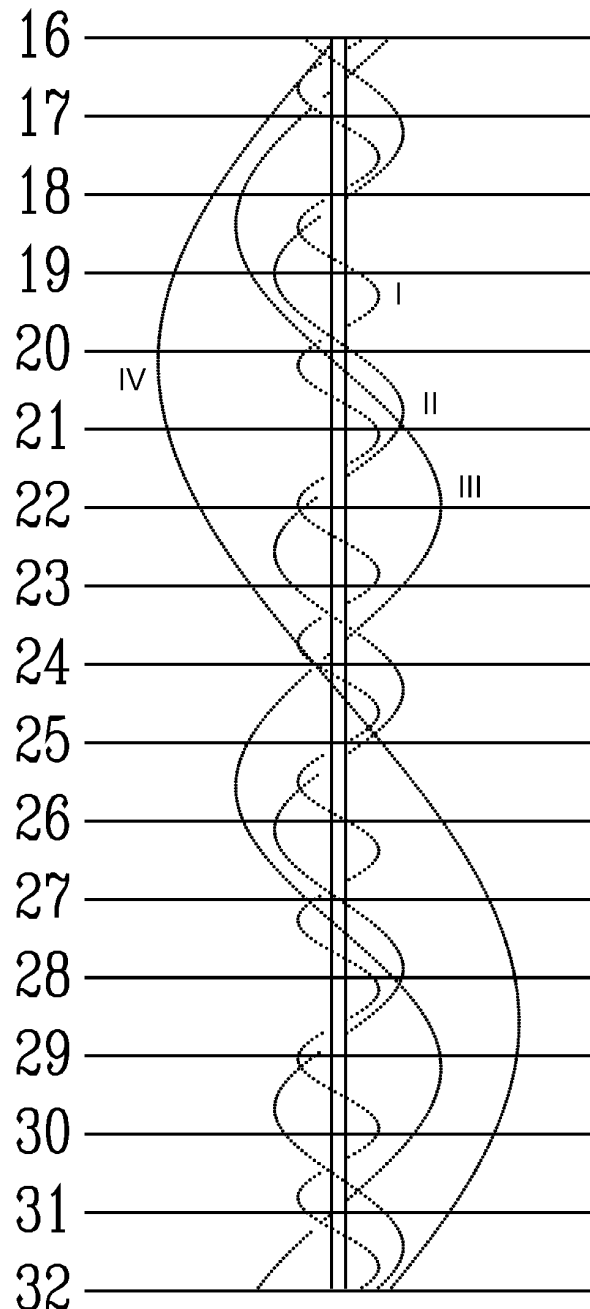
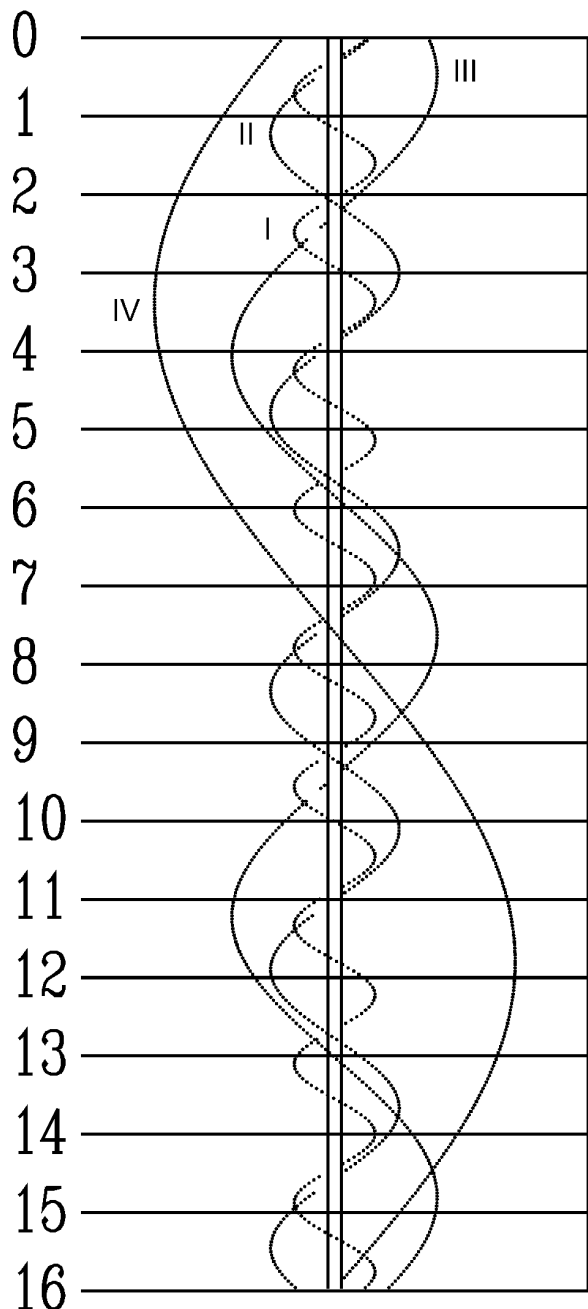
PAŹDZIERNIK



LISTOPAD



GRUDZIEŃ



Dz	UT	Zjawisko
	h m	
Sty		
1	15 10	I.Zac.-K
5	15 38	II.Ks.-K
5	17 26	II.Ci.-K
6	15 53	IV.Ks.-K
7	16 48	I.Ks.-P
7	17 39	I.Ci.-P
8	17 05	I.Zac.-K
12	15 34	II.Ks.-P
12	17 11	II.Ci.-P
14	15 09	II.Zac.-K
15	15 58	I.Zak.-P
16	15 37	I.Ks.-K
16	16 21	I.Ci.-K
23	15 21	I.Ks.-P
23	15 58	I.Ci.-P
24	15 20	III.Ci.-P
24	15 25	I.Zac.-K
24	16 29	III.Ks.-K
28	16 25	II.Zak.-P
Lut		
6	16 30	II.Ks.-K
8	16 14	I.Ks.-K
15	15 58	I.Ks.-P
Kwi		
28	2 51	III.Ks.-K
30	2 59	I.Zac.-P
Maj		
1	3 05	II.Zac.-P
3	2 53	II.Ks.-K
5	3 01	III.Ci.-K
9	2 45	I.Zak.-K
10	2 54	II.Ks.-P
17	1 53	I.Ks.-K
19	2 41	II.Zak.-K
21	1 36	IV.Ci.-K
23	2 40	III.Zak.-P
24	1 36	I.Ks.-P
24	2 37	I.Ci.-K
25	1 11	I.Zak.-K
30	1 32	III.Zac.-P
31	2 14	I.Ci.-P
Cze		
4	0 30	II.Ks.-P
4	0 33	II.Ci.-K
8	1 28	I.Zac.-P
9	0 52	I.Ci.-K
9	2 13	I.Ks.-K
10	1 18	III.Ks.-P

Dz	UT	Zjawisko
	h m	
Cze		
11	0 22	II.Ci.-P
13	0 03	II.Zak.-K
15	2 02	IV.Zac.-P
16	0 31	I.Ci.-P
16	1 54	I.Ks.-P
16	23 40	III.Ci.-P
17	1 29	I.Zak.-K
19	23 55	II.Zac.-K
19	23 58	II.Zak.-P
23	2 24	I.Ci.-P
23	23 44	I.Zac.-P
24	23 08	I.Ci.-K
25	0 31	I.Ks.-K
26	23 45	II.Zac.-P
27	23 22	III.Zak.-P
28	2 21	III.Zak.-K
29	0 25	II.Ks.-K
Lip		
1	1 39	I.Zac.-P
1	22 46	I.Ci.-P
1	23 01	IV.Zac.-K
2	0 10	I.Ks.-P
2	1 02	I.Ci.-K
2	2 24	I.Ks.-K
2	23 45	I.Zak.-K
4	2 21	II.Zac.-P
5	0 52	III.Zac.-K
6	0 16	II.Ci.-K
6	0 18	II.Ks.-P
9	0 41	I.Ci.-P
9	2 03	I.Ks.-P
10	1 36	I.Zak.-K
10	22 44	I.Ks.-K
12	1 39	III.Zac.-P
13	0 07	II.Ci.-P
14	23 35	II.Zak.-K
16	0 04	III.Ks.-K
16	2 35	I.Ci.-P
16	23 55	I.Zac.-P
17	22 21	I.Ks.-P
17	23 18	I.Ci.-K
18	0 35	I.Ks.-K
18	21 55	I.Zak.-K
20	2 42	II.Ci.-P
22	2 03	II.Zak.-K
22	22 55	III.Ci.-K
23	0 58	III.Ks.-P
24	1 49	I.Zac.-P

Dz	UT	Zjawisko
	h m	
Lip		
24	22 57	I.Ci.-P
25	0 11	I.Ks.-P
25	1 12	I.Ci.-K
25	2 25	I.Ks.-K
25	23 44	I.Zak.-K
27	0 05	IV.Ci.-P
27	1 25	IV.Ci.-K
28	23 27	II.Zac.-P
29	23 48	III.Ci.-P
30	2 54	III.Ci.-K
30	20 57	II.Ks.-P
30	21 19	II.Ci.-K
30	23 34	II.Ks.-K
Sie		
1	0 51	I.Ci.-P
1	1 60	I.Ks.-P
1	3 06	I.Ci.-K
1	22 11	I.Zac.-P
2	1 32	I.Zak.-K
2	21 09	III.Zak.-K
2	21 35	I.Ci.-K
2	22 41	I.Ks.-K
5	2 03	II.Zac.-P
6	21 12	II.Ci.-P
6	23 19	II.Ks.-P
6	23 54	II.Ci.-K
7	1 56	II.Ks.-K
8	2 45	I.Ci.-P
9	0 06	I.Zac.-P
9	20 48	III.Zac.-K
9	21 14	I.Ci.-P
9	21 53	III.Zak.-P
9	22 15	I.Ks.-P
9	23 29	I.Ci.-K
10	0 28	I.Ks.-K
10	0 40	III.Zak.-K
10	21 46	I.Zak.-K
13	23 48	II.Ci.-P
14	1 39	II.Ks.-P
14	2 29	II.Ci.-K
15	22 26	II.Zak.-K
16	1 60	I.Zac.-P
16	21 47	III.Zac.-P
16	23 09	I.Ci.-P
17	0 01	I.Ks.-P
17	0 48	III.Zac.-K
17	1 22	III.Zak.-P
17	1 23	I.Ci.-K

Dz	UT	Zjawisko
	h m	
Sie		
17	2 14	I.Ks.-K
17	20 28	I.Zac.-P
17	23 32	I.Zak.-K
18	19 52	I.Ci.-K
18	20 41	I.Ks.-K
21	2 24	II.Ci.-P
22	20 36	II.Zac.-P
23	0 45	II.Zak.-K
24	1 03	I.Ci.-P
24	1 46	I.Ks.-P
24	1 49	III.Zac.-P
24	3 17	I.Ci.-K
24	19 42	II.Ks.-K
24	22 22	I.Zac.-P
25	1 17	I.Zak.-K
25	19 31	I.Ci.-P
25	20 12	I.Ks.-P
25	21 46	I.Ci.-K
25	22 26	I.Ks.-K
26	19 43	I.Zak.-K
27	21 19	III.Ks.-K
29	23 13	II.Zac.-P
30	3 03	II.Zak.-K
31	2 57	I.Ci.-P
31	3 31	I.Ks.-P
31	19 22	II.Ks.-P
31	20 56	II.Ci.-K
31	21 58	II.Ks.-K
Wrz		
1	0 17	I.Zac.-P
1	3 02	I.Zak.-K
1	21 26	I.Ci.-P
1	21 57	I.Ks.-P
1	23 40	I.Ci.-K
2	0 10	I.Ks.-K
2	18 46	I.Zac.-P
2	21 28	I.Zak.-K
3	18 37	I.Ks.-K
3	19 57	III.Ci.-P
3	21 52	III.Ks.-P
3	22 51	III.Ci.-K
4	0 38	III.Ks.-K
6	1 51	II.Zac.-P
7	20 54	II.Ci.-P
7	21 37	II.Ks.-P
7	23 32	II.Ci.-K
8	0 13	II.Ks.-K
8	2 12	I.Zac.-P

Dz	UT	Zjawisko
	h m	
Wrz		
8	23 21	I.Ci.-P
8	23 41	I.Ks.-P
9	1 35	I.Ci.-K
9	1 55	I.Ks.-K
9	18 26	II.Zak.-K
9	20 40	I.Zac.-P
9	23 11	I.Zak.-K
10	18 07	I.Ks.-P
10	20 04	I.Ci.-K
10	20 20	I.Ks.-K
10	23 60	III.Ci.-P
11	1 09	III.Ks.-P
11	2 52	III.Ci.-K
11	3 56	III.Ks.-K
14	23 29	II.Ci.-P
14	23 50	II.Ks.-P
15	2 07	II.Ci.-K
15	2 26	II.Ks.-K
15	4 06	I.Zac.-P
16	1 16	I.Ci.-P
16	1 25	I.Ks.-P
16	3 30	I.Ci.-K
16	3 38	I.Ks.-K
16	17 47	II.Zac.-P
16	20 41	II.Zak.-K
16	22 35	I.Zac.-P
17	0 55	I.Zak.-K
17	19 45	I.Ci.-P
17	19 51	I.Ks.-P
17	21 59	I.Ci.-K
17	22 04	I.Ks.-K
18	4 03	III.Ci.-P
18	19 21	I.Zak.-K
21	17 54	III.Zak.-P
21	20 46	III.Zac.-K
22	2 03	II.Ks.-P
22	2 05	II.Ci.-P
23	3 09	I.Ks.-P
23	3 11	I.Ci.-P
23	20 18	II.Zak.-P
23	23 05	II.Zac.-K
24	0 25	I.Zak.-P
24	2 43	I.Zac.-K
24	21 35	I.Ks.-P
24	21 40	I.Ci.-P
24	23 48	I.Ks.-K
24	23 54	I.Ci.-K
25	17 46	II.Ks.-K

Dz	UT	Zjawisko
	h m	
Wrz		
25	17 59	II.Ci.-K
25	18 51	I.Zak.-P
25	21 11	I.Zac.-K
26	18 14	I.Ks.-K
26	18 22	I.Ci.-K
28	21 08	III.Zak.-P
29	0 46	III.Zac.-K
30	22 33	II.Zak.-P
Paz		
1	1 43	II.Zac.-K
1	2 09	I.Zak.-P
1	23 18	I.Ks.-P
1	23 35	I.Ci.-P
2	1 32	I.Ks.-K
2	1 49	I.Ci.-K
2	17 22	II.Ks.-P
2	17 58	II.Ci.-P
2	19 59	II.Ks.-K
2	20 34	I.Zak.-P
2	20 34	II.Ci.-K
2	23 05	I.Zac.-K
3	17 45	I.Ks.-P
3	18 05	I.Ci.-P
3	19 59	I.Ks.-K
3	20 18	I.Ci.-K
4	17 35	I.Zac.-K
6	0 25	III.Zak.-P
8	0 48	II.Zak.-P
9	1 03	I.Ks.-P
9	1 31	I.Ci.-P
9	16 09	III.Ci.-P
9	17 05	III.Ks.-K
9	18 56	III.Ci.-K
9	19 36	II.Ks.-P
9	20 34	II.Ci.-P
9	22 14	II.Ks.-K
9	22 19	I.Zak.-P
9	23 10	II.Ci.-K
10	1 01	I.Zac.-K
10	19 29	I.Ks.-P
10	19 59	I.Ci.-P
10	21 43	I.Ks.-K
10	22 13	I.Ci.-K
11	16 45	I.Zak.-P
11	17 41	II.Zac.-K
11	19 29	I.Zac.-K
12	16 10	I.Ks.-K
12	16 42	I.Ci.-K

Dz	UT	Zjawisko
	h m	
Paz		
16	17 30	III.Ks.-P
16	20 11	III.Ci.-P
16	20 26	III.Ks.-K
16	21 51	II.Ks.-P
16	22 58	III.Ci.-K
16	23 09	II.Ci.-P
17	0 04	I.Zak.-P
17	0 30	II.Ks.-K
17	1 45	II.Ci.-K
17	21 14	I.Ks.-P
17	21 55	I.Ci.-P
17	23 28	I.Ks.-K
18	0 08	I.Ci.-K
18	16 15	II.Zak.-P
18	18 30	I.Zak.-P
18	20 19	II.Zac.-K
18	21 24	I.Zac.-K
19	15 41	I.Ks.-P
19	16 24	I.Ci.-P
19	17 55	I.Ks.-K
19	18 37	I.Ci.-K
20	15 53	I.Zac.-K
23	20 53	III.Ks.-P
23	23 51	III.Ks.-K
24	0 09	II.Ks.-P
24	0 13	III.Ci.-P
24	23 01	I.Ks.-P
24	23 51	I.Ci.-P
25	1 15	I.Ks.-K
25	18 35	II.Zak.-P
25	20 16	I.Zak.-P
25	22 58	II.Zac.-K
25	23 19	I.Zac.-K
26	17 28	I.Ks.-P
26	18 20	I.Ci.-P
26	19 43	I.Ks.-K
26	20 34	I.Ci.-K
27	15 57	II.Ks.-K
27	16 52	III.Zac.-K
27	17 39	II.Ci.-K
27	17 48	I.Zac.-K
31	0 21	III.Ks.-P
Lis		
1	0 48	I.Ks.-P
1	20 57	II.Zak.-P
1	22 03	I.Zak.-P
2	19 16	I.Ks.-P
2	20 16	I.Ci.-P

Dz	UT	Zjawisko
	h m	
Lis		
2	21 31	I.Ks.-K
2	22 30	I.Ci.-K
3	15 38	II.Ks.-P
3	16 30	I.Zak.-P
3	16 59	III.Zak.-K
3	17 38	II.Ci.-P
3	18 06	III.Zac.-P
3	18 18	II.Ks.-K
3	19 43	I.Zac.-K
3	20 15	II.Ci.-K
3	20 54	III.Zac.-K
4	15 57	I.Ks.-K
4	16 58	I.Ci.-K
8	23 22	II.Zak.-P
8	23 51	I.Zak.-P
9	21 05	I.Ks.-P
9	22 11	I.Ci.-P
9	23 19	I.Ks.-K
10	17 31	III.Zak.-P
10	18 01	II.Ks.-P
10	18 19	I.Zak.-P
10	20 14	II.Ci.-P
10	20 35	III.Zak.-K
10	20 41	II.Ks.-K
10	21 38	I.Zac.-K
10	22 07	III.Zac.-P
10	22 50	II.Ci.-K
11	15 32	I.Ks.-P
11	16 40	I.Ci.-P
11	17 47	I.Ks.-K
11	18 54	I.Ci.-K
12	16 07	I.Zac.-K
12	17 35	II.Zac.-K
14	15 08	III.Ci.-K
16	22 55	I.Ks.-P
17	20 08	I.Zak.-P
17	20 26	II.Ks.-P
17	21 11	III.Zak.-P
17	22 50	II.Ci.-P
17	23 06	II.Ks.-K
17	23 33	I.Zac.-K
18	17 22	I.Ks.-P
18	18 36	I.Ci.-P
18	19 37	I.Ks.-K
18	20 50	I.Ci.-K
19	15 03	II.Zak.-P
19	18 03	I.Zac.-K
19	20 14	II.Zac.-K

Dz	UT	Zjawisko
	h m	
Lis		
20	15 19	I.Ci.-K
20	20 29	IV.Ks.-P
20	21 08	IV.Ks.-K
21	16 22	III.Ci.-P
21	19 11	III.Ci.-K
24	21 60	I.Zak.-P
24	22 54	II.Ks.-P
25	19 15	I.Ks.-P
25	20 32	I.Ci.-P
25	21 30	I.Ks.-K
25	22 46	I.Ci.-K
26	16 28	I.Zak.-P
26	17 34	II.Zak.-P
26	19 58	I.Zac.-K
26	22 53	II.Zac.-K
27	15 02	I.Ci.-P
27	15 58	I.Ks.-K
27	17 16	I.Ci.-K
28	14 43	II.Ci.-P
28	14 49	II.Ks.-K
28	15 00	III.Ks.-P
28	17 20	II.Ci.-K
28	18 06	III.Ks.-K
28	20 24	III.Ci.-P
Gru		
2	21 08	I.Ks.-P
2	22 29	I.Ci.-P
3	18 20	I.Zak.-P
3	20 07	II.Zak.-P
3	21 53	I.Zac.-K
4	15 37	I.Ks.-P
4	16 58	I.Ci.-P
4	17 52	I.Ks.-K
4	19 12	I.Ci.-K
5	14 39	II.Ks.-P
5	16 22	I.Zac.-K
5	17 20	II.Ci.-P
5	17 21	II.Ks.-K
5	18 52	III.Ks.-P
5	19 57	II.Ci.-K
5	21 59	III.Ks.-K
7	14 44	IV.Ks.-K
7	14 52	II.Zac.-K
9	17 06	III.Zac.-K
10	20 15	I.Zak.-P
11	17 31	I.Ks.-P
11	18 53	I.Ci.-P
11	19 46	I.Ks.-K

Dz	UT	Zjawisko
	h m	
Gru		
11	21 07	I.Ci.-K
12	14 43	I.Zak.-P
12	17 13	II.Ks.-P
12	18 18	I.Zac.-K
12	19 55	II.Ks.-K
12	19 56	II.Ci.-P
13	15 37	I.Ci.-K
14	14 48	II.Zak.-K
14	14 51	II.Zac.-P
14	17 31	II.Zac.-K
16	15 49	III.Zak.-K
16	18 17	III.Zac.-P
16	21 08	III.Zac.-K
18	19 27	I.Ks.-P
18	20 50	I.Ci.-P
18	21 42	I.Ks.-K
19	16 39	I.Zak.-P
19	19 49	II.Ks.-P
19	20 13	I.Zac.-K
20	15 19	I.Ci.-P
20	16 12	I.Ks.-K
20	17 33	I.Ci.-K
21	14 42	I.Zac.-K
21	14 43	II.Zak.-P
21	17 27	II.Zak.-K
21	17 30	II.Zac.-P
21	20 10	II.Zac.-K
23	16 45	III.Zak.-P
23	19 53	III.Zak.-K
26	18 35	I.Zak.-P
27	15 24	III.Ci.-K
27	15 53	I.Ks.-P
27	17 15	I.Ci.-P
27	18 09	I.Ks.-K
27	19 28	I.Ci.-K
28	16 37	I.Zac.-K
28	17 23	II.Zak.-P
28	20 08	II.Zak.-K
28	20 08	II.Zac.-P
30	17 05	II.Ci.-K
30	20 53	III.Zak.-P

Księżyce Saturna

Przedstawione grafiki ukazują ruch pięciu największych księżyców Saturna (III-Tethys, IV-Dione, V-Rhea, VI-Tytan, VIII-Iapetus) względem macierzystej planety tak, jak widać go na sferze niebieskiej.

Każda strona obejmuje okres jednego, wypisanego u góry, miesiąca. Centralny, pionowy pas przedstawia dysk Saturna. Poziome linie wyznaczają początki kolejnych dni kalendarzowych, tzn. odpowiadają $0^{\text{h}}00^{\text{m}}$ UT przypisanych do nich dat. Długości podanych odcinków czasu zostały znormalizowane do 32 dni, tzn. data 0.0 oznacza ostatni dzień poprzedzającego miesiąca, a daty po końcu danego miesiąca (np. 31.0 luty) - kolejne dni następnego miesiąca.

Konfiguracja księżyców przedstawiona jest w układzie odwróconym (jak w luncie astronomicznej), tzn. wschód jest na prawo od pasa centralnego (Saturna), zachód na lewo, południe u góry, północ u dołu. Związane jest to z tym, że do ich obserwacji nie wystarczy lornetka przyizmatyczna, jak w przypadku księżyców Jowisza. Aby określić konfiguracje księżyców dla określonej daty, należy przeprowadzić linię poziomą (przyłożyć linijkę) w miejscu odpowiadającym danemu momentowi.

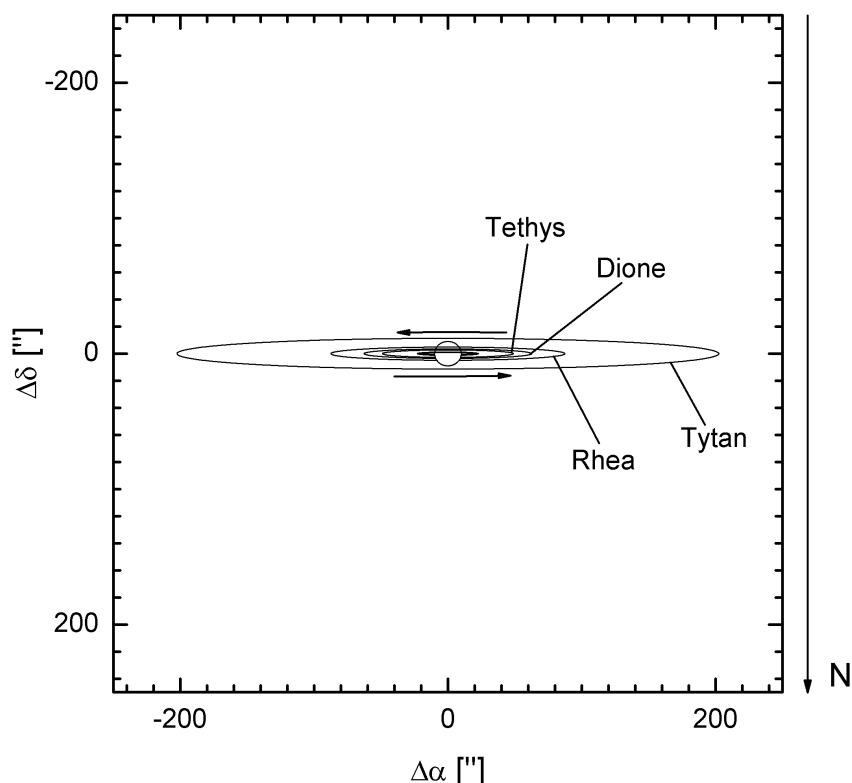
Punkty przecięcia się linii z krzywoliniowymi „trasami” księżyców będą określały położenia (względem dysku planety) odpowiednich księżyców w danej chwili.

W 2010 r. pierścienie Saturna ustawione są brzegiem prawie w kierunku Ziemi, co ułatwia dostrzeżenie nawet słabych księżyców planety przez niewielkie teleskopy amatorskie.

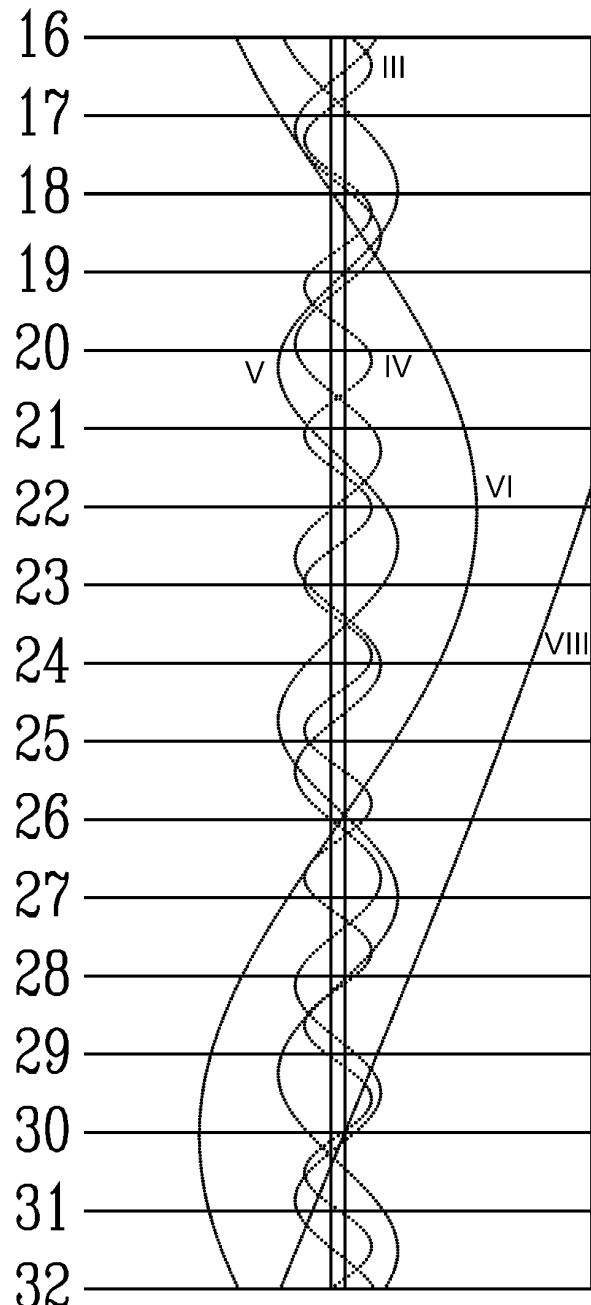
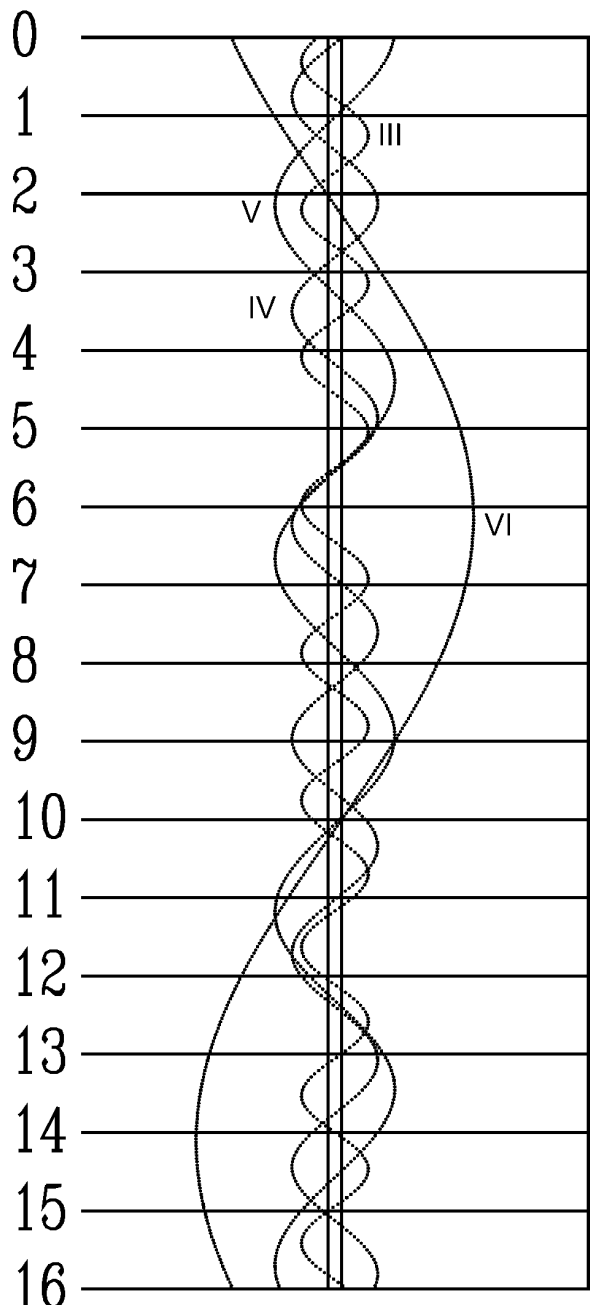
Jasności księżyców Saturna w opozycji:

III	- Tethys :	10.1^{m}
IV	- Dione :	10.3^{m}
V	- Rhea:	9.6^{m}
VI	- Tytan:	8.2^{m}

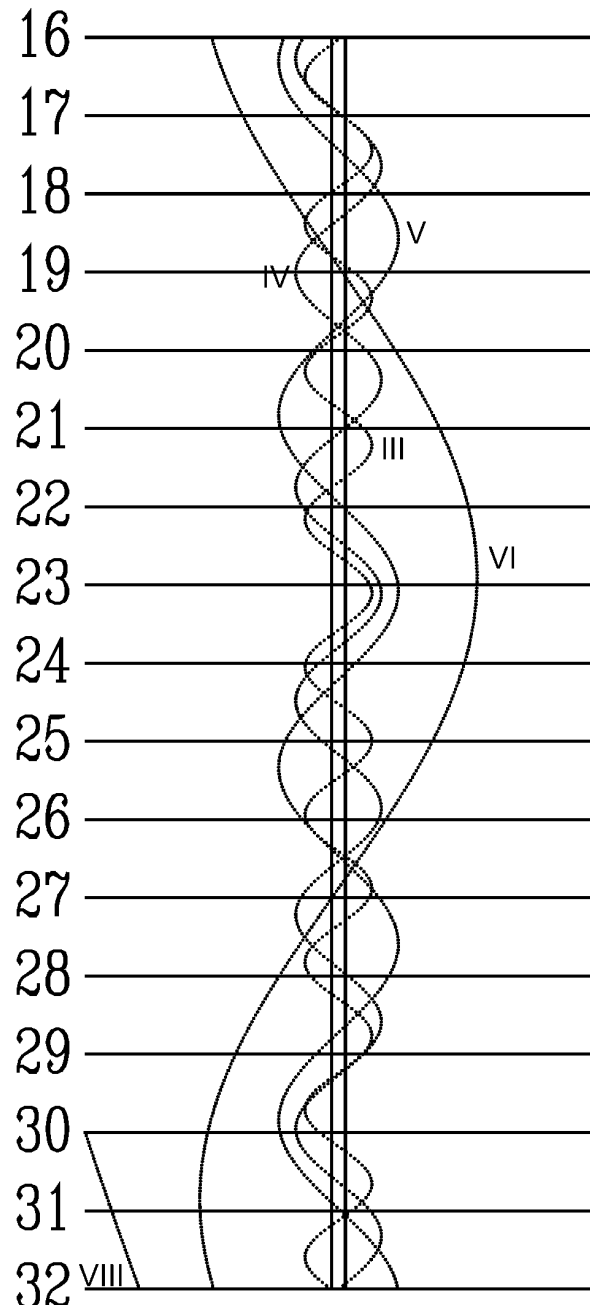
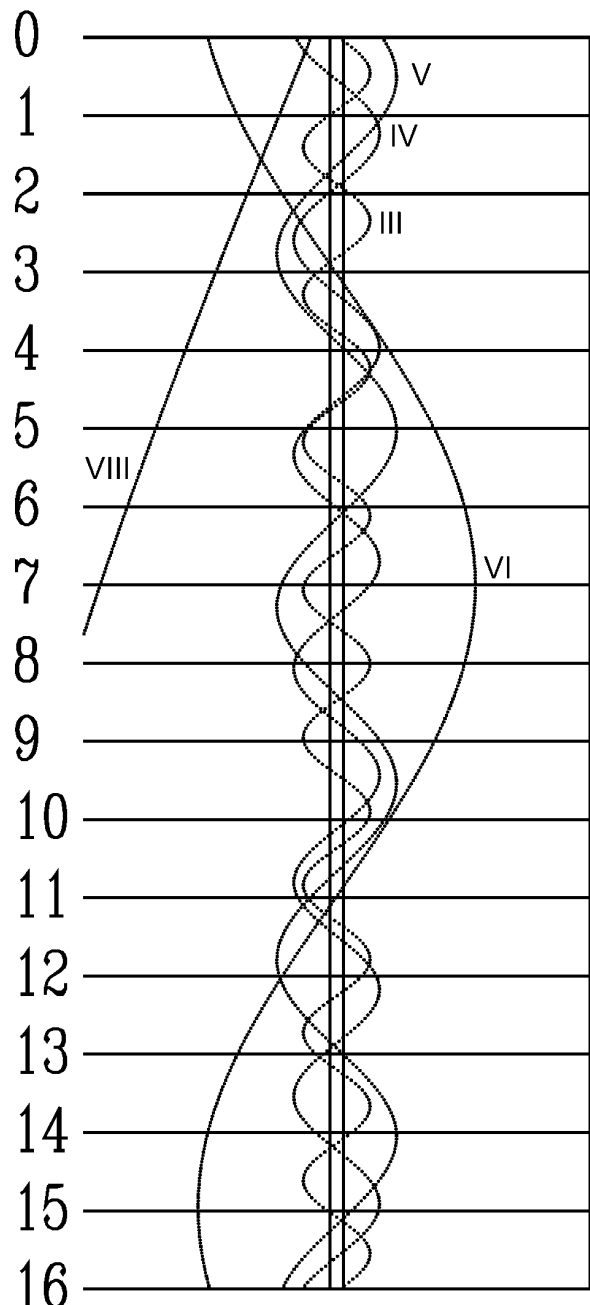
VIII – Iapetus:
 10.2^{m} w elongacji zachodniej
 12.3^{m} w elongacji wschodniej



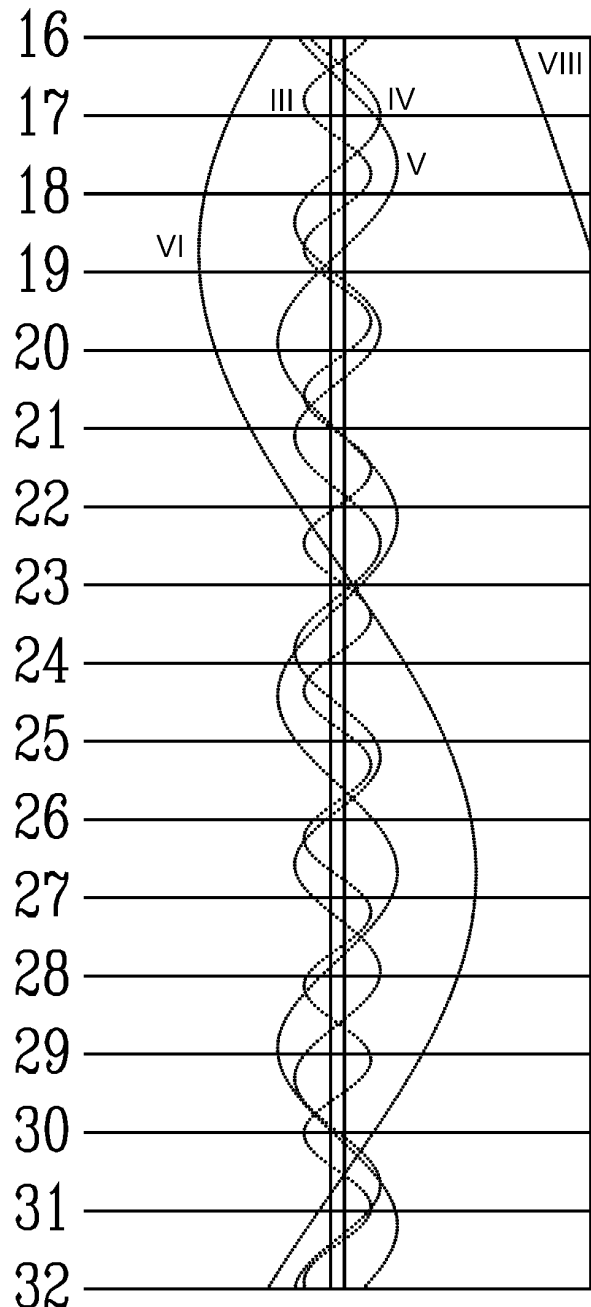
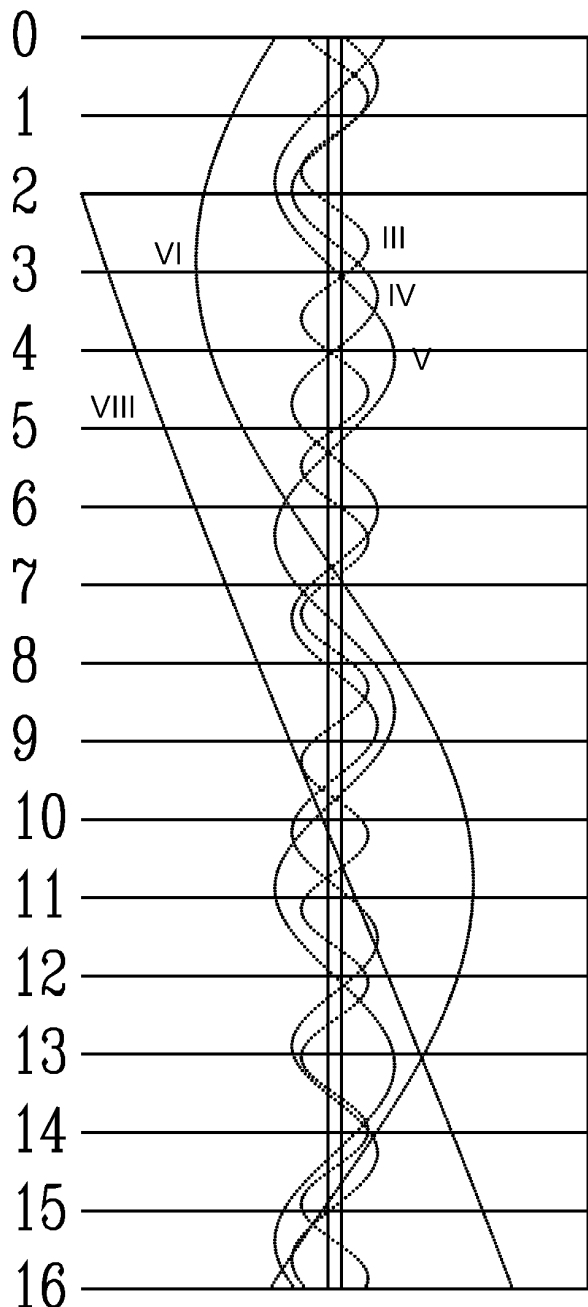
STYCZEŃ



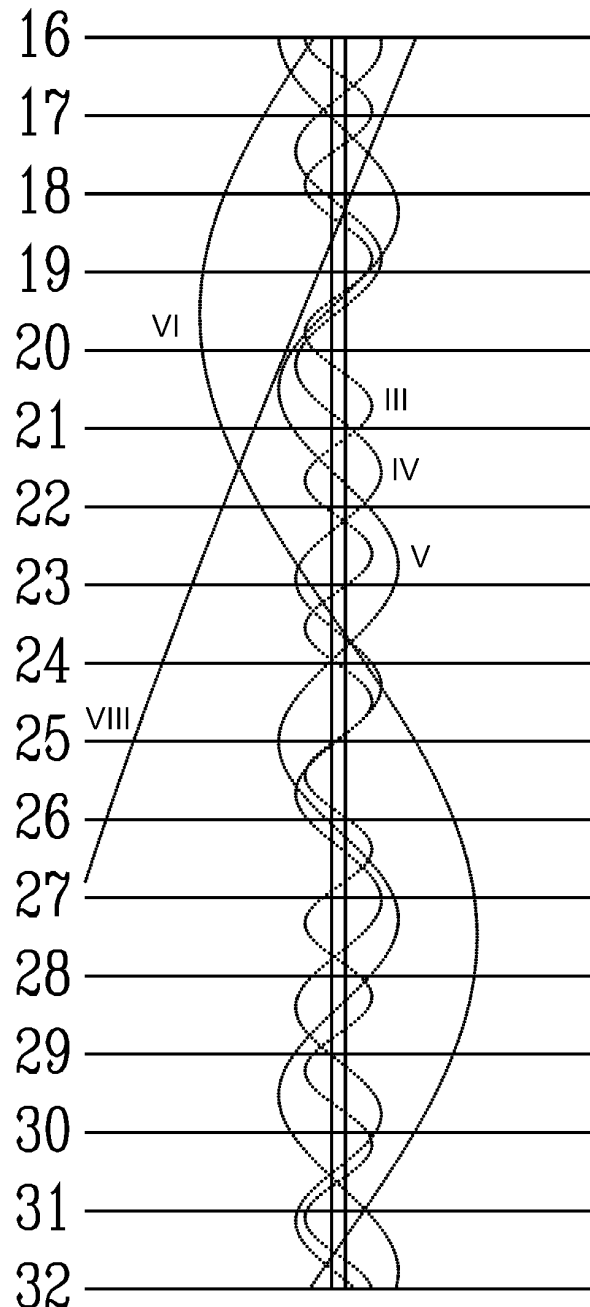
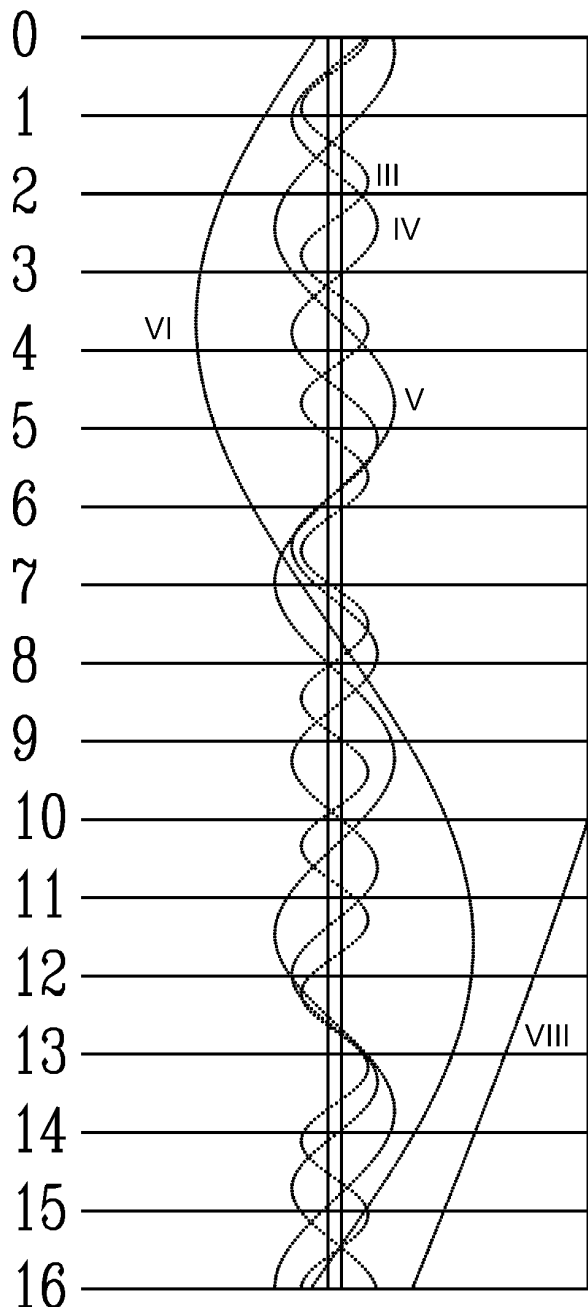
LUTY



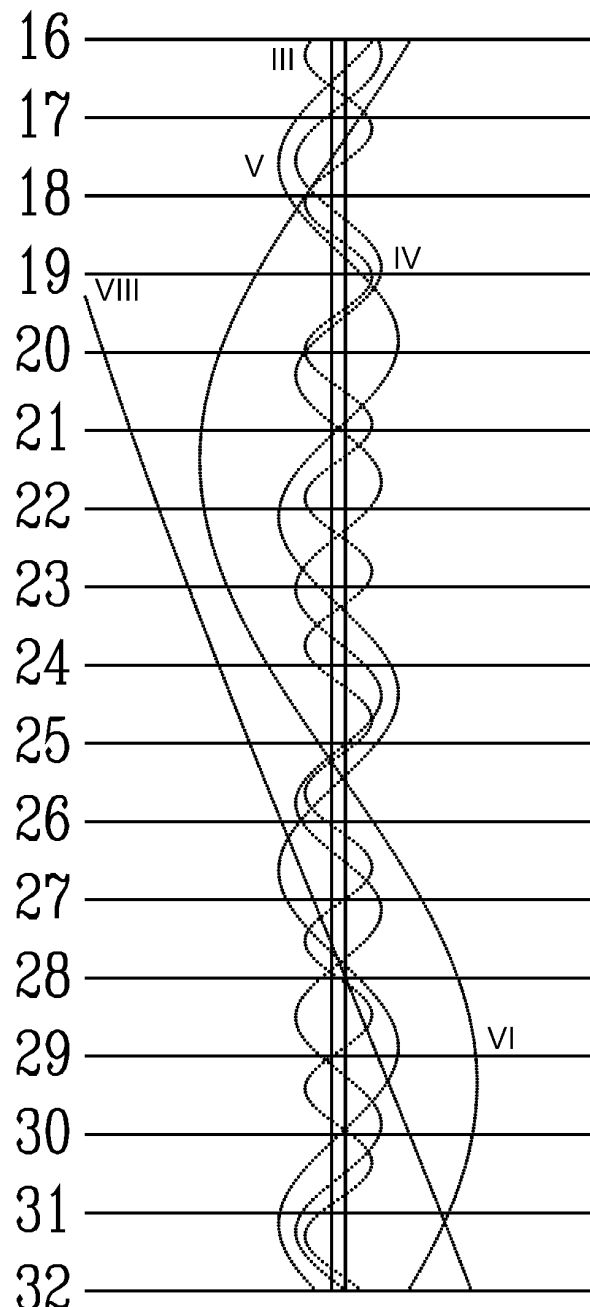
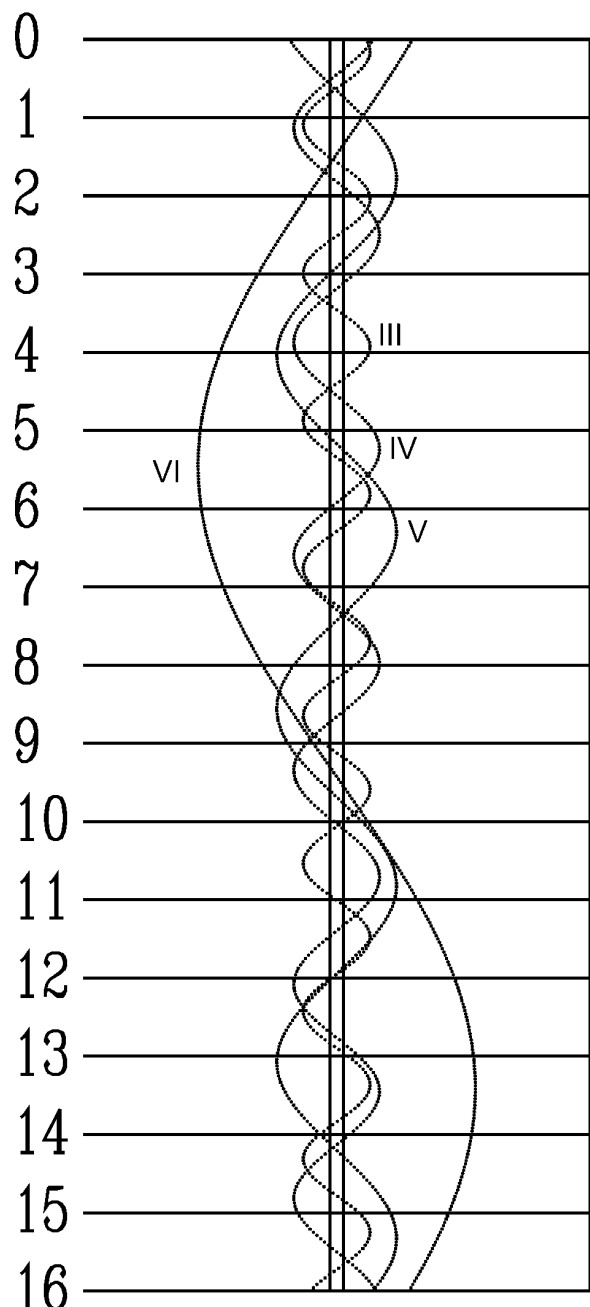
MARZEC



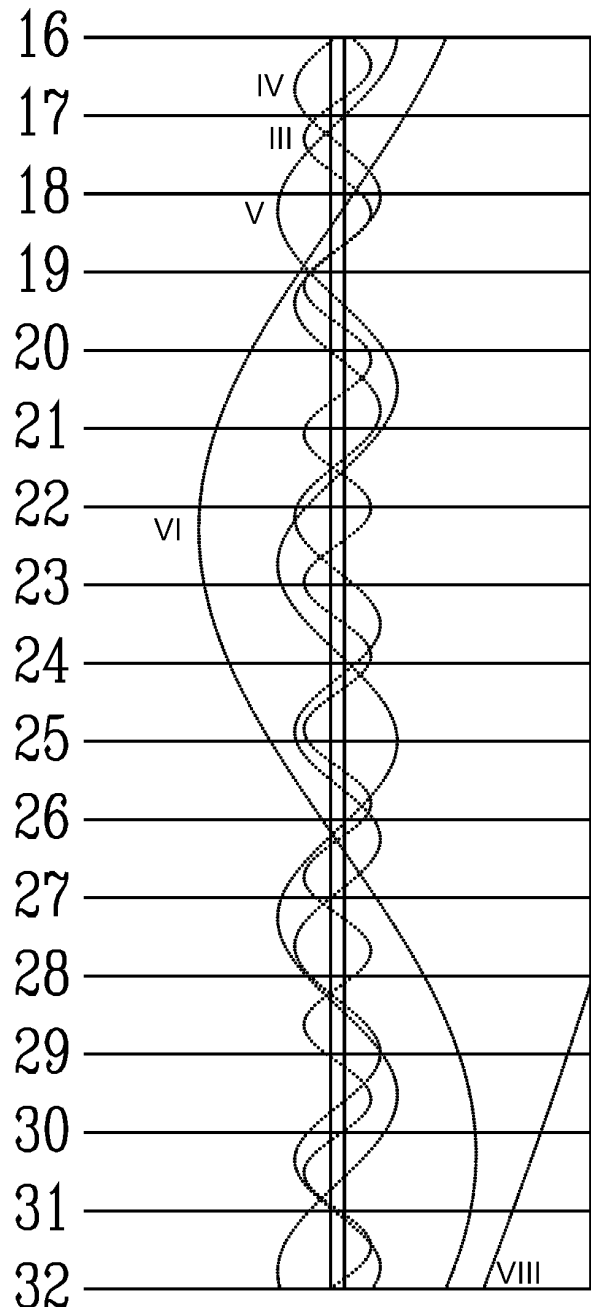
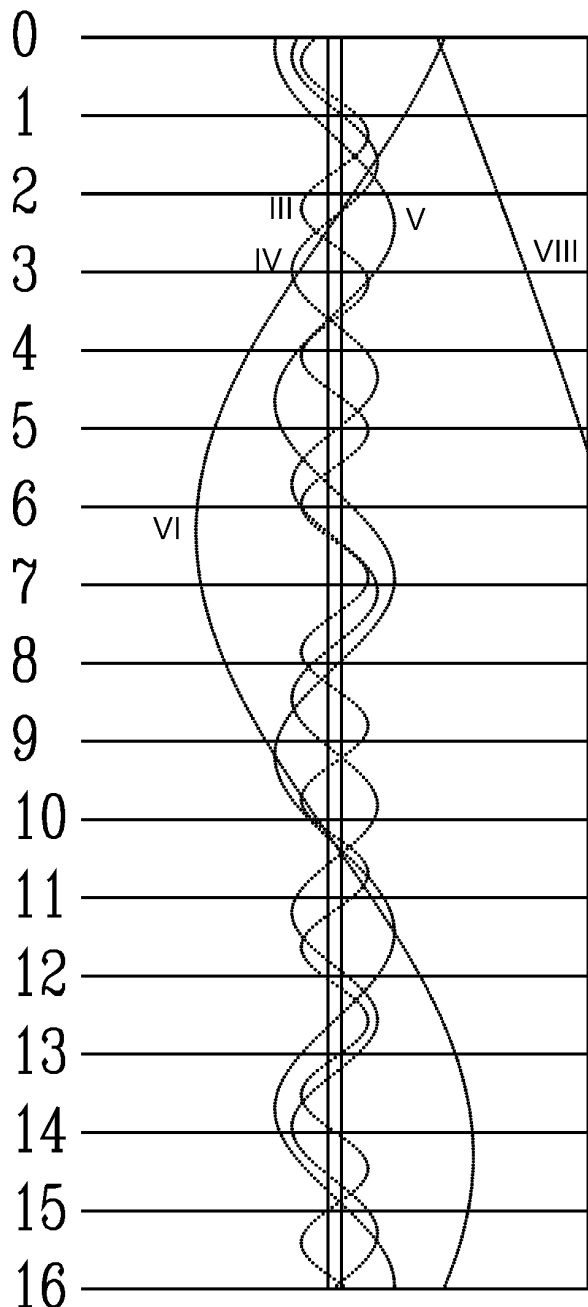
KWIETIEŃ



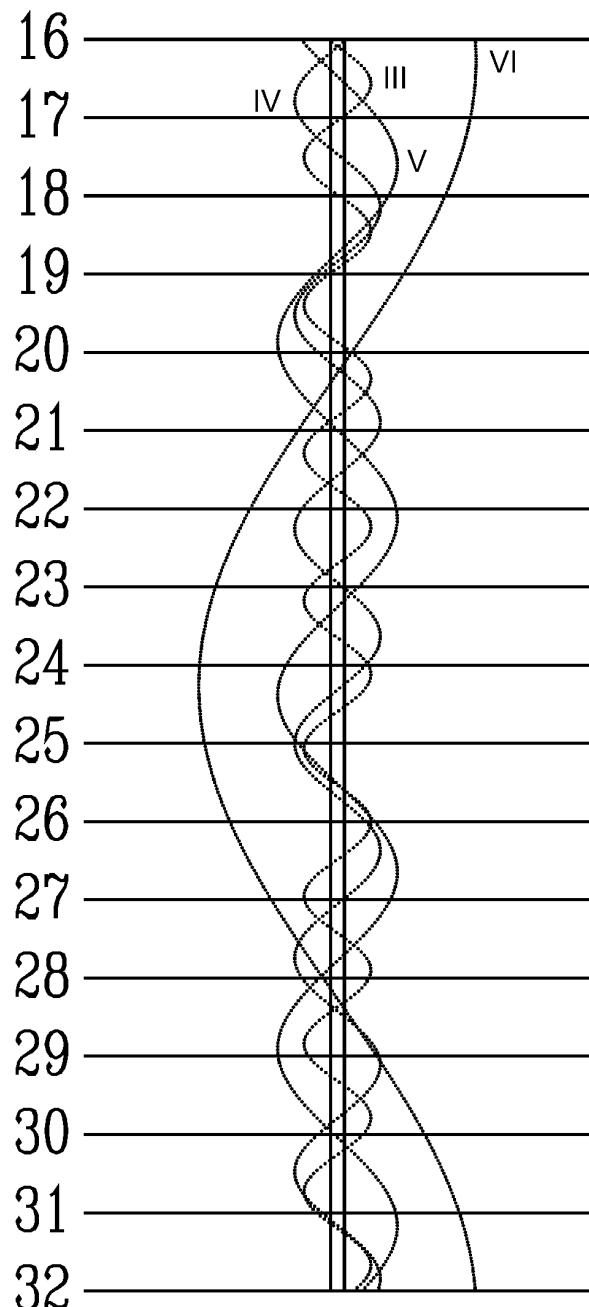
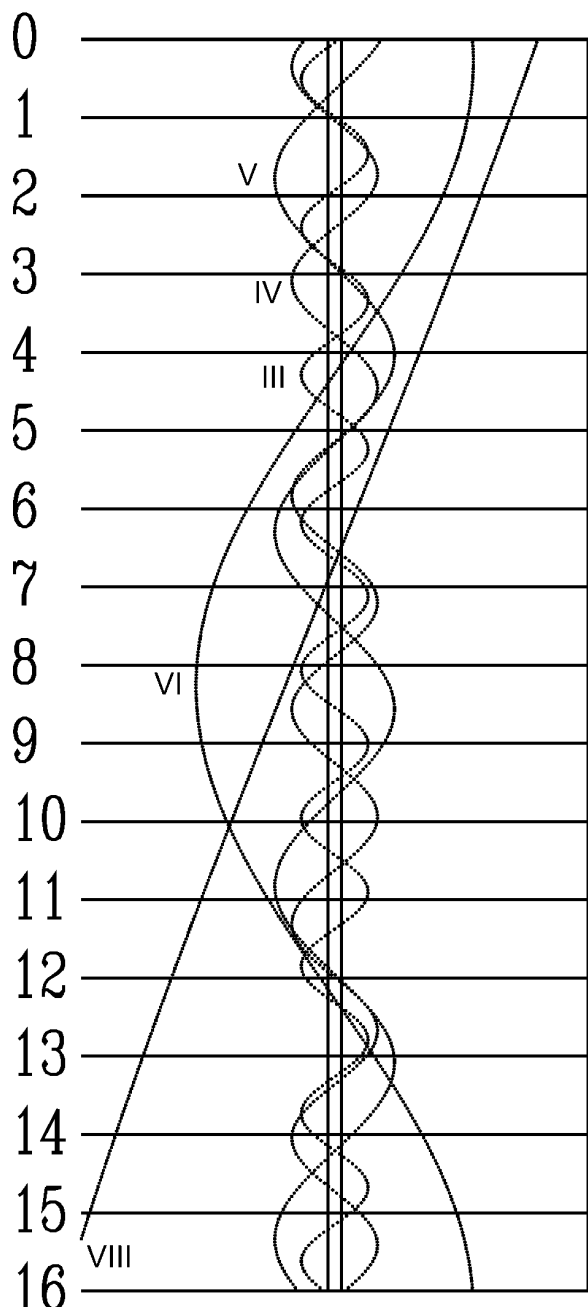
MAJ



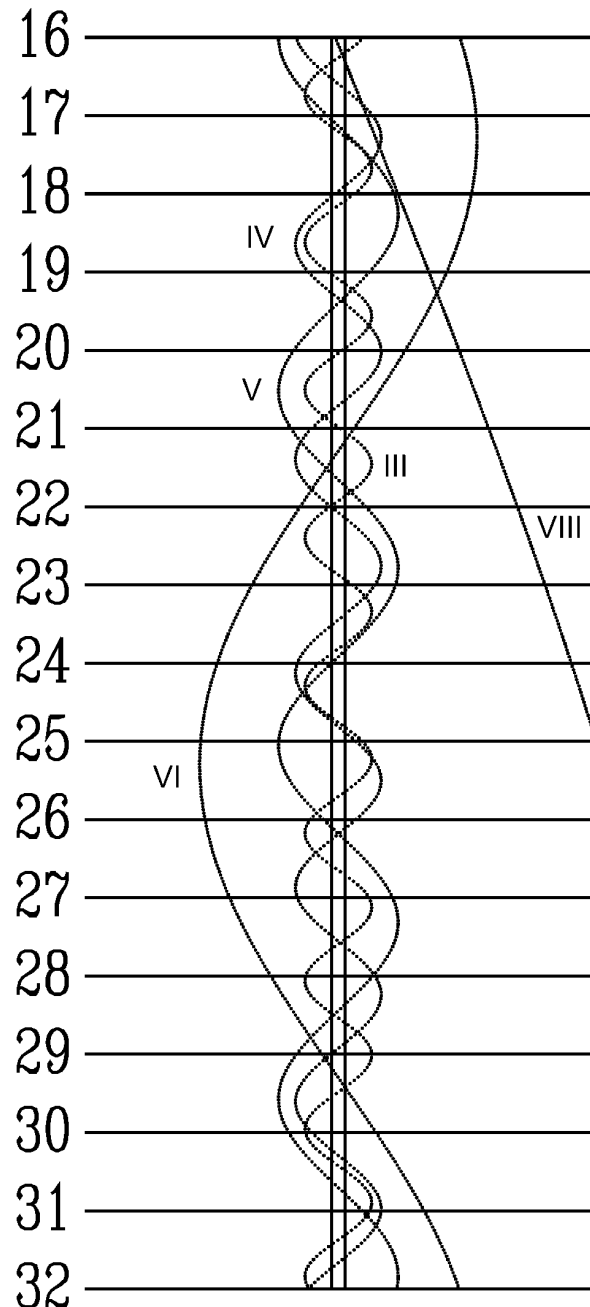
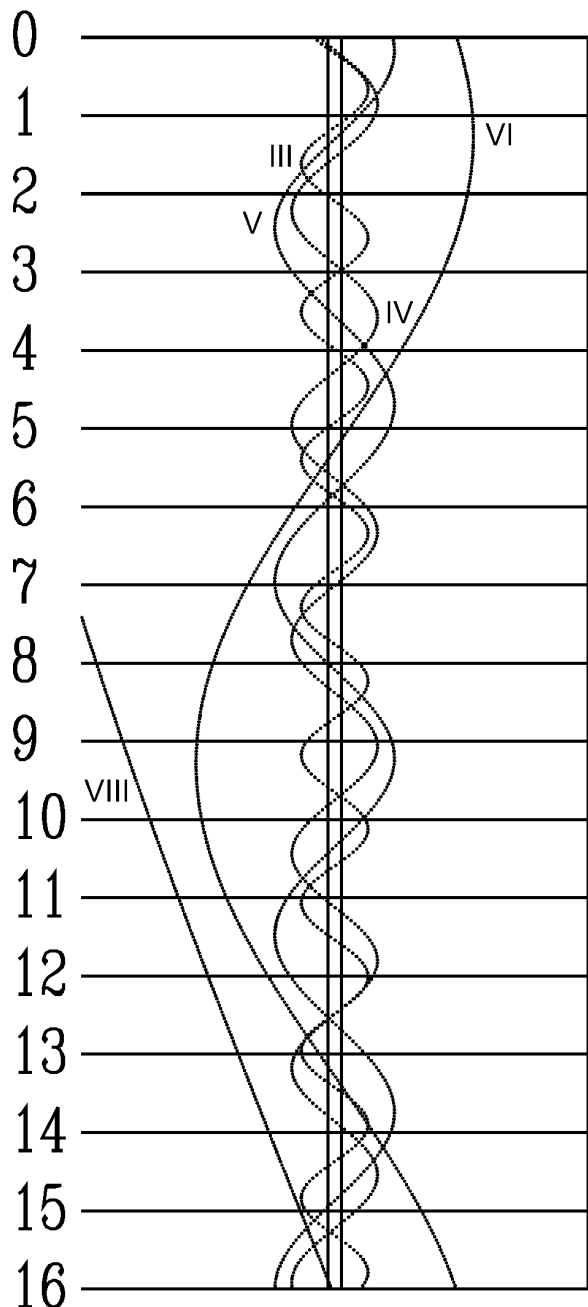
CZERWIEC



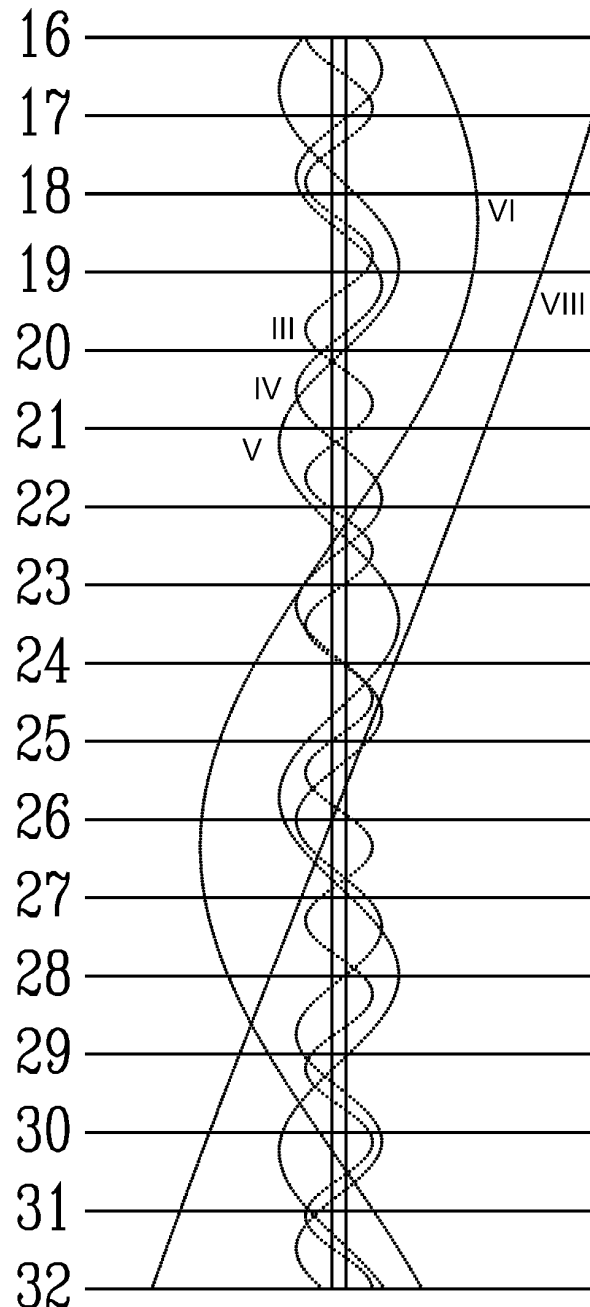
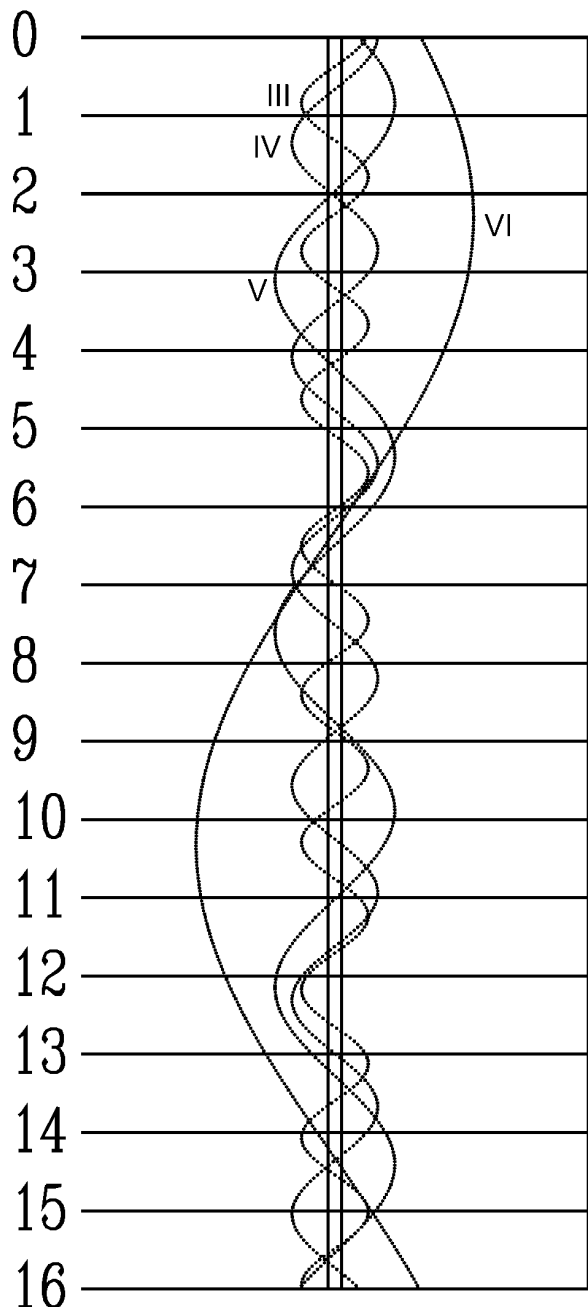
LIPIEC



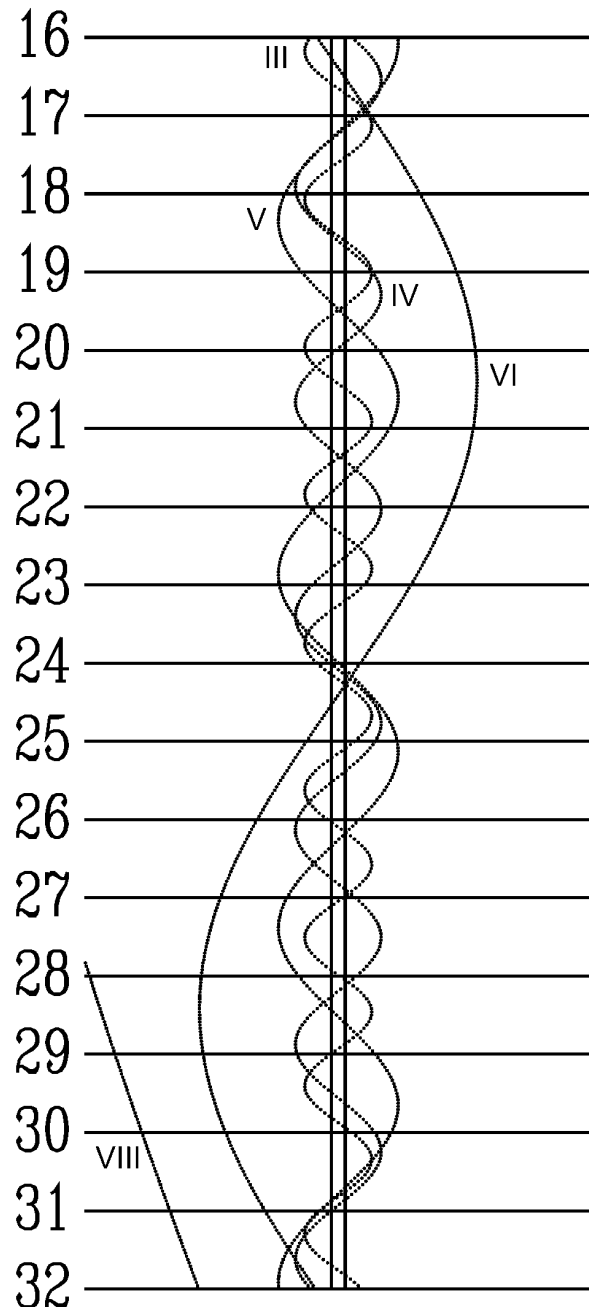
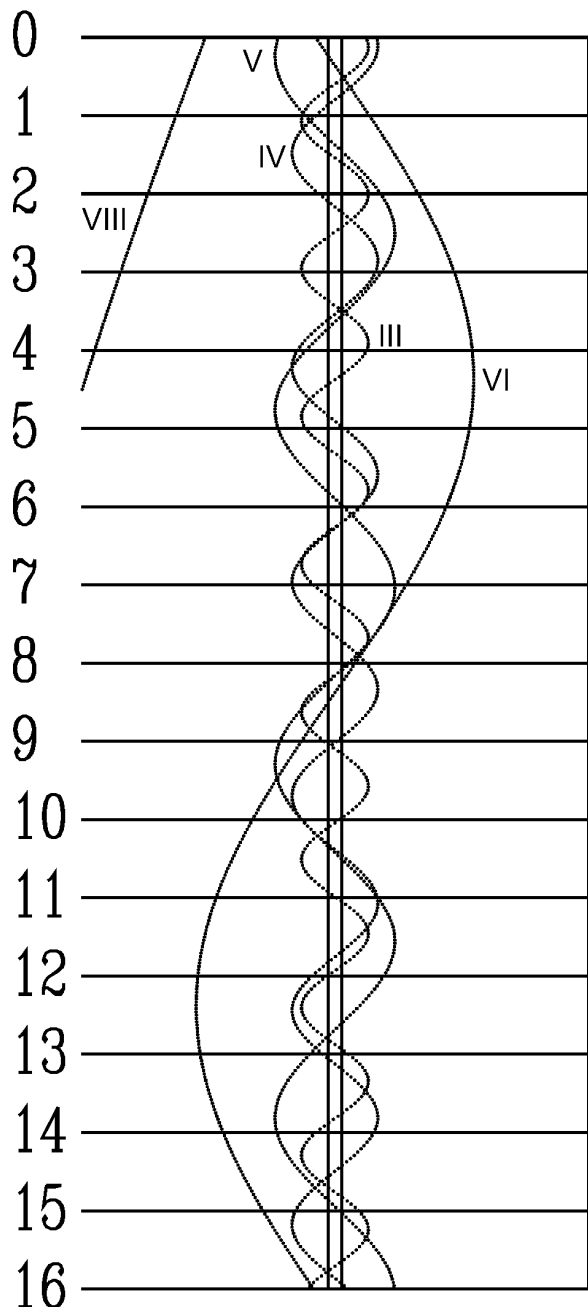
SIERPIEŃ



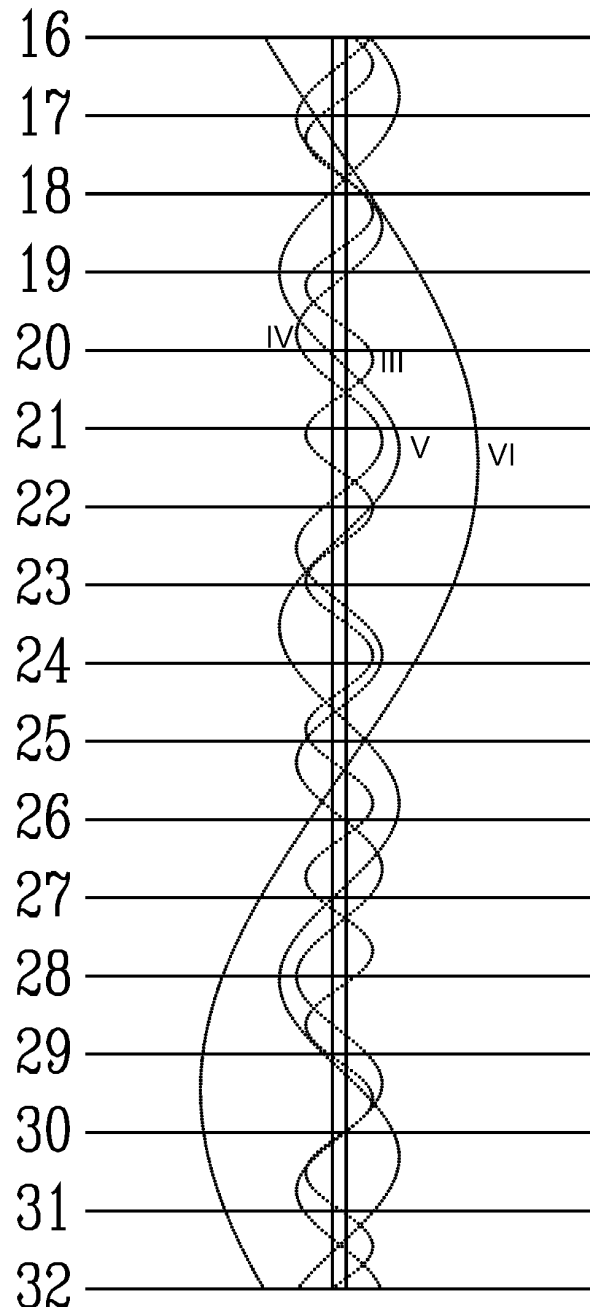
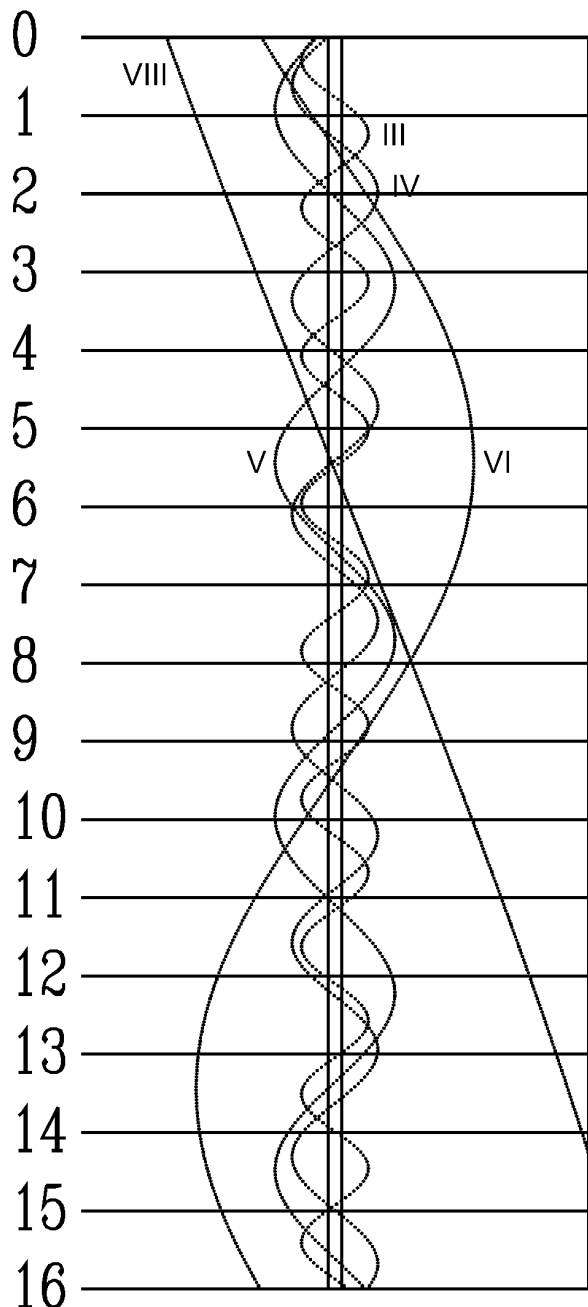
WRZESIEŃ



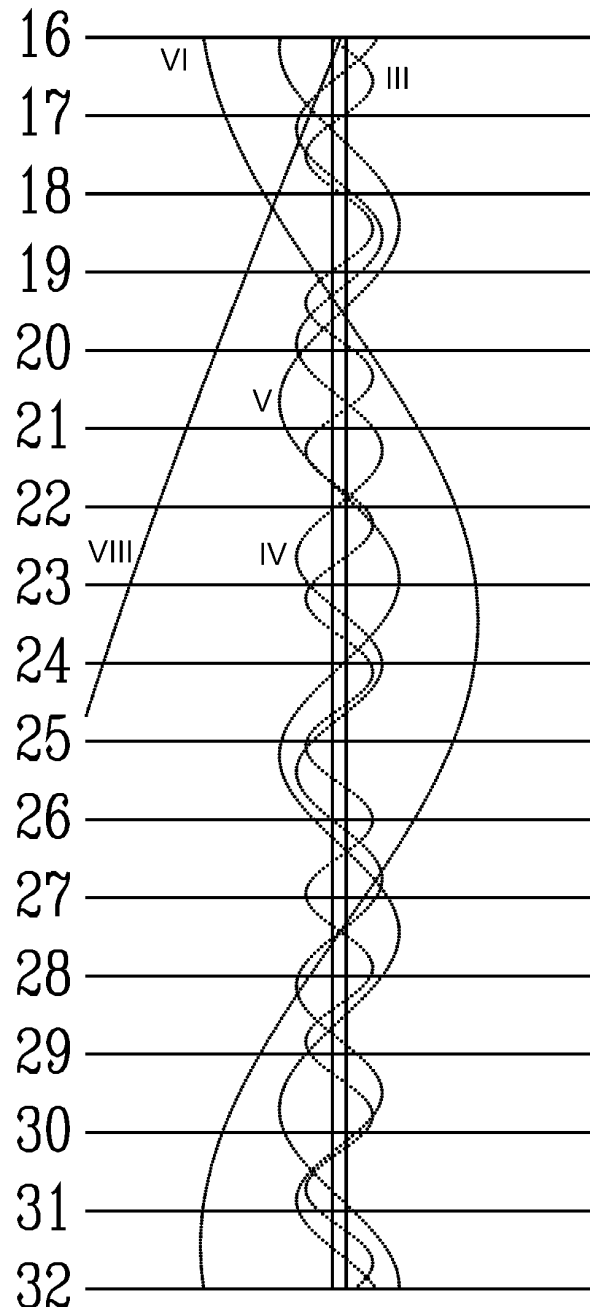
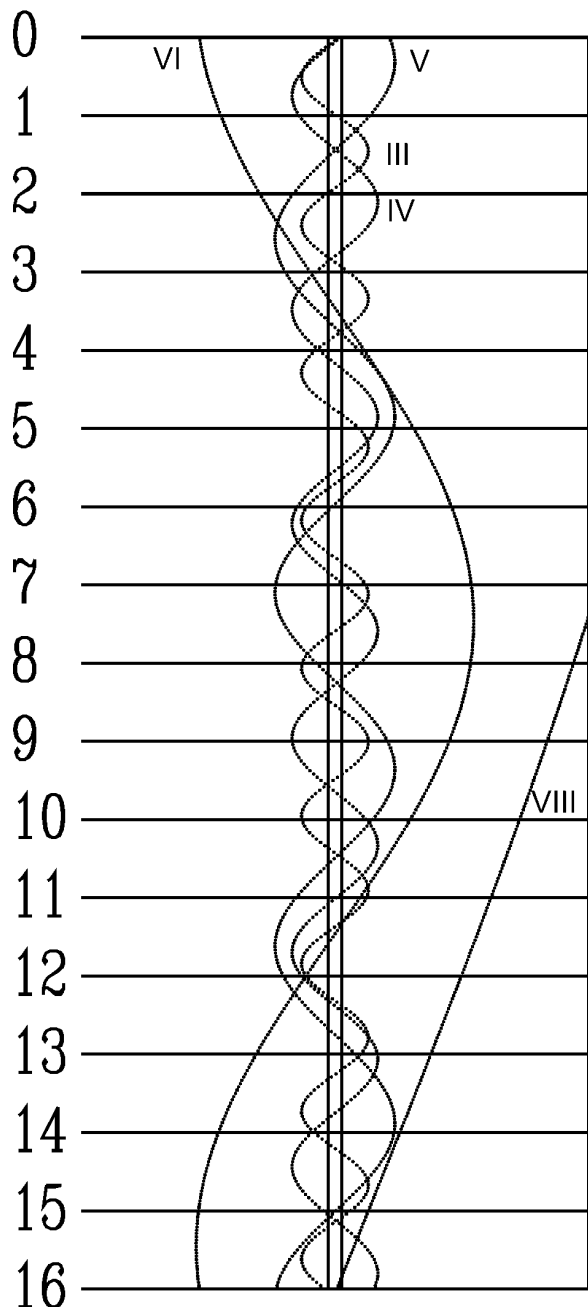
PAŹDZIERNIK



LISTOPAD



GRUDZIEŃ



Księżyce Marsa

Obserwacje księżyków Marsa, Phobosa i Deimosa, należą do najtrudniejszych obserwacji ciał w Układzie Słonecznym. Niemniej jednak opozycja Marsa stanowi okazję do wykonania próby obserwacji. Do zaobserwowania księżyków niezbędny jest teleskop o średnicy obiektywu przynajmniej 25 cm. Dodatkowo należy także umieścić w płaszczyźnie ogniskowej okularu (gdzie zwykle umieszcza się krzyż nitek) przeslonę blokującą blask samej planety (oczywiście niezbędne jest prowadzenie teleskopu za ruchem planety).

Jasności księżyków Marsa w tegorocznej opozycji (29 stycznia 2010):

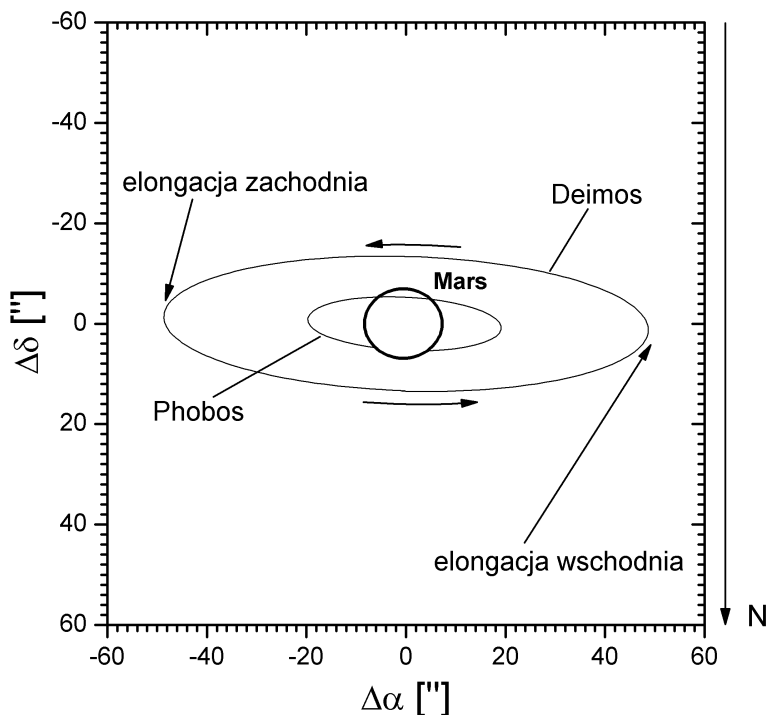
Phobos : 12.0^m

Deimos: 13.1^m

Poniższy diagram przedstawia wygląd układu Marsa w tegorocznej opozycji w lunecie astronomicznej (obraz odwrócony – północ na dole). Na kolejnych stronach podano momenty (UT) maksymalnych elongacji wschodniej (znak dodatni) i zachodniej (znak ujemny) Phobosa i Deimosa. Momenty są podane z dokładnością do 5 minut (Phobos) i 10 minut (Deimos). Próby dostrzeżenia obydwu księżyków należy podejmować właśnie w czasie maksymalnej elongacji. Podano wyłącznie maksymalne elongacje zachodzące w czasie nocy astronomicznej w Polsce gdy Mars znajduje się na wysokości powyżej 30° nad horyzontem.

We wszystkich kolejnych tabelach podano: datę i godzinę elongacji oraz jej wielkość w sekundach łuku (""). (-: elongacja zachodnia, +: elongacja wschodnia)

Układ Marsa



[Dane zaczerpnięte z systemu Horizons, JPL-NASA]

Phobos

Data		godz.	elong.	Data		godz.	elong.	Data		godz.	elong.
		h m	"			h m	"			h m	"
I	15	3:20	-19.2	I	25	23:30	-19.7	II	4	20:40	-19.5
	15	22:30	18.7		26	3:20	19.2		5	0:30	18.9
	16	2:20	19.3		26	22:30	-19.8		5	19:40	-19.5
	16	21:30	-18.8		27	2:20	19.2		5	23:30	18.9
	17	1:20	19.4		27	21:30	-19.7		6	18:40	-19.4
	17	20:30	-18.8		28	1:20	19.2		6	22:30	18.9
	18	0:20	19.4		28	20:20	-19.7		7	2:20	-19.4
	18	4:10	-18.9		29	0:10	19.1		7	17:40	-19.3
	18	23:10	-19.5		29	19:20	-19.7		7	21:30	18.8
	19	3:00	18.9		29	23:10	19.2		8	1:10	-19.3
	19	22:10	-19.6		30	3:00	-19.7		8	20:20	18.7
	20	2:00	19.0		30	18:20	-19.7		9	0:10	-19.2
	20	21:10	-19.6		30	22:10	19.1		9	19:20	18.7
	21	1:00	19.0		31	2:00	-19.7		9	23:10	-19.2
	21	20:10	19.6		31	21:10	19.1		10	18:20	18.6
	21	23:50	19.0	II	1	1:00	-19.7		10	22:10	-19.1
	22	3:40	-19.6		1	20:00	19.1		11	2:00	18.5
	22	22:50	19.1		1	23:50	-19.7		11	21:00	-19.0
	23	2:40	-19.7		2	19:00	19.1		12	0:50	18.4
	23	21:50	19.1		2	22:50	-19.6		12	20:00	-18.9
	24	1:40	-19.7		3	2:40	19.1		12	23:50	18.4
	24	20:50	19.1		3	18:00	19.0		13	19:00	-18.8
	25	0:40	-19.7		3	21:50	-19.6		13	22:50	18.3
I	25	19:40	19.1	II	4	1:40	19.0	II	14	18:00	-18.7

Deimos

Data		godz.	elong.	Data		godz.	elong.
		h m	"			h m	"
I	16	21:10	-47.8	II	1	0:20	48.6
	18	3:30	-48.0		2	21:40	-48.4
	20	0:50	48.2		4	19:00	48.2
	21	22:10	-48.4		6	1:20	48.0
	23	19:40	48.6		7	22:40	-47.7
	25	1:50	-48.6		9	20:10	47.4
	26	23:20	48.7		11	2:20	47.1
	28	20:40	-48.7		12	23:50	-46.6
	30	2:50	-48.7		14	21:10	46.2

Księżyce Urana

W układzie Urana możliwe dla obserwacji amatorskich są księżyce Ariel, Umbriel, Titania i Oberon. Do zaobserwowania księżyków niezbędny jest teleskop o średnicy obiektywu przynajmniej 20 cm.

Jasności księżyków Urana w tegorocznej opozycji:

Ariel: 14.4^m

Umbriel: 15.0^m

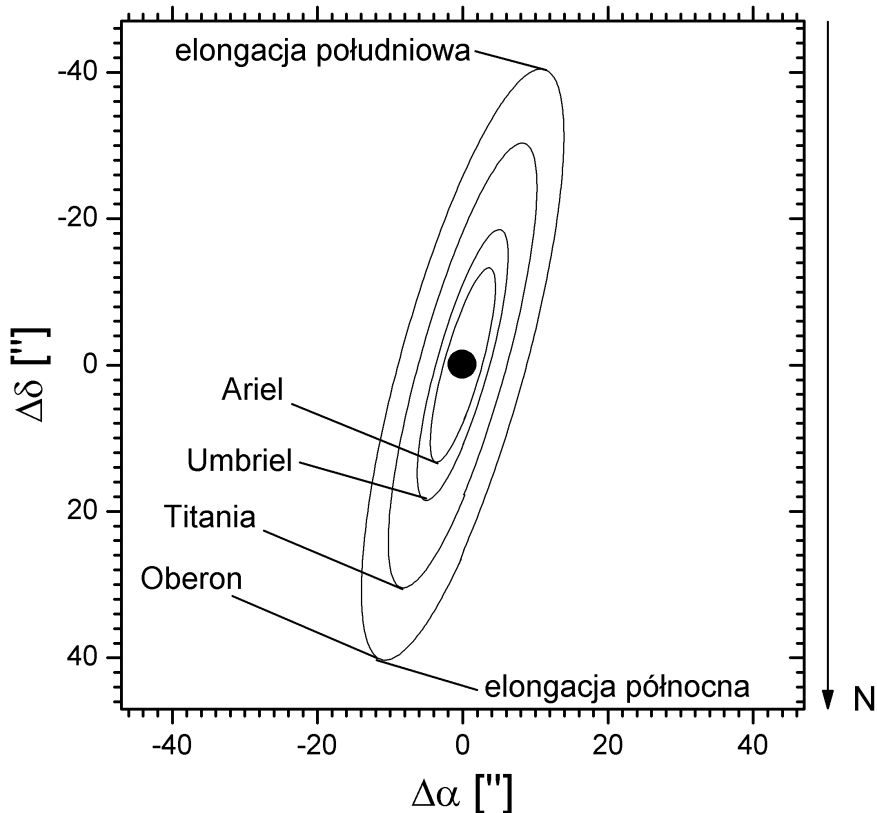
Titania: 13.9^m

Oberon: 14.2^m

Poniższy diagram przedstawia wygląd układu Urana w tegorocznej opozycji w lunecie astronomicznej (obraz odwrócony – północ na dole). W tabelach podano momenty (UT) maksymalnych elongacji północnej (znak dodatni) i południowej (znak ujemny) księżyków Urana. Momenty są podane z dokładnością do 1 godziny. Próby dostrzeżenia wszystkich czterech księżyków należy podejmować właśnie w czasie maksymalnej elongacji. Podano wszystkie maksymalne elongacje w okresie optymalnej widzialności planety.

(W tabelach: +: elongacja północna, -: elongacja południowa)

Układ Urana



[Dane zaczerpnięte z systemu Horizons, JPL-NASA]

Ariel

Data	godz.	elong.	Data	godz.	elong.	Data	godz.	elong.			
	h m	"		h m	"		h m	"			
VIII	2	3:00	13.5	IX	1	8:00	13.7	X	1	14:00	13.8
	3	9:00	-13.6		2	15:00	-13.8		2	21:00	-13.8
	4	15:00	13.6		3	21:00	13.7		4	3:00	13.8
	5	21:00	-13.6		5	3:00	-13.8		5	9:00	-13.8
	7	4:00	13.6		6	9:00	13.7		6	15:00	13.7
	8	10:00	-13.6		7	16:00	-13.8		7	22:00	-13.8
	9	16:00	13.6		8	22:00	13.8		9	4:00	13.7
	10	22:00	-13.6		10	4:00	-13.8		10	10:00	-13.8
	12	5:00	13.6		11	10:00	13.8		11	16:00	13.7
	13	11:00	-13.7		12	17:00	-13.8		12	23:00	-13.7
	14	17:00	13.6		13	23:00	13.8		14	5:00	13.7
	15	23:00	-13.7		15	5:00	-13.8		15	11:00	-13.7
	17	6:00	13.6		16	11:00	13.8		16	17:00	13.7
	18	12:00	-13.7		17	18:00	-13.8		18	0:00	-13.7
	19	18:00	13.7		19	0:00	13.8		19	6:00	13.7
	21	0:00	-13.7		20	6:00	-13.8		20	12:00	-13.7
	22	7:00	13.7		21	12:00	13.8		21	18:00	13.7
	23	13:00	-13.7		22	19:00	-13.8		23	1:00	-13.7
	24	19:00	13.7		24	1:00	13.8		24	7:00	13.7
	26	1:00	-13.7		25	7:00	-13.8		25	13:00	-13.7
	27	8:00	13.7		26	13:00	13.8		26	19:00	13.6
	28	14:00	-13.7		27	20:00	-13.8		28	2:00	-13.6
	29	20:00	13.7		29	2:00	13.8		29	8:00	13.6
	31	2:00	-13.8		30	8:00	-13.8		30	14:00	-13.6

Umbriel

Data	godz.	elong.	Data	godz.	elong.	Data	godz.	elong.			
	h m	"		h m	"		h m	"			
VIII	1	8:00	18.8	IX	1	10:00	-19.2	X	2	12:00	19.2
	3	9:00	-18.9		3	11:00	19.2		4	13:00	-19.2
	5	11:00	18.9		5	13:00	-19.2		6	15:00	19.2
	7	13:00	-19.0		7	15:00	19.2		8	17:00	-19.2
	9	15:00	18.9		9	17:00	-19.2		10	19:00	19.1
	11	16:00	-19.0		11	18:00	19.2		12	20:00	-19.2
	13	18:00	19.0		13	20:00	-19.2		14	22:00	19.1
	15	20:00	-19.0		15	22:00	19.2		17	0:00	-19.1
	17	21:00	19.0		18	0:00	-19.2		19	1:00	19.1
	19	23:00	-19.1		20	1:00	19.2		21	3:00	-19.1
	22	1:00	19.1		22	3:00	-19.2		23	5:00	19.0
	24	3:00	-19.1		24	5:00	19.2		25	7:00	-19.1
	26	4:00	19.1		26	6:00	-19.2		27	8:00	19.0
	28	6:00	-19.1		28	8:00	19.2		29	10:00	-19.0
	30	8:00	19.1		30	10:00	-19.2				

Titania

Data	godz.	elong.
	h m	"
VIII 1	20:00	-30.9
6	5:00	31.1
10	13:00	-31.1
14	22:00	31.2
19	6:00	-31.2
23	15:00	31.4
27	23:00	-31.3

Data	godz.	elong.
	h m	"
IX 1	7:00	31.5
5	16:00	-31.4
10	0:00	31.5
14	9:00	-31.5
18	17:00	31.5
23	2:00	-31.5
27	10:00	31.5

Data	godz.	elong.
	h m	"
X 1	19:00	-31.5
6	3:00	31.5
10	12:00	-31.4
14	20:00	31.4
19	5:00	-31.3
23	13:00	31.3
27	22:00	-31.1

Oberon

Data	godz.	elong.
	h m	"
VIII 4	9:00	41.4
11	2:00	-41.7
17	20:00	41.8
24	13:00	-41.9
31	7:00	42.0

Data	godz.	elong.
	h m	"
IX 7	0:00	-42.1
13	18:00	42.2
20	12:00	-42.1
27	5:00	42.2

Data	godz.	elong.
	h m	"
X 3	23:00	-42.1
10	16:00	42.0
17	10:00	-41.9
24	4:00	41.8
30	21:00	-41.6

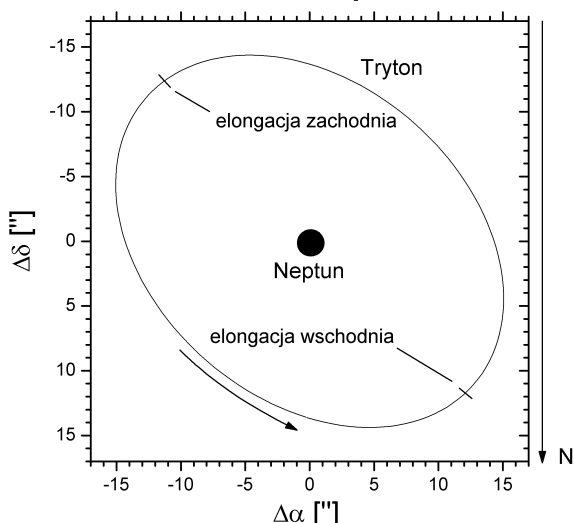
Księżyca Neptuna

W układzie Neptuna możliwy dla obserwacji amatorskich jest jedynie największy księżyc: Tryton. Do zaobserwowania księżyca niezbędny jest teleskop o średnicy obiektywu przynajmniej 20 cm.

Jasność Trytona w tegorocznej opozycji wynosi 13.5^m.

Poniższy diagram przedstawia wygląd układu Neptuna w tegorocznej opozycji w lunecie astronomicznej (obraz odwrócony – północ na dole). W tabeli podano momenty (UT) maksymalnych elongacji wschodniej (znak dodatni) i zachodniej (znak ujemny) Trytona. Momenty są podane z dokładnością do 1 godziny. Próby dostrzeżenia Trytona należy podejmować właśnie w czasie maksymalnej elongacji. Podano wszystkie maksymalne elongacje w okresie optymalnej widzialności planety. (W tabeli: +: elongacja wschodnia, -: elongacja zachodnia).

Układ Neptuna



[Dane zaczerpnięte z systemu Horizons, JPL-NASA]

Tryton

Data	godz.	elong.
	h m	"
VII 3	13:00	-16.7
6	11:00	16.7
9	10:00	-16.7
12	8:00	16.7
15	7:00	-16.8
18	5:00	16.8
21	4:00	-16.8
24	2:00	16.8
27	1:00	-16.8
30	0:00	16.8

Data	godz.	elong.
	h m	"
VIII 1	22:00	-16.8
4	21:00	16.8
7	19:00	-16.9
10	18:00	16.9
13	16:00	-16.9
16	15:00	16.9
19	14:00	-16.9
22	12:00	16.9
25	11:00	-16.9
28	9:00	16.9
31	8:00	-16.9

Data	godz.	elong.
	h m	"
IX 3	6:00	16.8
6	5:00	-16.8
9	3:00	16.8
12	2:00	-16.8
15	1:00	16.8
17	23:00	-16.8
20	22:00	16.8
23	20:00	-16.8
26	19:00	16.7
29	17:00	-16.7

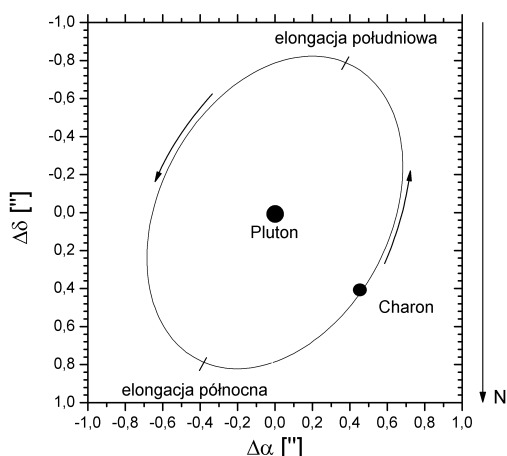
Księżyca Plutona

Największy księżyc Plutona, Charon, jest w zasadzie niemożliwy do zaobserwowania, nie tylko w warunkach amatorskich. Zdecydowałem się jednak zamieścić jego efemerydę, gdyż w teleskopie 40 cm możliwe jest zaobserwowanie zniekształcenia dyfrakcyjnego obrazu tej planety karłowatej w czasie maksymalnej elongacji księżyca. A ponieważ Pluton oddala się już od Słońca po minieciu peryhelium, warunki obserwacyjne będą się z roku na rok pogarszać. Tak więc dla obserwatorów mających dostęp do większych teleskopów może to być ostatnia okazja do stwierdzenia obecności Charona.

Jasność Charona w tegorocznej opozycji wynosi 15.8^m.

Poniższy diagram przedstawia wygląd układu Plutona w tegorocznej opozycji w lunecie astronomicznej (obraz odwrócony – północ na dole). W tabeli podano momenty (UT) maksymalnych elongacji północnej (znak dodatni) i południowej (znak ujemny) Charona. Momenty są podane z dokładnością do 1 godziny. Próby dostrzeżenia Charona należy podejmować właśnie w czasie maksymalnej elongacji. Podano wszystkie maksymalne elongacje w okresie optymalnej widzialności planety. (W tabeli: +: elongacja północna, -: elongacja południowa).

Układ Plutona



[Dane zaczerpnięte z systemu Horizons, JPL-NASA]

Charon

Data	godz.	elong.
	h m	"
V 2	8:00	-0.9
5	12:00	0.9
8	17:00	-0.9
11	22:00	0.9
15	3:00	-0.9
18	7:00	0.9
21	12:00	-0.9
24	16:00	0.9
27	21:00	-0.9
31	2:00	0.9

Data	godz.	elong.
VI 3	6:00	-0.9
6	11:00	0.9
9	16:00	-0.9
12	20:00	0.9
16	1:00	-0.9
19	6:00	0.9
22	10:00	-0.9
25	15:00	0.9
28	20:00	-0.9

Data	godz.	elong.
VII 2	0:00	0.9
5	5:00	-0.9
8	10:00	0.9
11	14:00	-0.9
14	19:00	0.9
18	0:00	-0.9
21	4:00	0.9
24	9:00	-0.9
27	14:00	0.9
30	0:00	-0.8

Gwiazdy zmienne

W poniższych tabelach zawarte są dane o 34 gwiazdach zmiennych zaćmieniowych, 26 typu RR Lyrae, 28 cefeidach klasycznych oraz 54 zmiennych długookresowych. Dla pierwszych trzech typów gwiazd informacje zawarte są w dwóch rodzajach tabel: pierwsza tabela (I) zawiera charakterystykę gwiazd, natomiast pozostałe (II) pozwalają szybko ustalić moment minimum (maksimum) jasności gwiazdy.

Zawartość tabel I:

Zmienne zaćmieniowe:

Nazwa – nazwa gwiazdy,
 α_{2000} – rektascensja gwiazdy podana na epokę 2000.0,
 δ_{2000} – deklinacja gwiazdy podana na epokę 2000.0,
m - jasność maksymalna gwiazdy,
 A_1 – amplituda głównego minimum jasności,
 A_2 – amplituda wtórnego minimum jasności,
D – czas trwania głównego zaćmienia,
 w przypadku gwiazd typu β Lyr podano symbol β ,
 w przypadku gwiazd typu W UMa podano symbol W,
d – czas trwania tzw. „płaskiego dna” w minimum jasności,
Minimum - data JD pierwszego minimum w 2010 roku,
Okres - okres zmian jasności.

Zmienne typu RR Lyrae:

Nazwa – nazwa gwiazdy,
 α_{2000} – rektascensja gwiazdy podana na epokę 2000.0,
 δ_{2000} – deklinacja gwiazdy podana na epokę 2000.0,
m – jasność maksymalna gwiazdy,
A – amplituda zmian jasności,
Maksimum – data JD pierwszego maksimum w 2010 roku,
Okres – okres zmian jasności.

Cefeidy klasyczne:

Nazwa – nazwa gwiazdy,
 α_{2000} – rektascensja gwiazdy podana na epokę 2000.0,
 δ_{2000} – deklinacja gwiazdy podana na epokę 2000.0,
 m_{\max} – jasność maksymalna gwiazdy,
 m_{\min} – jasność minimalna gwiazdy,
Maksimum - data JD pierwszego maksimum w 2010 roku,
Okres - okres zmian jasności.

Zawartość tabel II:

Tabele II są przedzielone na dwie części. Góra zawiera wielokrotności okresu policzone dla każdego dnia miesiąca, dolna zawiera datę minimum (maksimum) gwiazdy względem pierwszego dnia danego miesiąca, pomnożone przez 100. W celu określenia daty minimum (maksimum) jasności interesującej nas gwiazdy, należy dodać liczbę odpowiadającą zadanemu dniu miesiąca z górnej części tabeli do liczby odpowiadającej danemu miesiącowi, z dolnej części tabeli. Otrzymaną liczbę po podzieleniu przez 100 dodajemy do dnia wybranego z górnej części tabeli. Otrzymaną datę możemy przełożyć na godziny i minuty przy pomocy załączonej na następnej stronie tabeli.

Dla zmiennych długookresowych podano daty kalendarzowe wszystkich maksimów w 2010 roku.

Wszystkie momenty podane są w czasie Greenwich (UT).

Obserwacje zmiennych krótkookresowych należy rozpoczynać na kilka godzin przed obliczonym momentem, dla Miryd - co najmniej miesiąc wcześniej.

Schemat podawania minimów (maksimów) gwiazd zmiennych krótkookresowych został zaczerpnięty z nie wydawanego już obecnie "Rocznika Astronomicznego Obserwatorium Krakowskiego". W celu wyznaczenia momentów minimów gwiazd zmiennych zaćmieniowych wykorzystano elementy tych gwiazd, przygotowane przez prof. J. M. Kreinera⁶, zamieszczone na stronie <http://www.as.ap.krakow.pl/ephem/>. W związku z tym, że okresy tego rodzaju gwiazd zmiennych ulegają systematycznym zmianom, efemerydy niektórych z nich, zamieszczone w niniejszym Kalendarzu, mogą być obarczone niewielkim błędem. Obserwator zainteresowany tego typu obserwacjami może sprawdzić daty minimów interesujących go gwiazd właśnie na podanej stronie.

Przy opracowywaniu efemerydy gwiazd zmiennych długookresowych wykorzystano dane AAVSO.

Wybór gwiazd został dokonany przez członków Sekcji Obserwatorów Gwiazd Zmiennych PTMA.

Zamiana ułamków doby na godziny i minuty

	0.00	0.01	0.02	0.03	0.04	0.05	0.06	0.07	0.08	0.09	
0.00	0 ^h 00 ^m	0 ^h 14 ^m	0 ^h 29 ^m	0 ^h 43 ^m	0 ^h 58 ^m	1 ^h 12 ^m .	1 ^h 26 ^m .	1 ^h 41 ^m .	1 ^h 55 ^m	2 ^h 10 ^m	0.00
0.10	2 ^h 24 ^m	2 ^h 38 ^m	2 ^h 53 ^m	3 ^h 07 ^m	3 ^h 22 ^m	3 ^h 36 ^m	3 ^h 50 ^m	4 ^h 05 ^m	4 ^h 19 ^m	4 ^h 34 ^m	0.10
0.20	4 ^h 48 ^m	5 ^h 02 ^m	5 ^h 17 ^m	5 ^h 31 ^m	5 ^h 46 ^m	6 ^h 00 ^m	6 ^h 14 ^m	6 ^h 29 ^m	6 ^h 43 ^m	6 ^h 58 ^m	0.20
0.30	7 ^h 12 ^m	7 ^h 26 ^m	7 ^h 41 ^m	7 ^h 55 ^m	8 ^h 10 ^m	8 ^h 24 ^m	8 ^h 38 ^m	8 ^h 53 ^m	9 ^h 07 ^m	9 ^h 22 ^m	0.30
0.40	9 ^h 36 ^m	9 ^h 50 ^m	10 ^h 05 ^m	10 ^h 19 ^m	10 ^h 34 ^m	10 ^h 48 ^m	11 ^h 02 ^m	11 ^h 17 ^m	11 ^h 31 ^m	11 ^h 46 ^m	0.40
0.50	12 ^h 00 ^m	12 ^h 14 ^m	12 ^h 29 ^m	12 ^h 43 ^m	12 ^h 58 ^m	13 ^h 12 ^m	13 ^h 26 ^m	13 ^h 41 ^m	13 ^h 55 ^m	14 ^h 10 ^m	0.50
0.60	14 ^h 24 ^m	14 ^h 38 ^m	14 ^h 53 ^m	15 ^h 07 ^m	15 ^h 22 ^m	15 ^h 36 ^m	15 ^h 50 ^m	16 ^h 05 ^m	16 ^h 19 ^m	16 ^h 34 ^m	0.60
0.70	16 ^h 48 ^m	17 ^h 02 ^m	17 ^h 17 ^m	17 ^h 31 ^m	17 ^h 46 ^m	18 ^h 00 ^m	18 ^h 14 ^m	18 ^h 29 ^m	18 ^h 43 ^m	18 ^h 58 ^m	0.70
0.80	19 ^h 12 ^m	19 ^h 26 ^m	19 ^h 41 ^m	19 ^h 55 ^m	20 ^h 10 ^m	20 ^h 24 ^m	20 ^h 38 ^m	20 ^h 53 ^m	21 ^h 07 ^m	21 ^h 22 ^m	0.80
0.90	21 ^h 36 ^m	21 ^h 50 ^m	22 ^h 05 ^m	22 ^h 19 ^m	22 ^h 34 ^m	22 ^h 48 ^m	23 ^h 02 ^m	23 ^h 17 ^m	23 ^h 31 ^m	23 ^h 46 ^m	0.90
	0.00	0.01	0.02	0.03	0.04	0.05	0.06	0.07	0.08	0.09	

⁶ J.M. Kreiner, 2004, Acta Astronomica, vol. 54, pp 207-210

Przykłady:

I. Określenie maksimum jasności cefeidy δ Cep około 12 czerwca 2010.

Z górnej części tabeli II dla cefeid (kolumna δ Cep na str.190) znajdujemy najbliższe maksimum dla dnia 12 - odczytujemy liczbę 73 (dla dnia 11). Z dolnej części tabeli II dla miesiąca czerwca (6) odczytujemy liczbę -258. Dodajemy $73 + (-258) = -185$. Po podzieleniu przez 100 dodajemy do daty maksimum z górnej części tabeli II: $11 - 1.85 = 9.15$. Otrzymaną datę zamieniamy na godziny i minuty. Otrzymujemy 9 czerwca, godzinę $3^{\text{h}}36^{\text{m}}$ UT jako datę najbliższego maksimum jasności. Następne maksimum wystąpi w odstępie okresu, tzn. po 5.3663^{d} , czyli 14 czerwca o godzinie $12^{\text{h}}23^{\text{m}}$ UT.

II. Określenie maksimum jasności gwiazdy RR Lyr dnia 23 października 2010.

Z górnej części tabeli II dla gwiazd typu RR Lyr (kolumna RR Lyr na str.185) znajdujemy dla dnia 23 liczby 11 i 67. Dla miesiąca października (10) z części dolnej znajdująmy liczbę 56. Po dodaniu otrzymujemy liczby $11+56=67$ oraz $67+56=123$. Tak więc maksimum jasności gwiazda osiągnie $23+0.67=23.67$, czyli 23 października o godz. $16^{\text{h}}05^{\text{m}}$ UT, a następnie $23+1.23=24.23$, czyli 24 października o godz. $5^{\text{h}}31^{\text{m}}$.

III. Określenie minimum jasności zmiennej zaćmienowej Algol (β Per) około 2 marca 2010.

Z górnej części tabeli II dla gwiazd zmiennych zaćmieniowych (kolumna β Per na str.179) znajdujemy dla dnia 3 (najbliższe minimum) liczbę 87. Dla miesiąca marca (3) z dolnej części tabeli znajdująmy liczbę -81. Po dodaniu otrzymujemy $87 + (-81) = 6$. Tak więc minimum jasności nastąpi $3 + 0.06 = 3.06$, czyli 3 marca o godzinie $1^{\text{h}}26^{\text{m}}$ UT.

IV. Określenie maksimum jasności cefeidy SV Vul w maju 2010.

Z górnej części tabeli II dla cefeid (kolumna SV Vul na str.190) znajdujemy jedynie liczbę 0 dla dnia 1. Ponieważ dla wszystkich pobliskich miesięcy w pobliżu maja w części dolnej tabeli II liczby mają wartości ujemne, znajdująmy wartość dla następnego miesiąca (czerwca) równą -3233. Po dodaniu $0 + (-3233) = -3233$. Maksimum jasności otrzymujemy dodając powyższą liczbę (podzieloną przez 100) do dnia 0 czerwca (31 maja): $31 + (-32.33) = -1.33$. Tak więc maksimum jasności wystąpi 28 kwietnia o godzinie $16^{\text{h}}05^{\text{m}}$ UT.

Gwiazdy zmienne zaćmieniowe (I)

Nazwa	α_{2000}	δ_{2000}	m	A ₁	A ₂	D	d	Minimum	Okres
	h m	° '	m	M	m	h	h	2455...	d
U Cep	1 02.2	+81 52	6.8	2.3	0.1	9.6	2.3	199.56	2.4931
BX And	2 09.0	+40 48	8.9	0.7	0.3	W		197.65	0.6101
DO Cas	2 41.4	+60 34	8.6	0.7	0.2	β		197.66	0.6847
RZ Cas	2 48.9	+69 38	6.2	1.5	0.1	4.8	0	198.27	1.1953
XY Cet	2 59.5	+03 31	8.6	0.7	0.5	6.7	0	199.05	2.7807
β Per	3 08.2	+40 57	2.1	1.3	0.1	9.6	0	198.34	2.8674
BF Aur	5 05.1	+41 18	8.5	0.8	0.7	β		198.76	1.5832
TT Aur	5 09.7	+39 36	8.3	0.9	0.4	β		197.67	1.3327
SX Aur	5 11.7	+42 10	8.4	0.8	0.5	β		197.59	1.2101
WW Aur	6 32.5	+32 28	5.8	0.8	0.6	6.0	0	198.54	2.5250
YY CMi	8 06.6	+01 56	8.3	0.8	0.6	β		197.52	1.0940
SW Lyn	8 07.7	+41 48	9.5	0.7	0.1	2.0		197.64	0.6441
W UMa	9 43.8	+55 57	7.9	0.7	0.7	W		197.61	0.3336
TX UMa	10 45.4	+45 34	7.1	1.7	0.1	9.4	0	198.93	3.0633
AI Dra	16 56.3	+52 42	7.1	1.0	0.1	4.4	0	198.28	1.1988
U Oph	17 16.5	+01 12	5.9	0.7	0.6	7.0	0	198.35	1.6773
u Her	17 17.4	+33 06	4.6	0.7	0.3			198.25	2.0510
TX Her	17 18.6	+41 53	8.5	0.8	0.4	4.9	0	199.44	2.0598
RX Her	18 30.7	+12 36	7.3	0.6	0.5	6.0	0.9	198.02	1.7786
RS Sct	18 49.2	-10 14	8.6	1.2	0.3	β		197.82	0.6642
β Lyr	18 50.1	+33 22	3.3	0.9	0.5	β		202.21	12.9421
BH Dra	19 03.7	+57 28	8.4	0.9	0.2	7.0	0	199.19	1.8172
V548 Cyg	19 56.9	+54 48	8.9	0.8	0.1	β		197.65	1.8052
V477 Cyg	20 05.5	+31 59	8.5	0.8	0.2	4.0	0.2	198.97	2.3470
V346 Aql	20 10.0	+10 21	9.0	1.2	0.1	5.0	0	198.05	1.1064
MY Cyg	20 20.1	+33 57	8.7	0.7	0.7	7.2		199.26	4.0052
V836 Cyg	21 21.4	+35 45	8.6	0.7	0.2	β		197.68	0.6534
EE Peg	21 40.0	+09 11	6.9	0.7	0.2	6.4	0	198.91	2.6282
EK Cep	21 41.4	+69 42	8.0	1.3	0.1	6.4		199.60	4.4278
CM Lac	22 00.1	+44 33	8.5	1.0	0.3	4.0	0	198.28	1.6047
RT Lac	22 01.5	+43 53	8.8	1.1	0.8	β		198.69	5.0738
ZZ Cep	22 45.0	+68 08	8.6	1.0	0.1	5.1	0	197.83	2.1418
SW Lac	22 53.7	+37 56	8.5	0.8	0.8	W		197.69	0.3207
RT And	23 11.1	+53 01	8.9	0.9	0.3	2.6	0	197.83	0.6289

Gwiazdy zmienne zaćmieniowe (II)

Dz	U Cep	BX And	DO Cas	RZ Cas	XY Cet	β Per	BF Aur	TT Aur	SX Aur	WW Aur	YY CMi	SW Lyn
1	0	0 61	0 68	0	0	0	0	0	0	0	0	0 64
2		22 83	37	20			58	33	21		9	29 93
3	49	44	5 74	39	78	87		67	42	53	19	58
4		5 66	42	59			17	100	63		28	22 86
5	99	27 88	11 79	78			75		84		38	51
6		49	48	98	56	73		33		5	47	15 80
7		10 71	16 85		56		33	66	5		56	44
8	48	32 93	53	17			92	100	26	58	66	8 73
9		54	22 90	37	34	60			47		75	37
10	97	15 76	59	56			50	33	68		85	2 66
11		37 98	27 95	76				66	89	10	94	31 95
12		59	64	95	12	47	8	99				59
13	47	20 81	32				67		10	63	3	24 88
14		42	1 69	15	90			33	31		13	53
15	96	3 64	38	34		34	25	66	52		22	17 81
16		25 86	6 75	54			83	99	73	15	32	46
17		47	43	73	68				94		41	10 75
18	45	8 69	12 80	93		20	42	33		68	50	39
19		30 91	49				100	66	15		60	3 68
20	94	52	17 86	12	47			99	36		69	32 97
21		13 74	54	32			7	58		20	79	61
22		35 96	22 91	51				32	78		88	25 90
23	44	57	59	71	25	94	17	66	99	73	97	54
24		18 79	28 96	91			75	99				19 83
25	93	40	65						20		7	47
26		1 62	33	10	3	81	33	32	41	25	16	12 76
27		23 84	2 70	30			91	65	62		26	41
28	42	46	39	49	81			99	83	78	35	5 70
29		7 68	7 76	69			67	50			44	34 98
30	92	29 90	44	88				32	4		54	63
31		51	13 81		59		8	65	25	30	63	27 92
Mi												
1	-44	15	16	77	-123	84	-32	17	9	-149	2	14
2	98	27	65	85	-164	-149	34	-17	55	34	74	5
3	40	33	4	34	95	-81	84	-19	38	11	9	39
4	-68	45	53	41	53	-27	-8	80	85	-59	82	31
5	-77	34	66	29	-166	-160	0	12	-11	-29	36	58
6	64	46	47	37	71	-106	67	-23	35	-99	-1	49
7	56	36	59	25	-148	48	75	43	60	-69	62	12
8	-52	47	40	33	89	-184	-17	8	-15	-138	25	4
9	89	59	21	41	47	-130	50	-27	32	44	98	60
10	81	48	34	29	-172	24	58	38	57	74	52	22
11	-28	60	15	36	65	78	-34	4	-18	4	15	14
12	-36	49	28	25	-154	-55	-26	69	7	34	79	41

Gwiazdy zmienne zaćmieniowe (II – c.d.)

Dz	W UMa	TX Uma	AI Dra	U Oph	u Her	TX Her	RX Her	RS Sct	β Lyr	BH Dra	V548 Cyg
1	0 33 67	0	0	0	0	0	0	0 66	0	0	0
2	0 33 67		20	68			78	33 99		82	81
3	0 34 67		40		5	6		66			
4	0 34 67	6	60	35			56	32 99		63	61
5	0 34 67		80		10	12		65			
6	0 34 67		99	3			34	31 98		45	42
7	1 34 67	13		71	15	18		64			
8	1 34 67		19				11	31 97		27	22
9	1 34 67		39	39	20	24	89	64			
10	1 34 68	19	59					30 96		9	3
11	1 34 68		79	6	26	30	67	63		90	83
12	1 34 68		99	74				29 96			
13	1 34 68	25			31	36	45	62	94	72	64
14	1 35 68		19	42				28 95			
15	1 35 68		39		36	42	23	61		54	44
16	1 35 68	32	58	10				28 94			
17	1 35 68		78	77	41	48	1	61		36	25
18	2 35 68		98				79	27 93			
19	2 35 68	38		45	46	54		60		17	5
20	2 35 68		18				56	26 93		99	86
21	2 35 69		38	13	51	60		59			
22	2 35 69	44	58	81			34	26 92		81	66
23	2 35 69		78		56	66		58			
24	2 35 69		98	48			12	25 91		62	47
25	2 36 69	51			61	72	90	58			
26	2 36 69		18	16				24 91	88	44	27
27	2 36 69		37	84	66	78	68	57			
28	2 36 69	57	57					23 90		26	8
29	3 36 69		77	51	71	84	46	56			88
30	3 36 69			97				23 89		8	
31	3 36 69	63		19	77	90	24	55		89	69
Mi											
1	11	-163	78	85	75	-12	52	32	-824	-13	15
2	13	-200	95	4	51	-22	-25	54	-41	-24	-16
3	16	64	52	56	-82	62	21	44	-252	84	72
4	19	27	69	-25	99	52	-55	66	-764	73	41
5	21	90	66	-6	-29	-65	-32	55	-1176	-19	-70
6	24	53	83	81	-53	-75	70	10	-393	-30	79
7	27	-190	80	-67	24	15	93	66	-805	59	-33
8	30	80	97	20	0	4	17	21	-22	49	-64
9	33	43	-6	-61	-23	-6	-60	43	-534	38	86
10	2	-200	-9	-42	54	84	-36	32	-945	-54	-26
11	5	70	8	45	30	73	65	54	-162	-65	-57
12	7	-173	5	64	-98	-43	89	43	-574	24	12

Gwiazdy zmienne zaćmieniowe (II – c.d.)

Dz	V477 Cyg	V346 Aql	MY Cyg	V836 Cyg	EE Peg	EK Cep	CM Lac	RT Lac	ZZ Cep	SW Lac			RT And	
1	0	0	0	0 65	0	0	0	0	0	0	32	64	96	0 63
2		11		31 96			60			28	60	92	26 89	
3	35	21		61	63				14	25	57	89	52	
4		32		27 92			21			21	53	85	14 77	
5	69	43	1	57		43	81		28	17	49	81	40	
6		53		23 88	26			7		13	45	77	3 66	
7		64		53			42		43	9	41	74	29 92	
8	4	74		19 84	88					6	38	70	55	
9		85	1	49		86	2		57	2	34	66	98	
10	39	96		15 80			63			30	62	94	43	
11				45	51				15	71	26	58	90	
12	73	6		11 76			23			23	55	87	32 95	
13		17	2	41			84			85	19	51	83	
14		28		7 72	14	28				15	47	79	21 84	
15	8	38		38			44			99	11	43	75	
16		49		3 68	77				22		7	39	72	
17	43	60	2	34 99			5			4	36	68	100	
18		70		64		71	65			13	32	64	61	
19	78	81		30 95	40					28	60	92	24 87	
20		91		60			26			28	24	56	88	
21			3	26 91			86	30			21	53	85	
22	12	2		56	3				42		17	49	81	
23		13		22 87		14	47				13	45	77	
24	47	23		52	65					56	9	41	73	
25		34	3	18 83			7				5	37	70	
26	82	45		48			68	37	70	2	34	66	98	
27		55		14 79	28	57					30	62	94	
28		66		44			28			84	26	58	90	
29	16	77	4	10 75	91						22	54	86	
30		87		40			88			99	19	51	83	
31	51	98		6 71		99	49	44			15	47	79	
Mi														
1	-87	55	-224	18	-122	-233	78	-388	33		19		33	
2	98	52	-120	54	-68	-233	27	64	-68		30		14	
3	-120	18	-117	64	23	66	-45	-199	-84		20		44	
4	66	16	-12	35	77	66	64	-255	29		31		26	
5	-118	3	-209	41	-32	-278	-47	-211	27		14		45	
6	68	1	-105	12	22	-278	62	-267	-74		25		27	
7	-116	99	99	17	-87	-179	-50	-222	-75		7		46	
8	70	97	-197	54	-33	-179	60	-278	37		18		27	
9	21	95	-93	25	21	-180	9	-334	-64		29		9	
10	72	82	-289	30	-88	-80	58	-289	-66		12		28	
11	23	80	-185	2	-34	-81	6	-345	47		23		10	
12	75	67	19	7	-143	18	55	-301	45		6		29	

Gwiazdy typu RR Lyrae (I)

Nazwa	α_{2000}	δ_{2000}	m	A	Maksimum	Okres
	h m	° '	m	m	2455...	d
SW And	0 23.7	+29 23	9.1	1.0	197.74	0.4423
RR Cet	1 32.2	+01 20	9.1	1.0	198.01	0.5530
X Ari	3 08.5	+10 27	9.0	1.0	197.82	0.6512
SV Eri	3 11.9	-11 22	9.6	0.7	198.07	0.7137
AR Per	4 17.2	+47 24	9.9	0.9	197.87	0.4254
RX Eri	4 49.8	-15 44	9.2	0.9	197.80	0.5872
U Lep	4 56.2	-21 13	9.8	1.3	197.95	0.5815
TT Lyn	9 03.2	+44 36	9.4	0.8	197.55	0.5974
T Sex	9 53.5	+02 03	9.8	0.5	197.54	0.3247
RR Leo	10 07.7	+23 59	9.9	1.3	197.88	0.4524
TU UMa	11 29.8	+30 04	9.3	1.0	197.54	0.5577
SU Dra	11 38.0	+67 20	9.2	1.1	197.90	0.6604
UU Vir	12 08.6	+00 23	9.9	1.2	197.67	0.4756
SW Dra	12 17.8	+69 31	9.9	1.0	197.65	0.5697
RV UMa	13 33.3	+53 59	9.8	1.5	197.78	0.4681
RS Boo	14 33.5	+31 45	9.7	1.1	197.70	3.1487
VY Ser	15 31.1	+01 41	9.7	0.7	197.52	0.7141
VX Her	16 30.7	+18 22	9.9	1.3	197.71	0.4554
XZ Dra	19 09.7	+64 52	9.6	1.1	197.81	0.4765
RR Lyr	19 25.5	+42 47	7.1	1.1	197.77	0.5668
XZ Cyg	19 32.4	+56 23	8.9	1.3	197.53	0.4666
DX Del	20 47.5	+12 28	9.5	0.7	197.63	0.4726
AV Peg	21 52.2	+22 33	9.9	1.0	197.77	0.3904
DH Peg	22 15.4	+06 49	9.2	0.7	197.51	0.2555
RZ Cep	22 39.2	+64 51	9.1	0.6	197.53	0.3086
BH Peg	22 52.6	+15 47	10.0	0.8	197.78	0.6410

Gwiazdy typu RR Lyrae (II)

Dz	SW And	RR Cet	X Ari	SV Eri	AR Per	RX Eri	U Lep
1	0 44 88	0 55	0 65	0 71	0 43 85	0 59	0 58
2	33 77	11 66	30 95	43	28 70	17 76	16 74
3	21 65	21 77	60	14 85	13 55 98	35 94	33 91
4	10 54 98	32 87	26 91	57	40 83	52	49
5	42 86	42 98	56	28 99	25 68	11 70	7 65
6	31 75	53	21 86	71	11 53 96	29 87	23 81
7	19 63	8 64	51	42	38 81	46	40 98
8	8 52 96	19 74	16 81	14 85	23 66	5 63	56
9	40 85	30 85	46	56	8 51 93	22 81	14 72
10	29 73	40 95	12 77	28 99	36 78	40 98	30 89
11	17 61	51	42	71	21 64	57	47
12	6 50 94	6 61	7 72	42	6 49 91	16 74	5 63
13	38 83	17 72	37	13 85	34 76	33 92	21 79
14	27 71	27 83	2 67	56	19 61	51	37 96
15	15 59	38 93	33 98	27 99	4 46 89	9 68	54
16	4 48 92	48	63	70	32 74	27 86	12 70
17	36 81	4 59	28 93	42	17 59	44	28 86
18	25 69	14 70	58	13 84	2 44 87	3 62	44
19	13 58	25 80	23 88	56	29 72	20 79	3 61
20	2 46 90	36 91	53	27 98	14 57 99	38 97	19 77
21	34 79	46	19 84	70	42 85	55	35 93
22	23 67	2 57	49	41	27 70	14 73	51
23	11 56 99	12 67	14 79	13 84	12 55 97	32 90	10 68
24	44 88	23 78	44	55	40 82	49	26 84
25	32 77	33 89	9 74	27 98	25 68	8 66	42
26	21 65	44 99	39	69	10 53 95	25 84	0 59
27	9 54 98	55	5 70	41	38 80	43	17 75
28	42 86	10 65	35 99	12 84	23 65	1 60	33 91
29	31 75	20 76	65	55	8 50 93	19 78	49
30	19 63	31 86	30 95	26 98	35 78	36 95	7 66
31	7 52 96	42 97	60	69	21 63	54	24 82
Mi							
1	12	43	0	29	17	56	53
2	7	40	26	69	23	9	35
3	38	5	26	53	31	28	26
4	34	2	51	22	37	40	8
5	41	44	47	20	15	35	32
6	37	41	7	60	20	48	14
7	0	27	2	58	41	43	37
8	40	24	28	27	4	55	19
9	36	21	53	67	10	9	1
10	44	7	49	65	30	4	25
11	40	4	9	34	36	16	7
12	3	46	4	31	14	11	30

Gwiazdy typu RR Lyrae (II - c.d.)

Dz	TT Lyn	T Sex	RR Leo	TU UMa	SU Dra	UU Vir	SW Dra
1	0 60	0 32 65 97	0 45 90	0 56	0 66	0 48 95	0 57
2	19 79	30 62 95	36 81	12 67	32 98	43 90	14 71
3	39 99	27 60 92	26 71	23 79	64	38 85	28 85
4	58	25 57 90	17 62	35 90	30 96	33 80	42 99
5	18 78	22 55 87	7 52 98	46	62	28 76	56
6	38 97	20 52 84	43 88	2 58	28 94	23 71	13 70
7	57	17 49 82	33 79	13 69	60	18 66	27 84
8	17 77	14 47 79	24 69	25 81	26 93	13 61	41 98
9	36 96	12 44 77	14 60	36 92	59	9 56	55
10	56	9 42 74	5 50 95	48	25 91	4 51 99	11 68
11	16 75	7 39 72	41 86	4 60	57	46 94	25 82
12	35 95	4 36 69	31 76	15 71	23 89	41 89	39 96
13	55	1 34 66 99	21 67	27 83	55	37 84	53
14	14 74	31 64 96	12 57	38 94	21 87	32 79	10 67
15	34 94	29 61 94	2 48 93	50	53	27 74	24 81
16	53	26 59 91	38 83	6 61	19 85	22 70	38 95
17	13 73	23 56 88	29 74	17 73	51	17 65	52
18	33 92	21 53 86	19 64	29 85	17 83	12 60	9 66
19	52	18 51 83	10 55	40 96	49	7 55	23 80
20	12 72	16 48 81	0 45 91	52	15 81	2 50 98	37 94
21	31 91	13 46 78	36 81	8 63	47	45 93	51
22	51	11 43 75	26 71	19 75	13 79	40 88	8 65
23	11 70	8 40 73	17 62	31 86	45	35 83	22 79
24	30 90	5 38 70	7 52 98	42 98	11 78	30 78	36 93
25	49	3 35 68	43 88	54	44	26 73	50
26	9 69	0 33 65 98	33 79	9 65	10 76	21 68	7 64
27	29 88	30 63 95	24 69	21 77	42	16 63	21 78
28	48	27 60 92	14 60	33 88	8 74	11 59	34 91
29	8 68	25 57 90	5 50 95	44 99	40	6 54	48
30	27 87	22 55 87	41 86	56	6 72	1 49 96	5 62
31	47	20 52 85	31 76	11 67	38	44 91	19 76
Mi							
1	28	26	4	18	30	6	46
2	34	10	25	41	34	45	22
3	42	3	30	29	8	4	13
4	49	20	6	52	12	43	47
5	36	7	37	8	50	39	9
6	43	24	14	31	54	30	42
7	30	11	45	42	26	27	5
8	37	28	21	9	30	18	38
9	43	13	42	32	34	10	14
10	30	0	28	43	6	6	34
11	37	17	5	10	10	45	10
12	24	5	36	22	48	41	29

Gwiazdy typu RR Lyrae (II - c.d.)

Dz	RV UMa	RS Boo	VY Ser	VX Her	XZ Dra	RR Lyr
1	0 47 94	0 38 75	0 71	0 46 91	0 48 95	0 57
2	40 87	13 51 89	43	37 82	43 91	13 70
3	34 81	26 64	14 86	28 73	38 86	27 83
4	28 74	2 40 77	57	19 64	34 81	40 97
5	21 68	15 53 91	28 99	10 55	29 76	53
6	15 62	28 66	71	1 46 92	24 72	10 67
7	8 55	4 41 79	43	38 83	19 67	24 80
8	2 49 96	17 55 92	14 86	29 74	15 62	37 94
9	43 89	30 68	57	20 65	10 58	50
10	36 83	6 43 81	28 99	11 56	5 53	7 64
11	30 77	19 57 94	71	2 47 93	1 48 96	20 77
12	23 70	32 70	43	38 84	44 91	34 90
13	17 64	7 45 83	14 85	29 75	39 87	47
14	11 57	21 58 96	57	21 66	34 82	4 60
15	4 51 98	34 72	28 99	12 57	29 77	17 74
16	45 91	9 47 85	71	3 48 94	25 72	30 87
17	38 85	23 60 98	42	39 85	20 68	44
18	32 79	36 73	14 85	30 76	15 63	1 57
19	25 72	11 49 87	57	21 67	11 58	14 71
20	19 66	24 62 99	28 99	13 58	6 54	27 84
21	13 59	38 75	71	4 49 95	1 49 97	41 97
22	6 53 99	13 51 89	42	40 86	44 92	54
23	47 93	26 64	14 85	31 77	40 87	11 67
24	40 87	2 39 77	57	22 68	35 82	24 81
25	34 81	15 53 90	28 99	13 59	30 78	37 94
26	28 74	28 66	71	5 50 96	25 73	51
27	21 68	4 41 79	42	41 87	21 68	7 64
28	15 62	17 55 92	14 85	32 78	16 64	21 78
29	8 55	30 68	56	23 69	11 59	34 91
30	2 49 96	6 43 81	28 99	14 60	7 54	48
31	42 89	19 56 94	71	5 51 96	2 50 97	4 61
Mi						
1	15	10	62	13	6	34
2	4	4	32	9	4	52
3	12	34	17	32	15	29
4	1	28	59	29	12	47
5	44	9	58	34	14	51
6	33	3	29	31	11	12
7	28	22	28	36	13	16
8	18	16	70	33	11	34
9	7	10	41	29	8	51
10	2	29	40	35	10	56
11	38	23	11	31	7	16
12	34	4	10	36	9	21

Gwiazdy typu RR Lyrae (II - c.d.)

Dz	XZ Cyg	DX Del	AV Peg	DH Peg	RZ Cep	BH Peg
1	0 47 93	0 47 95	0 39 78	0 26 51 77	0 31 62 93	0 64
2	40 87	42 89	17 56 95	2 28 53 79	23 54 85	28 92
3	33 80	36 84	34 73	4 30 55 81	16 47 78	56
4	27 73	31 78	12 51 90	7 32 58 83	9 39 70	20 85
5	20 67	25 73	29 68	9 34 60 85	1 32 63 94	49
6	13 60	20 67	7 47 86	11 36 62 88	25 55 86	13 77
7	7 53 99	14 62	25 64	13 39 64 90	17 48 79	41
8	47 93	9 56	3 42 81	15 41 66 92	10 41 71	5 69
9	40 87	3 51 98	20 59 98	17 43 69 94	2 33 64 95	33 97
10	33 80	45 92	37 76	20 45 71 96	26 57 87	61
11	27 73	40 87	15 54 93	22 47 73 98	18 49 80	26 90
12	20 67	34 82	32 71	24 50 75	11 42 73	54
13	13 60	29 76	10 49 88	1 26 52 77	3 34 65 96	18 82
14	7 53 99	23 71	27 66	3 28 54 79	27 58 89	46
15	47 93	18 65	5 44 83	5 31 56 82	19 50 81	10 74
16	40 87	12 60	22 61	7 33 58 84	12 43 74	38
17	33 80	7 54	1 40 79	9 35 60 86	5 35 66 97	2 67
18	26 73	1 49 96	18 57 96	12 37 63 88	28 59 90	31 95
19	20 66	43 90	35 74	14 39 65 90	21 51 82	59
20	13 60	38 85	13 52 91	16 41 67 93	13 44 75	23 87
21	6 53 99	32 80	30 69	18 44 69 95	6 37 67 98	51
22	46 93	27 74	8 47 86	20 46 71 97	29 60 91	15 79
23	40 86	21 69	25 64	22 48 74 99	22 53 83	43
24	33 80	16 63	3 42 81	25 50 76	14 45 76	8 72
25	26 73	10 58	20 59 98	1 27 52 78	7 38 69 99	36 99
26	20 66	5 52 99	37 76	3 29 55 80	30 61 92	64
27	13 60	47 94	15 55 94	6 31 57 82	23 54 85	28 92
28	6 53 99	41 88	33 72	8 33 59 84	15 46 77	56
29	46 93	36 83	11 50 89	10 36 61 87	8 39 70	20 84
30	40 86	30 77	28 67	12 38 63 89	1 31 62 93	49
31	33 80	25 72	6 45 84	14 40 65 91	24 55 86	13 77
Mi						
1	24	23	38	20	27	16
2	3	42	22	11	13	57
3	3	31	33	21	21	13
4	29	3	17	12	7	54
5	16	28	23	1	0	3
6	42	47	7	17	17	44
7	28	24	13	6	10	56
8	8	44	36	23	27	33
9	35	16	19	14	12	10
10	21	40	25	3	6	23
11	1	12	9	19	22	63
12	34	37	15	8	15	12

Cefeidy (I)

Nazwa	α_{2000}	δ_{2000}	m_{\max}	m_{\min}	Maksimum	Okres
	h m	° '	m	m	2455...	d
TU Cas	0 26.3	+51 17	6.8	8.2	199.01	2.1393
SU Cas	2 52.0	+68 53	5.7	6.2	198.94	1.9493
SZ Tau	4 37.2	+18 33	6.3	6.7	197.94	3.1487
T Mon	6 25.2	+07 05	5.6	6.6	211.72	27.0246
RT Aur	6 28.6	+30 30	5.0	5.8	200.04	3.7281
W Gem	6 35.0	+15 20	6.5	7.4	200.78	7.9138
ζ Gem	7 04.2	+20 35	3.6	4.2	197.69	10.1507
BF Oph	17 06.1	-26 35	6.9	7.7	198.61	4.0678
X Sgr	17 47.5	-27 50	4.2	4.9	197.73	7.0128
Y Oph	17 52.7	-06 09	5.9	6.5	212.49	17.1241
W Sgr	18 05.0	-29 35	4.3	5.1	200.60	7.5950
AP Sgr	18 13.0	-23 07	6.5	7.4	199.18	5.0579
Y Sgr	18 21.3	-18 52	5.2	6.2	201.63	5.7734
U Sgr	18 31.9	-19 08	6.3	7.2	202.23	6.7452
V350 Sgr	18 45.3	-20 39	7.1	7.8	198.14	5.1542
YZ Sgr	18 49.5	-16 44	7.0	7.8	201.56	9.5536
BB Sgr	18 51.0	-20 18	6.5	7.3	200.05	6.6370
FF Aql	18 58.2	+17 22	5.2	5.7	198.87	4.4709
TT Aql	19 08.2	+01 18	6.5	7.7	203.16	13.7546
U Aql	19 29.4	-07 03	6.1	6.9	201.70	7.0239
SU Cyg	19 44.8	+29 16	6.4	7.2	199.35	3.8455
SV Vul	19 51.6	+27 28	6.7	7.8	223.05	45.0121
η Aql	19 52.4	+01 01	3.5	4.4	200.29	7.1766
S Sge	19 56.1	+16 38	5.2	6.0	197.54	8.3821
X Cyg	20 43.4	+35 35	5.8	6.9	197.96	16.3863
T Vul	20 51.4	+28 15	5.4	6.1	198.83	4.4355
DT Cyg	21 06.5	+31 11	5.6	6.0	198.06	2.4992
δ Cep	22 29.2	+58 25	3.5	4.4	202.58	5.3663

Cefeidy (II)

Dz	TU Cas	SU Cas	SZ Tau	T Mon	RT Aur	W Gem	ζ Gem	BF Oph	X Sgr	Y Oph
1	0	0	0	0	0	0	0	0	0	0
2		95								
3	14									
4		90	15		73			7		
5	28									
6		85								
7	42		30							
8		80			46	91		14	1	
9	56									
10		75	45							
11	70				18					
12		70								
13	84		59							
14		65								
15	98				91					
16		59	74			83				
17								27		
18	11	54			64					12
19			89							
20	25	49								
21								30	34	
22	39	44			37					4
23			4							
24	53	39				74				
25									41	
26	67	34	19							
27					10					
28	81	29		2						
29									47	
30	95	24			82				5	
31							45			
Mi										
1	-10	-7	-149	-849	-48	-183	-247	-300	-239	-99
2	99	12	-101	-1247	-165	-118	-302	-146	-534	-1487
3	80	-59	-67	-1344	17	-543	-57	-98	-529	-862
4	-25	-40	-18	-1742	-100	-478	-112	56	-122	-537
5	-30	78	-184	-2039	-118	-312	-66	-97	-317	-112
6	79	97	-136	-2437	-235	-247	-121	58	89	-1500
7	74	21	13	-32	-253	-81	-76	-95	-106	-1075
8	-31	40	62	-430	3	-16	-131	59	-401	-750
9	78	59	-204	-827	-115	50	-186	-193	6	-425
10	73	-17	-56	-1125	-132	-576	-140	61	-189	0
11	-32	2	-7	-1522	-250	-511	-195	-192	-484	-1388
12	-37	-74	-173	-1820	-268	-345	-150	63	22	-963

Cefeidy (II - c.d.)

Dz	W Sgr	AP Sgr	Y Sgr	U Sgr	V350 Sgr	YZ Sgr	BB Sgr	FF Aql	TT Aql
1	0	0	0	0	0	0	0	0	0
2									
3									
4									
5								47	
6		6	77		15				
7				75					
8	59						64		
9								94	
10						55			
11		12			31				
12			55						
13				49					
14							27	41	75
15									
16	19	17			46				
17									
18			32					88	
19									
20				24		11	91		
21		23			62				
22									
23	78			9				35	
24									
25									
26		29			77				
27				98					
28									
29			87			66			
30									
31	38	35			93				51
Mi									
1	-489	-285	-169	-85	-43	-278	-287	-268	-1165
2	-551	-350	-382	-487	-50	-512	-69	-239	-138
3	-314	-115	-295	85	-273	-445	-214	91	-187
4	-375	-181	69	-317	-281	-679	4	-327	-536
5	-337	-146	-45	56	-188	-813	-341	-197	-785
6	-399	-211	-258	-346	-195	-92	-122	-167	-1135
7	-362	-176	-371	27	-103	-226	-468	-38	-8
8	-423	-242	-7	-375	-110	-460	-249	-8	-357
9	-485	-307	-220	-103	-118	-694	-31	22	-706
10	-447	-272	-334	-405	-25	-828	-376	-296	-955
11	-510	-338	30	-132	-33	-106	-157	-266	71
12	-472	-303	-83	-434	60	-240	-503	-137	-178

Cefeidy (II - c.d.)

Dz	U Aql	SU Cyg	SV Vul	η Aql	S Sge	X Cyg	T Vul	DT Cyg	δ Cep
1	0	0	0	0	0	0	0	0	0
2									
3		85						50	
4									
5							44	100	
6									37
7									
8	2	69		18	38		87	50	
9									
10								100	
11		54							73
12									
13								50	
14							31		
15	5	38		35				100	
16									
17						76	39		10
18							74	49	
19									
20		23						99	
21									
22	7			53			18	49	
23									
24		7						99	
25									
26					15				
27		92						61	
28									
29	10			71				49	
30									
31		76						99	
Mi									
1	-416	-153	-236	-148	-424	-1140	35	93	-184
2	-4	-176	-3336	-378	-171	-963	40	-8	-64
3	5	-285	-1634	-307	-457	-486	-99	-59	-181
4	-285	76	-233	-537	-204	-308	-94	90	-61
5	-475	-232	-3233	52	-689	-31	11	89	-378
6	-63	-255	-1832	-178	-437	-1492	16	-12	-258
7	-254	-179	-331	-307	-84	-1215	-323	-13	-39
8	-544	-203	-3431	-536	-669	-1038	-318	-114	81
9	-132	-226	-2030	-48	-416	-861	-313	35	-336
10	-323	-150	-528	-177	-63	-583	-208	34	-116
11	89	-173	-3628	-407	-649	-406	-203	-67	4
12	-101	-97	-2127	-536	-296	-129	-99	-68	-313

Gwiazdy zmienne długookresowe (typu Mira Ceti)

Nazwa Gwiazdy	α	δ	wielkość gw.		Okres	Epoka max w 2010 r.
	2000.0		max	min		
	h m	$^{\circ}$ '	m	m	d	
W Cet	0 02.1	-14 41	7.6	14.4	351.3	27 VI
R And	0 24.0	+38 35	6.9	14.3	409.2	1 X
R Psc	1 30.7	+ 2 52	8.2	14.3	344.5	20 II
W And	2 17.6	+44 18	7.4	13.7	397.3	6 VIII
o Cet	2 19.3	- 2 58	3.4	9.3	333.8	18 X
U Cet	2 33.7	-13 09	7.5	12.6	234.6	15 III 5 XI
R Tri	2 37.0	+34 16	6.2	11.7	266.3	30 V
U Ari	3 11.1	+14 48	8.1	14.6	371.1	3 XII
R Lep	4 59.6	-14 48	6.8	9.6	444.0	14 I
R Aur	5 17.3	+53 35	7.7	13.3	457.5	25 VII
U Ori	5 55.9	+20 11	6.3	12.0	368.3	23 II
V Mon	6 22.7	- 2 11	7.0	13.1	333.5	22 IV
R Lyn	7 1.3	+55 20	7.9	13.8	378.8	17 VI
R Gem	7 7.4	+22 42	7.1	13.5	369.9	30 XII
S CMi	7 32.7	+ 8 20	7.5	12.6	326.3	24 X
R Cnc	8 16.6	+11 44	6.8	11.2	361.6	24 VIII
T Hya	8 55.6	- 9 8	7.8	12.6	282.0	3 II 12 XI
R LMi	9 45.6	+34 31	7.1	12.6	374.4	16 I
R Leo	9 47.6	+11 26	5.8	10.0	311.0	22 VII
R UMa	10 44.6	+68 47	7.5	13.0	299.7	1 II 27 XI
R Crv	12 19.6	-19 15	7.5	13.8	318.8	28 X
SS Vir	12 25.3	+ 0 46	6.8	8.9	364.1	9 VII
R Vir	12 38.5	+ 6 59	6.9	11.5	145.6	24 V 17 X
R Hya	13 29.7	-23 17	4.5	9.5	388.9	27 XI
S Vir	13 33.0	- 7 12	7.0	12.7	375.1	14 II
RS Vir	14 27.3	+ 4 41	8.1	13.9	351.6	6 IV
R Boo	14 37.2	+26 44	7.2	12.3	225.4	10 III 21 X
S CrB	15 21.4	+31 22	7.3	12.9	357.8	25 IX
RS Lib	15 24.3	-22 55	7.5	12.0	221.4	8 II 17 IX
V CrB	15 49.5	+39 34	7.5	11.0	358.0	14 I
R Ser	15 50.7	+15 08	6.9	13.4	355.5	21 IX
RU Her	16 10.2	+25 04	8.0	13.7	497.9	27 IV 2011
U Her	16 25.8	+18 54	7.5	12.5	418.0	19 I 2011

Gwiazdy zmienne długookresowe (typu Mira Ceti) (c.d.)

Nazwa gwiazdy	α	δ	wielkość gw.		Okres	Epoka max w 2010 r.
	2000.0		max	min		
R Dra	16 32.6	+66 45	7.6	12.4	245.2	18 VI
S Her	16 51.9	+14 57	7.6	12.6	306.3	3 X
R Oph	17 07.8	-16 06	7.6	13.3	306.5	23 II 26 XII
T Dra	17 56.4	+58 13	9.6	12.3	421.6	2 VIII
T Her	18 09.1	+31 01	8.0	12.8	163.8	12 V 23 X
X Oph	18 38.3	+08 50	6.8	8.8	337.0	2 XI
R Aql	19 06.4	+08 14	6.1	11.5	284.2	3 VI
R Sgr	19 16.7	-19 18	7.3	12.5	268.9	30 VIII
R Cyg	19 36.8	+50 12	7.5	13.9	426.5	11 II
RT Cyg	19 43.6	+48 47	7.3	11.8	189.7	29 I 6 VIII
χ Cyg	19 50.5	+32 55	5.2	13.4	402.3	4 II 2011
RR Sgr	19 55.9	-29 11	6.8	13.2	336.3	22 X
U Cyg	20 19.6	+47 53	7.2	10.7	460.0	25 I
T Aqr	20 49.9	-05 09	7.7	13.1	204.0	11 III 1 X
T Cep	21 09.6	+68 29	6.0	10.3	388.1	24 I 16 II 2011
V Peg	22 01.0	+06 07	8.7	14.4	302.4	6 X
R Peg	23 06.6	+10 32	7.8	13.2	380.0	2 II 17 II 2011
V Cas	23 11.6	+59 42	7.9	12.2	225.8	27 V 8 I 2011
R Aqr	23 43.8	-15 17	6.5	10.3	383.9	4 I 22 I 2011
R Cas	23 58.4	+51 24	7.0	12.6	431.3	22 III

Zakrycia gwiazd przez Księżyce

Na kolejnych stronach przedstawiono dane o zakryciach gwiazd przez Księżyce widocznych w Polsce w 2010 roku. Podano zakrycia gwiazd z Katalogu Gwiazd Zodiakalnych (ZC) możliwe do zaobserwowania przez teleskop o średnicy obiektywu 10 cm. Przy obliczeniach wykorzystano materiały dostarczone przez Sekcję Obserwacji Pozycyjnych i Zakryć PTMA (program „Occult v.4.20”).

Tabela znajdująca się na lewej stronie podaje następujące dane:

- Nr** – kolejny numer zakrycia w roku,
Data – miesiąc i dzień wystąpienia zjawiska,
UT – godzina wystąpienia zjawiska (UT),
Nazwa – nazwa gwiazdy (jeżeli jest),
mag – jasność gwiazdy (magnitudo),
ZC – numer gwiazdy w Katalogu Zodiakalnym (ZC),
typ – rodzaj zjawiska: **zc** - zakrycie przy ciemnym brzegu, **zj** - zakrycie przy jasnym brzegu, **oc** - odkrycie przy ciemnym brzegu, **oj** - odkrycie przy jasnym brzegu,
PA – kąt pozycyjny zjawiska (liczony od północy w kierunku przeciwnym do ruchu wskazówek zegara),
A_k – azymut Księżyca (liczony względem północy),
h_k – wysokość Księżyca nad horyzontem,
F_k – faza Księżyca (ujemna - malejąca, dodatnia - rosnąca). Skrót „zać.” oznacza zjawisko odbywające się podczas zaćmienia Księżyca.

Tabela znajdująca się na prawej stronie podaje momenty zjawisk dla dwunastu miast w Polsce. Kolejne kolumny zawierają:

- Nr** – kolejny numer zakrycia w roku (tożsamy z numerem z poprzedniej tabeli),
UT – godzinę wystąpienia zjawiska (UT),

W kolejnych 12 kolumnach zamieszczono momenty wystąpienia zjawiska - ilość minut, które upłynęły od podanej wcześniej w tej tabeli godziny do zjawiska (dokładność 0.5) dla następujących miast w Polsce:

Gdańsk, Grudziądz, Kraków, Krosno, Lublin, Łódź, Olsztyn, Poznań, Szczecin, Warszawa, Wrocław, Zielona Góra

Przykłady:

I. Zjawisko Nr. 12 - dnia 24 I 2010, około godziny 14^hUT zakrycie, przez ciemny brzeg, gwiazdy ε Ari o jasności 4.7^m. Księżyca będący w fazie 0.62 (po pierwszej kwadrze) znajduje się w azymucie 111° na wysokości 40° nad horyzontem. Zjawisko będzie widoczne m.in. w: Gdańsku o 14^h11.1^m, Grudziądzu o 14^h09.0^m, Łodzi o 14^h05.3^m i Lublinie o 14^h05.4^m.

II. Zjawisko Nr.54 - dnia 9 marca 2010, około godziny 6^hUT odkrycie, przy ciemnym brzegu, gwiazdy λ Sgr o jasności 2.8^m. Księżyca, będący w fazie -0.35 (po ostatniej kwadrze) znajduje się w azymucie 191° na wysokości 14° nad horyzontem. Zjawisko będzie widoczne m.in. w: Krakowie o 6^h47.5^m, Olsztynie o 6^h48.3^m, Szczecinie o 6^h40.6^m i Zielonej Górze o 6^h41.7^m.

Nr	Data	UT	nazwa	mag	ZC	typ	PA	A _k	h _k	F _k
1	I 1	21	85 Gem	5.4	1193	oc	326	133	48	-0.98
2	2	2		6.2	1217	oc	292	236	43	-0.97
3	2	19	54 Cnc	6.4	1323	oc	313	90	19	-0.94
4	3	23		5.9	1458	oc	14	125	35	-0.85
5	4	0		6.1	1465	oc	291	157	44	-0.85
6	4	2	Yu Neu = π Leo	4.7	1468	oc	300	182	46	-0.85
7	6	5		5.6	1713	oc	304	214	27	-0.63
8	12	5		6.3	2458	oc	285	140	4	-0.08
9	17	17		7.3	3165	zc	348	247	3	+0.05
10	20	16	TX Psc = 19 Psc	5.0	3501	zc	10	208	38	+0.23
11	23	15		6.6	311	zc	355	159	55	+0.52
12	24	14	ε Ari	4.7	440	zc	37	111	40	+0.62
13	24	16		7.3	5715	zc	104	149	55	+0.63
14	24	20		7.2	461	zc	110	235	48	+0.64
15	25	17	36 Tau	5.5	598	zc	106	144	57	+0.73
16	27	17	5 Gem	5.8	936	zc	125	107	43	+0.91
17	28	18	Wasat = δ Gem	3.5	1110	zc	86	117	45	+0.97
18	28	20	Wasat = δ Gem	3.5	1110	oj	299	136	53	+0.97
19	28	22		6.5	1125	zc	91	189	58	+0.97
20	28	22	63 Gem	5.3	1129	zc	95	200	57	+0.97
21	31	0	ξ Leo	5.0	1409	oc	342	194	47	-0.99
22	31	5	O Leo	3.5	1428	oc	316	269	13	-0.99
23	31	21		6.5	1519	oc	323	125	29	-0.96
24	II 2	2		6.8	1655	oc	279	191	34	-0.88
25	2	5	87 Leo	4.8	1670	oc	286	239	18	-0.87
26	4	2		6.9	1893	oc	317	173	26	-0.69
27	7	2	2 Sco	4.5	2268	oc	222	139	3	-0.38
28	7	3	3 Sco (V927)	5.9	2273	oc	266	147	5	-0.38
29	16	16		5.7	3482	zc	56	243	21	+0.06
30	16	17		8.8	8298	zc	83	258	12	+0.06
31	17	19	45 Psc	6.8	51	zc	95	274	7	+0.12
32	19	18		7.8	2732	zc	69	252	34	+0.27
33	20	23		5.6	4005	zc	5	297	7	+0.38
34	20	23	ε Ari	4.7	440	zc	5	297	7	+0.38
35	21	19		7.0	6189	zc	43	252	44	+0.47
36	21	19		7.0	550	zc	12	257	41	+0.47
37	21	19		5.4	556	zc	119	258	40	+0.47
38	21	20		6.2	564	zc	58	266	34	+0.48
39	21	20	26 Tau	6.5	559	zc	9	268	34	+0.48
40	21	21		6.8	567	zc	7	272	29	+0.48
41	22	23		6.3	740	zc	167	290	16	+0.60
42	23	0	98 Tau	5.8	743	zc	37	299	9	+0.60
43	23	19		6.8	880	zc	170	217	60	+0.69
44	24	16		6.5	1036	zc	110	118	49	+0.78
45	24	17		6.8	8771	zc	116	135	54	+0.79
46	24	22		6.9	1059	zc	160	245	44	+0.80
47	25	20	85 Gem	5.4	1193	zc	30	170	56	+0.88
48	26	0		6.2	1217	zc	76	254	35	+0.89
49	II 26	17	54 Cnc	6.4	1323	zc	90	104	29	+0.94

Nr	UT	Gda	Gru	Kra	Kro	Łód	Lub	Ols	Poz	Szc	War	Wro	Zie
	h	m	m	m	m	m	m	m	m	m	m	m	m
1	21	52.4	53.5	57.7	60.1	55.8	59.8	55.0	52.6	49.3	57.2	53.6	51.3
2	2	43.0	44.4	50.6	52.6	47.6	50.8	45.2	44.5	41.0	48.1	46.4	43.8
3	19	31.2	30.9	29.5	29.9	30.3	31.3	31.7			31.2		
4	23		09.0	10.5								03.3	
5	0	51.8	52.2	54.6	57.2	53.6	57.8	54.1	50.2	47.3	55.4	50.4	48.5
6	2	03.8	04.8	09.5	12.1	07.2	11.3	06.3	03.7	00.2	08.5	04.8	02.3
7	5	41.5	42.8	49.3	51.6	46.1	49.9	44.0	42.6	38.8	46.9	44.6	41.8
8	5			09.3									
9	17											23.3	27.4
10	16	10.3	08.4	02.9	03.8	05.4	06.5	09.7	05.3	07.1	07.0	02.7	03.8
11	15	71.3	64.6	50.5	50.2	56.5	55.5	65.2	59.7		58.5	53.7	58.1
12	14	11.1	09.0		01.7	05.3	05.4	10.2			06.9		
13	16	44.9	45.3	50.6	55.6	47.5	54.6	48.2	42.3	38.3	50.2	43.1	39.9
14	20	23.1	24.9	34.2	36.8	29.3	33.5	26.0	25.2	20.5	29.7	28.5	24.8
15	17	31.8	32.1	36.5	40.5	33.9	40.0	34.7	29.4	25.7	36.2	30.0	27.2
16	17	29.7	29.8	33.2	36.4	31.1	35.8	31.7	27.8	25.2	32.9	28.3	26.2
17	18	64.1	63.2	61.1	63.0	62.0	65.1	65.3	60.0	59.0	64.2	58.7	58.0
18	20	08.0	08.5	10.8	13.3	09.8	14.1	10.4	06.5	03.5	11.7	06.8	04.8
19	22	22.0	22.3	25.5	28.4	23.9	28.6	24.7	20.1	16.6	25.9	20.7	18.2
20	22	48.8	49.5	53.5	56.2	51.5	56.0	51.6	47.7	44.0	53.2	48.7	46.1
21	0	30.0	32.2	40.8	42.3	36.5	38.7	31.8	34.1	30.9	35.9	37.0	34.5
22	5	23.5	25.1	31.1	31.5	28.1	28.7	24.4	27.2	25.4	27.1	29.5	28.1
23	21	39.6	40.2	42.7	44.4	41.6	44.3	41.1	39.6	37.6	42.5	40.1	38.8
24	2	18.4	19.2	23.7	26.7	21.6	26.2	21.2	17.5	13.6	23.2	18.5	15.8
25	5	22.5	24.0	30.4	32.0	27.3	29.9	24.5	24.6	21.4	27.4	26.9	24.5
26	2			27.7	29.9								
27	2	42.4	40.6	33.2	36.7	37.4	42.5	44.3	33.8		41.7	29.2	28.7
28	3	25.5	24.8	22.8	25.1	23.9	27.7	27.2	21.2	19.6	26.4	19.8	18.9
29	16	37.1	37.7	41.0	42.4	39.2	41.4	38.5	37.2	35.2	39.8	38.2	36.6
30	17	47.7	49.1	55.2		52.0		49.0	50.3	47.8	51.7	52.4	50.6
31	19	30.2	31.6					31.0	33.8	31.9		36.3	34.7
32	18	45.5	46.3	50.6	52.3	48.4	51.0	47.3	45.8	43.1	49.0	47.2	45.1
33	23								10.4	10.2		07.9	08.0
34	23			08.7		12.7			10.5	10.3		08.0	08.0
35	19	22.4	21.5	20.9	23.2	21.0	24.8	24.2	18.1	16.0	23.4	17.4	15.9
36	19			34.9	37.1	39.2	43.2		37.1	39.3	45.7	32.5	32.6
37	19	40.7	42.6	52.0	54.0	47.1	50.4	43.2	43.8	39.5	47.0	47.2	43.9
38	20	26.6	27.0	29.8	31.6	28.4	31.3	28.5	25.7	23.1	29.5	26.5	24.7
39	20			31.3	34.1							30.0	
40	20				52.9	55.0	56.3	61.4		53.4	52.9		50.3
41	23							49.7					49.7
42	0	22.9	23.2	24.8	25.3	24.0	25.1	23.8	23.0	21.8	24.4	23.7	22.9
43	19	03.0	06.5			16.4	21.0	06.9	11.2	03.3	14.0		
44	16	22.0	21.4	20.7	22.8	20.9	24.2	23.4			22.9		
45	17	51.2	51.5	54.8	57.8	53.0	57.5	53.7	49.3	46.3	54.8	50.0	47.7
46	22	38.1	40.4	50.2	50.9	45.1	46.5	39.8	43.4	40.3	43.9	47.4	44.9
47	20			09.3	12.9	15.3			10.9	11.2		05.4	04.9
48	0	34.0	35.0	39.9	41.7	37.5	40.6	36.1	34.7	31.6	38.3	36.3	34.1
49	17	25.4	24.2	21.0	22.2	22.5	24.3	25.9	21.5	21.5	24.2	20.0	20.0

Nr	Data	UT	nazwa	mag	ZC	typ	PA	A _k	h _k	F _k
50	II 27	22		6.1	1465	zc	109	174	45	+0.99
51	27	23	Yu Neu = π Leo	4.7	1468	zc	100	198	43	+0.99
52	III 2	0		5.6	1713	oc	263	191	31	-0.97
53	9	5	Kaus Borealis = λ Sgr	2.8	2672	zj	104	167	10	-0.35
54	9	6	Kaus Borealis = λ Sgr	2.8	2672	oc	229	191	14	-0.35
55	19	18		7.2	3033	zc	81	277	20	+0.14
56	19	20	M Ari	5.7	399	zc	51	296	4	+0.15
57	20	16	66 Ari	6.2	501	zc	28	244	49	+0.22
58	20	21		6.7	524	zc	115	291	12	+0.23
59	22	20		7.0	835	zc	117	260	39	+0.43
60	23	21		7.0	1014	zc	146	263	34	+0.55
61	24	16	63 Gem	5.3	1129	zc	46	157	59	+0.64
62	24	17	63 Gem	5.3	1129	oj	10	163	57	+0.64
63	24	22		6.7	1150	zc	160	252	38	+0.66
64	27	2	ο Leo	3.5	1428	zc	63	271	11	+0.87
65	27	18		6.5	1519	zc	67	137	35	+0.92
66	29	2	87 Leo	4.8	1670	zc	139	247	13	+0.98
67	IV 17	18		6.8	624	zc	126	275	27	+0.11
68	17	18		7.6	6523	zc	29	281	22	+0.11
69	17	19		7.9	6545	zc	49	288	16	+0.11
70	17	20		7.6	6552	zc	117	291	14	+0.11
71	17	20		7.2	6555	zc	153	296	10	+0.11
72	19	18	8 Gem	6.1	954	zc	33	255	41	+0.28
73	19	19	9 Gem	6.2	956	zc	89	255	40	+0.28
74	19	19	10 Gem	6.6	960	zc	96	266	33	+0.29
75	19	20	11 Gem (LU)	6.9	962	zc	119	269	30	+0.29
76	19	20		7.6	8814	zc	124	273	27	+0.29
77	19	20	12 Gem	7.0	964	zc	165	276	25	+0.29
78	19	22		6.1	983	zc	79	296	10	+0.30
79	19	22		6.8	982	zc	47	298	9	+0.30
80	21	18	Tegmine = ξ Cnc	5.1	1236	zc	166	199	53	+0.50
81	21	18		6.2	7646	zc	166	204	53	+0.50
82	21	18		6.5	1241	zc	113	213	51	+0.50
83	21	18		6.2	8006	zc	166	204	53	+0.50
84	24	22	62 Leo	6.0	1605	zc	160	230	26	+0.84
85	25	19		5.6	1713	zc	163	161	30	+0.91
86	V 16	21	2 Gem	6.7	923	zc	76	303	5	+0.09
87	18	19		7.1	1203	zc	121	262	31	+0.26
88	20	12	ο Leo	3.5	1428	zc	79	109	26	+0.45
89	20	20		7.0	1454	zc	84	243	28	+0.48
90	20	21		6.8	1457	zc	114	256	20	+0.49
91	21	19	36 Sex	6.3	1566	zc	53	219	33	+0.60
92	VI 4	23		6.2	3370	oc	264	104	9	-0.49
93	6	2	TX Psc = 19 Psc	5.0	3501	oc	314	130	33	-0.39
94	16	21		6.8	1429	zc	127	277	6	+0.24
95	23	20		5.4	2269	zc	59	175	12	+0.93
96	29	0	ρ Cap	4.9	2987	oc	239	165	18	-0.94
97	VI 30	1		6.4	3112	oc	268	172	23	-0.88

Nr	UT	Gda	Gru	Kra	Kro	Łód	Lub	Ols	Poz	Szc	War	Wro	Zie
	h	m	m	m	m	m	m	m	m	m	m	m	m
50	22	17.8	18.3	21.9	24.6	20.1	24.7	20.5	16.4	13.0	21.9	17.2	14.8
51	23	29.0	29.8	34.2	37.1	32.1	36.8	31.9	28.1	24.2	33.8	29.3	26.6
52	0	57.0	57.7	61.4	64.7	59.7	64.9	60.1	55.2	51.1	61.8	55.8	53.0
53	5									25.2		28.5	26.2
54	6	46.0	46.2	47.5	49.8	47.0	50.9	48.3	43.7	40.6	49.0	43.6	41.7
55	18	53.5	54.5	59.0	59.9	56.8	58.2	54.8	55.3	53.1	56.7	56.9	55.4
56	20	43.2	43.5	45.0	45.1	44.3	44.5	43.6	43.9	43.3	44.1	44.5	44.1
57	16		67.5	56.6	58.6	60.2	63.3				64.2		
58	21	23.5	24.9	30.3	29.9	27.5	26.9	23.7	27.6	26.6	26.1	30.0	29.1
59	20	25.2	27.0	34.2	35.3	30.5	32.5	27.0	28.5	25.5	30.2	31.2	29.0
60	21	43.0	45.0	53.0	53.6	49.0	49.9	44.3	47.7	45.3	47.8	50.9	49.0
61	16		62.6	51.1	53.5	55.5	59.6	69.9			60.3		
62	17								18.5				
63	21	58.3	60.5	69.2	69.8	64.8	65.8	59.8	63.3	60.8	63.5	66.9	64.8
64	2	02.9	04.0	08.2	08.7	06.1	07.1	03.9	05.0	03.1	05.8	06.5	05.2
65	18	59.8	57.3	51.9	54.6	54.4	59.2	61.9	51.3	49.9	58.3	48.8	48.1
66	2	23.5	25.1	32.0	33.2	28.6	30.5	25.2	26.5	23.7	28.2	29.0	26.9
67	18			05.8	06.5		02.6						
68	18			34.5	35.9		37.1				36.2		
69	19	57.6	58.0	60.2	60.6	59.1	60.0	58.4	58.2	57.0	59.2	59.0	58.2
70	20	06.8	08.2	13.5	13.2	10.8	10.3	07.1	10.8	09.8	09.4	13.1	12.2
71	20	26.8	28.9				31.1	26.5			30.2		
72	18			66.2	69.5	68.0			62.8	59.3		61.4	59.3
73	19	04.6	05.8	11.3	13.0	08.6	11.3	06.7	06.0	02.9	09.0	07.9	05.6
74	19	56.4	57.8	63.4	64.4	60.6	62.3	57.9	58.8	56.2	60.4	60.8	59.0
75	20	09.8	11.4	17.9	18.5	14.6	15.7	11.1	13.3	11.0	13.9	15.8	14.0
76	20	31.3	33.0	39.3	39.7	36.1	36.8	32.3	35.1	33.2	35.2	37.6	36.1
77	20	30.7	33.0		43.0	38.3	36.8	31.1			35.2		
78	22	37.2	38.1	41.5	41.3	39.8	39.4	37.4	39.8	39.2	38.9	41.3	40.7
79	22	45.2	45.7						46.3	45.5		47.1	46.6
80	18	00.8	03.1	13.8	15.4	08.2	10.9	03.3	05.4	01.4	07.5	09.8	06.5
81	18	00.8	03.1	13.7	15.3	08.1	10.9	03.3	05.3		07.5	09.6	06.4
82	18	45.4	46.6	52.8	55.2	49.7	53.8	48.1	46.1	42.2	50.8	48.0	45.2
83	18	00.9	03.2	13.9	15.4	08.2	11.0	03.4	05.5		07.6	09.9	06.6
84	22	47.9	49.7	57.3	58.8	53.5	55.8	49.8	51.2	48.2	53.2	53.9	51.6
85	19	33.2	34.2	39.3	40.8	36.6	39.2	34.9	34.5	32.1	37.0	36.3	34.5
86	21	06.8	07.6						09.3	09.1			10.3
87	19			09.8	11.0		08.3						
88	12	57.1	55.3	50.4	51.5	52.7	54.6	57.4	51.8	52.1	54.9	49.6	49.9
89	20	35.2	36.5	42.3	44.2	39.5	42.7	37.5	36.5	33.0	40.1	38.4	35.9
90	21	32.8	34.4			37.6			35.8	33.2		38.2	36.2
91	19			70.0	75.7	70.2			62.5	56.8		62.4	58.8
92	23			52.1	52.2	54.9	55.4	59.0			56.4		
93	2				42.7								
94	20											60.6	59.3
95	20	33.7	33.6	34.4	37.7	34.2	39.6	36.7	29.8	26.3	37.1	29.3	27.0
96	0	10.8	10.3	09.1	11.3	09.9	13.6	12.7	06.9	04.7	12.3	05.8	04.6
97	1	23.3	23.5	24.6	27.6	24.2	29.2	26.3	20.0	16.4	26.9	19.8	17.4

Nr	Data	UT	nazwa	mag	ZC	typ	PA	A _k	h _k	F _k
98	VII 3	0	9 Psc	6.3	3455	oc	272	118	21	-0.65
99	6	23		6.8	375	oc	237	65	5	-0.27
100	10	1	121 Tau	5.4	839	oc	250	60	7	-0.04
101	24	20		5.6	2822	zc	72	157	11	+0.99
102	31	23		6.5	89	oc	269	114	28	-0.71
103	VIII 6	1	103 Tau	5.5	767	oc	270	76	20	-0.21
104	7	0	2 Gem	6.7	923	oc	295	54	4	-0.13
105	8	1		7.3	9174	oc	320	59	4	-0.06
106	8	1		8.2	9169	oc	210	63	5	-0.06
107	25	20		6.2	3370	oc	267	133	24	-0.99
108	27	0	TX Psc = 19 Psc	5.0	3501	oc	299	181	40	-0.95
109	28	21		6.9	177	oc	257	109	31	-0.84
110	30	3	20 H1. Ari	6.4	317	oc	208	204	52	-0.75
111	31	0		7.0	5633	oc	284	117	43	-0.67
112	31	2	47 Ari	5.8	435	oc	285	154	55	-0.66
113	IX 1	0		7.0	563	oc	203	104	39	-0.57
114	1	0		7.3	6254	oc	213	109	41	-0.57
115	1	23	95 Tau	6.2	714	oc	309	78	21	-0.47
116	4	1		7.0	8742	oc	256	81	21	-0.25
117	4	2		7.3	8774	oc	290	91	29	-0.25
118	18	17	ρ Cap	4.9	2987	zc	115	152	15	+0.82
119	19	18		6.6	3109	zc	11	162	26	+0.89
120	19	19		6.4	3112	zc	56	160	21	+0.89
121	29	0		7.2	676	oc	252	119	48	-0.72
122	30	4	121 Tau	5.4	839	oc	291	192	60	-0.61
123	X 1	2		7.0	997	oc	220	118	46	-0.50
124	1	23	56 Gem	5.1	1113	oc	288	72	12	-0.41
125	2	1	61 Gem	5.9	1127	oc	286	97	31	-0.40
126	2	2		7.1	1138	oc	209	116	42	-0.39
127	18	23	Situla = κ Aquarii	5.0	3320	zc	42	234	19	+0.85
128	24	20	ζ Ari	4.9	472	oc	283	111	41	-0.97
129	25	0	τ Ari	5.3	486	oc	195	178	58	-0.96
130	27	2		6.9	789	oc	301	199	62	-0.84
131	27	20	1 Gem	4.3	916	oc	312	74	17	-0.77
132	27	23	3 Gem	5.8	929	oc	275	105	42	-0.76
133	27	23	4 Gem	6.9	931	oc	251	110	45	-0.76
134	28	0		7.2	8094	oc	301	121	51	-0.76
135	28	0	6 Gem (BU)	6.5	942	oc	234	124	52	-0.76
136	28	5	Tejat = μ Gem	2.9	976	zj	139	242	48	-0.75
137	28	6	Tejat = μ Gem	2.9	976	oc	254	251	41	-0.74
138	29	2		7.2	1098	oc	248	156	55	-0.65
139	30	2		7.3	7614	oc	222	133	48	-0.55
140	30	23		6.5	1344	oc	261	82	10	-0.44
141	XI 1	0		6.8	1457	oc	287	90	10	-0.33
142	3	3		8.1	8431	oc	325	118	15	-0.12
143	3	4		5.6	1713	oc	269	129	19	-0.12
144	4	4		8.2	1829	oc	272	116	5	-0.05
145	XI 9	15		5.4	2602	zc	11	209	11	+0.14

Nr	UT	Gda	Gru	Kra	Kro	Łód	Lub	Ols	Poz	Szc	War	Wro	Zie
	h	m	m	m	m	m	m	m	m	m	m	m	m
98	23	06.9	05.7	01.1	02.4	03.5	05.8	07.8	02.0	01.6	05.8	59.9	59.9
99	23	20.9	19.5	13.5	12.1	16.5	14.4	19.2	18.5		16.6		
100	1			53.7	52.3	56.6	54.3		58.5		56.6	56.7	
101	20	42.1	41.6	40.6	43.3	41.2	45.7	44.3	38.0	35.6	44.0	36.9	35.5
102	23	33.8	32.5	27.9	29.2	30.4	32.6	34.7	29.0	28.7	32.6	26.9	27.0
103	1	17.5	16.2	10.9	10.5	13.6	13.0	16.8	14.5	16.0	14.4	12.5	13.8
104	0	14.8	14.0	10.5	09.6	12.2	10.9	13.8	13.5	15.0	12.2		
105	1	36.7	36.3	34.6	34.3	35.5	35.2	36.5	35.8	36.2	35.7	35.3	35.7
106	1					24.3					28.7		
107	20	63.6	62.5	59.1	61.0	60.9	64.3	65.1	58.6	57.2	63.6	56.7	56.1
108	0	40.2	41.8	47.9	52.0	45.4	52.4	45.4	38.7	31.1	48.3	40.4	35.8
109	21	59.2	57.8	52.6	53.3	55.3	56.7	59.6	54.5		57.3	52.2	
110	3	45.8	44.2	34.6	34.0	40.7			39.9	39.9		36.3	37.3
111	0	30.4	29.8	27.5	29.4	28.9	32.3	32.3	26.3	24.4	31.4	25.0	24.0
112	2	29.6	29.9	31.7	34.7	31.2	36.5	32.9	26.8	22.8	33.9	26.8	24.3
113	0	34.0	30.9			23.6		31.4	27.4	31.6	24.4	22.3	26.3
114	0	53.4	50.7			45.1		51.9	47.1	49.9	46.6		45.6
115	23	18.8	18.1	15.5	16.0	16.9	17.9	19.3	16.2	15.9	18.1	15.2	15.2
116	1	24.2	22.6	15.8	15.0	19.3	18.4	23.3	20.5	22.3	20.3	18.0	19.6
117	2	16.1	15.2	12.0	12.6	13.8	15.1	16.6	13.1	12.9	15.2	11.7	11.8
118	17	55.6	55.5	57.2	61.6	56.3	63.2	58.9	51.5	48.2	59.6	51.2	48.8
119	18				50.6								
120	19	13.7	13.0	11.5	14.0	12.4	16.5	15.6	09.4	07.6	15.0	08.2	07.0
121	0	29.5	28.2	22.8	23.9	25.8	27.9	30.4	24.4	24.1	28.2	22.1	22.3
122	4	31.8	33.1	38.6	41.7	36.1	41.1	35.0	31.8	27.4	37.8	33.2	30.2
123	1	76.4	73.3			65.3	61.9	75.9	67.1	69.8	69.1	59.6	64.0
124	23	15.4	14.4	10.3	09.9	12.5	11.9	14.9	13.2	14.3	13.1	11.7	12.7
125	1	27.5	26.7	23.3	24.2	25.2	26.8	28.2	24.3	24.0	26.8	22.7	22.9
126	2	57.9	52.4					56.2		48.9			
127	23	11.3	11.4	13.2	14.5	12.3	14.2	12.3	10.7	09.3	13.0	11.0	09.9
128	20	54.7	53.9	51.1	52.7	52.7	55.6	56.2	50.6	49.2	55.0	49.2	48.5
129	23	12.8	09.1					11.8	02.1	05.6	00.5		58.5
130	2	23.2	25.3	33.5	36.7	29.7	35.0	26.9	25.1	19.9	30.9	27.5	23.9
131	20	31.7	31.5	30.3	30.7	31.0	32.1	32.5	30.2	29.4	32.0	29.7	29.4
132	23	15.8	15.1	12.2	13.6	13.9	16.4	17.0	12.2	11.2	15.9	10.8	10.5
133	23	39.6	38.3	32.9	33.9	35.9	37.9	40.3	34.7	34.6	38.2	32.4	32.7
134	0	15.5	16.1	18.6	21.2	17.7	22.2	18.3	14.1	10.7	19.7	14.4	12.3
135	0	34.0	32.5	25.2	26.3	29.4	31.8	35.0	28.1	27.9	32.2	24.9	25.5
136	5	19.8	21.8	30.8	32.5	26.2	29.2	22.3	23.2	19.2	26.0	26.5	23.5
137	6	21.5	22.6	27.4	29.5	25.2	28.4	23.7	22.1	18.8	26.0	23.4	21.1
138	2	58.4	57.6	54.3	57.2	56.6	61.4	60.8	53.1	51.0	60.0	50.9	49.9
139	2	10.2	07.8			04.8		11.1			06.6		
140	23	23.2	21.9	16.0	15.3	19.1	18.3	22.5	20.1	21.7	19.9	17.9	19.3
141	0	35.3	34.6	31.4	31.4	33.1	33.3	35.2	33.2	33.8	33.9	31.9	32.5
142	3			59.5	60.4	58.8	60.1				59.1	58.2	
143	4	57.2	56.3	53.1	54.9	54.9	57.9	58.4	53.1	52.2	57.2	51.2	50.9
144	4	33.4	32.4	28.1		30.4			29.8	30.1		27.8	28.3
145	15			34.7	34.2		35.8						

Nr	Data	UT	nazwa	mag	ZC	typ	PA	A _k	h _k	F _k
146	XI 9	15	9 Sgr	5.9	2607	zc	55	213	9	+0.14
147	9	16		6.9	2610	zc	71	215	7	+0.14
148	10	16		6.3	2769	zc	118	206	10	+0.22
149	11	17		6.9	2908	zc	40	210	13	+0.31
150	12	14		5.8	3019	zc	66	166	22	+0.40
151	13	15		6.6	3146	zc	13	163	24	+0.50
152	13	15		7.0	3145	zc	31	164	26	+0.49
153	16	20	TX Psc = 19 Psc	5.0	3501	zc	71	201	39	+0.78
154	17	16	45 Psc	6.8	51	zc	31	122	31	+0.84
155	18	16		6.9	177	zc	52	116	36	+0.91
156	19	22	20 H1. Ari	6.4	317	zc	57	198	53	+0.96
157	21	2		6.4	459	zc	86	260	33	+0.99
158	22	18		6.3	716	oc	306	84	26	-0.99
159	23	0	99 Tau	5.8	742	oc	326	197	60	-0.98
160	23	18		6.2	865	oc	251	75	18	-0.95
161	23	21		7.0	887	oc	275	118	49	-0.95
162	24	4	1 Gem	4.3	916	oc	351	248	44	-0.94
163	24	20		6.8	8750	oc	273	90	29	-0.89
164	24	22	36 Gem	5.3	1047	oc	327	107	39	-0.88
165	25	0		7.0	1054	oc	308	139	53	-0.88
166	25	4	Mekbuda = ζ Gem	4.0	1077	oc	217	252	38	-0.87
167	25	20	81 Gem	4.9	1175	oc	259	84	19	-0.81
168	26	4	3 Cnc	5.6	1207	oc	231	224	47	-0.78
169	27	23		6.8	1429	oc	292	102	20	-0.59
170	28	1		7.2	7890	oc	4	130	39	-0.59
171	28	2		7.0	1440	oc	356	144	40	-0.58
172	30	2	87 Leo	4.8	1670	oc	296	120	17	-0.35
173	XII 2	4		6.8	1918	oc	331	135	12	-0.15
174	2	5		7.9	7905	oc	258	148	16	-0.15
175	8	15		7.3	8234	zc	137	218	8	+0.09
176	8	16		7.3	8234	oj	165	222	7	+0.09
177	11	16		6.8	3216	zc	74	191	28	+0.32
178	12	16		6.4	3326	zc	343	183	33	+0.41
179	12	16		7.2	6252	zc	26	191	33	+0.41
180	13	17	κ Psc	5.0	3453	zc	104	190	38	+0.51
181	17	17		6.8	375	zc	39	130	47	+0.86
182	18	14	τ Ari	5.3	486	zc	69	81	20	+0.92
183	20	0		6.0	693	zc	130	237	49	+0.98
184	21	6		7.8	7642	zc	108	305	3	E0.85
185	21	6		9.0	7610	oc	270	308	2	E0.69
186	21	6		8.4	7613	oc	266	308	2	E0.65
187	21	17	Tejat = μ Gem	2.9	976	zj	81	76	17	-0.00
188	21	18	Tejat = μ Gem	2.9	976	oc	283	86	26	-0.00
189	22	2		6.1	1021	oc	304	241	46	-0.99
190	22	21		6.7	1135	oc	279	118	42	-0.97
191	23	1		6.9	1151	oc	251	210	53	-0.96
192	23	5	81 Gem	4.9	1175	oc	338	271	23	-0.96
193	25	2	6 Leo	5.1	1410	oc	296	183	46	-0.82
194	XII 26	2		6.7	1528	oc	289	174	40	-0.73

Nr	UT	Gda	Gru	Kra	Kro	Łód	Lub	Ols	Poz	Szc	War	Wro	Zie
	h	m	m	m	m	m	m	m	m	m	m	m	m
146	15				48.0		48.0				21.0	18.4	
147	16			22.1	24.1	20.0	23.2						
148	16	43.3	45.2	57.3	65.2	50.6	60.2	47.8	43.9	37.8	52.9	47.0	42.2
149	17	42.1	42.3	44.2	45.7	43.2	45.7	43.3	41.3	39.6	44.2	41.5	40.4
150	14						51.3						
151	15	59.8	58.5	54.1	55.3	56.4	58.3	60.2	55.4	55.7	58.3	53.2	53.6
152	15						28.2						
153	20	14.7	15.1	19.0	22.5	17.0	22.3	17.5	12.8	09.2	19.1	13.3	10.7
154	16	35.8	34.0	27.3	27.7	30.7	31.6	35.6	30.7	32.0	32.6	27.8	29.0
155	16				43.3		47.0						
156	22	07.5	07.2	07.8	10.6	07.4	11.8	09.6	04.1	01.7	09.7	03.6	01.9
157	2									18.8		23.8	21.7
158	18			24.6	25.6	25.5	27.4				27.0	23.3	
159	0	30.8	34.5	46.3	49.5	40.9	46.1	35.4	35.8	29.6	41.3	39.8	35.3
160	18	09.5	08.0				03.2	08.2			05.4		
161	21	63.3	62.9	61.3	63.2	62.4	65.8	65.1	59.9		64.7	58.9	57.9
162	4			13.5	13.9	05.8			04.9	01.2		10.6	07.6
163	20			33.0	33.4	35.1	35.9	38.0			36.4		
164	22	10.7	11.7	14.9	17.2	13.7	17.7	13.5	10.4	06.9	15.3	11.1	09.0
165	0	05.3	06.2	10.2	13.0	08.4	13.2	08.2	04.6	00.9	10.3	05.4	03.0
166	4	56.1	54.1				59.6	59.6			57.6		
167	20	60.4	58.8	51.7	51.0	55.4	54.7	59.6	56.4	58.2	56.6	53.9	55.4
168	4	49.4	49.7	51.0	55.0	50.9	56.7	52.6	45.9	41.5	53.8	44.6	41.8
169	23	46.3	45.6	43.0	43.8	44.5	45.9	46.9	43.6	43.4	45.8	42.3	42.4
170	1				21.4								
171	2	30.9	34.6	45.1	46.9	40.3	42.9	33.2	37.7	34.1	39.4	41.0	38.2
172	2	15.3	14.9	13.6	14.8	14.4	16.4	16.2	13.1	12.3	15.8	12.2	11.8
173	4	36.7	37.2	39.0	39.9	38.1	39.4	37.3	37.1	36.1	38.4	37.5	36.8
174	5					48.8		43.1			32.8		32.0
175	15										52.7		
176	16										01.5		
177	16	22.4	22.9	26.6	30.3	24.7	30.4	25.3	20.3	16.6	27.0	20.8	18.2
178	16	28.3	25.6	17.2	17.3	21.1	20.8	26.2	22.9	28.8	22.4	19.2	21.9
179	16	60.7	59.9	57.8	59.4	58.8	61.4	61.6	57.2	56.5	60.7	55.8	55.4
180	17	40.5	42.3	58.5		48.1	62.0	45.8	39.8	33.0	51.3	42.8	37.1
181	17	41.9	40.1	34.0	35.2	37.0	38.9	42.1	36.3	37.1	39.3	33.5	34.2
182	14	33.6	32.1				28.0	32.5			29.7		
183	0	12.1	14.3	24.6	26.6	19.3	22.7	14.8	15.8	11.2	19.1	19.6	16.1
184	6	43.3	44.3						46.6	46.6		48.1	48.0
185	6	53.5	54.3						56.4	56.4			57.5
186	6	55.5								58.5			59.5
187	17	23.5	22.2	17.3	17.1	19.6	19.2	22.7	20.5	22.2	20.4	18.5	19.8
188	18	21.1	20.1	15.9	16.1	18.1	18.7	21.2	18.0	18.4	19.4	16.2	16.9
189	2	21.9	23.8	31.4	33.2	27.7	30.4	24.0	24.9	21.4	27.6	27.6	24.9
190	21	35.5	34.9	32.9	34.7	34.1	37.2	37.0	32.0	30.6	36.3	30.7	30.0
191	1	55.5	56.0	58.8	62.0	57.7	62.8	58.4	53.4	49.6	59.9	53.5	51.0
192	5	43.5	45.5	53.0	53.0	49.2	49.0	44.1	48.8	47.2	47.5	51.8	50.4
193	2	33.1	34.2	39.2	41.9	36.8	41.1	35.8	33.1	29.3	38.1	34.3	31.7
194	2	55.6	56.2	60.0	62.9	58.2	62.8	58.2	54.4	50.9	59.9	55.2	52.7

Nr	Data	UT	nazwa	mag	ZC	typ	PA	A _k	h _k	F _k
195	XII 26	6		6.6	1543	oc	229	237	25	-0.71
196	27	0		6.6	1629	oc	303	121	20	-0.63
197	28	2		6.6	1752	oc	254	142	22	-0.50
198	XII 31	3		5.9	2134	oc	299	133	3	-0.18

Nr	UT	Gda	Gru	Kra	Kro	Łód	Lub	Ols	Poz	Szc	War	Wro	Zie
	h	m	m	m	m	m	m	m	m	m	m	m	m
195	6	06.2	06.5			07.2		10.0			11.3		
196	0	23.3	23.1	22.6	23.9	23.0	25.2	24.3	21.5	20.5	24.2	20.9	20.3
197	2	34.4	33.5	30.1	33.0	32.1	36.6	36.4	28.9	27.1	35.3	26.6	25.8
198	3	57.9	57.4	55.9	57.0	56.7	58.4	58.6	55.7	55.2	57.9	54.7	54.5

Zakrycia gwiazd przez planetoidy

Zakrycia gwiazd przez planetoidy należą do grupy tych zjawisk astronomicznych, których obserwacja przez miłośników astronomii może mieć duże znaczenie naukowe. Prawidłowo przeprowadzone obserwacje mogą dostarczyć danych o położeniu planetoidy w przestrzeni, jej kształcie, a nawet pozwalają na odkrycie nieznanych księżyców planetoid!

Zakrycie gwiazdy przez planetoidę można traktować jako zaćmienie tarczy gwiazdy przez tarczę planetoidy. Planetoidy są ciałami tak małymi, że wielkości te mogą być porównywalne.

Średnica przesuwającego się po powierzchni Ziemi „cienia” planetoidy jest równa średnicy samej planetoidy, tak więc w większości przypadków nie przekracza kilkudziesięciu kilometrów. Jednocześnie położenie planetoid w przestrzeni nie jest na tyle dobrze znane, aby jednoznacznie stwierdzić, czy w danym punkcie powierzchni Ziemi zakrycie będzie zaobserwowane. Tak więc w tabeli poniżej podano dane o zakryciach planetoidalnych, które z dużym prawdopodobieństwem mogą obserwowane być w Polsce. Obserwacje podanej gwiazdy należy rozpocząć na 15 minut przed podanym momentem zakrycia, a skończyć 15 minut po jego zakończeniu. Należy notować moment jakiekolwiek zmiany jasności gwiazdy (a właściwie sumarycznej jasności gwiazda+planetoida). W przypadku posiadania przez planetoidę księżyca możliwe są zakrycia wtórne. Ważne są nawet obserwacje negatywne – brak zakrycia oznacza, że wystąpiło gdzie indziej. Każda obserwacja jest bardzo indywidualna i już obserwator oddalony o kilkaset metrów może odnotować inne momenty. Tak więc bardzo ważna jest także dokładna znajomość współrzędnych geograficznych miejsca obserwacji.

W tabeli podano zakrycia gwiazd jaśniejszych od 11.5^m , trwające dłużej niż 5 sekund, w czasie których nastąpi spadek jasności o przynajmniej 0.7^m , zachodzące powyżej 10° nad horyzontem (dla środka Polski) i dla których przewidywana odległość od środka pasa zakrycia będzie mniejsza od $0.5''$.

Kolejne kolumny w tabeli podają:

Data – data wystąpienia zakrycia w 2010 roku,

UT – godzina i minuta wystąpienia zakrycia (UT),

h – wysokość gwiazdy nad horyzontem w momencie zakrycia (dla środka Polski) [stopnie],

ΔT – przewidywany maksymalny czas trwania zakrycia [sekundy],

gwiazda – oznaczenie zakrywanej gwiazdy: TYC #####-#####,

2UCAC #####, HIP #####

α₂₀₀₀ – rektascensja zakrywanej gwiazdy [Epoka 2000.0],

δ₂₀₀₀ – deklinacja zakrywanej gwiazdy [Epoka 2000.0],

m – jasność zakrywanej gwiazdy [mag],

Δm – przewidywany maksymalny spadek jasności gwiazdy w czasie zakrycia [mag],

S – średnica planetoidy [km],

planetoida – numer katalogowy i nazwa planetoidy.

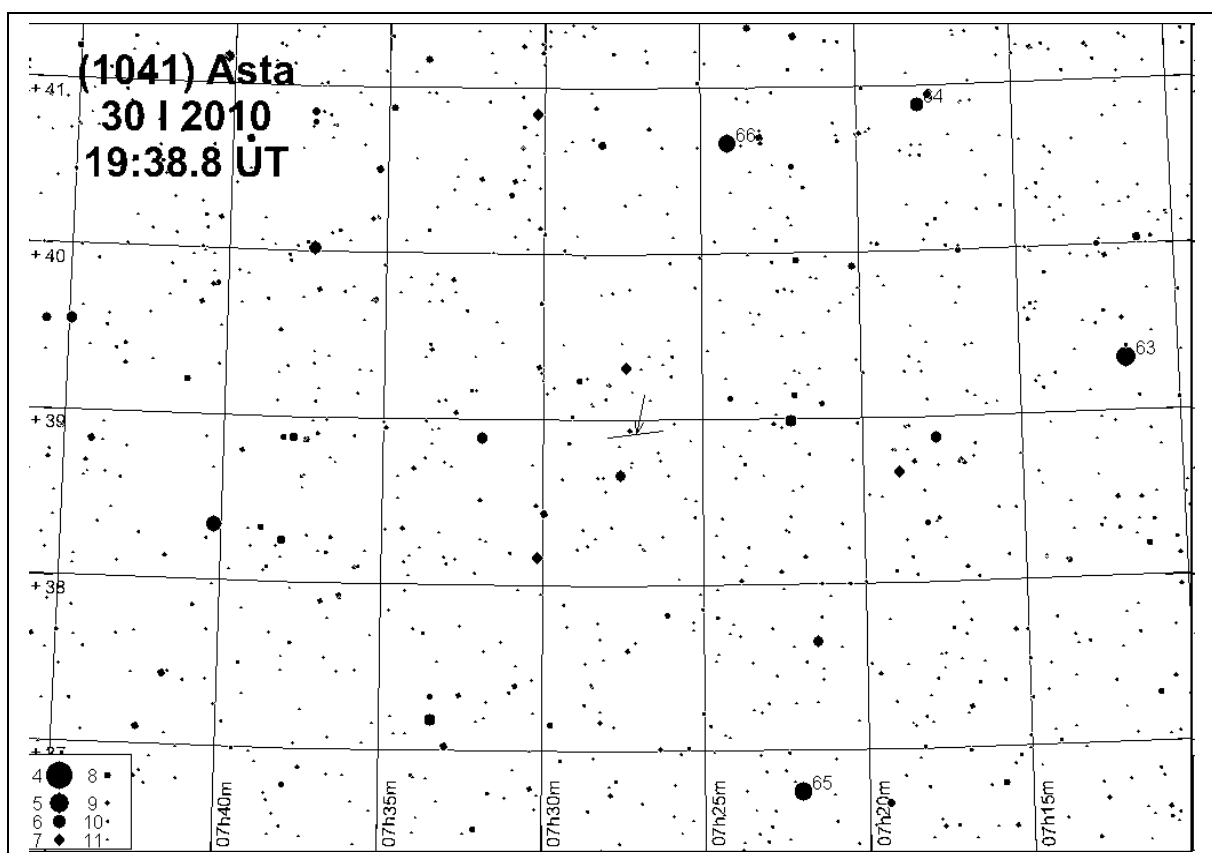
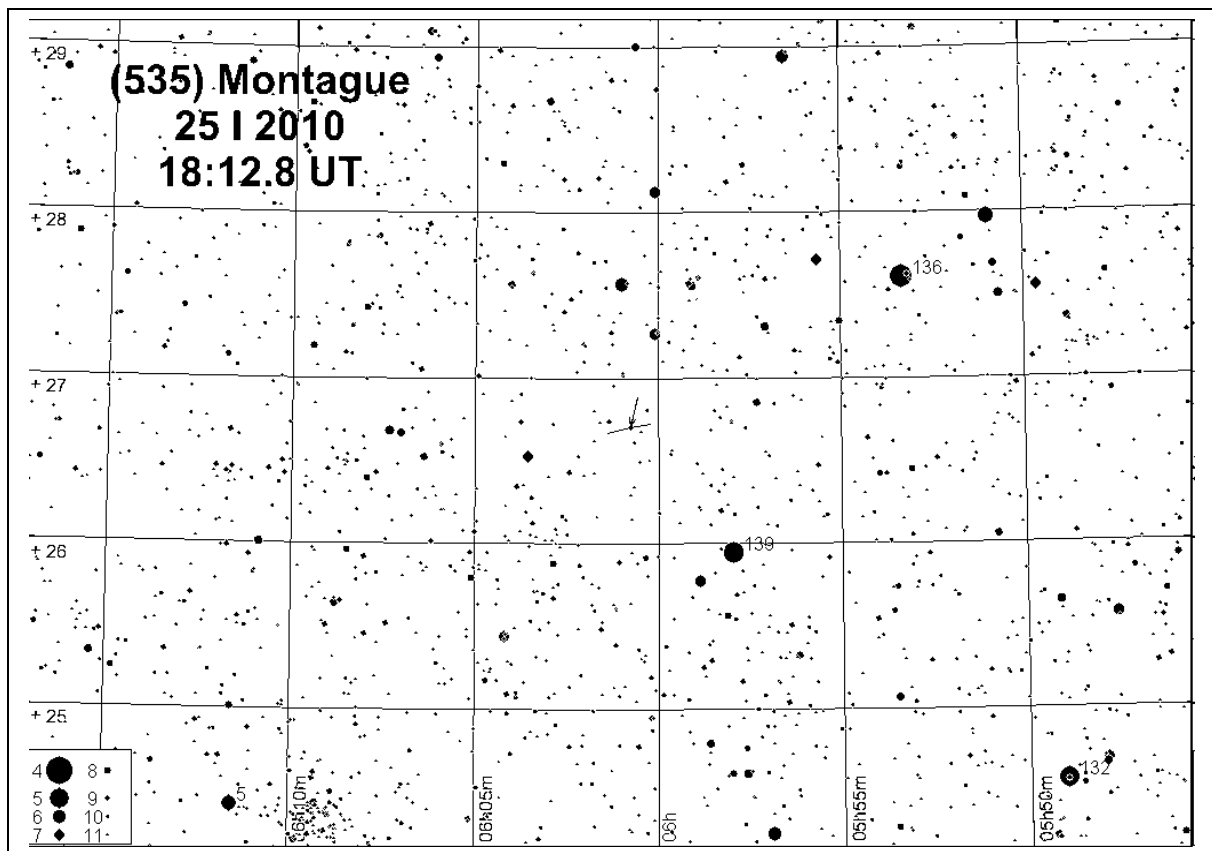
W 2010 roku trasy 15 zakryć planetoidalnych mogą przechodzić przez obszar Polski.

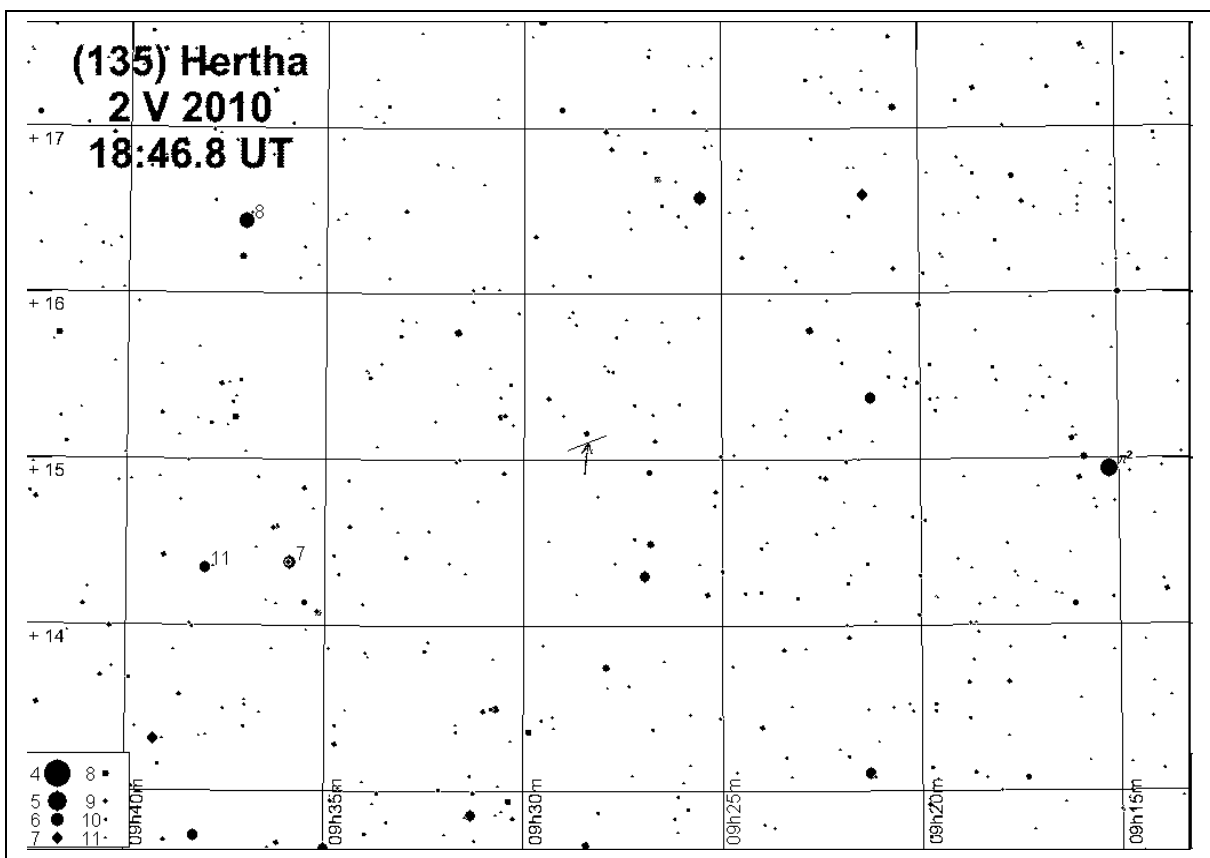
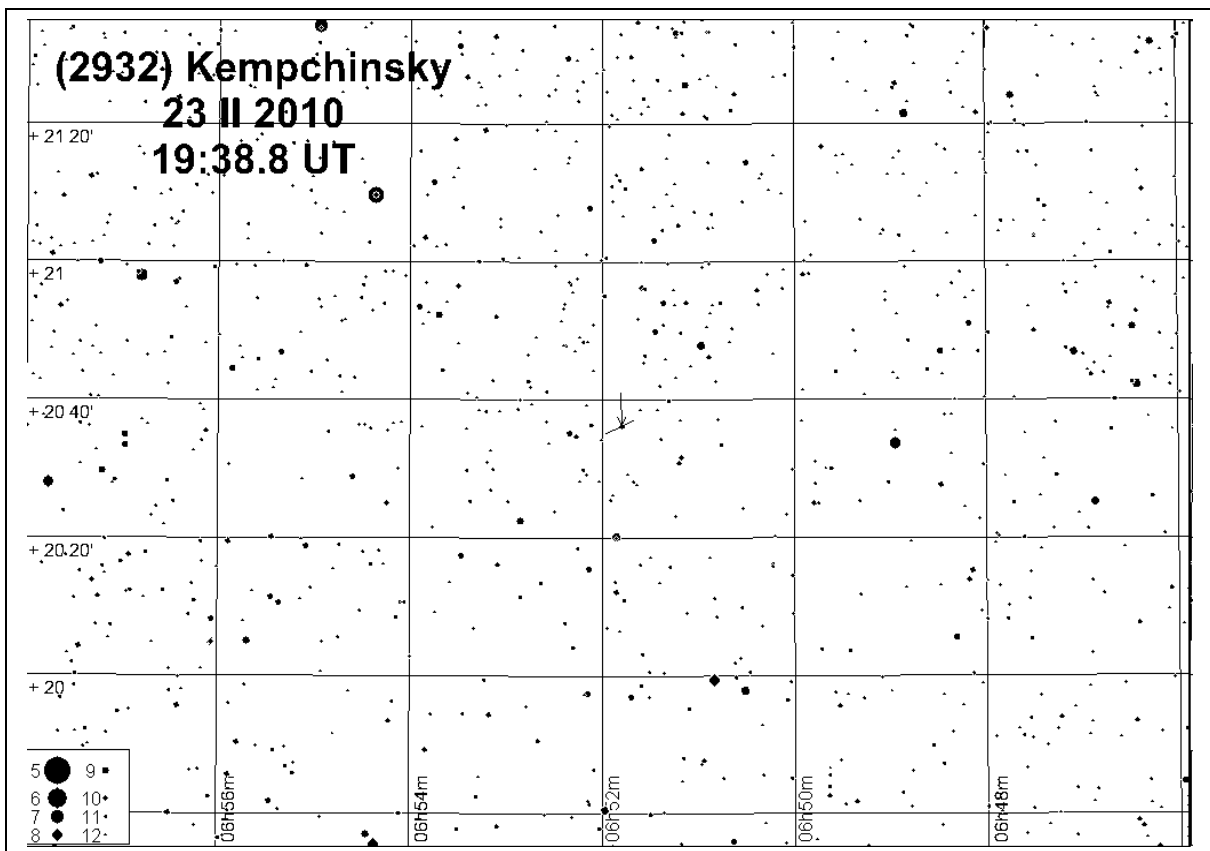
Przedstawione są mapki okolic zakrywanych gwiazd oraz wycinek drogi planetoidy. Zakrywana gwiazda wskazana jest strzałką. Linia określa ruch własny planetoidy w ciągu 2 dni.

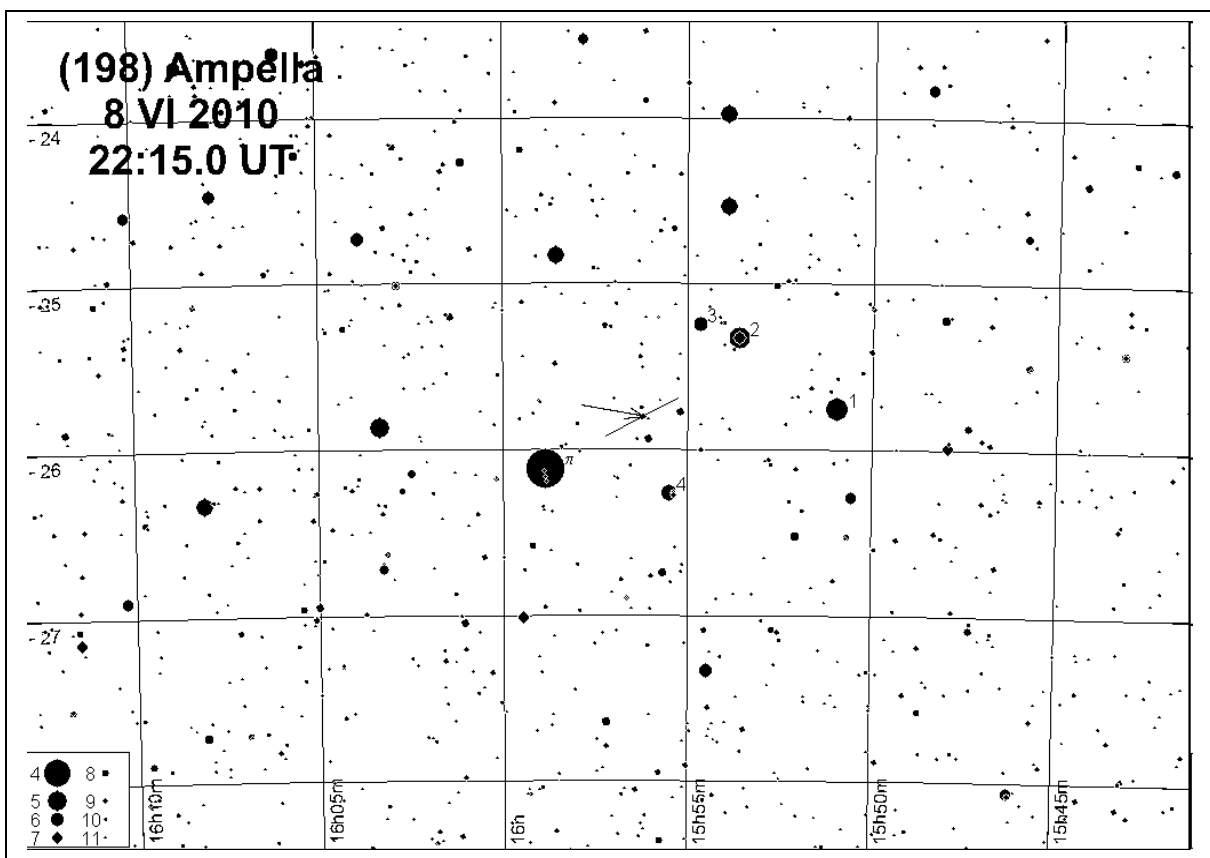
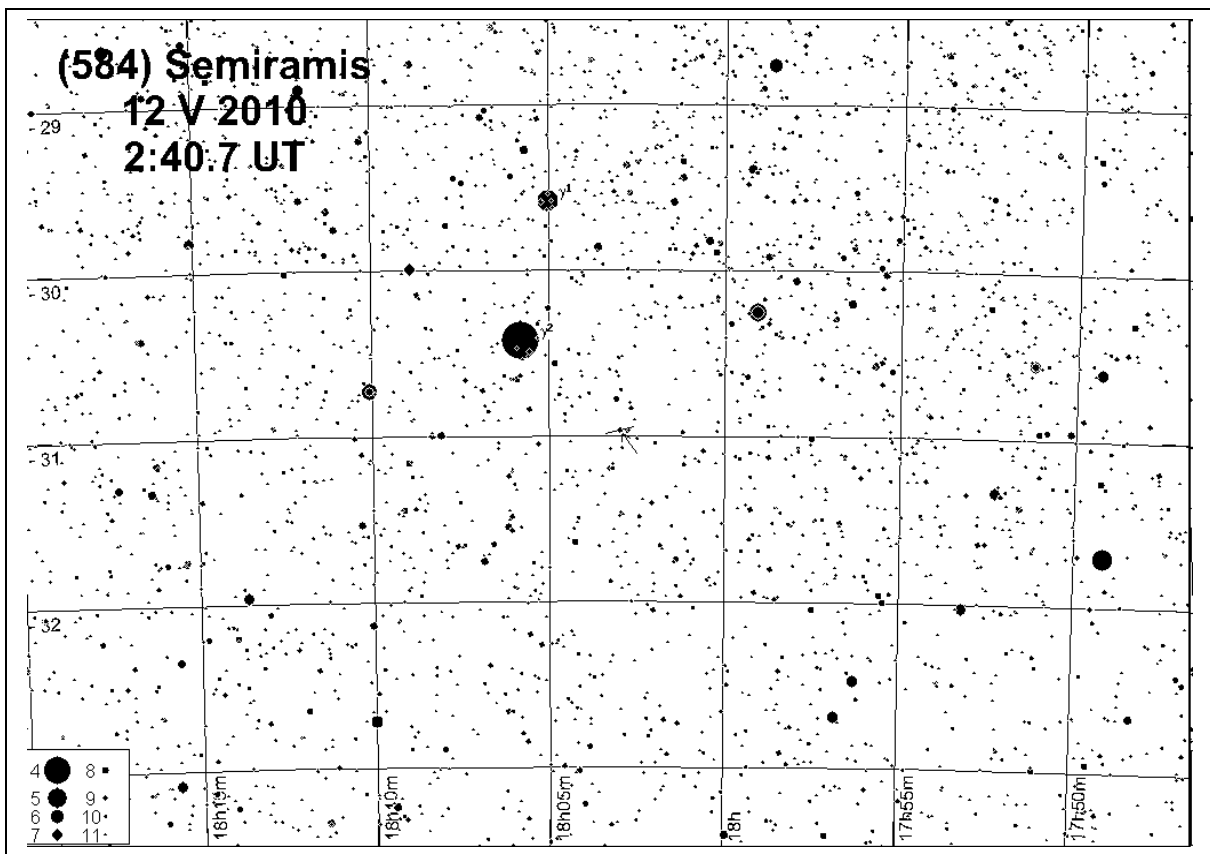
Zakrycia planetoidalne w 2010 roku

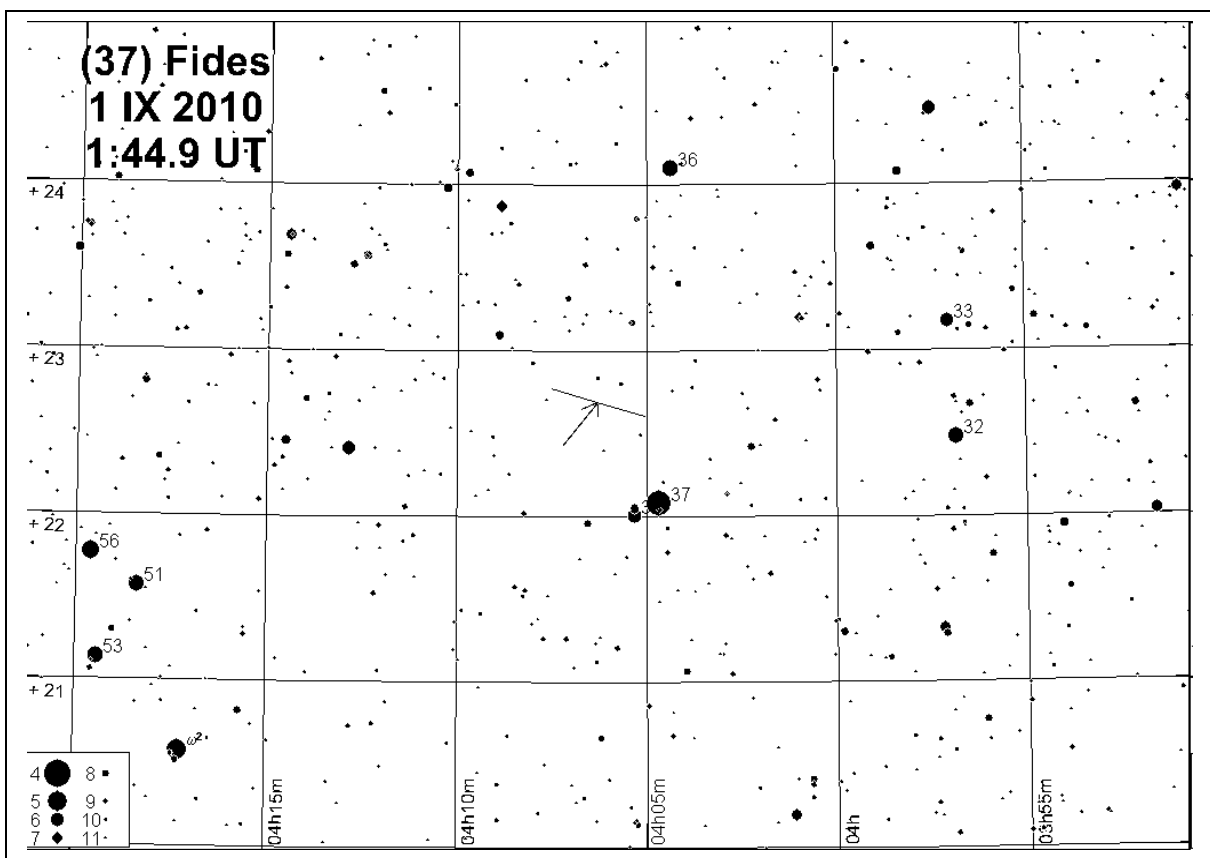
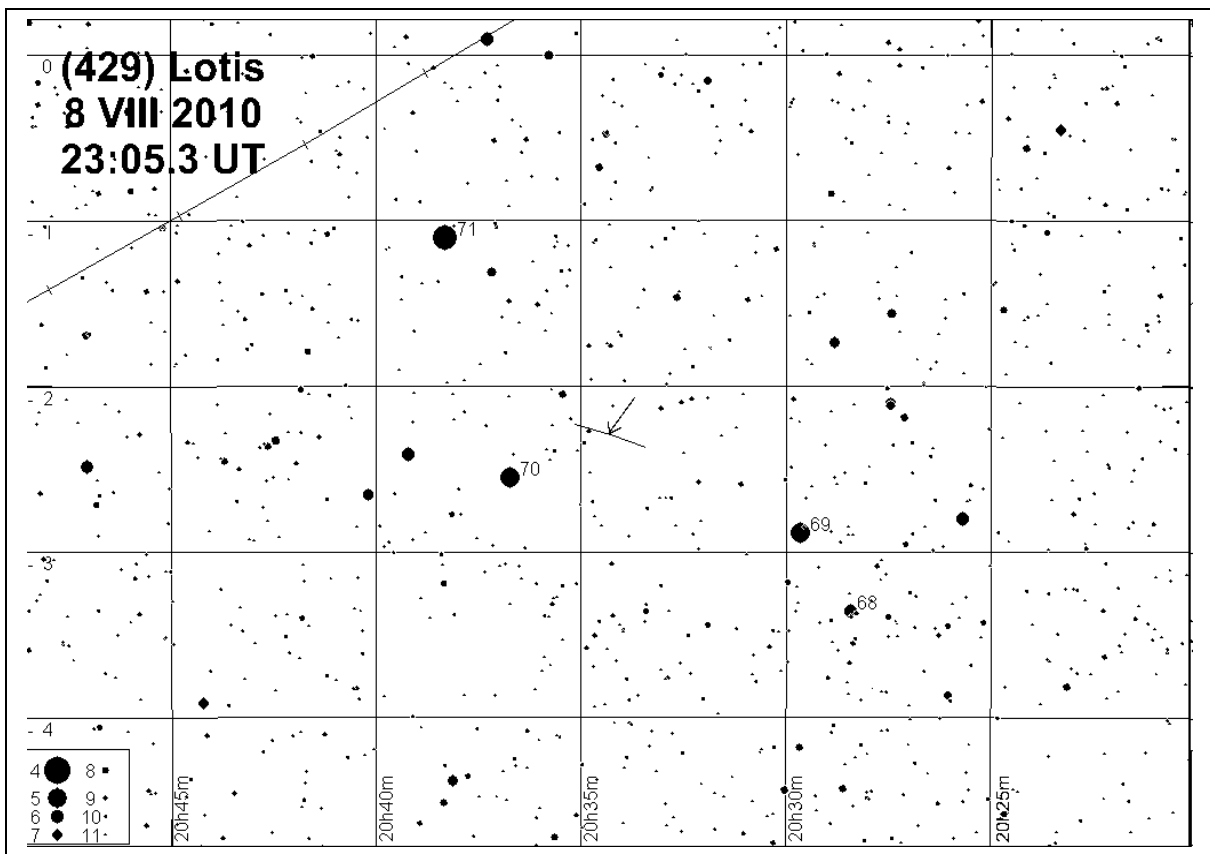
Data	UT	h	ΔT	gwiazda	α ₂₀₀₀	δ ₂₀₀₀	m	Δm	S	planetoida
	h m	°	s		h m	° '	m	m		
I 25	18 12.8	54	11.1	1872-00148	6 00	26 42	9.0	4.4	75	(535) Montague
30	19 38.8	66	5.6	2957-00252	7 27	38 55	11.2	3.3	57	(1041) Asta
II 23	19 38.8	58	13.9	1339-00064	6 52	20 36	9.9	7.7	48	(2932) Kempchinsky
V 2	18 46.8	50	8.2	1403-00433	9 28	15 06	11.2	2.4	82	(135) Hertha
12	2 40.7	6	12.6	7391-02552-1	18 03	-30 58	8.8	3.6	54	(584) Semiramis
VI 8	22 15.0	12	5.0	6783-00704-1	15 56	-25 48	8.5	3.2	57	(198) Ampella
VIII 8	23 05.3	35	6.8	31081100	20 34	-2 17	11.1	2.1	70	(429) Lotis
IX 1	1 44.9	50	6.3	39795518	4 06	22 41	10.6	0.9	108	(37) Fides
5	1 14.0	35	5.5	1927	0 24	-1 14	8.4	4.5	38	(474) Prudentia
XI 5	5 03.9	47	11.6	40996543	6 13	26 09	10.8	3.4	40	(332) Siri
25	2 03.1	6	9.4	0616-00602-1	1 21	10 52	11.2	4.2	69	(1256) Normannia
XII 8	23 43.0	60	7.2	1864-01474-1	6 08	22 30	11.2	2.2	83	(348) May
10	0 45.2	55	5.7	1321-00084-1	6 03	20 04	11.4	1.2	83	(683) Lanzia
15	5 08.7	49	14.1	1414-00140-1	9 55	18 36	11.2	1.8	82	(503) Evelyn
24	19 42.7	46	5.7	2445-01333-1	6 58	34 06	10.8	0.7	67	(55) Pandora

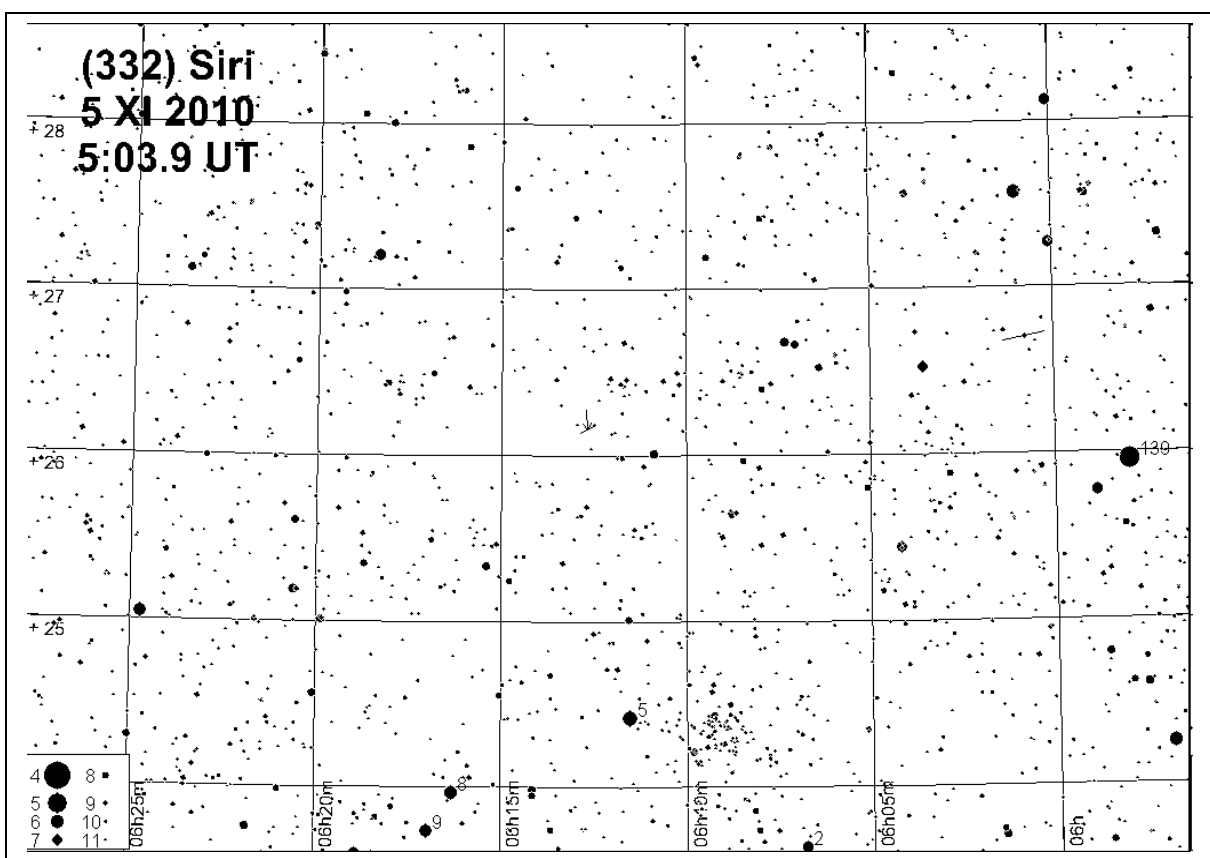
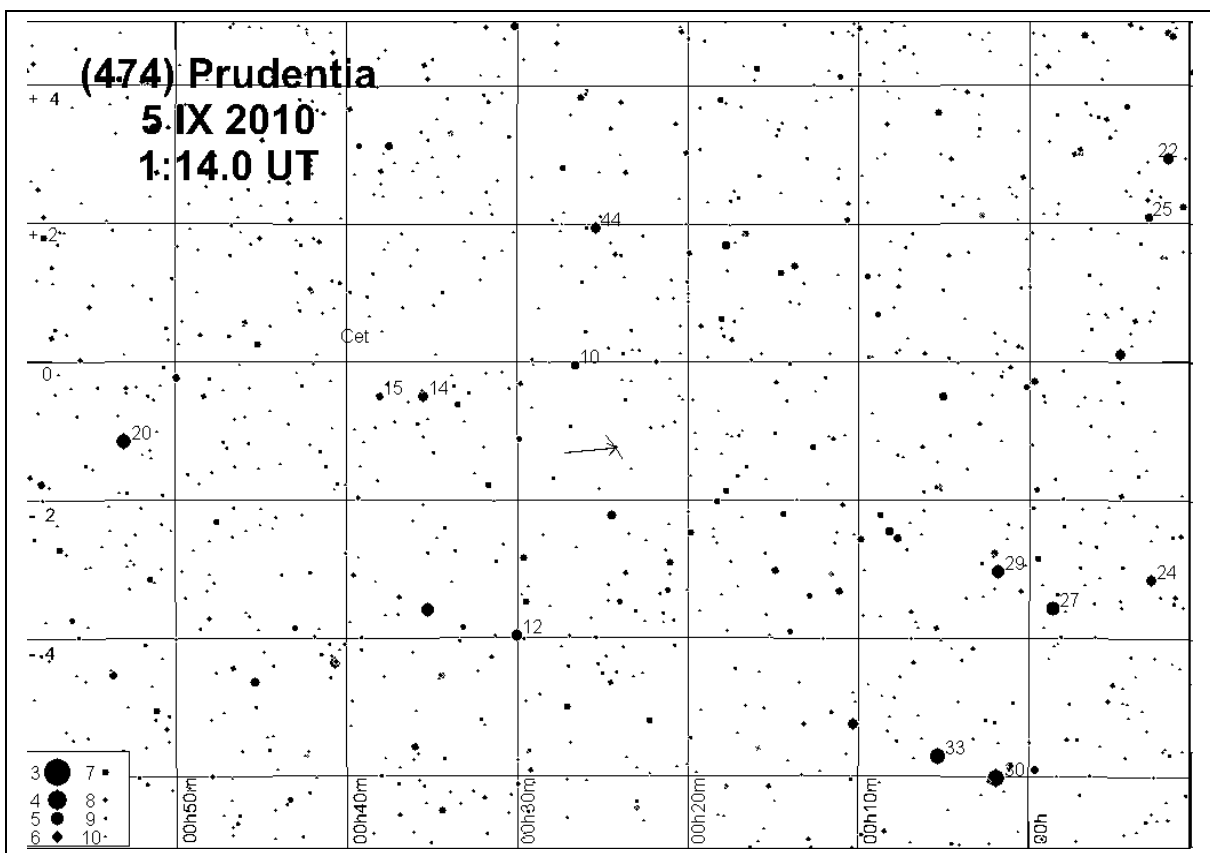
Zaleca się zapoznanie z okolicą zakrywanej gwiazdy już kilka dni przed momentem zakrycia.

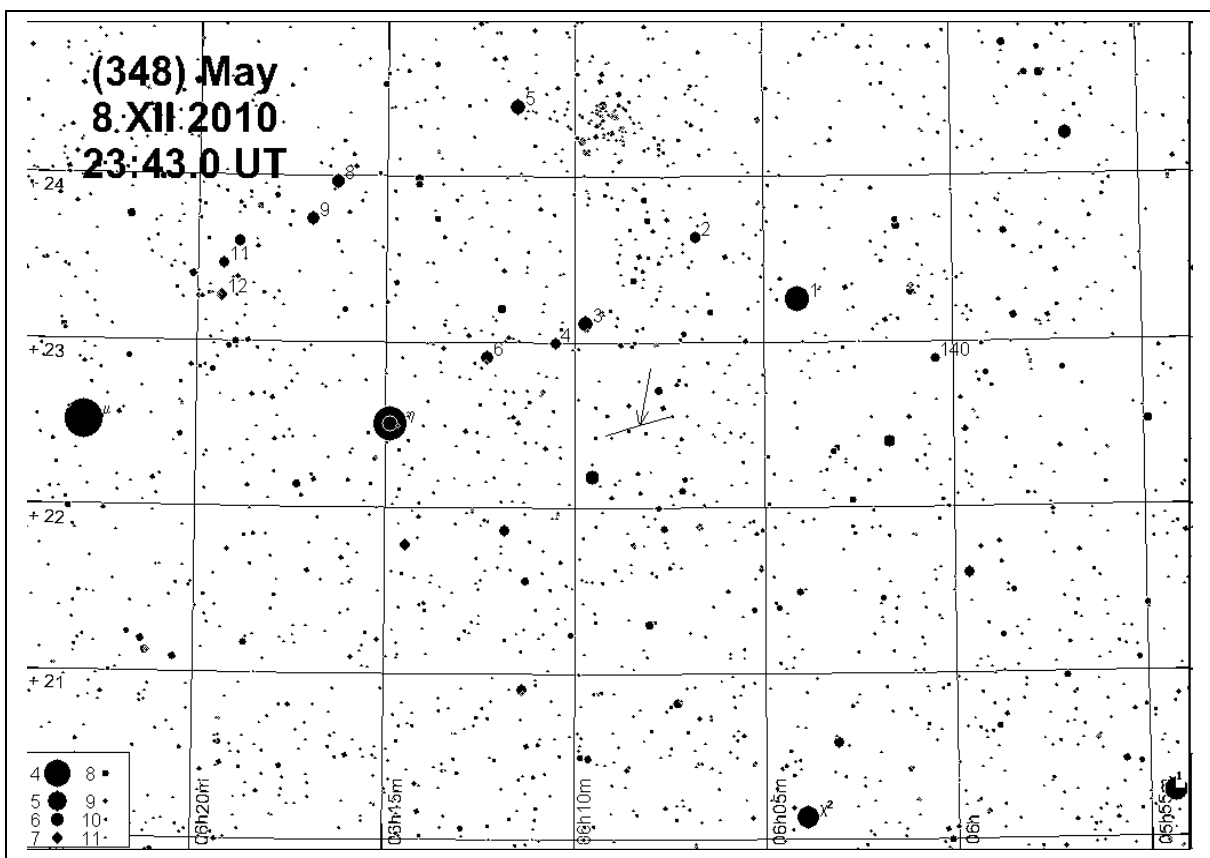
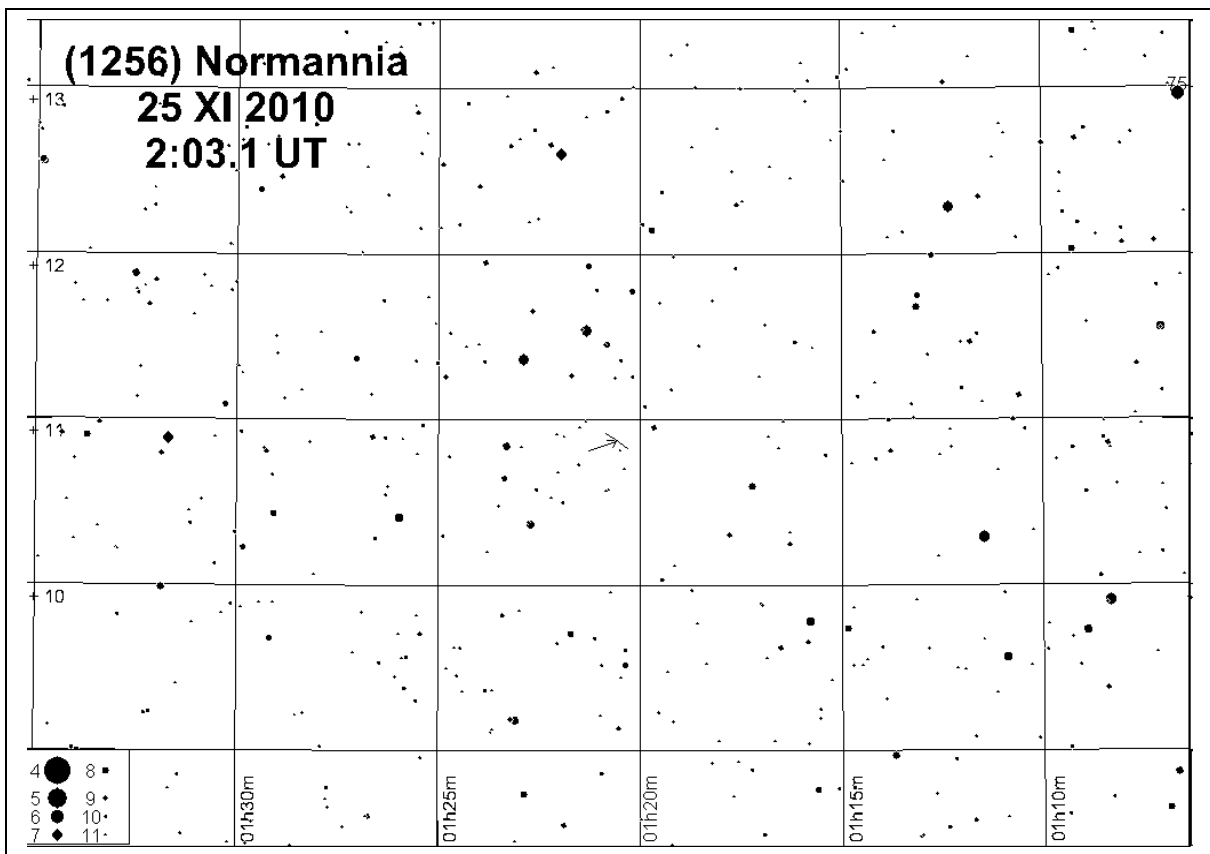


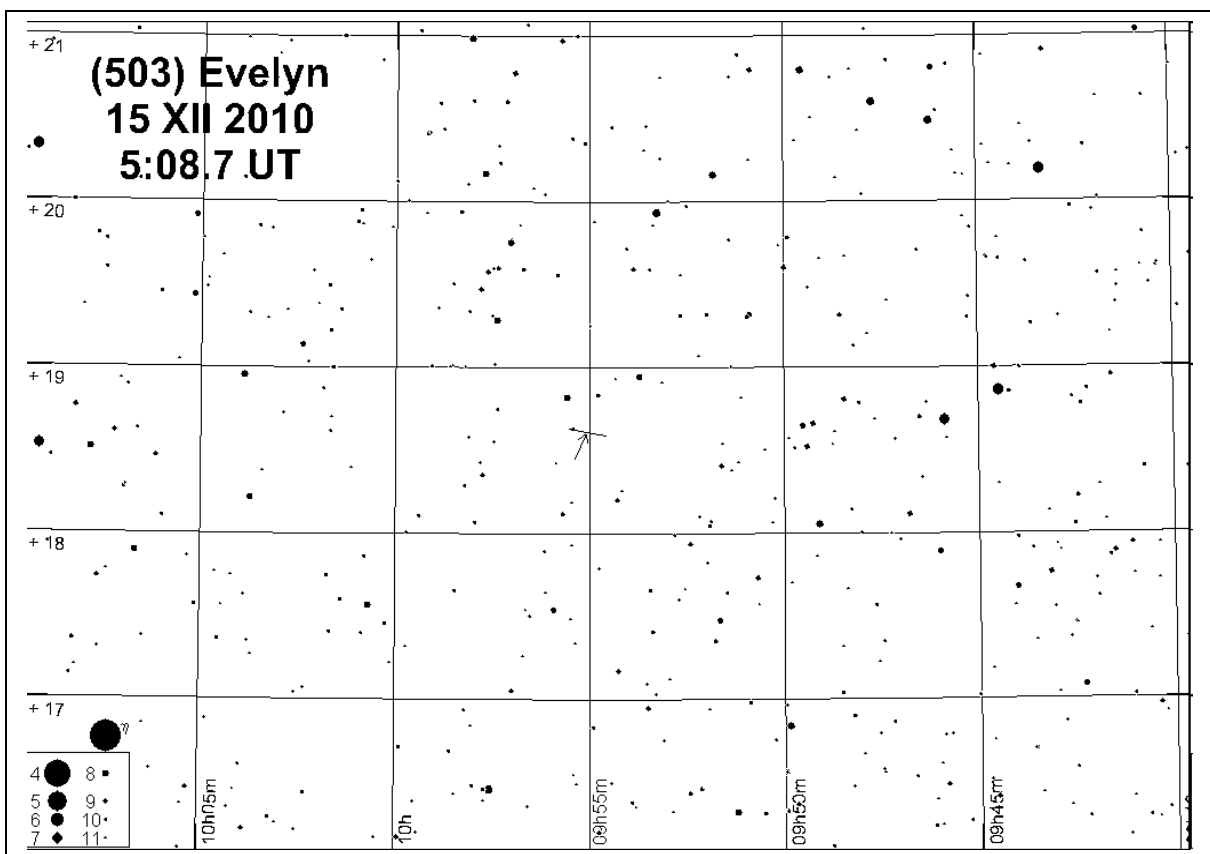
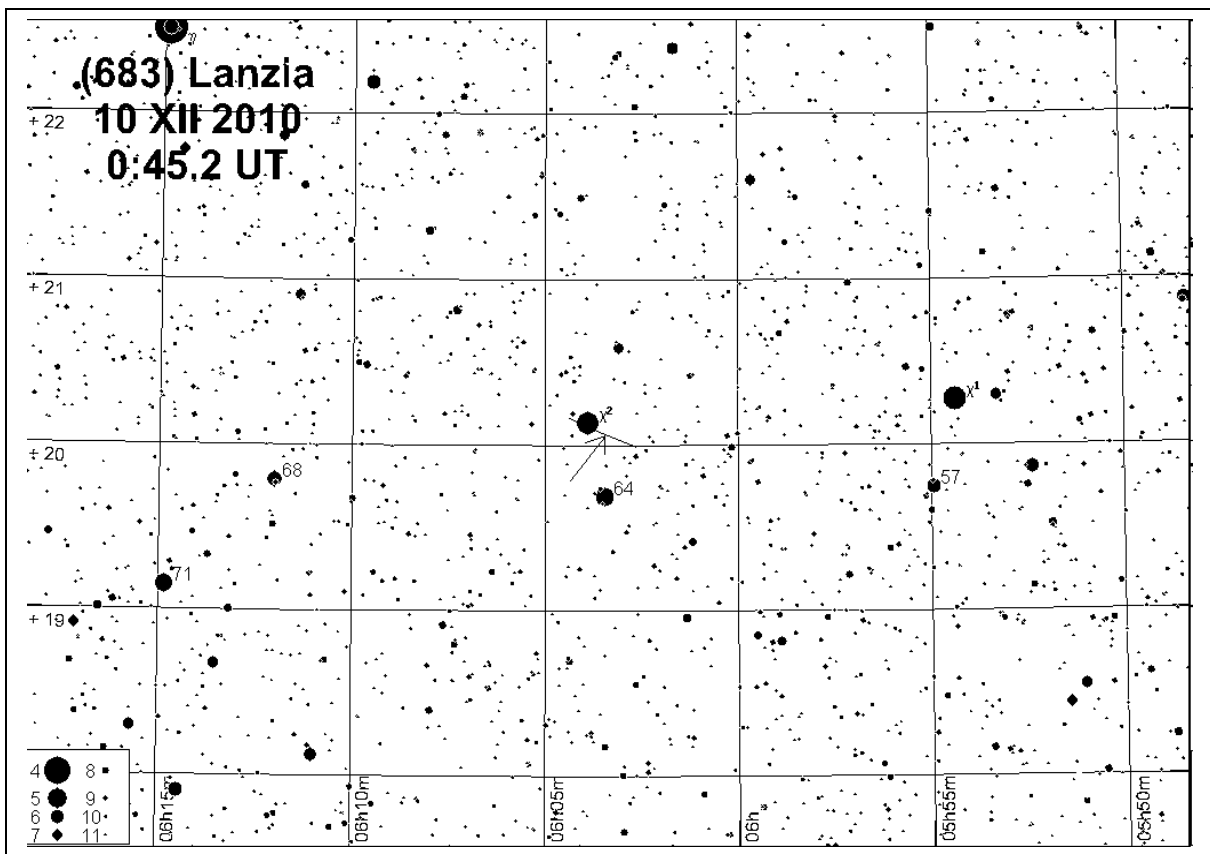




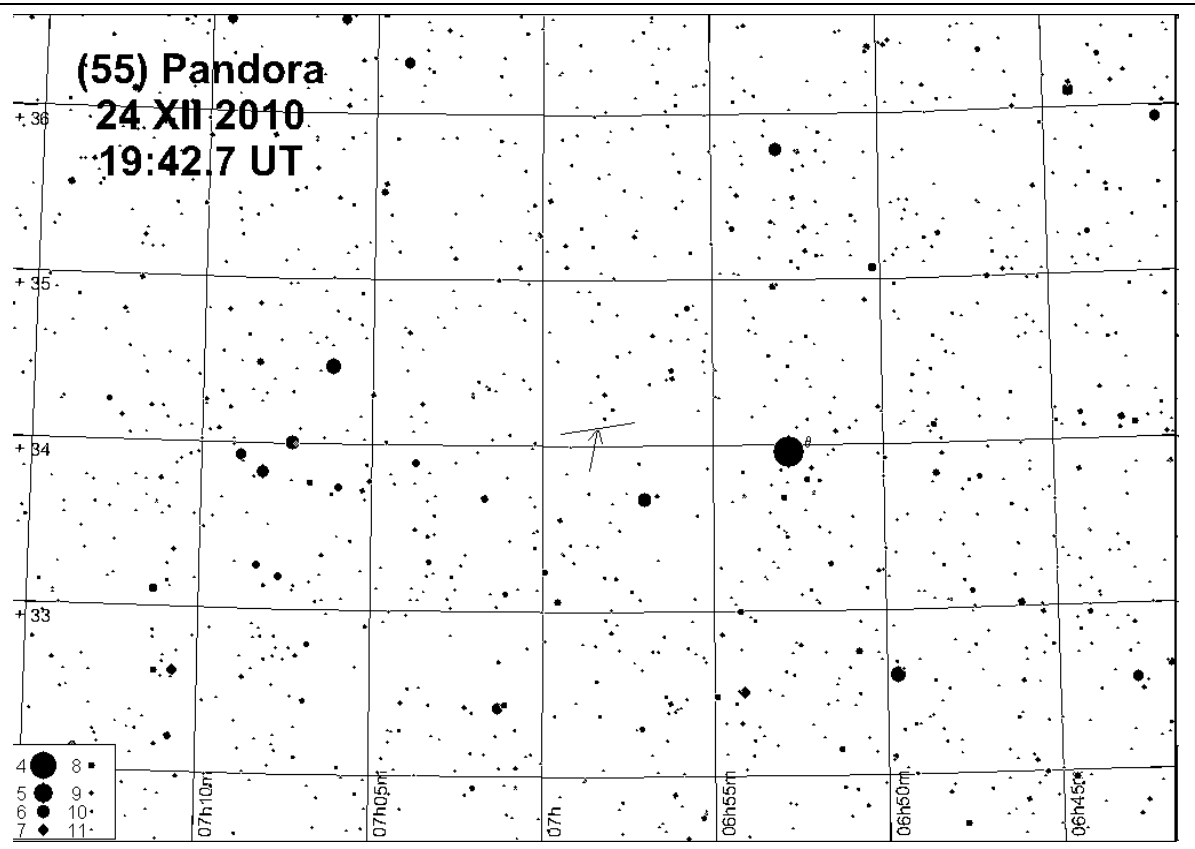








(55) Pandora
24 XII 2010
19:42.7 UT



Gwiazdy podwójne do testu rozdzielczości

Niewątpliwie każdego miłośnika astronomii interesują rzeczywiste parametry posiadaneego sprzętu obserwacyjnego. Jednym z nich jest zdolność rozdzielcza. Metodą na określenie zdolności rozdzielczej jest próba rozdzielenia ciasnych układów podwójnych. Załączona tabela podaje szeroki wybór gwiazd o różnych separacjach składników. Z powodu szybkiego ruchu składników podano elementy dla początku i końca 2010 roku, czyli dla epok 2010.0 i 2011.0.

W tabeli podano następujące dane:

Nazwa – oznaczenie gwiazdy

Sep [2010] – separacja między składnikami (w sekundach łuku)

PA [2010] – kąt pozycyjny składnika słabszego względem jaśniejszego (liczony od północy przeciwnie do ruchu wskazówek zegara) (Sep i PA dla epoki 2010.0)

Sep [2011] – analogiczne dane dla epoki 2011.0

PA [2011] – analogiczne dane dla epoki 2011.0

mag – jasności składników pary [magnitudo]

α_{2000} , δ_{2000} – rektascensja i deklinacja na epokę 2000

Wybrane gwiazdy podwójne do testu rozdzielczości

Nazwa	Sep	PA	Sep	PA	Mag.	α_{2000}	δ_{2000}
	2010		2011				
	"	$^{\circ}$	"	$^{\circ}$	m	m	$^{\circ}$ '
16.17 Dra	91	194	91	194	5.2	5.6	16 36.2
ν^1, ν^2 Dra	62	312	62	312	5.0	5.0	17 32.2
δ Cep	41	192	41	192	~ 4	7.5	22 29.2
β Cyg	34	54	34	54	3.2	5.4	19 30.7
61 Cyg	31	151	31	151	5.2	6.0	21 06.6
ψ^1 Psc	30	159	30	159	5.6	5.8	1 05.7
ψ Cas	25	118	25	118	4.7	9.6	1 25.9
ζ Psc	23	63	23	63	5.6	6.6	1 13.7
α CVn	20	229	20	229	2.9	5.4	12 56.1
α UMi	18	220	18	220	2.0	8.9	2 21.5
ζ UMa	14	151	14	151	2.4	4.0	13 23.9
γ Del	14	184	14	184	4.3	5.2	20 46.6
κ Boo	13	236	13	236	4.6	6.6	14 13.5
η Cas	13	321	13	321	3.5	7.5	0 49.0
γ And	10	63	10	63	2.1	5.1	2 03.9
ξ Cep	8.3	274	8.3	274	4.6	6.6	22 03.7
γ Ari	8.2	0	8.2	0	4.8	4.8	1 53.5
ζ CrB	6.3	305	6.3	305	5.1	6.0	15 39.4
π Boo	5.7	108	5.7	108	4.9	5.8	14 40.7
α Her	4.6	104	4.6	104	3.2	5.4	17 14.7
65 Psc	4.4	296	4.4	296	6.3	6.3	0 49.9
γ Leo	4.6	126	4.6	126	2.1	3.4	10 19.9
α Gem	4.6	57	4.7	57	1.9	2.9	7 34.6
δ Ser	4.0	173	4.0	173	4.2	5.2	15 34.8
ι Tri	3.9	71	3.9	71	5.3	6.9	2 12.4
Σ 2576	2.9	159	2.9	159	8.3	8.4	19 45.5
ϵ^1 Lyr	2.4	348	2.4	347	5.4	6.5	18 44.4
ι Cas	2.6	229	2.6	229	4.6	6.9	2 29.0
δ Cyg	2.7	220	2.7	219	2.9	6.3	19 45.0
44 Boo	1.6	60	1.5	61	5.3	6.0	15 03.9
ϵ^2 Lyr	2.4	78	2.4	78	5.1	5.3	18 44.4
μ^2 Boo BC	2.2	5	2.2	5	7.0	7.6	15 24.5
μ Dra	2.4	6	2.4	5	5.7	5.7	17 05.3
ζ Aqr	2.2	173	2.2	170	4.3	4.5	22 28.9
Σ 2525	2.1	290	2.1	290	8.1	8.4	19 26.5
Σ 2052	2.2	120	2.2	120	7.7	7.8	16 28.9
α Psc	1.8	265	1.8	264	4.2	5.2	2 02.0
25 CVn	1.7	97	1.7	96	5.0	6.9	13 37.4
ξ UMa	1.6	211	1.6	204	4.3	4.8	11 18.3
12 Lyn	1.9	69	1.9	68	5.4	6.0	6 46.2
τ Oph	1.6	285	1.6	285	5.2	5.9	18 03.1
Σ 1932	1.6	264	1.6	254	7.3	7.4	15 18.3
λ Oph	1.4	37	1.4	38	4.2	5.2	16 30.9

Wybrane gwiazdy podwójne do testu rozdzielczości (c.d.)

Nazwa	Sep.	PA	Sep	PA	Mag.		α_{2000}	δ_{2000}
	2010		2011		m	m	h m	° '
	"	°	"	°				
OΣ 215	1.5	179	1.5	179	7.2	7.5	10 16.3	+ 17 44
20 Dra	1.2	67	1.2	67	7.1	7.3	16 56.5	+ 65 02
OΣ 358	1.5	149	1.5	149	6.8	7.0	18 35.8	+ 16 58
Σ 1037	1.0	309	1.0	309	7.2	7.2	7 12.8	+ 27 14
γ Vir	1.4	24	1.6	19	3.5	3.5	12 41.7	- 1 27
Σ 1338	1.0	304	1.0	306	6.5	6.7	9 21.0	+ 38 11
36 And	1.1	323	1.1	325	6.0	6.4	0 55.0	+ 23 38
ζ Cnc AB	1.1	38	1.1	34	5.6	6.0	8 12.2	+ 17 39
Σ 228	0.8	293	0.8	294	6.6	7.1	2 14.0	+ 47 29
Σ 186	0.9	67	0.8	67	6.8	6.8	1 55.9	+ 1 51
λ Cyg	0.9	2	0.9	2	4.9	6.1	20 47.4	+ 36 29
Σ 1819	0.9	179	0.9	177	7.8	7.9	14 15.3	+ 3 08
14 Ori	0.9	300	0.9	298	5.9	6.6	5 07.9	+ 8 30
7 Tau	0.7	353	0.7	353	6.6	6.7	3 34.5	+ 24 28
ξ Sco AB	0.9	355	1.0	357	4.9	4.9	16 04.4	- 11 22
4 Aqr	0.8	27	0.8	28	6.4	7.2	20 51.4	- 5 38
ε Equ	0.5	284	0.5	284	5.9	6.2	20 59.1	+ 4 18
ζ Boo	0.5	294	0.5	293	4.5	4.6	14 41.2	+ 13 44
37 Peg	0.1	125	0.1	129	5.8	7.1	22 29.9	+ 4 26
Σ 460	0.7	145	0.7	147	5.5	6.3	4 09.8	+ 80 42
η CrB	0.6	168	0.6	177	5.6	5.9	15 23.2	+ 30 17
66 Psc	0.6	182	0.6	181	6.2	6.9	0 54.5	+ 19 11
φ And	0.5	120	0.5	120	4.6	5.5	1 09.5	+ 47 15
72 Peg	0.5	104	0.5	105	5.6	5.7	23 34.0	+ 31 20
Σ 2924	0.2	211	0.2	216	6.5	7.0	22 33.0	+ 69 54

Duże ciała Układu Słonecznego – planety i planety karłowate (elementy orbit odniesione do ekiptyki epoki 2000.0)

Oznaczenia w poniższej tabeli:

P – syderyczny okres obiegu,

e – mimośród orbity,

i – nachylenie orbity planety/planety karłowej do ekiptyki,

ϕ – długość peryhelium,

Ω – długość węzła wstępującego.

Kursywą zostały oznaczone planety karłowe.

Planeta	Wielka półos		P [lata]	e	ϕ [°]	i [°]	Ω [°]
	a [j.a.]	mln. km					
Merkury	0.38710	57.91	0.24085	0.20563	77.4565	7.0049	48.3317
Wenus	0.72333	108.21	0.61520	0.00677	131.5330	3.3947	76.6807
Ziemia	1.00000	149.60	1.00002	0.01671	102.9472	0.0001	348.7394
Mars	1.52366	227.94	1.88085	0.09341	336.0408	1.8506	49.5785
Ceres	2.76547	413.71	4.59984	0.07995	73.2132	10.5868	80.4093
Jowisz	5.20336	778.42	11.86262	0.04839	14.7539	1.3053	100.5562
Saturn	9.53707	1426.74	29.44750	0.05415	92.4319	2.4845	113.7150
Uran	19.19126	2871.01	84.01685	0.04717	170.9642	0.7699	74.2299
Neptun	30.06896	4498.32	164.79132	0.00859	44.9714	1.7692	131.7217
Pluton	39.48169	5906.46	247.92065	0.24881	224.0668	17.1418	110.3035
Haumea	43.13270	6452.65	283.27612	0.19501	239.1841	28.2245	122.1034
Makemake	45.42585	6795.70	306.16433	0.16115	295.1544	28.9989	79.5718
Eris	67.90296	10158.28	559.54247	0.43615	151.5202	44.0230	35.9574

Planeta	Masa (bez satelitów)		Średnia średnica [km]	Średnia gęstość [g/cm³]	Nachylenie równika do orbity	Okres obrotu wokół osi [godz]	Spłaszczenie globu planety
	M_z	$\times 10^{23}$ kg					
Merkury	0.0553	3.302	4879	5.427	2-3	1407.509	0.00
Wenus	0.8150	48.685	12104	5.204	177.3	-5832.444	1/110000
Ziemia	1.0000	59.736	12756.28	5.515	23.45	23.93419	1/298.257
Mars	0.1074	6.4185	6794	3.934	23.98	24.62296	1/190.5
Ceres	0.00016	0.0095	942	2.08	4 ?	9.074	1/15
Jowisz	317.83	18986	142984	1.326	3.12	9.92425	1/15.4
Saturn	95.16	5684.6	120536	0.687	26.73	10.65622	1/9.3
Uran	14.54	868.32	51118	1.318	97.86	-17.24	1/33
Neptun	17.15	1024.3	49528	1.638	29.56	16.11	1/38
Pluton	0.00220	0.1314	2306	2.03	119.6	153.28	?
Haumea	0.0007	0.042	1960×1518×996	2.6-3.3	?	3.92	?
Makemake	0.0007	0.04	1600-2000	~2.0	?	3.9	?
Eris	0.00280	0.167	2600	2.3	?	>8 ?	?

[Dane zaczerpnięto z NASA/JPL – 3 grudnia 2009]

**Księżyce planet i planet karłowatych Układu Słonecznego
(elementy orbit odniesione do ekleptyki epoki 2000,0)**

Nazwa	a		P	e	i	Średnica [km]	Odkrywca i rok odkrycia	m
	R	tys. km						
Ziemia								
Książyc	60.268	384.4	27.322	0.0554	5.16	3475		-12.7
Mars								
Phobos	2.76	9.376	0.319	0.0151	1.075	27.0×21.4×19.2	A. Hall 1877	11.4
Deimos	6.91	23.458	1.262	0.0002	1.788	15.0×12.0×11.0	A. Hall 1877	12.5
Jowisz								
Metis	1.79	128.1	0.295	0.001	0.019	44	S. P. Synnott 1980	17.5
Adrastea	1.80	128.9	0.298	0.054	0.027	16	D. C. Jewitt 1979	18.7
Amalthea	2.54	181.4	0.498	0.003	0.380	168	E. E. Barnard 1892	14.1
Thebe	3.10	221.9	0.675	0.018	1.080	98	S. P. Synnott 1980	16.0
Io	5.90	421.8	1.769	0.004	0.036	3643	Galileo 1610	5.0
Europa	9.39	671.1	3.551	0.009	0.466	3122	Galileo 1610	5.3
Ganymede	14.97	1070.4	7.155	0.001	0.177	5262	Galileo 1610	4.6
Callisto	26.33	1882.7	16.69	0.007	0.192	4821	Galileo 1610	5.7
Themisto	105.00	7507	130.02	0.243	43.254	9	C. Kowal 1975	21.0
Leda	156.16	11165	240.9	0.164	27.457	18	C. Kowal 1974	20.2
Himalia	160.30	11461	250.6	0.162	27.496	160	C. Perrine 1904	14.8
Lysithea	163.89	11717	259.2	0.112	28.302	38	S. Nicholson 1914	18.2
Elara	164.22	11741	259.6	0.217	26.627	4	C. Perrine 1904	16.6
S/2000 J11	175.61	12555	287.0	0.248	28.273	3	S. S. Sheppard 2000	22.4
Carpo	237.62	16989	456.1	0.430	51.395	2	S. S. Sheppard 2003	23
S/2003 J3	256.52	18340	-504.0	0.241	143.7	1	S. S. Sheppard 2003	23.4
S/2003 J12	265.79	19002	-533.3	0.376	145.8	2	S. S. Sheppard 2003	23.9
Euporie	269.98	19302	-550.7	0.144	145.8	2	S. S. Sheppard 2001	23.1
S/2003 J18	289.53	20700	-606.3	0.119	146.5	2	B. Gladman 2003	23.4
Orthosie	289.82	20721	-622.6	0.281	145.9	3	S. S. Sheppard 2001	23.1
Euanthe	290.91	20799	-620.6	0.232	148.9	4	S. S. Sheppard 2001	22.8
Thyone	292.89	20940	-627.3	0.229	148.5	2	S. S. Sheppard 2001	22.3
S/2003 J16	293.73	21000	-616.4	0.270	148.6	2	B. Gladman 2003	23.3
Mneme	294.69	21069	-620.0	0.227	148.6	4	S. S. Sheppard 2003	23.3
Harpalyke	295.19	21105	-623.3	0.226	148.6	4	Sheppard 2000	22.2
Hermippe	295.56	21131	-633.9	0.210	150.7	7	S. S. Sheppard 2001	22.1
Praxidike	295.78	21147	-625.3	0.230	149.0	2	S. S. Sheppard 2000	21.2
Thelxinoe	295.99	21162	-628.1	0.221	151.4	4	S. S. Sheppard 2003	23.5
Helike	297.40	21263	-634.8	0.156	154.8	5	S. S. Sheppard 2003	22.6
Locaste	297.49	21269	-631.5	0.216	149.4	28	S. S. Sheppard 2000	21.8
Ananke	297.59	21276	-629.8	0.244	148.9	2	S. Nicholson 1951	18.9
S/2003 J15	307.71	22000	-668.4	0.110	140.8	2	S. S. Sheppard 2003	23.5
S/2003 J9	307.71	22442	-690.3	0.190	163.7	1	B. Gladman 2003	23.4
S/2003 J19	313.89	22800	-683.0	0.269	164.5	2	S. S. Sheppard 2003	23.7
Eurydome	318.90	22865	-701.3	0.334	162.9	3	B. Gladman 2003	23.7
Arche	319.81	22931	-717.3	0.276	150.3	3	S. S. Sheppard 2001	22.7
Autonoe	320.73	23039	-723.9	0.259	165.0	4	S. S. Sheppard 2002	22.8
Pasithee	322.25	23096	-762.7	0.334	152.9	2	S. S. Sheppard 2001	22
Herse	323.04	23097	-719.5	0.267	165.1	4	S. S. Sheppard 2001	23.2
Chaldene	324.20	23179	-723.8	0.251	165.2	2	S. S. Sheppard 2000	22.5
Kale	324.74	23217	-729.5	0.260	165.0	4	S. S. Sheppard 2001	23
Isonoe	324.74	23217	-725.5	0.246	165.2	3	S. S. Sheppard 2000	22.5
Aitne	324.93	23231	-730.2	0.264	165.1	2	S. S. Sheppard 2001	22.7
S/2003 J4	325.31	23258	-723.2	0.204	144.9	3	S. S. Sheppard 2003	23
Erinome	325.60	23279	-728.3	0.266	164.9	5	S. S. Sheppard 2000	22.8
Taygete	326.74	23360	-732.4	0.253	165.3	46	S. S. Sheppard 2000	21.9
Carme	327.35	23404	-734.2	0.253	164.9	2	S. Nicholson 1938	17.9
Sponde	328.51	23487	-748.3	0.312	151.0	5	S. S. Sheppard 2001	23
Kalyke	329.85	23583	-743.0	0.245	165.2	58	S. S. Sheppard 2000	21.8
Pasiphae	330.43	23624	-743.6	0.409	151.4	4	P. Melotte 1908	16.9
Eukelade	330.95	23661	-746.4	0.272	165.5	6	S. S. Sheppard 2003	22.6
Megaclite	332.97	23806	-752.9	0.420	152.8	38	S. S. Sheppard 2000	21.7
Sinope	334.83	23939	-758.9	0.250	158.1	3	S. Nicholson 1914	18.3
Hegemone	334.95	23947	-739.6	0.328	155.2	4	S. S. Sheppard 2003	22.8
Aoede	335.42	23981	-761.5	0.432	158.3	4	S. S. Sheppard 2003	22.5

Księżyce planet i planet karłowatych Układu Słonecznego (c.d.)

Nazwa	a		P	e	i	Średnica [km]	Odkrywca i rok odkrycia	m
	R	tys. km						
Jowisz (c.d.)								
Kallichore	336.29	24043	-764.7	0.264	165.5		2	S. S. Sheppard 2003
S/2003 J23	336.46	24056	-759.7	0.309	149.2		2	S. S. Sheppard 2003
S/2003 J5	336.86	24084	-759.7	0.210	165.0		4	S. S. Sheppard 2003
Callirhoe	337.11	24102	-758.8	0.283	147.2		7	J. V. Scotti 1999
S/2003 J10	339.18	24250	-767.0	0.214	164.1		2	S. S. Sheppard 2003
Cyllene	340.57	24349	-737.8	0.319	149.3		2	S. S. Sheppard 2003
Kore	343.28	24543	-807.8	0.325	145.0		2	S. S. Sheppard 2003
S/2003 J2	399.61	28570	-982.5	0.380	151.8		2	S. S. Sheppard 2003
Saturn								
2009 S1	2.009	117.0		0.000	0.000		0.3	Cassini 2009
Pan	2.294	133.6	0.575	0.000	0.000		20	M. Showalter 1990
Daphnis	2.343	136.5	0.594	0.000	0.000		7	C. C. Porco 2005
Atlas	2.364	137.7	0.602	0.000	0.000		32	R. Terrile 1980
Prometeus	2.393	139.4	0.613	0.002	0.000		100	S. A. Collins 1980
Pandora	2.433	141.7	0.629	0.004	0.000		84	S. A. Collins 1980
Epimeteus	2.599	151.4	0.690	0.021	0.335		119	J. Fountain 1980
Janus	2.601	151.5	0.700	0.007	0.165		178	A. Dollfus 1966
Aegeon		167.5		0.000	0.001		0.5	
Mimas	3.186	185.6	0.940	0.021	1.566		397	W. Herschel 1789
Methone	3.330	194.0	1.010	0.000	0.000		3	C. C. Porco 2004
Anthe	3.394	197.7	1.040	0.001	0.100		1	CIST 2007
Pallene	3.622	211.0	1.140	0.000	0.000		4	C. C. Porco 2004
Enceladus	4.088	238.1	1.370	0.000	0.010		499	W. Herschel 1789
Telesto	5.059	294.7	1.890	0.001	1.158		24	H. Reitsema 1980
Tethys	5.059	294.7	1.890	0.000	0.168		1060	G. D. Cassini 1684
Calypso	5.059	294.7	1.890	0.001	1.473		19	D. Pascu 1980
Dione	6.479	377.4	2.740	0.000	0.002		1118	G. D. Cassini 1684
Helene	6.479	377.4	2.740	0.000	0.212		32	J. Lacacheux 1980
Polydeuces	6.479	377.4	2.740	0.000	0.000		4	C. C. Porco 2004
Rhea	9.049	527.1	4.518	0.001	0.327		1528	G. D. Cassini 1672
Tytan	20.977	1221.9	15.95	0.029	1.634		5150	C. Huyghens 1655
Hyperion	25.13	1464.1	21.28	0.018	0.568		266	W. Bond 1848
Iapetus	61.13	3560.8	79.33	0.028	7.570		1436	G. D. Cassini 1671
Kiviuq	190.7	11111	449.20	0.334	45.71		16	B. Gladman 2000
Ijiraq	191.0	11124	451.40	0.316	46.44		12	J. J. Kavelaars 2000
Phoebe	222.2	12944	-548.20	0.164	174.80		240	W. Pickering 1898
Paaliaq	260.9	15200	686.90	0.364	45.13		22	B. Gladman 2000
Skathi	266.8	15541	-728.20	0.270	152.60		8	J. J. Kavelaars 2000
Albiorix	277.8	16182	783.50	0.478	33.98		32	M. Holman 2000
2007 S2	284.3	16560	800.00	0.218	176.70		6	S. S. Sheppard 2007
Bebhionn	293.9	17119	834.80	0.469	35.01		6	S. S. Sheppard 2004
Erriapo	297.7	17343	871.20	0.474	34.62		10	J. J. Kavelaars 2000
Siarnaq	301.0	17531	895.60	0.295	45.56		40	B. Gladman 2000
Skoll	303.3	17665	-878.30	0.464	161.20		6	S. S. Sheppard 2006
Taarvos	308.7	17983	926.20	0.531	33.82		15	J. J. Kavelaars 2000
Tarreq	309.2	18009	887.50	0.160	46.09		7	S. S. Sheppard 2007
Greip	312.6	18206	-921.20	0.326	179.8		6	S. S. Sheppard 2006
Hyrokkin	316.5	18437	-931.80	0.333	151.4		8	S. S. Sheppard 2004
2004 S13	316.7	18450	-906.00	0.273	167.4		6	S. S. Sheppard 2004
2004 S17	319.3	18600	-986.00	0.259	166.6		4	S. S. Sheppard 2004
Mundilfari	320.8	18685	-952.60	0.210	167.3		7	B. Gladman 2000
Jarnsaxa	322.9	18811	-964.70	0.216	163.3		6	S. S. Sheppard 2006
2006 S1	325.9	18981	-970.00	0.130	154.2		6	S. S. Sheppard 2006
Narvi	326.3	19007	-1003.90	0.431	145.8		7	S. S. Sheppard 2003
Bergelmir	332.0	19338	-1005.90	0.142	158.5		6	S. S. Sheppard 2004
Suttungr	334.1	19459	-1016.70	0.114	175.8		7	B. Gladman 2000
2004 S12	337.3	19650	-1048.00	0.401	164.0		5	S. S. Sheppard 2004
2004 S7	339.9	19800	-1103.00	0.580	165.1		6	S. S. Sheppard 2004
Hati	340.9	19856	-1038.70	0.372	165.8		6	S. S. Sheppard 2004
Bestla	345.6	20129	-1083.60	0.521	145.2		7	S. S. Sheppard 2004
Farbauti	350.0	20390	-1086.10	0.206	156.4		5	S. S. Sheppard 2004
Thrymr	351.5	20474	-1094.30	0.470	176.0		7	B. Gladman 2000
2007 S3	352.3	20519	-1100.00	0.130	177.2		5	S. S. Sheppard 2007

Księżyce planet i planet karłowatych Układu Słonecznego (c.d.)

Nazwa	a		P	e	i	Średnica [km]	Odkrywca i rok odkrycia	m
	R	tys. km						
Saturn (c.d.)								
Aegir	356.0	20735	-1116.50	0.252	166.7	6	S. S. Sheppard 2004	24.4
2006 S3	362.8	21132	-1142.00	0.471	150.8	6	S. S. Sheppard 2006	24.6
Kari	379.7	22118	-1233.60	0.478	156.3	7	S. S. Sheppard 2006	23.9
Fenrir	385.5	22453	-1260.30	0.136	164.9	4	S. S. Sheppard 2004	25.0
Surtur	389.8	22707	-1297.70	0.451	177.5	6	S. S. Sheppard 2006	24.8
Ymir	395.5	23040	-1315.40	0.335	173.1	18	B. Gladman 2000	21.7
Loge	396.0	23065	-1312.00	0.187	167.9	6	S. S. Sheppard 2006	24.6
Fornjot	431.0	25108	-1490.90	0.206	170.4	6	S. S. Sheppard 2004	24.6
Uran								
Cordelia	1.96	49.8	0.335	0.0000	0.085	40	R. Terrie 1986	23.1
Ophelia	2.12	53.8	0.376	0.0100	0.104	42	R. Terrie 1986	22.8
Bianca	2.33	59.2	0.435	0.0010	0.193	51	Voyager 2 1986	22.0
Cressida	2.44	61.8	0.464	0.0000	0.006	80	S. P. Synnott 1986	21.1
Desdemona	2.47	62.7	0.474	0.0000	0.113	64	S. P. Synnott 1986	21.5
Juliet	2.54	64.4	0.493	0.0010	0.065	93	S. P. Synnott 1986	20.6
Portia	2.61	66.1	0.513	0.0000	0.059	135	S. P. Synnott 1986	19.9
Rosalind	2.76	69.9	0.558	0.0000	0.279	72	S. P. Synnott 1986	21.3
Cupid	2.95	74.8	0.620	0.0000	0.000	10	M. R. Showalter 2003	26.0
Belinda	2.97	75.3	0.624	0.0000	0.031	80	S. P. Synnott 1986	21.0
Perdita	3.01	76.4	0.638	0.0000	0.000	20	E. Karkoschka 1999	24.0
Puck	3.39	86.0	0.762	0.0000	0.319	162	S. P. Synnott 1985	19.2
Mab	3.86	97.7	0.866	0.0000	0.000	10	M. R. Showalter 2003	26.0
Miranda	5.12	129.9	1.413	0.001	4.338	471	G. Kuiper 1948	15.3
Ariel	7.53	190.9	2.520	0.001	0.041	1158	W. Lassell 1851	13.2
Umbriel	10.49	266.0	4.144	0.004	0.128	1169	W. Lassell 1851	14.0
Titania	17.21	436.3	8.706	0.001	0.079	1578	W. Herschel 1787	13.0
Oberon	23.01	583.5	13.46	0.001	0.068	1522	W. Herschel 1787	13.2
Francisco	169	4276	-266.56	0.146	145.20	22	M. Holman 2001	25.0
Caliban	285	7231	-579.73	0.159	140.90	72	B. J. Gladman 1997	22.4
Stephano	316	8004	-677.36	0.229	144.10	32	B. J. Gladman 1999	24.1
Trinculo	335	8504	-759.0	0.220	167.10	18	M. Holman 2001	25.4
Sycorax	480	12179	-1288.3	0.522	159.40	150	P. D. Nicholson 1997	20.8
Margaret	566	14345	1694.8	0.661	56.60	20	S. S. Sheppard 2003	25.2
Prospero	641	16256	-1977.3	0.445	152.00	50	M. Holman 1999	23.2
Setebos	687	17418	-2234.8	0.591	158.20	47	J. J. Kavelaars 1999	23.3
Ferdinand	824	20901	-2823.4	0.368	169.80	21	M. Holman 2001	25.1
Neptun								
Naiad	1.96	48.2	0.294	0.0000	4.740	58	R. Terrie 1989	24.1
Thalassa	2.03	50.1	0.311	0.0000	0.205	80	R. Terrie 1989	23.4
Despina	2.13	52.5	0.335	0.0000	0.065	148	S. P. Synnott 1989	22.0
Galatea	2.52	62.0	0.429	0.0000	0.054	158	S. P. Synnott 1989	22.0
Larissa	2.99	73.5	0.555	0.0010	0.201	192	H. Reitsema 1989	21.5
Proteus	4.78	117.6	1.122	0.0000	0.039	416	S. P. Synnott 1989	20.0
Tryton	14.41	354.8	-5.877	0.0000	156.800	2706	W. Lassell 1846	13.0
Nereida	223.92	5513.4	360.14	0.7510	7.230	340	G. Kuiper 1949	19.2
Halimede	638.77	15728	-1879.71	0.5710	134.100	61	J. J. Kavelaars 2002	24.5
Sao	910.64	22422	2914.07	0.2930	48.510	40	J. J. Kavelaars 2002	25.4
Laomedea	957.31	23571	3167.85	0.4240	34.740	40	J. J. Kavelaars 2002	25.4
Psamathe	1896.46	46695	-9115.91	0.4500	137.400	38	D. C. Jewitt 2003	25.6
Neso	1965.18	48387	-9373.99	0.4950	132.600	60	M. Holman 2002	24.6
Pluton								
Charon	16.4	19.571	6.387	0.0022	0.001	1207	J. Christy 1978	16.8
Nix	42.8	48.708	24.856	0.0030	0.195	46-136	M. J. Mutchler 2005	23.4
Hydra	54.2	64.749	38.206	0.0051	0.212	60-168	M. J. Mutchler 2005	22.9
Haumea								
Namaka		25.7	18.28	0.249	113.0	~170	M. Brown 2005	21.9
Hi'iaka		49.9	49.46	0.051	126.4	~310	M. Brown 2005	20.6
Eris								
Dysnomia	28.7	37.350	15.774	<0.010	61.3	~150	M. Brown 2005	22.9

Oznaczenia w tabeli:

a – wielka półosi orbity [R – w promieniach planety, tys. km – w tysiącach kilometrów],
P – syderyczny okres obiegu (wartość ujemna oznacza ruch wsteczny, przeciwny do pozostałych satelitów) [doby ziemskie],
e – mimośród orbity, **i** – nachylenie orbity do równika planety [$^{\circ}$], **m** – jasność księżyca [mag].
[Dane zaczerpnięto z NASA/JPL oraz <http://www.ifa.hawaii.edu/~sheppard/satellites/> pobrane 3 grudnia 2009]